



This is a digital copy of a book that was preserved for generations on library shelves before it was carefully scanned by Google as part of a project to make the world's books discoverable online.

It has survived long enough for the copyright to expire and the book to enter the public domain. A public domain book is one that was never subject to copyright or whose legal copyright term has expired. Whether a book is in the public domain may vary country to country. Public domain books are our gateways to the past, representing a wealth of history, culture and knowledge that's often difficult to discover.

Marks, notations and other marginalia present in the original volume will appear in this file - a reminder of this book's long journey from the publisher to a library and finally to you.

Usage guidelines

Google is proud to partner with libraries to digitize public domain materials and make them widely accessible. Public domain books belong to the public and we are merely their custodians. Nevertheless, this work is expensive, so in order to keep providing this resource, we have taken steps to prevent abuse by commercial parties, including placing technical restrictions on automated querying.

We also ask that you:

- + *Make non-commercial use of the files* We designed Google Book Search for use by individuals, and we request that you use these files for personal, non-commercial purposes.
- + *Refrain from automated querying* Do not send automated queries of any sort to Google's system: If you are conducting research on machine translation, optical character recognition or other areas where access to a large amount of text is helpful, please contact us. We encourage the use of public domain materials for these purposes and may be able to help.
- + *Maintain attribution* The Google "watermark" you see on each file is essential for informing people about this project and helping them find additional materials through Google Book Search. Please do not remove it.
- + *Keep it legal* Whatever your use, remember that you are responsible for ensuring that what you are doing is legal. Do not assume that just because we believe a book is in the public domain for users in the United States, that the work is also in the public domain for users in other countries. Whether a book is still in copyright varies from country to country, and we can't offer guidance on whether any specific use of any specific book is allowed. Please do not assume that a book's appearance in Google Book Search means it can be used in any manner anywhere in the world. Copyright infringement liability can be quite severe.

About Google Book Search

Google's mission is to organize the world's information and to make it universally accessible and useful. Google Book Search helps readers discover the world's books while helping authors and publishers reach new audiences. You can search through the full text of this book on the web at <http://books.google.com/>



Über dieses Buch

Dies ist ein digitales Exemplar eines Buches, das seit Generationen in den Regalen der Bibliotheken aufbewahrt wurde, bevor es von Google im Rahmen eines Projekts, mit dem die Bücher dieser Welt online verfügbar gemacht werden sollen, sorgfältig gescannt wurde.

Das Buch hat das Urheberrecht überdauert und kann nun öffentlich zugänglich gemacht werden. Ein öffentlich zugängliches Buch ist ein Buch, das niemals Urheberrechten unterlag oder bei dem die Schutzfrist des Urheberrechts abgelaufen ist. Ob ein Buch öffentlich zugänglich ist, kann von Land zu Land unterschiedlich sein. Öffentlich zugängliche Bücher sind unser Tor zur Vergangenheit und stellen ein geschichtliches, kulturelles und wissenschaftliches Vermögen dar, das häufig nur schwierig zu entdecken ist.

Gebrauchsspuren, Anmerkungen und andere Randbemerkungen, die im Originalband enthalten sind, finden sich auch in dieser Datei – eine Erinnerung an die lange Reise, die das Buch vom Verleger zu einer Bibliothek und weiter zu Ihnen hinter sich gebracht hat.

Nutzungsrichtlinien

Google ist stolz, mit Bibliotheken in partnerschaftlicher Zusammenarbeit öffentlich zugängliches Material zu digitalisieren und einer breiten Masse zugänglich zu machen. Öffentlich zugängliche Bücher gehören der Öffentlichkeit, und wir sind nur ihre Hüter. Nichtsdestotrotz ist diese Arbeit kostspielig. Um diese Ressource weiterhin zur Verfügung stellen zu können, haben wir Schritte unternommen, um den Missbrauch durch kommerzielle Parteien zu verhindern. Dazu gehören technische Einschränkungen für automatisierte Abfragen.

Wir bitten Sie um Einhaltung folgender Richtlinien:

- + *Nutzung der Dateien zu nichtkommerziellen Zwecken* Wir haben Google Buchsuche für Endanwender konzipiert und möchten, dass Sie diese Dateien nur für persönliche, nichtkommerzielle Zwecke verwenden.
- + *Keine automatisierten Abfragen* Senden Sie keine automatisierten Abfragen irgendwelcher Art an das Google-System. Wenn Sie Recherchen über maschinelle Übersetzung, optische Zeichenerkennung oder andere Bereiche durchführen, in denen der Zugang zu Text in großen Mengen nützlich ist, wenden Sie sich bitte an uns. Wir fördern die Nutzung des öffentlich zugänglichen Materials für diese Zwecke und können Ihnen unter Umständen helfen.
- + *Beibehaltung von Google-Markenelementen* Das "Wasserzeichen" von Google, das Sie in jeder Datei finden, ist wichtig zur Information über dieses Projekt und hilft den Anwendern weiteres Material über Google Buchsuche zu finden. Bitte entfernen Sie das Wasserzeichen nicht.
- + *Bewegen Sie sich innerhalb der Legalität* Unabhängig von Ihrem Verwendungszweck müssen Sie sich Ihrer Verantwortung bewusst sein, sicherzustellen, dass Ihre Nutzung legal ist. Gehen Sie nicht davon aus, dass ein Buch, das nach unserem Dafürhalten für Nutzer in den USA öffentlich zugänglich ist, auch für Nutzer in anderen Ländern öffentlich zugänglich ist. Ob ein Buch noch dem Urheberrecht unterliegt, ist von Land zu Land verschieden. Wir können keine Beratung leisten, ob eine bestimmte Nutzung eines bestimmten Buches gesetzlich zulässig ist. Gehen Sie nicht davon aus, dass das Erscheinen eines Buchs in Google Buchsuche bedeutet, dass es in jeder Form und überall auf der Welt verwendet werden kann. Eine Urheberrechtsverletzung kann schwerwiegende Folgen haben.

Über Google Buchsuche

Das Ziel von Google besteht darin, die weltweiten Informationen zu organisieren und allgemein nutzbar und zugänglich zu machen. Google Buchsuche hilft Lesern dabei, die Bücher dieser Welt zu entdecken, und unterstützt Autoren und Verleger dabei, neue Zielgruppen zu erreichen. Den gesamten Buchtext können Sie im Internet unter <http://books.google.com> durchsuchen.

NYPL RESEARCH LIBRARIES



3 3433 06274722 9





the fact that the *de facto* standard of living is higher than the *de jure* standard of living.

It is also clear that the *de facto* standard of living is higher than the *de jure* standard of living. This is because the *de facto* standard of living is based on the actual consumption of goods and services, while the *de jure* standard of living is based on the legal right to consume goods and services.

There are several reasons why the *de facto* standard of living is higher than the *de jure* standard of living. First, the *de facto* standard of living is based on the actual consumption of goods and services, while the *de jure* standard of living is based on the legal right to consume goods and services.

Second, the *de facto* standard of living is based on the actual consumption of goods and services, while the *de jure* standard of living is based on the legal right to consume goods and services. This means that the *de facto* standard of living is more reflective of the actual living conditions of the population.

Third, the *de facto* standard of living is based on the actual consumption of goods and services, while the *de jure* standard of living is based on the legal right to consume goods and services. This means that the *de facto* standard of living is more reflective of the actual living conditions of the population.

Fourth, the *de facto* standard of living is based on the actual consumption of goods and services, while the *de jure* standard of living is based on the legal right to consume goods and services. This means that the *de facto* standard of living is more reflective of the actual living conditions of the population.

Fifth, the *de facto* standard of living is based on the actual consumption of goods and services, while the *de jure* standard of living is based on the legal right to consume goods and services. This means that the *de facto* standard of living is more reflective of the actual living conditions of the population.

Sixth, the *de facto* standard of living is based on the actual consumption of goods and services, while the *de jure* standard of living is based on the legal right to consume goods and services. This means that the *de facto* standard of living is more reflective of the actual living conditions of the population.

Seventh, the *de facto* standard of living is based on the actual consumption of goods and services, while the *de jure* standard of living is based on the legal right to consume goods and services. This means that the *de facto* standard of living is more reflective of the actual living conditions of the population.

Eighth, the *de facto* standard of living is based on the actual consumption of goods and services, while the *de jure* standard of living is based on the legal right to consume goods and services. This means that the *de facto* standard of living is more reflective of the actual living conditions of the population.

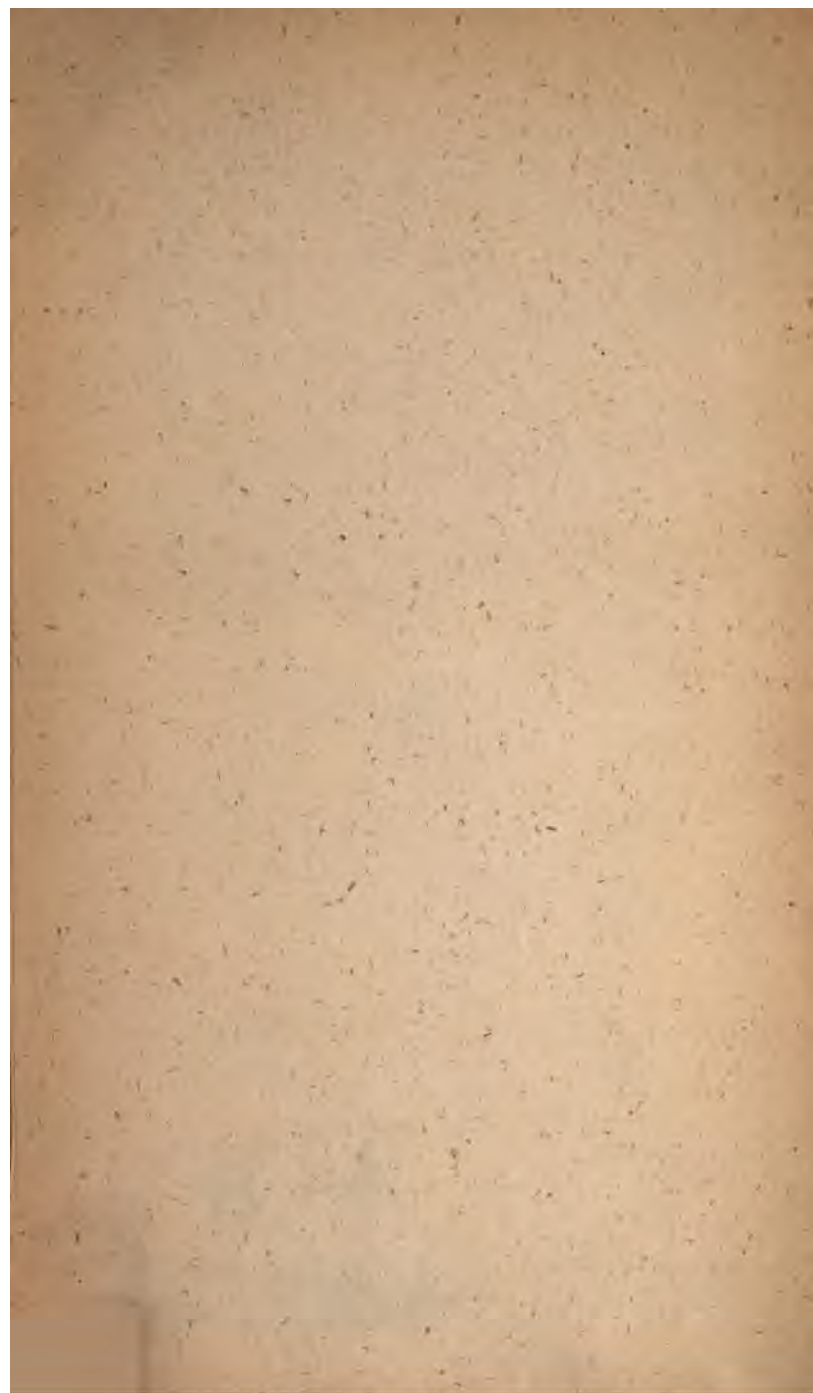
Ninth, the *de facto* standard of living is based on the actual consumption of goods and services, while the *de jure* standard of living is based on the legal right to consume goods and services. This means that the *de facto* standard of living is more reflective of the actual living conditions of the population.

Tenth, the *de facto* standard of living is based on the actual consumption of goods and services, while the *de jure* standard of living is based on the legal right to consume goods and services. This means that the *de facto* standard of living is more reflective of the actual living conditions of the population.





F A A
~~644~~ 6



ANNALEN
DER
PHYSIK UND CHEMIE.

BAND LXXVIII.



ANNALEN
DER
P H Y S I K
UND
C H E M I E.

HERAUSGEGEBEN ZU BERLIN

VON

J. C. POGGENDORFF.

78
ACHT UND SIEBZIGSTER BAND.

DER GANZEN FOLGE HUNDERT VIER UND FUNFZIGSTER.

NEBST ZWEI KUPFERTAFELN.

LEIPZIG, 1849.

VERLAG VON JOHANN AMBROSIVS BARTH.



XXXXXX
XXXXXX
XXXXXX

I n h a l t

des Bandes LXXVIII der Annalen der Physik und Chemie.

Erstes Stück.

	Seite
I. Die elektroskopischen Eigenschaften der geschlossenen galvanischen Kette; von R. Kohlrausch.	1
II. Eine Methode, galvanische Ströme nach absolutem Maasse zu messen; von O. v. Feilitzsch.	21
III. Ueber die galvanische Polarisation der Platin-Elektroden durch Sauerstoff und Wasserstoff; von W. Beetz.	35
IV. Ueber den Widerstand der Luft im Schließungsbogen der elektrischen Batterie; von K. W. Knochenhauer.	42
V. Ueber Seiten-Entladungen am Schließungsbogen der elektrischen Batterie; von Demselben.	54
VI. Wirkung einer elektrischen Spirale auf ein in der Axe der Spirale liegendes magnetisches Theilchen; von Haedenkamp . . .	58
VII. Constante Batterien; von W. Eisenlohr.	65
VIII. Ueber eine neue Varietät von Datolith; von W. Haidinger. . .	75

VI

	Seite
IX. Ueber eine nach Gypskrystallen gebildete Pseudomorphose von Brauneisenstein; von Demselben.	82
X. Ueber ein neues Vorkommen von Kupferkies aus dem Salzberge von Hall in Tyrol; von Demselben.	88
XI. Bemerkungen über die Oxyde des Kobalts; von C. Rammelsberg.	93
XII. Untersuchung einer Probe californischen Goldes, von London über Hamburg bezogen; von F. Oswald.	96
XIII. Versuche, das Atomgewicht des Ozons zu bestimmen; von G. Osann.	98
XIV. Ueber die Temperatur, bei der die Schiefsbaumwolle sich entzündet; von C. Marx.	100
XV. Bemerkungen über die entsprechenden Temperaturen, die Sied- und Gefrierpunkte der Körper; von J. A. Groshans.	112
XVI. Ueber die specifische Wärme und latente Schmelzwärme des Broms und die specifische Wärme des starren Quecksilbers; von V. Regnault.	118
XVII. Untersuchung über die Wärmestrahlung, Bestimmung des Reflexionsvermögens; von F. de la Provostaye und P. Desains.	128
XVIII. Ueber die Reflexion der verschiedenen Wärmearten an Metallen; von Denselben.	131
XIX. Ueber die Temperatur der Quellen im Salzkammergut und dessen nächsten Umgebungen; von Friedrich Simony.	135
XX. Ueber Pleomorphie der Titansäure; von A. Breithaupt.	134
<i>(Geschlossen am 22. September 1849.)</i>	

Zweites Stück.

I. Ueber die Regenverhältnisse der Alpen; von H. Schlagintweit.	145
II. Das Bleisuperoxyd mit dem Ozon verglichen; von C. F. Schoenbein.	162

VII

	Seite
III. Das Quecksilber-Voltameter; von M. H. Jacobi.	173
IV. Ueber die latente Wärme des Wasserdampfs bei Sättigung unter verschiedenem Druck; von V. Regnault.	196
V. Ueber die Trennung der Phosphorsäure von den Basen überhaupt und besonders von der Thonerde; von Heinrich Rose.	217
VI. Ueber die verschiedenen Metaphosphorsäuren und zwei neue Säuren derselben Verbindungsproportion; von Th. Fleitmann.	233
VII. Experimental-Untersuchungen über Endosmose; von Ph. Jolly.	261
VIII. Zur Geschichte der Lehre von der doppelten Strahlenbrechung; von C. Marx.	272
IX. Gewicht und Gewichtsverhältnisse der Atmosphäre; von E. Schmid.	275
X. Bemerkungen über Quellenbildung; von C. Zincken.	280
XI. Historische Notiz über die spezifische Wärme zusammengesetzter Körper.	282
XII. Reclamation in Betreff eines von Hrn. Doppler angegebenen Instruments; von J. Plateau.	284
XIII. Vom Durchgang des Wasserstoffgases durch starre Körper; von Louyet.	287

(Geschlossen am 6. November 1849.)

Drittes Stück.

I. Ueber die chemische Theorie der Volta'schen Säule; von C. F. Schönbein.	289
II. Ueber die endosmotischen Aequivalente und die endosmotische Theorie; von C. Ludwig.	307
III. Ueber Legumin; von P. Löwenberg.	327
IV. Ueber die verschiedenen Metaphosphorsäuren und zwei neue Säuren derselben Verbindungsproportion; von Th. Fleitmann (Schluß).	338
V. Ueber den Einfluss der umgebenden Mittel auf das Glühen durch Voltaismus; von W. R. Grove.	366

VIII

	Seite
VI. Ueber das Gleichgewicht von homogenen starren Körpern; von W. Wertheim.	381
VII. Ueber die Natur der bisher für metallisches Titan gehaltenen Substanz; von F. Wöhler.	401
VIII. Ueber die Entfernung des Schwefelwasserstoffs aus Auflösungen bei quantitativen Analysen; von H. Rose.	405
IX. Ueber das Meteoreisen von Zacatecas; von C. Bergemann.	406
X. Mineral-analytische Beiträge von N. J. Berlin.	413
XI. Chemische Untersuchung des Embolits oder Bromchlorsilbers; von C. F. Plattner.	417
XII. Ueber die Fessel'sche Wellenmaschine, den neueren Boutigny'schen Versuch und das Ergebniss fortgesetzter Beobachtungen in Betreff des Verhaltens krystallisirter Substanzen gegen den Magnetismus; von Plücker.	421
XIII. Ueber die Calina oder den Höhenrauch in Spanien; von M. Willkomm.	431

(Geschlossen am 7. December 1849.)

Viertes Stück.

I. Ueber den Mechanismus der elektrischen Entladung; von Peter Riefs.	433
II. Ueber die Scheiben, welche sich beim Zusammenstoßen von zwei Wasserstrahlen bilden und über die Auflösung einzelner Wasserstrahlen in Tropfen; von G. Hagen.	451
III. Ueber das Gleichgewicht von homogenen starren Körpern; von W. Wertheim (Schluß).	476
IV. Ueber die tägliche Veränderung der magnetischen Declination auf St. Helena; von E. Sabine.	494
V. Ueber eine Ableitung der Ohm'schen Gesetze, welche sich an die Theorie der Elektrostatik anschließt; von G. Kirchhoff.	506

IX

	Seite
VI. Chemische Mittheilungen; von C. F. Schönbein	513
VII. Ueber die latente Wärme des Wasserdampfs bei Sättigung unter verschiedenem Druck; von V. Regnault (Schluss).	523
VIII. Ueber eine neue, sonderbare Anwendung des Verweilens der Eindrücke auf die Netzhaut; von J. Plateau.	563
IX. Ueber directe Wärme-Erzeugung durch Magnetisirung; von R. VV. Grove.	567
X. Notiz über den Gegensatz von Majt und Glanz; von H. Schröder.	569
XI. Drehung der Polarisations ebene der strahlenden Wärme durch Magnetismus; von F. de la Provostaye und P. Desains.	571
XII. Ueber den Dillnit und Agalmatolith, die Begleiter des Diaspors von Schemnitz; von A. Hutzelmann.	575
XIII. Erläuterungen zu einer Note von M. L. Frankenheim; von VV. Buff.	578
XIV. Ueber die Richtung der Schwingungen in polarisirten Lichtstrahlen; von Babinet.	580

(*Geschlossen am 28. December 1849.*)

Nachweis zu den Kupfertafeln.

Taf. I. — Kohlransch, Fig. 1, S. 11; Fig. 2, S. 12; Fig. 3, S. 7; Fig. 4, S. 15; Fig. 5, S. 8. — v. Feilitzsch, Fig. 6, S. 22; Fig. 7, S. 24; Fig. 8 und 9, S. 25. — H. Schlagintweit, Fig. 10, S. 154. — Grove, Fig. 11, S. 367; Fig. 12 und 13, S. 373; Fig. 14, S. 375. — VVertheim, Fig. 15 und 16, S. 387. — Jacobi, Fig. 17 und 18, S. 177.

Taf. II. — Regnault, Fig. 1, S. 202; Fig. 2, S. 211; Fig. 3 und 4, S. 523; Fig. 5, S. 524; Fig. 6, S. 525. — Plateau, Fig. 7, S. 564; Fig. 8, S. 564.

Berichtigung zu der Abhandlung: „Ueber Legumin“ S. 337 dieses Bandes.

An der angeführten Stelle muß es folgendermaßen heißen:

Legumin aus Mandeln, mit kaltem Wasser, kochendem Alkohol und Aether ausgezogen

C 54,06 (nicht 51,06)

H 7,19.

Durch mehrstündiges Auskochen mit Wasser blieb nach der Entfernung des gebildeten Produkts mit kaltem Wasser zurück

C 50,3 51,06

H 6,9 7,7,

während das Decoct, mit Essigsäure gefällt und mit Wasser, Alkohol und Aether behandelt, gab

C 54,72 54,96 (nicht 51,72 und 51,96)

H 7,10 7,09.

Nur so ist der aus diesen Analysen gezogene Schluß auf eine Uebereinstimmung zwischen Legumin aus Mandeln und aus Erbsen gerechtfertigt.

Löwenberg.

I. Die elektroskopischen Eigenschaften der geschlossenen galvanischen Kette; von R. Kohlrausch.

Bereits vor 22 Jahren machte Ohm ¹⁾ seinen Versuch bekannt, den elektrischen Strom aus den schon länger erforschten Eigenschaften der Spannungselektricität zu erklären. Aus den damals noch wenig bekannten Stromeseigenschaften und aus einigen unvollkommenen elektroskopischen Messungen am Schließungsdrahte sehr vielgliedriger, noch dazu inconstanter, Säulen erschloß er unter Hinzuziehung einiger Hypothesen den elektroskopischen Zustand der einfachen Kette in allen ihren Theilen und gründete auf diesen Zustand sein Strömgesetz. Letzteres ist, weil es sich als Thatsache herausstellte, von den Physikern aller Nationen angenommen worden, die Theorie aber, auf welche es basirt ist, hat, wahrscheinlich weil unsere unvollkommenen Meßinstrumente eine directe Prüfung der Behauptungen nicht zuließen, im Ganzen weniger Beachtung gefunden und wird von manchen Gelehrten als ein Aperçu zur Erläuterung des Zusammenhangs der Stromerscheinungen mit den Spannungserscheinungen betrachtet, während andere einen solchen Zusammenhang zwischen den elektroskopischen Eigenschaften der geschlossenen Kette und dem Strome gar nicht anzunehmen geneigt sind.

Wenn nun in neuerer Zeit die Mathematik in den verdienstvollen Arbeiten des Hrn. Kirchhoff auf jener Theorie fußend theils neue Gesetze ans Licht ruft, theils solche, welche auf dem Wege des Experimentes gefunden waren, mit ihr in Einklang bringt, so gewinnt die Ohm'sche Grund-

1) Die galvanische Kette, mathematisch bearbeitet von Dr. G. S. Ohm. Berlin 1827 bei Riemann.

ansicht ein neues Interesse und es dürfte wohl nicht unangemessen seyn, die elektroskopischen Eigenschaften der geschlossenen einfachen Kette mit Hilfe zureichender Messinstrumente einer genaueren Prüfung zu unterziehen.

Dieses ist der Zweck der gegenwärtigen Arbeit, welche, wie mir scheint, einen directen Beweis der Richtigkeit von Ohm's Ansicht über den elektrischen Zustand der Kette liefert, weswegen es denn auch nicht thunlich erscheinen konnte, die Versuche ganz unabhängig von dieser Ansicht zu behandeln.

Ein Elektrometer zu construiren, durch welches unmittelbar die äußerst geringen elektrischen Spannungen in den verschiedenen Punkten der einfachen geschlossenen Kette mit numerischer Genauigkeit geprüft werden könnten, scheint mir vorläufig noch außer dem Beweise der Möglichkeit zu liegen. Man kann sich indessen, wie ich an anderen Orten schon gezeigt habe, des Condensators in Verbindung mit dem Dellmann'schen Elektrometer ¹⁾ als eines ausreichenden Mittels bedienen, die fraglichen Messungen mit Genauigkeit auszuführen. Im Allgemeinen wird dabei folgendermaßen verfahren.

Die untere der beiden aus demselben Metalle bestehenden Condensatorplatten bleibt durch einen, draußen in der Erde vergrabenen gleichartigen Draht vollkommen abgeleitet. Eine Abzweigung dieses Drahtes führt zu irgend einem Punkte *a* der geschlossenen isolirten ²⁾ Kette. Wird nun mit der oberen Condensatorplatte eine andere Stelle *b* der Kette in metallische Verbindung gebracht, so ladet sich der Condensator mit Elektrizität je nach der Spannung der Stelle *b* und der condensirenden Kraft des Condensators. Prüft man verschiedene solcher Punkte *b*, so wird die Stärke der Ladungen des Condensators proportional

1) Diese Ann. Bd. 75, S. 88.

2) Als isolirt kann man behufs dieser Versuche der Erfahrung nach, die Kette schon dann betrachten, wenn trocknes Holz ihre Verbindung mit der Erde vermittelt.

seyu der elektroskopischen Spannung an den geprüften Punkten. Man kann auch die untere Condensatorplatte, ohne sie abzuleiten mit dem Punkte *a*, die obere mit *b* verbinden. Die Erfahrung zeigt aber, daß dadurch, wenigstens so genau es das Elektrometer anzugeben vermag, dasselbe Resultat gewonnen wird, ein Beweis, daß die Veränderung, welche die elektrische Spannung des Punktes *a* durch die Ableitung erfahren hat, der Größe nach gerade ebenso an allen übrigen Punkten der ganzen Kette erfolgt ist, — eine längst bekannte Eigenschaft aller galvanischen Ketten. Es ist deswegen bei den folgenden Versuchen immer die erste der Beobachtungsarten zu denken, also der mit der Erde verbundene Punkt *a* aller elektrischen Spannung beraubt.

Will man aus irgend welchen Gründen die Condensatorplatten nicht von demselben Metalle nehmen oder überhaupt den Versuch anders einrichten, so werden zur Beurtheilung der Resultate der Messungen besondere Betrachtungen erforderlich seyn.

Erster Versuch.

Ein sehr feiner langer Draht bildete in Form eines Zickzacks den Schließungsbogen einer einfachen Kette. Zu diesem Ende war er mit Hülfe von Stecknadeln ¹⁾ auf einem leichten Holzrahmen so gespannt, daß alle Windungen gleiche Länge hatten.

a. Wird ein Punkt dieses Drahtes abgeleitet und ein anderer Punkt, welcher dem positiven Strome entgegen lag, mit dem Condensator verbunden und so geprüft, so zeigte dieser positive Elektrizität; lag aber der geprüfte Punkt auf der anderen Seite des abgeleiteten, so entstand eine negative Ladung.

1) Ich habe früher den feinen Draht auf dem Holzrahmen durch Schellack so befestigt, daß die unteren Winkel frei vorstanden. Es bildet sich aber bei diesem Aufschmelzen Elektrizität, welche wegen des Ortes, wo sie ihren Sitz hat, nicht entweichen kann und nun nach sehr langer Zeit noch die Messungen ein Weniges irrt.

b. Lag dieselbe Drahtlänge zwischen dem abgeleiteten und dem geprüften Punkte, so zeigte das Elektrometer genau dieselbe Spannung an, wo auch im Schließungsbogen die Prüfung vorgenommen wurde.

c. Blieb irgend ein Punkt beständig abgeleitet und wurden nun successiv immer weiter von ihm abliegende Punkte geprüft, so steigerte sich die Elektrizität und zwar genau proportional den zwischenliegenden Drahtlängen. Nehmen wir irgend eine Längeneinheit an, mit welcher wir die Drahtlängen messen, so wächst also bei jeder Längeneinheit die Elektrizität um gleich viel, und wenn wir dieses auf die Längeneinheit erfolgende Wachstum das Gefälle der Elektrizität nennen, so würde also aus diesen Versuchen hervorgehen, daß in einem homogenen Theile des Schließungsbogens von unverändertem Querschnitte das Gefälle überall dasselbe ist.

Ich führe hier, wie in den folgenden vier Versuchen, die Zahlenangaben aus dem Grunde nicht speciell an, weil dieß in einem sechsten complicirteren Versuche geschehen soll, welcher alle diese früheren in sich einschließt, doch kann ich hier bemerken, daß bei diesen einfacheren Versuchen die Uebereinstimmung größer war, als in dem weiterhin ausführlich mitzutheilenden. Ich habe diese Art Untersuchungen öfters und an verschiedenen Ketten angestellt und eine Schwierigkeit, genaue Zahlenresultate zu erhalten, niemals gefunden, sobald nur jede Störung durch fremde in der Nähe der Instrumente befindliche Elektrizität gehörig vermieden war. Am meisten kommt dabei auf den Condensator an, weshalb ich in einem späteren Aufsätze auf einige Vorsichtsmaßregeln bei seinem Gebrauche aufmerksam machen werde.

Zweiter Versuch.

Gleiche Längen von verschieden dickem (übrigens immer noch sehr feinem) Silberdrahte wurden gewogen, woraus das Verhältniß ihrer Querschnitte sich ergab. Nachdem sie in der Weingeistflamme mit dem einen Ende zu-

sammengeschmolzen waren, wurde ein Zickzack aus ihnen gebildet, welches zur Hälfte aus dem dickeren, zur Hälfte aus dem feineren Drahte bestand und mit diesem Schließungsbogen die Kette geschlossen.

a. In einem einzelnen der beiden Theile dieses Bogens herrschte überall dasselbe Gefälle.

b. Wurde das eine Ende des feinen Drahtes abgeleitet und das andere Ende desselben geprüft, wobei das Elektrometer Elektrizität von der Stärke E zeigte, und wurde nun mit der anderen dickeren Hälfte des Zickzacks, ebenso verfahren, so zeigte sich hier eine Elektrizität e , welche sich zu E verhielt, wie der Querschnitt des dünneren Drahtes zu dem des dickeren. Mit anderen Worten: Es verhielten sich die Gefälle umgekehrt wie die Querschnitte.

c. Blieb ein Punkt im dicken Drahte abgeleitet, und es wurde nun allmähig die Prüfung nach dem dünneren Drahte hin fortgesetzt, so zeigte sich bei der Ankunft in diesem keinesweges ein Sprung in der elektrischen Spannung, sondern nur ein rascheres Wachsen von da an. Der letzte Querschnitt des dicken und der erste des dünnen Drahtes haben also keine eben verschiedene Spannung der Elektrizität.

Dritter Versuch.

Die jetzt folgende Untersuchung hätte eigentlich einen Schließungsbogen betreffen müssen, welcher aus zwei verschiedenen Metallen von gleichem Querschnitte gebildet gewesen wäre. Solche Drähte standen mir jedoch nicht zu Gebote und deshalb löthete ich einen dünnen Kupferdraht an einen dickeren Neusilberdraht, bildete aus ihnen das Zickzack und schloß mit demselben die Kette. Vorher war der Widerstand jedes einzelnen der Drähte durch Hilfe eines Galvanometers und Rheochords bestimmt worden.

Die obigen Erfahrungen über das allmähige Wachsen der Elektrizität von dem einen Endpunkte dieses Schließungsbogens bis zum anderen wiederholte sich und zwar

in der Art, daß das gesammte Wachsthum der Elektri-
cität im Kupferdrahte zu dem gesammten Wachsthum der-
selben im Neusilberdrahte dasselbe Verhältniß besaß, in
welchem die gesammten Widerstände dieser Drähte zu ein-
ander standen.

Man ist also wohl berechtigt zu behaupten, daß

a) bei Drähten von verschiedenem Metalle aber glei-
chem Querschnitte die Gefälle direct wie die specifischen
Widerstände der Metalle;

b) bei Drähten von verschiedenem Metalle und unglei-
che Querschnitte die Gefälle direct wie die specifischen
Widerstände dieser Metalle und umgekehrt wie ihre Quer-
schnitte sich verhalten werden.

Wegen des Gesetzes der Spannungsreihe kann es nicht
befremden, wenn der Condensator keine Spur von der
elektrischen Differenz anzeigt, welche an der Berührungs-
stelle zwischen Kupfer und Neusilber stattfinden muß.

Vierter Versuch.

Es ward jetzt zur Prüfung der elektroskopischen Span-
nung in der Flüssigkeit geschritten. Zu dem Ende war in
einem mit Wachs wasserdicht gemachten Holzkasten eine
Daniell'sche Kette von prismatischer Gestalt der Flüssigkeit
construirt. Am einen Ende des Kastens stand, diesen aus-
füllend, eine Kupfertafel in Kupfervitriollösung, ihr paral-
lel gegenüber die Zinktafel in einem Thonbecher und Zink-
vitriol. Der obere Rand des Kastens trug eine Längen-
theilung. An Brettchen, welche unten zum festeren Auf-
setzen auf den Rand des Kastens mit schwarzen Stahlspitzen
(Nähnadelspitzen) versehen waren, wurden Kupferdrähte
befestigt, welche in die Lösung des Kupfervitriols tauch-
ten und also in bestimmte beliebige Entfernungen von ein-
ander gebracht werden konnten. Nachdem die Kette ge-
schlossen war, ward der eine der eintauchenden Drähte
durch Hülfe einer oben angebrachten Klemmschraube ab-
geleitet, der andere mit dem Condensator verbunden.

Auch in der Lösung des Kupfervitriols zeigt sich die-

selbe regelmässige Zunahme der Electricität mit der Entfernung der Prüfungsdrähte von einander. Positiv erschien dieselbe, wenn der mit dem Condensator verbundene Punkt der Flüssigkeit dem positiven Strome entgegen lag, negativ im umgekehrten Falle.

Fünfter Versuch.

Nach Ohm's Ansicht muß in demselben Querschnitte überall dieselbe elektrische Spannung herrschen. In einem festen Körper, z. B. einem Drahte, ist eine Prüfung dieser Behauptung nicht anzustellen, wohl aber erscheint dies möglich in einem Querschnitte der Flüssigkeit.

Zu dem Ende wurden, wie die Figur 3. Tafel I. zeigt, die im vorigen Versuche genannten, in die Flüssigkeit eintauchenden Kupferdrähte durch Schellack in Metallhülsen eingekittet und das unten hervorragende Ende ebenfalls mit diesem Lack überzogen. Die Hülsen ließen sich in zwei an einem Brettchen befindlichen Korkstücken mit sanfter Reibung herauf- und herabschieben, bewahrten aber dabei genau die senkrechte Lage. Ein sanfter Strich mit einer sehr feinen Feile entblößte die äußerste Spitze dieses Probedrahtes von ihrem isolirenden Ueberzuge. Da das horizontale Brettchen die doppelte Breite des Kastens hatte, sich also seitlich verschieben liefs, konnte durch diese Vorrichtung jeder Punkt desselben Querschnittes der Flüssigkeit mit dem Condensator in Verbindung gesetzt oder auch abgeleitet werden.

Setzte ich nun zwei solcher Prüfungsdrähte in eine gewisse Entfernung von einander, leitete den einen ab und prüfte den anderen am Condensator, so bekam ich immer, ich mochte einen oder beide Drähte seitlich vorrücken, heben oder senken, genau dieselbe elektrische Wirkung, sobald ich nur mit ihnen in denselben Querschnitten geblieben war.

Dafs gegen die Beweiskraft dieses Versuches Einwendungen gemacht werden könnten, stelle ich nicht in Abrede und bemerke nur, dafs es gleichgültig war, wie dick

der eingetauchte Theil des Prüfungsdrahtes mit Schelllack überzogen wurde.

Sechster Versuch.

1.

Die vorigen Versuche bestätigen in allen Stücken die Ohm'sche Ansicht von der elektroskopischen Beschaffenheit der geschlossenen Kette. Ohm giebt aber mehr; seine Theorie lehrt die elektroskopische Kraft jeder einzelnen Stelle aus der Gesamtspannung der offenen Kette und der Kenntniß der reducirten Längen aller einzelnen Theile genau vorher zu bestimmen. Es soll jetzt ein Versuch vorgelegt werden, welcher, die früheren in sich fassend, als Prüfung der gesammten Theorie angesehen werden kann, auf welche also ein Blick zu werfen, so weit es die Berechnung der Messungen mit sich bringt, unerläßlich seyn wird.

Die Anordnung des Versuches wird leicht aus Fig. 5. Taf. I. zu entnehmen seyn. Ein hölzerner mit Wachs innen überzogener und mit 3 Stellschrauben versehener Kasten enthält die Daniell'sche Kette. Die Zinktafel *b* steht in dem Thonbecher mit Zinkvitriol. Weil diese Tafel die Breite und Tiefe des parallelepipedischen Kastens ausfüllen soll, ist letzterer zur Aufnahme des Thonbechers durch Wegnahme des Holzes, so weit es nöthig, vertieft und seitlich erweitert. Die Zinktafel, welche aus unreinem Zink bestand, wie es im Handel in dicken Blechen vorkommt, und die Kupfertafel *a* sind durch Einlassen und Hülfe gleichnamiger Metallstifte an Holzstücke so befestigt, daß sie perpendicular in dem Kasten herabhängen, wenn diese Hölzer, welche mit Nähnadelspitzen unten versehen sind, auf den Kasten aufgedrückt werden. An jede Metallplatte ist ein dicker Kupferdraht gelöthet, welcher oben ein Quecksilbernäpfchen trägt ¹⁾. Geschlossen wird die Kette durch

1) Man schiebt zu dem Ende auf den vorher amalgamirten Draht einen kurzen Kork, um welchen zur Aufnahme des Quecksilbers Papier gewickelt und durch Binden befestigt ist. Statt des Papiers darf man in diesem Falle kein Glasröhrchen nehmen.

einen langen im Zickzack geformten feinen Draht, welcher durch Hülfe von Stecknadeln auf einen leichten Holzrahmen gespannt ist. Die Enden dieses Drahtes sind an zwei dicke Kupferdrähte gelöthet, welche in dem Holzrahmen stecken und in die Quecksilbernäpfcchen *c* und *d* eintauchen ¹⁾. Soll nun die Kette geöffnet werden, so neigt man den Rahmen vorn über. In der Figur bemerkt man, wie diese Bewegung bewerkstelligt ist; eine Spiralfeder zieht den Rahmen zurück, ein Stift bei *e* aber verhindert sein weiteres Zurückweichen, so daß er zum Schlusse der Kette aufrecht steht. Wird er nun vorn herüber gebogen, so werden die Drähte aus den Näpfcchen *c* und *d* herausgehoben.

Vor dem Kasten steht in geringer Entfernung der Condensator und zwischen beiden in passender Höhe ein drittes Quecksilbernäpfcchen, welches in der Figur nicht angegeben ist und welches ich, weil seiner noch zuweilen Erwähnung geschieht, *q* nenne. Will man nun irgend einen Punkt der Kette untersuchen, so bringt man ihn in metallische Verbindung mit diesem Näpfcchen, während man durch einen Draht mit isolirender Handhabe ²⁾ die obere Condensatorplatte ebenfalls mit demselben in Verbindung setzt.

Das über der Zinktafel befindliche Quecksilbernäpfcchen *d* sollte nun mit der Erde durch einen Kupferdraht in leitender Verbindung bleiben, während successiv der zweite,

- 1) Man steckt die vorn verzinnten und hinten amalgamirten Kupferdrähte durch die Holzleiste mit ziemlich fester Reibung durch, löthet an den einen den auf einer Rolle befindlichen feinen Draht, bildet bei mäßiger Anspannung das Zickzack, wickelt ihn einige Mal um das verzinnte Ende des anderen Kupferdrahtes und löthet ihn hier ebenfalls fest.
- 2) An die Mitte eines an beiden Enden rechtwinklich herabgebogenen Drahtes schmilzt man einen kurzen Lackeylinder und an diesen zur Handhabe einen Kork. Man muß sich hüten, daß das Lack beim zur Seite Legen des Drahtes niemals berührt wird, weil man sonst Elektrizität erzeugt, welche den Versuch gefährdet. Eine Zange von trockenem Holze würde zum Halten des Drahtes auch genügen, ihn aber beim Laden des Condensators mit der Hand anzufassen ist unthunlich, weil dadurch ein neues elektrisches Element in den Versuch gebracht würde.

vierte und sechste untere Winkel des Zickzacks ¹⁾, dann das Quecksilbernäpfchen *c* und endlich an mehreren Stellen die Lösung des Kupfervitriols im Kasten durch Hilfe des Condensators zu prüfen waren.

2.

Es fragt sich nun, wie man sich nach der Ohm'schen Theorie die Vertheilung der Elektricität in dieser Kette zu denken habe.

A. Würde man mit Hrn. Buff ²⁾ die Annahme machen, daß bei der geschlossenen Daniell'schen Kette als einzige Triebkraft die elektrische Differenz zwischen Kupfer und Zink thätig sey; würde man ferner voraussetzen, daß eine elektrische Einwirkung weder in der Berührung der Metalle mit den Flüssigkeiten, noch in der Berührung dieser unter einander zu suchen sey ³⁾; würde man endlich den feinen Zickzackdraht als aus Kupfer bestehend sich denken und von der Anwesenheit des Quecksilbers in dem Näpfchen abstrahiren: so wäre hier die einzige Erregungsstelle der Kette an dem Punkte, wo der Kupferdraht an die Zinktafel *b* gelöthet ist. Der positive Strom läuft also durch die Flüssigkeit nach der Kupfertafel *a* und von dieser durch das Zickzack nach der Tafel *b* zurück. Während im Punkte *d*, durch die Ableitung nach der Erde hin, die elektroskopische Spannung Null ist, wird jetzt die ganze Kette freie positive Elektricität zeigen müssen, ausgenommen den dicken an die Zinktafel gelötheten Kupferdraht, welcher negativ seyn wird, aber, weil er wegen seines ganz unbedeutenden Widerstandes auch nur ein ganz unbedeutendes elektrisches Gefälle hat, nur ein Minimum von

1) Es genügt schon, zur Verbindung mit dem Quecksilbernäpfchen *q* einen passend gebogenen Draht an die Stecknadeln im unteren Theil des Rahmens zu hängen.

2) Diese Ann. Bd. 73, S. 510.

3) Dieß ist durch die erste Annahme noch nicht ausgeschlossen, denn die fraglichen Einwirkungen könnten sich gerade aufheben, so daß die Triebkraft der Kette doch bloß in der Differenz zwischen Kupfer und Zink beruhte.

Spannung zeigen kann. Es ist hier so gut, als wäre dieser Draht gar nicht vorhanden und es berührte der feine Zickzackdraht die Zinktafel unmittelbar, sey aber sogleich über der Berührungsstelle mit der Erde in leitender Verbindung.

Eine graphische Darstellung in Fig. 1. Taf. I. versinnlicht nun am bequemsten die Vertheilung der Elektrizität in dieser ihrer Natur nach möglichst einfach gedachten Kette. db' stellt ihre ganze Länge zu einer einzigen geraden Linie auseinandergezogen vor, welche als Abscissenlinie benutzt wird; da soll dabei den zickzackförmigen Draht bedeuten, aa' die Kupfertafel, $a'b$ die Flüssigkeit, (bei welcher wir uns der Einfachheit wegen die beiden Vitriole als gleich gute Elektrizitäts-Leiter denken) bb' die Zinktafel. Die Längen dieser einzelnen Linien mögen den wirklichen Längen der durch sie vorgestellten Theile der Kette proportional gedacht werden, was in der Figur, des Raumes wegen, nur sehr unvollkommen wiedergegeben ist. Der mit dem Quecksilbernäpfchen d der Fig. 5 identische Punkt d des Schlußleiters da steht durch einen Kupferdraht mit der Erde in Verbindung und muß zugleich, was sich natürlich nicht zeichnen läßt, mit dem Punkte b' der Zinktafel in Berührung gedacht werden, damit die Kette geschlossen erscheint.

Stellt nun $b'i$ die elektrische Differenz zwischen Kupfer und Zink vor, und theilt man diese Linie nach dem Verhältnisse der reducirten Längen der gezeichneten vier Theile der Kette, so ergiebt sich das elektrische Gefälle für jeden einzelnen dieser Theile. Da dieses für die Metallplatten aa' und bb' so ziemlich gleich Null ausfallen muß, wird man also $b'i$ nur so zu theilen brauchen, daß $b'n$ zu ni sich verhält, wie die reducirte Länge des Schließungsbogens da zu der reducirten Länge der Flüssigkeit $a'b$. Wird dann $ae = a'f = bn$ gemacht, so begränzt die Linie $defci$ alle in der Abscissenlinie db' zu errichtenden, die elektrische Spannung in den einzelnen Punkten der Kette bezeichnenden *Ordinaten*.

Würde man die Abscissenlinie nicht aus den wirklichen, sondern aus den reducirten Längen der Theile der Kette gebildet haben, so leuchtet ein, daß eine einzige gerade Linie nicht als Begrenzung der Ordinaten hätte erscheinen müssen, wie dc in Fig. 2. Hier ist es nun leicht, zu erkennen, wie eine Prüfung dieser Ohm'schen Theorie bewerkstelligt wird. Man bestimmt durch Hilfe des Condensators und Elektrometers bei frisch geöffneter Kette die elektrische Differenz bc und findet diese gleich a ; darauf prüft man bei geschlossener Kette irgend einen Punkt derselben z. B. g und findet eine Spannung ul ; ist dann die reducirte Länge db der ganzen Kette gleich l und die reducirte Länge von dg gleich λ , so muß $u = \frac{\lambda}{l} \cdot a$ seyn.

B. Im Vorigen war die Annahme gemacht, daß als Triebkraft der Daniell'schen Kette einzig und allein die elektrische Differenz zwischen Kupfer und Zink thätig sey. Ich muß dieses jedoch in Abrede stellen, denn ein sehr erheblicher Theil von der elektromotorischen Kraft dieser Kette rührt, nach meinen Erfahrungen, eben von der Einwirkung der Flüssigkeiten her. Es wird nöthig seyn darüber einiges zu sagen und zu dem Ende schon an dieser Stelle einen Theil des sechsten Versuches selbst abzuhandeln.

Es sollte zunächst nämlich die Triebkraft a , welche bei der Berechnung in der Formel $\frac{\lambda}{l} \cdot a$ den einen Factor bildet, durch Versuche genau ausgemittelt werden. Nun hatte ich mich zu gewissen anderen Zwecken vorher eines Condensators bedient, bei welchem die untere Platte aus Kupfer, die obere aus eben solchem unreinem Zink bestand, wie die Zinkplatte in der Daniell'schen Kette, und wollte diesen Condensator, weil er eine große Constanz in seinen Angaben besaß, zu den in Frage stehenden Versuchen benutzen.

a. Die Zinktafel ward nun auf die Kupfertafel, welche durch einen Kupferdraht beständig abgeleitet blieb, herab-

gelassen, und durch einen isolirten Zinkdraht mit ihr verbunden. Darauf ward sie bis zum Elektrometer gehoben und nun die Spannung der gewonnenen Elektrizität bestimmt. $17^{\circ},4$ Torsion waren erforderlich, den Waagebalken auf 30° zu stellen ¹); $4,17$ stellte also die elektrische Differenz zwischen Zink und Kupfer vor, welche ich kurzweg durch ZK ausdrücken will.

b. Die Kette ward durch Neigung des Rahmens geöffnet, das Quecksilbernäpfchen c der Kupfertafel abgeleitet, und das Näpfchen d der Zinktafel mit der Zinkplatte des Condensators verbunden. Bei dieser Combination fand also gar keine Erregung bei der Berührung verschiedenartiger Metalle statt, es mußte vielmehr, wenn der Condensator dennoch geladen wurde, diese Ladung lediglich der combinirten elektrischen Erregung der Metalle durch die Flüssigkeiten oder der elektrischen Wirkung der Flüssigkeiten auf einander zugeschrieben werden. Der Versuch zeigte eine negative Ladung der Zinkplatte des Condensators, wobei $T = 20^{\circ},1$, $\sqrt{T} = 4,48$, also selbst bedeutender war als die Differenz ZK . Ich will diese elektrische Einwirkung der Flüssigkeiten durch F bezeichnen.

c. Es ward nun das Quecksilbernäpfchen d der Zinktafel abgeleitet und das der Kupfertafel bei geöffneter Kette mit der Zinkplatte des Condensators verbunden. Diese Anordnung mußte positive Elektrizität erzeugen und zwar von der Stärke $2ZK + F$. In der That fand sich $T = 168$ also $\sqrt{T} = 12,96$. Wenn nun $2JK + F$ nach den Versuchen a und b nur $12,82$ liefert, so hat das seinen Grund in zwei Umständen. Erstlich erleidet in der zum Einstel-

1) Um den Lesern, welche von dem Gebrauche meiner Tabellen bei dem Dellmann'schen Elektrometer schwerlich eine geläufige Vorstellung bekommen, bevor sie das Instrument selbst zu benutzen anfangen, die Uebersicht bei den Zahlenangaben zu erleichtern, habe ich dasselbe hier als Torsionswaage benutzt, und unter Beachtung der Stärke des jedesmaligen Luftstromes die Torsion T des Glasfadens bestimmt, welche erforderlich war, den Waagebalken bis auf 30° an das Streifchen heranzubringen. Die Quadratwurzeln aus den Torsionen sind dann die vergleichenden Maße der elektrischen Werthe.

len des Waagebalkens erforderlichen Zeit die schwächere Elektrizität einen verhältnißmäßig größeren Verlust ¹⁾ und zweitens läßt die elastische Nachwirkung des Fadens die stärkere elektrische Abstofsung verhältnißmäßig zu groß erscheinen gegen die schwächere ²⁾. Bedient man sich bei diesen Versuchen der Methode der Ausschlagswinkel unter Benutzung der Tabellen, so bekommt man in der That eine geringere Abweichung in den Resultaten.

Ich habe früher schon bemerkt, daß den Angaben eines Condensators in sofern nicht zu trauen ist, als er oft die Elektrizität der einen Art beständig um ein bestimmtes Maas zu groß, die der entgegengesetzten um eben so viel zu klein angiebt ³⁾. In einem späteren Aufsätze werde ich beweisen, daß die in *a* und *b* angegebenen Zahlen für *ZK* und *F* auch durch den absichtlichsten Zweifel nur eine geringe Modification ihres Verhältnisses erleiden und daß, was hier viel wichtiger erscheint, der erregende Einfluß *F* der Flüssigkeiten in der Daniell'schen Kette nicht verschwindet, wenn sie geschlossen wird, vielmehr auch bei namhaften Strömen unverändert fortbesteht.

Wir müssen nun zu der Frage zurückkehren, wie man sich nach diesen Erfahrungen den Zustand freier Elektrizität in der geschlossenen Kette zu denken habe.

Welcher Art die elektrische Erregung jedes einzelnen der Metalle sey, geht aus den angegebenen Versuchen nicht hervor. Die Erscheinung würde ihre Erklärung auf verschiedene Art finden können. Es könnte etwa nur eins der Metalle elektrisch, oder beide könnten positiv, das Zink so viel schwächer, oder beide negativ, das Zink so viel stärker, oder das Kupfer könnte positiv, das Zink negativ durch die Berührung mit der Flüssigkeit geworden seyn, und immer würde der Condensator dasselbe Resultat

1) Diese Annalen Bd. 71 S. 375 hat Hr. Riefs diese Bemerkung gemacht. Vergl. ferner Bd. 72, S. 374.

2) Diese Ann. Bd. 72, S. 395, §. 16.

3) Diese Ann. Bd. 75, S. 94, §. 5. Ferner ein Aufsatz von Hrn. Buff in den Ann. der Chemie und Pharmacie Bd. 41, S. 129.

tat haben zeigen können, natürlich auch dann, wenn man die Elektrizitäts-Quelle in der Berührung der beiden Vitriole suchen wollte. Es werden nun wohl ohne Zweifel beide Metalle wirklich negativ, für die Prüfung der Ohm'schen Theorie durch den beabsichtigten Versuch aber ist es vollkommen gleichgültig, welche der obigen Hypothesen man annimmt, wie die graphische Darstellung Fig. 4. zeigen mag.

ab stelle den Schließungsbogen vor, *cd* die Lösung des Kupfervitriols, *de* die des Zinkvitriols, alles in reducirten Längen. Die Kupfertafel *bc* und die Zinktafel *ef* hätten danach als Punkte erscheinen müssen; wenn sie aus andern Gründen dennoch als kleine Linien erscheinen, so ist ihnen wenigstens in den Linien *mn* und *po* kein elektrisches Gefälle zugetheilt. Das Ende *a* des Kupferdrahtes *ab* wird wieder mit *f* in Berührung und außerdem nach der Erde abgeleitet gedacht. $fo = ZK$ stellt nun die positive Erregung der Zinkplatte vor.

a. Wir nehmen zuerst an, der Einfluß *F* der Flüssigkeiten beruhe bloß auf der Berührung des Zinks durch den Zinkvitriol, was der Wahrheit vielleicht am nächsten kommen mag. Dann wird der Zinkvitriol vom Zink mit der Stärke *pq* positiv erregt, so daß $pq = F$ ist, und die Elektrizität steigt von dem Nullpunkte bei *a* in der einzigen geraden Linie *amnq* allmählig positiv an, und macht dann an den beiden Grenzen der Zinktafel die Sprünge *qp* und *of*.

b. Beide Metalle werden negativ erregt gedacht, doch natürlich so, daß die Differenz der Erregungen gleich *F* ist. Die Linie *amnrspof* bildet die Vertheilungsfigur, wobei $ps - nr = F = pq$ ist, so daß *rs* mit *nq* parallel läuft.

c. Das Kupfer sey positiv, das Zink negativ durch die Flüssigkeit erregt. Die Vertheilungsfigur ist *amnwspof*.

d. Beide Metalle positiv angenommen: *amntpopf*.

e. Endlich: Man sieht *F* bloß in der gegenseitigen Berührung der Flüssigkeiten, wobei der Kupfervitriol dann

positiv erregt angenommen werden müßte. Dann ist die Vertheilungsfigur *amyzpof* zu denken.

Bei allen diesen Annahmen laufen also die Linien, welche das Anwachsen der Elektrizität von Querschnitt zu Querschnitt in der Kette versinnlichen, parallel mit einander, und darin eben findet die Ohm'sche Theorie die Erklärung, warum mit allen so eben vorgebrachten Annahmen genau dieselbe Stromstärke verbunden seyn würde. Soviel sieht man sogleich, und darauf kam es zunächst an:

Besteht zwischen Kupfervitriol und Kupfer irgend eine elektrische Differenz, so daß also im Kupfervitriol der Kette selbst der elektrische Zustand nicht durch die Linie *nq* dargestellt wird, sondern durch eine der anderen mit *nq* parallelen Linien, so wird doch, sobald man den elektrischen Zustand in den auf einander folgenden Querschnitten dieser Flüssigkeit durch Eintauchen eines Kupferdrahtes untersucht, scheinbar die Linie *nq* als Resultat der Prüfung hervorgehn müssen, weil hier derselbe Einfluß doppelt und zwar in entgegengesetztem Sinne eintritt.

Ebenso leuchtet ein, daß vermöge des Gesetzes der Spannungsreihe der Versuch eine einzige gerade Linie *am* ergeben werde, auch wenn ein Theil des Schließungsbogens aus einem anderen Metalle bestände, vorausgesetzt, daß die Verbindung zwischen dem Schließungsbogen und dem Condensator durch ein Metall bewerkstelligt wird. Wäre in Fig. 4 der Theil *ab* aus einem positiveren Metalle als Kupfer construirt, z. B. aus Messing, so würde die Vertheilungsfigur in der Linie *abγδmn* u. s. w. hervortreten; der Condensator jedoch zeigt bloß die Linie *am*.

3.

Nachdem nun der Berechnung der Versuche kein Hinderniß mehr im Wege steht, können dieselben selbst vorgelegt werden.

a. Die Triebkraft *a* der Kette ist oben schon gefunden, wo für *JK* die Zahl 4,17 und für $2Zk + F$ die Zahl 12,96 angegeben ist. Danach ist die Triebkraft der Kette $12,96 - 4,17$ oder 8,79.

b.

b. Das Zickzack war aus sehr feinem Messingdraht konstruirt, wie er im Handel No. 12 vorkommt, und hatte in Ganzen eine Länge von 172,77 par. Zoll. Sein gesammter Widerstand betrug so viel wie der von 474 Zoll des auf einem Rheochord befindlichen Neusilberdrahtes. Da die einzelnen Windungen genau gleiche Länge hatten, war so ihr Widerstand gegeben.

c. Nachdem die Kette zwei Stunden lang geschlossen bestanden hatte, wurde sie durch Neigung des Rahmens geöffnet und nun der Widerstand der Kette selbst (der gesammten Flüssigkeiten) durch Hülfe eines Galvanometers und des Rheochords nach Wheatstone's Methode ¹⁾ bestimmt und gleich 643,5 Zoll des Messdrahtes befunden.

d. Nach der Horsford'schen Methode ²⁾ wurde bei offener Kette der Widerstand von 1 Zoll der Lösung des Kupfervitriols gleich 67,5 Zoll des Messdrahtes bestimmt. Da nun die beiden Metallplatten 9 Zoll von einander abstanden und die ersten 8 Zoll durch den Kupfervitriol allein gebildet wurden, so bleibt für den neunten, aus beiden Vitriolen zusammengesetzten Zoll noch ein Widerstand von 103,5 Zoll an sich nichts unwahrscheinliches enthält.

e. Es wurde nun bei geschlossener Kette zur Prüfung der elektroskopischen Kraft einzelner Punkte geschritten, während das Quecksilbernäpfchen *d* abgeleitet blieb. Folgende Punkte wurden successiv mit dem Condensator verbunden und für jeden die Torsion *T* des Elektrometers bestimmt.

α. Der zweite untere Winkel des Zickzacks $T = 25,2$.

β. Der vierte untere Winkel des Zickzacks $T = 36,2$.

γ. Der sechste untere Winkel des Zickzacks $T = 47,1$.

δ. Das Quecksilbernäpfchen *c* der Kupfertaf. $T = 62$.

ε. Die Lösung des Kupfervitriols 2,02 Zoll von der Kupferplatte $T = 84,7$.

ζ. Die Lösung des Kupfervitriols 4,02 Zoll von der Kupferplatte $T = 103,3$.

1) Diese Annalen Bd. 62, S. 526.

2) Ebend. Bd. 70, p. 238.

Poggendorff's *Annal. Bd. LXXVIII.*

η. Die Lösung des Kupfervitriols 6 Zoll von der Kupferplatte $T = 123,3$.

θ. Die Lösung des Kupfervitriols 8 Zoll von der Kupferplatte $T = 147,2$.

Aus diesen Werthen von T ist die Quadratwurzel zu ziehen und dann von allen diesen Wurzeln, weil der Condensator seiner Natur nach die Elektrizität immer um λ zu groß angegeben hat, die Zahl 4,17 zu subtrahiren. Die so entstehenden Zahlen finden sich in der Tabelle, zwar in der Spalte, welche mit „ α beobachtet“ überschrieben ist, während in der Spalte „ α berechnet“ die Werte enthalten sind, welche sich aus der Formel $\frac{\lambda}{l} \alpha = u$ und Hinzuziehung der in den Versuchen a, b, c und d gewonnenen Resultate ergeben.

	λ	α berechnet.	α beobachtet.
α	118,5	0,93	0,85
β	237	1,86	1,85
γ	355,5	2,80	2,69
δ	474	3,73	3,70
ϵ	610,3	4,80	5,03
ζ	745,3	5,86	5,99
η	879	6,91	6,93
θ	1014	7,98	7,96

Beim Anblicke dieser Zahlen muß wohl jeder Zweifel an der Richtigkeit der Formel verschwinden, gesetzt auch es fehlte noch an der äußersten Genauigkeit in der Uebereinstimmung. Diese ist immerhin bedeutend, wenn man bedenkt, daß jedesmal nur eine einzige Messung mit dem Elektrometer gemacht ist. Würde man eine sich absolut gleichbleibende Kette construiren können, so daß es nicht darauf ankäme, möglichst rasch die Versuchsreihe zu beenden, würde man also jedes einzelne α aus einem Mittel mehrerer Beobachtungen entnehmen können, und würde die Uebereinstimmung bei weitem größer werden, denn der Condensator, viel weniger das Elektrometer, ist mehr oder weniger schwankend in seinen Angaben. Ganz gleich bleibt sich aber eine Kette während des Zeitraums

iniger Stunden weder in ihrer Triebkraft noch in ihrer Länge, so daß es zweckmäßig erscheint, diese Elemente nicht bloß im Anfange, sondern auch am Ende der Versuchsreihe zu bestimmen und beide Resultate bei der Rechnung zu benutzen. Dies ist bei dem berechneten u in der Tabelle nicht geschehen, der Versuch aber wurde allerdings zu diesem Zwecke eingerichtet und die Zeit jeder einzelnen Messung notirt. Unter der Voraussetzung, daß die in der Kette vorgegangenen kleinen Veränderungen mit der Zeit gleichförmig entstanden seyen, wurde die Rechnung wiederholt. Dadurch stellen sich die Zahlen ein wenig günstiger, doch erreicht die anzubringende Correction nur einige Einheiten in der zweiten Decimalstelle, so daß die Abweichungen offenbar noch einen anderen Grund haben. Obschon ich diesen theils mit Gewißheit, theils mit Wahrscheinlichkeit anzugeben vermag, scheint es doch, daß er unabhängig von der Ohm'schen Theorie ist, nicht der Mühe werth, weitere Worte über die Sache zu verlieren.

1. Der zur Prüfung der Flüssigkeit eingetauchte Kupferdraht wurde auch in die Lösung des Zinkvitriols innerhalb des Thonbechers getaucht. Hier aber war kein bestimmtes Resultat zu erzielen. Die Elektrizität nahm hier, während der Draht nicht verrückt wurde, in rasch auf einander folgenden Versuchen erst bedeutend ab und stieg dann bis fast zu der Stärke 7,96, wie sie sich vor dem Thonbecher im Kupfervitriol gezeigt hatte, ein Beweis, daß der eintauchende Draht Veränderungen seiner Oberfläche erleiden mußte.

Es mag nun zuletzt noch verstattet seyn, mit einigen wenigen Worten das Feld der Kritik zu betreten.

Ohm's Theorie der Kette läßt sich ihren Grundzügen nach folgendermaßen wiedergeben:

Thatsache ist die Erscheinung von Spannungselektricität durch den Contact verschiedenartiger Metalle. Denkt man durch einen außerhalb der Spannungsreihe liegenden Leiter die sich berührenden Metalle verbunden, so werden

die entgegengesetzten Elektricitäten nach beiden Seiten in dem gebildeten Ringe abfließen. Zeigt nun die Erfahrung, daß dennoch dieselbe Spannung an der Berührungsstelle bestehen bleibt, daß also ein beständiges Abfließen nach den Seiten hin gedacht werden muß, und findet trotzdem dessen nirgends in dem Ringe eine wachsende Anhäufung von Elektricität, so kann dieser Zustand nur durch seine Erklärung finden, daß jeder Querschnitt nach jeder Seite ebenso viel Elektricität abgibt, als er in derselben Zeit von der anderen her bekommt. Verbindet man damit die Hypothese, daß die Größe des Ueberganges der Elektricität zwischen zwei benachbarten Querschnitten der Unterschiede ihrer Spannungen proportional sey und berücksichtigt man die Erfahrung der verschiedenen Leitungsfähigkeit verschiedenartiger Materie, so ergibt sich von selbst die Vertheilung der elektroskopischen Elektricität durch die Länge der Kette, wie auch dieselbe gestaltet sey.

Aus dieser Vertheilung ist aber das Stromgesetz abzuleiten, wie am einfachsten Falle gezeigt werden mag ¹⁾).

Man denke sich zu dem Ende die Flüssigkeit in prismatischer Gestalt, und den Schließungsbogen aus so dünnem Drahte bestehend, daß eine Längeneinheit von ihr denselben Widerstand bietet wie dieselbe Längeneinheit der Flüssigkeit. Nun vertheilt sich die elektrische Differenz E der beiden Metalle, welche als die einzige Elektricitätsquelle in der Kette angenommen werden mag, genau gleichförmig durch die ganze Länge derselben, so daß zwei Querschnitte, welche um die Längeneinheit von einander abstehen, genau dieselbe Differenz der elektroskopischen Spannung besitzen. Bestände die wirkliche Länge der Kette aus m Längeneinheiten, so würde die letztgenannte Differenz der um die Längeneinheit von einander entfernten Querschnitte gleich $\frac{E}{m}$ seyn. Je größer also die Länge der Kette wäre, das heißt, je länger man sich die Kette dächte

1) Hr. Ohm muß verzeihen, daß hier ein einzelner Fall hervorgehoben wird, während seine allgemeine Deduction bekannt ist.

lesto geringer würde die Differenz $\frac{E}{m}$ in der Spannung dieser Querschnitte. Von ihr aber hat man die GröÙe des Ueberganges der Elektrizität in der Zeiteinheit, nämlich die Stromstärke, abhängig gedacht, und ist also vollkommen berechtigt, dieselbe $\frac{E}{m}$ proportional zu setzen.

Man sieht, das ganze Gebäude ist auf die Annahme gebaut, daß der elektrische Strom in einer wirklichen Fortbewegung der Elektrizität von Querschnitt zu Querschnitt der Kette bestehe; es steht und fällt mit dieser Annahme. Mag aber auch an der Richtigkeit dieser gezweifelt werden, ein inniger Zusammenhang zwischen dem Strome und der Vertheilung der elektroskopischen Elektrizität durch die ganze Ausdehnung der Kette ist schon deswegen vorhanden, weil beide in gleicher Weise von den reducirten Längen abhängig sind, und dieser Zusammenhang, welcher auf Thatsachen beruht, bleibt bestehen, auch wenn man das Wesen des Stromes nicht mehr in der wirklichen Fortbewegung der Elektrizität erblickt. Was man aber auch an die Stelle dieser allerdings etwas materiellen Hypothese setzen mag, was für ein Agens es seyn soll, durch welches die Magnetnadel abgelenkt, ein Draht bis zur Lichterscheinung erhitzt, die mächtigste chemische Verwandtschaft überwunden wird, immer wird man genöthigt seyn, die Spannungserscheinungen der Kette zugleich mit zu erklären, wenn man mehr leisten will als die Ohm'sche Theorie gethan hat, und in sofern liegt diese bis jetzt unbedingt der Wahrheit am nächsten.

Rinteln im April 1849.

II. Eine Methode, galvanische Ströme nach absolutem Maafse zu messen; von Prof. Dr. v. Feilitzsch in Greifswald.

Im Folgenden erlaube ich mir eine Methode, zur Messung galvanischer Ströme, vorzulegen, die vielleicht manchem

erwünscht seyn dürfte, dem, ähnlich mir, die Benutzung einer Sinus- oder Tangentenbussole nicht zu Gebote steht, und der dennoch Vergleichen galvanischer Ströme anstellen möchte. Da die Methode darin besteht, den durch den Galvanismus in einer Drahtscheibe erzeugten Magnetismus mit dem eines Stahlmagneten zu vergleichen, und da wir durch Gaußs in den Stand gesetzt sind, den Magnetismus eines Stahlmagneten nach absolutem Maasse zu bestimmen, so kann diese Methode zugleich dazu dienen, die Stärke eines galvanischen Stromes in absolutem Maasse zu geben.

Die Vorrichtungen deren ich mich bediente sind folgende:

Ein *Maafsstab von Pappe* hat in der Mitte den Nullpunkt, und ist nach beiden Seiten in der Länge von 80 oder mehr Centimetern, in Centimeter getheilt. Derselbe ist durch Holzklammern auf einem Tische befestigt und wird mit demselben genau senkrecht auf den magnetischen Meridian gestellt.

Ueber dem Nullpunkt des Maafsstabes steht eine *Scheibe*, welche durch drei Schraubenfüsse horizontal gestellt werden kann, auf dieser befindet sich ein in ganze Grade getheilter Kreis von möglichst grossem Halbmesser (von 29 Millimeter), über welchen unter einer Glasglocke an einem Kokonfaden eine *Magnetnadel* von später zu bestimmender Länge horizontal schwebt. Fig. 6. Taf. I.

Um die Mitte der Kreistheilung genau auf dem Nullpunkt des Maafsstabes zu bringen, befinden sich an den Enden der nach Ost und West zeigenden Halbmesser der Theilung kleine Pendel, mit denen die Einstellung leicht bewerkstelligt werden kann. Oder es wird ein beliebiger Magnet auf irgend einen Theilstrich gelegt und auf der andern Seite der Scheibe der sogleich zu beschreibende Stabmagnet so lange verschoben, bis die über der Scheibe schwebende Magnetnadel wieder auf den Nullpunkt der Kreistheilung einspielt. Werden die beiden Magnete alsdann so umgelegt, das ein jeder auf dem entsprechenden

Theilstrich des Maafsstabes auf der seiner früheren Stellung entgegengesetzten Seite der Magnetnadel zu liegen kommt, und spielt dann die Nadel noch auf dem Nullpunkt der Kreisheilung ein, so steht sie senkrecht über dem mittleren Theilstriche des Maafsstabes.

Um die Abweichungen der Magnetnadel bemerklicher zu machen, liegt dieselbe in der Mitte eines vorn und hinten zugeschnitzten Papierschiffchens, dessen Spitzen auf der Kreiseintheilung spielen und durch rothe Färbung sowohl gegen die schwarzen Linien der Theilung als auch gegen den umgebenden weissen Grund abstechen.

Zur Vermeidung der Parallaxe muß sich entweder das beobachtende Auge in einem nahen fest aufgestellten Spiegel an derselben Stelle sehen, oder es wird seine Stellung durch eine Oeffnung in einem auf dem Tisch befestigten Schirme gesichert. — Zur Vermeidung der Excentricität wird die Nadel vor jeder Beobachtungsreihe durch einen anderen Magneten abgelenkt, und so lange mit der Glasglocke verschoben, bis beide Spitzen des Schiffs gleichweit von den Nord- und Südpunkten abweichen. Die Schwankungen der Nadel nach Ablenkungen werden dadurch vermindert, dafs mit dem Schiffchen ausgedehnte papierne Flügel verbunden sind, welche den Widerstand der Luft vergrößern. — Das Schiffchen mit der Nadel kann gehoben oder gesenkt werden durch einen über der Glasglocke befindlichen Wirbel, um welchen der Kokonfaden geschlungen ist.

Zu beiden Seiten dieser Nadel, nach Ost und West, befinden sich *die elektrische Spiralen* und der zur Vergleichung dienende *Stabmagnet*.

Auf einer *hohlen Papp-* oder besser Holzrolle, um das Abgleiten des Drahtes zu vermeiden, mit Seitenwänden versehen, ist überspinnener Kupferdraht von $1\frac{3}{4}$ Millimeter Durchmesser in mehren Lagen aufgewunden, dessen Enden mit dem Rheometer in Verbindung gesetzt werden. Die Rolle hat etwa 1) eine Länge von 10 Centimetern und ei-

1) Genauere Angaben der Länge der benutzten Rollen werden unten erfolgen.

nen äußeren Durchmesser von 4,2 Centimetern. Die Seitenwände haben eine solche Höhe, daß die Axe der Rolle stets in der Höhe der Magnetnadel liegt. An der unteren Seite der Rolle zwischen den Wänden ist eine in Millimeter eingetheilte Scale befindlich, um die Einstellung der Spirale auf dem Maafsstabe zu erleichtern. Fig. 7. Taf. I.

Der *Stabmagnet* ist nach der Angabe von Weber ¹⁾ gearbeitet, genau parallelepipedisch, 100 Millimeter lang und 17 Millimeter breit und hoch. Sein Gewicht ist 232 Grm. Er ist nach der Methode von Elias ²⁾ magnetisirt. Am 22. Januar 1849 brauchte er zu einer Schwingung 11,30 Sekunden, wenn er an einen Seidenfaden horizontal aufgehängt wurde. Eine bewegliche Magnetnadel lenkte er aus einer Entfernung

von 450^{mm} um $8^{\circ},05 = v_0$

von 350^{mm} um $16^{\circ},45 = v_1$

von 300^{mm} um $25^{\circ},9 = v_2$

ab. Aus diesen Daten fand sich die Quantität des Magnetismus im Stabe

$$J = 10588000, \quad (I.)$$

wo die Sekunde als Zeiteinheit und das Millimeter als Längeneinheit, sowie als Einheit des Fallraumes gesetzt ist ³⁾.

Bei der Beobachtung liegt der Stabmagnet auf einem *Schlitten*, mit welchem und auf welchem er sich nach der Richtung der Hauptscale verschieben läßt. Der Schlitten ist so hoch, daß die Axe des Stabmagneten die Axe der elektrischen Spirale und der Drehungspunkt der Magnetnadel in gleichem Abstand von dem Maafsstabe sich befinden. Auf der der Magnetnadel zugekehrten Seite dieses Schlittens, unmittelbar unter der aufliegenden Fläche des Magnetstabes, ist eine Theilung von etwa 2 Centimeter in

1) Vgl. Gauss und Weber, Resultate aus den magnetischen Beobachtungen 1836. S. 66.

2) Pogg. Ann. d. Phys. und Chem. Bd. 62, S. 249.

3) Aus diesen Versuchen ergab sich die horizontale Intensität des Erdmagnetismus für Greifswald am 22. Januar 1849 zu Mittag:

$$T = 1,7478.$$

Millimeter nach Art der verjüngenden Maafsstäbe angebracht, deren Nullpunkt sich an dem der Magnetnadel zugekehrten Ende des Schlittens befindet. Bei der Beobachtung wird nun der Magnetstab so lange mit dem Schlitten auf dem Maafsstabe verschoben, bis die durch die elektrische Spirale abgelenkte Magnetnadel wieder ungefähr auf den Nullpunkt der Kreistheilung einspielt, und die der Nadel zugewandte Seite des Schlittens auf einem Centimetertheilstrich des Maafsstabes sich befindet. Hierauf wird der Stabmagnet auf dem verjüngenden Maafsstabe des Schlittens so lange verschoben, bis die Nadel genau auf den Nullpunkt einspielt. Die Entfernung des Anfangspunktes des Stabmagneten vom Mittelpunkt der Nadel läfst sich so in Centimetern, Millimetern und Zehnteln von Millimetern ablesen. Fig. 8. Taf. I.

Und so kann man durch Vergleichung der Entfernungen einerseits der elektrischen Spirale und anderseits des Magnetstabes von der beweglichen Nadel, wenn beide nach entgegengesetzter Richtung auf dieselbe wirkend, sie wieder in die Gleichgewichtslage gebracht haben, erkennen wie grofs die Intensität des von der Spirale ausgehenden Magnetismus ist, und kann so die Stromstärke in absolutem Maafse bestimmen.

Die Berechnung mag nach folgenden Motiven angestellt werden.

Sey ns Fig. 9. Taf. I. die Axe der beweglichen Magnetnadel in der Gleichgewichtslage, c die Mitte zwischen den Polen, und b der Abstand eines Poles von c . Sey in gleicher Weise NS die senkrecht auf der Axe der Nadel stehende Axe des ablenkenden Magnetstabes, C die Mitte zwischen den Polen desselben und α der Abstand eines Poles desselben von C . Seyen ferner N und n , S und s die Mittelpunkte der Action resp. des Stabes und der Nadel, also die Nord- und Südpole derselben, so wirkt N in der Richtung der Linie Nn abstoßend auf n und drehend auf die Nadel, und wirkt in der Richtung der Linie sN anziehend auf s und drehend auf die Nadel. Werde diese

Richtung mit $+$ bezeichnet, so ist die ähnliche aber entgegengesetzte Wirkungsweise von S auf s und n mit $-$ zu bezeichnen. Sei $+J$ und $-J$ das Maafs der Intensität der Wirkung von N und S und ebenso $+i$ und $-i$ das der Wirkung von n und s ; werde ferner die Entfernung Cc mit ρ bezeichnet und ist die magnetische Action von N auf n und s und von S auf s und n in geradem Verhältnifs der Intensitäten und in umgekehrt quadratischem der Abstände, so ist das Maafs der magnetischen Action von N auf n

$$M_1 = + \frac{Ji}{(\rho - \alpha)^2 + b^2}$$

das von N auf S

$$M_2 = - \frac{Ji}{(\rho - \alpha)^2 + b^2}$$

das von S auf s

$$M_3 = + \frac{Ji}{(\rho + \alpha)^2 + b^2}$$

das von S auf n

$$M_4 = - \frac{Ji}{(\rho + \alpha)^2 + b^2}$$

Durch Zerlegung dieser Kräfte auf die Richtung der Tangenten an n und s des von n und s zu beschreibenden Kreises ergeben sich die resp. Drehungsmomente

$$M'_1 = M_1 \frac{\rho - \alpha}{\sqrt{(\rho - \alpha)^2 + b^2}} = Ji \frac{\rho - \alpha}{[(\rho - \alpha)^2 + b^2]^{\frac{3}{2}}}$$

$$M'_2 = \quad \quad \quad = - Ji \frac{\rho - \alpha}{[(\rho - \alpha)^2 + b^2]^{\frac{3}{2}}}$$

$$M'_3 = \quad \quad \quad = + Ji \frac{\rho + \alpha}{[(\rho + \alpha)^2 + b^2]^{\frac{3}{2}}}$$

$$M'_4 = \quad \quad \quad = - Ji \frac{\rho + \alpha}{[(\rho + \alpha)^2 + b^2]^{\frac{3}{2}}} \quad ^1)$$

1) Die anderen Componenten der Kräfte M_1, M_2, M_3, M_4 , und zwar

$$M''_1 = + Ji \frac{b}{[(\rho - \alpha)^2 + b^2]^{\frac{3}{2}}}$$

$$M''_2 = + Ji \frac{b}{[(\rho - \alpha)^2 + b^2]^{\frac{3}{2}}}$$

Die Nadel wird hiernach zur Drehung veranlaßt durch eine Kraft

$$M = M'_1 - M'_2 - M'_3 + M'_4 \\ = 2Ji \left[\frac{\rho - \alpha}{[(\rho - \alpha)^2 + b^2]^{\frac{3}{2}}} - \frac{\rho + \alpha}{[(\rho + \alpha)^2 + b^2]^{\frac{3}{2}}} \right]$$

Wirkt auf dieselbe Nadel von der entgegengesetzten Seite ein anderer Magnet mit der Intensität eines jeden Poles = J , aus einer Entfernung seiner Mitte von der Nadel = r , und stehen seine Pole um eine Gröfse a von der Mitte ab, so ergibt sich in gleicher Weise wie so eben ein Drehungsmoment

$$(M) = 2Ji \left[\frac{r - a}{[(r - a)^2 + b^2]^{\frac{3}{2}}} - \frac{r + a}{[(r + a)^2 + b^2]^{\frac{3}{2}}} \right]$$

Für den Fall, daß durch gleiche und entgegengesetzte Wirkung die Nadel wieder in der Gleichgewichtslage sich befindet, ist

$$(M) = M$$

oder

$$J' \left[\frac{r - a}{[(r - a)^2 + b^2]^{\frac{3}{2}}} - \frac{r + a}{[(r + a)^2 + b^2]^{\frac{3}{2}}} \right] \\ = J \left[\frac{\rho - \alpha}{[(\rho - \alpha)^2 + b^2]^{\frac{3}{2}}} - \frac{\rho + \alpha}{[(\rho + \alpha)^2 + b^2]^{\frac{3}{2}}} \right] \quad (\text{II.})$$

wo J die zu findende Quantität des Magnetismus in der elektrischen Spirale

r der Abstand ihrer Mitte von der Mitte der Nadel

$$M''_3 = - Ji \frac{b}{[(\rho + \alpha)^2 + b^2]^{\frac{3}{2}}}$$

$$M''_4 = - Ji \frac{b}{[(\rho - \alpha)^2 + b^2]^{\frac{3}{2}}}$$

machen sich in ihrer Gesamtwirkung

$$M = M''_1 + M''_2 + M''_3 + M''_4 = \frac{2Ji \cdot b}{[(\rho - \alpha)^2 + b^2]^{\frac{3}{2}}} - \frac{2Ji \cdot b}{[(\rho + \alpha)^2 + b^2]^{\frac{3}{2}}}$$

dadurch bemerklich, daß besonders bei größerer Annäherung von Spirale und Stabmagnet die Nadel in der Richtung nach n (oder s) verschoben wird. —

a der Abstand eines Poles von der Mitte der Spirale

b der Abstand eines Poles von der Mitte der Nadel

$J = 10588000$, die Quantität des Magnetismus in dem Magnetstabe: Gleichung I.

ρ der Abstand der Mitte zwischen den Polen des Stabes von der Mitte der Nadel

d der Abstand eines Poles des Stabes von der Mitte desselben.

Diese Formel II. läßt sich in zweierlei Weise vereinfachen:

1. Durch Anwendung des binomischen Lehrsatzes geben die in der Klammer befindlichen Theile jeder Seite der Formel II. einen Ausdruck von der Form

$$\left[\frac{4\alpha}{\rho^3} + \frac{8\alpha^3 - 12\alpha b^2}{\rho^5} + \dots \right] \quad (\text{III.})$$

Für ein sehr großes r würden alle Glieder gegen $\frac{4\alpha}{\rho^3}$ vernachlässigt werden können. Stets würden jedoch für

$$8\alpha^3 = 12\alpha b^2 \quad \text{oder} \\ b = 0,8\alpha$$

das zweite Glied verschwinden, und es würden noch folgende Correctionen anzubringen seyn

$$\begin{aligned} & - 9,0009 \frac{\alpha^5}{\rho^7} \\ & - 6,519 \frac{\alpha^7}{\rho^9} \\ & + 27,08 \frac{\alpha^9}{\rho^{11}} \end{aligned} \quad (\text{IV.})$$

u. s. w.

Abgesehen davon, daß hierdurch die Rechnung nicht sehr erleichtert wird, so verlangt diese Abkürzung noch besondere Correctionen für a , wenn, was im allgemeinen der Fall seyn wird, a nicht $= \alpha$ ist. Ferner werden auch diese Correctionen für ein verhältnißmäßig kleines ρ oder r unzureichend.

2. Es ist deshalb die zweite Abkürzung vorzuziehen, welche darin besteht, b so klein zu machen, d. h. in das Papierschiffchen eine so kurze Nadel zu legen, daß eine

Vernachlässigung der Gröfse b kleinere Fehler in der Berechnung giebt, als die Beobachtungsfehler betragen. Durch Vernachlässigung von b geht die Formel II. über in

$$J' \left[\frac{1}{(r-a)^2} - \frac{1}{(r+a)^2} \right] = J \left[\frac{1}{(\rho-a)^2} - \frac{1}{(\rho+a)^2} \right] \quad (\text{V.})$$

Die größte Schwierigkeit, welche sich bei Berechnung der beobachteten Werthe von r und ρ darbot, war die Bestimmung der Lage der Pole. Für die elektrische Spirale liegen die Pole nach der Ampère'schen Theorie an den Enden derselben, oder vielmehr in der Mitte der Ebene, welche durch die Axe des Drahtes der letzten Spiralwindungen gelegt werden kann. — Mag nun aber der gebrauchte Magnetstab nicht bis zur Sättigung magnetisirt seyn, oder mögen andere Unregelmäßigkeiten obwalten, genug die Pole liegen sicher nicht in den letzten Querschnitten desselben. Nach mehren Tatonnements und nach dem ich für den hier gebrauchten geringen Dimensionen auch in den Untersuchungen von Hrn. v. Rees ¹⁾ keinen Anhalt finden konnte, suchte ich dieselben durch folgende Proben zu bestimmen: Einmal stellte ich eine um ihren Schwerpunkt blofs in einer Ebene bewegliche Magnetnadel von 140 Millimeter Länge so auf, dafs sie dem Einflufs des Erdmagnetismus entzogen war. Wurde ihr der Stabmagnet in der Ebene ihrer Bewegung angenähert, so zeigte ihre Axe den Nordpol des Stabes in einer Ebene, die von dem Ende 4 Millim. entfernt ist, und den Südpol in einer Ebene, welche von der andern Endhälfte 5 Millim. absteht. Ferner hing ich an möglichst dünne Seidenfäden zwei kleine nur 3 Millim. lange aus Nähnadelpartikeln gefertigte Magnetchen so auf, dafs die Fäden in den Oehren der Nadeln befestigt waren, und diese somit, dem Einflufs des Erdmagnetismus ebenfalls entzogen, senkrecht herabhingen. Die entgegengesetzten Pole beider Stäbchen waren nach unten gekehrt. Hinter denselben war eine Tafel mit senkrechten Linien bezeichnet aufgestellt. Wurde nun der Stabmagnet unter diese Nadeln gelegt, so wurden

1) Pogg. Ann. Bd. 70, S. 1 und Bd. 74, S. 213.

dieselben und mit ihnen die Fäden aus der lothrechten Linie abgelenkt. Wurden aber die Aufhängepunkte dieser Fäden so lange verschoben, bis die Fäden sich genau auf zwei senkrechten Linien der hinteren Tafel projectirten, so zeigten die Nadeln ebenfalls nach denselben Ebenen, wie die im ersten Versuch erwähnte astatisch aufgehängene Magnetnadel. Hiernach glaubte ich mich gerechtfertigt, den Nordpol des Stabes in die Mitte einer Ebene, welche 4 Millim., und den Südpol in die Mitte einer Ebene zu verlegen, welche 5 Millimeter von den resp. Endflächen abstehen.

Es sey mir schliesslich erlaubt, einige derjenigen Versuchsreihen hierher zu setzen, die angestellt wurden, um die Zuverlässigkeit der Methode zu prüfen und den Umfang der messbaren Stromstärken zu untersuchen.

Erste Reihe. Es wurde ein Platinazinkelement in der bekannten von Hrn. Poggen dorff angegebenen Form mit der Spirale verbunden.

Die Spirale bestand aus 4 Lagen und $45 + 43 + 44 + 43 = 175$ Windungen von $1\frac{1}{2}$ Millim. im Durchmesser haltenden übersponnenem Kupferdraht, aufgewunden auf eine Papprolle.

Es war der Abstand der Mitte jeder letzten Spiralwindung, von der Mitte der Spirale also $a = 50,5$ Millim.

Die halbe Länge der Magnetnadel, also b betrug 50 Millimeter.

Es war die Entfernung des Stabmagneten von der Mitte desselben also $\alpha = 45,5$ Millimeter.

Die Nordpole von Spirale und Stabmagnet waren der Nadel zugekehrt.

Beobachtet wurde r und ρ , d. i. die Entfernungen der Mitten der Spirale und des Stabmagneten von der Mitte der Nadel in Millimetern, und berechnet wurde für die verschiedenen Entfernungen dieselbe Stromstärke J' nach Formel II. relativ zur Einheit der Intensität $J = 10\ 588\ 000$ des Stabmagneten. Es ist ρ das Mittel aus 3 Versuchen¹⁾.

1) Eine Verrückung der in der Mitte der Spirale angebrachten Marke um 0,5 Millim. machte eine Addition dieses Werthes zu r nothwendig.

	$r.$	ρ	J'	Differenz.
1.	250,5	175,4	1,359	- 0,011
2.	300,5	259,0	1,371	+ 0,001
3.	400,5	346,2	1,376	+ 0,006
4.	500,5	433,2	1,365	- 0,005
5.	600,5	521,2	1,370	0,000
6.	700,5	608,5	1,369	- 0,001
7.	800,5	644,2	1,380	+ 0,010

Mittel 1,370. J .

Zweite Reihe. Die Versuche wurden ganz ähnlich der vorigen angestellt.

Die Spirale war in 4 Lagen von 46 + 44 + 43 + 43 = 176 Windungen auf eine Holzrolle gewickelt.

Es war $a = 51$ Millimeter.

Es war die halbe Länge der Magnetnadel $b = 16$ Millimeter, und bei dieser kleinen Ausdehnung ergab die Berechnung von J' nach den Formeln I. und V. nur Differenzen in der vierten Decimalstelle. Es ist sonach die Berechnung nach der Formel V. durchgeführt.

Es waren die Südpole vom Spiral- und Stabmagnet der Nadel zugekehrt.

Die Werthe von ρ sind das Mittel aus vier Beobachtungen.

	$r.$	$\rho.$	J'	Differenz.
1.	200	203,27	0,8234	- 0,0147
2.	400	406,12	0,8460	+ 0,0079
3.	600	610,35	0,8448	+ 0,0067
Mittel 0,8381. J').				
4.	300	303,72	0,8485	- 0,0034
5.	500	506,70	0,8532	+ 0,0013
6.	700	709,65	0,8541	+ 0,0022
Mittel 0,8519. J .				
7.	250	254,85	0,8253	- 0,0103
8.	500	508,90	0,8421	+ 0,0065
9.	800	816,87	0,8362	+ 0,0006
10.	900	918,35	0,8388	+ 0,0032

Mittel 0,8356. J .

- 1) Nach Ausscheidung der ersten Beobachtung für $r = 200$ würde sich ein Mittel ergeben = 0,8454 und demnach die Differenzen + 0,0006 für $r = 400$ und - 0,0006 für $r = 600$.

Diese und eine große Anzahl anderer Versuchsreihen kommen darin überein, daß die Stromstärke bis zur zweiten Decimalstelle genau bestimmt werden kann, daß aber diese Bestimmungen nur soweit zuverlässig sind, als für den hier gebrauchten Stabmagneten ρ nicht kleiner als 250 Millim. und nicht größer als 800 Millim. wird. Für Werthe von ρ , welche 800 Millim. überschreiten, können die Beobachtungsfehler aus einer großen Anzahl von Beobachtungen eliminirt werden. Es ergibt sich sonach für $r = 250$ Millim. und $\rho = 800$ Millim. ein Werth von $J' = 0,022 J = 237665$ und für $r = 800$ Millim. und $\rho = 250$ Millim. ein Werth von $J' = 41,550 J = 471695400$. Es können also mit einer Spirale und einem Magneten die Stromstärken zwischen den Grenzen 237665 und 471695400 mit hinreichender Genauigkeit gemessen werden. Durch Anwendung von mehren Spiralen, mit verschiedenen Anzahlen von Windungen, und von mehren verschieden starken Stabmagneten, lassen sich diese Grenzen beträchtlich erweitern.

Dritte Reihe. Um auch noch in anderer Weise die Genauigkeit der Methode zu prüfen, berechnete ich die elektromotorischen Kräfte und die Widerstände von einem Grove'schen Platinzinkelement mit 6 □ Zoll Platinblech und von einem Daniell'schen Kupferzinkelement von 32 □ Zoll Kupferoberfläche dadurch, daß ich für jedes Element die Stromstärke (J und J_3) ohne Einschaltung eines aufserwesentlichen Widerstandes bestimmte, dann die Stromstärken (J_1 und J_4) mit Einschaltung eines versilberten Kupferdrahtes von 92 Centimeter Länge und 0,30 Millimeter Durchmesser, und endlich die Stromstärken (J_2 und J_7) mit Einschaltung eines ähnlichen Kupferdrahtes von doppelter Länge mafs. Bei den folgenden Bestimmungen befand sich die Mitte der Spirale auf dem Theilstrich $r = 300$ Millimeter.

Bezeichne W die Widerstände in den Ketten und im Galvanometer, w_1 den Widerstand in 92 Centimeter Kupferdraht von der angegebenen Beschaffenheit und w_2 den
Wider-

derstand von 2×92 Centimeter Kupferdraht, sey E die Stromotorische Kraft und habe ρ die frühere Bedeutung, ergab Beobachtung und Berechnung die in folgender Tabelle zusammengestellten Resultate:

B. Für das Grove'sche Element.

ρ	Stromstärke.	W .	Differenz.	E .	Differenz.
308,82	$J = 0,8019$	$\frac{w_1 J_1}{J - J_1} = 242,79$	- 6,94	$JW = 200,23$	+ 0,68
342,82	$J_1 = 0,5815$	$\frac{w_2 J_2}{J - J_2} = 248,23$	- 1,50	$J_1 (W + w_2) = 198,70$	- 0,85
369,97	$J_2 = 0,4605$	$\frac{w_2 J_2 - w_1 J_1}{J_1 - J_2} = 258,16$	+ 8,43	$J_2 (W + w_2) = 199,73$	+ 0,18
		Mittel = 249,73.		Mittel 199,55.	

B. Für das Daniell'sche Element.

386,06	$J_3 = 0,4044$	$\frac{w_1 J_4}{J_3 - J_4} = 287,27$	- 4,76	$J_3 W = 155,99$	+ 0,26
422,91	$J_4 = 0,3063$	$\frac{w_2 J_5}{J_3 - J_5} = 291,16$	- 0,87	$J_4 (W + w_1) = 155,42$	- 0,31
453,45	$J_5 = 0,2478$	$\frac{w_2 J_5 - w_1 J_4}{J_4 - J_5} = 297,66$	+ 5,63	$J_5 (W + w_2) = 155,78$	+ 0,05
		Mittel = 292,03.		Mittel 155,73.	

Für die Werthe von W und E ist ein Centimeter Kupferdraht von 0,3 Millimeter Durchmesser als Einheit genommen. — Aus den drei Werthen von E resp. des Grove'schen und des Daniell'schen Elementes ergibt sich die elektromotorische Kraft von Platinzink, wenn man die von Kupferzink = 1 setzt:

$$\left. \begin{array}{l} = 1,696 \\ = 1,689 \\ = 1,693 \end{array} \right\} \text{im Mittel} = 1,693.$$

Die in dieser Reihe ausgesprochene Genauigkeit läßt, namentlich in Betracht so unvollkommener Apparate, wenig zu wünschen übrig und dürfte vielleicht einen Vergleich mit andern Messungen aushalten. Vergleichen wir sie etwa mit den von Hrn. Poggendorff nach zwei Methoden geschehenen Messungen derselben Constanten, wie sie in Poggendorff's Annalen Bd. 54, S. 179 ff. niedergelegt sind, so finden wir dort ebenfalls das Verhältniß der elektromotorischen Kräfte beider Elemente um Hundertel schwanken. — Die Widerstandseinheit ist dort ein Zoll Neusilberdraht von $\frac{1}{8}$ Linie Durchmesser, und die Beobachtungen variiren gegen die Berechnung um Zehntel dieser Einheit. Reduciren wir die größte der oben gefundenen Differenzen im Betrag von 8 Centimeter unseres Kupferdrahtes auf diese Widerstandseinheit ¹⁾, so werden dieselben einen eben so großen Widerstand in die Kette bringen, als 0,29 Zoll Neusilberdraht von $\frac{1}{8}$ Linie Durchmesser. Es werden hiernach auch obige Differenzen den Anforderungen an Genauigkeit genügen.

Wenn nun die hier angegebene Methode, elektrische Ströme zu messen, auf einige Genauigkeit Anspruch machen darf, so hat sie nichtsdestoweniger die großen Nachteile der Unbequemlichkeit in der Beobachtung, der Weit-

1) Bei dieser Berechnung war der Widerstand des Neusilbers zu dem des Kupfers wie 6,4 : 100 angenommen. Das große specifische Gewicht des angewandten Kupferdrahtes = 9,15 läßt eine starke Versilberung vermuthen, und würde noch ein größeres Verhältniß der Widerstände rechtfertigen.

läufigkeit der Rechnungen und des geringen Umfanges der meßbaren Stromstärken.

Diesen Nachtheilen ist aber unter Bedingungen der Vortheil der großen Einfachheit und Billigkeit entgegenzustellen, und dann ist diese Vorrichtung zugleich eingerichtet zur Messung des durch verschiedene Stromstärken in Eisenkernen inducirten Magnetismus, welche Messungen mir auch Veranlassung gaben, zur Construction der beschriebenen Vorrichtungen.

Greifswald d. 10. Juli 1849.

III. *Ueber die galvanische Polarisation von Platinelektroden durch Sauerstoff und Wasserstoff; von W. Beetz.*

(Der physikalischen Gesellschaft zu Berlin mitgetheilt am 6. Juli 1849.)

Man betrachtet, besonders nach dem Vorgange von Pogendorff und von Lenz und Saveljev die galvanische Polarisation zweier Elektroden als die algebraische Summe der beiden einzelnen, an jeder Elektrode hervorgebrachten Ladungen. In dem am häufigsten betrachteten Falle der Polarisation zweier Platinelektroden in verdünnter Schwefelsäure ist demnach die Gesamtstärke der Ladung gleich der Polarisation einer Platinplatte durch Wasserstoff *plus* der einer Platinplatte durch Sauerstoff. Ueber diese Gesamtstärke sind von verschiedenen Physikern ziemlich übereinstimmende Messungen geliefert. Daniell und Wheatstone¹⁾ fanden sie in zwei Versuchen = 2,857 und = 2,49, wenn die elektromotorische Kraft einer Daniell'schen Kette als Einheit genommen wurde. Der zweite Werth wurde bei den weiteren Rechnungen benutzt. Bezieht man denselben auf die elektromotorische Kraft einer Grove'schen Kette, so wird er durch die Zahl 21,39 ausgedrückt; hierbei ist die Kraft der Platinzinkkette mit Benutzung von

1) *Phil. Trans.* 1842, p. 137*. Diese Ann. B. 70, S. 389*.

Poggendorff's Messungen = $\frac{1}{5}$ von der der Kupferzinkkette gesetzt. Nach Poggendorff's ¹⁾ Versuchen ist die Polarisation im Verhältniß 42:32 größer als die Kraft der Grove'schen Kette. Auf diese Kraft als Einheit bezogen ist sie demnach = 1,31. Nach Lenz und Saveljev ²⁾ wird die Kraft der Platinzinkkette durch 4,28, die der Polarisation durch 5,46 ausgedrückt; das Verhältniß beider Größen ist = 1,28. Svanberg ³⁾ fand die elektromotorische Kraft einer Daniell'schen Kette (mit amalgamirten Zink in verdünnter Schwefelsäure) = 16,5; die der Polarisation = 35,615, also die letztere in der Einheit der Grove'schen Kette = 1,21. Robinson ⁴⁾ endlich fand die Kraft der Daniell'schen Kette = 275,1; die Polarisation = 598,9 also in der früheren Einheit = 1,22. Diese Werthe: 1,39; 1,31; 1,28; 1,21; 1,22 sind zwar noch weit entfernt, eine völlige Uebereinstimmung in den Ergebnissen der verschiedenen Messmethoden zu liefern, aber sie geben doch eine Annäherung, welche ihre Benutzung bei weiteren Versuchen gestattet.

Ganz anders ist es mit den Angaben, welche über die Polarisation des Platins durch die einzelnen Gase vorhanden sind. Hr. Poggendorff ⁵⁾ überzeugte sich durch eine Wippe, daß eine neutrale Platinplatte genau in der Mitte zwischen einer mit Sauerstoff und einer mit Wasserstoff bekleideten Platte stand, so daß also auf jede der beiden Polarisationen die Hälfte der Gesamtladung zu rechnen wäre. Die Herren Lenz und Saveljev fanden in ihrer Einheit die gesammte Polarisation = 5,46. Wiederholte Beobachtungen gaben jedoch sehr veränderliche Werthe, und zwar rasch abnehmende, offenbar weil mit einer unreinen käuflichen Schwefelsäure experimentirt wurde, die gewifs Blei auf der Kathode absetzte, ein Metall, welches sich gegen mit Wasserstoff bekleidetes Platin negativ verhält. Der angegebene Werth wurde für die Rechnungen

1) Diese Ann. Bd. 70, S. 178*.

2) Ebend. Bd. 67, S. 506. 510*.

3) Ebend. Bd. 73, S. 296. 301*.

4) *Trans. Irish. Acad.* XXI. 297*.

5) Diese Ann. Bd. 67, S. 530*.

benutzt. Um die Polarisation durch jedes der beiden Gase allein zu finden, wurden die Elektroden in concentrirte Salpetersäure getaucht; der Wasserstoff wurde hierbei absorbirt, der ganze für die Polarisation gefundene Werth, im Mittel 2,48, kam also auf Rechnung der Wirkung des Sauerstoffs. Durch Subtraction von der Gesamtladung fand sich dann für die Wirkung des Wasserstoffs $5,46 - 2,47$ (?) d. h. ungefähr $= 3,00$. Das Verhältniß der Polarisation durch Sauerstoff zu der durch Wasserstoff wäre also wie $1,48 : 3,00$.

Hr. Svanberg ¹⁾ hat nach ähnlichen Grundsätzen die beiden Ladungen gesondert bestimmt; die Polarisation durch Wasserstoff wurde dadurch vermieden, daß als negative Elektrode eine Kupferplatte in concentrirte Kupfervitriol-lösung tauchte, die Polarisation durch Sauerstoff, indem eine positive Zinkelektrode von angesäuertem Zinkvitriol umgeben wurde. So wurden zwei Bestimmungen erhalten, nämlich k (Kupfer-Platin) $+ p(O) = 23,23$

$$k \text{ (Zink-Platin)} - p(H) = 3,09$$

in der Einheit, in welcher $p(H+O) = 35,615$ war. Im folgenden werde ich mich ebenfalls dieser Einheit bedienen, da ich mehre in derselben gemachte Angaben benutzte. Um $p(H)$ und $p(O)$ zu finden, mußten die elektromotorischen Kräfte Kupfer-Platin und Zink-Platin bekannt seyn. Diese wurden genommen: aus Wheatstone's Messungen k (Zink-Platin) $= 20,60$ und aus Poggendorff's k (Kupfer-Platin) $= 11,39$. Mit Benutzung der ersten Angabe wird $p(H) = 17,51$, nach der zweiten $p(O) = 11,84$ ¹⁾. Durch Subtraction aus der Gesamtladung, welche im gegenwärtigen Versuch $= 35,59$ war, ergab sich $p(O)$ im ersten Falle $= 17,08$ im zweiten $p(H) = 23,75$. Wenn man alle diese Angaben auf Hrn. Svanberg's Einheit bezieht, so hat man: nach

Poggendorff: $p(H)$	$= 17,795$;	$p(O) = 17,795$
Lenz und Saveljev	21,20;	14,39
Svanberg	17,51;	17,08
	23,75;	11,84

1) Im Texte steht 11,34, wohl als Druckfehler.

Ich werde im Folgenden die Ursache dieser Abweichungen untersuchen und so weit es die Beobachtungen erlauben, sie auszugleichen versuchen. Der oben erwähnte, von den Hrn. Lenz und Saveljev erhaltene Werth 2,48 für die Polarisation des Platins im Sauerstoff wurde gefunden, wenn die Elektroden in gewöhnlicher käuflicher concentrirter Salpetersäure, welche eine nicht unbedeutende Beimischung von Salzsäure enthielt, standen. Wurde statt derselben ganz reine Salpetersäure angewandt, so fand sich die Gröfse der Polarisation = 2,66. Wahrscheinlich sagen die Verfasser, rührt der geringere Werth 2,48 von einem Theil sich mit dem Sauerstoff zugleich entwickelnden Chlors her, dessen Polarisation nahezu Null ist. Hiernach wäre also 2,66 als die Polarisation in Sauerstoff anzunehmen, denn der von den genannten Physikern angegebene Grund, sie hätten mit dem Werthe 2,48 weiter gerechnet, weil alle späteren Versuche mit der unreinen Säure ausgeführt wären, kann für diesen einzelnen Fall offenbar nicht maßgebend seyn. Man hat also $p(O) = 2,66$ und $p(H) = 2,80$. Selbst bei dieser Berechnung ist der Werth von $p(O)$ gewifs noch zu klein genommen, denn wenn die Säure in dem Concentrationsgrade genommen ist, in welchem sie den Wasserstoff vollständig zu absorbiren vermag, so wird an der Kathode immer salpetrichte Säure entwickelt, welche eine, wenn auch nicht bedeutende Ladung im entgegengesetzten Sinne hervorbringt. Vernachlässigt man diese ganz und nimmt das Verhältnifs 2,80 : 2,66 als das richtige an, so findet man die beiden Polarisationen in der angenommenen Einheit:

$$p(H) = 18,25, \quad p(O) = 17,34.$$

Die Herren Lenz und Saveljev haben die Werthe 2,48 und 3,00 nur als erste Näherungen benutzt, um mit denselben, oder vielmehr nur mit dem ersteren, da einzelne Beobachtungen von $p(H)$ nicht vorkommen, die elektromotorischen Kräfte der Zersetzungszelle zu finden. Indem sie dann das elektromotorische Gesetz der Spannungsreihe auf die Combinationen der Metalle mit den zugehö-

rigen Leitungsfähigkeiten ausdehnten, bestimmten sie die Kräfte aller Zersetzungszellen in Mittelwerthen, mit denen dann wiederum in die einzelnen Versuchsreihen eingegangen wurde, um eine zweite Näherung für die Polarisationswerthe zu erhalten. Hierdurch fand sich:

$$p(O) = 2,49 \text{ und } p(H) = 3,67$$

(der letztere Werth durch Subtraction gefunden). Diefs Verhältniß ist noch abweichender, als das aus der unmittelbaren Beobachtung hervorgehende. Man muß indess bedenken, daß die Zahlen durch Einführung des kleinen Werthes $p(O) = 2,48$ entstanden sind, und bei den Versuchen rohe Salpetersäure benutzt wurde. Dieselben Correctionen mit dem Werthe 2,66 vorzunehmen ist unmöglich, weil keine weiteren Versuche mit reiner Salpetersäure mitgetheilt sind.

Aus den Versuchen der Petersburger Physiker dürften daher die nahezu gleichen Zahlen 18,25 und 17,34 als die wahrscheinlichsten für die beiden einzelnen Polarisierungen abzuleiten seyn; ihre Uebereinstimmung muß als völlig genügend angesehen werden, besonders wenn man beachtet, daß in den mitgetheilten Versuchsreihen für ein und dieselbe Combination Beobachtungen vorkommen, welche um 12 Proc. ihres Werthes von einander abweichen, z. B. No. 35 und 36, die Werthe k von $Cu\ddot{S} + Zn\ddot{S} = 2,66$ und $2,38$ 1). Die Größe solcher Abweichungen wird durch die Kleinheit der Einheit verdeckt; diess vermag jedoch nicht das Vertrauen auf die Sicherheit der Beobachtungen zu vergrößern. Die Verfasser haben übrigens selbst auf die Größe der Abweichungen aufmerksam gemacht, besonders wenn Pla-

1) In No. 24 soll wohl statt $Pt\ddot{K}$ stehen: $C\ddot{K}$, und ebenso CO statt PtO , sonst wäre hier die Abweichung noch größer. Ebenso muß in No. 23 ein Irrthum vorkommen, denn $7,31 - 2,01$ ist nicht $= 5,48$, d. h. $=$ der Polarisation $p(H+O)$, und auch wenn man richtig rechnet $7,31 - 5,48 = 1,83 = K(Pt\ddot{N} + Pt\ddot{K})$ so ist die Abweichung dieses Werthes von dem No. 4 gegebenen 2,17 oder gar dem No. 22, 1,02 ganz außerordentlich. Im Original (*Bull. de St. Pétr. V. I.*) stehen dieselben Zahlen, wie in diesen Annalen.

tin- oder Graphitelektroden in verdünnter Schwefelsäure angewandt wurden. Sie glauben als Grund derselben vielleicht Ablagerungen von Schwefelsäure ansehen zu müssen; dann müßten aber wohl dieselben Unregelmäßigkeiten auch in anderen Säuren auftreten. Mir scheint der schon angeführte Grund, daß mit unreiner, bleihaltiger Säure gearbeitet wurde, näher zu liegen, denn durch Bleiablagerungen werden die Fehler bei den negativen Metallen auffällender, als bei denen, welche in der elektromotorischen Reihe dem Blei selbst nahe stehen; außerdem aber sind dieselben, wie das angeführte Beispiel $\text{Cu S} + \text{Zn S}$ zeigt, auch hier noch groß genug.

Die kleine Einheit verdeckt auch noch etwas Anderes, nämlich die eigenmächtige Veränderung der letzten Decimale in den Werthen $p(\text{H})$ und $p(\text{H}+\text{O})$. Es war gefunden $p(\text{O}) = 2,48$, und $p(\text{H}+\text{O}) = 5,46$; daraus $p(\text{H}) = 5,46 - 2,47$ (?) ungefähr $= 3,00$. In die Rechnungen wird weiter eingeführt $p(\text{H}+\text{O}) = 2,48 + 3,00 = 5,48$. Den Grund hiervon vermag ich nicht einzusehen.

Von Hrn. Svanberg's Versuchen, welche augenscheinlich mit großer Sorgfalt angestellt sind, wurde vorher schon angeführt, daß er

$$k(\text{Kupfer-Platin}) + p(\text{O}) = 23,23$$

$$k(\text{Zink-Platin}) - p(\text{H}) = 3,09$$

fand. Hierbei war Platin von verdünnter Schwefelsäure, Zink von angesäuertem Zinkvitriol, Kupfer von Kupfervitriol umgeben. Durch Subtraction der beiden Gleichungen fand er

$$p(\text{H}+\text{O}) = K(\text{Zink-Kupfer}) + 20,14.$$

Die Kraft $k(\text{Zink-Kupfer})$ wurde gemessen $= 14,45$, woraus

$$p(\text{H}+\text{O}) = 34,59.$$

Im Texte steht 35,59, das auch mit dem unmittelbar gefundenen Werth 35,615 besser übereinstimmt. Es soll also wohl die Kraft $k(\text{Zink-Kupfer}) = 15,45$ seyn, wie sie auch nachher angegeben ist. Ich werde im Folgenden die

k (Kupfer-Zink) = 15,96 setzen, wenn das Zink amalgamirt war, aber = 15,92 wenn nicht; denn diefs sind die von Hrn. Svanberg a. a. O. p. 294 mitgetheilten Werthe. Die Kraft k (Zink-Platin) hat der Verfasser aus Wheatstone's Messungen ¹⁾ genommen, nämlich k (Zn Pt) = $\frac{4}{3} k$ (Zu Cu).

Dort ist aber das Zink amalgamirt, und das Platin von Chlorplatinlösung umgeben, so dafs die Kraft Zn Pt sich etwas ändern wird. Es wird gleich gezeigt werden, dafs diese Aenderung nicht bedeutend ist. Wenn man aber auch mit Hrn. Svanberg k (Pt Zn) = $\frac{4}{3} \cdot 15,45 = 20,60$ rechnet, so dafs man p (H) = 17,51 erhält, so müfste doch p (O) = 35,59 - 17,51 = 18,08, nicht = 17,08 gefunden werden. Offenbar ist hier wieder der Werth 34,59 als der richtige angenommen worden.

k (Cu Pt) wurde aus Poggendorff's ²⁾ Versuchen = $\frac{1137}{1552}$ (Cu Zn) = 11,39 genommen. Aber dort tauchen alle Metalle in verdünnte Schwefelsäure. Wollte man die Kraft k (Cu Pt) finden, wenn Kupfer in Kupfervitriol, Platin in verdünnte Schwefelsäure taucht, so müfste man Hrn. Poggendorff's Angabe ³⁾ benutzen, wonach die Kraft einer Daniell'schen Kette ungefähr = 18 ist. Dann hat man weiter

$$\begin{aligned} k(\text{Zn Pt}) &= k(\text{Zn Cu}) + k(\text{Cu Pt}) \\ &= 15,52 + 11,37 = 26,89 \end{aligned}$$

also k (Cu Pt) = 26,89 - 18 = 8,89; oder in Hrn. Svanbergs Einheit = 7,6. Da indess die Angabe 18 nur eine durchschnittliche ist, so habe ich eine directe Bestimmung von k (Cu Pt) und k (Zn Pt) in den angewandten Flüssigkeiten vorgenommen. Ich fand nach der Compensationsmethode:

$$\begin{aligned} k(\text{Cu Pt}) &= 5,30 \text{ und} \\ k(\text{Zn Pt}) &= 20,83. \end{aligned}$$

Diese beiden Messungen stimmen nach dem Gesetze der

1) *Phil. Trans.* 1843. p. 316*.

2) *Diese Ann.* Bd. 70, S. 67*.

3) *Ebend.* S. 179*.

Spannungsreihe sehr gut miteinander; hiernach müfste nämlich:

$$k(\text{Zn Pt}) = 5,30 + 15,92 = 21,22$$

seyn. Wird mit den beiden gefundenen Werthen gerechnet, so hat man

$$p(\text{H}) = 20,83 - 3,09 = 17,74$$

$$p(\text{O}) = 23,23 - 5,30 = 17,93,$$

woraus

$$p(\text{H}+\text{O}) = 35,67,$$

während es direct = 35,615 gefunden war.

Also auch nach diesen Beobachtungen ist die Polarisation durch Wasserstoff nahezu gleich der durch Sauerstoff, eine Erscheinung, die um so auffallender ist, wenn man sich der sehr überwiegenden Wirkung des Wasserstoffs in der Gasbatterie erinnert.

IV. *Ueber den Widerstand der Luft im Schließungsbogen der elektrischen Batterie;* von K. W. Knochenhauer.

Bei meinen neuesten Versuchen mit dem Luftthermometer (s. Sitzungsberichte der Wiener Academ. 1848. Heft 4.) fand ich, wie früher schon mehrfach, Anstände bei der Bestimmung des Widerstandes von Drähten; es scheint mir daher zweckmäfsig, die hierbei obwaltenden Verhältnisse näher zu bestimmen, zumal davon ein sicheres Urtheil über die Angaben des Thermometers wesentlich abhängt. Ich gehe bei dieser Untersuchung von der bekannten und vielfach bewährten Formel

$$\vartheta = \alpha \left(\frac{q}{s}\right)^2 \frac{s}{w}$$

aus, in welcher ϑ die Angaben des Thermometers ausdrückt, α eine Constante, $\frac{q}{s}$ die Intensität der Ladung der

Batterie, s ihre wirkende Fläche und w den Widerstand des gesammten Schließungsbogens bezeichnet. — Ladet man eine Batterie, so steigt sich bekanntlich im Innern derselben die freie Elektrizität und wird als Maafs für die Intensität der Ladung ($\frac{q}{s}$) genommen; von dieser freien Elektrizität hängt wieder die Schlagweite der Batterie ab, und man kann also von der bekannten Schlagweite auf die Intensität der Ladung zurückschließen. Um dies Letztere mit Sicherheit zu thun, isolirt man die Batterie während der Ladung, verbindet einestheils die Außenseite derselben mit der Lane'schen Flasche, andertheils von den beiden isolirten Kugeln des Ausladers die eine mit der innern, die andere mit der äußern Belegung der Batterie, notirt die Zahl (q) der Selbstentladungen der Lane'schen Flasche, und erhält so durch Division mit der Anzahl (s) der in der Batterie befindlichen Flaschen, indem die wirkende Fläche einer einzelnen als Flächeneinheit angenommen wird, die Intensität der Ladung für den jedesmal gemessenen Abstand der Kugeln des Ausladers. Mein hierzu gebrauchter Funkenmesser stellt die Kugeln durch die Umdrehungen einer guten Mikrometerschraube ein (s. Ann. Bd. 67 p. 468), deren einzelne Windungen um 0,4 par. Linien auseinander stehen; die Kugeln berühren sich gegenwärtig beim siebenten Theilstrich (32 für jede Umdrehung) vor dem Nullpunkt, von dem aus die Umdrehungen gezählt werden. Wären nun die Flaschen der Batterie ganz gleich groß und durchgängig von gleicher Glasstärke, ginge nicht während der Ladung etwas Elektrizität an die Luft oder sonst verloren, was die Angaben der Lane'schen Flasche an verschiedenen Tagen etwas ändert, so würden bei jeder der Flaschenzahl nach beliebig veränderten Batterie für gleiche Abstände der Kugeln des Funkenmessers gleiche Zahlen für $\frac{q}{s}$ entstehen. Da dies aber, wie so eben erwähnt, nicht ganz der Fall ist, so habe ich, ausgehend von der bekannten Erfahrung, daß wenigstens nach einem Abstände der Kugeln von 0,5 Linien $\frac{q}{s}$ mit dem vergröß-

fserten Abstände gleichmäfsig wächst, für jede weitere Umdrehung der Mikrometerschraube einen Zuwachs in der Intensität der Batterieladung 8,00 angesetzt, und hierauf die gefundenen Zahlen reducirt. Entgeht man hierdurch der Unsicherheit in den Angaben der Lane'schen Flasche, indem ein gleichmäfsiger Verlust an Elektrizität so lange verbürgt bleibt, als q gleichmäfsig mit den Umdrehungen der Schraube wächst, so tritt freilich desto schärfer der Umstand hervor, dafs die Schlagweite bei ungleichen Flaschen nicht mehr ein vollkommen genaues Maafs für $\frac{q}{s}$ oder die Intensität der Ladung abgiebt. Denn ist eine Flasche gröfser als eine andere, so wächst in jener die freie Elektrizität langsamer als in dieser, und bei gleicher Schlagweite mufs jene eine gröfsere Erwärmung im Thermometer als diese veranlassen; ebenso wenn die eine Flasche aus stärkerem Glase bestände als eine andere, so würde in ihr die freie Elektrizität schneller anwachsen, und bei gleicher Schlagweite würde sie das Thermometer weniger erwärmen. Meine vier Flaschen sind in der That nicht ganz gleich grofs; so weit die Messung der äufseren Belegung des wenig vertieften Bodens wegen genau seyn kann, hat No. 1. 200, No. 2. $206\frac{1}{2}$, No. 3. $199\frac{1}{2}$, No. 4. 205 par. □ Zoll äufsere Belegung; ebenso dürften sie an Glasstärke nicht vollkommen übereinstimmen. Doch ich will zunächst bei der Normirung des Funkenmessers stehen bleiben. Die Batterie wurde einmal aus 4, das andere Mal aus 2 Flaschen zusammengesetzt.

Funken- messer. Umdr.	q .	Differ.	$\frac{q}{s}$ reduc. auf	q .	Differ.	$\frac{q}{s}$ reduc. auf
			1 Umdreh. = 8,0.			1 Umdreh. = 8,0.
1	7,0	4,4	13,0	3,9	2,4	13,5
2	11,4	4,3	21,1	6,3	2,4	21,5
3	15,7	4,2	29,3	8,7	2,3	29,9
4	19,9	4,3	37,0	11,0	2,3	37,9
5	24,2		45,0	13,3 ¹⁾		45,5

Mittel 4,3.

Mittel 2,35.

1) 12,0 am folgenden Tage vor Aufstellung der 4 Flaschen.

Vergleicht man hiermit die frühere Normirung desselben Funkenmessers (Ann. Bd. 67. S. 469), wo sich die Kugeln beim zweiten Theilstrich hinter dem Nullpunkt berührten, so daß für den jetzigen Stand 1,25 zu den dortigen Zahlen hinzugefügt werden muß, so setze ich nach allen drei Reihen gegenwärtig

Funkenm. Umdr.	$\frac{q}{s}$
1	13,25
2	21,25
3	29,25
4	37,25
5	45,25

Ein Punkt bleibt noch zu erörtern übrig. Wir haben bei diesen Versuchen die Batterie isolirt und die äußere Belegung mit der Lane'schen Flasche verbunden; dadurch erhebt sich die freie Spannung im Innern stofsweise, steigt schnell auf, so lange die Lane'sche Flasche sich ladet, und sinkt, wie diese sich entladet, plötzlich zurück; bei den spätern Versuchen mit dem Thermometer ist dagegen die Batterie nicht isolirt und die freie Spannung wächst gleichmäßig an. Zwar haben wir die eine Kugel des Funkenmessers mit der innern, die andere mit der äußern Belegung verbunden, und dürfen voraussetzen, daß die sicher ziemlich gleich starken positiven Elektricitäten, die von der Anwesenheit der Lane'schen Flasche entstehen, auf beiden Kugeln sich das Gegengewicht halten werden, so daß die obige Tabelle auch für den spätern Fall gilt, doch schien mir eine directe Prüfung jedenfalls wünschenswerth zu seyn. Nach einigen unsichern Proben, die Umdrehungen der Scheibe zu zählen, verband ich die eine Kugel des Funkenmessers mit der äußern Belegung, die andere mit dem Erdboden, und beobachtete, wie weit man den Abstand der Kugeln nehmen dürfe, bis die äußere freie Elektricität gerade ebenso leicht über sie hinwegschlägt, als die Entladung der Lane'schen Flasche hervorruft; bei 4 und 2 Flaschen fand ich diesen Abstand gleichmäßig auf 1 Umdrehung und 4 bis

6 Theilstrichen. Darauf wurde die eine Kugel des Funkenmessers mit dem Innern der vollkommen entladene Batterie, die andere ableitend zum Erdboden verbunden, und der Stand der Kugeln bestimmt, wo bei langsamem Drehen der Scheibe sich die Batterie wieder ebenso leicht über die Kugeln entladet, als der erste Schlag der Lane'schen Flasche erfolgt. Bei 4 Flaschen war diese Distanz auf 1 Umdr. 12 bis 14 Theilstr., bei 2 Flaschen auf 1 Umdr. 18 bis 20 Theilstr. Erwägt man nun, daß nach den obigen Angaben die Batterie von 4 Flaschen durch die Ladung bis auf ein Ueberschlagen der Lane'schen Flasche eine Schlagweite von etwas über 7, eine Batterie von 2 Flaschen eine Schlagweite von etwas über 14 Theilstriche erhält, so darf man sicher annehmen, daß die vorher gefundene Normirung des Funkenmessers auch für den Fall gilt, wo die äußere Seite der Batterie mit dem Erdboden in leitender Verbindung steht¹⁾. — Gehen wir auf die

1) Die wiederholte Normirung meines Funkenmessers giebt mir Veranlassung, hier eine den vorliegenden Gegenstand nicht unmittelbar betreffende Bemerkung anzufügen. Diese Ann. Bd. 76, S. 488 vermißt Hr. Riefs in einer von meinen frühern Abhandlungen umfassendere Versuche über die Schlagweiten der Seitenentladungen. Folgende Reihe möge das Fehlende ergänzen. Von der innern Belegung der nicht isolirten Batterie (Ableitung vermittelt eines sehr starken Drahtes bis in den am Hause vorbeifließenden Arm der Werra) gingen 2' Kupferdraht von 0,513 Linien Durchmesser bis zum Auslader, von diesem 23' desselben Kupferdrahts bis zur äußern Belegung; 4' vom Auslader stand der Funkenmesser, von dem die eine Kugel unmittelbar an den Schließungsdraht sich anschloß, die andere durch 4' Neusilberdr. eine Ableitung zur äußern Seite der Batterie hatte.

Ladung d. Batterie.	Distanz d. Kugeln d. Auslad. in par. Lin.	Schlagweite am Funkenm. Batt. 4 Fl.	Schlagweite am Funkenm. Batt. 3 Fl.	Schlagweite am Funkenm. im Mittel.	Distanz d. Kugeln d. Funkenm. in par. Lin.	Schlagweite am Funkenmesser red. auf Ladung d. Batt. = 40,0.
20,0	0,84	12,50	12,25	12,37	0,46	24,7
30,0	1,34	19,27	19,27	19,27	0,80	25,7
40,0	1,84	25,74	25,00	25,37	1,11	25,4
50,0	2,34	31,75	32,25	32,00	1,44	25,6
60,0	2,84	38,50	38,00	38,25	1,75	25,5

Mittel 25,4.

Constante α über, so hängt diese außer von den Einheiten, die für s und w angenommen werden, noch von der

Die Proportionalität der Schlagweite am Funkenmesser mit der Ladung der Batterie ist evident. Zur leichtern Beurtheilung der angenommenen Ladungen und der beobachteten Schlagweiten habe ich die Distancen der Kugeln des Ausladers und des Funkenmessers angegeben — Da Hr. Riefs nach seiner Ansicht p. 480 von der Elektrizität, die den Hauptstrom bildet, noch die Elektrizität unterscheidet, welche die innere Belegung der Batterie mehr hat, als die äußere, und an die letztere die von ihm beobachteten Erscheinungen der Seitenentladungen anreicht, so hätte er meine Beobachtungen, welche die Seitenentladungen des Hauptstroms selbst betreffen, nicht zur Vergleichung herbeiziehen sollen. Wie ich früher angegeben habe, müssen bei meinen Beobachtungen schon da, wo beide Kugeln des Funkenmessers mit dem Schließungsdraht unmittelbar in Verbindung stehen, zu den auf eine Ladung der Batterie = 40,0 reducirten Schlagweiten 2,6 hinzugefügt werden, um die richtigen Zahlenwerthe zu erhalten; diese fehlende Größe oder das vorhandene Hinderniß wächst, wenn hinter die ableitende Kugel ein besonderer Draht eingefügt wird, (die Berechnung im obigen Falle, den Auslader = 0,7 k und die Drähte in der Batterie = 0,4 gesetzt, ver-

langt eine Schlagweite am Funkenmesser = $\frac{19 \times 40,0}{26,1} = 29,1$, wofür

nur 25,4 beobachtet worden ist); bei geringen Ladungen der Batterie endlich wird das Hinderniß bedeutend genug, um den Uebergang des schwachen Funkens wohl gänzlich zu hemmen, deshalb treten die von Hrn. Riefs beobachteten Erscheinungen besonders bei schwächern Ladungen klar hervor, jedoch vorausgesetzt, daß man, wie auch Hr. Riefs gethan hat, als Hauptbedingung zu ihrem Auftreten die erste Kugel des Funkenmessers durch einen, zumal längeren, Draht mit dem Schließungsbogen in Verbindung setzt. Daß sie unter dieser Voraussetzung auch bei stärkern Ladungen nicht fehlen, davon habe ich früher vielfach Gelegenheit gehabt mich zu überzeugen; sie bleiben bei jeglicher Ladung erst aus, wenn man die erste Kugel des Funkenmessers in den Schließungsdraht der Batterie selbst einreicht, und falls man die zweite Kugel nicht in eine zweite von der innern Belegung weiter abwärts liegende Stelle des Schließungsdrahtes ebenso einfügen will, sie durch einen längeren oder kürzeren Draht von beliebigem Widerstande mit dem Erdboden in leitende Verbindung setzt; dann aber finden die Seitenentladungen des Hauptstroms ohne alle Störung statt, und werden nur bei zu geringen Ladungen der Batterie aus dem oben angegebenen Grunde zu unsicher, als daß man sie als genaue Zahlenwerthe benutzen könnte. — Bei den jetzt herrschenden verschiedenen Ansichten über die Reibungselektrizität scheint es mir besonders wünschenswerth die Beobach-

Einrichtung des Thermometers und von dem Verhältnisse ab, welches das nach der Schlagweite der Batterie bestimmte $\frac{q}{s}$ zur Intensität der Batterieladung hat. Was den erstern Punkt betrifft, so fallen, wie ich früher schon angeführt habe, die Thermometerzahlen (Scale in par. Linien getheilt) desto größer aus, je kürzer bei sonst gleicher Neigung der Röhre die in ihr enthaltene Spiritussäule ist. Ich habe deshalb bei den folgenden Versuchen diese Säule constant auf einer Länge von $8\frac{1}{2}$ Zoll erhalten, die mir hinreichend schien, um auch bei stärkeren Erwärmungen keine besonders bemerkbare Ungleichheit in dem Widerstande der sich bewegenden Flüssigkeitssäule herbeizuführen. Ferner habe ich durchweg für einen gleich sichern Schluß der Luftklappe gesorgt, weil ohne diese Vorsichtsmaßregel bei gleichen Umständen ganz verschiedene Angaben entstehen, in sofern ein Theil der ausgedehnten Luft einen, wenn auch nur geringen, Abzug durch die Klappe findet. Das Verhältniß des vom Funkenmesser entnommenen $\frac{q}{s}$ zur Intensität der Batterieladung läßt sich allein durch eine Correction nach den für s oben beigebrachten Zahlen nicht auf ein gleichmäßiges zurückführen, da die Glasstärke der einzelnen Flaschen hierbei auch einen Einfluß ausübt. Am einfachsten schien es mir, durch die Versuche selbst auf ein mittleres gleiches Verhältniß zurückzugehen. Ich nahm deshalb die Belegung der Flaschen als gleich an, machte bei demselben Schließungsdrahte mit jeder Flasche einzeln zwei Beobachtungsreihen, ebenso mit 2 Flaschen je zwei Beobachtungsreihen in den Combinationen 1. 2, 3. 4, 1. 3, 2. 4 mit drei Flaschen vier Reihen in den Combinationen 1. 2. 3, 1. 2. 4, 1. 3. 4, 2. 3. 4, endlich mit den 4 Flaschen vier Reihen; von den beiden letztern werde ich nur die Mittelwerthe, von den beiden andern dagegen auch die Werthe

tungen, die ungleiche Thatsachen darlegen, streng von einander zu sondern, und zu diesem Behufe allein habe ich diese Bemerkung hier beizufügen mir erlaubt. —

Werthe in den einzelnen Combinationen angeben, aus denen man leicht sieht, daß Flasche 3 die schwächste Ladung annimmt, ihr folgt Flasche 1, und Flasche 2 und 4 stehen einander ziemlich gleich¹⁾). Der Mittelwerth aus sämmtlichen Reihen führt auf eine mittlere Flasche, und läßt dieselbe Constante α für die Batterien aus ungleicher Flaschenzahl zu. Meine Beobachtungen lehren zunächst, daß die Thermometerangaben, abgesehen von den gewöhnlichen kleinern Schwankungen, die unter die Beobachtungsfehler gerechnet werden, in den größern und kleinern Zahlen vollkommen übereinstimmen, da dieselben bei sonst gleichen Umständen der Formel gemäß im Verhältniß von 1, 2, 3, 4 stehen, wenn die Flaschenzahl in den Batterien ebenso zunimmt. Nur bei einer Flasche und so rückwärts scheint eine sehr schwache Tendenz auf größere Zahlen hervortreten, was ich nicht auf einen Einfluß des Conductors, sondern eher auf ein etwas kleineres Residuum der Ladung zurückführen möchte. Denn in Anbetracht des Conductors habe ich den die Elektrizität in eine Flasche leitenden Arm desselben ungefähr auf denselben Abstand gestellt, in welchem die Kugeln des Funkenmessers (7 Umdrehungen) standen, und 167 Funken gezählt, bis die Entladung erfolgte. Ein so kleiner Theil von Elektrizität mehr oder weniger kann am Thermometer nicht wahrgenommen werden, wie auch ein ebenso starker einfacher Funke des Conductors dieses Instrument gar nicht afficirte. Ein anderes ist es mit dem Residuum. Nach der Art der Versuche bleibt das Residuum in der Batterie zurück, und da es, wie ich mich durch neue wiederholte Versuche überzeugt habe, bei schwächern und stärkern Ladungen in glei-

1) Bei den Untersuchungen, welche in der im Anfange citirten Abhandlung enthalten sind, war Flasche 1 durchweg in der Haupt-, Flasche 3 durchweg in der Nebenbatterie; hierdurch war die letztere schwächer und veranlaßte die in den Formeln für die Länge der Schließungsdrähte bei $\frac{n}{h} = \text{maximum}$ enthaltene Correction $\frac{H+M}{16}$, die somit bei vollkommen gleichen Flaschen fortfällt.

chem Verhältnisse steht, so würde auch dieser Umstand ohne allen Einfluss bleiben, wenn anders nicht vielleicht bei einer Batterie aus weniger Flaschen das Residuum etwas kleiner ausfallen sollte; Versuche geben mir wenigstens bei 4 Flaschen ein Residuum = $\frac{1}{10,3}$, bei 2 Flaschen ein Residuum = $\frac{1}{12,6}$ der Ladung, also eine kleine Differenz. Bei den beiden nachfolgend angeführten Abtheilungen von Versuchen bestand bei der ersten der Schließungsbogen aus dem 15,8 Zoll langen, im Thermometer enthaltenen Platindraht von 0,081 Linien Durchmesser, aus 7 Fufs Kupferdraht von 0,513 Linien Durchm. und aus dem Funkenmesser; bei der andern Abtheilung kam noch ein gleicher Platindraht von 15,8 Zoll Länge hinzu. Verlegt man also in die Batterie keinen andern Widerstand, als den die Metalltheile herbeiführen (die dahin zielende Annahme in der citirten Abhandlung läßt sich auf andere Weise beseitigen), so wird man, den Gesamtwiderstand der aus Metall bestehenden Leitung in der ersten Abtheilung = 1 gesetzt, nach frühern Bestimmungen auf den Platindraht 0,90, auf die übrigen Theile 0,10 rechnen können, demnach in der zweiten Abtheilung für die ganze Metallleitung einen Widerstand = 1,90 erhalten. Die Berechnung der Beobachtungen, die ich der leichtern Uebersicht wegen sämmtlich auf eine Batterie von 2 Flaschen reducirt habe, läßt sich mit diesem constanten Widerstande nach der Formel nicht durchführen, sondern man muß noch einen besondern Widerstand in der zwischen den Kugeln des Funkenmessers durchbrochenen Luftschicht hinzufügen. Zwei Hypothesen können über denselben zur Geltung kommen; entweder findet der Strom in dem durchbrochenen Raum zwischen den Kugeln ein ähnliches Hinderniß, wie auf einem Metalldrahte, das dann proportional mit der Distanz der Kugeln stiege, oder der eigentliche Widerstand liegt im Durchbrechen und Auseinanderhalten der Luft, und würde dann proportional zu $\left(\frac{q}{s}\right)^2$ wachsen. Die erste

Hypothese umfasst beide Abtheilungen nicht zugleich, die letztere dagegen scheint mir beiden ganz hinreichend zu genügen, und ich setze demnach obige Formel für Abtheilung I. auf

$$\vartheta = 0,060 \left(\frac{q}{s}\right)^2 \frac{s}{1+0,0019 \left(\frac{q}{s}\right)^2},$$

und für Abtheilung II. auf

$$\vartheta = 0,060 \left(\frac{q}{s}\right)^2 \frac{s}{1,90+0,0019 \left(\frac{q}{s}\right)^2}.$$

Die Beobachtungen sind folgende:

Abtheilung I.

Batterie 4 Flaschen.		Batterie 3 Flaschen.	
Funkenm. Umdr.	ϑ .	Funkenm. Umdr.	ϑ .
1	4,2	1	3,1
1½	7,1	1½	5,3
2	10,1	2	7,7
2½	13,1	2½	10,1
3	17,0	3	13,0
3½	21,2	3½	15,9
		4	18,9
		4½	22,2

Batterie 2 Flaschen.						Batterie 1 Flasche.					
Funken- messer Umdr.	1. 2.	3. 4.	1. 3.	2. 4.	ϑ . Mittel.	Funken- Umdr.	1.	2.	3.	4.	ϑ . Mittel.
1½	3,5	3,2	3,2	3,9	3,4	3	4,0	4,4	3,7	4,5	4,1
2	5,2	4,9	4,7	5,6	5,1	3½	5,1	5,6	4,7	5,7	5,3
2½	7,0	6,7	6,3	7,4	6,8	4	6,1	6,9	5,8	6,7	6,4
3	9,1	8,4	8,2	9,5	8,8	4½	7,3	8,0	6,8	7,9	7,5
3½	11,1	10,5	10,0	11,5	10,8	5	8,6	9,4	7,7	9,1	8,7
4	13,3	12,5	12,0	13,8	12,9	5½	9,8	10,5	8,8	10,4	9,9
4½	15,5	14,7	14,1	16,1	15,1	6	10,9	11,6	9,8	11,6	11,0
5	18,1	16,8	16,2	18,6	17,4	6½	12,0	13,0	10,9	12,7	12,1
5½	20,5	19,6	18,5	21,2	19,9	7	13,2	14,2	12,1	13,9	13,3

Abtheilung II.

Batterie 4 Flaschen.

Funkenm. Umdr.	ϕ .
2	5,8
3	10,5
4	15,4
5	21,2

Batterie 3 Flaschen.

Funkenm. Umdr.	ϕ .
2	4,5
3	8,0
4	11,7
5	15,7
6	20,4

Batterie 2 Flaschen.

Funken- messer Umdr.	1. 2.	3. 4.	1. 3.	2. 4.	ϕ . Mittel.
2	2,9	2,9	2,7	3,2	2,9
3	5,4	5,2	4,7	5,9	5,4
4	8,4	7,9	7,2	8,8	8,1
5	11,4	10,6	10,1	11,7	10,9
6	14,5	13,6	12,0	14,9	13,9
7	17,2	16,4	15,6	18,1	16,8
8	20,6	19,7	18,1	21,5	20,1

Batterie 1 Flasche.

Fun- kenm. Umdr.	1.	2.	3.	4.	ϕ . Mittel.
4	3,6	4,4	3,6	4,2	4,0
5	5,2	5,7	4,8	5,8	5,4
6	7,0	7,6	6,4	7,7	7,2
7	8,8	9,5	7,7	9,3	8,8
8	10,2	11,1	9,2	11,0	10,4
9	11,8	12,9	10,3	12,5	11,9
10	13,4	14,8	11,7	14,1	13,5

Reduction auf eine Batterie von 2 Flaschen.

Abtheilung I.

Fun- kenm. Umdr.	$\frac{q}{s}$	$\left(\frac{q}{s}\right)^2$	von 4 Fl.	von 3 Fl.	von 2 Fl.	von 1 Fl.	ϕ beob. Mittel.	w.	ϕ ber.
1	13,25	176	2,1	2,1	—	—	2,1	1,03	2,1
1½	17,25	298	3,5	3,5	3,4	—	3,5	1,06	3,4
2	21,25	452	5,1	5,1	5,1	—	5,1	1,09	5,0
2½	25,25	638	6,6	6,7	6,7	—	6,7	1,12	6,8
3	29,25	856	8,5	8,7	8,7	8,3	8,6	1,16	8,8
3½	33,25	1106	10,6	10,6	10,8	10,6	10,6	1,21	11,0
4	37,25	1388	—	12,6	12,9	12,7	12,7	1,26	13,2
4½	41,25	1702	—	14,8	15,1	15,0	15,0	1,32	15,5
5	45,25	2048	—	—	17,4	17,4	17,4	1,39	17,7
5½	49,25	2426	—	—	19,9	19,8	19,9	1,46	19,9
6	53,25	2836	—	—	—	21,9	21,9	1,54	22,1
6½	27,25	3278	—	—	—	24,3	24,3	1,62	24,3
7	61,25	3752	—	—	—	26,7	26,7	1,71	26,3

Abtheilung II.

Fun- kenn- Umdr.	$\frac{q}{s}$	$\left(\frac{q}{s}\right)^2$	von 4 Fl.	von 3 Fl.	von 2 Fl.	von 1 Fl.	ϑ beob. Mittel.	w .	ϑ beob.
2	21,25	452	2,9	3,0	2,9	—	2,9	1,99	2,7
3	29,25	856	5,2	5,3	5,4	—	5,3	2,06	5,0
4	37,25	1388	7,7	7,8	8,1	7,9	7,9	2,16	7,7
5	45,25	2048	10,6	10,5	10,9	10,8	10,7	2,29	10,7
6	53,25	2836	—	13,6	13,9	14,4	13,9	2,44	13,9
7	61,25	3752	—	—	16,8	17,5	17,2	2,61	17,2
8	69,25	4796	—	—	20,1	20,7	20,4	2,81	20,5
9	77,25	5968	—	—	—	23,8	23,8	3,03	23,6
10	85,25	7268	—	—	—	27,0	27,0	3,28	26,6

Zur leichtern Benutzung für andere gebe ich über den Widerstand der Luft (Barometerdruck 27,3 Zoll, Temper. 14° R.) noch folgende Tabelle, in welcher der Widerstand von 15,8 Zoll Platindraht von 0,081 Durchmesser = 1 gesetzt ist.

Schlagweite der Batterie.	Widerstand.
$\frac{1}{2}$ par. Linie	0,04
1 - -	0,12
$1\frac{1}{2}$ - -	0,24
2 - -	0,40
$2\frac{1}{2}$ - -	0,60
3 - -	0,85
$3\frac{1}{2}$ - -	1,14
4 - -	1,47

Es schien mir noch interessant zu untersuchen, ob die Entladung der Batterie durch ein Schlagwerk die Resultate modificire. Bei dem hierzu construirten Instrument fiel eine ziemlich schwere $1\frac{1}{2}$ zöllige Messingkugel von $1\frac{1}{2}$ Zoll Höhe auf eine etwas ausgehöhlte gut isolirte Platte von Messing, die mit dem Innern der Batterie durch 2' Kupferdraht in Verbindung stand; der messingene Arm, der sich in einem isolirten Kugelcharnier dreht, ist 13 Zoll lang und $2\frac{1}{4}$ Lin. stark; im Uebrigen war der Schließungsdraht wie in Abtheilung I und II, so daß derselbe Widerstand blieb. Die Batterie bestand aus 4 Flaschen; der Werth, den q hatte,

wurde wegen kleiner Aenderungen im Stande der Kugeln meiner Lane'schen Flasche für die größte Ladung unmittelbar darauf auf den Funkenmesser bezogen, so daß die übrigen Werthe von $\frac{q}{s}$ danach berechnet werden konnten. Für die erste Reihe ist $\alpha = 0,0625$, für die zweite $= 0,059$, und der Widerstand der Luft bleibt derselbe, die kleinen Differenzen in α gegen früher entspringen aus der größern Ungleichheit der einzelnen Beobachtungen, die viel bedeutender sind als bei der frühern Methode. Das hier noch hinzukommende Residuum der Batterie halte ich für fast ganz wirkungslos, da man die Hauptentladung der Batterie vor dem Niederschlagen der Kugel deutlich hört, also das Residuum eine zweite so schwache Entladung giebt, daß sie das Instrument nur sehr wenig afficirt; übrigens kann man auch die Kugel ganz langsam niedergehen, selbst hierbei das Residuum in der Batterie zurück lassen, ohne ein bei den vorkommenden größern Differenzen irgendwie bemerkbar abweichendes Resultat zu erhalten. Die Beobachtungen sind:

Reihe 1. Schließungsbogen ohne
Platindraht.

Reihe 2. Schließungsbogen mit
Platindraht.

q	$\left(\frac{q}{s}\right)^2$	ϕ beob.	w .	ϕ ber.	q	$\left(\frac{q}{s}\right)^2$	ϕ beob.	w	ϕ ber.
6	123	3,1	1,02	3,0	10	297	4,0	1,96	3,6
9	277	6,6	1,05	6,6	15	669	8,4	2,03	7,8
12	491	11,4	1,09	11,3	20	1190	13,2	2,12	13,2
15	768	17,0	1,15	16,7	25	1859	19,2	2,25	19,5
18	1105	22,4	1,21	22,8	30	2678	25,6	2,41	26,2

V. Ueber Seitenentladungen am Schließungsbogen der elektrischen Batterie; von K. W. Knochenhauer.

In der Anmerkung S. 46 konnte ich über die Seitenentladungen bei schwächern Ladungen der Batterie we-

gen Mangel an Beobachtungen noch nichts Genaueres angeben; ich werde jetzt das Fehlende ergänzen, mich jedoch wieder auf den Fall beschränken, wo die erste Kugel des Funkenmessers unmittelbar mit dem Schließungsbogen, die andere entweder ebenfalls unmittelbar mit demselben oder mit der Außenseite der Batterie in Verbindung steht, indem Zwischendrähte zwischen dem Schließungsbogen und den Kugeln des Funkenmessers eine neue Vertheilung der elektrischen Spannung auf den Drähten bedingen, die ohne Weiteres auf den Hauptstrom zurückzuschließen nicht gestattet. Zuerst habe ich meinen Funkenmesser auch für kleinere Abstände der Kugeln von einander normirt. Hierzu machte ich mir eine ganz kleine Lane'sche Flasche aus sehr dünnem Glase, deren äußere Belegung etwa 10 □ Zoll beträgt; der Abstand ihrer Kugeln wurde zweimal verändert. Bei der Entladung der Batterie über den Funkenmesser stellte ich die Mikrometerschraube auf 0, $\frac{1}{4}$, $\frac{1}{2}$, $\frac{3}{4}$, 1, 2, 3 Umdrehungen ein, und reducirte aus den drei letztern Beobachtungen die gefundenen Zahlen der Selbstentladungen der Lane'schen Flasche (L. F.) auf die frühere Normirung für $\frac{q}{s}$, indem die Differenz für eine Umdrehung der Schraube = 8 angenommen wurde. Die Batterie bestand aus 4 Flaschen; die erste Reihe giebt das Mittel aus 3, die andere aus 2 Versuchen an verschiedenen Tagen.

Umdr.	L. F.	$\frac{q}{s}$ (reduc.)	L. F.	$\frac{q}{s}$ (reduc.)	$\frac{q}{s}$ Mittel.
0	6,21	4,04	9,37	4,02	4,03
$\frac{1}{4}$	9,75	6,31	15,00	6,43	6,39
$\frac{1}{2}$	13,41	8,72	20,03	8,60	8,66
$\frac{3}{4}$	16,66	10,82	25,44	10,91	10,87
1	20,02	13,02	30,81	13,22	13,12
2	32,35	21,04	49,18	21,10	21,07
3	44,62	29,01	68,12	29,22	29,12

Die Zahlen 13,12 — 21,07 — 29,12 stimmen mit der frühern Normirung zu 13,25 — 21,25 — 29,25 gut überein, so dafs darin die Richtigkeit der übrigen Zahlen ihre Be-

stätigung findet. Diese Beobachtungen weisen zunächst die durch keine directen Versuche gestützte Annahme zurück, daß die Funkenlänge der freien Spannung streng proportional ist; aus ihnen folgt nämlich

bei einer Distanz der Ku-

geln des Funkenmessers = 0,1 0,2 0,4 0,7 par. Lin.

Die freie Spannung = 4,4 6,7 11,2 17,5 „ „

Hierauf bestimmte ich weiter den Stand der Kugeln am Auslader für eine Batterieladung = 10, 15, 20, 30, 40, 50, und machte dann bei dem in der citirten Anmerkung angegebenen Schließungsbogen mit einer Batterie von 2 Flaschen folgende Versuchsreihen: Reihe I, die eine Kugel des Funkenmessers war nach 4', die andere nach 20' hinter dem Auslader mit dem Schließungsdraht verbunden; Reihe II, die eine Kugel war 4' hinter dem Auslader und die zweite Kugel stand durch 16' Kupferdraht von $\frac{1}{2}$ Linie Durchm. (zu einer losen Spirale von 4' Länge gewunden) mit der Außenseite der Batterie in Verbindung; Reihe III, die erste Kugel wie vorher, die zweite durch 8' feinen Neusilberdraht mit der Außenseite der Batterie verbunden; Reihe IV, die erste Kugel wie vorher, an der zweiten waren die obigen 16' Kupferdraht an ihrem andern Ende isolirt angeheftet. Ich werde wieder die Distanz der Kugeln am Auslader und am Funkenmesser in par. Linien beifügen.

Reihe I.

Ladung d. Batterie ($\frac{q}{s}$)	Distanz d. Kugeln.	Funkenm.	reduc. auf $\frac{q}{s} = 40$.	Distanz d. Kugeln am Funkenmesser.
10	0,35	4,32	17,28	0,10
15	0,58	6,96	18,56	0,21
20	0,84	10,87	21,74	0,39
30	1,34	16,25	21,67	0,54
40	1,84	22,25	22,25	0,94
50	2,34	27,75	22,20	1,21

Mittel 21,96.

Reihe II.

Ladung d. Batterie ($\frac{q}{s}$)	Distanz d. Kugeln.	Funkenm.	reduc. auf $\frac{q}{s} = 40$.	Distanz d. Kugeln am Funkenmesser.
10	0,35	5,20	20,80	0,14
15	0,58	9,50	25,33	0,32
20	0,84	13,50	27,00	0,50
30	1,34	19,75	26,33	0,81
40	1,84	27,44	27,44	1,20
50	2,34	33,87	27,10	1,52

Mittel 26,97.

Reihe III.

10	0,35	0	0	0
15	0,58	6,07	16,19	0,18
20	0,84	12,37	24,74	0,44
30	1,34	18,50	24,67	0,75
40	1,84	25,25	25,25	1,09
50	2,34	30,87	24,70	1,27

Mittel 24,84.

Reihe IV.

10	0,35	0	0	0
15	0,58	2,20	5,87	0,05
20	0,84	6,65	13,30	0,20
30	1,34	11,44	15,25	0,41
40	1,84	17,12	17,12	0,67
50	2,34	22,00	18,00	0,92

Die Null in Reihe III und IV bedeutet, dafs bei einer Ladung = 10 gar kein Funke am Funkenmesser erhalten wurde. — Uebersieht man diese Beobachtungen, so findet man, dafs in den drei ersten Reihen nur von einer Ladung der Batterie = 20 an die Seitenentladung zu $\frac{q}{s}$ proportional wird; die beiden kleinern Ladungen geben zu geringe Resultate; in Reihe III, wo die Ableitung schlechter ist, fällt darauf eine Beobachtung ganz aus, und in Reihe IV, wo die Ableitung stockt, vermisst man endlich die Proportionalität auch bei den stärkern Ladungen. Da die theoretische Schlagweite in Reihe I = $\frac{16 \times 40}{26,2} = 24,43$, in Reihe II bis IV = $\frac{19 \times 40}{26,2} = 29,01$ ist, so stellt sich der

Erfahrungssatz heraus, daß der Seitenfunke desto schwieriger von der Kugel des Funkenmessers abspringt, je geringer nicht nur die Batterieladung ist, sondern je mehr auch der wirklich beobachtete Funke an Länge gegen den theoretisch geforderten zurücksteht. Belehrend hierfür ist die Reihe III verglichen mit Reihe II. Diese so eben genannten Störungen, die sich sicher leicht erklären lassen, können mich offenbar nicht bewegen, gegen meine directen Versuche die freie Spannung im Schließungsbogen unmittelbar durch die Länge der Funken zu messen und so unter Beschränkung der Beobachtungen bis auf eine Funkenlänge von 0,4 bis 0,7 par. Linien das Gesetz abzuleiten, daß die Seitenentladung mit $\left(\frac{q}{s}\right)^2$ proportional gehe, denn thunlich wäre dies auch nach meinen Beobachtungen in Reihe I und II bis $\frac{q}{s} = 20$, in Reihe III bis $\frac{q}{s} = 30$ und in Reihe IV bis $\frac{q}{s} = 40$ incl.; ebenso wenig vermag ich aber auch den kürzeren Funken, die unter den in Reihe IV gegebenen Bedingungen erscheinen, wo die Ableitung fast ganz verhindert ist, die Bedeutung beizulegen, daß sie den längeren Funken in Reihe II und III erst den Weg eröffnen sollen, damit diese erscheinen können.

—◆—

VI. *Wirkung einer elektrischen Spirale auf ein in der Axe der Spirale liegendes magnetisches Theilchen; von Dr. Haedenkamp.*

Oberlehrer am Gymnasium zu Hamm in Westphalen.

—◆—

Die Wirkung des elektrischen Stromes in den Multiplikator-Windungen auf eine Magnetenadel kann man bekanntlich der Zahl der Windungen proportional setzen, wenn die Windungen gleich groß und von der Nadel gleich weit

entfernt sind. Hat der Multiplicatordraht eine grössere Ausdehnung, so wirken die verschiedenen Windungen je nach der Grösse und Lage auf die Nadel verschieden. Ich will hier untersuchen, welche Kraft der elektrische Strom, der durch eine cylindrische Drahtspirale geht, auf ein in der Axe des Cylinders befindliches magnetisches Element ausübt. Ich setze hierbei voraus; dafs die Richtungen des Drahts in jedem Punkte mit der Axe des Cylinders denselben Winkel bilden. Es sey b der Halbmesser und l die Länge der cylindrischen Spirale, die Entfernung eines Elementes des Drahts von einem in der Axe des Cylinders liegenden magnetischen Theilchen r , die Entfernung der Grundfläche des Cylinders von diesem Theilchen a , und der Winkel, den die Windungen des Drahts mit der Axe bilden, α . Es wird das Element ∂s des Stromes, dessen Intensität i sey, auf das magnetische Element von der Intensität μ , mit einer Kraft wirken, die durch $\frac{i\mu\partial s}{r^2}$ ausgedrückt wird und auf r senkrecht ist; diese Kraft also, nach der Richtung der Axe des Cylinders zerlegt, wird:

$$i\mu b \frac{\partial s}{r^2}.$$

Bezeichnen wir diese Kraft für den Bogen s mit R , so ist

$$R = i\mu b \int \frac{\partial s}{r^2}.$$

Da nun $r^2 = b^2 + (a + s \sin \alpha)^2$ ist, so wird

$$\begin{aligned} R &= i\mu b \int \frac{\partial s}{[b^2 + (a + s \sin \alpha)^2]^{\frac{3}{2}}} \\ &= \frac{i\mu}{b \sin \alpha} \left[\frac{a + s \sin \alpha}{\sqrt{b^2 + (a + s \sin \alpha)^2}} - \frac{a}{\sqrt{b^2 + a^2}} \right]. \end{aligned}$$

Liegen die Windungen auf dem Cylinder um die Dicke d des Drahts von einander, so ist wenn d wie gewöhnlich klein, auch $\sin \alpha = \frac{d}{2b\pi}$ eine kleine Grösse. Für die ganze Länge des Drahts ist $s \sin \alpha = l$, also

$$R = \frac{i\mu s}{bl} \left[\frac{a+l}{\sqrt{b^2+(a+l)^2}} - \frac{a}{\sqrt{b^2+a^2}} \right].$$

Die größte Wirkung übt die Spirale aus, wenn das magnetische Theilchen im Mittelpunkt des Cylinders liegt. Denn für das Maximum erhält man aus der vorhergehenden Gleichung: $(a+l)^2 = a^2$, also $a+l = -a$, und daher $a = -\frac{l}{2}$. In diesem Falle ist $R = \frac{i\mu s}{b \sqrt{b^2 + \left(\frac{l}{2}\right)^2}}$.

So lange die Länge der Spirale unbedeutend ist, daß die zweiten und höhern Potenzen von l vernachlässigt werden können, erhält man

$$R = \frac{i\mu bs}{(a^2+b^2)^{\frac{3}{2}}}.$$

Jede Windung hat die Länge $2b\pi$, wenn also die Spirale n Windungen hat, so ist $s = 2nb\pi$, daher annähernd

$$R = \frac{2nb^2\pi i\mu}{(a^2+b^2)^{\frac{3}{2}}}.$$

Zu einer scharfen Berechnung von R setze man $b = a \operatorname{tg} \varphi$ und $b = (a+l) \operatorname{tg} \varphi$, dann wird

$$R = \frac{i\mu s}{bl} (\cos \varphi - \cos \varphi') = \frac{4n\pi i\mu}{l} \sin \left(\frac{\varphi + \varphi'}{2} \right) \sin \left(\frac{\varphi' - \varphi}{2} \right).$$

Liegen auf dem Cylinder m Reihen von Windungen über einander und setzt man für die erste Reihe der Windungen $\sin \left(\frac{\varphi' + \varphi}{2} \right) \sin \left(\frac{\varphi' - \varphi}{2} \right) = N$, für die zweite Reihe diesen Ausdruck $= N_2$ u. s. w., so wird, vorausgesetzt, daß jede Reihe n Windungen hat.

$$R = \frac{4n\pi i\mu}{l} (N_1 + N_2 + \dots + N_m).$$

Für das magnetische Theilchen will ich jetzt eine Magnetnadel substituiren und die Axe der Spirale mir senkrecht auf dem magnetischen Meridian denken, ist dann die Größe des Erdmagnetismus bei dieser Richtung T , der Winkel, den die Magnetnadel unter der Einwirkung des hindurch-

gehenden Stromes mit dem Meridian macht, u , so ist bekanntlich:

$$R = \mu T \operatorname{tg} u,$$

und für R den gefundenen Werth gesetzt, giebt

$$\frac{4n\pi i}{l} \sin\left(\frac{\varphi' + \varphi}{2}\right) \sin\left(\frac{\varphi' - \varphi}{2}\right) = T \cdot \operatorname{tg} u$$

oder auch

$$\frac{4n\pi i}{l} (N_1 + N_2 + \dots N_n) = T \operatorname{tg} u.$$

So lange in einer Spirale die Intensität des hindurchgehenden Stromes sich nicht ändert, muß $\frac{\operatorname{tg} u}{\sin\left(\frac{\varphi' + \varphi}{2}\right) \sin\left(\frac{\varphi' - \varphi}{2}\right)}$

oder $\frac{\operatorname{tg} u}{N_1 + N_2 \dots N_n}$ eine const. Gröfse seyn, wie auch die Entfernung der Nadel von der Spirale oder a sich ändern mag.

Ich habe, um die berechneten Formeln zu prüfen, für verschiedene Punkte der Axe die Ablenkung der Magnetnadel unter der Einwirkung eines constanten Stroms beobachtet. Ich muß aber dabei bemerken, daß die gemachten Beobachtungen keine Ansprüche auf die gewünschte Genauigkeit machen können, da ich die Bedingungen, unter welchen die Resultate der Beobachtungen nur richtig werden können, nicht genau erfüllen konnte. Meine Spirale hatte eine Länge von 68^{mm}, auf dem Cylinder lagen 5 Reihen Windungen übereinander; statt $N_1 + N_2 + \dots N_n$ habe ich nur für jede Beobachtung den Werth $\sin\left(\frac{\varphi' + \varphi}{2}\right) \sin\left(\frac{\varphi' - \varphi}{2}\right)$ für die mittlere oder dritte Windung N_3 berechnet, und hierfür war $b = 30^{\text{mm}}$.

Die Uebereinstimmung der Beobachtungen wird aus folgender Tafel ersichtlich:

$a.$	$u.$	$\frac{\operatorname{tg} u}{N_3}$
435 ^{mm}	9°	580
400	13 $\frac{1}{2}$	583
350	18 $\frac{1}{2}$	542
300	27	530
250	41	540
200	57 $\frac{1}{2}$	558

Die Tangentenbussole gab vor und nach den Beobachtungen ziemlich dieselbe Ablenkung, der Strom war also constant gewesen. Eine andere Beobachtungsreihe mit derselben Spirale nur für ein anderes i gaben diese Resultate:

$a.$	$u.$	$\frac{t g u}{N_s}$
525 ^{mm}	5°	437
445	7 $\frac{1}{2}$	410
360	15	462
275	30	476
210	45	411
180	55	395
125	75	393

Die Tangentenbussole gab vor und nach den gemachten Beobachtungen nicht genau dieselbe Ablenkung, der Strom war also nicht genau constant geblieben und darin ist wohl mit der Grund zu suchen, daß die Beobachtungen eine nicht noch größere Uebereinstimmung zeigen.

Ich will hier noch die Wirkung der Spirale auf ein magnetisches Theilchen oder auf eine Nadel, die ganz willkürliche Lage gegen die Spirale hat, betrachten. Das Axensystem, worauf ich die Lage der Nadel und jedes Element der Spirale beziehe, sey ein rechtwinkliges und zwar sey die Axe der Spirale die Axe der z , die Axe der x liege in der Durchschnittsline des magnetischen Meridians und des Horizonts und die Axe der y sey auf beiden senkrecht. Die Coordinaten eines Elements der Spirale, deren Halbmesser b , seyen x, y, z . Das magnetische Theilchen liege in der Axe der x und zwar sey für dieses $x = a$. Um nun die Wirkung des Bogenelementes ∂s der Spirale zu ermitteln, legen wir durch ∂s und μ eine Ebene und bezeichnen die Cosinuse der Winkel, die das Loth vom Mittelpunkt der Coordinaten auf diese Ebene mit den Axen x, y, z macht: ξ, η, ζ . Die Kraft, womit das Stromelement ∂s auf μ wirkt, wird dann ausgedrückt durch

$$\frac{i\mu \partial s}{r^2} \sin \psi;$$

vorin r die Entfernung ∂s von μ bedeutet und ψ der Winkel ist, den ∂s mit r macht. Diese Kraft ist senkrecht auf der durch ∂s und μ gelegten Ebene; um also die nach den 3 Coordinatenaxen zerlegten Wirkungen, die wir durch X, Y, Z bezeichnen, zu erhalten, muß man den vorhergehenden Ausdruck mit ξ, η, ζ multipliciren. Wir erhalten daher

$$X = i\mu \int_0^1 \frac{\xi \sin \psi \partial s}{r^2},$$

$$Y = i\mu \int_0^1 \frac{\eta \sin \psi \partial s}{r^2},$$

$$Z = i\mu \int_0^1 \frac{\zeta \sin \psi \partial s}{r^2}.$$

Es ist ferner, wenn man annimmt, was allerdings nur annähernd richtig ist, daß die einzelnen Windungen auf der Axe der z senkrecht sind, wie man leicht findet:

$$\xi \sin \psi = \frac{xz}{br},$$

$$\eta \sin \psi = \frac{yz}{br},$$

$$\zeta \sin \psi = \frac{(ax - b^2)}{br}$$

$$\text{und } r^2 = (\alpha - x)^2 + y^2 + z^2 = a^2 - 2ax + b^2 + z^2;$$

daher wird:

$$X = \frac{i\mu}{b} \int \frac{xz \partial s}{r^3},$$

$$Y = \frac{i\mu}{b} \int \frac{yz \partial s}{r^3},$$

$$Z = \frac{i\mu}{b} \int \frac{(ax - b^2) \partial s}{r^3}.$$

Wenn φ der Winkel ist, den x mit r macht, und die Grundfläche der Spirale mit der Ebene (xy) zusammenfällt, so ist

$$\begin{aligned} x &= b \cos \varphi, & y &= b \sin \varphi, & z &= s \sin \alpha \\ r &= b \varphi \operatorname{tg} \alpha, & \partial s &= b \cos \alpha d\varphi. \end{aligned}$$

Wir sehen hieraus, daß durch eine der Veränderlichen die übrigen ausgedrückt werden. Wenn die Intégrale von $\varphi = 0$ bis $\varphi = 2\pi$ genommen werden, so verschwindet Y und es wird:

$$X = i\mu \sin \alpha \int \frac{\cos \varphi s \partial s}{r^3} = \frac{i\mu}{\sin \alpha} \int \frac{\cos \varphi z \partial z}{r^3}$$

$$Z = i\mu \int \frac{(b - a \cos \varphi) \partial s}{r^3} = \frac{i\mu}{\sin \alpha} \int \frac{(b - c \varphi) \partial z}{r^3}$$

Da diese Integrale in endlicher Form nicht zu erhalten sind, so muß man durch Reihenentwicklungen Annäherungen zu erhalten suchen.

Für den ganz speciellen Fall, daß die Windungen gleich groß und von der Ebene (xy), in welcher das magnetische Theilchen liegt, gleich weit entfernt sind, ist z eine Constante; es lassen sich alsdann die Wirkungen der Windungen der Spirale durch die bekannten elliptischen Integrale noch darstellen. Setzt man nämlich für diesen Fall: $\lambda^2 = (a+b)^2 + z^2$, $k^2 = \frac{4ab}{\lambda^2}$, $k'^2 = 1 + k^2$, $\Delta^2 = 1 - k^2 \sin^2 \psi$, $\varphi = \pi - 2\varphi$, so findet man leicht:

$$X = i\mu b z \int \frac{\cos \varphi \partial \varphi}{r^3} = \frac{i\mu z}{2a\lambda} \left[(1 + k'^2) \int \frac{\partial \psi}{\Delta^3} - 2 \int \frac{d\psi}{\Delta} \right],$$

$$Z = i\mu b \int \frac{(a \cos \varphi - b) \partial \varphi}{r^3} =$$

$$\frac{2i\mu b}{\lambda^3} \left[\frac{a}{k^2} \left((1 + k'^2) \int \frac{\partial \psi}{\Delta^3} - 2 \int \frac{\partial \psi}{\Delta} \right) - b \int \frac{\partial \psi}{\Delta^3} \right].$$

Für die Wirkung einer ganzen Windung müssen die Integrale von $\psi = 0$ bis $\psi = \pi$ genommen werden. Mit Beibehaltung der gewöhnlichen Bezeichnung elliptischer Integrale erhält man für n Windungen:

$$X = \frac{i\mu n z}{a\lambda} \left[\frac{1 + k'^2}{k'^2} \cdot E\left(k, \frac{\pi}{2}\right) - 2F\left(k, \frac{\pi}{2}\right) \right]$$

$$Z = \frac{4i\mu n b}{\lambda^3} \left[\frac{a}{k^2} \left(\frac{1 + k'^2}{k'^2} \cdot E\left(k, \frac{\pi}{2}\right) - 2F\left(k, \frac{\pi}{2}\right) \right) - \frac{bE\left(k, \frac{\pi}{2}\right)}{k'^2} \right].$$

Hamm, April 1849.

VII. *Constante Batterien; von W. Eisenlohr.*

Die Errichtung einer Telegraphenlinie, längs der, in dem Großherzogthum Baden, von Mannheim bis in die Nähe von Basel führenden Eisenbahn, hat mich seit einiger Zeit beschäftigt und um manche Erfahrung auf dem Gebiete der Elektrizitätslehre bereichert. Indem ich nachstehende, zur Zeit noch unvollständige Mittheilungen mache, geschieht es hauptsächlich deshalb, weil ich weiß, daß aufser mir, auch noch mehrere andere Physiker in Deutschland mit Anlegung der Telegraphen beschäftigt sind, denen es angenehm und nützlich seyn wird, neue Batterien kennen zu lernen, mit welchen nicht nur alle dabei vorkommenden Messungen aufs Genaueste angestellt, sondern auch die telegraphischen Mittheilungen, Monate lang, ohne Unterbrechung und Nachhülfe, mit der größten Sicherheit und Beständigkeit gemacht werden können.

Bei den meisten Telegraphen in England wird eine Kette angewandt, welche aus Zink, Kupfer und Sand besteht. Letzterer wird mit verdünnter Schwefelsäure befeuchtet und fest zwischen die Metallplatten in die Zellen eingepreßt. Eine solche Batterie wirkt mit abnehmender Kraft, muß von Zeit zu Zeit befeuchtet und nach 4 bis 6 Wochen erneuert werden. Die Zinkconsumtion ist dabei zwar nicht beträchtlich, die Zinkplatten werden aber bald sehr uneben und löcherig und müssen dann durch neue ersetzt werden. Im Anfang führte auch ich diese Batterie ein; hatte aber nach wenig Monaten den Verdruss zu sehen, daß die Eisenbahnbeamten, welche auch die telegraphische Correspondenz zu besorgen haben, bald zu viel Wasser, bald zu viel Säure nachgossen, bald den Sand ganz austrocknen ließen, wodurch in der Correspondenz Unterbrechungen entstanden. Ich dachte deshalb darüber nach, wie diesen Uebelständen durch eine, wenn auch nicht, starke, doch sehr constante Kette abgeholfen werden könne.

Zuerst schien mir die Endosmose ein Mittel zu versprechen, ohne heftige chemische Wirkung eine constante Kette hervorzubringen, und als ich in dieser Beziehung verschiedene Salze verglichen hatte, worunter auch der gereinigte Weinstein sich befand, fiel mir ein, das dieses Salz, vermöge seiner freien Säure, die bekannte Eigenschaft besitzt, Metalloxyde aufzulösen, folglich die Zink- und Kupferplatten stets rein zu erhalten. Ich brachte daher zuerst in die Zinkzelle der Daniell'schen Kette, statt der verdünnten Schwefelsäure, eine übersättigte Lösung von reiner Weinstensäure in Wasser, und bemerkte bald, das diese Kette zwar schwächer als die Daniell'sche wirkt, aber vor ihr beträchtliche Vorzüge hinsichtlich der Beständigkeit besitzt. Als ich die Kupfervitriollösung verdünnte, zeigte sich diese Kette noch viel constanter, welches ich dem verminderten Kupferniederschlag auf dem Zinkelement zuschrieb. Dieser Niederschlag ist sehr beträchtlich, besonders wenn die Kette geöffnet ist, und macht häufig auch die Thonzellen bei der Daniell'schen Kette unbrauchbar. Ich schloß daraus, das vielleicht die Kupfervitriollösung in der Kupferzelle ganz entbehrt und durch verdünnte Schwefelsäure ersetzt werden könne. Verschiedene, weniger lohnende Versuche, die ich in dieser Beziehung angestellt, übergehend, theile ich zuerst die Resultate der Beobachtungen mit, die ich im Januar und Februar dieses Jahres an den besseren Ketten obiger Art machte.

Alle diese Ketten bestanden aus einem Trinkglas, 11,5 Centim. hoch, 7,5 Centim. weit, einem Thoncylinder von 13 Centim. Höhe, 4,2 Centim. Durchmesser, einem Cylinder von dünnem Kupferblech, 12 Centim. hoch und 6,5 Centim. im Durchmesser, und einer amalgamirten Zinkplatte 3,5 Centim. breit, 15 Centim. hoch und 0,3 Centim. dick. Die Füllung der Ketten war verschieden.

Bei der Kette A enthielt die Kupferzelle, eine aus gleichen Theilen gesättigter Kupfervitriollösung und reinen Wassers zusammengesetzte Mischung; die Zinkzelle eine Lösung von reinem Weinstein (*bitartrate de potasse*) in

Wasser und noch einen Eßlöffel voll gereinigten Weinstein. Sie wurde durch einen Galvanometer und einen Argentandraht von 5 Meter Länge und 0,2 Millimeter Dicke geschlossen. Der Widerstand des Galvanometers betrug nur so viel als der von 28 Millim. des obigen Argentandrahtes. Bei *ununterbrochener* Schlicfsung ergab die Beobachtung vom 26. Januar bis zum 9. Februar, also während 14 Tagen folgende Ablenkungen des Galvanometers: 36, $36\frac{1}{4}$, 36, 37, $38\frac{1}{2}$, $38\frac{1}{2}$, $38\frac{1}{4}$, 38, 38, 38, 37, 35, 21, 16 Graden.

Ich setzte während dieser Zeit eine Batterie aus sechs solchen Elementen zusammen und schlofs sie am 2. Febr. durch ein ähnliches Galvanometer und 30 Meter obigen Drahtes. Sie gab vom 2. bis 10. Februar folgende Ablenkungen: 63, 65, 66, 67, 68, 68, 68, 68 Grade. Aus Nachlässigkeit wurden die Beobachtungen während meiner Abwesenheit nicht weiter fortgesetzt. Die großen Widerstände hatte ich deshalb eingeschaltet, weil die Ketten für lange Telegraphenlinien bestimmt sind und die obigen Ablenkungen der für die Telegraphen und die Leitung hinreichenden Stromstärke entsprachen. Die anfängliche Zunahme der Stromstärke dieser Kette ist eine Folge davon, daß die Schwefelsäure in der Kupferzelle sich allmähig in der Zinkzelle verbreitet. Nach meiner Rückkehr stellte ich vom 4. März an, mit einer der obigen gleichen Kette, folgende Beobachtungen bei gleichem Widerstand an. Die Kette war dabei bald geöffnet, bald längere Zeit geschlossen. Die Zeit der Beobachtung ist in der ersten Spalte, die Dauer des Geschlosseneyns der Kette in der zweiten, die beobachtete Ablenkung der Galvanometernadel in der dritten Spalte angegeben. Wenn in der zweiten Spalte 0 steht, so wurde die Beobachtung gemacht, nachdem die Kette eine Zeitlang geöffnet war.

Zeit. März.	Schließung während Stunden.	Ablenkung der Nadel.	Zeit. März.	Schließung während Stunden.	Ablenkung der Nadel.
4. 9 ^{hm}	0	42 $\frac{1}{2}$	5. 5 ^{hm}	0	45
5 ^{hm}	0	45	6. 7 ^{hm}	10	46 $\frac{1}{2}$
10 ^{hm}	5	45	7. 10 ^{hm}	0	45 $\frac{1}{2}$
5. 7 ^{hm}	14	45	2 ^{hm}	4	46 $\frac{1}{2}$
12 ^{hm}	0	45	5 ^{hm}	0	45 $\frac{1}{2}$
2 ^{hm}	2	45 $\frac{1}{2}$	8. 8 ^{hm}	15	46 $\frac{1}{2}$
5 ^{hm}	5	45 $\frac{1}{2}$			

Die Kette nahm also, nachdem sie durchs Schließen zu ihrem Maximum gekommen war, während der Ruhe wieder etwas ab. Der Grund davon ist in dem obigen Kupferniederschlag auf dem Zink, vielleicht aber auch darin zu suchen, daß die Endosmose im Zustand der Ruhe geringer ist und daß darum weniger Schwefelsäure in die Zinkzelle gelangt. Ich schloß nun diese Kette durch eine Tangentenboussole, wodurch also der Widerstand gegen den fröhern verschwindend klein wurde und erhielt am 8. März 11^{hm} 6 Gr., am 21. 8^{hm} also nach 21stündiger Schließung 5 Gr. und um 10^{hm} nach zweistündiger Ruhe wieder 6 Gr. Ablenkung. Nachdem also während 21stündiger Thätigkeit die Kette abgenommen hatte, erhielt sie durch 2stündige Ruhe ihre volle Kraft wieder. Die Endosmose war bei kurzer Schließung viel stärker, als bei langer. Als diese Kette durch längere Dauer der kurzen Schließung abermals geschwächt war, erholte sie sich auch wieder, als ich den Widerstand von 5 Meter einschaltete und zeigte bald am Galvanometer die frühere 46 Grade der Ablenkung. Der Zink hatte bei kurzer Schließung in 24 Stunden um 4,85 Grm., bei langer Schließung um 0,9 Grm. an Gewicht verloren. Die Kupfervitriollösung hatte sich bei diesen Versuchen ganz entfärbt und dies bestätigte meine Vermuthung, daß die Wirkung auch ohne Anwesenheit von Kupferoxyd constant seyn werde. Deshalb brachte ich in die Kupferzelle gleich großer Ketten, Schwefelsäure mit verschiedenen Graden der Verdünnung.

Eine solche Kette, die *B* heißen mag, scheint mir eine

der zweckmäßigsten Mischungen für den telegraphischen Gebrauch zu enthalten. Die Menge der darin enthaltenen Schwefelsäure entspricht dem Aequivalent der in einer gesättigten Kupfervitriollösung enthaltenen Schwefelsäure; indem ich 5 Raumtheile derselben von 1,82 spec. Gewicht, auf 100 Thl. Wasser nahm. In der Zinkzelle war Weinstein, wie in der Kette A. Die Kette B zeigte sich aber bei beständiger Schließung nicht so constant als A. Sie zeigte nämlich bei der Schließung durch 5 Meter obigen Argentandrahtes und das frühere Galvanometer nach kürzerer oder längerer Thätigkeit folgende Ablenkungen:

Zeit. März.	Schließung während Stunden.	Ablenkung.	Zeit. März.	Schließung während Stunden.	Ablenkung.
9. 10 ^{hm}	0	42½	11. 5 ^{ba}	8	46
9. 12 ^h	2	44	9 ^{ba}	12	37
9 ^{ba}	0	44	12. 10 ^{hm}	0	46½
10. 9 ^{hm}	12	35	13. 7 ^{hm}	0.	46½
1 ^{ba}	0	46	10 ^{hm}	3	46
5 ^{ba}	4	35	14. 8 ^{hm}	0.	47
11. 7 ^{hm}	0	46½	15. 10 ^{hm} .	0	47
9 ^{hm}	0	46½	7 ^{ha}	9	45½
12 ^h	3	45½			-

Bei kurzer Schließung durch die Tangentenbussole war ihre Abnahme ziemlich rasch. Die Ablenkung der Magnetnadel ging in 13 Stunden von 44° auf 3°. Als ich dieselbe Kette nach einiger Ruhe durch die lange Schließung wieder in Thätigkeit setzte, zeigte sie am Galvanometer wie früher 47°, und ging zwar in 23 Stunden auf 30° zurück, erholte sich aber jedesmal nach kurzer Ruhe wieder. Der Zinkverlust betrug in 24 Stunden bei kurzer Schließung 4,9 Grm. bei langer Schließung 0,9 Grm. und in der Ruhe 0,4 Grm. Als ich die Säure einer ähnlichen Kette so stark verdünnte, daß sie nicht mehr Schwefelsäure enthielt, als die Kette A, so daß also ungefähr 2½ Vol. Schwefelsäure von 1,82 spec. Gewicht auf 100 Vol. Wasser kamen, nahm sie weniger schnell ab, als B und vertrug die kurze Schließung besser, war aber natürlich auch schwächer.

In einer dritten *Kette C* vertraten die Stelle des Kupferblechs, grobe Coaksstücke, die durch dazwischen liegenden Bleidraht in bessere Verbindung gesetzt wurden. Die Luft in den Coaks wurde unter der Luftpumpe entfernt, nachdem dieselbe Mischung wie bei *B* in die beiden Zellen gegossen war. Bei langer Schließung durch 5 Meter Argentan ergaben sich folgende Beobachtungen.

Zeit. Mära.	Schließung während Stunden.	Ablenkung.	Zeit. Mära.	Schließung während Stunden.	Ablenkung.
9. 10 ^h m	0	54	11. 8 ^h m	0	51½
11 ^h m	0	54	5 ^h a	9	46
2 ^h a	3	53	12. 8 ^h m	24	46
4½ ^h a	5½	51½	13. 8 ^h m	48	46
9½ ^h a	11	50	14. 8 ^h m	72	46
10. 10 ^h m	20	47			

Diese Kette nahm also durch beständiges Schließen bis zu einem gewissen Grade ab und wurde dann constant. Ich schloß sie nun durch die Tangentenbussole und bemerkte, daß sie nach 24 Stunden unter beträchtlicher Wasserstoffentwicklung stark abgenommen hatte. Die Zinkplatte hatte an Gewicht verloren in 24 Stunden in langer Schließung 1,9 Grm., bei kurzer 12 Grm.

Versuche mit andern Zusammensetzungen, wie z. B. aus feingestossenen Coaks und Zink und denselben Flüssigkeiten, führten zu keinen günstigen Resultaten. Ebenso wenig erhielt ich durch andere Kalisalze eine so constante Wirkung als durch den Weinstein. Die Weinsteinsäure zeigte einen ziemlich gleichbleibenden Strom, jedoch von kurzer Dauer.

Bei allen oben beschriebenen Ketten findet eine starke Eudomose aus der Zink- in die Kupferzelle statt, die, wie immer, bei kurzer Schließung stärker ist, als bei langer. Um die Flüssigkeit in der Zinkzelle wieder zu ersetzen, ist es darum bequem, ein Glaskölbchen mit Wasser zu füllen, und dieses mit der Oeffnung nach unten in die Zinkzelle zu stellen. Sobald in letzterer die Flüssig-

keit sinkt, dringen Luftblasen in das Kölbchen, und verdrängen einen Theil des darin befindlichen Wassers, welches nun zum Ersatz für das durch Verdunstung und Endosmose verlorene dient. Damit die Flüssigkeit in der Zinkzelle stets mit Weinstein gesättigt ist, wird ein kleines Säckchen von Leinwand, in der Form der Geldbeutel, die in der Mitte einen Schlitz haben, auf beiden Seiten mit etwas Weinstein gefüllt, und dann wie ein umgekehrtes Ω so über den Zinkstreifen aufgehängt, daß die untern Enden sich im Wasser der Zinkzelle befinden. In dieser Form habe ich drei einfache Ketten von der Art *A*, *B*, *C* am 24. März aufgestellt und täglich während 15 bis 30 Minuten durch einen 5 Meter langen Argentandraht schliessen und dann beobachten lassen, um zu sehen, welche von ihnen für den Dienst bei Telegraphen die durch Schließung des Stroms in Bewegung gesetzt werden, die geeignetste sey. Die Zellen waren etwas größer, als die frühern; aber unter sich ziemlich gleich. Nach der Beobachtung blieb die Kette offen. Die Zinkplatten wurden von Zeit zu Zeit gewogen und ihr Gewicht in Grammen angegeben. Folgende Tabelle enthält die Beobachtungen:

Zeit.	Kette <i>A</i> .		Kette <i>B</i> .		Kette <i>C</i> .	
	Ablenkung.	Zinkgewicht.	Ablenkung.	Zinkgewicht.	Ablenkung.	Zinkgewicht.
März.	Gr.		Gr.		Gr.	
24	45	149,5	44	141,8	47,5	148,7
25	46		46		49	
26	46,5		47		50	
27	46,5		46		50	
28	46,5		46,5		49,5	
29	47	144	47	133,4	49,5	145,3
30	47		47		49	
31	47		47,5		48,5	
April.						
1	47,5		47,5		48	
2	47,5	140,4	47,5	128,2	49,3	141,6
3	47		47,5		49	
4	47		47,5		49	
5	46,5		47,5		49	
6	46,5		47,5		48,5	
7	47	136,8	47,5	121,3	48	136
8	45		47		48	

Zeit.	Kette A.		Kette B.		Kette C.	
	Ablenkung.	Zinkgewicht.	Ablenkung.	Zinkgewicht.	Ablenkung.	Zinkgewicht.
April.	Gr.		Gr.		Gr.	
9	44,5		47		47,5	
10	44,5		47		47,5	
11	46,5		47		47	
12	43	131,2	47	111,9	47	131,5
13	41		47		46	
14	39		47		46,5	
15	39		47		46	
16	39		47		46	
17	39	120,9	47	106,2	46	128
18	40		47		45	
19	59		47		45	
20	40		47		44,5	
21	40		47,5		45	
22	38		47,5		45	
23	38,5	118,9	47,5	103,7	46	126
24	34		47		46	
25	30		47		46	
26	28		47		46	
27	27½		47		46	
28	25		47		46	
29	24		47		46	
30	20		47		46	

Man sieht hieraus:

1) Dafs die Kette A, welche nach den oben mitgetheilten Beobachtungen in geschlossenem Zustand eine sehr constante Wirkung hat, beim abwechselnden Oeffnen und Schliesen weniger constant ist, als die beiden übrigen; sich also mehr zu gewissen wissenschaftlichen Zwecken eignet, als zu Telegraphen. Auch wirkt der Kupferniederschlag auf dem Zink und an der Zinkzelle mit der Zeit sehr störend.

2) Dafs die Kette B bei abwechselndem Oeffnen und Schliesen am constantesten bleibt und während der ganzen Zeit der bisherigen Beobachtung, das heifst während 38 Tagen, in ihrer Wirkung nicht abgenommen hat. Die Zinkconsumtion beträgt durchschnittlich 1 Gramm für den Tag und es können also leicht Zinkstücke verwendet werden, die ein ganzes Jahr ausdauern. Längere Erfahrungen werden zeigen, nach welcher Frist die Säure erneuert werden mufs. Wahrscheinlich ist dies vor 3 bis 4 Monaten

nicht nöthig und kann dann sehr leicht, ohne daß man die Kette auseinander zu nehmen braucht, geschehen. Die Thonzelle wird bei dieser Kette nicht mit Kupferkrystallen bedeckt, wie bei der vorigen; wohl aber löst sich im Ruhezustand Kupfer auf und schlägt sich im thätigen Zustand an dem Kupferblech wieder nieder. Das Zink wird nicht von Kupfer überzogen.

3) Sieht man aus den obigen Beobachtungen, daß die Kette *C* weniger constant bei abwechselndem Oeffnen und Schliessen ist, als *B*. Ihre Zinkconsumtion ist aber, bei fast gleicher Wirkung, geringer.

Die Ketten *B* und *C* sind also für Telegraphen, die nur während der Correspondenz geschlossen werden und nachher wieder geöffnet sind, ganz vorzüglich geeignet. In dieser Vermuthung habe ich auch schon am 6. März zwei, aus drei Elementen zusammengesetzte Ketten der Art *B* auf der hiesigen Telegraphenlinie in verschlossenen und versiegelten Kästchen, aus denen bloß die Polardrähte hervorragen, aufgestellt. Sie sind bis heute, also während 56 Tagen, benutzt worden, ohne daß irgend eine Veränderung, Nachfüllen, oder dergl. vorgenommen werden konnte, und haben ihren Dienst bisjetzt mit ungeschwächter Kraft und gleicher Sicherheit geleistet.

Die Zahl der Elemente, die zu einem Telegraphen nöthig sind, ist bekanntlich abhängig von den Widerständen der zeichengebenden Apparate, den Widerständen der Leitung und den Verlusten durch Isolirung, Gegenströme u. dergl. Der von mir construirte Zeichentelegraph ist eine Combination des Highton'schen Patents, beruhend auf dem Goldblattgalvanoskop von Cummings und des Wheatstone'schen Mechanismus an den in England allgemein verbreiteten Zeichentelegraphen. Dieser Zeichentelegraph ist mit einem Wecker verbunden, dessen Elektromagnet einen Widerstand von 3 Meter des obigen Argentandrahts leistet, während das Goldblatt einen etwas geringern Widerstand veranlaßt. Wenn der Strom durch das Goldblatt geht, ist der Wecker ausgeschlossen. Der Widerstand der

Leitung und der übrigen Hindernisse beträgt ungefähr 8 Meter Argentandraht für die 5000 Meter Weges der hiesigen Versuchslinie. Für zwei Telegraphen und diese Entfernung genügen zwei Elemente der Kette *B*, also auf je 7 Meter Widerstand des feinen Argentandrahtes, ein Element. Bei Vergleichung mit einem rotirenden Buchstabentelegraph von Fardely fand ich den Widerstand seiner Elektromagnete, gleich 13 Meter des obigen Argentandrahtes. Für 5000 Meter Weges und einen solchen Telegraph würden drei Elemente der Kette *B* nöthig seyn. Für eine Länge von 10 deutsche Meilen und 5 Telegraphen meiner Construction sind also Batterien von 18 Elementen der Kette *B* nöthig. Für dieselbe Entfernung und 5 Buchstaben Telegraphen mit obigen Widerständen bedürfte man Batterien von 26 bis 27 Elementen. Diese Größe der Batterie ist noch nicht lästig; für Entfernungen von 50 und mehr Meilen aber ist sie jedenfalls unbequem und man wird besser thun in solchen Fällen stärkere Ketten, die man öfter erneuern muß, anzuwenden. Die von Fardely auf mehreren Telegraphenlinien angewandte und von ihm bis jetzt noch geheim gehaltene Kette ist gleichfalls sehr constant und hat sonderbarer Weise fast gleiche elektromotorische Kraft mit der Kette *B*. Sie unterscheidet sich aber dadurch wesentlich von ihr, daß aus den Thoncyllindern derselben ein weißes Zinksalz in großer Menge efflorescirt, welches bei der Kette *A*, *B* und *C* nicht der Fall ist.

Seit 10 Tagen habe ich auch an zwei, aus 6 Elementen wie *B* und *C* zusammengesetzten Batterien, die täglich während $\frac{1}{2}$ Stunde geschlossen sind, Beobachtungen über die Ablenkung der Bussole angestellt. Es zeigt sich hinsichtlich der Constanz im Allgemeinen dasselbe Verhältniß wie bei der Beobachtung der einfachen Ketten *B* und *C*. Die erste Batterie nahm in den ersten 3 Tagen an Kraft zu und ist seitdem constant geblieben, während die zweite noch Schwankungen zeigt.

Um über die elektromotorische Kraft und Stromstärke der obigen Ketten Aufschluß zu erhalten, habe ich gestern

eine, seit 24 Stunden zusammengesetzte *A*-Kette, und die beiden seit 5 Wochen gebrauchten *B* und *C* Ketten mit einer erst vor 4 Stunden zusammengesetzten Daniell'schen Kette *D* verglichen. In letzterer war die Zinkzelle mit einer Mischung von 5 Theilen Schwefelsäure auf 100 Theile Wasser, die Kupferzelle mit gesättigter Kupfervitriollösung gefüllt. Nach den bei verschiedenen Widerständen angestellten Beobachtungen und den ziemlich genau übereinstimmenden Rechnungsergebnissen lassen sich die elektromotorischen Kräfte der Ketten *A*, *B*, *C* und *D* durch die Verhältniszahlen 1000, 927, 938, 1000 die Maxima der Stromstärken aber durch die Zahlen 131, 132, 142, 134 ausdrücken.

Carlsruhe den 1. Mai 1849.

VIII. Ueber eine neue Varietät von *Datolith*; von *W. Haidinger*.

(Aus dem Märzhefte 1849 d. Sitzungsberichte d. K. Acad. d. Wiss. vom
Hrn. Verf. mitgetheilt)

Vor wenigen Tagen erst brachte Hr. Siegmund v. Helmenreich ausgezeichnet schöne Krystalle der in so mannigfacher Beziehung merkwürdigen Species des *Datoliths* nach Wien. Er hatte sie selbst in dem Serpentinegebirge bei Toggiana nächst Baccasuola am Dragone im Modenesischen entdeckt, wo er seit einigen Monaten die Untersuchungsarbeiten leitete, welche auf Kosten des Herzogs von Modena begonnen worden waren. Ihm verdanke ich auch die Angabe, daß sie größtentheils auf unregelmäßig absetzenden Gangklüften, seltner in Drusen, die mit Mandelausfüllungen verglichen werden können, vorkommen, und zwar zunächst in Begleitung von Kalkspath; aber es kommen auch nebst dem *Datolith* mancherlei Krystalle von

Apophyllit, Chabasit, Prehnit, Quarz und andere Arten vor, die man in ähnlichen Verhältnissen auch anderwärts findet.

Ausgezeichnet schön ist der Datolith. Man kannte durch Esmarck erst nur die wenig durchscheinenden, blaß grünlichen Krystalle von Arendal, deren Oberfläche noch dazu größtentheils glanzlos ist. Als später die Varietät in den Achatkugeln von Theifs im Villnößthal bei Klausen in Tyrol entdeckt wurde, vermochte der starke Glanz und der viel bedeutendere Grad von Durchsichtigkeit, nebst der neu aufgefundenen Thatsache, daß ihre Form nicht dem orthotypen, sondern dem augitischen Krystallssystem angehören, Herrn Lévy, sie unter dem Namen *Humboldt* als eine eigene neue Species zu beschreiben. Mohs hatte sie längst, schon während seines Aufenthaltes in Gratz, für Datolith erkannt. In Freiburg studirte ich die wundervoll vielfächigen Formen bereits im Jahre 1817, und auf diesen Bestimmungen und Arbeiten beruhten die spätern Angaben in der „Charakteristik“ und dem „Grundrisse“ von Mohs. Spätere Untersuchungen an den Krystallen von Arendal, von Utön, von den Salisbury-Crags, von Patterson N. I. in Amerika, vom Andreasberg am Harze zeigten überall die dem augitischen Krystallssystem angehörige augitische Form bei blaßgrüntrüben Farben.

Nun zeigt sich plötzlich in dem neuen Funde der Datolith in seinem schönsten Glanze, weiß, glattflächig und stark glänzend, dabei so klar wie Eis oder Bergkrystall. Es ist dies ohne allen Vergleich die schönste bisher bekannte Varietät der Species, hier zum ersten Male der Aufmerksamkeit der Mineralogen empfohlen; denn in keinem mineralogischen Handbuche, in keiner Abhandlung, selbst nicht in den ausführlichen und wichtigen Mittheilungen von Burat (*Études sur les mines. Théorie des Gîtes métalliques*) ist irgend eine Nachricht darüber aufzufinden gewesen. Die geologische Karte von Italien von H. de Collegno, enthält nicht einmal die Serpentin- und Gabbro-Vorkommen von Toggiana. Vielleicht ist die Localität Reg-

gio von Breithaupt (Vollst. Handb. II. S. 306 ohne nähere Angaben) mit diesen in naher Verbindung.

In den Formen zeigt sich viel Uebereinstimmendes mit den Datolithen aus dem Theiser Mandelstein, so wie er insbesondere in Mohs's Grundrifs, nach meinen Beobachtungen, sich beschrieben und abgebildet findet. Ich kann hier nicht beabsichtigen die mannigfaltigen Formen ausführlich abzuhandeln, welche ich damals aufzeichnete noch auch die von mehreren andern Fundorten, von welchen ich später



Notizen gesammelt habe. Die beiliegende Figur zeigt die ausgezeichnetsten Krystalle der neuen Datolithvarietät von Toggiana. Ihre Formenverhältnisse sind durch folgende Bezeichnungsformeln ausgedrückt:

$$o. \bar{D}. A \backslash 2. 2 \bar{H} \backslash 2. - 2 \bar{A} 2 \backslash 2. - 4 \bar{A} 4 \backslash 2. - 5 \bar{A} 5 \backslash 2. \propto A.$$

$$\propto \bar{A} 2. \propto \bar{A} 3. \propto \bar{H}.$$

Die Fläche b stellt die Basis der Krystallreihe vor; sie ist nach Lévy unter $91^\circ 41' 30''$ gegen die Querfläche s geneigt, so daß die Fläche a die stumpferen Ecken zwischen der Endfläche und den Seitenflächen der Prismen g und g oder f und f hinwegnimmt. Die Flächen P sind als Grundgestalt der Reihe, nämlich als das Haupt-Augitoid angenommen, woraus sich alle übrigen Verhältnisse auf das Einfachste darstellen. Herr v. Hauer hat auf meine Bitte sämtliche Winkel eines schön gebildeten Krystalls von einem halben Zoll Durchmesser revidirt, doch ging vorläufig der Zweck der Untersuchung nicht weiter als dahin, die noch nicht genau bestimmten Flächen kennen zu lernen. Die Flächen des Augitoides — $5 \bar{A} 5 \backslash 2$ oder m wurden erst durch diese Messung sicher bestimmt. Die Abmessungen folgen nicht aus der Lage von parallelen Combinationskanten, und wurden früher nur als mit den Abmessungen von — $5 \bar{A} 5 \backslash 2$ übereinstimmend angenommen.

Das Prisma ∞AB oder t ist erst an diesem Krystall neu beobachtet und durch die Messung bestimmt. Manche Fragen über die genauen Abmessungen werden sich erst beantworten lassen, wenn die Arbeiten fortgesetzt und über eine grössere Anzahl von Krystallen ausgedehnt werden.

Es wird dann gewiss auch gelingen, in optischer Beziehung werthvolle Daten zu erhalten, da sich grössere Krystalle zu schönen Platten schleifen lassen werden, an welchen man die Lage der Axen aufsuchen kann. Einstweilen untersuchte ich den Charakter derjenigen optischen Axenlinie, welche die Mitte der Kanten A und A' mit einander verbindet.

Wenn man die beiden Flächen f, f als brechendes Prisma benutzt und eine Kerzenflamme durch sie hindurch betrachtet, so ist das weniger abgelenkte Bild in der Richtung der Kante A , das mehr abgelenkte Bild in der Richtung senkrecht auf diese Kante polarisirt. Bekanntlich kann man die Lage der Polarisationsebene leicht durch eine Turmalinplatte hindurch erkennen, welche man zwischen das brechende Prisma und das Auge bringt. Ein ganz gleiches Resultat erhält man, wenn ein Kerzenlicht durch die Flächen dd über dieselbe Kante hinüber betrachtet wird. Das weniger abgelenkte Bild ist parallel der Kante dd , das mehr abgelenkte Bild senkrecht auf diese Kante polarisirt. Gerade das Entgegengesetzte findet statt, wenn man statt des Datolithkrystalls einen Quarzkrystall zur Prüfung des Charakters seiner optischen Axe auf dieselbe Art untersucht, und dabei zwei der gegen die Axe gleich geneigten Flächen (also P und z) als brechendes Prisma anwendet. Dann ist das parallel der brechenden Kanten polarisirte Bild das mehr abgelenkte, und das senkrecht darauf polarisirte ist das weniger abgelenkte. Der Charakter der optischen Axe des Quarzes ist aber *positiv* oder *attraktiv*. Der Charakter der Linie, welche die Lage der augitischen Queraxe am Datolith hat, ist also *negativ* oder *repulsiv*.

Die Borsäure als Bestandtheil der Mischung von Mineralspecies ist keineswegs selten. Kein Turmalin ist in neue-

rer Zeit analysirt worden, der sie nicht enthielte, sibirische Varietäten nach Hermann sogar bis zu nahe an 12 Procent. Auch der seltneren Axinit enthält Borsäure. Die Species jedoch, welche in gröfserer Menge, 20 Proc. und darüber an Borsäure enthalten, sind bisher nur auf wenige Fundorte beschränkt, und diese in Europa nach der mineralogischen Topographie so eigenthümlich vertheilt, dafs sie, veranlafst durch diesen neuen Fund, wohl hervorgehoben zu werden verdienen.

Reihen wir die bekannten Fundorte, von dem südlichsten beginnend, aneinander, so entsteht folgendes Verzeichniß:

	Breite.	Länge ¹⁾ .
Vulcano, Insel, Borsäure, Sassolin . . .	38°25'	32°40'
Monte Catini, Toscana, nach v. Helmreichen Datolith	43°24'	28°22'
Sasso, Borsäure, Sassolin	41° 8'	29° 0'
Toggiana, Datolith	44°16'	28°16'
Theifs bei Klausen, Tyrol, Datolith . . .	46°40'	29°15'
Sonthofen, Bayern, Datolith	47°32'	27°54'
Wolfstein (Niederkirchen) Rheinbayern, Datolith	49°40'	25°17'
Andreasberg, Harz, Datolith	51°42'	28°20'
Stassfurt, Preussen, dichter Boracit . . .	51°51'	29°16'
Lüneburg, Boracit	53°15'	28° 5'
Segeberg, Holstein, Boracit	53°56'	27°57'
Arendal, Norwegen, Datolith	58°30'	26°30'

Es ist nicht ohne Interesse, die Fundorte auf einer Karte aufzusuchen und durch gerade Linien mit einander zu verbinden. Auf eine Länge von 300 geographischen Meilen ist die Breite des Striches, auf dem sie vorkommen, mit Ausschluss von Vulcano, nicht gröfser als 35 Meilen, und für die gröfsere östliche Abweichung von Vulcano liegt wohl in dem tief eindringenden Einfluss der Linie zwischen dem Vesuv und Aetna ein hinreichender Grund.

1) Da es sich nicht um genaue geographische Bestimmungen handelte, so entnahm ich die Angaben nur schätzungsweise aus den Karten.

Außer den oben angeführten sind nur noch zwei Localitäten von Datolith in Europa bekannt geworden, von Salisbury-crag bei Edinburg (55°56' Br. 14°25' L.) und Utön (58°50' Br. 36°0' L.); sie würden ungefähr eine Querlinie bilden, welche durch den nördlichsten der verzeichneten Punkte hindurchgeht.

Es wäre wohl voreilig, diese ersten vorläufigen Wahrnehmungen gleich dazu benutzen zu wollen, um Hypothesen über die Ursache der Erscheinung abzuleiten, so lange man noch so wenig die Zustände des Fortschrittes der Metamorphose in den einzelnen Gebirgsschichten verfolgt hat. So viel ist wohl unläugbar, daß an den gegenwärtigen Fundorten der wenigen borsäurehaltigen Species, jene Säure in bedeutender Menge in der Gebirgsfeuchtigkeit, welche die Gesteine durchdrang, vorhanden gewesen seyn muß, denn man kann wohl annehmen, daß die Grundstoffe sich in steter Bewegung in der nur im Ganzen starren Erdrinde befinden, während es Allem, was uns bisjetzt bekannt ist, widersprechen würde, wenn man behaupten wollte, die Mineralspecies, wie wir sie jetzt in großen oder kleinen Krystallen, auf Gängen oder in der Masse des Gesteins antreffen, wären immer von allem Anfange so neben einander hingestellt gewesen.

Aber es läßt sich noch eine weitere Bemerkung über die Art des Vorkommens machen. Utön und Arendal liefern den Datolith aus Magneteisensteinlagern im Gneiß. Gegen Südwest vorschreitend kommen dann die Boracite von Segeberg, Lüneburg, Stafsfurt in dem Steinsalzgebirge von Norddeutschland. Auf Klüften in Grünstein und in den Blasenräumen von Mandelsteinen findet sich Datolith bei Edinburg, am Harz — hier auch in den Erzgängen in Thonschiefer, — zu Niederkirchen, Southofen, Theifs bei Klausen. Die modenesischen und toscanischen Datolithe finden sich in dem der Tertiärzeit angehörigen Serpentin, endlich sind die Borsäureabsätze durch Sublimation von Sasso und von Vulcano Bildungsvorgänge der neuesten, der gegenwärtigen Zeit. Auch hier ist ein Fortschreiten im geologischen

schen Alter nach der geographischen Lage nicht zu verkennen, wenn auch nur vorerst ganz im Allgemeinen angedeutet, wobei man vorzüglich nicht übersehen muß, daß die Bildung der Borate erst in späte Perioden nach dem ursprünglichen Absatz derjenigen Gesteinschichten fällt, in welchen sie nun angetroffen werden.

Nur ein einziger Datolithfundort in Europa liegt außerhalb der vorerwähnten Systeme, nämlich der des Haytorits — der Pseudomorphosen von Quarz nach Datolith — von Devonshire.

Die Datolithfundorte in den Vereinigten Staaten von Nord-Amerika liegen sämmtlich in der Nähe von New-York, vorzüglich in dem Staate New-Jersey, New-York und Connecticut.

Indem ich die vorhergehenden wenigen Thatsachen der hochverehrten Classe vorzulegen wage, muß ich nur noch den Wunsch aussprechen, daß es dem Forschungseifer rüstiger Sammler gelingen möge, neue Fundorte der genannten borsäurereichen Mineralspecies aufzudecken, sey es in dem Verlaufe und in der Fortsetzung der nordsüdlichen Hauptlinie, wo man sie wohl an mehreren Orten anzutreffen erwarten dürfte, sey es von derselben entfernt. Auch wäre es wünschenswerth dem Gehalte der Quellen in dieser Beziehung eine besondere Aufmerksamkeit zuzuwenden. Eigentlich ist bisher die Borsäure, sowohl in Vulcano, als in den toscanischen Soffioni nur als Absatz aus Gasquellen bekannt: in die wässerige Lösung der Lagoni kommt sie erst durch Absatz oder Aufnahme aus denselben; aber sie muß doch später wieder von den atmosphärischen Niederschlägen mit hinweggeführt werden, und geht dann entweder weiter in den großen Kreislauf der Gewässer ein, oder dringt tiefer zur Bildung neuer Gebirgsfeuchtigkeit in die Erdrinde ein.

IX. Ueber eine nach Gypskrystallen gebildete Pseudomorphose von Brauneisenstein; von Wilhelm Haidinger.

(Aus Heft I. Jahrg. 1849 d. Sitzungsberichte der K. Acad. der Wiss; vom Hrn. Verf. mitgetheilt.)

Hrn. Professor Tunner in Vordenberg verdanke ich die lehrreiche Stufe, auf welche sich die gegenwärtige Mittheilung bezieht. Ein Vorkommen dieser Art ist bisher noch nicht beschrieben worden, selbst nicht in den so reichen Sammelwerken von Blum ¹⁾ und Landgrebe ²⁾. Es ist vorzüglich auch der Beachtung werth, weil es die Beziehungen zwischen einem Salzhydrat, dem gewässerten schwefelsauren Kalk oder Gyps, und einem Oxydhydrat, dem des Eisens oder dem Brauneisenstein ausdrückt, also in der großen Reihe der Pseudomorphosen nahe an einem der Endpunkte steht, und zwar an demjenigen, der sich noch unmittelbar an die Verhältnisse und Zustände anschließt, die wir in unseren Laboratorien zu beobachten gewohnt sind.

Es mußte höchst wichtig seyn zu wissen, unter welchen natürlichen Verhältnissen sich die Stufe gefunden hatte, und auch hierin, glücklicher als der Mineraloge und Geologe bei dem Vorkommen so mancher anderen Pseudomorphosen ist, konnte mir Hr. Professor Tunner die nachfolgende ausführlichere Notiz mittheilen:

„Die übersandte Stufe mit den Afterskrystallen, Brauneisenstein nach Gyps, ist aus dem alten Bergwerke zu Zeyring bei Judenburg genommen, und zwar aus der Mündung einer weiten offenen Gangkluft in einer alten Zeche. Bekanntlich bauten die Alten dort auf Silbererze, anscheinend in Bleiglanz, Kiesen und Fahlerz bestehend, von letzterem aber nur wenig. Seit mehr als fünfhundert Jahren ist die-

1) Die Pseudomorphosen des Mineralreichs und Nachtrag zu den Ps. d. M.

2) Die Pseudomorphosen im Mineralreiche u. s. w.

ser alte Bau jedoch, durch plötzliche Ertränkung gesperrt, ganz darnieder gelegen, bis im vorigen Jahrhunderte endlich wieder in den obern, von den Silbererzen bereits ausgebauten Zechen und Oertern, auf Eisensteine zu bauen begonnen wurde und noch fortwährend in diesen alten Räumen mit gutem Erfolg gebaut wird, indem Rohwaud und Spath Eisenstein, großen Theils in Brauneisenstein umgewandelt, die Gangart der Silbererze bildend, den Alten kein Gegenstand des Abbaues war. Das Gebirge, in dem sich dieser Bergbau befindet, gehört den obern Gliedern der Urschiefer-Formation an, die daselbst mächtige Kalklager enthält, in denen die stets sehr steil einfallenden, vorzugsweise nach Mitternacht streichenden Gänge, besonders edel sich verhielten. Mehr oder weniger weit offene Gangspalten, mit rauhen, sehr unregelmäßig ausgefressenen Wänden, sind dort eine sehr häufige Erscheinung. Als spätere Bildungen findet man, aufser Ocker und Brauneisenstein, noch Weifsbleierz, Malachit, Kalksinter und Gyps, deren Bildung an geeigneten Stellen wohl auch jetzt noch ununterbrochen fortwährt. Der ungehinderte Zutritt des atmosphärischen Sauerstoffes und des Kohlensäure haltenden Wassers geht aus allem dem mit voller Gewisheit hervor. Neu und interessant bei dem fraglichen Vorgange ist mir nur der vollkommene Austausch in den Bestandtheilen zwischen schwefelsaurer Kalkerde und Eisenoxydhydrat, wie ihn die vorliegende Stufe nachweist. Bei der großen Verbreitung der Gyps- und Brauneisensteinlager, besonders in den jüngeren Gebirgen, kann dieser neue Schlüssel vielleicht Aufschlüsse zur Einsicht in manche räthselhafte Bildung gewähren.“

Die Stufe, welche gegenwärtig als ein werthvolles Geschenk Tunner's in dem k. k. montanistischen Museo aufgestellt ist, zeigt nun bei näherer Betrachtung folgende Beschaffenheit.

Unverkennbar tritt vor Allem, mit der gewöhnlichen braunen Farbe des Brauneisensteines, die wohlbekannteste Gestalt der Gypskrystalle ins Auge. Es sind die gewöhn-

lichen trapezoidischen Tafeln, oder mit der Ebene der Abweichung, der der vollkommenen Theilbarkeit vertical gestellt, die sechsseitigen Prismen $\propto A \cdot \infty \bar{D}$ mit zwei Kanten von $111^{\circ} 14'$; und dem unter $114^{\circ} 24'$ und $65^{\circ} 36'$ geneigten Flächenpaare des Augitoides $A \setminus 2$ von $143^{\circ} 28'$ (Haüy's *Chaux sulfatée trapézienne*). Sie sind bis einen Zoll lang und etwa halb so breit und dick. Aber es ist auch die letzte Spur der ursprünglichen Masse von schwefelsaurem Kalk verschwunden. Die Form der ehemaligen Gypskrystalle erscheint nicht scharfkantig, sondern wie mit einem wenn auch dünnen Ueberzug bekleidet, so daß die Flächen noch Ebenheit und spiegelnden Glanz zeigen, während die Kanten abgerundet sind. Im Inneren zeigen sie, entzwei gebrochen, zellige leere Räume, von glatten Flächen umschlossen, welche die Abdrücke der ursprünglichen Krystall-Oberflächen und der den Theilungsflächen parallelen Sprünge sind. Die ursprünglichen Gypskrystalle waren in Drusen hin und wieder zusammengehäuft; in den Vertiefungen zwischen den Krystallen und an die Oberfläche derselben anschließend, erscheinen concavè glänzende Ueberrindungen von Brauneisenstein, welche in ihrem äußeren Ansehen an die bekannten glänzenden Absätze von dünnen Lagen von Eisenoxydhydrat erinnern, wie sie sich aus eisenhaltigen, der Luft ausgesetzten Wassern nach und nach niederschlagen. Der Brauneisenstein selbst ist ganz dicht im Bruche, ohne Glaskopfstructur; der Strich licht und rein gelblichbraun. An der Oberfläche der Pseudomorphosen ist hin und wieder weißer, halbdurchsichtiger Kalkspath abgesetzt in unregelmäßig verwachsenen Individuen von zwei bis drei Linien Durchmesser, vorwaltend die stark nach der kurzen Diagonale gestreiften Flächen des flachen Rhomboëders $\frac{1}{2}$ R.; das durch Abstumpfung der Kanten aus dem Grundrhomboëder entsteht. Die Bergart, auf welcher die Brauneisenstein-Pseudomorphosen aufsitzen, zum Theil ein inniges Gemenge von Kalkspath mit pulverigem ockergelben Eisenoxydhydrat, dieses Gemenge in Lagen aufeinander folgend, die zum Theil wie aufgetrie-

ben von einander abstehen. Eine Art von lagenförmiger Parallelstructur geht durch das ganze Stück hindurch. In dem mit Eisenoxyd gemengten Kalkspath und in dem Eisenocker selbst sind um und um ausgebildete Blättchen von weißem zweiaxigem Glimmer eingeschlossen.

Um sich eine Theorie der Bildung aus den beobachteten Gegebenen ableiten zu können, ist es nothwendig die einzelnen Bestandtheile der Species zu kennen, die man entweder jetzt noch vor sich hat, oder deren früheres Daseyn man unmittelbar erkennt, nämlich Kalk, Eisen, Schwefel, Kohle, Oxygen, Hydrogen, in den Combinationen von Kohlensäure, Schwefelsäure, Eisenoxyd-Hydrat, Kalkerde.

Der gegenwärtige Zustand zeigt insbesondere zu oberst kohlen sauren Kalk, darunter Eisenoxydhydrat, dieses selbst wieder aufliegend auf einem Gemenge von Eisenoxydhydrat mit kohlen saurem Kalk in lagenförmiger Anordnung.

Ein früherer Zustand hatte eine größere Menge von Kalk verbunden mit Schwefelsäure.

Schließen wir noch um einen Zustand zurück, nach einer Analogie, die man freilich überhaupt so häufig antrifft, daß man sie ohne Weiteres anzunehmen berechtigt wäre, die aber hier durch die Beobachtung in der Natur nachgewiesen wird.

Das Erzvorkommen von Zeyring bestand nach Turner's obiger Mittheilung aus Bleiglanz, Kiesen und Fablerz in Spatheisenstein und Rohwand, das heißt, aus der so gewöhnlichen Verbindung von Schwefelmetallen mit kohlen sauren Basen, die man im Schiefergebirge auch in den Alpen so häufig antrifft. Die Alten ließen die kohlen sauren Verbindungen größtentheils zurück, und man baut jetzt auf Brauneisenstein, der also nachweisbar aus der Verwitterung des Spatheisensteins entstanden ist. Was im Allgemeinen bewiesen ist, muß auch auf jedes einzelne Stück sich beziehen, welches man dort findet.

Ohne Zweifel ist daher der erste Zustand, wenigstens der von dem man hier in der Erklärung ausgehen muß, der eines Gemenges von Schwefelkies, Spatheisenstein und

Kalkstein. Es können füglich andere Schwefelmetalle so wie der Ankerit weggelassen werden, da die ersteren, deren früheres Daseyn zugleich durch den Malachit und das Weisbleierz bewiesen wird, in der Stufe nicht mehr erscheinen und die Bestandtheile des letztern in den andern beiden kohlen sauren Species enthalten sind.

Wenn der Schwefelkies FeS_2 dergestalt in dem Vorgange der Anogenie verwittert, das Eisenvitriol $\text{FeO} + \text{SO}_3 + 6\text{H}_2\text{O}$ entsteht, so bleibt noch ein Antheil Schwefel übrig, der selbst ebenfalls in Schwefelsäure verwandelt und mit Kalkerde gesättigt $\text{CaO} + \text{SO}_3 + 2\text{H}_2\text{O}$ oder Gyps zu bilden im Stande ist. Diefs ist der erste Abschnitt der Veränderung. Eisenvitriol wird hinweggeführt, Gyps krystallisirt in klaren weissen Individuen.

Wir haben oft Gelegenheit den Vorgang zu beobachten, wie aus dem Eisenvitriol durch fortgesetzte Anogenie erst schwefelsaures Eisenoxyd gebildet wird, und wie sich sodann Oxydhydrat absetzt, denn die Sättigungsgrade von Oxydul und Oxyd mit Schwefelsäure sind verschieden, und während die ganze Säure mit einem Theile des Oxydes fortgeht, bleibt ein anderer Theil als Oxydhydrat $2\text{Fe}_2\text{O}_3 + 3\text{H}_2\text{O}$ (Limonit, Brauneisenstein u. s. w.) und $\text{Fe}_2\text{O}_3 + \text{H}_2\text{O}$ (Göthit, Nadeleisenerz), das heifst mit den Mischungsverhältnissen des Brauneisensteins zurück. In manchen Fällen bildet sich auch wohl erst eine Zwischenstufe, der Vitriolocher von Berzelius ($\text{Fe}_2\text{O}_3 + \text{SO}_3 + 6\text{H}_2\text{O}$) wie in Fahlun; ferner stehen auch gewifs häufig die basischen Eisenoxydsalze, zum Theil in zusammengesetzteren Verbindungen, wie die mannigfaltigen Eisensinter und ähnliche Verbindungen zwischen den äußersten Sättigungszuständen.

Der Absatz von Brauneisenstein an der Oberfläche der Gypskrystalle erscheint daher als ein zweiter Abschnitt des anogenen Fortschrittes. Aber der Gyps selbst ist in Wasser löslich. Führt der Strom der Gebirgsfeuchtigkeit nicht immer neue gesättigte Gypslösungen hinzu, so mußten die Krystalle desselben nach und nach aufgelöst und hinweg-

geführt werden, während sich eben in der mehr wässrigen Auflösung die Oxydation des Eisenvitriols immer vollständiger entwickelte.

Die Verwandlung des Schwefelkieses, erst rascher, nimmt in dieser zweiten Periode schon an Schnelligkeit ab. In einer dritten tritt Ruhe ein, die Kohlensäure gewinnt die Oberhand, es bildet sich ein Ueberzug von kohlensaurem Kalk, den beobachteten Kalkspathkrystallen; aber es ist dies augenscheinlich nicht eine weitere Fortsetzung eines anogenen Vorgangs, sondern es ist ein gegenüber der Bildung von Eisenoxydhydrat unlängbar katogener Fortschritt, der nach jener ersten Periode und ihrer Fortsetzung als Ausgleichung wieder eintrat.

Wir haben also hier deutlich drei Perioden:

1. Bildung von Gypskrystallen, anogen durch Oxydation von Schwefelkies und Auflösung von Kalkspath;
2. Ablagerung von Brauneisenstein; anogen aus der Oxydation des Eisenvitriols; Zerstörung des Gypses;
3. Bildung von Kalkspathkrystallen, katogen.

Die Eröffnung der Räume durch den Bergbau, störte den Zustand des elektrochemischen Gleichgewichts im Innern des Gebirges. Nach der eingetretenen in elektronegativer Richtung wirkenden Veränderung stellte sich der allgemeine elektropositive oder katogene Fortschritt in dem Absatz des Kalkspathes wieder ein.

Man sieht aus der vorhergehenden Erörterung wohl deutlich, wie viele Haltpunkte schon die allgemeine Kenntniss des Vorkommens, mit einem ziemlich grossen Stücke des Minerals verglichen, es misst etwa 7 Zoll in der Länge, bei 5 Zoll Breite und 3 Zoll Dicke, den Schlüssen zur Erklärung der Erscheinung darbot. Manches dürfte noch anschaulich geworden seyn, hätte man die Lage des Stückes in der Höhlung, worin man es fand, die Beschaffenheit derselben an verschiedenen Punkten, den Zustand und die Zusammensetzung des Nebengesteins und so weiter gekannt, aber man wird Daten dieser Art erst erhalten, wenn man die wissenschaftlichen Resultate nicht nur nebenher ausbeu-

ten muß, sondern wenn sie einer viel allgemeineren Aufmerksamkeit gewürdigt werden, als dies jetzt noch zu häufig geschieht.

**X. Ueber ein neues Vorkommen von Kupferkies
aus dem Salzberge von Hall in Tyrol;
von W. Haidinger.**

(Aus Heft III. der Sitzungsberichte der K. Acad. d. Wiss.; vom Hrn. Verf. mitgetheilt).

Die Belegstücke zu dieser gegenwärtigen Mittheilung sind so eben erst von Hrn. Schichtmeister M. V. Lipold an Hrn. v. Hauer für das k. k. montanistische Museum eingesandt worden, mit dem Bemerken, daß dieses Vorkommen in den Klüften im Thon zugleich mit Steinsalz und „gleichsam das eine das andere ersetzend“ ein großes geologisches Interesse darbiete, und dort noch niemals wahrgenommen worden sey.

Die Erscheinung hat auch in der That viel Auffallendes. Die Grundmasse ist der schon ziemlich feste dunkelgraue Salzthon des Haselgebirges, festere Bruchstücke in einer weichen Masse eingeschlossen. In derselben ist rothes Steinsalz eingewachsen, und zwar in den schon öfters beschriebenen Gestalten, ursprünglich Würfel, aber von den Seiten her zusammengepreßt, so daß im Querbruche nur ein kleineres Rechteck erscheint, das von vier Strahlen umgeben ist, die sich an die Ecken anschließen und die frühere Ausdehnung des Krystalles bezeichnen. Die Würfel sind auch noch in einer Richtung etwas zusammengedrückt, die senkrecht auf einer ziemlich deutlich wahrnehmbaren beginnenden Schieferung steht, sie mögen was immer für eine Lage in Bezug auf ihre Krystallaxen haben; einige sind daher zwischen den Flächen, andere zwischen den Kan-

ten zusammengedrückt. Außerdem findet sich noch rothgefärbtes Salz mit körniger Structur in *linsenförmigen* Parthien, in der Richtung jener Schieferung, nicht als eigentliche zusammenhängende Lagen, doch sind sie bei einer Dicke einer Linie oft mehr als einen Zoll lang. An das Vorkommen des rothen Salzes schließt nun das der andern Species an. Schon wenn man aus den würflichen, von Salz erfüllten Räumen dieses Salz durch Auflösung entfernt, so erscheint der innere Raum ganz überdeckt mit einer Rinde von kleinen weissen Krystallen, an welchen zum Theil die aus zwei senkrecht aufeinander stehenden Prismen bestehende Combinationsform des Cölestins deutlich erscheint, doch war sie für eine ganz genaue Bestimmung gar zu klein. Auch die chemischen Reactionen, durch Hrn. v. Morlot geprüft, zeigten übrigens das Vorhandenseyn des schwefelsauren Strontians. Hin und wieder erscheint auch Anhydrit, besonders an einigen Stellen in jenen linsenförmigen Parthien, und zwar in verhältnißmäsig größeren, vollkommen theilbaren Individuen. Ferner, und dieß ist das Auffallendste, erscheint Kupferkies, theils für sich kleine linsenförmige Parthien, ähnlich denen des rothen Salzes und in derselben der Schieferung entsprechenden Lage bildend, theils innerhalb der größeren linsenförmigen Parthien des rothen Salzes, und gewissermaßen als Stellvertreter eines Theiles derselben. Der Kupferkies ist überall vollkommen krystallinisch, glänzend mit muschligem Bruche, selbst die Zwillingskrystallisation kann man an der in geraden Linien scharf abgeschnittenen Lage der deutlichen Theilungsflächen erkennen. In einigen der rothen Steinsalzkryrstalle sind kleine Krystalle von Kupferkies eingewachsen. Endlich kommt auch noch an den Stücken weisses faseriges Steinsalz in dünnen gangartigen Platten in dem dunkelgrauen Thonmergel vor, und in größeren weissen Parthien in den weicheren Massen des Haselgebirges.

Es läßt sich nun aus den Beobachtungen eine Reihe von aufeinander folgenden Zuständen ableiten, die in Be-

zug auf Art der Ablagerung, Temperatur und Druck gewiß viele Beachtung verdienen.

1. Thoniger Schlamm, in einer sehr concentrirten Salzlösung. Würfel von rothem Salze bilden sich innerhalb des Schlammes.

Das Salz ist roth, eisenhaltig. Bei der gewöhnlichen Temperatur und Pressung krystallisirt weißes Salz. Man kann daher wohl voraussetzen, daß während der Bildung der Krystalle eine etwas höhere Temperatur statt fand, und zwar zwischen der gewöhnlichen und der Siedhitze, folgend auf eine noch höhere, welcher die Masse früher ausgesetzt war.

2. Bei fortdauernder Ruhe vermehrter Druck. Mit dem zu Thonmergel erhärtenden Thone werden auch die eingewachsenen Salzwürfel zusammengedrückt. Der Thonmergel nimmt einen Beginn von Schieferung an. Aber während die Masse zusammengedrückt wird, geschieht dies nicht ganz gleichförmig. Die Bewegung der Gebirgsfeuchtigkeit auf den Structurflächen bringt einen Absatz von gleichfalls rothem Salze in den der Schieferung folgenden linsenförmigen Parthien hervor.

Im Fortgange wird ein Theil des Salzes aufgelöst, und in der Gebirgsfeuchtigkeit weggeführt; dagegen krystallisirt Cölestin in ganz kleinen Individuen im Innern der SalzkrySTALLräume, und Anhydrit ebenfalls an der Stelle des Salzes, vorzüglich in den Räumen der linsenförmigen Parthien. Gegen das Ende der Periode fällt der Absatz des Kupferkieses, und zwar an der Stelle, die augenscheinlich früher von Salz erfüllt war, sowohl in kleinen Krystallen im Innern der Salzwürfel, als auch in den linsenförmigen Räumen, theils gerade in dem mittleren Theile derselben, theils in von dem Salze abgesonderten Linsen und unregelmäßigen platten Lagen. Der hochkrystallinische Zustand des Kupferkieses sowohl, als des Anhydrits und Cölestins beweisen eine fortgesetzte Periode ruhigen Fortschrittes.

3. Die früher zusammenhängenden Massen des verhär-

tenden Thones werden zerbrochen und durch die weiche-
ren Theile, voll kleinerer Bruchstücke, die meisten an den
Kanten abgerundet, wieder breccienartig zusammen verkit-
tet. Es bildet sich das Haselgebirg. Salz setzt sich in
größern und kleinern Massen ab, aber nicht mehr rothés
und körnig zusammengesetzt, sondern weißes, körnig in
den größeren Räumen, fasrig in den Sprüngen und Klüf-
ten, welche die dunkelgraue Masse des verhärtenden Salz-
thones durchsetzen. Die weißen Salzgänge treffen an man-
chen Orten die Linsen von rothem Salze und Kupferkies
ohne durch sie hindurch zu gehen; man darf daraus schlie-
ßen, daß die in einer etwas höheren Temperatur bereits
ziemlich entwässerte Masse in einer darauf folgenden nie-
drigeren Temperatur bei fortdauernder Entwässerung sich
mehr zusammenzog, als die bereits wasserlose linsenför-
mige Parthie von Salz und Kupferkies.

Die Salzkristallisation in der Breccienbildung der drit-
ten Periode ist gewiß anogen in Vergleich mit den beiden
ersten, die einen katogenen Charakter zeigen. Aber man
kann eine solche Breccienbildung sehr weit zurück verfol-
gen, und erhält dadurch Veranlassung eruptive Zustände
so weit in der Geschichte der Salzgebilde zurück anzuneh-
men, daß am Ende selbst für den ersten der oben ange-
führten Zustände, den salzhaltigen Thonschlamm, keine an-
dere wahrscheinliche Bildung übrig bleibt, als eine erup-
tive. Mit dieser stimmt so Vieles überein, das man an den
vorliegenden und so vielen anderen Stücken in der Natur
beobachtet, und das auch allerdings sehr allgemein ange-
nommen wird. Hieher gehört unter andern das so auffal-
lende Verhältniß der gekrümmten Theilungsflächen groß-
blättriger Salzmassen, während sich in der ganzen langen
Reihe der Bildungen eine zusammenhängende Folge von
Handstücken aufweisen läßt, die von körnigem dunkelro-
them Salz beginnend durch alle Zwischentöne bis in das
weiße fasrige Gangsalz reichen. Eine kürzlich an das k. k.
montanistische Museum gelangte Sendung von Hallstatt ent-
hält diese *sämmtlichen Varietäten*, und verdient mit Ver-

gleichung anderer Vorkommen ausführlich in dieser Hinsicht noch weiter studirt zu werden.

So auffallend indessen auch auf den ersten Blick das Vorkommen des Kupferkieses im Salzthon mit Steinsalz ist, so ist doch nicht nur das Vorkommen einer andern Schwefelverbindung, des gewöhnlichen Schwefelkieses häufig, sondern, wie oben bemerkt wurde, auch Kupferkies schon in Aussee mit Anhydrit in Steinsalz eingewachsen gefunden. Ich erwähnte des Vorkommens in dem Handbuche der bestimmenden Mineralogie S. 137. Es sind die Sphenoide mit Axenkanten von $71^{\circ} 20'$ und Seitenkanten von $70^{\circ} 7'$. Sie wurden im k. k. montanistischen Museum aufgefunden, als man eine grofse Stufe von röthlichem Salz mit eingewachsenen Anhydritkrystallen in Wasser legte, um die letzteren aus der umgebenden Masse heraus zu bringen. Der Vorgang des Absatzes beruht auf der Verschiedenheit des Gehaltes an festen Stoffen von verschiedenen Strömen der Gebirgsfeuchtigkeit. Eisen- und Kupfersalze in der einen, etwa Chlorverbindungen derselben, in ganz kleiner Menge enthalten, werden allmählig zerlegt durch andere, die etwa Schwefelnatrium oder andere ähnliche Verbindungen mit sich führen, gelöst vielleicht in Strömen, die zugleich Schwefelwasserstoff enthalten, wie dies so häufig in den Salzrevieren sich findet. Chlorverbindungen aber von Eisen und Kupfer, und Schwefelnatrium in den erforderlichen Mengenverhältnissen zusammengeführt, zerlegen sich einfach zu Kupferkies und Steinsalz.

Gewifs hat hier das Steinsalz den Raum für den in einem späteren Abschnitte der Metamorphose gebildeten Kupferkies so zu sagen offen gehalten. Aber es ist selbst noch nicht in dem Fortgange derselben hinweggeführt worden. Hat man erst eine so lange Reihe von Veränderungen vor sich, so ist die Frage nicht mehr abzuwehren: Was würde wohl ein späterer Zustand der Bildung seyn? In dem nicht sehr weit entfernten Leogang in Salzburg kam mit dem Kupferkies, Cölestin vor, in Thonschiefer, mit Kalkspath, Quarz u. s. w., eine Zusammensetzung, wie man

sie als Fortschritt der Bildung erwarten könnte, aber in einer älteren Reihe der Gebirgsformationen.

XI. Bemerkungen über die Oxyde des Kobalts; von C. Rammelsberg.

Durch die Arbeiten von Winkelblech ¹⁾ und Beetz ²⁾ sind die beiden Verbindungen näher bekannt geworden, welche das Kobaltoxydul (Co) mit dem Kobaltoxyd (Co) bildet.

Die Verbindung $\text{Co}^3 \text{O}^2 = \text{Co} \ddot{\text{Co}}$ entsteht beim Erhitzen von $\ddot{\text{Co}}$ oder dessen Hydrat. Sie enthält 73,46 Kobalt und 26,54 Sauerstoff.

Die Verbindung $\text{Co}^6 \text{O}^7 = \text{Co}^3 \ddot{\text{Co}}$ bildet sich durch Glühen von Kobalt, von Oxydul, von kohlen-saurem oder oxalsaurem Kobaltoxydul an der Luft. Sie enthält 75,98 Kobalt und 24,02 Sauerstoff. Beetz hat bei der Beständigkeit dieser Verbindung vorgeschlagen, sie zur analytischen Bestimmung des Metalls anzuwenden.

Gerade in Beziehung auf diesen Punkt habe ich eine Reihe von Versuchen angestellt, indem reine Kobaltlösungen theils durch Kalihydrat, theils durch kohlen-saures Natron in der Siedhitze gefällt, theils aus essigsau-rem Kobalt durch Oxalsäure oxalsaures Kobaltoxydul niedergeschlagen wurde, und die Niederschläge theils an der Luft, theils in Sauerstoffgas geglüht wurden. Ihre Reduc-tion in Wasserstoffgas gab den Metallgehalt an.

A. *Kobaltoxydulhydrat*, durch Kalihydrat gefällt, und an der Luft geglüht (d. h. im Platintiegel über der Lampe mit doppeltem Luftzug), gab:

74,28 Proc. Metall.

1) Ann. der Pharm. Bd. 13, S. 148. 253.

2) Diese Ann. Bd. 61, S. 472.

B. Kohlensaures Kobaltoxydul, nach dem Trocknen auf gleiche Art geglüht, gab:

- 1) 72,69 Proc. Metall,
- 2) 73,63 „ „
- 3) 73,75 „ „
- 4) 74,27 „ „
- 5) 74,44 „ „

C. Oxalsaures Kobaltoxydul, und zwar;

a) an der Luft geglüht:

- 1) 73,62 Proc. Metall.

b) in Sauerstoffgas geglüht:

- 2) 73,68 Proc. Metall,
- 3) 73,83 „ „
- 4) 74,33 „ „

Hiernach hatten sich also das Oxydulhydrat, das Carbonat und das Oxalat beim Glühen in Co^6O^7 verwandelt.

Dieses Resultat steht mit den oben angeführten Versuchen der genannten Chemiker nicht im Einklang. Winkelblech erhielt, als er Oxydulhydrat in einem Platinschälchen an der Luft so lange glühte, bis das Gewicht unverändert blieb, eine Verbindung, worin 75,625 und 76,133 Proc. Metall enthalten waren, und Beetz fand 75,77 Proc. des letzteren, während er von der durch Glühen des Carbonats bereiteten Verbindung 75,85 Proc. Kobalt erhielt. Beide Chemiker hatten also $\text{Co}^6\text{O}^7 = \text{Co}^4\text{Co}$ vor sich.

Man sieht hieraus, daß es von der Temperatur abhängt, ob die eine oder die andere Verbindung erhalten wird, und daß die von mir angewandte unbezweifelte geringere Hitze stets Co^6O^7 gegeben hat. 100 Theile Co^6O^6 würden, wenn sie sich durch stärkere Hitze in Co^6O^7 umwandeln, einen Verlust von 3,32 Proc. erleiden.

Das steht aber hiernach fest, daß man bei analytischen Arbeiten aus dem Gewicht der durch Glühen von Kobaltniederschlägen, die durch ätzende oder kohlensaure Alkalien erhalten wurden, entstehenden schwarzen Verbindung

nicht mit Sicherheit die Menge des Metalls berechnen kann, sondern jene stets mittelst Wasserstoffgas reduciren muß.

Dagegen stimmen meine Versuche mit den früheren von Hefs ¹⁾) vollkommen überein, welcher gleichfalls fand, daß man durch Glühen von Kobaltoxydulhydrat, und von Oxalat an der Luft oder in Sauerstoffgas $\text{Co}^3 \text{O}^3$ erhält.

Dieselbe Verbindung entsteht durch Glühen von *Kobaltoxydhydrat*; Hefs fand darin 73,92 Metall, Beetz 72,83 und 73,45 Metall. Diefs bestätigen auch meine Versuche, zu denen ein Präparat benutzt wurde, welches durch Behandeln einer mit kohlensaurem Natron gefällten Auflösung von essigsauerm Kobaltoxydul mit Chlor, und Reinigung des schwarzen Oxyds mit kalter verdünnter Salpetersäure dargestellt worden war. 100 Theile der an der Luft geglühten Verbindung gaben bei der Reduction 72,96 und 73,42 Proc. Metall.

Ich füge dem Vorstehenden noch einige spec. Gewichtsbestimmungen hinzu.

A. *Metallisches Kobalt*, durch Wasserstoffgas reducirt:

8,132

8,643

9,138

9,375

9,495

Mittel = 8,9566.

Bekanntlich wiegt das *geschmolzene Metall*

8,485 nach Brunner,

8,513 „ Berzelius,

8,538 „ Tassaert u. Haüy,

8,7 „ Lampadius.

B. *Kobaltoxydul*, $\text{Co} \ddot{\text{O}}$,

5,833

6,090

6,296

Mittel = 6,073.

1) Diese Ann. Bd. 26, S. 542.

C. *Metallisches Nickel*, durch Wasserstoffgas reducirt:

8,975

9,261

Mittel = 9,118.

Das geschmolzene wird angegeben:

Für sich im Porzellan ofen reducirt	{	8,279 nach Richter,
		8,402 „ Turte,

Aus oxals. N. unter ei-
ner Glasdecke ge-
schmolzen

8,637 „ Brunner,

Geschmiedet

{ 8,666 „ Richter,

{ 8,932 „ Turte,

Im Kohlentiegel red. 9,000 nach Vanquelin u. Haüy.

D. *Nickeloxydul* gab

6,661.

XII. *Untersuchung einer Probe Californischen Goldes, von London über Hamburg bezogen; von F. Oswald in Oels.*

Die erhaltene Probe, eine Unze schwer, besteht aus kleinen Geschieben von 48—30, 24, 18 Gran Schwere bis zu den feinsten Flittern herab, vermengt mit etwas feinem eisenhaltigem Sande, zwischen welchem sich noch einige Eisenflittern, ein Paar Körnchen Bleiglanz, und ein Schüppchen Zinn befanden. Die Eisen- und Zinnflitter möchten wohl von den Instrumenten herrühren, deren man sich bei der Gewinnung des Goldes bedient.

Das Gold ist von hoher Farbe und feinem Striche, der dem des Ducaten fast gleich kommt; doch hat es ein schmutziges mattes Ansehen, welches von anhängendem braunrothen Eisenoxyd, von Thonerde, Kieselerde und kalkhaltigem Schlamm herrührt, welcher sich zum Theil schon durch Digestion mit Chlorwasserstoffsäure entfernen läßt.

Das

Das spezifische Gewicht einer aus *reinen* Stücken bestehenden Quantität fand ich 17,4.

Ein Gramm des Goldes bestehend aus kleinen Flittern gab folgendes Resultat:

		(B. D. Henry erhielt:)
Gold	0,876	Gold 88,75
Silber	0,087	Silber 8,88
Schlamm, bestehend aus		Kupfer u. Eisen 0,85
Eisenoxyd	}	0,017
Thonerde		
Kalk	}	0,037
Kieselerde		
Feuchtigkeit	}	0,020
Kleiner Verlust		
<hr style="width: 50%; margin: 0 auto;"/>		
1,000.		

Berücksichtigt man blofs die Legirung, so besteht dieselbe in 100 Theile aus:

		Henry erhielt:
Gold	909,66	Gold 90,01
Silber	90,34	Silber 9,01
	<hr style="width: 50%; margin: 0 auto;"/>	Kupfer 0,86.
	100,00.	

Das Resultat meiner Analyse würde demnach einer Legirung von $21\frac{4}{100}$ Karat entsprechen.

Das zweite Aprilheft des *polyt. Journ.* S. 1849, welches mir ein Paar Wochen nach Beendigung meiner Analyse erst in die Hände kam, giebt ebenfalls Analysen des californischen Goldes von B. D. Henry. Ich habe diese Angaben des Vergleiches wegen jetzt neben die meinigen gesetzt, woraus ersichtlich, daß unsere Resultate in Betreff des Gold- und Silbergehaltes fast ganz übereinstimmen; ich habe aber, obschon ich denselben Gang der Analyse einschlug, bei dieser einen Untersuchung kein Kupfer aufgefunden, sondern nur die angeführten Bestandtheile des Schlammes, welchem auch Feuchtigkeit anhing. Da ich den durch Schwefelwasserstoffammoniak erhaltenen Niederschlag, der Sicherheit halber, noch vor dem Löthrohr probirte, um mich

zu überzeugen, ob er goldfrei sey, hätte mir das Kupfer nicht entgehen können, wenn es vorhanden war.

Es möchte daher aus diesen Vergleichen zu folgern seyn:

- 1) dafs das Gold in Hinsicht auf den Silbergehalt nicht überall ganz gleichartig vorkommt,
- 2) dafs ebenso die Nebenbestandtheile nicht überall dieselben sowohl qualitativ als quantitativ seyn mögen, je nachdem entweder die natürlichen Beimischungen wechseln, oder aber mehr oder weniger Sorgfalt auf die Wäsche gewandt wird.

Oels im Mai 1819.

XIII. *Versuche das Atomgewicht des Ozons zu bestimmen; von G. Osann.*

In meinem letzten Aufsatz (Ann. Bd. 77, S. 592) hatte ich eine Analyse der Zusammensetzung des schwarzen Niederschlags gegeben, den man erhält, wenn man ozonirtes Sauerstoffgas in die ammoniakalische Auflösung führt, welche man bekommt, wenn man salpetersaures Silberoxyd mit Ammoniak versetzt. Meine mit Wasserstoffgas vorgenommene Analyse hatte 97,56 Proc. Silber und 2,44 Sauerstoff gegeben. Ich hielt ihn für das von Köhler entdeckte Silberoxydul Ag^2O . Die von mir aufgefundene Zusammensetzung entspricht jedoch Ag^3O . Da ein Versuch bei einer solchen Untersuchung nicht entscheidend ist, so war ich vor Allem bedacht, mir eine grössere Menge dieses Körpers darzustellen. Eine solche wurde durch Ueberströmen von atmosphärischer Luft über Phosphorstücke, welche sich in einer langen Glasröhre befanden und Hinleiten der ozonirten Luft in salpetersaure Silberoxydammoniakflüssigkeit erhalten. Nachdem der erhaltene schwarze Nieder-

schlag gehörig ausgewaschen und getrocknet worden war, war ich zunächst darauf bedacht, die hygroskopische Feuchtigkeit desselben zu bestimmen. Es wurde daher über eine abgewogene Menge, welche auf einem Platinblech befindlich, in eine Glasröhre geschoben worden war, heiße Luft von der Temperatur des siedenden Wassers geleitet, nachdem sie vorher durch eine lange Glasröhre, angefüllt mit Chlorcalciumstücken, geleitet und hierdurch trocken gemacht worden war. Die über die Substanz hinweggeleitete heiße Luft würde in einer gewogenen Chlorcalciumröhre aufgefangen, woselbst sie den aufgenommenen Wassergehalt absetzen sollte. Der auf diese Weise angestellte Versuch gab jedoch keine Gewichtszunahme der Chlorcalciumröhre. Es wurde jetzt zur Analyse mit Wasserstoffgas geschritten. Die erhaltenen Resultate sind in folgender Zusammenstellung angegeben:

Angew. Menge d. Substanz.	N. d. Behandl. mit Wasserstoffgas.	in Proc. Silber.	in Proc. Ozon-Sauerstoff.
1. 0,5772 Grm.	0,5624	97,35	2,65
2. 0,4142 „	0,4030	97,24	2,76
3. 0,5180 „	0,5035	97,20	2,80.

Im Mittel also 97,26 entsprechend meinem ersten Versuch, bei welchem ich 97,56 Silber erhalten hatte.

Dieses abweichende Resultat von der Zusammensetzung des Silberoxyduls von Köhler führte noch zu dem Gedanken, es möchte dieser Körper gar kein Oxyd seyn, sondern eine Verbindung von Silber mit Ozon-Sauerstoff, so will ich einstweilen diesen Körper nennen. Hierdurch schien mir auch das frühere abweichende Resultat über die Zusammensetzung des durch Ozon-Sauerstoff erhaltenen Bleioxyds erklärlich (s. letzten Aufsatz). Ich hatte nämlich als ich das durch ozonisirte Luft erhaltene Bleioxyd analysirte, 94,85 Proc. Blei gefunden, während die atomistische Zusammensetzung des Bleioxyds (PbO) 92,86 Proc. giebt. Ist nun aber der Ozon-Sauerstoff ein besonderer Körper, so muß er auch ein besonderes Atomgewicht haben und ich wurde jetzt veranlaßt nach den beiden Zu-

sammensetzungen des Bleis und Silbers damit das Atomgewicht des Ozon-Sauerstoffs zu berechnen. Berechnet man dasselbe nach dem Ergebnifs der Bleiverbindung, so erhält man $\frac{5,15 \times 103,738}{94,85} = 5,63$ und berechnet man es nach der Zusammensetzung der Silberverbindung, so bekommt man, wenn man 2 At. Silber darin annimmt $\frac{2,74 \times 2 \cdot 108,146}{97,28} = 6,10$.

Beide Zahlen stimmen freilich noch nicht so zusammen, wie man sie von Atomgewichtsbestimmungen verlangen kann. Diese Bestimmungen sind jedoch auch nicht zu diesem Zweck vorgenommen worden. Sie scheinen mir jedoch soviel nachzuweisen, dafs dem Ozon-Sauerstoff ein bestimmtes Atomgewicht zukommt und dafs er keineswegs blofs eine Modification des Sauerstoffs sey, sondern eine eigenthümliche Substanz, wie Chlor, Brom u. s. w.; ob einfach oder zusammengesetzt, diefs wäre vorläufig eine noch nicht zu beantwortende Frage. Sollte das Ozon blofs eine Modification des Sauerstoffs seyn, wie wollte man die Zersetzungen einer Auflösung von PbO in KO und der salpetersauren Silberoxydammoniaklösung erklären, wenn nicht ein höheres Oxyd sich bildete? Dagegen ist die Erklärung sehr einfach, wenn das Ozon ein besonderer Körper ist, weil man dann nicht nöthig hat, seine Verbindungen als auflöslieh in Kali und salpetersaurem Ammoniak anzunehmen.

Würzburg d. 29. Juli 1849.

XIV. *Ueber die Temperatur; bei der die Schiefsbaumwolle sich entzündet; von C. Marx*

Seitdem die mit der Entdeckung der Schiefsbaumwolle und ähnlicher Präparate (welche die Franzosen Pyroxylin nennen und die vielleicht passender mit dem allgemeinen Na-

men „Fulmin“ bezeichnet würden) erweckten großen Erwartungen sich nicht bestätigt haben; ist auch das anfänglich so große Interesse daran sehr geschwunden. Inzwischen tauchen doch von Zeit zu Zeit Ankündigungen auf, welche die praktische Wichtigkeit und mögliche Anwendbarkeit darzuthun suchen. Es ist nun an der Zeit unverholen auszusprechen, daß man jeden Gedanken daran unbedingt aufgeben müsse. Der Hauptgrund ist die große, oft unvermeidliche, auch bei verhältnißmäßig niedern Temperaturen stattfindende Entzündbarkeit derselben, wodurch ihre Bereitung, Aufbewahrung und Verführung im hohen Grade unsicher und gefährlich wird. Es ist dieser Gegenstand wieder neuerlich in Frankreich, wo man sich wohl am Umfassendsten mit der Darstellung solcher Produkte beschäftigt hat, zur Sprache gekommen. Da indessen nirgend so detaillirte Versuche angestellt oder angegeben sind, als ich vor einiger Zeit in einer kleinen Schrift, die vielleicht wenigen Physikern mag zu Gesicht gekommen seyn, mitgetheilt habe, so halte ich es nicht für unangemessen, sie hier einer weitern Verbreitung zu übergeben. Sie sind enthalten in den „*Untersuchungen über den Bestand und die Wirkungen der explosiven Baumwolle*, von Dr. Th. Hartig. Braunschweig 1847“. In einem Anhange sind verschiedene physikalisch-chemische Versuche, die ich mit der Baumwolle vorgenommen, beigefügt. Hier heißt es S. 35.

Beim ersten Blick scheint es sehr leicht und einfach, den Wärmegrad zu bestimmen, bei dem das Fulmin explodirt. Sowie man aber Versuche deshalb anstellt, zeigen sich für die genauere und sichere Bestimmung große Schwierigkeiten, die hauptsächlich darin beruhen, daß der lockere, die Wärme sehr unvollkommen leitende Stoff des Fulmins die Temperatur nicht in dem Maße annimmt, als das Instrument, dessen man sich zur Bestimmung der Wärme bedient. Daß die Ermittlung der hierbei in Frage kommenden Umstände sehr viele Zeit und Mühe kosten würde, hatte ich bei meinen vorläufigen Versuchen kennen gelernt, des-

halb war mir das Anerbieten des Hrn. Dr. Koepf, dieselben in meinem Laboratorium mit möglichster Umsicht auszuführen, ganz erwünscht. Von ihm rührt nachfolgende Zusammenstellung der erlangten Angaben her.

1) Um die Temperatur zu ermitteln, bei welcher explodirende Baumwolle verpufft, wurden zunächst einige vorläufige Versuche angestellt, indem man in ein Sandbad, welches durch einen Ofen erhitzt werden konnte, ein mit Quecksilber gefülltes Gefäß setzte, in dasselbe eine am untern Ende zugeschmolzene Glasröhre senkrecht eintauchte und neben dieser ein Thermometer so aufhing, daß seine Kugel mit dem Boden der Glasröhre in einerlei Flüssigkeitsschicht befindlich war. Kleine Mengen explodirender Baumwolle, welche auf den Boden der Röhre gelegt wurden, mußten dann hier verpuffen, wenn die Temperatur des sie umgebenden Quecksilbers hoch genug war; diese aber liefs sich am Thermometer ablesen, da man bei jeder Beobachtung voraussetzen konnte, daß sowohl die Kugel des Thermometers, als auch der Boden der Glasröhre und die auf ihm liegende Schiefswolle die Wärme der Flüssigkeit angenommen hatte, von welcher sie umgeben waren. Wurde nun das Quecksilber durch den Ofen allmähig erhitzt oder von einem hohen Wärmegrade aus langsam abgekühlt, so zeigte sich, daß die zur Verpuffung nöthige Temperatur zwischen

130 und 150° R. lag.

2) Zur genauern Bestimmung derselben wurde ein kegelförmiger 4" hoher, 2" dicker, oben 4" und unten 2" Brschw. im Durchmesser haltender hessischer Tiegel mit Sand gefüllt und über eine Berzelius'sche Lampe gestellt. In der Mitte desselben wurden dicht neben einander 2 kleine, am untern Ende zugeschmolzene Glasröhren von $\frac{1}{2}$ " Weite und $3\frac{1}{2}$ " Länge bis zu einer Tiefe von 3" in gleicher Lage zu dem Boden und der Seitenwand des Tiegels senkrecht eingegraben, von denen die eine zur Aufnahme der Baumwolle, die andere zur Aufnahme der Kugel eines senkrecht in sie hincingehängten Thermometers bestimmt war. Nach-

dem man sich überzeugt hatte, daß der Boden in beiden Röhren stets einerlei Wärmegrad zeigte, wurde in eine derselben das Thermometer gehängt, das Sandbad bis zu 160° R. erhitzt und darauf so langsam abgekühlt, daß das Thermometer durchschnittlich um 1° R. in $1\frac{1}{4}$ Minute fiel. Während der Abkühlung wurden auf den Boden der andern Röhre kleine, 0,004 Loth Brschw. wiegende Mengen von Schiefswolle gelegt und bei jedem Temperaturgrade unter 160° R. die Verpuffung beobachtet, bis zu demjenigen, bei welchem keine Explosion mehr erfolgen wollte. Dieser war

110° R.,

welcher daher die niedrigste zur Verpuffung nöthige Hitze angab.

3) Da jedoch einige andere Beobachtungen den Verfasser vermuthen ließen, daß die Explosion bei einer weit geringeren Temperatur erfolge und daß sie von der Geschwindigkeit abhängen müsse, mit welcher die Schiefswolle von der gewöhnlichen Luftwärme auf diese gebracht werde, so stellte er eine neue Reihe von Versuchen mit einem Thermometer an, dessen Kugel er mit der eben angegebenen Gewichtsmenge Baumwolle locker umhüllt und dasselbe darauf über einen pyramidalen dreikantigen hessischen Tiegel, von $3\frac{1}{2}''$ Höhe $1''$ Dicke, $2\frac{1}{3}''$ unterer und $3\frac{1}{4}''$ Brschw. oberer Weite gehängt hatte, welcher durch eine gewöhnliche Spirituslampe erhitzt werden konnte. Die Erhitzung des Tiegels mußte eine Erwärmung der in ihm befindlichen Luft zur Folge haben und diese am schnellsten in den Schichten vor sich gehen, welche dem Boden am nächsten lagen, so daß man nur nöthig hatte, das Thermometer mehr oder weniger tief in den Tiegel zu tauchen, um die Erhitzung der Baumwollenhülle an seiner Kugel nach Belieben zu beschleunigen oder zu verzögern. Tauchte man dasselbe so tief ein, daß es ungefähr 10° R. in 1 Min. stieg, so erfolgte stets eine Explosion, bei welcher die in der folgenden Tafel angegebenen Wärmegrade und Erhitzungszeiten beobachtet wurden.

	Wärmegrad beim Beginn der Erhitzung.	Wärmegrad b. d. Verpuffung.	Zeit der Erhitzung.
1te Reihe	16° R.	42°,5 R.	4'
	21°	38°,5	4'
	21°	80°	8'
	16°	79°	7'
	18°,5	47°	2'
	20°	47°	5'
	20°	80°	7'
2te Reihe	14°	68°	4',5
	12°	62°	5',5
	13°	62°	5'
	13°,5	65°	5'
3te Reihe	13°,5	60°	5'
	15°	60°,5	4',5
	14°	60°	4'
	13°	61°	4'
	13°,5	61°	6'
	15°	61°	6'

4) Tauchte man aber das Thermometer nur so tief ein, daß es ungefähr nur 5° R. in einer Minute stieg, so erfolgte keine Verpuffung, sondern die Erscheinung saurer Dämpfe liefs auf eine Zersetzung der Schiefswolle ohne Explosion schliessen. Um diese zu beobachten, schob der Verfasser über die mit Baumwolle umhüllte Thermometerkugel eine Glasröhre, bis ihr Boden dieselbe berührte, wobei sie jedoch nicht zusammengedrückt wurde, stellte einige Streifen Lackmuspapier hinein, welche nach einander gewechselt wurden, sowie sie geröthet waren, und hing nun das Thermometer so in den Tiegel, daß sich die Glasröhre und mit ihr die Baumwollenhülle der Thermometerkugel nur langsam erwärmen konnte, wenn der Tiegel erhitzt wurde. Die Beobachtung gab folgende Resultate:

bei 19° R. begann die Erhitzung;

bei 55° nach 13 Min. zeigte sich die erste Röthung, welche bis 70° allmählig zunahm;

bei 70° nach 18 Min. erfolgte die Röthung schneller und bis 80° zu;

bei 80° nach 26 Min. erfolgte sie noch schneller und in stärkerem Maafse;

bei 90° nach 33 Min. wurde eine augenblickliche starke Röthung wahrgenommen, welche das Papier in 0,1 Min. ganz roth färbte und in den höheren Temperaturen dieselbe blieb, bis sie

bei 120° nach 105 Min. allmählig abnahm und endlich ganz verschwand, so daß

bei 185° nach 120 Min. keine Röthung mehr wahrgenommen werden konnte.

Das äußere Ansehen der Wolle blieb nach 1¼stündiger Erhitzung bis zu 110° unverändert, wo sie sich gelblich braun färbte, bei weiterer Erhitzung immer mehr bräunte und sichtlich an Quantität abnahm, und endlich in ein schwarzes fein zertheiltes Gewebe umwandelte.

5) Hielt man während der Erwärmung frische Schießwolle an den Boden der erhitzten Röhre, so explodirte dieselbe zuerst bei einer Temperatur von 90° R. und darauf bei jeder höheren Temperatur in $\frac{1}{4}$ bis $\frac{1}{2}$ Min. Nahm man aber etwas Baumwolle aus der Röhre, nachdem sie 1¼ Stunde hindurch erhitzt war und $\frac{1}{2}$ Stunde lang eine Hitze von 105° R. ausgehalten hatte, so verpuffte sie an der Lichtflamme viel schwächer, als im gewöhnlichen Zustande, wiederholte man die Versuche nach 2stündiger Erhitzung, welche nicht über 120° gegangen war, so erfolgte eine sehr schwache, kaum wahrnehmbare Explosion, und erhitzte man den in der Röhre gebliebenen Rest bis 180°, so blieb ein fein zertheiltes schwarzes Gewebe als Rückstand, welches gar nicht an der Flamme explodirte.

6) Es blieb nun noch übrig, die Aenderung zu erforschen, welche im Gange des Thermometers durch die Umhüllung seiner Kugel mit Schießwolle hervorgebracht werden mußte, da vorauszusetzen war, daß sie ein anderes Leitungsvermögen besitze als Luft. Zu dem Ende wurden zwei im Gange übereinstimmende Thermometer dicht neben einander aufgehängt und in den Tiegel getaucht, so daß ihre Kugeln einerlei Lage gegen die Wände desselben hatten und beide während einer vorläufigen Erwärmung

dieselbe Temperatur zeigten. Darauf wurde die Kugel des einen mit Baumwolle umwickelt, die des andern aber freigelassen und jedes dicht neben dem andern so tief in den Tiegel getaucht, daß durch Erhitzung desselben eine Explosion erfolgen mußte. Es zeigte sich im Gange der beiden Thermometer ein Unterschied, welcher aus folgender Tabelle ersichtlich ist, in der die Zahlen der 2ten Reihe die Mittelwerthe aus 4 Versuchen darstellen:

Temp. d. Therm. m. umhüllt. Kug.	Temp. d. Therm. mit freier Kug.	Differenz für 5°.	Differenz für 1°.	Zeit der Erhitzung 5'.
14°	14°			
15°	15°,25	8,2	1,64	
20°	23°,4	8,3	1,65	
25°	31°,7	7,3	1,46	
30°	39°,0	6,2	1,24	
35°	45°,2	6,0	1,20	
40°	51°,2	5,7	1,14	
45°	56°,9	5,7	1,14	
50°	62°,6	5,1	1,02	
55°	67°,7	6,3	1,26	
60°	74°,0	5,8	1,16	
65°	79°,8	5,7	1,14	
70°	85°,5	6,0	1,20	
75°	91°,5	6,0	1,20	
80°	97°,5	5,8	1,15.	

7) Wurden aber beide Thermometer, nachdem man ihre Kugeln mit Glasröhren überzogen hatte, um den in No. 4. angewandten Apparat wieder herzustellen, so weit eingetaucht, daß keine Explosion, sondern die dort beobachtete Zersetzung erfolgen mußte, so zeigte sich abermals ein Unterschied im Gange derselben, wie die in der folgenden Tafel enthaltenen Angaben lehren, von welchen die Zahlen der zweiten Spalte die Mittelwerthe aus 2 Versuchen ausdrücken.

Temp. d. Therm. m. umhüllt. Kug.	Temp. d. Therm. mit freier Kug.	Differenz für 5°.	Differenz für 1°.	Zeit der Erwärmung
14°	14°	4°	0°,8	10'.
20°	19°	4,4	0,88	
25°	21°	4,3	0,86	
30°	27°,4	3,8	0,76	

Temp. d. Therm. m. umhüllt. Kug.	Temp. d. Therm. mit freier Kug.	Differenz für 5°.	Differenz für 1°.	Zeit der Erhitzung 10'.
35°	31°,7	4,5	0,9	
40°	35°,5	5	1,0	
45°	39°	3,5	0,7	
50°	44°	4	0,8	
55°	47°,5	3,5	0,7	
60°	51°,5	4	0,8	
65°	55°	3,5	0,7	
70°	59°	4,2	0,84	
75°	64°,2	5	1	
80°	68°,5	4,5	0,9	
85°	73°	4,5	0,9	
90°	77°,5	4,5	0,9	

8) Wollen wir hiernach die in No. 3 gefundenen Explosions-Temperaturen verbessern, so müssen wir sie erhöhen, weil aus den in No. 6 angestellten Versuchen folgt, daß das Thermometer mit nicht umhüllter Kugel stets höher steht als das andere; hieraus aber geschlossen werden muß, daß die Temperatur der Luft im Tiegel, also auch die Wärme der äußeren Oberfläche der Baumwollenhülle, größer sey, als die Temperatur an der Oberfläche der Thermometerkugel oder an der innern Fläche der Baumwollenhülle. Da nun die Erhöhung der Temperatur als die einzige Ursache des Verpuffens der Schiefswolle angenommen werden muß, so folgt, daß dieses an dem Punkte der Hülle zuerst statt findet, welcher die höchste Wärme besitzt, und sich von ihm der übrigen Wolle mittheilt. Dieser Punkt kann aber nur auf der äußern Oberfläche der Hülle liegen, weil nur diese unmittelbar mit der Luft in Verbindung steht, und dadurch ihre Wärme erhalten hat. Verbessern wir daher die No. 3 gefundenen Verpuffungshitzen, indem wir sie um so viele Grade erhöhen, als eine Interpolation zwischen die in No. 6 gefundenen Werthe ergiebt, so ergeben sich folgende Wärmegrade, als die zur Verpuffung nothwendigen:

1ste Reihe: 54°, 49°,4, 97°,5, 96°, 59°,2, 59°,2, 97°,5;

2te Reihe: 83°,4, 76°,3, 76°,3, 79°,8;

3te Reihe: 74°, 74°,6, 74°, 75°,2, 75°,2; 75°,2;

aus welchen man schliessen kann, da die Beobachtungen als gleich gut angenommen werden können, dafs die Verpuffung im Mittel bei

75°,1 R.

erfolgte. Nehmen wir aus den anfänglichen Temperaturen, welche nicht verbessert werden dürfen, weil sie die gerade statt findende Luftwärme ausdrücken, welche sowohl von dem Thermometer mit umhüllter als von dem mit freier Kugel angezeigt wurde, und aus den zur Erhitzung nöthigen Zeiten ebenfalls das Mittel, so ergibt sich, dafs die Erhitzung im Mittel bei

15°,8 R. begann und in 5,1 Min. 59°,1

betrug.

9) Die in No. 7 aufgezeichneten Angaben zeigen, dafs bei der Zersetzung der Schiefswolle ohne Explosion das Thermometer mit umhüllter Kugel stets höher stand als das andere, woraus folgt, dafs man die von ihm angegebene Temperatur nicht verbessern dürfe, um für die beobachtete Erscheinung den wahren Werth derselben zu erhalten; indem wiederum angenommen werden mufs, dafs die Erhöhung der Temperatur die einzige Ursache der an der Baumwollenhülle beobachteten Erscheinungen sey; diese daher zuerst an den Punkten eintreten müssen, welche unter allen die höchste Wärme besitzen, d. h. an denjenigen, welche an der Oberfläche der Thermometerkugel selbst liegen, mithin die Temperatur derselben besitzen. Die Wärmegrade aber, bei welchen kleine, an die Aufsenseite der Röhre gehaltene Mengen der Schiefswolle verpufften, müssen verbessert werden, und da der niedrigste derselben 90° betrug, so sieht man, dafs bei diesen Versuchen die Verpuffung bei

77°,5 R.

statt fand, welche Temperatur ziemlich genau mit der oben gefundenen mittleren übereinstimmt.

10) Fassen wir nun die Ergebnisse der im Vorigen angestellten Versuche und Beobachtungen zusammen, so läfst sich annehmen:

1. dafs die nach bekannter Vorschrift bereitete Schiefsbaumwolle schon bei 50 R., durchschnittlich aber bei 75° R. verpufft, wenn sie auf diese Temperatur innerhalb 5' von der gewöhnlichen Lufttemperatur, 16° R. aus, gebracht worden ist;

2. dafs die Schiefsbaumwolle gar nicht explodire, sondern bei 55° R. anfangs sich zu zersetzen und in ihrer Kraftäufserung bei fortdauernder Zersetzung sehr geschwächt werde und endlich ihre Wirkung ganz verliere, wenn die Erhitzung langsam vor sich gehe und durchschnittlich 2,5° R. in 1 Min. betrage.

11) Für die praktische Anwendung der Schiefsbaumwolle möchte hieraus zu entnehmen seyn:

dafs beim Transportiren derselben in heifsen Tagen grofse Vorsicht anzuwenden sey, indem eine Temperatur von 50° R. leicht von metallenen Gegenständen angenommen wird, welche längere Zeit in der Sonne gelegen haben, diese aber die Baumwolle innerhalb 2 bis 5 Minuten zur Explosion bringen könne, wenn sie mit ihr in Berührung komme; und dafs, beim Transport derselben in nicht dicht verschlossenen Gefäfsen, wo solche Wärmegrade langsam auf sie einwirken können, leicht eine Zersetzung eintreten kann, welche ihre Wirkung mindestens sehr schwächen und unregelmäfsig machen würde.

12) Schliefslich wurden noch einige Versuche auf die in No. 3 beschriebene Weise mit explodirendem Schirting und Batist angestellt, welche Stoffe

zerfasert bei 65°, 1 R.

nicht zerfasert bei 60° R.

explodirten, jedoch eine langsame Verbrennung und schwache Verpuffung zeigten.

Somit ist nachgewiesen, dafs die Schiefswolle schon bei der gewöhnlichen Sommerhitze, unter begünstigenden Umständen sich entzünden könne und hieraus lassen sich vielleicht, wenigstens zum Theil, die Fälle von Selbstentzündung derselben erklären. Interessant sind darüber die Angaben des Fabrikanten Maurey in der Sitzung der franz.

Akademie der Wissenschaften vom 12. März dieses Jahres (*Comptes Rendus T. XXVIII. No. 11 p. 345*). Die größten Explosionen geschahen zu Vincennes den 25. März und 2. August 1847 und in der Trockenanstalt zu Bouchet den 17. Juli 1848. In letzteren wurde das Präparat, das aus reiner Baumwolle bestand und zuletzt noch in einer alkalischen Lauge ausgewaschen worden war, in dem Verhältniß, wie es trocken war, in die Magazine gebracht. Es befanden sich da bereits 1600 Kilogramme, als, ohne nachweisbare Veranlassung, die Explosion erfolgte. Vier Personen wurden getödtet, drei verwundet; das Gebäude, dessen Mauern $1\frac{1}{2}$ bis 3 Fufs Dicke hatten, gänzlich zerstört. An seiner Stelle hatte sich eine trichterförmige Vertiefung, 12 Fufs tief, 48 Fufs im Umkreis, gebildet. 164 Bäume in der Umgebung waren theils gänzlich fortgerissen oder abgebrochen, ihrer Rinde entblöst und bis auf die Wurzeln in Streifen zertheilt. In der Verlängerung südwestlich von der großen Axe des Gebäudes bis auf 900 Fufs Entfernung fand sich eine Linie gebildet aus den Materialien nach der Ordnung ihrer Dichtigkeit, zuerst das Holzwerk, dann die Steine und am Weitesten weg die Bruchstücke des Eisenwerks. Uebrigens giebt Maurey an, daß er häufig eine langsam fortschreitende Selbstentmischung an der Schiefswolle, besonders an der aus leinenen Fasern bereiteten oder an der, welcher nicht durch gehöriges Auswaschen die letzte Spur von Schwefelsäure entzogen gewesen, aber auch an der ganz reinen aus Baumwolle und der sorgfältig alkalisch ausgewaschenen bemerkt habe. Dabei entwickelte sich Stickoxydgas, Ameisensäure und Wasser, letzteres von 1,63 bis zu 11,50 Proc. Die Zersetzung beginne zuweilen schon nach einigen Monaten, dann wieder erst nach einer Jahresfrist. Der Ort, die Art der Aufbewahrung, so wie die angewandte Menge habe Einfluß. Was den Kostenpunkt betrifft, so berechnet Maurey, daß, wenn keine Unglücksfälle zu besorgen wären, das Kilogramm Schiefsbaumwolle um 7 Franken herzustellen sey. Nun koste extrafeines Pulver das Kilo 2^{fr.} 39^{ct.}, das

Minen-Pulver 1^{re} 17^c. Jene müßte also, um bei gleichen Kosten gleiche Wirkungen hervorzubringen, dreimal im ersten und sechsmal im zweiten Falle stärker seyn. Aber die Versuche ergaben, daß drei Gramm der Schiefswolle einer Kugel dieselbe Geschwindigkeit ertheilen als fünf Gramm des extrafeinen Pulvers, und daß für Steinbrüche jene dem Fünffachen des Minenpulvers bei harten Felsen und nur dem Zweifachen bei weicheren Kalksteinen gleichwerthig sey.

In einer früheren Sitzung der Akademie, vom 22. Januar (C. R. T. XXVIII. p. 104 — 110) hatte Morin dargethan, daß, wenn die best bereitete Schiefsbaumwolle einer andauernden Temperatur von 60° — 80° C., die minder gute einer von 50° — 60° ausgesetzt wird, sie sich allmählig zersetze und endlich von selbst entflamme. Wie leicht aber könnten metallne Kasten, worin sie in den Magazinen aufbewahrt oder transportirt würden, eine solche Temperatur annehmen! Das Schiespulver dagegen, dessen Aufbewahrung man ja, und nicht mit Unrecht, für so gefährlich hält, explodirt erst bei 300°. Eine solche Erhitzung erzeugt sich fast nie durch natürliche Ursachen, ohne menschliche Mitwirkung, und man kennt auch kein Beispiel einer spontanen Entzündung desselben. Aber noch auf einen bemerkenswerthen Punkt macht Morin aufmerksam. Die Erfahrung lehre, daß je schneller bei einer Pulversorte die Entzündung, je größer also die Anfangs-Spannung der Pulvergase, um so nachtheiliger die Wirkung davon auf die Geschützes-Läufe sey. Seitdem man in Frankreich durch gehörige Zubereitung des Schiespulvers jene Entzündlichkeit gemäßiget, hätten bronzene Kanonen vom größten Kaliber, die bis dahin kaum 300 Schüsse thun konnten, ohne dienstunfähig zu werden, jetzt über 3000 zu leisten vermocht. Bei der Schiefsbaumwolle ist nun jener Nachtheil (der gerade bei der ersten Bekanntwerdung derselben als ein neuer, großer Vorzug gerühmt ward) in hohem Grade vorhanden. So zersprang ein Probirmörser aus Gufseisen bei einer Ladung von 46 Grammen

Schiefwolle, während derselbe mit 92 Gr. Pulver viele 1000 Schüsse ohne Schaden aushielt. Die Rechnung zeigte, daß zu jenem Erfolge des Zerspringens eine anfängliche Spannung von mehr als 4000 Atmosphären erforderlich war. Ein gewöhnliches Infanterie-Gewehr hält bei einer Ladung von 8 bis 10 Gr. Pulver gegen 30,000 Schüsse ohne Nachtheil aus, während eine große Zahl zum Theil ganz neuer Gewehrläufe mit 2^{er},86 Schiefswolle nach etwa 500 Schüssen alle zersprangen. Ein Zwölfpfünder (*un canon de 12 de campagne*), der mit zwei Kilogrammen Pulver geladen zu werden pflegt, erhielt, der Vorsicht wegen, die allmählig steigenden Ladungen von 200, 300, 400 etc. Grm. Schiefswolle. Schon beim sechsten Schufs zeigte der Lauf Veränderungen, als nach und nach 45 Schüsse und dann noch 10 Schüsse mit 700 Gr. gemacht wurden, zeigte sich die Seele der Kanone so verdreht und aufgerissen, daß sie gänzlich unbrauchbar (*complètement détruite*) war. Bei allen diesen Versuchen blieb das Resultat dasselbe, mochte nun das explosive Präparat aus Baumwolle, Werg, Sägespännen, oder aus Schiefspapier (*papier azotique de Pé-louze*) bestehen, mochte es wollig, oder kartätscht, oder gedreht, in Masse oder in Pulverform angewandt werden.

XV. *Bemerkungen über die entsprechenden Temperaturen, die Sied- und Gefrierpunkte der Körper; von J. A. Groshans.*

Wenn die Spannung des Wasserdampfs (die bei
 $0^{\circ},76 = 1$) *p*
 die Dichte dieses Dampfs (die bei 100° C. und
 $0^{\circ},76 = 1$) *d*
 irgend eine Temperatur *t*
 der Ausdehnungscoefficient *c*

so ist

$$p = d \frac{1+ct}{1+c \cdot 100} \dots \dots \dots (1)$$

Dieselbe Formel kann für alle andern Körper dienen:

Ist die Dichte des Dampfes dieser Körper (die beim Siedpunkt und bei $0^{\circ},76 = 1$) d
 der Siedpunkt E
 irgend eine t entsprechende Temperatur T

so hat man:

$$p = d \frac{1+cT}{1+cE} \dots \dots \dots (2)$$

Da, bei entsprechenden Temperaturen, p denselben Werth hat in beiden Formeln, so besitzt auch d einen gleichen Werth in beiden.

Demnach folgt:

$$\frac{1+ct}{1+c \cdot 100} = \frac{1+cT}{1+cE} \dots \dots \dots (3)$$

woraus:

$$T = \frac{(1+cE)(1+ct)}{(1+c \cdot 100)c} - \frac{1}{c} \dots \dots \dots (4)$$

$$t = \frac{(1+c \cdot 100)(1+cT)}{(1+cE)c} - \frac{1}{c} \dots \dots \dots (5)$$

$$E = \frac{(1+c \cdot 100)(1+cT)}{(1+ct)c} - \frac{1}{c} \dots \dots \dots (6)$$

Ist der Siedpunkt E bekannt, so kann man durch diese Formeln alle entsprechenden Temperaturen bestimmen; und umgekehrt, wenn eine einzige entsprechende Temperatur beobachtet worden ist, läßt sich daraus der Siedpunkt herleiten.

So z. B. ist der Siedpunkt der flüssigen Kohlensäure von Hrn. Regnault zu -78° C. bestimmt: was wird nun die entsprechende Temperatur des Wassers seyn, wann die flüssige Kohlensäure sich auf Null befindet?

Die Formel (5) giebt:

$$t = \frac{(1+c \cdot 100)}{(1-c \cdot 78)} - \frac{1}{c} = +249^{\circ},1.$$

Die Tafel der Spannkkräfte des Wasserdampfes giebt bei
Poggendorff's Annal. Bd. LXXVIII. 8

244",8 und 252",5 Spannkraften (berechnete) von 35 und 40 Atmosphären. Die Spannkraft der Kohlensäure bei 0° schätzt man gewöhnlich auf 36 Atmosphären, und nach dieser Angabe berechnet sich deren Siedpunkt auf $-77^{\circ},0$, d. h. wenn die einer Spannkraft von 36 Atmosphären entsprechende Temperatur des Wassers = $246^{\circ},51$ C. ist.

Die Formel (4) kann so aufgestellt werden:

$$T = -\frac{1}{c} + \frac{1}{(1+c \cdot 100)c} + \frac{E}{1+c \cdot 100} + \frac{1+cE}{1+c \cdot 100} t.$$

Wenn also t in $t \pm n$ übergeht, fügt man dadurch dem zweiten Theil der Gleichung noch die Gröfse $\pm \frac{1+cE}{1+c \cdot 100} n$ hinzu, und man muß demnach dem ersten Theil T auch $\pm \frac{1+cE}{1+c \cdot 100} n$ hinzufügen.

Nach dem Dalton'schen Gesetz wäre der Werth des Bruches $\frac{1+cE}{1+c \cdot 100}$ gleich eins. Es ist indessen klar, daß dieser Werth von dem Werthe von E abhängt, und daß der Bruch kleiner als eins, wenn $E < 100$, daß er gleich eins ist, wenn $E = 100$, und größer als eins, wenn $E > 100$. Für die flüssige Kohlensäure ist er $\frac{1-c \cdot 78}{1+c \cdot 100} = 0,52$.

Macht man in der Formel (4) $t = 0$, d. h. sucht man die dem Gefrierpunkt des Wassers entsprechende Temperatur eines Körpers, so findet man für folgende Körper nachstehende Temperaturen:

	Siedpunkte.	Entsprech. Temperaturen.	Beobacht. Gefrierpunkte.
Brom	+ 58° C., Andrews	- 30°,7	- 36° C.
Aether	+ 34°,9, Kopp	- 47,6	- 42 bis 43
Naphthalin	+ 212	+ 82	+ 79
Benzin	+ 86	- 10,2	- 7
Benzinchlorür	+ 288	+ 137	+ 132
Benzinnitrür	+ 193	+ 68	+ 65
Schweflige Säure	- 10	- 80,5	- 80
Oxalsaures Methyl	+ 161	- 44,7	- 51

Da die Zahlen der dritten Columne denen der vierten fast gleich sind, so folgt, daß bei vielen Körpern die

Spannung beim Gefrierpunkt gleich ist der des Wassers bei demselben Punkt.

Macht man in der Formel (4) $t = 0$, so wird sie:

$$T = \frac{E - 100}{1 + c \cdot 100} \dots \dots \dots (7)$$

Da T in dieser Formel für die obgenannten Körper den Gefrierpunkt entspricht, so wollen wir den Buchstaben T durch C ersetzen, und haben dann, um den Gefrierpunkt (C) einiger Körper auszudrücken, die Formel:

$$C = \frac{E - 100}{1 + c \cdot 100} \dots \dots \dots (8)$$

Macht man $t = -273,2$ in der Formel (4), so werden alle entsprechenden Temperaturen $t = -273,2$.

Wenn die Dichtigkeit des Dampfes eines andern Körpers als Wasser (die des Wasserdampfes bei $0^{\circ},76$ und 100° C. = 1) ausgedrückt wird durch D

Das Atomgewicht des Wassers ($H_2 = 1$) durch 9

Das Atomgew. eines andern Körpers ($H_2 = 1$) durch a
so hat man für mehre Körper, z. B. Aether, Holzgeist etc. die Formel:

Dichte des Wasserdampfes bei 100° C.	:	Dichte eines andern Dampfes beim Punkt E .	=	$1 : D$	(9)
$\frac{9}{1 + c \cdot 100}$		$\frac{a}{1 + cE}$				

Diese Formel läßt sich auf alle anderen Körper anwenden, wenn man darin das Atomgewicht dieser Körper setzt. Nimmt man z. B. für den Schwefel $a = 96$, so werden die Dichtigkeiten des Schwefel- und des Wasserdampfes bei $0^{\circ},76$ und 0° , sich verhalten wie 9 zu 96.

Bestimmt man durch diese Formel den Werth von D , so findet man, $c = 0,00366$ genommen, für folgende Körper:

	Zusammensetzung			Siedpunkt.	Werth von D
	C	H_1	O		
Aether	4	10	1	34,9	4,97
Holzgeist	1	4	1	65,5	1,96
Benzoësaures Methyl	4	4	1	198,5	2,98
Benzoësäure	14	12	4	239	9,88

Es könnte seyn, dafs die für D gefundenen Zahlen wirklich ganze Zahlen wären, denen sie sich näherten. Macht man successive $D = 5, 2, 3$ und 10 , so findet man für die Siedpunkte der obgenannten Körper $33,65, 58,3, 196,7$ und $232,7$.

Die Zahlen $\frac{5}{1}, \frac{2}{1}, \frac{3}{1}$ und $\frac{10}{1}$ drücken zugleich das in den genannten vier Körpern und im Wasser enthaltene Verhältnifs der Anzahl von Atomen C, H und O aus.

Nach dieser Bemerkung könnte man vermuthen, für einen Körper $pC + qH + rO$ wäre immer $D = \frac{p+q+r}{3}$.

Wenn $p+q+r = V$, so ist $D = \frac{V}{3}$. Substituirt man diesen letzten Ausdruck in der Formel (9), so wird dieselbe

$$\frac{9}{1+c \cdot 100} : \frac{a}{1+cE} = 1 : \frac{V}{3} \quad \dots \quad (10)$$

woraus

$$E = -273,2 + 372,2 \frac{a}{3V} \quad \dots \quad (11) \quad 1)$$

Durch diese Formel findet man weiter:

	Zusammensetzung			Siedpunkt nach der Beobachtung.	Siedpunkt nach der Formel.
	C	H	O		
Buttersaures Methyl ²⁾	10	20	4	95,9 Kopp	100
Oxalsaures Aethyl	6	10	4	180 Mitschl.	180,8
Kohlensaures Acethyl	5	10	3	125 u. 126 Dum.	134,5

Wäre diese Formel anwendbar auf alle Körper, so könnte sie dazu dienen, die Zusammensetzung der Körper $pC + qH$ oder $qH + rO$ zu berechnen, wenn E bekannt ist.

In der That, für einen aus $\frac{x}{100}$ Kohlenstoff u. $\frac{y}{100}$ Wasserstoff zusammengesetzten Körper wäre:

$$x = \frac{74645}{11(E+273,2)} = -9,0909 \quad \dots \quad (12)$$

1) Der Bruch $\frac{a}{3V}$ hat denselben Werth wie der Bruch $\frac{1+cE}{1+c \cdot 100}$.

2) Es ist gleichgültig eine Formel $pC + qH + rO$ oder eine $m(pC + qH + rO)$ anzuwenden.

Allein es scheint, daß die Klasse von Körpern, auf welche die Formel (11) anwendbar ist, nicht sehr zahlreich ist. Für die Kohlensäure findet sich $V=14$, während es $=3$ seyn müßte.

Für andere Körper als C , H und O könnte es seyn, daß man V um mehr als eine Einheit für jedes Atom vermehren müßte, sowohl weil diese Körper keine einfachen seyn könnten, als auch aus anderen Ursachen. Für das Brom z. B. ist $V=30$.

Wenn man 14 zu V für jedes Atom von $N=175$ addirt, so kann man die Siedpunkte folgender Körper erklären.

	Zusammensetzung				V .	E beobacht.	E berechn.
	N	C	H_1	O			
Stickstoffoxyd	1			1	15	- 87	- 90 ^o ,9
Salpetersäure	1		2	6	22	+ 86	+ 83 ^o ,0
Salpetersaures Methyl	1	2	6	6	28	+ 66	+ 68 ^o ,9
Salpeteräther	1	4	10	4	32	+ 21	+ 18 ^o ,3

In Betreff der Körper $pC+qH+rO$, auf welche die Formel (11) anwendbar ist, gelten folgende Thatsachen:

1. Beim Siedpunkt aller dieser Körper haben die Atome C , H und O respective dieselben Temperaturen, welche sind:

für Sauerstoff . . .	+ 722,04
- Wasserstoff . . .	- 211,02
- Kohlenstoff . . .	+ 473,22

was aus der Anwendung der Formel (11) auf ein Atom C , H und O für sich hervorgeht.

2. Bei den Siedpunkten sind die Volume der Dämpfe von C , H und O proportional ihren Atomgewichten.

Die Formel (11) läßt sich folgendermaßen schreiben:

$$E = \frac{473,2 p - 211,02 q + 722,04 r}{p + q + r} \quad (13)$$

Und der Dampf eines Körpers $pC+qH+rO$, z. B. der Aetherdampf, läßt sich beim Siedpunkte folgendermaßen ausdrücken:

In Volumen.

$$\begin{aligned}
 4 C &= 4(1+473,22 c = 2,732) = 10,928 \\
 10 H &= 10(1-211,02 c = 0,2276) = 2,276 \\
 1 O &= 1(1+722,04 c) = 3,642 \\
 & \quad \underline{16,846}
 \end{aligned}$$

15) 1,123 Vol. Aetherd. b. 33°,65.

In Centigraden.

$$\begin{aligned}
 4 C + 473,22 &= + 1892,88 \\
 10 H - 211,02 &= - 2110,20 \\
 1 O + 722,04 &= + 722,04 \\
 & \quad \underline{+ 504,72} \\
 15) &= 33,64.
 \end{aligned}$$

Rotterdam d. 5. August 1849.

**XVI. Ueber die specifische Wärme und latente
 Schmelzwärme des Broms und die specifische
 Wärme des starren Quecksilbers;
 von Hrn. V. Regnault.**

(Ann. de chim. et de phys. Ser. III. T. XXVI. p. 268.)

Hr. Andrews hat kürzlich die specifische Wärme des flüssigen Broms zwischen 10° und 50° bestimmt, und sie ungefähr zu 0,107 gefunden (Poggendorff's Ann. Bd. 75, S. 335). Das Product dieser Zahl in das von den Chemikern angenommene Atomgewicht 489,1 ist 52,3 d. h. viel beträchtlicher als 42, der größte Werth, den ich für dieses Product bei allen von mir untersuchten Körpern gefunden. Da das Brom bei der Temperatur 50° seinem Siedpunkt unter gewöhnlichem Druck der Atmosphäre sehr nahe kommt und es zwischen 10° und 50° eine bedeutende Ausdehnung erleidet, so darf das von Hrn. Andrews erhaltene Resultat nicht auffallen; es ist klar, daß man, um die specifische Wärme des Broms mit der anderer Körper zu vergleichen, dieselbe am starren Brom bestimmen müsse.

Unter den einfachen Körpern, mit denen ich bei meinen ersten Untersuchungen operirte, ist indess einer, das Quecksilber, dessen Wärmecapacität, bestimmt für den flüssigen Zustand, mit dem Gesetz übereinstimmt, denn das Product dieser Wärmecapacität in das Atomgewicht ist 42,1. Diese Thatsache machte es sehr wahrscheinlich, daß die specifische Wärme des flüssigen Quecksilbers wenig abweiche von der des starren. Es schien mir daher nöthig, mich durch directe Versuche davon zu überzeugen.

Die specifische Wärme des flüssigen Phosphors weicht von der des starren nicht sehr ab, denn es wurde für die Wärmecapacität dieses Körpers gefunden:

Starrer Phosphor		
Bei meinen Versuchen zwischen	— 77°,75 und + 10°	. . . 0,1740
Bei Hrn. Person's Versuchen zw.	— 21° und + 7° ¹⁾	. . . 0,1788
Bei meinen älteren Versuchen zw.	+ 10° und + 30°	. . . 0,1887
Flüssiger Phosphor.		
Bei Hrn. Desains's Versuchen zw.	+ 45° und + 50° ²⁾	. . . 0,2006
Bei Hrn. Person's Versuchen zw.	+ 44°,2 und 51° ³⁾	. . . 0,2045

Wie man sieht, nimmt die Wärmecapacität des Phosphors beständig zu mit der Temperatur und in dieser Zunahme findet sich im Moment der Schmelzung des Körpers kein Sprung, oder, wenn in der Curve, welche die Wärmecapacität des Phosphors vorstellt, eine Discontinuität vorhanden ist, ist sie wenigstens nicht beträchtlich.

Die Versuche, deren Resultate ich angeben will, wurden angestellt mit einem kleinen Calorimeter, bestehend aus einem Cylinder von sehr dünnem Glase, in welchem immer ein gleiches Volumen Wasser gebracht wurde. Mit diesem Calorimeter, das unter dieselben Umstände, wie bei wirklichen Versuchen versetzt wurde, machte man mehrere Erkaltungsversuche, bei denen das darin enthaltene Wasser veränderliche Temperaturdifferenzen in Bezug auf die

1) *Ann. de chim. et de phys. Ser. III. T. XXI. p. 318.* (Annalen Bd. 74, S. 511.)

2) *Ibid. T. XXII. p. 439* (Ann. Bd. 70, S. 315.)

3) *Ibid. T. XXI. p. 321* (Ann. Bd. 74, S. 515.)

umgebende Temperatur darbot. Dadurch ergab sich, daß die Erkaltungcurve im Allgemeinen so wenig von der geraden Linie abwich, daß man diese letztere Linie für sie nehmen konnte, wenn zwei hinreichend entfernte Punkte durch Versuche bestimmt worden waren.

Sobald der Körper, dessen Wärmecapazität man bestimmte, das Wasser des Calorimeters erwärmte, gab man diesem Wasser eine etwas niedrigere Temperatur als die der Umgebung, so daß die Endtemperatur des Wassers nur wenig die Temperatur des umgebenden Mittels überstieg. Bewirkte dagegen dieser Körper eine Erniedrigung der Temperatur des Calorimeters, so gab man dem Wasser eine höhere Temperatur als die der Umgebung, damit die Temperatur des Wassers am Ende des Versuchs etwas niedriger war als die umgebende Temperatur. In beiden Fällen verfolgte man drei Minuten lang vor der Eintauchung des Körpers die Erwärmung oder Erkaltung des Wassers. Dies gab einen ersten Punkt der geraden Erkaltungslinie, mittelst welcher man die Wärme-Gewinne oder -Verluste des Calorimeters, während der Dauer des Versuchs, in Bezug auf das umgebende Mittel, berechnete. Nach der Eintauchung zeichnete man von Minute zu Minute die Temperatur des Calorimeters auf, bis die Temperaturdifferenzen sich mehrere Minuten lang vollkommen constant erwiesen; dann notirte man die während fünf Minuten erfolgende Erkaltung oder Erwärmung und leitete aus dieser Beobachtung einen zweiten Punkt der Erkaltungslinie ab. Mittelst der Temperaturbeobachtungen, die man, während der Körper seine Wärme an das Wasser abgab, von Minute zu Minute machte und mittelst unserer Erkaltungslinie war es leicht, die Wärme zu bestimmen, welche das Calorimeter in jeder Minute dem umgebenden Mittel nahm oder gab. Machte man die Summe der Gewinne und zog dann die Summe der Verluste davon ab, so erhielt man die Berichtigung, die man an dem Unterschied der zuerst und zuletzt am Calorimeter zu beobachtenden Temperatur anzu bringen hatte, um die Erwärmung oder Erkaltung zu be-

kommen, die allein durch den Wärme-Gewinn oder -Verlust des auf seine Wärmecapacität untersuchten Körpers erzeugt worden war. Die angenommene Endtemperatur war diejenige, von welcher aus man den letzten Erkaltungsversuch während fünf Minuten machte.

Der Wasserwerth des Calorimeters, des darin enthaltenen Wassers, des darin eingetauchten kleinen Umrührers und kleinen Thermometers wurden bestimmt, indem man die Temperatur-Erhöhung maß, die ein bis 100° erwärmtes Gewicht Quecksilber hervorbrachte. Das Quecksilber war enthalten in einem Kügelchen von dünnem Glase mit ausgezogenem Halse, mittelst dessen man das Kügelchen transportirte und im Calorimeter bewegte.

Gewicht des Quecksilbers im Calorimeter	210 ^{gr} ,559
Gewicht des Glaskügelchen, weniger das des nicht eingetauchten Stücks des Stiels	4 ,896.

Bei allen Versuchen, deren Resultate hier angegeben werden, wurde die Wärmecapacität des Glases als constant und als gleich 0,1977 angenommen, die des Quecksilbers zwischen $+ 10^{\circ}$ und $+ 100^{\circ}$ zu 0,03332.

Das Kügelchen wurde in eine mit Quecksilber gefüllte Glasröhre eingetaucht gehalten und mitten in den Dampf des siedenden Wassers gebracht; man liefs es eine halbe Stunde lang darin, ehe man es in das Wasser des Calorimeters tauchte. Zwei Versuche ergaben Folgendes:

	I.	II.
Temperatur des Quecksilbers im Moment der Eintauchung	$T = 99^{\circ},65$	$99^{\circ},65$
Anfangstemperatur des Calorimeters	$t = 8,44$	$10,72$
Endtemperatur desselben	$t' = 14,41$	$16,00$
Temperatur-Erhöhung (berichtigt)	$\Delta t = 5,6241$	$5,4865$
Wasserwerth des Calorimeters, abgeleitet aus dem Versuch	119,92	120,63.

Für den Wasserwerth des Calorimeters habe ich das Mittel aus diesen beiden Resultaten genommen, nämlich: 120,275.

Dasselbe Kügelchen wurde in starrer Kohlensäure erkaltet; man liefs es etwa eine halbe Stunde darin, stampfte

die Kohlensäure zusammen und ersetzte das, was verdampfte. Die dem Calorimeter vom Quecksilber abgegebene Wärme bestand aus:

1) der Wärme, die nöthig war, um die Temperatur des starren Quecksilbers von $-77^{\circ},75$ auf -40° , seinen Schmelzpunkt, wie ich annehme, zu erheben;

2) der latenten Wärme, welche das Quecksilber verschluckt, um aus dem starren Zustand in den flüssigen überzugehen;

3) der Wärme, erforderlich um das flüssige Quecksilber von -40° auf die Temperatur t' zu erheben;

4) der Wärme, welche die Glasstülle aufnimmt, um seine Temperatur von $-77^{\circ},75$ bis t' zu erhöhen.

Hier die Data dieser beiden Versuche:

T	$-77^{\circ},75$	$-77^{\circ},75$
t	13,61	18 ^o ,03
t'	4,61	7,91
Δt	10,2262	10,5170
Gesamtwärme, aufgenommen von 100 Grm.		
Quecksilber	5,4893	5,6410
Davon abgezogen die latente Schmelzwärme,		
die nach Person ist	2,820	2,320
ergiebt sich	2,6693	2,8210

für die Wärme, die 100 Grm. Quecksilber aufnehmen, um ihre Temperatur von $-77^{\circ},75$ auf t' zu erheben, abgesehen von der Schmelzwärme. Diefs giebt für die spezifische Wärme des Quecksilbers zwischen diesen Temperaturgränzen:

0,03241

0,03293.

Das Quecksilber war innerhalb eines Intervalls von $37^{\circ},75$ Graden starr, und innerhalb eines Intervalls von 45 bis 48 Graden flüssig. Nimmt man an, in diesem letztern Intervall sey seine spezifische Wärme zwischen $+10^{\circ}$ und 100° dieselbe geblieben, so erhält man die vom starren Quecksilber absorbirte Wärme, wenn man von den vorstehenden Wärmemengen diejenigen abzieht, die das flüssige Metall absorbirt. So erhält man:

1,1838

1,2256,

was für die Wärmecapacität des starren Quecksilbers zwischen -40° und $-77^{\circ},75$ ergiebt:

0,03136 0,03247.

Das Mittel 0,03192 ist merklich kleiner als die Zahl 0,03332, die ich für die Wärmecapacität des flüssigen Quecksilbers zwischen $+10$ und $+100^{\circ}$ gefunden habe.

Zwischen den beiden Werthen 0,03136 und 0,03247 herrscht ein Unterschied, der auf $\frac{1}{3}\sigma$ des gesammten Werthes steigt; eine gröfsere Genauigkeit darf man bei Versuchen dieser Art kaum erwarten, da der vom starren Quecksilber absorbirte Antheil Wärme kaum $\frac{1}{3}$ von der gesammten Menge beträgt, die dieser Körper bei unserem Versuche aufnimmt, und auf ihn fallen alle Fehler.

Specifische Wärme des Blei zwischen $-77^{\circ},75$ und $+10^{\circ}$.

Die specifische Wärme des Blei zwischen $+10^{\circ}$ und 100° fand ich zu 0,03140; zwischen $-77^{\circ},75$ und $+10^{\circ}$ ist sie bedeutend geringer, nämlich 0,03065, wie folgender Versuch es zeigt. Das Blei war in Gestalt eines dicken Cylinders an einem sehr dünnen Eisendraht aufgehängt:

Gewicht des Blei . . .	152 ^{grm} ,30
<i>T</i>	$-77^{\circ},75$
<i>t</i>	14,19
<i>t'</i>	10,85
Δt	3,4384
Specifische Wärme . .	0,03065.

Specifische Wärme und Schmelzwärme des Broms.

Das Brom war aus mehrmals umkrystallisirten und von jeder Spur von Jod freiem Bromkalium gewonnen. Gemengt mit dem Doppelten seines Gewichts an Manganoxyd ward dieses Bromid in einer Retorte durch Schwefelsäure zersetzt. Man reinigte es durch mehrmalige Destillation über geschmolzenes und gepülvertes Chlorcalcium. Sein Schmelzpunkt fand sich bei $-7^{\circ},32$; Hr. Pierre setzt ihn zwischen -7 und 8° . Ich machte mit diesem Körper zwei Reihen Versuche.

Beim ersten wog das Brom . . .	45 ^{grm} ,47
" " " " Glaskügelchen .	3,09.

Anfangs bestimmte ich die Capacität des flüssigen Broms zwischen $+11^{\circ},57$ und $+48^{\circ},35$. Zu dem Ende wurde das Kügelchen in einer Röhre voll Quecksilber gehalten und in ein großes Bad von heißem Wasser gebracht, dessen Temperatur man streng constant erhielt.

$$T = 48^{\circ},35 \quad t' = 11,57$$

$$t = 9,83 \quad \Delta t = 1,7297$$

Specifiche Wärme des Broms = 0,11094.

Die hier für das Brom gefundene spezifische Wärme ist noch etwas größer als es Hr. Andrews angiebt; folglich genügt sie dem Gesetz der spezifischen Wärmen durchaus nicht.

Dasselbe Kügelchen mit Brom, erkaltet durch ein Kältegemisch von Eis und krystallisiertem Chlorcalcium gab:

	I.	II.
T	— 28°,25	— 22°,26
t	17,57	16,84
t'	9,72	9,34
Δt	7,6906	7,3853
Wärme, absorhirt von 100 Grm. Brom .	19,8320	19,1100

Ein Versuch in starrer Kohlensäure endlich gab:

$$T = -77^{\circ},75 \quad t' = 8^{\circ},79$$

$$t = 17,90 \quad \Delta t = 9,4426.$$

Wärme absorhirt von 100 Grm. Brom 23,8126.

Bei der zweiten Reihe von Versuchen

$$\text{wog das Brom } 40^{\text{grm}},124$$

$$\text{,, ,, Kügelchen . . . } 2,500.$$

Ein erster Versuch in heißem Wasser gab:

$$T = 58^{\circ},36 \quad t' = 13^{\circ},21$$

$$t = 10,74 \quad \Delta t = 1,887.$$

Specifiche Wärme des Broms 0,11294.

Die hier für das Brom gefundene spezifische Wärme ist noch größer als die in der ersten Versuchsreihe erhaltene; allein in dieser ging das Brom von $+48^{\circ}$ zu $+10^{\circ}$ über, während es in der zweiten Reihe von $+58$ zu 13° übergang. Die spezifische Wärme bezieht sich also in die-

sem Versuch auf höhere Temperaturen und es ist mithin nicht wunderbar, einen größeren Werth für sie zu finden.

Hierauf machte ich einen Versuch mit demselben Kügelchen, das in ein Kältegemisch gestellt, aber darin auf einer höheren Temperatur als der Erstarrungspunkt des Broms gehalten ward

$$\begin{aligned} T &= -6^{\circ},23 & t' &= 10^{\circ},44 \\ t &= 10,91 & \Delta t &= 0,6473. \\ \text{Specifiche Wärme des Broms} & & & 0,10513. \end{aligned}$$

Diese spezifische Wärme, die sich immer noch auf flüssiges, aber zwischen den sehr niederen Temperaturen von $-6^{\circ},23$ und $+10^{\circ},4$ gehaltenes Brom bezieht, ist kleiner als die vorhin bei höheren Temperaturen gefundenen; sie ist sogar kleiner als die vom Hrn. Andrews erhaltene. Indefs ist zu bemerken, daß dieser Versuch wegen der kleinen Temperaturdifferenz Δt , weniger Genauigkeit verbürgt als die vorhergehenden.

Wie dem auch sey, so können wir doch nach der Gesamtheit unserer Bestimmungen annehmen, daß die spezifische Wärme des flüssigen Broms zwischen $-7^{\circ},3$ und $+10^{\circ}$ ungefähr 0,106, und zwischen $+6^{\circ}$ und $+14^{\circ}$ ungefähr 0,108 beträgt.

Der etwaige Fehler in diesen Werthen ist jedenfalls sehr gering und kann keinen nachtheiligen Einfluß ausüben auf die Anwendung, die wir von ihnen machen werden.

Zwei Versuche mit dem in einem Gemenge von Eis und Chlorcalcium erkalteten Kügelchen, welches starres Brom enthielt, gab folgende Resultate:

	III.	IV.
T	$- 9^{\circ},19$	$- 20^{\circ},33$
t	$16,79$	$15,19$
t'	$10,88$	$9,17$
Δt	$6,1299$	$6,5191$
Wärme absorbirt von 100 Grm. Brom . .	$18,1273$	$19,2075.$

Endlich gab ein in starrer Kohlensäure angestellter Versuch:

v.

$$T = -77^{\circ},75$$

$$t' = 6^{\circ},96$$

$$t = 13,92$$

$$\Delta t = 8,2449$$

Wärme, absorbirt von 100 Grm. Brom: 23,6696.

Aus vorstehenden Versuchen ist es leicht die spezifische Wärme des starren Broms bei niederen Temperaturen, so wie die latente Schmelzwärme desselben herzuleiten.

Betrachten wir zuvörderst die Versuche der ersten Reihe und combiniren die im Kältegemisch von Eis und Chlorcalcium erhaltenen Resultate mit dem in starrer Kohlensäure.

Beim Versuch I, im Kältemisch, war die Endtemperatur des Calorimeters 9,72

Beim Versuch II, mit der starren Kohlensäure, war sie 8,79
0,93.

Wäre beim letzten Versuch die Endtemperatur $9^{\circ},72$ gewesen, so würde die vom Brom absorbirte Wärme um $0,93 \times 0,108 = 0,1004$ größer gewesen seyn; sie würde also gewesen seyn 23,9130

Ziehen wir davon ab die beim Versuch I der Kältemischung von Brom absorbirte Wärme . . 19,8320

so bleibt als Wärme, die 100 Grm. starres Brom beim Uebergange von $-79^{\circ},75$ auf $-28^{\circ},25$ absorbirt haben 4,0810

Dies giebt für die spezifische Wärme des starren Broms zwischen $-77^{\circ},75$ und $-28^{\circ},50$ 0,08245

Combiniren wir in gleicher Weise den in starrer Kohlensäure gemachten Versuch mit dem Versuch II in der Kältemischung, so finden wir:

Für die spezifische Wärme des starren Broms zwischen $-77^{\circ},25$ und $-22^{\circ},26$ 0,08581

Das Mittel beider Werthe ist 0,08413

Machen wir dieselbe Rechnung mit der letzten Reihe: der Versuch in starrer Kohlensäure combinirt mit den beiden Versuchen, die in der Kältemischung gemacht wurden, giebt für die spezifische Wärme des starren Broms:

Zwischen $-77^{\circ},75$ und $-9^{\circ},19$	0,08700
Zwischen $-77^{\circ},75$ und $-20^{\circ},33$	0,08200
		<u>0,08450</u>

Das Gesamtmittel ist 0,08432.

Die Bemerkung, welche wir bei Gelegenheit der Bestimmung der specifischen Wärme des starren Quecksilbers machten; erklärt die ziemlich großen Unterschiede, die zwischen den einzelnen eben berechneten Werthen gefunden wurden. Die Summe der Fehler fällt nämlich ganz auf den kleinen Bruch von der gesammten Wärme-Absorption, aus welcher wir die specifische Wärme des starren Broms herleiteten. Man darf also nicht erwarten, eine größere Uebereinstimmung in den Resultaten zu erlangen.

Das Product der specifischen Wärme 0,08432 in das Atomgewicht 489,1 ist 41,2, fällt also innerhalb der Grenzen der Werthe, die ich für dieses Product bei anderen einfachen Körpern gefunden habe. Mithin *leistet das starre Brom dem Gesetz der specifischen Wärmen vollkommen Gänge.*

Berechnen wir jetzt die *Schmelzwärme* dieses Körpers; wir werden sie aus den in der Kältemischung angestellten Versuchen herleiten. Dazu genügt es, von der durch das Brom insgesamt absorbirten Wärme abzuziehen: 1) die Wärmemenge, welche das starre Brom aufgenommen hat, um von der Temperatur T zu seinem Schmelzpunkt $-7^{\circ},32$ überzugehen, eine Wärme, die durch 0,08432 ($T - 7^{\circ},32$) ausgedrückt wird; 2) die Wärme, die es, im flüssigen Zustand, beim Uebergang vom $-7^{\circ},32$ auf t' absorbirt hat, und 0,106 ($t' + 7^{\circ},32$) beträgt. Somit haben wir für diese latente Wärme:

I.	16,26
II.	16,08
III.	16,04
IV.	16,36
Mittel	<u>16,185.</u>

XVII. Untersuchung über die Wärmestrahlung, Bestimmung des Reflexionsvermögens; von den HH. F. de la Provostaye und P. Desains.

(*Compt. rend. T. XXIV. p. 684.* — Vorläufiger Bericht von der Abhandlung, die nächstens ausführlich in diesen Annalen mitgetheilt werden wird.)

Die Verfasser erinnern an die Untersuchungen von Leslie, welche sich in allen Lehrbüchern der Physik befinden, und an die von Melloni¹⁾, welche 0,44 für das absolute Reflexionsvermögen des Messings ergeben. Sie beschreiben ihre Beobachtungsmethode, die wesentlich darin besteht, daß die Ablenkungen des Galvanometers eines thermo-elektrischen Apparats bestimmt werden, wenn successive die directen Strahlen einer Locatellischen Lampe und dieselben Strahlen, nachdem sie an polirten und gut planen Spiegeln aus den zu untersuchenden Substanzen reflectirt worden, auf die Säulen fallen. Sie bezeichnen die Vorsichtsmafsregeln, die nöthig sind, um so zu genauen Resultaten zu gelangen.

Sie wandten zwei Prüfungsmethoden an, bestehend darin:

1) daß sie die relativen Reflexionsvermögen zweier Metalle bestimmten, und das des zweiten aus dem als bekannt vorausgesetzten des ersten herleiteten.

2) daß sie das Reflexionsvermögen des Glases, hauptsächlich bei Incidenzen von 75 und 80°, bestimmten, und damit das Reflexionsvermögen der Metalle verglichen. Diese letzte Methode haben sie nur zur Verification des Reflexionsvermögens des Messings benutzt.

Durch diese verschiedenen Methoden haben sie folgende Resultate erhalten:

1) *Ann. de chim. et de phys. Ser. II. T. XLVIII. p. 213* und *T. LX. p. 402* (*Ann. Bd. 27. S. 450.* u. *Bd. 37. S. 212.*)

1. *Die Wärme-Reflexionsvermögen der Metalle sind sehr beträchtlich.* — Folgende Tafel enthält die Werthe, die beim Einfallswinkel 50° , gerechnet von der Normale, gefunden wurden:

	Absolutes Reflexionsvermögen.
Silberplattirung, gut polirt	0,97
Kupfer	0,93
Messing, durch Hämmern polirt	0,93
Messing, geschlagen, dann durch Reiben polirt	0,92
Kupfer, gefirnist	0,86
Spiegelmetall, frisch polirt	0,855
Zinn	0,855
Spiegelmetall, etwas angelaufen	0,825
Stahl, gehärtet	0,825
Zink	0,81
Eisen	0,77
Blattsilber, auf Glas geklebt	0,73

Spiegelmetall und Stahl waren nach den gewöhnlichen *Procedures* bearbeitet, die zur Erlangung einer möglichst vollkommenen Politur dienen.

Die übrigen Metalle waren weniger hart und ihre Politur weniger vollendet. Zink, Zinn und eins der messingenen Spiegel waren geschlagen und dann einfach durch Reibung polirt; das Kupfer, der andere Messingspiegel und die Silberplattirung waren polirt, anfangs durch Reibung und dann, indem man sie rückwärts hämmerte.

Es wurde mit zwei Platten von Spiegelmetall, zwei von Messing und drei von Kupfer operirt; eine dieser letzteren wurde, nachdem sie untersucht worden, gefirnist, wie es gewöhnlich zur Verhütung der Oxydation geschieht.

Die Polirung der fünf letzten Spiegel (von Messing und Kupfer) geschah durch Reibung, die einen longitudinal, die anderen transversal, was indess keine oder fast unmerkliche Unterschiede herbeiführte. Der Eisenspiegel endlich war erhalten worden, indem man einen Stahlspiegel nahm und ihn lange Zeit in einem mit Kohle gefüllten Ofen hin-

länglich erhitzte um ihn zu entstählen. Das Verfahren gab eine schuppenlose Oberfläche, die man einfach durch Reibung polirte.

2. *Die Reflexionsvermögen scheinen sich bei Winkeln unter 70° nicht mit der Incidenz zu verändern.* — Wenn man 70° erreicht, erleiden sie eine *Abnahme*, die bei 75 bis 80° sehr merklich wird. Bei diesen beiden Winkeln ist das Reflexionsvermögen fast gleich 0,94 des Reflexionsvermögens bei kleineren Incidenzen.

In streiferenden (schieferen) Richtungen ist es unmöglich mit Sicherheit zu beobachten; man kann also nicht wissen, ob die Abnahme bis 90° fortgehe oder ein Minimum habe.

Da das Reflexionsvermögen des *Glases* mit der Incidenz sehr rasch *zunimmt*, so wurde die eben erwähnte *Abnahme* nicht eher anerkannt, als bis sie durch wiederholte Versuche mit verschiedenen Spiegeln von derselben Substanz und von verschiedenen Substanzen, so wie durch successive Reflexion des Wärmebündels an verschiedenen Punkten der Oberfläche bestätigt worden war.

Nachdem diese Arbeit vollendet war, erkannten wir bei einer geschichtlichen Nachforschung:

Dafs Hr. Potter schon angegeben, die Reflexion des *Lichts* sey *geringer* bei größeren Einfallswinkeln (Herschel, *Traité de la lumière T. II. p. 530.*)

Dafs H. Forbes diesen Satz für die *Wärme* bestätigt hat. Er fügt hinzu, er habe bei Anwendung von Stahl- und Silberspiegeln, *die reflectirte Wärmemenge in dem Maasse größer gefunden als die von Hrn. Potter angegebene Lichtmenge* (etwa 0,66), dafs er vermuthet, die photometrischen Resultate desselben seyen zu klein. (*Proceedings of the Roy. Soc. of Edinb. 1839 März.*)

Wir werden uns also bemühen zu sehen, ob, wie wahrscheinlich, Hr. Forbes einige unsere Resultate erlangt habe; da er indeß durchaus *keinen Zahlenwerth* angiebt, auch *kein absolutes Reflexionsvermögen*, sondern sich mit einer *allgemeinen Angabe* begnügt und endlich seine Arbeit nicht

verfolgt hat, so finden wir darin einen Beweggrund, von der Veröffentlichung unserer Untersuchungen nicht abzulassen.

XVIII. *Ueber die Reflexion der verschiedenen Wärmearten an Metallen; von den HH. F. de la Provostaye und F. Desains.*

(*Compt. rend. T. XXVIII. p. 501.*)

Die Physiker, die sich mit dem Studium der Wärme beschäftigt haben, scheinen anzunehmen, daß die Strahlen verschiedener Art sich in gleichem Verhältniß an polirten Metallen reflectiren ¹).

1) Davon kann man sich überzeugen, wenn man die Augen auf folgende Citate wirft, die wir hier zusammenstellen:

„*Les surfaces métalliques ayant à très-peu près le même pouvoir absorbant pour la chaleur provenant de tous les sources, il en résulte, comme conséquence, que les miroirs métalliques doivent réfléchir la même proportion de tout espèce de rayons; c'est, en effet, ce que M. Melloni a vérifié directement par plusieurs moyens. En enlevant le réflecteur de la lampe Locatelli, puis la rapprochant de la pile pour que la flamme produisit toujours, par son rayonnement direct et libre, une déviation de 30 degrés, puis essayant de cette manière les pouvoirs diathermique des plaques diaphanes déjà éprouvées, ces pouvoirs ont été trouvés les mêmes que quand la lampe était munie de son réflecteur métallique. En plaçant horizontalement sur un support disposé entre le diaphragme et la pile, un plan métallique, remontant la source, et inclinant l'axe de la pile de manière qu'elle ne pût recevoir que la chaleur réfléchie par le disque, puis essayant, avec cette disposition, les pouvoirs diathermiques des plaques diaphanes pour les rayons du cuivre échauffé à 400 degrés ou du cube à 100 degrés; ces pouvoirs ont encore été trouvés identiques avec ceux que l'on obtenait quand la chaleur émergente des plaques tombait directement sur la pile sans réflexion intermédiaire (Cours de Physique par Mr. Lamé 1840. T. III. p. 368 et 369).*

Dagegen beweisen die sehr genauen Versuche des Hrn. **Jainin**, übereinstimmend mit den Formeln des Hrn. **Cauchy**, daß die Intensität der Lichtreflexion von der Farbe des angewandten Lichts abhängt. Die zahlreichen Analogien zwischen Wärme und Licht erlauben kaum, eine wesentliche Verschiedenheit in dieser Beziehung anzunehmen. In der That glauben wir durch Versuche bewiesen zu haben, daß dieser Unterschied nicht existirt und daß die verschiedenartigen Wärmestrahlen sich in sehr ungleichen Verhältnissen an einem Metallspiegel reflectiren.

Der Gang, welchen wir befolgt haben, ist genau der, den wir früher bei unseren Untersuchungen über das Re-

„... Dans tous ce que nous avons dit des pouvoirs réflecteurs, it n'a pas été question de la nature de la source de chaleur, ou du moins nous n'avons rien dit qui donne à supposer qu'elle ait quelque influence sur ces pouvoirs. Elle n'en a aucun, en effet, quand la réflexion s'opère sur des surfaces métalliques; en d'autres termes, un métal réfléchit toujours la même partie aliquote de la chaleur incidente, quelles qu'en soient l'intensité et la source. C'est que M. Melloni a démontré nettement de la manière suivante. (Durch eben erwähnte Versuche) (Traité de Physique de M. Pectet edit. IV. T. I. p. 387).

„Auf Metallflächen scheint die verschiedene Art der Wärmestrahlen keinen Einfluss zu haben; auch ist bei ihnen das Emissionsvermögen dem Absorptionsvermögen für alle Arten von Wärme gleich. Dies stimmt damit überein, daß Metallspiegel alle Arten Wärmestrahlen auf gleiche Weise reflectiren. (Gehler, Neues phys. Wörterb. 1841. Bd. X. S. 590.)

„... Die Strahlen verschiedener Wärmefärbung haben also dieselbe Reflexibilität. In dieser Beziehung ist also der Parallelismus des Lichts und der Wärme ebenfalls vorhanden.“ (Repert. d. Physik, von H. W. Dove 1841. Bd. IV. S. 344.)

„... Ce caractère tout special, réuni au dépoli de la surface et à la projection égale des rayons dans tous les directions, suffit pour montrer qu'on ne saurait attribuer les phénomènes de la diffusion calorifique à la simple réflexion qui se fait uniquement sur les corps polis, dans une seule direction pour chaque rayon incident et avec une intensité constante pour toute espèce de chaleur (Mémoire sur la constance de l'absorption calorifique exercée par le noir de fumée et les métaux etc. par M. Melloni, Ann. de chim. et de phys. Ser. II. T. LXXV, p. 371.) (Ann. Bd. 52, S. 582.)

flexionsvermögen der Metalle einschlugen, (*Compt. rend. de l'acad. T. XXIV, p. 684*. Siehe den vorübergehenden Aufsatz). Die Wärmequelle war immer eine Locatellische Lampe; nur operirte man successive mit directen Strahlen und mit denselben Strahlen, nachdem sie bald durch eine Platte von natürlichem schlecht polirtem und mälsig durchsichtigem Steinsalz, bald durch berufstes Steinsalz oder durch eine Glasplatte gegangen waren. Der Einfallswinkel betrug etwa 60° . Die Resultate waren folgende:

Versuche mit Spiegelmetall.

Das angewandte Spiegelmetall reflectirte von der directen Wärme einer Locatellischen Lampe 0,80 bis 0,84. Von derselben Wärme, nachdem sie durch eine $0^{\text{m}},005$ dicke Glasplatte gegangen, reflectirte sie nur 0,74, und nachdem sie durch Steinsalz gegangen, 0,82 bis 0,83.

Versuche mit Silber.

Der Silberspiegel reflectirte von der natürlichen Wärme 0,95 bis 0,96, von der durch $0^{\text{m}},005$ Glas gegangenen 0,91.

Versuche mit Platin.

Das angewandte Platin reflectirte von der natürlichen Wärme 0,79, von der durch Steinsalz gegangenen 0,77 bis 0,78, von der durch $0^{\text{m}},005$ Glas gegangenen 0,65 bis 0,66 und endlich von der durch berufstes Steinsalz gegangenen 0,83.

Wir haben gleichfalls einige Versuche gemacht mit den Platten von Gold und mattem Silber, die uns zu der Arbeit über die Wärmediffusion dienen¹⁾. Der Antheil der einfallenden Wärme, welchen diese Platten zur Säule zurücksenden, wenn diese in Richtung der regelmälsigen Reflexion aufgestellt ist, ist äufserst verschieden, je nachdem die Wärme zuvor durch Glas oder durch berufstes Steinsalz gegangen ist.

Aus diesen Zahlen geht hervor, dafs diejenige Wärme,

1) *Compt. rend. T. XXVI, p. 212.* (Ann. Bd. 74, S. 147).

welche am leichtesten das Glas durchdringt, in kleinerem Verhältniß an den von uns untersuchten Metallen reflectirt wird, und dagegen die Wärme, die in größerer Menge durch beruhtes Steinsalz geht, sich reichlich an denselben Metallen reflectirt. Eine strenge Folgerung aus diesen Versuchen ist: daß ein von einem Metallspiegel reflectirtes Wärmebündel im Allgemeinen eine ganz andere Zusammensetzung hat als das eingefallene Bündel und daß es also beim Durchgang durch diathermane Substanzen nicht denselben Verlust erleidet. In der That haben wir dies direct auf folgende Weise ermittelt. Wir haben bestimmt:

1. Den Intensitätsverlust, welchen die Wärme einer Locatellischen Lampe beim Durchgang durch eine 0^m,005 dicke Glasplatte erleidet.

2. Den Verlust, welche die Wärme derselben Quelle, nachdem sie zwei Mal an parallelen Metallspiegeln reflectirt worden, beim Durchgang durch dieselbe Glasplatte erlitt.

Im ersten Fall liefs die Glasplatte 0,44 der einfallenden Wärme durch, im zweiten nur 0,33 bis 0,34.

Diese beiden Methoden geben also übereinstimmende Resultate, und wir halten es also für festgestellt, daß die verschiedenen Wärme-Arten sich an vielen, wahrscheinlich an allen Metallen, ungleich reflectiren, und daß die Reflexion an polirten Metallen das Verhältniß der Wärme, aus denen das einfallende Bündel bestand, abändert.

**XIX. Ueber die Temperatur der Quellen im Salzkammergut und dessen nächsten Umgebungen;
von Friedrich Simony.**

(Uebersandt vom Hrn. Verf. aus den Berichten üb. d. Mittheil. von Freunden d. Naturwiss. in Wien, Bd. V. S. 258.)

Zur besseren Uebersicht dient die folgende Tabelle, welche in der ersten Columne die Höhenregion der untersuchten Quellen, in den vier nebenstehenden Spalten die Temperatur derselben, und zwar je nach den vier Hauptweltgegenden, gegen welche das Terrain der einzelnen Quellen abdacht, und endlich in der letzten die durchschnittliche Wärme der Wässer gleicher Höhe angiebt. Die in Klammern geschlossenen Temperaturen sind als abnorme zu betrachten, und werden getrennt von den allgemeinen Resultaten für sich besprochen werden.

Meereshöhe in Wiener Fufs.	Temperatur in Graden Reaumur.				
	Nord.	Süd.	Ost.	West.	Mittel.
1400' — 2000'	6,0 — 4,6° (4,2°)	6,7 — 6,3° (4,7°)	5,9 — 5,4° (17,0°)	6,7 — 4,8° (13,1°)	5,8°
2000' — 2500'	4,1 — 3,8° (18,0°)	5,8 — 4,7°	5,3°	— —	4,9°
2500' — 3000'	3,5 — 3,2° (2,9°)	5,5 — 4,4°	5,2 — 4,1°	— —	4,4°
3000' — 3500'	— —	— —	(2,7 — 1,4°)	— —	—
3500' — 4000'	— — (1,9°)	4,1 — 3,4°	4,4 — 3,8° (1,2 — 0°)	3,8°	3,9°
4000' — 4500'	3,9°	4,4 — 3,3°	3,2°	— —	3,6°
4500' — 5000'	3,6 — 3,3°	2,8°	— —	— —	3,2°
5700'	— —	1,9°	— —	— —	1,9°
7600'	— —	— —	0,9°	— —	—

Bei dem ersten Ueberblick dieser Tabelle, welche aus mehr als 150 zu allen Jahreszeiten im Verlaufe der letzten

zwei Jahre gemachten Beobachtungen an 48 Quellen, die über einen Flächenraum von etwa 15 □ Meilen vertheilt sind, zusammengestellt wurde, ergeben sich *beträchtliche Temperatur-Differenzen der Gewässer, welche in einem gleichen Höhenniveau zu Tage treten*. Die Unterschiede sind so bedeutend, daß, wollte man aus den Wärmegraden einer oder der andern Quelle constanter oder nahe constanter Temperatur, wie es deren viele im Salzkammergut giebt, auf die mittlere Jahreswärme der Gegend schließen, man sich meist ziemlich weit von der Wahrheit entfernen würde. In Beziehung auf die mittlere Jahrestemperatur des Salzkammergutes möge vorübergehend erwähnt seyn, daß dieselbe im Mittel beiläufig um $0,5^{\circ}$ R. höher steht, als in den benachbarten offenen Gegenden, was vorzüglich den verhältnißmäßig gelinden Wintern, in welchen nur selten das Thermometer unter 15° R. fällt, zuzuschreiben ist. So hält sich z. B. die mittlere Jahrestemperatur in *Ischl* (1460') zwischen $6,4$ und $8,0^{\circ}$ in *Hallstatt* (1620') zwischen $6,2$ und $7,5^{\circ}$, während sie in dem nur 20—30 Minuten nördlicher gelegenen *Kremsmünster* (1196') im Mittel auf $6,6^{\circ}$ R. steht. Als mittleres Resultat der Jahreswärme der tiefsten zwischen 1400—2000' gelegenen Thalregion des hier umfaßten Terrains dürfte sich $7,2$ — $6,8^{\circ}$ R. herausstellen, während das Wärmemittel aller, derselben Region angehörig beobachteten Quellen nur $5,8^{\circ}$ R. beträgt. *Im Durchschnitt steht also die Temperatur der Quellen in den Thalgründen und nächst angränzenden Theilen der Kalkgebirgsgehänge des Salzkammergutes unter dem Mittel der Lufttemperatur.*

Dieses Resultat ist ganz entgegengesetzt jenem, welches man *in den Urgebirgsgegenden* erhält, wo die Quellen *durchschnittlich wärmer* sind, als das Mittel der Luftwärme. Die starke Zerklüftung, Durchhöhlung und steile Abdachung der Kalkmassen, in welchen die in hohen kalten Regionen sich ansammelnden Wässer einen schnellen Verlauf nehmen und die Erwärmung des weissen oder grauen Felsbodens durch die Sonnenstrahlen nicht so bedeutend und we-

gen der geringern Leitungsfähigkeit des Kalksteins auch nicht so tiefgreifend ist, wie bei den compacten, meist sanft abdachenden, dunkelfarbigem, stärker Wärme leitenden Urgebirgen, in denen die Gewässer gewöhnlich näher der Oberfläche zu verlaufen genöthigt sind, dürften diese Thatsache ziemlich genügend erklären.

Vergleicht man in der vorgehenden Tafel die Temperaturen von Quellen gleicher Höhe, aber von verschiedener Lage ihres Ausflusspunktes, so ergibt sich, *dass die gegen Süden hervorbrechenden Wässer durchschnittlich um 1,2 — 1,5° R. wärmer sind als die der nördlichen Gehänge*, was einerseits einen Mafsstab für die Wirkung der verschieden einfallenden Sonnenstrahlen auf den Felsboden giebt, anderseits wohl auch erkennen läfst, *dass die verschiedenen Tiefen der innern Gebirgsmasse, durch welche die einzelnen Quellen verlaufen, keine so grossen Unterschiede in der Temperatur der letztern hervorrufen, als man nach der bestehenden Theorie der Chthonisothermen vermuthen sollte.* Bei den vielen im Nordfufs des Dachsteingebirges hervorbrechenden Wässern, die sich theilweise mitten in dem 5000 — 8500' hohen, über 4 Stunden breiten karstähnlichen Plateau ansammeln, in ihrem weitem Verlaufe mithin die innersten, also auch wärmsten Theile des Gebirgsstockes durchwandern müssen, ist doch der Einfluss erhöhter Erdwärme durchaus gar nicht wahrnehmbar. Die Quellen halten sich in der Meereshöhe von 1601 — 1630 im Sommer und Winter zwischen 4,8 — 5,6° R. Nur in der sehr warmen Jahreszeit fällt die Temperatur bei einzelnen derselben bis auf 4,2° R. herab. Vorzüglich ist dies bei dem *Hirschbrunn* am Hallstätter See der Fall, welcher von December bis März constant die Temperatur von 5,6° R. behält, mit dem Eintritt des Thauwetters aber kälter wird und im Juli und August, wo auch Gletscherwässer der Quelle sich beigesellen, bis auf 4,2° herabsinkt. In den Kalkgebirgen dürfte nach den hier gegebenen Beobachtungsergebnissen demnach die Annahme eines ausgezeichneten Gelehrten, *dass die in mächtigen Gebirgsstöcken hoch*

aufsteigenden Chthonisothermen hoher Wärmegrade allein im Stande seyen, Atmosphärwässer in ihrem einfachen Ab-
 laufe durch das Gebirgsinnere schon in Thermen zu ver-
 wandeln, keine Anwendung finden, ja die hier erwähnten
 Thatsachen sind dieser Theorie so wenig entsprechend, das
 man genöthigt wird, die Wärmezunahme von der Gebirgs-
 oberfläche nach dem Gebirgsinnern überhaupt geringer zu
 halten, als dies bisher geschehen ist. Wenn man die Aus-
 dehnung der Masse des *Dachsteingebirges*, die Dauer des
 Verlaufes seiner Wässer von ihrem ersten Sammelorte bis
 zum Hervortreten als Quelle, die Verklüftungsweise und
 Schichtenneigung der Formation und endlich die Temper-
 atur der Quellen gleichzeitig in Rechnung bringt, so ist
in dem genannten Gebirge eine Temperaturzunahme von je
1° R. von der Oberfläche nach dem Innern zu wohl kaum
in geringerer Tiefe als in je 350—400' anzunehmen.

Beachtenswerth erscheint endlich noch in gegebener Ta-
 belle *das Verhältniß der Temperaturabnahme der Quellen*
bei zunehmender Höhe ihres Austrittspunktes. Für die Höhe
 zwischen 1400—2000' ergibt sich die Mitteltemperatur
 von 5,8° R., für die Höhe zwischen 4500—5000' dagegen
 3,2° R., auf eine absolute Höhendifferenz von 3000' also
 nur eine Verminderung der Temperatur um 2,6° R. oder
bis zu der Höhengränze von 5000' für 1° R. Temperatur-
abnahme 1150 Wien. Fufs Höhengzunahme. Läßt man das
 aus unmittelbaren Beobachtungen hervorgegangene Jahres-
 mittel der Lufttemperatur der Thalregion des Salzkammer-
 gutes aufser Acht, da dasselbe wohl auch mehr als abnorm
 zu betrachten ist und *nimmt man die mittlere Quelltem-*
peratur als wahres Mittel der Jahreswärme derselben Hö-
henregion, so ergibt sich eine viel langsamere Abnahme
der durchschnittlichen Wärme in den Hochgebirgsgegenden
von deren Thalböden bis zur Höhe von 5000' als im All-
gemeinen (für 1° R 700—800') angenommen wird. So dif-
 ferent von der letztern Annahme, welche fast durchgängig
 bloß auf Sommerbeobachtungen beruht, die hier angeführ-
 ten Resultate erscheinen, so stimmen dieselben anderseits

mit den in neuester Zeit erhaltenen Ergebnissen der durch J. Prettnner in verschiedenen Höhenpunkten Kärntens eingeleiteten, durch das ganze Jahr mit grossem Fleisse gemachten Temperaturbeobachtungen vortrefflich überein, nach welchen die Jahreswärme von 1400' bis zur Höhe von 5000' nicht mehr als um $3,0 - 3,5^{\circ}$ (für 1° R. Wärmeabnahme 1200 — 1030 Höhenzunahme) fällt und erst über der Linie von 5000' rascher abnimmt.

Entsprechend diesem letztern Ergebniss zeigt sich auch das Resultat einer am 30. October 1844 in der Höhe von 5700' gemachten Quellenbeobachtung. Der *Kampenbrunn* am südlichen Fufs der Bischofnütze (7700') einem Ausläufer des Dachsteingebirges gelegen, hatte an dem bezeichneten Tage die Temperatur von $1,9^{\circ}$ R. (Luftwärme $+ 1,0^{\circ}$ R.)

Die Temperatur von $0,9^{\circ}$ R. eines 7600' tiefen, der Sonne nur wenig zugänglichen Wasserbassins, welches, im Ostgehänge des hohen Gjaidsteins (8650') befindlich, in so fern als Quelle betrachtet werden muß, da es, obgleich in einem sehr zerklüfteten Felskessel angesammelt, selbst zu einer Jahreszeit, in welcher kein Schnee mehr auf den höheren Theilen des Gjaidsteins liegt, sein Niveau nicht merklich ändert, ist vielleicht bezeichnend für den mittleren Wärmegrad des Bodens zu nehmen, welchen der letztere bis zu Ende des Sommers in der Tiefe von 10' angenommen hat.

Nun noch Einiges von den *abnormen Quellen*, deren Temperatur in der Tabelle in Klammern geschlossen erscheinen.

Dafs das sogenannte „*warme Wasser*“ am südwestlichen Ufer des untern Hallstädter Sees (1600') gelegen, in einer mehrerer hundert Klafter betragenden Längenausdehnung zu Tage tritt, eine Temperatur von $8 - 17^{\circ}$ R. zeigt, je nachdem es mehr oder weniger mit Seewasser gemengt ist, dafs dasselbe keine besonderen Bestandtheile erkennen läfst, jedoch stellenweise von Gasentwicklung begleitet wird, welche sich hier und da selbst noch einige Klafter

seeinwärts kundgiebt, daß diese Therme ihren Wärmehalt wahrscheinlich einer tief unter das Niveau des Sees hinabreichenden ausgedehnten Gebirgsspalte zu danken hat, wurde bereits bei einer andern Gelegenheit erwähnt; es möge nur noch beigefügt werden, daß ich nachträglich die Spur einer relativen Therme von 10° (welche höchst wahrscheinlich mit der vorigen einen ganz gleichen Ursprung hat) auch im obern Hallstätter See und zwar unmittelbar aufwärts der Einmündung des Gosaubaches, in einer kleinen Felsbucht ebenfalls ganz am Rande des Sees im Winter 1847 beobachtet habe.

Eine ähnliche *Therme* von $16 - 18^{\circ}$ R. ohne besondern Geruch und Geschmack findet sich im steirischen Salinenbezirk Aussee im Nordgehänge des Grimming bei Grubeck (2500') nächst Mitterndorf. Sie kommt im Niveau eines kleinen Baches zu Tage, ist von einer kleinen Badhütte umschlossen und wird zeitweise benutzt.

Eine kleine *warme Schwefelquelle* (1450') beobachtet man am Wege von Mitterweissenbach bei Ischl nach Auferweissenbach am Attersee, dicht an der Strafe. Sie scheint schon längere Zeit bekannt zu seyn, denn es ist zu ihrer Ansammlung ein kleines Becken in den Felsgrund ausgehauen und dasselbe mit Bretterstücken verdeckt. Am 2. September 1848 zeigte das stark nach Hydrothiongas riechende Wasser in dem Steinbecken $13,1^{\circ}$ R. bei $10,0^{\circ}$ Lufttemperatur.

Höchst interessant sind die *kalten Quellen auf dem Ausseer Salzberg* am Ost- und Nordabfall des 5420' hohen Sandling, welcher in der Gränzscheide Oestreichs und Steiermarks liegt. Es muß im Vorhinein erwähnt werden, daß die sämtlichen nachfolgend erwähnten Wässer theils aus mächtigen mit Holzvegetation mehr oder weniger bedeckten Trümmergehängen, theils aus Felsenmassen hervortreten, welche auf die großartigste Weise zerklüftet sind und stellenweise, vorzüglich in dem sogenannten *Rothkogel*, einer niedrigeren Parthie des Sandling, von 1—10' breiten, mehrere hundert Fufs laugen und tiefen Spalten

durchzogen werden, welche als klaffende Felsschlünde die Gebirgs Oberfläche durchkreuzen und die Wanderung auf dem genannten Kogel ziemlich gefährlich machen, da sie stellenweise durch Vegetation verdeckt sind.

Die größte dieser kalten Quellen befindet sich auf dem *Moosberg* (3235) ganz nahe über dem Berghaus. Sie hat Sommer und Winter, bei trockenem und nassem Wetter constant die Temperatur von $2,7^{\circ}$ R. Selbst in den kältesten Monaten verringert sich die Wassermenge nicht bedeutend. Etwa 100 Schritte aufwärts ist ein zweiter Wasseransatz, welcher gewöhnlich trocken ist, aber (nach Hrn. Engelb. Baumgartner's Angabe) die merkwürdige Eigenschaft hat, 6—8 Tage nach eingetretenem starkem Thauwetter oder in gleicher Zeit nach einem heftigen oder lang anhaltenden Regen plötzlich überzuströmen. Wahrscheinlich sind diese beiden Quellenmündungen die verschiedenen hoch gelegenen Abflüsse eines einzigen ausgedehnten Wasserbassins im Innern des Gebirges, in welchem die verschiedenen Sammelwässer ihre Temperatur stets ausgleichen, bei gewöhnlichem Stande ihren Abfluß in der unteren Quelle finden und nur, wenn nach lange anhaltenden außerordentlichen Zuflüssen das Niveau bis zum oberen Abfluß gestiegen ist, was die angegebene Zeit von 6—8 Tagen bedarf, auch da ihren Ablauf nehmen.

Einige hundert Klafter nordwärts vom Moosberg und 135' über der vorigen Quelle, also in einer Meereshöhe von 3370' liegt der *neue Wasserstollen*. Das aus demselben fließende Wasser zeigte am 21. September 1848 bei $7,0^{\circ}$ R. Lufttemperatur $1,4^{\circ}$ R. Im Stolleneingang hatte die herausströmende Luft $2,4^{\circ}$ R.

In einer Meereshöhe von 3496' liegt der *Wasserschlag vor dem rothen Kogel*. In demselben hatte das Wasser am oben erwähnten Tage die Temperatur von $1,9^{\circ}$ R. bei einer Lufttemperatur von $8,7^{\circ}$ R. Hundert Schritte einwärts der Mündung dieses Wasserstollens bildet sich im Winter eine beträchtliche Eismasse, welche gewöhnlich erst Ende August sich verliert.

Eine das ganze Jahr fortdauernde Eisbildung findet jedoch im Wasseraufschlag hinter dem rothen Kogel statt. Dieser Stollen, 3620' über dem Meere gelegen, geht anfangs durch Steingetrümmer, dann durch festen Fels des rothen Kalksteins, welcher den Rothenkogel zusammensetzt. Aus den Spalten, welche den Fels durchsetzen, sickert Wasser herab, welches, wie es in die Stollenhöh- lung tritt, noch die Temperatur von $1,0-1,2^{\circ}$ R. zeigt, beim Herabrieseln und Abtropfen über die Felswände aber so abgekühlt wird, daß es schon theilweise an den letz- tern, mehr aber noch auf dem Boden des Stollens zu Eis erstarrt. Am stärksten geht die Eisbildung etwa 300 Schritte einwärts der Stollenmündung vor sich. Hier war am 2. Sep- tember 1848 das Eis auf dem Boden 3—4", an den Wän- den $\frac{1}{2}-1$ " dick, die Lufttemperatur an dieser Stelle be- trug $0,6^{\circ}$, während das Thermometer im Freien $9,3^{\circ}$ R. zeigte. Die Luftströmung von Innen gegen die Stollenmün- dung heraus, war an dem bezeichneten Tage so beträcht- lich, daß man das Grubenlicht vor dem Verlöschen wah- ren mußte.

In demselben Gehänge, aber nur etwas nördlicher und um 110' höher als der vorige Punkt, befindet sich der *Ur- sprung des Steinbergbrunnens*, eine ziemlich mächtige Quelle von $4,4^{\circ}$ R. Temperatur. Einige 100 Schritte in gleicher Richtung aufwärts tritt die *Quelle der Ausseer Sandling- alpe* (3800') mit einer Temperatur von $3,8^{\circ}$ R. zu Tage.

Von der letztern weg übersteigt man einen Felsenkamm, und gelangt an den Nordabfall des Sandling, wo in einer Meereshöhe von 3780' am Fusse eines mächtigen Trümmer- gehänges das *Brendlerbründl* hervorrieselt, welches am 20. November 1846 bei einer Lufttemperatur von $+5,0^{\circ}$ und am 30. August 1848 bei einer Luftwärme von $15,3^{\circ}$ R. con- stant $1,8^{\circ}$ R. zeigte.

Die große Zerrissenheit der Felsmassen des nur 5420' hohen, ganz isolirten, und schon im Juli vollkommen schnee- freien Sandling, welcher das Sammelgebiet der sämtlichen hier benannten kalten Quellen bildet, und die ihn um-

schliessenden aus kolossalen Steintrümmern bestehenden ausgedehnten Schutthalden, aus deren Fufs die Quellen vorzugsweise hervortreten, dürften hiulänglich die niedrige Temperatur der genannten Wässer erklären. Es ist im höchsten Grade wahrscheinlich, dafs sowohl in den zahlreichen tiefen Spalten der festen Felsmasse des Sandling und Rothenkogels als auch in der Tiefe der mächtigen Schuttgehänge, welche der Luft hiulänglichem Durchzug gestatten, die feinertheilten Wasseradern durch partielle Verdunstung sich bedeutend abkühlen, ja dafs die Abkühlung so weit gehen kann, dafs sich selbst beträchtliche Eismassen, *Eiskeller* bilden, wie dieselben in grossen Schuttmassen und starkem Luftzug ausgesetzten Höhlenräumen nicht selten gefunden werden.

Dafs Wasser durch theilweise Verdunstung, von Luftzug hervorgebracht, wirklich in Eis verwandelt werden kann, zeigt die unmittelbare Thatsache im Stollen des Wasseraufschlags hinter dem Rothenkogel. Solche unterirdische Eismassen müssen eine constante Erniedrigung der Temperatur ihrer ganzen Umgebung und so auch der Gewässer, welche von ihnen und über sie abfliessen, hervorbringen. Am Sandling, wo alle Bedingungen für die Bildung der natürlichen Eiskeller vorhanden sind, dürfte deren Existenz um so weniger in Zweifel zu ziehen seyn, da ohne die Annahme ihres Vorhandenseyns die durchgängig niedrige und constante Temperatur der genannten Quellen sonst kaum genügend zu erklären wäre.

XX. *Ueber Pleomorphie der Titansäure;*
von A. Breithaupt.

In dem *Philosophical Magazine and Journal of Science* findet sich eine kurze Notiz vom Hrn. Prof. Miller mit-

getheilt, wonach *Arkansit* (s. d. Ann. Bd. 77. S. 302) und *Brookit* für chemisch und krystallographisch identisch erklärt werden, jedoch ohne specielle Nachweisung¹⁾. Was die krystallographische Identität dieser beiden wesentlich nur Titansäure enthaltenden Mineralien betrifft, so kann ich nicht anders als auf dem bestehen, was a. a. O. S. 304 gesagt ist. Diese zwei Mineralien sind zweierlei Specien, die sich ja auch nach Farbe, Strich und specifischem Gewichte nicht vereinigen lassen. Der *Brookit* spaltet übrigens nach einem Prisma von $104^{\circ} 12'$ gar nicht undeutlich, wenn auch diese Spaltbarkeit mitunter schwierig zu erhalten ist. Von einer gleichen, ja von einer ähnlichen Eigenschaft ist beim *Arkansit* keine Spur zu finden. Wenn nun aber *Arkansit* ebenfalls aus *Titansäure* besteht, so kennt man nun von dieser *viererlei* Specien. Es verhält sich aber *Arkansit* zu *Brookit* in dem rhombischen, wie *Anatas* zu *Rutil* in dem tetragonalen Krystallisations-Systeme, nur würde man die beiden letzten viel leichter — freilich nicht auf allgemeinem naturhistorischem, sondern blofs mathematischem Wege — identificiren können, als die beiden ersten.

1) Vergl. Ann. Bd. 77, S. 591.

I. *Ueber die Regenverhältnisse der Alpen;*
von Hermann Schlagintweit.

Die atmosphärischen Niederschläge, ihre Masse sowohl als ihre jährliche Vertheilung, sind ein Phänomen, welches mehr vielleicht als irgend ein anderes der Meteorologie von localen Verhältnissen verändert wird. Daher kann der Einfluss auch der Alpen, dieser so mächtigen Gebirgsmasse, kein unbedeutender seyn.

Der Zweck dieser Abhandlung möge es seyn, jene Modificationen der Regenverhältnisse näher zu betrachten, die von den Alpen zunächst abhängen. Wir werden daher zuerst die Menge und die Vertheilung des Regens im Allgemeinen, dann den Einfluss der verticalen Erhebung auf die zu erhaltenden Regenmenge zu betrachten haben.

Aufser den schon bekannten ombrometrischen Stationen benutzte ich dazu-einige Beobachtungen, welche wir selbst, zwar nur kürzere Zeit, aber correspondirend in verschiedenen Höhen anstellten. Zugleich war es mir sehr erwünscht mit den ersteren eine neue 8jährige Beobachtungsstation am k. k. Salzberge zu Hall (4548 Par. Fufs) vergleichen zu können. Ich werde sie am Schlusse dieser Untersuchungen mittheilen.

Wenn wir uns die Wirkung der Alpen vergegenwärtigen, so wird uns Folgendes zunächst auffallen. Feuchte, warme Winde, wenn sie mit den Alpen in Berührung kommen, werden ihren Wassergehalt rascher und reichlicher fallen lassen; denn in der Nähe der Alpen und innerhalb derselben nimmt die Regenmenge bedeutend zu, und gerade die große Massenhaftigkeit des Gebirges scheint ei-

nen nicht geringen Einfluss darauf zu haben. Schon Dampier ¹⁾ hat auf die Wichtigkeit eines solchen Zustandes aufmerksam gemacht, indem er zeigte, dass es in gebirgigen Baien mehr regnete als an einzelnen Vorgebirgen, da in den ersteren die Dämpfe sich niederschlagen, ehe sie über die rückwärts liegenden Bergketten gehen können. Aehnliche Einflüsse bleiben dabei nicht selten so local, dass die eine Seite eines Gebirges ganz andere Regenverhältnisse zeigt als die entgegengesetzte. So beträgt, bereits nach Hutton's ²⁾ Angaben, die Regenmenge auf der westlichen Seite Englands, welcher die überseeischen Winde zuerst begegnen, weit mehr als im mittleren und östlichen England (Verhältniß 35:25 p. Zoll). Auch zwischen der Süd- und Nordseite der Alpen läßt sich ein ähnliches Verhältniß nachweisen, indem bei dieser die größere Regenmenge auf die Südseite fällt.

Da die Alpen auf der Süd-Seite vom Meere durch die oberitalienische Ebene getrennt sind, so ergiebt sich aus dem Vergleiche ihrer ombrometrischen Stationen mit jenen Italiens ein Resultat, welches vielleicht eine kurze Erwähnung verdient. Es zeigt sich nämlich hier, dass es mit der Entfernung vom Meere mehr regnet, weil gerade in dieser Richtung die Mächtigkeit der Alpen so rasch zunimmt. Sie überbieten den Einfluss der Meeresnähe und machen so für diesen speciellen Fall den sonst so allgemein gültigen Satz unrichtig, dass die Regenmenge mit der Entfernung vom Meere abnimmt. Es würde mich zu weit führen, wollte ich alle Beobachtungsstationen der Alpen hier einzeln durchgehen. Es genügt zu dieser allgemeinen Betrachtung, die Mittelwerthe für die einzelnen Gruppen anzuführen ³⁾. Die Regenhöhe ist in par. Zollen und Linien ausgedrückt ⁴⁾.

1) *Traité des vents* p. 73. 77.

2) *Edinburgh Transactions* I.

3) Entlehnt aus Berghaus physicalischem Atlas. Meteorol. 10 und 12.

4) Auch Than, Reif und die Befeuchtung durch vorüberstreichende Nebel bilden einen Theil der wässrigen Niederschläge; allein da ihre Masse zu gering ist, die folgenden Werthe zu ändern, so darf ich sie hier wohl übergehen.

Tabelle I.

Ort der Beobachtung.	Jahr.	Procentische Vertheilung.			
		Winter.	Frühl.	Sommer.	Herbst.
Südabhang der Alpen	54" 3"	20	22	26	32
Nordseite der Alpen	33" 11"	19	20	35	26
Westabhang der Alpen	44" 3"	20	24	16	40
Mittel	40" 0"				
Südliches Deutschland.	25" 0"	18	21	37	24
Nord- u. Mitteldentschl.	19" 11"	20	23	37	20
Britische Inseln, Ebene	23" 0"	23	20	27	30
Brit. Inseln, Bergland	38" 10"	26	19	25	30

Diese Zusammenstellung zeigt, daß die Alpen zu den Regionen der reichsten Niederschläge in Europa gehören, die nirgend in ihrer Umgebung, nur in anderen gebirgigen Theilen Europa's Parallelen finden.

Der extremste Punkt, der noch in das Gebiet der Alpen fällt, ist Tolmezzo ¹⁾, wo nach 2jährigen Beobachtungen der Niederschlag 70" 0,5" Linien beträgt, eine Größe, die in Europa nur von Coimbra in Portugal ²⁾ 111" 6,5", und Bergen in Norwegen 83,20" übertroffen werden, Punkte welche ja ebenfalls dem Einflusse von mächtigen Gebirgen ausgesetzt sind. Auch der berühmte fürchterliche Platzregen zu Genf am 20. Mai 1827 fand am Gebiete der Alpen statt. Es fielen dabei in 3 Stunden 6" Wasser ³⁾.

Betrachten wir nun nach diesen absoluten Maximis die angeführten Zahlenwerthe in ihren gegenseitigen Beziehungen. Die Vertheilung in den drei unterschiedenen Gruppen der Alpen verdient vor allem unsere Aufmerksamkeit. In den westlichen Theilen ist noch ein Vorherrschen der Herbstregen bemerkbar, indem diese Partie der Alpen noch zu der allgemeinen Gruppe jener Herbstregen gehört, welche sich besonders im westlichen Frankreich und in England vertreten finden. Auch die Südabfälle der Alpen haben wenig Sommerregen, hier erscheinen sie besonders durch

1) 1783—84. Mannheimer Ephemeriden. Kämtz, I. 477.

2) Zweijährige Beobacht. 1816—17 in Balbi Essai sur Portugal, nach Kämtz Correction. Kämtz Lehrb. I. 465.

3) *Bibliothèque universelle*, XXXV, 53.

den aufsteigenden Luftstrom der Sahara beeinträchtigt. — Gemeinschaftlich allen drei Gruppen ist die große jährliche Menge. Da allen Niederschlägen eine Abkühlung feuchter Winde oder eine Mischung wenigstens kalter und warmer Luftmassen ¹⁾ zu Grunde liegt, so lässt sich, entsprechend den größeren Niederschlägen, auch eine stärkere Abkühlung von den Alpen ausgehend erwarten.

Es läge daher nicht fern, diese als ein großes Kältereservoir zu betrachten, in welchem die Dämpfe der darüber streichenden Winde gefällt würden. Es müsste dann für einen Punkt von gegebener Höhe innerhalb der Alpen kälter seyn, als über ebenen Landstrichen in freier Luft.

Der Schnee und die Gletscher, welche die hohen Gipfel der Alpen bedecken, könnten wohl vor allem eine ähnliche Ansicht hervorrufen. Wir werden durch diese winterlichen Phänomene für die Alpen stets an die niedrige Temperatur bedeutender Höhen erinnert, während wir in einer wärmeren Ebene leicht die Kälte vergessen, die in verticaler Richtung hier noch früher eintritt, als im Gebirge. Wir können darauf mit um so größerer Sicherheit schließen, wenn wir sehen, dass selbst für die einzelnen Theile des Gebirges die Temperatur so sehr von der Massenhaftigkeit abhängt. Sowohl directe Temperaturbeobachtungen als auch das Studium der Vegetationsgrenzen, jener natürlichen Thermometrographen, bieten uns die mannigfachsten Beweise dafür, dass in mächtigen Gebirgszügen Punkte gleicher Höhe wärmer sind als in niedrigeren Gruppen. Um wie viel mehr muss dieser Gegensatz bei Vergleichung mit Punkten in der freien Atmosphäre sich geltend machen, da schon isolirte Pics kälter sind als massige Plateaux und Hochthäler gleicher Erhebung.

Und dennoch wurden wir auf den Schluss geführt, oder vielmehr, dennoch ist es eine Thatsache, dass die Alpen durch Abkühlung regenbringender Winde eine Vermehrung atmosphärischer Niederschläge hervorrufen.

1) Siehe Hutton Transact. Edimb. Soc. I. 42.

Ein Widerspruch, der sich durch folgende Betrachtung löst.

Wenn eine Masse bewegter Atmosphäre eine ruhende trifft, so wird sie sich nur theilweise mit derselben mischen. Bei weitem der größte Theil der letzteren wird selbst von der Bewegung mit fortgerissen und vor der ersteren hergetrieben. Der Dämpfe beladene Südwestwind z. B. wird sich daher bis zu einem gewissen Grade seine eigene Temperatur durch Verdrängen anderer Luftmassen zu erhalten suchen, und erst bei größeren Temperaturverschiedenheiten, oder bei längerer Berührung erfolgt der Niederschlag ¹⁾. Ganz anders ist es aber, wenn ein fester Körper sich der Windesrichtung entgegenstellt, dessen Berührung unvermeidlich ist; ja selbst die Atmosphäre seiner Umgebung, im allseitigen Ausweichen beschränkt, wird sich mit neuankommenden weit weniger mischen müssen. Diese Wirkung wird dadurch verstärkt, daß es nicht ein einzelner Kamm ist, der sich den Winden mauerähulich entgegenstellt. Die Winde haben vielmehr eine Masse von Defilées zu durchlaufen, müssen dort mit anderer Luft sich mischen und ihr Wasser niederschlagen, ohne daß wir gezwungen wären, zu Temperaturdepressionen unsere Zuflucht zu nehmen, die nur in der Nähe der Gletscher und auch da nur in beschränkter Ausdehnung vorhanden sind.

Unter den localen und doch wichtigen Erscheinungen möchte ich besonders eine hervorheben: die oft plötzlichen Schneefälle des Frühlings beim Wehen des Föhn (warmen Südwestwindes). Sie beginnen am heftigsten an den Südabfällen der Alpen, ziehen sich, immer abnehmend, über das ganze Gebirge fort, und machen sich selbst am Nordrande noch bemerkbar.

Wir werden sie in achtjährigen Beobachtungen am Hallersalzberg noch deutlich wieder erkennen.

Wie groß ihr Einfluß ist, können wir aus folgender Erscheinung beurtheilen, welche wir im Möllthal an der

1) Ueber den Einfluß der Wirkung auf Niederschläge s. die schönen Untersuchungen von Hutton.

Südseite der Centralalpen erfuhren. Beschäftigt nemlich mit Untersuchungen über den Eintritt der verschiedenen Vegetationsepochen, waren wir sehr überrascht, die ersten landwirthschaftlichen Verrichtungen hier später ausgeübt zu sehen als in den nördlichen Thälern der Alpen. Auch die Aufzeichnungen der Vegetationserscheinungen, welche Herr Pfarrer Pacher zu Sagritz (3563') auf unsere Bitte nach Quetelet's Schema ¹⁾ aufstellt, haben dieß noch deutlicher in den Blüthenzeiten der ersten Frühlingspflanzen bestätigt. Die Ursache dieser ganz einzigen Erscheinung fanden wir nach weiteren Nachforschungen in den erwähnten heftigen Schneefällen des Frühlings, die sich bis auf die bewohnten Thäler herab erstrecken, und in den nördlichen Theilen der Alpen weit weniger intensiv sind. Diese Schneemassen müssen erst geschmolzen seyn, ehe die Vegetation beginnen kann; daher das anfängliche Zurückbleiben hinter den nördlichen Thälern, was aber nach wenigen Wochen sich wieder compensirt. Eine andere sehr auffallende Erscheinung war die, daß die gute Erndte der südlichen innern Alpenthäler von nassen, der nördlichen von trockenen Jahren, natürlich nicht im Sinne der Extreme, abhängig ist. Die ersten Nachrichten darüber, welche wir auf Fragen erhielten, waren uns so unerwartet, daß wir sie einem Mißverständnisse zuschrieben. Aber der Vergleich mit den schönen, sehr regelmäsig geführten Säe- und Erndte-Listen einiger größserer Landwirthe ²⁾ haben auch diese sonderbare Erscheinung bestätigt.

In den Eigenschaften der Ackererde und in der geognostischen Beschaffenheit der Unterlage konnte der Grund dafür nicht gesucht werden, denn diese waren für die verglichenen Thäler fast ganz dieselben; bei der im Allgemeinen so großen Regenmenge der südlichen Thäler liefs sich daher ein Zusammenhang gerade im entgegengesetzten Sinne vermuthen. Allein die Vertheilung des Regens innerhalb

1) *Instruction sur l'observation des phénomènes périodiques. Bruxelles 1840.*

2) Ich muß darunter besonders jene des Herrn Nigier zu Lienz und des Herrn Ortner zu Döllach mit besonderem Danke erwähnen.

der einzelnen Jahreszeiten ist die Ursache davon. Die größere Regenmenge südlicher Alpenexpositionen ist vorzüglich durch Frühlings- und späte Herbstregen bedingt, Epochen, die für die Vegetation der Cerealien ohne Bedeutung sind; während die Sommerregen in den südlichen Theilen der Alpen nur 27 Proc., in den westlichen sogar nur 16 Proc. betragen, machen sie in den nördlichen Alpen 35, in Deutschland sogar 37 der jährlichen Menge aus.

Gehen wir nun zu einer neuen Modification der Regenverhältnisse über, zu jenem Einflusse nämlich, den die verticale Erhebung innerhalb der Alpen auf die Regenmenge ausübt; ein Thema, dessen Behandlung um so schwieriger ist, da uns die Configuration der Alpen nur in sehr beschränktem Maasse erlaubt, länger fortgesetzte ombrometrische Beobachtungen in größeren Höhen einzuleiten.

Die Entdeckung Hamilton's ¹⁾ und Heberden's ²⁾, daß die im Regenschirm erhaltene Quantität von dem Stande des Instrumentes über dem Boden abhängt, gilt in diesem Sinne wohl nur für die geringen Höhendifferenzen zwischen den freien Erhebungen über dem Boden. In der Höhen-scale eines Gebirges lassen die Beobachtungen vielmehr zwei Gruppen erkennen. In der ersten bis zu 5000 Par. Fufs bemerken wir keine Abnahme der Regenmenge; im Gegentheil, es entstehen hier sogar sehr leicht stärkere Niederschläge, als über den angränzenden Ebenen, dadurch, daß die Mischung der Luftmassen in der Nähe fester Gegenstände inniger vor sich geht, und ihr Wassergehalt vollständiger abgeschieden wird. Es kann dadurch die Vergrößerung der Regentropfen beim Herabfallen auf tiefere aber vom Gebirge entferntere Punkte leicht ersetzt werden. Die geringe Höhe vieler Regenwolken, mit dieser Region sehr oft zusammenfallend, mag ebenfalls die reichen Niederschläge unterstützen. Ferner darf nicht übersehen werden, daß hier die Grenze der ausgebreiteten subalpi-

1) *Philos. Transact.* 1765. 163.

2) *Ebenda* 1769. 359.

nen Wälder liegt. Der bekannte Einfluss grösserer Waldungen auf die Regenmenge wird gewiss auch hier nicht zu gering anzuschlagen seyn.

Zwischen 5000 und 6000', und von da aufwärts, macht sich aber eine Abnahme der Regenmenge bemerkbar; wobei jedoch von vorzüglichem Einfluss der Umstand seyn mag, dass die ursprünglich vorhandene Atmosphäre wegen der niedrigeren Temperatur weniger Wasser enthielt, als die an tiefer gelegenen Punkten ¹⁾. Bei einem sehr allgemein vertheilten Regen hatten wir Gelegenheit, diese Verhältnisse an einer Höhenscale von mehr als 5000' durch correspondirende Beobachtungen zu prüfen. Dieselben wurden an graduirten Regenmessern theils von uns selbst, theils durch die Güte einiger Geistlichen an den betreffenden Orten ausgeführt. Das Mittel der Regenhöhe betrug nach mehreren Beobachtungen für einen Tag gegen 8 Par. Linien.

Die Verhältnisse für die einzelnen Orte waren folgende:

Lienz	= 1	(2311 Par. Fufs)
Heiligenblut	= 1,08	(4004')
Johannishütte	= 0,71	(7581').

Ich glaube, dass in diesem Falle für Heiligenblut und Lienz die Menge als gleich angesehen werden darf, während auf der Johannishütte eine Differenz allerdings sehr deutlich ist. Jedoch bleiben ähnliche vergleichende Versuche nur unter günstigen Umständen, das heisst bei sehr allgemeinem, nicht zu heftigem Regen möglich, da sonst die localen Störungen ungemein gross sind. So fanden wir in einem andern Falle im Thale der Pasterze und in jenem des Pfandelbaches das Verhältniss von 1 : 2,1, obgleich beide Beobachtungspunkte fast gleiche Höhe (über 7000') und eine horizontale Entfernung von kaum $\frac{1}{4}$ Meile hatten.

Die nach oben abnehmende Tiefe des Schnees, welche man in verschiedenen Höhen findet, glaube ich eben-

1) Als Ausnahme muss ich hier auf einige südlichere Alpenstationen, z. B. den St. Bernhard, aufmerksam machen, wo die Niederschläge bei gleicher Höhe allerdings viel bedeutender sind.

falls als Unterstützung dieser Ansicht anführen zu dürfen. Sind auch solche Gröfsen zu veränderlich, um auf ihren absoluten Werth besonderes Gewicht zu legen, so ist ihr gegenseitiges Verhältnifs doch sehr belehrend für die Abnahme des Niederschlages mit der Höhe. Ja, im Anfange der Alpenuntersuchungen hat man den Niederschlag in den höheren Theilen der Alpen häufig zu gering angeschlagen. Wässrige Niederschläge glaubte man in einer Höhe über 10000' ohnehin niemals erwarten zu dürfen.

Es war uns daher nicht ganz unwichtig, mehrere Male über dieser Höhe anhaltenden Regen zu beobachten ¹⁾. Die Tropfen waren klein und nicht sehr dicht. Ein sorgfältiges Ausleeren des aufgestellten Gefäßes in eine graduirte Glasröhre erlaubte als mittleres Maximum mehrer Beobachtungen einen Niederschlag von 2 Par. Linien in drei bis vier Stunden zu berechnen. Jedoch bleibt hier bei weitem der grösste Theil des atmosphärischen Niederschlages dem Schnee zuzuschreiben. Ist es auch nicht möglich, an diesen so schwer zugänglichen Punkten Ombrometer regelmäßig zu beobachten, oder selbst nur einzelne Beobachtungen öfter zu wiederholen, so bietet uns doch die Natur auch ohne directe Experimente oft sehr belehrende Erscheinungen über diese Verhältnisse.

Ein solches Phänomen ist vor allem die Wiederherstellung der Schneedecke auf Alpengipfeln, wenn diese durch zufälliges Zusammentreffen von heifsen Sommern mit Firnbrüchen oder heftigen Orcanen entfernt wurde. Als ein besonders ausgezeichnetes Beispiel darf ich vielleicht folgendes anführen. Im Jahre 1842 war der Gipfel des Similaun ²⁾ nach den übereinstimmenden Aussagen der Bewohner der nächsten Thäler ganz schneefrei geworden. Im Jahre 1847 fanden wir durch Sondiren mit einer Stange die Tiefe des Schnees am Gipfel 8'. War auch diese Masse,

1) Auch Zumstein führt einen solchen Fall an. Monte Rosa von Welden. S. 137 u. 156.

2) Im Oetzthale in Tyrol. Nach unserer barometrischen Bestimmung 11136 Par. Fufs.

ein Resultat zwischen sommerlichem Abschmelzen und den Schneefällen des Winters, nicht in einem einzigen Jahre als Rest geblieben, so ist sie doch bedeutend genug, zu zeigen, daß die atmosphärischen Niederschläge selbst für diese Höhen nicht verschwindend klein sind. Im Allgemeinen kann man daher sagen, daß die Masse des Niederschlages in horizontaler Richtung mit der Annäherung gegen mächtige Gebirge zunimmt; in verticaler Richtung tritt bis zu 5000' keine Abnahme ein; von da aufwärts wird die Menge schnell kleiner, verliert sich aber selbst für die höchsten Alpengipfel nie zu einem ganz zu vernachlässigenden Minimum.

Ich kann diese allgemeinen Betrachtungen kaum besser schliessen, als durch die Mittheilung einer achtjährigen Beobachtungsreihe über die Regenmengen am Salzbergwerke bei Hall in Tyrol, für deren Zusendung ich der großen Güte der k. k. Bergmeister Herren Lipold und Binna sehr verbunden bin. Ihre schönen Beobachtungen sind nicht weniger werthvoll durch die Sorgfalt und Genauigkeit der Aufzeichnungen, als durch die interessante Lage der Station. Die Beobachtungsjahre sind $18\frac{2}{3}$ bis $18\frac{4}{5}$ incl., und das Jahr $18\frac{6}{7}$.

Die Höhe des Haller Salzberges (Kanzlei; Höhe des Ombrometers und der meteorologischen Instrumente) fanden wir barometrisch = 4548 Par. Fufs. Andere Bestimmungen sind:

4568	Par. Fufs	von Leop. v. Buch ¹⁾ ,
4576	- - -	Binna ²⁾ ,
4663	- - -	Lipold ³⁾ .

Der Regenmesser ist mit aller Sorgfalt und Vorsicht auf einer Terrasse des Salinengebäudes, 20' über dem Boden,

1) Beobachtungen auf Reisen in Deutschland und Italien.

2) 4702 Wien. Fufs. Nach einer brieflichen Mittheilung vom 24. März 1849.

3) Nach einer schriftlichen Angabe vom 28. September 1848 = 4791 Wien. Fufs.

aufgestellt. Das Instrument hatte einen trichterförmig erweiterten Aufsatz von 4 Wiener Quadratfufs Oeffnung; der untere Theil, in welchem das Wasser sich sammelte, hatte nur 1 Wien. Quadratfufs. Die Höhen, die hier abgelesen wurden, mußten demnach mit 4 dividirt werden, um die wirkliche Regenhöhe zu erhalten. Schneemassen wurden vor dem Ablesen geschmolzen. Die ganze Periode umfaßt 922 Beobachtungen ¹⁾. Ich habe diese Originalangaben aus dem Wiener Maafs in Werthe verwandelt, welche die absolute Höhe des atmosphärischen Niederschlages in Pariser Zollen, Linien und Zehntellinien ausdrücken. Auf diese beziehen sich demnach die folgenden Zahlenangaben. Bei der Reduction wurde der Wiener Fufs = 140,13 Pariser Linien angenommen. Für die einzelnen Jahreszeiten habe ich nach Gasparin's Methode ²⁾ die Quotienten gegeben, welche man erhält, wenn man die jährliche Regenmenge = 100 setzt. Zum Winter sind die Monate December, Januar, Februar, zum Frühling: März, April, Mai u. s. w. gerechnet.

Die Tabelle No. III. enthält die Summe aller Tage, an welchen ein atmosphärischer Niederschlag erfolgte, in der ersten, der Schneetage besonders in der zweiten (kleineren) Spalte.

Tabelle No. IV. giebt die Mittelwerthe, welche sich aus den achtjährigen Beobachtungen ableiten liessen. In der letzten Spalte derselben ist die Höhe des Niederschlages angegeben, welche für jeden Tag, an dem es schneiete oder regnete, sich ergab.

Diese Tabelle enthält zur Vergleichung die ombrometrischen Verhältnisse für Tegernsee 2224 Par. Fufs. Ebenfalls Mittel aus achtjährigen Beobachtungen ³⁾.

1) Eine kleine Unterbrechung der Beobachtungen war vom 16. — 26. Januar 1843 eingetreten, da das Instrument nach den Angaben des Beobachtungsjournals einer Reparatur bedurfte. Die fehlenden Tage wurden für die allgemeinen Resultate durch Interpolation ergänzt.

2) *Biblioth. univ. Genève* 1838.

3) Aus den Mannheimer Ephemeriden bei Kämtz. I. 460.

In Tab. V. sind die Gruppen der extremsten Regenverhältnisse vereinigt.

Tabelle II.

Höhe des atmosphärischen Niederschlages am Haller Salzberge, 4548 Par. Fuhs.

In Pariser Maaß.

	1833.	1836.	1840.	1844.	1843.	1844.	1844.	1844.	1845.
November	1 7,9	1 10,6	3 5,7	1 5,5	1 11,3	2 7,6	2 9,6	0 0,0	" "
December	0 9,4	2 9,6	1 8,5	4 8,3	2 11,8	1 3,3	0 0,0	2 0,8	" "
Januar	7 10,9	4 2,9	4 5,8	0 7,5	6 10,6	11 3,1	1 5,5	1 9,1	" "
Februar	0 8,0	1 6,8	4 0,4	0 0,7	1 4,5	3 10,8	4 7,9	5 10,9	" "
März	0 9,8	2 8,9	2 3,5	13 2,3	1 6,9	5 3,0	2 0,5	1 1,1	" "
April	0 7,5	5 1,6	1 11,4	3 4,8	3 2,5	5 6,6	2 2,2	8 4,1	" "
Mai	3 6,1	5 9,3	1 2,5	4 11,6	5 7,9	2 7,8	6 1,8	2 11,7	" "
Juni	3 6,1	7 10,9	7 5,6	2 11,8	5 0,6	3 4,9	4 1,6	5 4,3	" "
Juli	2 1,5	8 6,9	7 5,9	5 1,9	6 11,3	5 0,7	6 1,1	4 5,2	" "
August	5 9,1	5 4,3	3 4,8	2 1,5	6 1,2	5 9,5	5 5,4	5 1,4	" "
September	3 6,1	6 0,0	4 5,8	2 10,4	1 0,5	4 8,3	3 9,5	3 10,1	" "
October	0 0,0	6 7,9	3 4,2	2 0,5	5 5,1	5 1,6	4 2,6	3 3,6	" "
Jahr	30 10,4	58 7,7	44 4,1	43 6,8	48 2,2	56 7,2	43 11,7	44 2,3	" "
Winter	9 4,3	8 7,3	10 2,7	5 4,5	11 2,9	16 5,2	7 1,4	9 8,8	" "
Frühling	4 11,4	13 7,8	4 5,4	21 6,7	10 5,3	13 5,4	10 4,5	12 4,9	" "
Sommer	11 4,7	21 10,1	18 4,3	10 3,2	18 1,1	14 3,1	15 8,1	14 10,9	" "
Herbst	5 2,0	14 6,5	11 3,7	6 4,4	8 4,9	12 5,5	10 9,7	6 13,7	" "
VV.	30	15	26	12	23	29	16	20	" "
F.	16	23	10	51	22	24	23	29	" "
S	36	37	46	25	38	25	36	34	" "
H.	17	25	28	14	17	22	24	16	" "
VV. : S. = 1 :	1,200	2,466	1,769	2,833	1,652	0,862	2,250	1,700	" "
S. : H. = 1 :	0,472	0,829	0,609	0,560	0,447	0,880	0,966	0,470.	" "

Tabelle III.

Zusammenstellung der Tage atmosphärischen Niederschlages im Allgemeinen, und der Schneetage insbesondere.

	18 ³⁸ ₃₉ .	18 ³⁹ ₄₀ .	18 ⁴⁰ ₄₁ .	18 ⁴¹ ₄₂ .	18 ⁴² ₄₃ .	18 ⁴³ ₄₄ .	18 ⁴⁴ ₄₅ .	18 ⁴⁵ ₄₆ .
November	9 2	4 3	7 5	5 5	12 10	7 7	8 6	0 0
December	5 5	8 5	4 3	10 10	6 5	8 8	0 0	7 6
Januar	15 15	10 9	13 13	6 6	15 14	14 14	7 7	5 5
Februar	5 4	3 3	3 3	7 1	6 6	10 10	14 14	10 10
März	4 4	8 8	2 2	11 11	9 8	10 10	7 7	3 2
April	4 4	2 0	10 9	8 7	10 8	6 3	10 8	17 17
Mai	10 4	12 3	4 3	13 4	17 4	8 2	18 15	9 1
Juni	10 0	13 0	14 4	13 0	15 1	9 0	13 0	19 4
Juli	5 0	16 1	16 0	12 0	17 0	14 0	12 0	12 1
August	12 0	20 0	12 0	9 0	13 0	17 0	15 0	14 0
September	7 6	12 1	7 0	7 2	6 3	10 0	12 2	15 4
October	0 0	11 9	9 1	7 5	12 8	13 6	10 5	7 4
Jahr	86 44	119 42	101 43	108 51	138 67	126 60	126 64	118 53
Winter	25 24	21 17	20 19	23 17	27 25	32 32	21 21	22 21
Frühling	18 12	22 11	16 14	32 22	36 20	24 15	33 30	29 20
Sommer	27 0	49 1	42 4	34 0	45 1	40 0	40 0	45 4
Herbst	16 8	27 13	23 6	19 12	30 21	30 13	30 13	22 8

Tabelle IV.

Mittlerer Zustand des Regenverhältnisse nach 8jährigen Beobachtungen.

Haller Salzberg.

Tegernsee.

	Höhe des Niederschlages in Par. Maals.		Tage des Niederschlages		Niederschlag für 1 Schneetage oder Regentag.	Höhe des Niederschlages in Par. Maals.		Tage des Niederschlages	Niederschlag für 1 Schneetage oder Regentag.
	Summe.	Schnee.	Summe.	Schnee.		Summe.	Schnee.		
Januar	4 9,9	10,6	10,4	0 5,5	2 2,7	12,7	0 2,1		
Februar	2 9,0	7,3	6,4	4,7	3 0,3	14,1	2,6		
März	3 7,5	6,8	6,5	6,3	2 5,1	14,0	2,1		
April	3 9,3	8,4	7,0	5,4	2 4,1	14,0	2,0		
Mai	4 0,6	11,4	4,5	4,4	3 4,2	14,6	2,8		
Juni	4 11,7	13,3	1,1	4,5	6 9,8	18,1	4,5		
Juli	5 8,8	13,0	0,1	5,4	6 8,0	17,3	4,6		
August	4 10,6	14,0	0,1	4,2	6 0,4	16,6	4,4		
September	3 9,3	9,5	2,3	4,7	3 5,4	11,9	3,5		
October	3 9,2	8,6	4,8	5,2	3 6,0	13,7	3,1		
November	1 11,7	6,5	4,8	3,6	1 11,6	12,1	1,9		
December	2 0,4	6,0	5,3	4,1	1 11,1	10,6	2,2		
Jahr *	46 1,3	115,3	53,0	4,8	43 9,6	169,7	3,0		
Winter	9 9,2	23,9	22,0	4,9	16,4	22,0	2,3		
Frühling	11 4,9	26,5	18,0	5,2	18,5	25,1	2,3		
Sommer	15 7,2	40,3	1,3	4,7	44,7	30,6	4,5		
Herbst	9 3,5	24,6	11,7	4,5	20,4	22,2	2,8		

* Procente: **VV.** 21. **F.** 24. **S.** 34. **H.** 20.

VV.:**S.** = 1:1,619.

S.:**H.** = 1:0,588.

Tabelle V.
Extreme der Regenverhältnisse.

Jahr.	Maxim. des Schnees.		Maxim. des Regens.		Größte Reihe regenloser Tage.	Zahl der Tage.
	Zeit.	Größe.	Zeit.	Größe.		
1833 ³ 1834 ⁰	22. Jan.	1 11,6	9. Aug.	1 1,1	30. Sept. bis 6. Nov.	36
1834 ⁰ 1835 ⁰	26. Jan.	0 10,5	23. Juni	1 5,1	26. März — 21. April	26
1835 ⁰ 1836 ⁰	6. Febr.	0 10,5	28. Juli	1 5,1		
1836 ⁰ 1837 ⁰	30. Jan.	0 10,5	2. Juni	1 9,0	31. Jan. — 25. Febr.	25
1837 ⁰ 1838 ⁰	29. März	2 2,2	23. Juli	0 7,9	15. Febr. — 10. März	23
	(am 27., 28. u. 29. M. zusammen	5 9,6)				
1838 ⁰ 1839 ⁰	8. Jan.	1 0,3	23. Juli	1 3,1	27. Nov. — 19. Dec.	22
1839 ⁰ 1840 ⁰	28. Jan.	1 8,3	13. Aug.	0 9,2	30. März — 13. April	14
1840 ⁰ 1841 ⁰	6. Febr.	1 2,3	31. Mai	2 4,9	30. Nov. — 22. Jan.	53
1841 ⁰ 1842 ⁰	8. April	2 4,7	27. Aug.	1 1,1	30. Oct. — 1. Dec.	31
	Mittel	1 5,6	Mittel	1 3,8		

Außer den unmittelbaren Zahlenangaben dürfte aus den vorhergehenden Tabellen vorzüglich Folgendes unsere Aufmerksamkeit verdienen. Die Differenzen des Maximums und des Minimums in der jährlichen Menge sind sehr bedeutend; sie beträgt im extremsten Falle 17" 9",5. An eine besondere Vertheilung auf die Jahreszeiten ist weder die größte noch die geringste Menge gebunden. Es scheint dieß den Alpenstationen gemeinsam zu seyn, da auch am St. Bernhard, in den süd-westlichen Alpen, das Maximum beinahe das Doppelte des Minimums in einzelnen Jahren beträgt¹⁾.

Die extremsten Jahresmengen sind nicht an die Regenmenge einer einzelnen Jahreszeit oder gar eines bestimmten Monats gebunden, indem bald Sommerregen bald Schneefälle des Winters die Jahresmenge zu einer extremen machen. Die mittlere Vertheilung auf die einzelnen Jahreszeiten zeigt, daß auch hier der Charakter des Nordabfalls der Alpen entschieden sich geltend macht; wie dieß aus der Betrachtung des Mittels Tab. IV. und der graphischen Darstellung am Schlusse besonders deutlich wird. Die Som-

¹⁾ *Bibliothèque univ. LX. 449. Pogg. Ann. Bd. 38, S. 628.*

merregen haben über die Herbstregen ein bedeutendes Ueberwicht, und auch die Winterregen übertreffen sie; Verhältnisse, die bei den größten Unregelmäßigkeiten für den erstern Fall nie, für den zweiten nur ein einziges Mal während der acht Beobachtungsjahre sich ändern. Ein eigenthümlicher Charakter mit der Höhe des Ortes zusammenhängend sind die bedeutenden Frühlingsniederschläge, meist ein heftiges Schneien bei Südwestwind, ein Phänomen, das um so überraschender ist, da für die Station ein Südwestwind bereits den größten und mächtigsten Theil der Alpen überschreiten mußte. Dessenungeachtet wurde im Jahre 18 $\frac{1}{2}$ der Frühlingsniederschlag doppelt so groß als jener des Herbstes.

Die Summe der Regentage ist nicht sehr groß; diese sind an manchen andern Orten, die weniger Niederschläge erhalten, zahlreicher, wir erhalten für den Haller Salzberg 115,3 Regen- (oder Schnee-) Tage.

Für Tegernsee	169,7
„ Peißenberg	163,4
„ München	149,4
„ Andechs	147,2

In Norddeutschland.

Für Hamburg	135,0
„ Berlin	159,6
„ Reg.	133,0

Es wird also hier die Größe des Niederschlages für einen Tag weit bedeutender. Das Zusammenwirken mehrerer Nebenumstände scheint dies besonders zu begünstigen. Sicher dürfen wir dabei die leichte Verdunstung während des Regens selbst in Folge des geringeren Luftdruckes nicht vergessen. Dieser beträgt am Haller Salzberg 650 Millimeter ¹⁾; verhält sich also zu 760 Millimetern = 0,855 : 1. Alexander von Humboldt ²⁾ hat zuerst darauf aufmerksam gemacht, daß während eines heftigen

1) Nach einjährigen Beobachtungen drei Mal am Tage.

2) Humboldt, *Voyages aux régions équinox.* VII. 427.

Regens, besonders bei Gewittern, das herabgefallene Wasser theilweise wieder verdampft, die Dämpfe sich etwas erheben und dann auf neue herabfallen. Die gröfsere Leichtigkeit der Verdunstung und der Umstand, dafs die Sommerregen auch hier noch relativ hohe Temperaturen haben (wir fanden selbst auf der Johannishütte 7581 Par. Fufs 8 bis 10° C.), machen ~~einen~~ Einflufs dieser Art auch für unsere Station sehr wahrscheinlich. Unsere Aufmerksamkeit verdient ferner die grofse Anzahl der Schneetage am Haller Salzberge. Kein einziger Monat ist während der acht Beobachtungsjahre davon frei geblieben. Im Mai sind sie noch mehr als ein Drittheil der Schnee- und Regentage zusammengenommen, und schon im October wird er mehr als die Hälfte. Ueberhaupt sind die Schneetage in den Alpen eine Erscheinung, deren Umfang sehr deutliche und nach den Höhen scharf getrennte Modificationen erfährt.

In Thälern von 2 bis 3000' ist ein vorübergehender Schneefall während der Sommermonate noch sehr selten. Am Haller Salzberge 4500' ist bereits in einer Periode von acht Jahren kein Monat schneefrei, und in diesen Höhen, an der Gränze des Getreidebaues, ist es eine ziemlich häufige Erscheinung, dasselbe vor der Erndte (September) mehrere Tage vom Schnee niedergedrückt zu sehen.

Bei 7000', an der Gränze der Hutweiden und der Alpenwirthschaft, beobachteten wir in jedem Monate Schneefälle, die selbst eine bedeutende Ausdehnung gewinnen konnten. Nur in besonders begünstigten Jahren scheint der Monat Juli frei zu seyn.

In den eigentlichen Hochregionen, von 9000' aufwärts, nehmen die Schneetage rasch zu, und gewinnen in jedem Monate die Oberhand über die Regentage, ohne sie ganz zu verdrängen. Selbst an heiteren Tagen bewirken vorübergehende Wolken und Nebel ein leises Niederschauern von feinkörnigem Schnee auf die höchsten Gipfel und Kämme, was wir bei vielen Expeditionen in die Hochregionen selbst zu beobachten Gelegenheit hatten. Es ist bemerkenswerth, wie scharf diese Modificationen des Nieder-

derschlag es zuweilen sich abgränzen. Es ist nicht selten, zu sehen, daß die untere Gränze eines solchen Schneefalles von einer horizontalen Linie gebildet ist, die nur wenige Unregelmäßigkeiten zeigt.

Noch haben wir für den Haller Salzberg die Mächtigkeit der Schneefälle zu betrachten, indem diese, wie aus der Zusammenstellung der Maxima hervorgeht (Tab. V.), die wässrigen Niederschläge nicht nur erreichen, sondern auch im Mittel überbieten. Hier hat demnach das Jahr zwei Maxima, wovon das eine in die Zeit der Gewitter, das andere in die Periode der letzten Frühlingschneefälle trifft.

Resultate.

Darf ich aus diesen Untersuchungen Einiges in Kürze wiederholen, so glaube ich Folgendes hervorheben zu müssen.

1. Die Alpen vermehren die atmosphärischen Niederschläge; aber nicht als condensirendes Kältereservoir, sondern durch mechanische Einwirkung ihrer hohen Kämme auf die Mischung der Luftmassen.

2. In den Nordabfällen der Alpen herrschen die Sommerregen, in den südlichen und besonders den westlichen die Herbstregen vor.

3. Die Regenmenge in Beziehung zur verticalen Höhe zeigt zwei Gruppen. In der ersten bis zu 5000' (Waldgränze) bleibt sich dieselbe gleich; in der zweiten, von 5000' aufwärts, tritt eine entschiedene Verminderung ein.

4. Die Häufigkeit der Schneefälle im Sommer nimmt mit der Höhe sehr rasch zu, schließt aber wässrige Niederschläge selbst für die Hochregionen nicht aus.

5. Schon zwischen 4 - bis 5000' und von da aufwärts zeigt der jährliche Niederschlag ein Frühlings- (Schnee-) Maximum, und ein zweites im Sommer (Gewitterregen).

II. *Das Bleisuperoxyd mit dem Ozon verglichen; von C. F. Schoenbein.*

Im nachstehenden Aufsätze sind einige Ergebnisse mitgetheilt, zu welchen mich vergleichende, mit Bleisuperoxyd und Ozon angestellte Versuche geführt haben. Schon früher ist von mir gezeigt worden, daß beide Substanzen den gleichen elektromotorischen Charakter haben, das Jodkalium unter Jodausscheidung zerlegen, das gelbe Blutlaugensalz in das rothe Cyansalz überführen, die Guajak tinktur bläuen und daß das Ozon mit Untersalpetersäure und schweflichter Säure in Salpetersäure und Schwefelsäurehydrat sich umsetzt, wie das Bleisuperoxyd mit den beiden erstgenannten Säuren zu Bleinitrat und Bleisulfat zusammentritt. Weitere zwischen Ozon und Bleisuperoxyd sich zeigende Aehnlichkeiten sind folgende:

1. Das Ozon zerstört bekanntlich die organischen Farbstoffe mit chlorähnlicher Energie. Das Bleisuperoxyd entbläut die Indigolösung augenblicklich, bleicht aber auch die in Wasser oder Weingeist gelösten Pflanzenpigmente. So z. B. verliert ein wässriger frischer Auszug des Campecheholzes, wenn auch nur kurze Zeit mit besagtem Superoxyd in der Kälte geschüttelt, seine Farbe eben so vollständig, als durch Chlor oder Ozon. Merklich langsamer erfolgt die Entfärbung der Lakmustinktur. Es ist mehrstündiges Schütteln erforderlich, um Wasser, durch die erwähnte Tinktur merklich stark blau gefärbt, ganz farblos zu erhalten, während jedoch das gleiche Wasser bei der Siedhitze schon in wenigen Minuten völlig entbläut erscheint. Leicht wird auch durch Bleisuperoxyd der durch Alkannawurzel geröthete Weingeist in der Kälte entfärbt.

Aus dem von den gebleichten Flüssigkeiten abfiltrirten und mit Wasser wohl ausgewaschenen Rückstande nimmt verdünnte, von aller Untersalpetersäure gänzlich freie Salpetersäure merkliche Mengen Bleioxydes auf, welche That-

sache zeigt, daß die erwähnten Entfärbungen durch einen Theil des im Bleisuperoxyd enthaltenen Sauerstoffes bewerkstelligt werden.

2. Das Ozon, ähnlich dem gewöhnlichen Wasserstoffsuperoxyd oder dem Manganwasserstoffsuperoxyd (Uebermangansäure) wird durch Kohle selbst in der Kälte rasch zerstört. Aus einem Gemenge von vollkommen reinem Bleisuperoxyd und fein gepulverter Holzkohle oder Coaks nimmt reine, sehr stark, z. B. zehnfach mit Wasser verdünnte, Salpetersäure beim Schütteln in der Kälte rasch Bleioxyd auf, und bei Anwesenheit einer gehörigen Menge von Kohle und Säure gelangt man durch längeres Schütteln dahin, alles vorhandene Superoxyd in Bleinitrat zu verwandeln.

3. Das Ozon oxydirt schon in der Kälte die meisten Metalle, und in ähnlicher Weise wirkt auch das Bleisuperoxyd auf diese Körper ein. Wird letzteres mit verhältnißmäßig viel Zinnfeile und Wasser etwa 24 Stunden lang anhaltend geschüttelt, so verwandelt sich ein Theil des Metalles in Zinnsäure und alles Bleisuperoxyd in Bleioxyd, beide Substanzen zu dem sogenannten zinnsauren Bleioxyd sich vereinigend.

Fein zertheiltes, auf Volta'schem Wege bereitetes Blei, in überwiegender Menge mit Bleisuperoxyd und Wasser längere Zeit zusammengeschüttelt, führt unter eigener Oxydation das Superoxyd auf das Oxyd zurück, indem das in gedoppelter Weise entstandene Bleioxyd mit Wasser zu einem Hydrat sich vereinigt, welches, in Wasser verbreitet, Seidenglanz zeigt, und somit krystallinisch ist. Auch das fein zertheilte metallische Arsen entzieht, bei Anwesenheit von Wasser, dem Bleisuperoxyd die Hälfte seines Sauerstoffes, hierdurch in Arsensäure sich verwandelnd, welche mit dem gleichzeitig entstandenen Bleioxyd ein basisches Arseniat bildet. Es findet jedoch diese Reaction noch viel langsamer als die vorhin beschriebene statt; denn es ist tagelanges ununterbrochenes Schütteln erforderlich, um bei

einem solchen Versuch alles vorhandene Bleisuperoxyd in Oxyd zu verwandeln.

Gelegentlich will ich bemerken, daß die frisch bereitete Guajaktinktur das bequemste Mittel ist, sich von der gänzlichen Zersetzung des bei den erwähnten Versuchen angewendeten Superoxydes zu überzeugen. Zu diesem Behufe übergießt man einen kleinen Theil des zu untersuchenden Gemenges mit besagter Tinktur: nimmt diese eine blaue Färbung an, so findet sich noch Superoxyd vor, wenn nicht, so ist letzteres gänzlich verschwunden.

Außer dem Zinn, Blei und Arsen habe ich noch keine anderen Metalle geprüft; ich zweifle aber nicht, daß auch Zink, Kadmium u. s. w. durch Bleisuperoxyd, bei gewöhnlicher Temperatur und Anwesenheit von Wasser, sich oxydiren lassen.

Fügt man bei derartigen Versuchen dem Wasser eine Substanz bei, welche entweder das Bleioxyd oder das Oxyd des mit dem Superoxyd behandelten metallischen Körpers, oder beide Oxyde zu lösen vermag, so wird hierdurch die Oxydation des Metalls wesentlich beschleunigt. Ein Gemeng von Bleisuperoxyd und fein zertheiltem Kupfer giebt schon in der Kälte Bleioxyd an Kalilösung und Kupferoxyd an wässriges Ammoniak ab, welche Reactionen durch die Wärme bedeutend gefördert werden.

Zink, Kadmium, Eisen, Kupfer, Silber u. s. w. und Bleisuperoxyd mit noch so verdünnter reiner Salpetersäure geschüttelt, liefern schon in der Kälte rasch die Nitate dieser Metalle nebst Bleisalpeter.

4. Das Ozon wird schnell durch die in Wasser gelöste arsenige Säure zerstört, unter Umwandlung der letztern Verbindung in Arsensäure. In gleicher Weise verhält sich auch das Bleisuperoxyd. Beim Schütteln einer wässrigen Lösung der arsenigen Säure mit dem Superoxyd entfärbt sich dieses schon in der Kälte ziemlich rasch, und entsteht ein graulich weißes, aus mikroskopisch kleinen Prismen bestehendes, in Wasser unlösliches, in verdünnter Salzsäure oder Salpetersäure sich lösendes Bleiarseniat, wel-

ches wahrscheinlich halbarsensaures Bleioxyd ist, gebildet gemäß der Gleichung $2\text{PbO}^? + \text{AsO}^3 = 2\text{PbO} + \text{AsO}^5$. Das im Wasserbad getrocknete Salz verliert bei stärkerer Erhitzung gegen 4 Proc. Wasser, wodurch es weißer wird, ohne seine krystallinische Beschaffenheit einzubüßen.

5. Ozon erzeugt mit Mangansuperoxydhydrat und verdünnter Salpetersäure, Schwefelsäure u. s. w. die sogenannte Uebermangansäure. Ein Gemeng der Superoxyde des Bleies und Mangans mit verdünnter Salpetersäure bis zum Sieden erhitzt liefert eine prachtvoll roth gefärbte Flüssigkeit, welche aufser der Uebermangansäure noch Bleinitrat enthält. Bei Anwendung verdünnter Schwefelsäure wird Uebermangansäure und Bleisulfat erhalten.

Für mich ist die wässrige Uebermangansäure $= 2\text{MnO}^2 + 3\text{HO}^2$, das Salpetersäurehydrat $= \text{NO}^4 + \text{HO}^2$, das Schwefelsäurehydrat $= \text{SO}^2 + \text{HO}^2$, das Bleinitrat $= \text{NO}^4 + \text{PbO}^2$, das Bleisulfat $= \text{SO}^2 + \text{PbO}^2$; ich nehme daher an, daß bei den letzt erwähnten Reactionen $2\text{MnO}^2 + 3\text{PbO}^2$ mit $3(\text{NO}^4 + \text{HO}^2)$ oder $3(\text{SO}^2 + \text{HO}^2)$ sich in $2\text{MnO}^2 + 3\text{HO}^2$ und in $3(\text{NO}^4 + \text{PbO}^2)$ oder $3(\text{SO}^2 + \text{PbO}^2)$ umsetzen, und somit weder eine Desoxydation des Bleisuperoxydes noch eine Oxydation des Mangansuperoxydes statt finde. Die herrschende Theorie muß natürlich das Mangansuperoxyd Sauerstoff aus dem Bleisuperoxyd aufnehmen und das hierdurch entstandene Bleioxyd mit Salpetersäure sich verbinden lassen.

6. Eine schöne Analogie zwischen Ozon und Bleisuperoxyd zeigt sich in der Wirkung beider Substanzen auf die Manganoxydulsalze. Bekanntlich kommt nach meinen Erfahrungen beim Zusammentreffen des Ozons sowohl mit dem festen salzsauren, salpetersauren und schwefelsauren Manganoxydul als mit den wässrigen Lösungen dieser Salze Mangansuperoxyd zum Vorschein, indem die Säuren derselben frei werden.

Hat man Bleisuperoxyd mit einer kalten Lösung des Manganmuriates oder Nitrates auch nur wenige Augenblicke zusammengeschüttelt, so wird schon eine Verdunkelung der

Farbe des Superoxydes bemerklich seyn, und in der abfiltrirten Flüssigkeit ziemlich viel salzsaures oder salpetersaures Bleioxyd angetroffen werden. Wendet man hierbei das Superoxyd im Verhältniß zum Mangansalz in überwiegender Menge an, so findet sich nach kurzem Schütteln von letzterem auch nicht die geringste Spur mehr in der Flüssigkeit vor, sondern nur Chlorblei oder Bleinitrat. Versteht sich, daß bei der Siedhitze diese Reaction rascher als bei gewöhnlicher Temperatur statt findet.

Versetzt man Bleisuperoxyd mit so viel Manganitrat- oder Manganchlorürlösung, daß selbst nach mehrstündigem Kochen beider Substanzen miteinander in der Lösung neben dem gebildeten Bleinitrat oder Chlorblei immer noch unzersetztes Manganoxydulsalz sich vorfindet, so wird ein schwarzbraunes Pulver erhalten, welches nach sorgfältigem Auswaschen mit kochendem Wasser in verdünnter und erhitzter Salzsäure gelöst unter reichlicher Chlorentbindung Chlormangan und Chlorblei liefert. Dieser braunschwarzen Materie kann durch wiederholtes Erhitzen mit Manganitrat- oder Manganchlorürlösung noch weiteres Bleisuperoxyd entzogen werden; bei öfterem Wiederholen einer solchen Behandlung gelangt man jedoch dahin, daß erwähnte Salzlösung, wenn auch noch so lange in der Siedhitze mit besagtem Pulver digerirt, aus letzterem keine Spur von Blei mehr aufnimmt. Die so beschaffene Substanz ausgewaschen und getrocknet erscheint vollkommen schwarz, löst sich in verdünnter und erwärmter Salzsäure leicht auf, unter reichlicher Chlorentwicklung und Bildung von Chlormangan und Chlorblei, und verhält sich somit als eine chemische Verbindung der Superoxyde des Mangans und des Bleies. Nach welchem Verhältniß die beiden Superoxyde in unserm schwarzen Pulver chemisch verbunden sind, habe ich noch nicht ermittelt; vielleicht ist die Verbindung = $\text{MnO}^2 + \text{PbO}^2$ oder das, was die heutige Theorie als mangansaures Bleioxyd ansehen und mit der Formel $\text{PbO} + \text{MnO}^3$ bezeichnen würde. Mir scheinen einige Gründe für die Vermuthung vorhanden zu seyn, daß es mehrere

Verbindungen der genannten Superoxyde gebe, namentlich auch die von $2 \text{MnO}^2 + 3 \text{PbO}^2$, welche dem $2 \text{MnO}^2 + 3 \text{MO}^2$ (Uebermangansäure) entsprechen würde.

Wie dem aber auch seyn mag, sicher ist, dafs das Bleisuperoxyd, wie das Ozon, mit Manganoxydulsalzlösungen zusammengebracht, schon in der Kälte Mangansuperoxyd zum Vorschein bringt, und somit in dieser Beziehung eine vollkommene Analogie zwischen Ozon und Bleisuperoxyd besteht. Dafs bei dem beschriebenen Versuche nicht, wie diefs beim Ozon der Fall ist, blofses Mangansuperoxyd, sondern eine Verbindung desselben mit Bleisuperoxyd erhalten wird, thut der geltend gemachten Analogie keinen Eintrag. Diese Abweichung erklärt sich einfach aus der Verwandtschaft beider Superoxyde zu einander, welche Substanzen unter den obwaltenden Umständen eine günstige Gelegenheit zur chemischen Vereinigung finden, in dem Augenblicke nämlich, wo das nascirende Mangansuperoxyd mit vorhandenem freiem Bleisuperoxyd in Berührung kommt. Das letztere, einmal mit Mangansuperoxyd chemisch vergesellschaftet, besitzt nicht mehr, wie das freie Bleisuperoxyd, das Vermögen, auf Manganoxydulsalzlösungen zersetzend einzuwirken, weshalb auch diese das gebundene Bleisuperoxyd nicht mehr aus unserem Doppelsuperoxyd zu entfernen vermögen.

Kaum werde ich zu sagen brauchen, dafs Bleisuperoxyd, mit Mangansulfatlösung behandelt, Bleisulfat und Manganbleisuperoxyd liefert.

Mangannitrat für $\text{NO}^1 + \text{MnO}^2$, Mangansulfat für $\text{SO}^2 + \text{MnO}^2$ haltend, nehme ich an, dafs in den vorhin beschriebenen Reactionen PbO^2 ganz einfach an die Stelle von MnO^2 tritt, und also auch hierbei weder eine Desoxydation des Bleisuperoxyds, noch eine Oxydation des Manganoxyduls zu Superoxyd, sondern eine Umsetzung der nähern Bestandtheile der mit einander in Reaction gesetzten Verbindungen stattfindet. Das Manganchlorür, welches ich gemäß der ältern Theorie als muriumsaures Manganoxydul betrachte, lasse ich allerdings durch Bleisuper-

oxyd so zersetzt werden, daß die Säure des Salzes mit Bleioxyd und das zweite Sauerstoff-Atom des Bleisuperoxydes mit Manganoxydul zusammentritt.

7. Ozon mit den Lösungen der Eisen- oder Zinnoxidulsalze geschüttelt, wird augenblicklich zerstört unter Umwandlung der Oxydule in Oxyde. Ebenso das Bleisuperoxyd. Lösungen des salzsauren, salpetersauren und schwefelsauren Eisenoxyduls zerstören schon in der Kälte das Bleisuperoxyd sehr rasch unter Bildung von Blei- und basischen Eisenoxydsalzen. Aehnliche Reactionen bringen die gelösten Zinnoxidulsalze mit dem besagten Superoxyd hervor.

8. Der weiße, durch Vermischen luftfreier Lösungen des Kaliumeisencyanüres und schwefelsauren Eisenoxyduls erhaltene, Niederschlag zerstört das Ozon augenblicklich, indem er sich bläut. Bleisuperoxyd wird durch den gleichen Niederschlag sofort zu Oxyd reducirt, ebenfalls unter Bläuung besagter Cyanverbindung.

Aus voranstehenden Angaben erhellt, daß Ozon und Bleisuperoxyd in ihrer Volta'schen und chemischen Wirkungsweise sich so ähnlich sind, als dieß nur immer zwei verschiedene Substanzen seyn können, und sicherlich würde diese Aehnlichkeit noch schlagender ausfallen, wenn anstatt fest, das Bleisuperoxyd flüssig oder gasförmig wäre: es würde dann eben so rasch wie das Ozon die Farbstoffe zerstören, Metalle oxydiren u. s. w. In beiden Substanzen ist es in der That auch die gleiche Ursache, welche die besagten Volta'schen und chemischen Wirkungen hervorbringt, nämlich der im Bleisuperoxyd und Ozon enthaltene oxylisirte oder chemisch erregte Sauerstoff.

Indem aber das Ozon durch Volta'sches und chemisches Verhalten so eng an das Chlor, Brom und Jod sich anschließt, wird auch das Bleisuperoxyd diesen für einfach und somit als sauerstofflos geltenden Körpern nahe gerückt. Und wirklich sind die Umstände, unter welchen das Bleisuperoxyd Volta'sch und chemisch thätig wird, sehr

ähnlich denen, unter welchen das Chlor u. s. w. die gleichen Wirkungen hervorbringt.

Wie oben angegeben, ist die Anwesenheit von Wasser erforderlich, damit das Bleisuperoxyd bei gewöhnlicher Temperatur die mit ihm in Berührung gesetzten Substanzen: Farbstoffe, Metalle u. s. w. bleiche oder oxydire. Das anwesende Wasser begünstigt diese Oxydationen oder erhöht das oxydirende Vermögen des Bleisuperoxyds offenbar durch sein Bestreben mit PbO zu einem Hydrate sich zu verbinden und das zweite Sauerstoffatom des Superoxydes abzutrennen. Kommt diese Substanz z. B. mit Blei und Wasser in Berührung, so tritt letzteres mit PbO zu Bleioxydhydrat zusammen und vereinigt sich das zweite Sauerstoffatom des Bleisuperoxydes mit einem Atom metallischen Bleies zu Bleioxyd, welches im Augenblick seiner Bildung ebenfalls mit Wasser zu Hydrat sich verbindet.

Wird die wässrige Lösung eines organischen Farbstoffes statt eines oxydirbaren Metalles mit Bleisuperoxyd in Berührung gebracht, so entsteht ebenfalls Bleioxydhydrat, während die Hälfte des im Superoxyd enthaltenen Sauerstoffes auf die oxydirbaren Bestandtheile des Pigmentes sich wirft und hiedurch dieses zerstört. Wäre das Bleisuperoxyd bis jetzt noch nicht zerlegt und wie das Chlor für einen einfachen Körper gehalten worden, so würde man im Einklange mit der heutigen Chlortheorie die unter dem Einflusse des Wassers von dem Superoxyd hervorgebrachten Oxydationswirkungen dem Sauerstoff dieses Wassers zuschreiben und annehmen, daß dessen Wasserstoff mit dem vermeintlichen Element sich vereinige und diejenige Verbindung bilde, von der wir mit Bestimmtheit wissen, daß sie Bleioxydhydrat ist. Aber eben die genaue Kenntniss, welche wir von der chemischen Natur besagter Verbindung uns erworben haben, macht es auch für uns gewiß, daß der Sauerstoff des Wassers nichts mit der erwähnten Oxydation zu thun hat und dieselbe einzig und allein durch den Sauerstoff des Superoxydes unter dem

Einfluss der prädisponirenden Verwandtschaft des Wassers zum Bleioxyd bewerkstelligt wird.

Jeder Chemiker weiß, daß alle vom Chlor hervorgebrachten Oxydationswirkungen eben so genügend durch die Berthollet'sche als die Davy'sche Hypothese erklärt werden können; es ist Thatsache, daß Chlor, Ozon und Bleisuperoxyd Reihen Volta'scher und chemischer Wirkungen veranlassen, die sich einander vollkommen gleichen; auch ist wohl bekannt, daß Wasser, Kali, Natron u. s. w. die innigsten Sauerstoffverbindungen der ganzen Chemie sind, welche aber die herrschende Theorie jeden Augenblick zersetzt werden lassen muß, um die oxydirenden Wirkungen des Chlors, als auf eine sekundäre Weise hervorgebracht, erklären zu können; endlich kann es nichts Unähnlicheres geben als die Reihen der Verbindungen, welche das Chlor und der Sauerstoff mit den gleichen Metallen bilden, während dagegen eine schlagende Aehnlichkeit besteht zwischen den sogenannten Chlormetallen und den ihnen entsprechenden Sauerstoffsalzen. Wie verschieden z. B. das Eisenoxydul vom Eisenchlorür, wie ähnlich das letztere dem schwefelsauren Eisenoxydul! Man hat freilich versucht, die durch die Chlorthorie gewaltsam auseinander gerissenen Haloid- und Sauerstoffsalze dadurch wieder zu verknüpfen, daß man ein Heer von Verbindungen ersann, welche Chlor, Brom und Jod ähnlich, d. h. Salzbildner seyn sollten, wie z. B. das Oxysulphion, Oxynitron u. s. w.; noch ist es aber bis jetzt Niemandem gelungen, auch nur einen einzigen dieser ersonnenen Körper darzustellen, was seinen Grund wohl einfach darin haben dürfte, daß dieselben, ähnlich den sogenannten organischen Radicalen: Aethyl, Acetyl u. s. w., nur in den Köpfen der Chemiker nicht aber in der Wirklichkeit bestehen.

Da die heutige Chlorthorie, wie ihre unmittelbare Vorgängerin, nur auf Analogien sich stützt, so fragt es sich, auf welcher Seite die gröfsere Summe und das gröfsere Gewicht derselben liege. Ich trage keinen Augenblick Bedenken, sie auf Seite der ältern Hypothese zu stellen und

ziehe diese deshalb auch der Davy'schen vor. Nach meinem Dafürhalten hat man viel zu früh die Berthollet'sche Theorie verlassen und den Meinungen des englischen Chemikers ausschliesslich gehuldigt, welche Voreiligkeit schon aus dem einfachen Grunde zu beklagen ist, weil das längere Nebeneinanderbestehen von Rivaltheorien auf wissenschaftliche Forschungen in der Regel einen sehr wohlthätigen Einfluss ausübt. Solche Rivaltheorien veranlassen die vielseitigsten Untersuchungen eines und eben desselben Gegenstandes und führen zu den verschiedenartigsten Experimentationsweisen, dadurch aber nicht selten zur Ermittlung neuer und wichtiger Thatsachen, während bei der ausschliesslichen Herrschaft Einer Theorie Gedanken und Versuche immer in dem von ihr vorgeschriebenen Zauberkreis sich bewegen. Bei diesem Anlasse will ich nur an die schönen Ergebnisse erinnern, welche wir dem so lange geführten und immer noch nicht gänzlich beendigten Streite über die Natur des Lichtes und den Ursprung der Volta'schen Elektrizität verdanken. Der Chemie, ich bin dessen überzeugt, hätte es grossen Nutzen gebracht, wäre Berthollet's Theorie länger als geschehen gegen die Davy'sche vertheidigt worden; die Wissenschaft würde hierdurch sicherlich um viele Thatsachen reicher geworden und wahrscheinlich auch um manche nutzlose Hypothese ärmer geblieben seyn.

Es lag aber etwas Verführerisches in einer Lehre, welche auf einmal alles ganz anders, als bis dahin geschehen, zu erklären vermochte und Thatsachen, welche als die unmittelbarsten Beweise für die Sauerstoffhaltigkeit des Chlores so lange Zeit gegolten hatten, gerade zu Gunsten der Einfachheit dieses Körpers geltend zu machen; es mußte der veränderungsliebenden Einbildungskraft eine Theorie zusage, welche die der Zersetzung am stärksten widerstrebenden Verbindungen, wie das Wasser, Kali und dergleichen auf das Geschwindeste und mit der grössten Leichtigkeit zersetzt und deren Sauerstoff entweder frei werden oder

auf Substanzen sich werfen liefs, viel weniger oxydirbar als Kalium, Wasserstoff u. s. w.

Zwar fühlte die chemische Welt anfänglich geringe Lust, mit den Ideen Davy's sich zu befreunden; aber der Reiz der Neuheit und der grofse Ruf des britischen Naturforschers überwand diese Abneigung. Vorerst wollte man gleichsam nur versuchsweise in den neuen Vorstellungskreis eintreten, freute sich dann aber bald, dafs alles so vortrefflich und wider Erwarten nach der modernen Lehre erklärt werden konnte; man drückte die Augen gegen die Vorzüge der Berthollet'schen Ansicht zu, und liefs sich über den starken Widerspruch, in welchen die mehr geistreiche als wahrscheinliche Hypothese des Kaliumentdeckers mit den augenfälligsten Analogien gerieth, durch die willkührlichsten Annahmen über die chemische Natur der Säuren und Salze oder durch die Einführung neuer Worte für alte Dinge (Salzbildner, Halogenia u. s. w.) leicht beschwichtigen.

Der gröfste Chemiker des Jahrhunderts, das ganze Gewicht der Analogien fühlend, welche durch die Davy'schen Lehren so stark verletzt wurden, widerstand diesen längere Zeit und verwendete alle die reichen Hülfsmittel seines Genies, um die alte bedrohte Theorie aufrecht zu erhalten; aber auch er wurde endlich des Kampfes müde und gab merkwürdiger Weise die von ihm so lang und so hartnäckig vertheidigte Behauptung der Zusammengesetztheit des Chlors auf, weil ein wirklich zusammengesetzter Körper entdeckt wurde, der einige Aehnlichkeit mit der oxydirten Salzsäure hat. Und so ist es gekommen, dafs heutigen Tages die Sauerstofflosigkeit des Chlors für eine so sicher ermittelte Wahrheit gilt, dafs der Chemiker, welcher noch ein Wort zu Gunsten der älteren Ansicht im Ernst zu sagen wagte, sicherlich eben so mitleidig belächelt würde als derjenige, dem es einfiele, noch eine Lauze für das Phlogiston einlegen zu wollen.

Dieses Mitleidslächeln wird auch mir zu Theil werden, was mich aber wenig kümmert und keinen Falls davon ab-

halten wird, auch fernerhin der Berthollet'schen Theorie das Wort zu reden und unter ihrer Anleitung experimentelle Vergleichen anzustellen zwischen den Volta'schen und chemischen Verhalten der sogenannten Superoxyde und einfachen Salzbildner; denn eine vieljährige Erfahrung hat mich überzeugt, daß für physikalische und chemische Forschungen dieser Boden höchst fruchtbar, obwohl viel weniger bearbeitet ist, als er es zu seyn verdiente.

Basel im Brachmonat 1849.

III. *Das Quecksilber-Voltagometer;* *von M. H. Jacobi.*

(Fünfte Reihe, zweite Abtheil. der galvanisch. und elektromagnet. Versuche des Hrn. Verf. Aus dem *Bullet. de la classe phys. math.* der Petersb. Acad. T. VIII.)

§. I.

Seitdem die bekannte Ohm'sche Formel von den bedeutendern Physikern überall angenommen worden, gehört das Messen der Leitungswiderstände zu einer der wichtigsten Operationen in der Galvanometrie, eine Operation die von nicht minderem Einflusse auf die Genauigkeit der zu erzielenden Resultate ist, als die Schärfe und Gesetzmäßigkeit der zum Messen der Stromstärken angewandten Methoden. Man weiß, daß in letzterer Beziehung das wünschenswertheste und viel mehr erreicht ist, als der Standpunkt unseres Wissens von den galvanischen Erscheinungen, oder ihre Flüchtigkeit und Unbestimmtheit zu beanspruchen hätte. Thatsache ist es, daß die Uebereinstimmung zwischen den Beobachtungen und ihren nach dem Grundgesetze angestellten Berechnungen, mit der vermehrten Genauigkeit der Beobachtung und der Verminderung

der bekannten Fehlerquellen, nicht gleichen Schritt gehalten hat. Die Unterschiede die man findet, liegen gewöhnlich weit außerhalb der Gränze der Beobachtungsfehler. Indessen bleibt es immer unumgänglich die Genauigkeit der Beobachtung bis aufs Aeufserste zu treiben, denn wir erhalten hierdurch das alleinige Mittel, die Beobachtungsfehler von den sogenannten zufälligen Umständen zu trennen, und zu der scharf begränzten Aufgabe zu gelangen, eine Gesetzmäßigkeit in der scheinbaren Zufälligkeit aufzusuchen. Ein anderer Vortheil der vermehrten Schärfe der Beobachtung ist der, das künftig nur solche Gesetze vor der Kritik zu bestehen haben werden, bei denen die Beobachtungen nicht über alles Maafs hinaus von der Hypothese abweichen. Ob selbst in der letzten Zeit dieser Bedingung überall Rechnung getragen worden ist, soll hier nicht weiter untersucht werden.

§. 2.

Als einen Beitrag zur Galvanometrie wünsche in den gegenwärtigen Aufsatz über das *Quecksilber-Voltameter* aufgenommen zu sehen. Ich habe dieses Instrument zwar schon seit mehreren Jahren im Gebrauche, wollte aber die Beschreibung desselben nicht früher publiciren, als bis ich mich vollkommen versichert hätte, das dieses Instrument im Laufe der Zeit keine Veränderungen erleidet.

§. 3.

Die Veranlassung zur Construction dieses neuen Instruments war die, das die bisher angewandten Methoden zur Messung der Leitungswiderstände, mir keine solche Genauigkeit zu gewähren schienen, als die Schärfe, mit welcher gegenwärtig Stromesmessungen ausgeführt zu werden pflegen, sie fordert. Ich habe bereits in der *vierten Reihe der galvanischen und elektromagnetischen Versuche* Art. 75 auf mehrere Fehlerquellen aufmerksam gemacht, womit das im 10. Bande des *Bulletin scientifique* p. 285 ¹⁾ beschriebene Voltameter und die damit aufgestellten Messungen, behaf-

1) *Ann. Bd. 54, S. 340 und Bd. 59, S. 145.*

tet sind. Die wichtigste Fehlerquelle ist indessen, wie ich mich später überzeugt habe, die Unvollkommenheit der Berührung zwischen der Rolle und dem schraubenförmig aufgewundenen Drahte, wodurch eine Unsicherheit herbeigeführt wird, die sich um so fühlbarer macht, je geringer der Widerstand der ganzen Kette ist. Der Einfluss dieses zwischen gewissen Grenzen sich haltenden constanten Fehlers, verschwindet natürlich bei der Messung größerer Widerstände mehr und mehr, bei denen es denn auch gelingt, mittelst dieses Voltameters eine Genauigkeit von etwa 0,002 zu erreichen. Will man elektromotorische Kräfte, nach der von mir selbst früher angewandten Wheatstone'schen Methode durch das Voltameter und eine Bussole messen, für welche das Gesetz der Intensitäten nicht bekannt ist, so ist besondere Vorsicht und Berücksichtigung des erwähnten Umstandes nöthig, weil bei diesen Messungen nur die Differenzen der Widerstände in Rechnung gebracht werden. Man geräth hierbei nicht selten in Widerspruch mit der anderweitigen Forderung, nur mit möglichst geschwächten Strömen zu operiren, um die elektromotorische Kraft einer Hydrokette in ihrer ursprünglichsten, vom elektrochemischen Prozesse unabhängigen Stärke zu erkennen.

§. 4.

Obgleich der vielfach beschriebene Wheatstone'sche Rheostat (Pogg. Ann. Bd. 62, S. 509) keine Contactrolle hat, wie unser Voltameter, so ist er dennoch dem Nachtheile einer vollkommenen Berührung zwischen dem Drahte und dem Metallcylinder unterworfen, ein Nachtheil, der um so größer ist, je weniger man es wagen darf, den beide Parallelcylinder schraubenförmig umgebenden Draht, straff anzuspannen. Außerdem bietet die Construction dieses Instruments manche technische Schwierigkeiten, und das Arbeiten damit manche Unbequemlichkeiten dar, in deren Auseinandersetzung hier nicht eingegangen werden kann. Eine Prüfung des Instruments auf seine Genauigkeit ist, so

viel ich weiß, bis jetzt nicht vorgenommen worden. Meist hat man sich desselben nur als Regulator bedient, um die Constanz des Stromes zu erhalten, oder in solchen Fällen, wo es nicht erforderlich war, den Widerstand der Windungen des Rheostaten genau zu kennen. Die Messungen, welche Hr. Wheatstone selbst damit angestellt hat, machen keine Ansprüche auf Genauigkeit.

§. 5.

Der Poggendorff'sche Widerstandsmesser ¹⁾ ist, was die Innigkeit der Berührung betrifft, vollkommener als die beiden vorher erwähnten Instrumente. Messungen des Widerstandes ein und derselben Drahtlänge, die zu verschiedenen Zeiten angestellt worden waren und die mir Hr. Poggendorff brieflich mitgetheilt hat, lassen in Bezug auf ihre Uebereinstimmung nichts zu wünschen übrig. Indessen ist wohl das Arbeiten mit diesem Instrumente unbequem und die genaue Einstellung desselben zeitraubend. Ob durch das wiederholte Einklemmen des Drahtes zwischen den beweglichen Messingklammern nicht mit der Zeit seine Dimensionen, und somit die Werthe an einzelnen Stellen verändert werden, muß die Erfahrung lehren.

§. 6.

Das Quecksilber-Voltameter, dessen Beschreibung ich hier mittheile, gewährt eine große Genauigkeit und ist den Nachtheilen der andern drei erwähnten Instrumente nicht unterworfen. Ich ging bei der Construction desselben von dem Gesichtspunkte aus, daß es eigentlich überflüssig ist, einem solchen Instrumente einen großen Umfang zu geben, indem, wie ich schon früher gezeigt habe, man durchaus nicht vorweg annehmen darf, daß gleich lange Stücke eines und desselben Drahtes auch einen gleichen Widerstand besitzen. Eine sorgfältige Prüfung der einzelnen Theile und Entwerfung einer Correctionstabelle ist also unumgänglich nöthig, und eine solche Prüfung muß

so-

1) Ann. Bd. 52, S. 511.

sogar von Zeit zu Zeit wiederholt werden, um sich zu vergewissern, daß keine Veränderungen vorgefallen sind. Die berechneten wirklichen Werthe statt der geometrischen Längen in Rechnung zu bringen, ist allerdings eine Unbequemlichkeit, der man jedoch gewiß nur in sehr wenigen Fällen überhoben seyn dürfte. Mit dem *Quecksilber-Voltagometer* wird nun der Widerstand einer gewissen Anzahl Drahtlängen gemessen, die als Normalwiderstände dienen und die innerhalb des Umfanges des Instruments liegen. Durch Summation dieser auf das genaueste bestimmten Gröfsen erhält man dann das Maafs für die gröfseren Widerstände.

§. 7.

Die Fig. 17 und 18 der Tafel I. dieses Hefts geben die Front und Seitenansicht des Quecksilberagometers. Dasselbe besteht aus zwei bis zum Rande mit Quecksilber gefüllten Glasröhren *ab* und *cd*, in welche zwei an einem Messingbügel *eg* befestigte Platindrähte *ef* und *gh*, vermöge einer Schraube *ik*, mehr oder weniger tief eingesenkt werden können. Die Schraube, welche ein dreifaches Gewinde von ungefähr $\frac{3}{10}$ " Steigung hat, ruht unten auf einer Spitze, ist aber von einem Halsbände umgeben und wird durch eine Kurbel *l* in Bewegung gesetzt. Mit dem Messingbügel *eg* ist die bewegliche Schraubenmutter *p* und eine mit einem Vernier oder Zeiger versehene federnde Hülse *q* verbunden, welche längs der eingetheilten Scale *rs* auf- und niedergleitet.

§. 8.

Da bei der Zusammensetzung dieses Instruments Scalen und Schrauben, die früher zu andern Zwecken gebraucht worden waren, angewandt sind, so haben diese Theile nicht die zweckmäfsigste Einrichtung und einige Mängel, die sich indessen in der Folge leicht beseitigen lassen. Die Scale selbst ist in $\frac{1}{10}$ engl. Zoll eingetheilt und der Schieber hat keinen Vernier, sondern nur einen feinen Zeiger, so daß

ein Zehntel dieser Eintheilung also $\frac{1}{100}$ Zoll geschätzt werden müssen, wozu es übrigens nicht einmal eines besonders geübten Beobachters bedarf. Hier würden also bekannte mikrometrische Einrichtungen Anwendung finden können, um, was die geometrische Maafsbestimmung betrifft, jede gewünschte Genauigkeit zu erreichen. Die Bestimmung der Leitungswiderstände indessen ist schon bei den gegenwärtigen Einrichtungen so genau, als es das Bedürfnis der Galvanometrie erheischt.

§. 9.

In die obere Oeffnung der Quecksilberröhren tauchen zwei Platindrähte t, t , welche mit den beiden dicken Kupferdrähten u, u , die bis zu den Klemmschrauben v, v , herunterreichen, verbunden sind. Durch diese Klemmschrauben wird das System von veränderlicher Länge $fegh$ in den übrigen Theil der Kette eingeschaltet; w, w sind messingene Hülsen, die zum Schutze der Glasröhren dienen. Auf demselben Gestelle sind zwei solcher *Quecksilber-Voltmeter* angebracht, was viel Bequemlichkeit darbietet, indem zu manchen Untersuchungen doppelte Exemplare dieses Instruments erforderlich sind.

§. 10.

Der angewandte Platindraht ist 0",0355 dick und die Glasröhren haben 0",35 im Durchmesser. Für jeden Zoll Platindraht also, der aus dem Quecksilber gehoben wird, sinkt das Niveau desselben nahe zu um 0",01. Da aber zugleich hierdurch der Zuleitungsdraht t von Quecksilber entblößt wird, so ist für jeden Zoll, der an der Scale abgelesen wird, die wirkliche Länge des Platindrahts = 1",02. Diese Correction muß daher überall angebracht werden, wo sie nöthig ist, d. h. da, wo absolute Maafsbestimmungen gemacht werden sollen. Sind aber alle Widerstände, die man in Rechnung bringt, mit diesem *Quecksilber-Voltmeter* verglichen, so kann man sich dieser Correction überheben, weil dieselbe eigentlich nur die Bedeutung hätte,

als ob der Platindraht statt des Widerstandes 1 den Widerstand 1,02 besäße. Im Uebrigen läßt sich der Einfluß, den der Stand des Quecksilbers hat, auf ein Minimum reduciren, wenn man dem obern Theile der Glasröhre eine beträchtliche Erweiterung giebt.

§. 11.

Da der Platindraht nicht dick genug ist, um eine gehörige Steifigkeit zu besitzen, so sind die Glasröhren oben mit einem dünnen Elfenbeinplättchen bedeckt, welches eine Oeffnung hat, durch welche der Draht hindurch geht, und welches so gewissermaßen als Führung dient.

§. 12.

Das Quecksilber, dessen ich mich in diesem Apparate bediente, war nach der Methode des Hrn. Ulex (*Mittheilungen aus den Verhandlungen der naturwissenschaftlichen Gesellschaft in Hamburg. 1848 p. 74*) durch Eisenchlorid gereinigt worden. Diese Methode ist sehr zu empfehlen, denn obgleich dieses Quecksilber schon Jahre lang im Gebrauch ist, so ist es doch immer an der Oberfläche vollkommen spiegelblank geblieben, ohne sich mit einem Häutchen bedeckt zu haben. Eine öftere Reinigung des Platindrahts von dem darauf haftenden Staube ist indessen nöthig, wozu ich mich gewöhnlich der Zinnasche bediene. Ich befürchtete anfänglich, das Quecksilber könne durch die Länge der Zeit eine analgamirende Einwirkung auf das Platin ausüben. Die Uebereinstimmung der zu verschiedenen Zeiten wiederholten Messungen, so wie das Aussehen des Platindrahts zeigen, daß diese Befürchtung ohne Grund war.

§. 13.

Fragt man nun nach der zweckmäßigen Art und Weise, wie Leitungswiderstände zu messen seyen, so ist die Wahl unter den drei verschiedenen Methoden, die sich uns darbieten, allerdings nicht gleichgültig und von Bedingungen

abhängig, die hier umständlicher zu discutiren Gelegenheit genommen wird. Vor allen Dingen aber müssen wir bemerken, wie es von der größten Wichtigkeit ist, bei diesen Messungen immer nur möglichst schwache Ströme anzuwenden, um eine Erwärmung der Drähte zu vermeiden, die nicht nur zu einer bedeutenden Veränderung des Leitungswiderstandes, sondern auch zur Erzeugung von thermoelektrischen Strömen an den Verbindungsstellen, wo verschiedene Metalle in Contact kommen, Veranlassung geben würde. Ein sonderbarer Fall kommt bei den Messungen vor, die vermittelst der Art. 78 (*Bulletin T. IV. No. 2 u. 3*) beschriebenen Differentialbussole angestellt werden. Sind nämlich die Paralleldrähte des Multiplicators und die darin eingeschalteten Widerstände genau aequilibrirt, so bleibt bekanntlich die Nadel auch unter Einwirkung des getheilten galvanischen Stroms im magnetischen Meridiane stehen, auch behält sie diese Lage, wenn die Kette geöffnet wird. Sobald man aber die Kette wieder schließt, tritt nicht immer, aber sehr häufig, ein anfänglicher Ausschlag der Nadel ein, der mitunter 12' bis 15' beträgt, der aber nicht hindert, daß die Nadel nach einigen Schwingungen in ihre Gleichgewichtslage wieder zurückkehrt. Besonders stark scheint dieser Ausschlag zu seyn, wenn die aequilibrirten Drähte in ihrer Qualität oder in ihren Dimensionen sehr verschieden sind, auch wird er viel bedeutender, wenn man die Multiplicatordrähte hintereinander verbindet und die Kirchhoff'sche oder Wheatstone'sche Drahtcombination, auf die wir später zurückkommen werden, einschaltet, um die Nadel im magnetischen Meridiane festzubalten. Obgleich ich mir vorbehalte, diese Erscheinung in der Folge näher zu studiren, so scheint es mir doch, sie jetzt schon durch thermische Einflüsse erklären zu können. Die Erwärmung der Drähte nämlich, so gering wie sie auch sey, bringt immer eine Veränderung ihres Leitungswiderstandes hervor, von der es wahrscheinlich ist, daß sie bei, in Dimensionen oder Qualität verschiedenen Drähten, wenn sie auch gleichen Widerstand

besitzen, zur Erreichung ihres Maximums auch eines verschiedenen Zeitverlaufs bedarf. Thermoelektrische Ströme scheinen hierbei nicht wirksam zu seyn, weil sich sonst, auch beim Oeffnen der Kette, eine Ablenkung zeigen müßte, was aber nicht der Fall ist.

§. 14.

Es muß ferner bemerkt werden, daß nicht alle galvanometrischen Bussolen zum Messen der Widerstände geeignet sind. Empfindlichkeit und die genaue Ablesung des Standes der Nadel sind die wesentlichen Bedingungen, die sie zu erfüllen haben. Die gewöhnlichen Bussolen, und unter ihnen die Nervander'sche Tangentenbussole, gestatten den Stand der Nadel nur bis auf 2' genau abzulesen; außerdem sind diese letztern Instrumente deshalb nur für starke Ströme brauchbar, weil die Multiplicatorrolle sehr weit von der Nadel abstehen muß, wenn das Gesetz der Tangenten noch gültig seyn soll. Wir werden im Folgenden die Genauigkeit der Tangentenbussole zu discutiren Gelegenheit haben. Bei der von mir gebrauchten Differentialbussole aber wird der Stand der Nadel durch vortreffliche Mikroskope beobachtet, so daß man im Stande ist, bei gehöriger Beleuchtung Abweichungen von 4" bis 5" wahrzunehmen, wenn man den Durchschnitt des Fadenkreuzes auf einen Theilstrich der an der Nadel befestigten Theilung eingestellt hat.

§. 15.

Die *gewöhnliche* Methode, den Leitungswiderstand eines Drahtes zu messen, ist nun bekanntlich die: daß man den Draht in die Kette einschaltet, den Stand der Nadel beobachtet, dann den Draht wieder entfernt, das Voltameter dafür substituirt und so lange dreht, bis die Nadel auf den frühern Theilstrich wieder einspielt. Daß diese Operationen mit Bequemlichkeit und Schnelligkeit ausgeführt werden können, dazu wird jeder Physiker leicht die zweckmäßigste Einrichtung zu treffen wissen. Gewöhnlich wird

dann noch eine dritte Beobachtung gemacht, um sich von der Unveränderlichkeit der Batterie zu überzeugen, indem die Nadel wieder einspielen muß, wenn man statt des Agometers nun den Draht wieder einschaltet. Man sieht zunächst, daß man hier mit der Veränderlichkeit des Stromes zu kämpfen hat, die um so bedeutender ist, aus je mehr Elementen die Batterie besteht. Auch treten oft, selbst während der Beobachtung, Schwankungen oder Veränderungen der absoluten Declination ein, die zu fehlerhaften Resultaten Veranlassung geben können. Nur die Beobachtungen sind eigentlich gültig, bei denen auch die terresterische Declination vor und nach der Beobachtung unverändert geblieben ist. Nicht selten mögen Irrthümer dadurch vorgekommen seyn, daß die Veränderung der Declination und die Schwankungen der Stromstärke sich gegenseitig compensirten.

§. 16.

Nennen wir die elektromotorische Kraft der Batterie $2E$, ihren Widerstand r , den Widerstand des Multiplicators $2m$ und den des zu messenden Drahtes x , so haben wir, wenn α die Abweichung vom magnetischen Meridian ist,

$$\text{I.} \quad \frac{2E}{r+2m+x} = \varphi(\alpha),$$

wo wir der Einfachheit wegen, $\varphi(\alpha) = \operatorname{tg} \alpha$ setzen wollen, indem wir annehmen, der Multiplicator habe eine solche Einrichtung, daß dieses Gesetz nahe zu stattfinde. Differentirt man die obige Formel, so erhält man

$$\text{II.} \quad \frac{-2E \cos \alpha^2 \Delta x}{(r+2m+x)^2} = \Delta \alpha.$$

$\Delta \alpha$ drückt hier den Beobachtungsfehler im Ablesen des Winkels aus, welcher z. B. bei meiner Bussole $= \operatorname{arc}(5'')$ und bei der Nervander'schen Tangentenbussole $= \operatorname{arc}(2')$ wäre. Soll nun der Fehler der Messung oder Δx ein Minimum werden, so muß

$$\frac{2E \cos \alpha^2}{(r+2m+x)^2} = \frac{2E}{4E^2 + (r+2m+x)^2}$$

ein Maximum seyn, was der Fall ist, wenn $2E = r + 2m + x$ oder wenn $\operatorname{tg} \alpha = 1$. Der Fehler der Messung, der durch die Unsicherheit beim Ablesen des Winkels entsteht, wird also ein Minimum seyn, wenn man die Widerstände mit einer Stromesstärke misst, die einer Ablenkung von 45° entspricht. Der leichtern Uebersicht wegen kann man die Formel II. in die folgende transformiren.

$$\text{III. } \Delta x = \Delta \alpha \left(2E + \frac{(r+2m+x)^2}{2E} \right) = \frac{\Delta \alpha 4E}{1 - \cos 2\alpha},$$

wobei das --Zeichen, womit Δx behaftet ist, aufer Acht gelassen ist, weil dasselbe nur die Bedeutung hat, das, wenn die Winkel wachsen sollen, x abnehmen mus. Das Minimum des Fehlers ist daher $(\Delta x)_{\min.} = 4E \Delta \alpha$ oder wenn $\Delta \alpha = 2'$, $(\Delta x)_{\min.} = 4E 0,00058$. Für die Tangentenbussole z. B., deren sich Hr. Lenz bei seinen Arbeiten bedient, ist nach dessen Angaben (*Bullet. de la cl. phys.-mathém. T. I. p. 228*) die elektromotorische Kraft eines Daniell'schen Elementes also $2E = 47,16 \cdot \operatorname{tg} 1^\circ = 0,8$, der Widerstand desselben ungefähr 0,5 und der Widerstand des Multiplicators nebst Zuleitungsdrähten oder $2m = 3,3$. Es würden daher etwa 11 Elemente nöthig seyn, um, ohne irgend einen fremdartigen Widerstand eingeschaltet zu haben, eine Ablenkung der Nadel von 45° hervorzubringen; ja es wären sogar 111 Elemente nöthig, wenn man mit diesem Instrumente einen Widerstand von nur 30 Agometerwindungen mit dem Minimo des möglichen Fehlers messen wollte. Man sieht leicht ein, das, was man einerseits an theoretischer Genauigkeit gewinnen würde, bei weitem durch die oben erwähnten Nachttheile aufgewogen wird, welche die Erwärmung der Drähte mit sich führt. Das Maximum des möglichen Fehlers wäre in obigem Falle 0,103 Agometerwindungen. Statt der 111 Elemente ist es gewifs zweckmäßiger, nur 4 anzuwenden. Man erhält alsdann, wenn man in die Formel III. die obigen Elemente

substituirt und $2E=3,2$, $2m=3,3$, $r=2$ und $x=30$ setzt, $\Delta x=0,23$ oder einen Fehler von etwa 0,8 Proc. Aber dennoch ist es mit Rücksicht auf die noch völlig unbekannt-ten Erwärmungscoefficienten gewiß vorzuziehen, zu solcher Messung nur 1 Element anzuwenden, obgleich in diesem Falle $\Delta x=0,85$ oder die Unsicherheit der Messung beinahe 3 Proc. betrüge. Ich habe diesen Gegenstand umständlicher erörtern wollen, weil es von Interesse ist, die Fehlergränze, wenn auch nur in dieser bestimmten Beziehung, kennen zu lernen. Bemerken will ich übrigens, daß, da bei diesen Messungen die Nadel gewöhnlich auf einen bestimmten Theilstrich eingestellt wird, der Fehler der Beobachtung oder α nur zu 1' oder höchstens zu 1,5 angenommen werden kann; auch vermindert sich bekanntlich $\Delta \alpha$ und mithin auch Δx durch die Wiederholung der Beobachtung, im Verhältniß von $\frac{\Delta \alpha}{\sqrt{n}}$, wenn n die Anzahl der Beobachtungen ist. Fände man nun z. B., daß bei n Wiederholungen der Beobachtung, der wahrscheinliche Fehler des Mittels, die Fehlergränze, welche $=\frac{\Delta x}{\sqrt{n}}$, überschreite, so hätte man alsdann unstreitig das Recht, auf das Daseyn anderer Fehlerquellen zu schließen.

§. 17.

Eine *zweite* Methode zur Messung der Leitungswiderstände ist die *Differentialmethode*. Wir nehmen hierbei an, das Instrument, das wir im vorigen Art. vorausgesetzt haben, werde auch hier gebraucht; mit der alleinigen Veränderung, daß die beiden neben einander gewickelten Drähte, welche den Multiplicator bilden, *dort* hintereinander und in derselben Richtung, *hier* aber neben einander und in entgegengesetzter Richtung verbunden werden. Sind die Widerstände in beiden Verzweigungen gleich, so wird die Nadel im magnetischen Meridian verbleiben, und dieses Gleichgewicht wird von der Veränderlichkeit der Batterie nicht afficirt. Gesetzt nun, in dem einen Zweige des Mul-

tiplicators wäre der Widerstand x , in dem andern der Widerstand $x + \Delta x_1$, eingeschaltet, so erhielte man mit Beibehaltung der frühern Bezeichnungen, nach den bekannten Formeln

$$\text{IV.} \quad \frac{E \Delta x_1}{(2r+m+x)(m+x)} = \Delta \alpha. \quad \text{Oder}$$

$$\text{V.} \quad \Delta x_1 = \frac{\Delta \alpha (2r+m+x)(m+x)}{E},$$

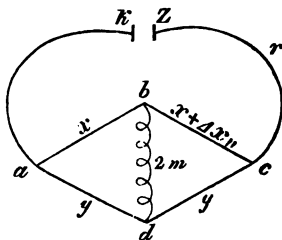
wobei Δx_1 , als verschwindend klein gegen die übrigen Widerstände, die in der Kette befindlich sind, angenommen ist. Vergleichen wir nun die Differentialmethode mit der gewöhnlichen, so erhält man

$$\text{VI.} \quad 2\Delta x(2r+m+x)(m+x) = \Delta x_1 [4E^2 + (r+2m+x)^2],$$

woraus sich ergibt, dafs, abgesehen von den bereits erwähnten Nebenumständen, die Differentialmethode vor der gewöhnlichen nur so lange den Vorzug verdient, als $\Delta x > \Delta x_1$, oder als $4E^2 + r^2 + 2m^2 > x^2 + 2rx$ ist. Man ersieht zugleich hieraus, dafs in dem Maafse: als man dem Multiplikator eine gröfsere Anzahl Windungen giebt, wodurch E , und bei gleicher Form des Multiplikators auch m vergrößert wird, der Vorzug der Differentialbussole einen weitern Umfang erhält.

§. 18.

Bei der *dritten* Methode endlich wird die Nadel ebenfalls im magnetischen Meridiane beobachtet, die Zweige des Multiplikators sind aber hier wieder hintereinander verbunden, und die Theilung des Stromes geschieht durch die hier abgebildete Wheatstone'sche oder Kirchhoff'sche Drahtcombination, deren Theorie ich übrigens als bekannt voraussetze.



Substituirt man die hier bezeichneten Werthe in die von Hrn. Poggendorff (Ann. Bd. 67, S. 276) gegebenen Formeln No. 9 und No. 15, so erhält man, unter der Voraussetzung, dafs Δx_{II} gegen x verschwindend klein sey,

$$\text{VII.} \quad \frac{2Ey \Delta x_{II}}{(rx+ry+2xy)(x+y+4m)} = \Delta \alpha = i_0.$$

Da y eine ganz willkürliche Gröfse ist, so fragt sich, wie der Leitungswiderstand dieser Drahtzweige beschaffen seyn müsse, damit diese Combination das Maximum der Empfindlichkeit gewähre, was der Fall seyn wird, wenn

$$\frac{y}{(rx+ry+2xy)(x+y+4m)} = \text{Maximum}$$

oder wenn

$$\text{VIII.} \quad y^2 = \frac{rx(x+4m)}{r+2x}.$$

Man ersieht hieraus, dafs y um so kleiner ist, je kleiner r ist, oder eine je gröfsere Oberfläche man der Batterie giebt. Da man aber dieses sowohl als den Leitungswiderstand von y ganz in seiner Gewalt hat, so kann man $y=r$ und beide verschwindend klein gegen x annehmen, wodurch sich die Formel VII ohne einen bedeutenden Fehler zu begehen vereinfacht und in

$$\text{IX.} \quad \frac{2E \Delta x_{II}}{3x(x+4m)} = \Delta \alpha$$

verwandelt. Vergleicht man nun diese Methode mit der Differentialmethode, so erhält man die Gleichung

$$\text{X.} \quad \frac{2 \Delta x_{II}}{3x(x+4m)} = \frac{\Delta x_I}{(m+x)^2},$$

wonach der Drahtcombination vor der Differentialmethode der Vorzug gegeben werden mufs, je nachdem $\Delta x_I > \Delta x_{II}$, oder $2(m+x)^2 > 3x(x+4m)$ oder $2m^2 > x^2 + 8mx$. Es ergibt sich also hieraus, dafs es nur so lange vortheilhaft ist, die erwähnte Drahtcombination anzuwenden, als Leitungswiderstände gemessen werden sollen, die kleiner als $\frac{1}{2}m$ sind, oder kleiner als ungefähr $\frac{1}{3}$ des Widerstan-

des, den der Multiplicator darbietet, wenn die beiden Zweige desselben hintereinander verbunden sind.

§. 19.

Der bessern Uebersicht wegen will ich hier die Resultate der vorhergegangenen Untersuchungen zusammenstellen, wonach

I. für die gewöhnliche Methode

$$\Delta x = \left(\frac{4E^2 + (r+2m+x)^2}{2E} \right) \Delta \alpha,$$

II. für die Differential-Methode

$$\Delta x_1 = \frac{(2r+m+x)(m+x)}{E} \Delta \alpha,$$

III. bei Anwendung der Drahtcombination

$$\Delta x_u = \frac{(rx+ry+2xy)(x+y+4m)}{2Ey} \Delta \alpha,$$

wo Δx das von der Genauigkeit der Beobachtung $\Delta \alpha$ abhängige Maximum des möglichen Fehlers in der Bestimmung der Leitungswiderstände bedeutet. y ist, wie gesagt, zwar eine willkürliche Gröfse, die, wenn man sich nur eines galvanischen Elementes von großer Oberfläche bedient, meist als verschwindend klein in Rechnung gebracht werden kann, bei der es aber doch unter Umständen erforderlich seyn wird, sie der oben gegebenen Formel (VIII) entsprechend einzurichten.

§. 20.

Da, wie wir schon oben erwähnt haben, die gewöhnliche Methode an den Uebelständen leidet, welche eine, wenn auch nur geringe Veränderlichkeit der Kette mit sich führt, aufserdem aber bei der Beobachtung im Meridiane, ohne besonders große constructive Schwierigkeiten, eine ungleich gröfsere Schärfe durch feststehende Mikroskope erlangt werden kann, so ist eigentlich nur die Rede davon, unter den beiden letzterwähnten Methoden die zweckmässigste Wahl zu treffen. Wir haben schon oben gese-

ben, daß die *Differentialmethode* in Bezug auf die Größe der zu messenden Leitungswiderstände einen viel größern Umfang hat, als die *Drahtcombination*. Aber man hat es der *Differentialmethode* zum Vorwurfe gemacht, daß sie nur unter *der* Bedingung genaue Resultate giebt, wenn die beiden Paralleldrähte vollkommen symetrisch angeordnet sind. Die Erfüllung dieser Bedingung hat allerdings große Schwierigkeiten und hängt gewissermaßen vom Zufalle ab. In der That habe ich schon früher (Art. 79) erwähnt, daß meine Differentialbussole einen kleinen Ausschlag giebt, wenn die beiden Paralleldrähte in entgegengesetzter Richtung fortlaufend mit einander verbunden werden. Indessen wird dieser Fehler vollständig beseitigt, wenn man sich der a. a. O. beschriebenen Methode bedient, welche die Borda'sche genannt werden kann, obgleich der Erfinder sie nur auf Wägungen angewandt hat. Diese Methode erfordert bekanntlich zwei Beobachtungen statt einer, und in unserm Falle ein doppeltes Voltagometer. Wenn indessen eine Reihe von Widerständen gemessen werden soll, die wenig von einander abweichen, so kann man sich das Verfahren auf folgende Weise so erleichtern, daß es nicht **nöthig ist**, in derselben Reihe mehr als *eine* Messung *zweimal* zu wiederholen. In den Paralleldrabt I. schaltet man nämlich ein Voltagometer und einen Draht R ein, dessen **Widerstand** wo möglich der größte in der zu messenden Reihe sey; in den Paralleldrabt II. aber ein anderes Agometer, das so lange gedreht wird, bis die Nadel wieder einspielt, und das gewissermaßen als constantes Gegengewicht dient. Entfernt man nun R und stellt durch Drehen des ersten Voltagometers, z. B. bis auf x , das Gleichgewicht wieder her, so hat man genau $R=x$. Hier waren also zwei Beobachtungen nöthig. Dreht man nun das erste Agometer auf seinen Nullpunkt wieder zurück und schaltet nach und nach die Widerstände R, R'', R''' u. s. w. ein, so wird man, zur Herstellung des Gleichgewichts, das Agometer nur um geringe Quantitäten d, d'', d''' u. s. w. zu drehen brauchen. Man erhält demnach schon durch eine

Beobachtung $R_1 + \Delta_1 = x$ und $R_1 = x - \Delta_1$, $R_{II} = x - \Delta_{II}$,
 $R_{III} = x - \Delta_{III}$ u. s. w.

§. 21.

Indessen hat es auch keine Schwierigkeit, für den Fehler des Multiplicators die Correction k zu finden. Mißt man nämlich einen Widerstand x erst in dem einen Paralleldrahte, dann in dem andern, so erhält man die Gleichungen

$$p = kx \text{ und} \\ x = kq$$

und daraus $x = \sqrt{pq}$ und $k = \sqrt{\frac{p}{q}}$ wo p und q die respectiven Angaben des Agometers sind. Oder man mißt den Widerstand x erst nach der Borda'schen Methode und dann so, daß man ihn in einen Zweig und das Voltagometer in den andern Zweig des Multiplicators einschaltet, wodurch man sogleich $k = \frac{p}{x}$ oder $k = \frac{x}{q}$ erhält. Man wird natürlich diesen Coëfficienten k nicht bloß aus einer Messung bestimmen, sondern aus mehreren und nach der Methode der kleinsten Quadrate berechnen. Ein Beispiel dieser Bestimmung ist §. 26. Tabelle III. gegeben.

§. 22.

Ganz dasselbe Verhältniß nun findet auch bei Anwendung der *Drahtcombination* statt. An die Stelle des Fehlers im Multiplicator tritt hier die Ungleichheit im Widerstande der durch η bezeichneten Zweigdrähte ad und dc , die, ungeachtet einer möglichsten Gleichheit der Dimensionen beider Drähte, um so weniger aufser Acht gelassen werden darf, als es schwieriger ist, diese Widerstände ihrer Kleinheit wegen mit der nöthigen Genauigkeit auf directe Weise zu bestimmen. Man wird demnach auch hier seine Zuflucht zu der Borda'schen Methode und ihren Erleichterungen nehmen müssen, oder durch eine Anzahl Beobachtungen das Verhältniß $\frac{ad}{dc} = \sqrt{\frac{p}{q}}$, wie früher, ein für

allemal bestimmen müssen. Wir sehen also hieraus, dafs auch in Bezug auf eine gröfsere Einfachheit die *Drahtcombination* keine Vorzüge vor der *Differentialmethode* darbietet.

§. 23.

Die *Drahtcombination* indessen bietet den unschätzbaren Vortheil dar, durch beliebige Abänderung des Verhältnisses $\frac{ad}{dc}$ extreme Widerstände oder solche messen zu können, die, ihrer Kleinheit wegen, innerhalb der Beobachtungsgränze liegen, oder die so grofs sind, dafs sie die gemessenen Widerstände, die man zu seiner Disposition hat und die zur Vergleichung dienen, überschreiten. Es ist nämlich einleuchtend, dafs, wenn man eine Bestimmung nach der Borda'schen Methode machen will, man immer zweier, dem zu messenden Drahte aequivalenter Drahtlängen bedarf, wovon die eine bekannt und in den gewählten Einheiten ausgedrückt seyn mufs. Dagegen versteht es sich, dafs bei einer grofsen Differenz der Drähte *ad* und *dc* ihr Verhältnifs auch aus einer desto gröfsern Anzahl Messungen abgeleitet werden mufs. Ein Beispiel in Bezug auf die Messung kleiner Widerstände habe ich selbst schon früher gegeben (*Galv. u. electrom. Versuche, 2. Reihe, 1. Abth., Art. 22, Bull. scient. T. V, No. 6*)¹⁾.

§. 24.

Bei gewöhnlichen Galvanometern würde es schwierig seyn, sich die eben erwähnte Bequemlichkeit zu verschaffen, man müfste denn den Multiplicator aus einer grofsen Anzahl Drahtverzweigungen bestehen lassen und diese dem Bedürfnisse gemäfs combiniren. Ich befinde mich indessen schon seit längerer Zeit im Besitze eines Spiegelinstruments, zu dessen Aufstellung und Prüfung ich aber bis jetzt noch keine Gelegenheit hatte. Dasselbe besitzt zwei Multiplicatorrollen, die unabhängig von einander sind und die leicht in verschiedene Entfernungen von der Bussole geschoben

1) Ann. Bd. 69, S. 182.

werden können. Indem die Einwirkung der Multipliorollen auf die Nadel, je nach der Entfernung derselben vom Aufhängepunkt, verschieden ausfällt, erhält dieses Instrument, wenn man damit Bestimmungen nach der Differentialmethode macht, den zuletzt erwähnten Vortheil der Drahtcombination.

§. 25.

Ich habe schon oben Art. 146 erwähnt, daß ich es für unzweckmäsig halte, dem Voltagometer einen großen Umfang zu geben. Die Länge der Quecksilberröhren ist daher auf 9" beschränkt worden, so daß der ganze Umfang des Instruments nur bis zum Widerstande eines Platindrahts von 18" Länge und 0",0355 Durchmesser reicht. Auf einer solchen Länge haben Versuche eine vollkommene Gleichförmigkeit des Drahtes ergeben, so daß die Widerstände den Drahtlängen proportional sind. Als Einheit ist daher 1" des erwähnten Platindrahtes angenommen. Mit Hilfe dieses Quecksilberagometers ist nun das erste System von 11 Hülfsdrähten bestimmt, die vorher so abgemessen waren, daß der Widerstand jedes derselben ungefähr 16" Platindraht equivalent war. Ein zweites, drittes und viertes System besteht jedes ebenfalls aus 11 Drähten, von denen jeder respective ungefähr 160, 1600 und 16000 Einheiten Widerstand besitzt, so daß eins dieser Systeme immer durch Hilfe des vorhergehenden bestimmt werden kann. Der ganze disponible Widerstand wird demnach, wenn die Messungen der beiden letzten Systeme gemacht seyn werden, ungefähr 195,000 Zoll Platindraht der angegebenen Dicke oder 391,000 Fuß Kupferdraht von 0",0643 Durchmesser equivalent seyn. Die zu diesen *Widerstandssystemen* angewandten Drähte bestehen aus Neusilber, sind doppelt mit Baumwolle besponnen, nachher durch geschmolzenes Wachs gezogen und auf kleine Rollen aufgewickelt, die hernach in einem gemeinschaftlichen Kasten befestigt und mit Gambey'schem Kitt vergossen sind. Die Enden der Drähte sind an Platten befestigt, welche

mit Klemmschrauben versehen sind, um die nöthigen Verbindungen herzustellen. Ich habe keine Zeichnung der von mir getroffenen Anordnung gegeben, weil solche Einrichtungen den verschiedenen Bedürfnissen gemäfs auf mannigfaltige Weise abgeändert werden können.

§. 26.

Zum Schlusse erlaube ich mir, mehrere zu verschiedenen Zeiten gemachte Beobachtungsreihen mitzutheilen, um danach den Grad der Genauigkeit der mit dem *Quecksilber-Voltagometer* angestellten Messungen beurtheilen zu können. In den Tabellen I. und II. sind die zu den beiden ersten (§. 25) Widerstandssystemen gehörigen Leitungswiderstände zusammengestellt; in der Tabelle III. ist aus zwei Reihen Messungen des zweiten Widerstandssystems der Correctionscoefficient für den Multiplicator (§. 21), nach der Methode der kleinsten Quadrate berechnet.

Tabelle I.

Nummer der Drahtrolle.	I. Reihe, angestellt am 6. August 1846.	II. Reihe, angestellt am 31. März 1847.	III. Reihe, angestellt am 9. Oktober 1848.	IV. Reihe, angestellt am 9. November 1848.	Mittel aus den 4 Reihen.
1	15,93	15,93	15,92	15,94	15,9300
2	15,82	15,80	15,79	15,78	15,7975
3	15,65	15,63	15,61	15,60	15,6225
4	15,90	15,91	15,89	15,89	15,8975
5	15,83	15,82	15,84	15,82	15,8275
6	16,09	16,10	16,08	16,08	16,0875
7	15,91	15,93	15,94	15,92	15,9250
8	16,03	16,02	16,02	16,00	16,0175
9	15,48	15,43	15,48	15,42	15,4525
10	15,79	15,76	15,76	15,73	15,7600
11	15,89	15,85	15,83	15,84	15,8525
Summe	174,32	174,18	174,16	174,02	174,17

Tabelle II.

Nummer der Drähte.	I. Reihe, angestellt am 31. März 1847.	II. Reihe, angestellt am 11. Okt. 1848.	III. Reihe, angestellt am 31. Dec. 1848.	Mittel aus den drei Reihen.
12	159,72	159,59	159,54	159,62
13	159,01	150,00	158,97	158,99
14	156,32	156,30	156,28	156,30
15	158,13	158,18	158,17	158,16
16	159,30	159,28	159,33	159,30
17	157,36	157,41	157,37	157,38
18	157,52	157,58	157,57	157,56
19	156,29	156,33	156,34	156,32
20	158,41	158,41	158,42	158,41
21	158,65	158,77	158,76	158,73
22	158,25	158,30	158,35	158,30
Summe	1738,96	1739,15	1739,10	1739,07

Tabelle III.

Nummer der Drähte.	Nach der Borda'schen Methode. x .	Durch einfache Messung. p .	Berechnung. $x' = 0,9990533 p$.	Differenz. $x - x'$.
12	159,54	159,88	159,53	+ 0,01
13	158,97	159,34	158,99	- 0,02
14	156,28	156,59	156,25	+ 0,03
15	158,17	158,49	158,15	+ 0,02
16	159,33	159,64	159,33	± 0,00
17	157,37	157,69	157,35	+ 0,02
18	157,57	157,91	157,57	± 0,00
19	156,34	156,69	156,35	- 0,01
20	158,42	158,79	158,44	- 0,02
21	158,76	159,12	158,44	- 0,01
22	158,35	158,71	158,36	- 0,01

Hierbei will ich bemerken, dass alle Messungen der Tabelle I. und II. mit der öfters erwähnten Differentialbussole, nach der sogenannten Borda'schen Methode angestellt worden sind. Nur bei der vierten Reihe der Tabelle I. wurden beide Multiplicatordrähte hinter einander verbunden und die *Drahtcombination* eingeschaltet, um die Nadel im magnetischen Meridiane beobachten zu können.

Indessen wurde auch hierbei die Borda'sche Methode mit den oben erwähnten Abkürzungen angewandt.

§. 27.

Aus der Tabelle II. berechnet sich nun der wahrscheinliche Fehler jeder Beobachtung zu $0'',012$ und der wahrscheinliche Fehler des Mittels zu $\frac{0'',012}{\sqrt{4}} = 0'',006$. Aus der Tabelle II. aber ergibt sich der wahrscheinliche Fehler jeder Beobachtung $0'',029$ und der wahrscheinliche Fehler des Mittels zu $\frac{0'',029}{\sqrt{3}} = 0,017$. Läßt man indessen die besonders abweichende erste Beobachtung der Tabelle II. weg, so erhält man als wahrscheinlichen Fehler jeder Beobachtung $0'',023$ und als wahrscheinlichen Fehler des Mittels $0'',0135$. Die Summen sind bei den Beobachtungen der Tabelle I. mit einem wahrscheinlichen Fehler von $0'',082$ und das Mittel mit einem wahrscheinlichen Fehler von $0'',041$ behaftet. Aus der Tabelle II. ergeben sich diese Fehler respective zu $0'',067$ und $0'',040$. Erwähnen will ich, daß bei Bestimmung der Drahtrollen No. 12 — No. 22 die mittlere Summe des Widerstandes der Drahtrollen No. 1 — No. 10 mit 158,32 in Rechnung gebracht worden ist. Ich habe die Beobachtungen beider Reihen absichtlich nicht mit einander vermischt, weil, wie aus den oben gegebenen Formeln hervorgeht, die Genauigkeit mit der Größe der Widerstände abnimmt; und so beträgt denn in der That der wahrscheinliche Fehler des zweiten Widerstandssystems mehr als das Doppelte des wahrscheinlichen Fehlers des ersten Systems. Die Beobachtungen jedes Systems für sich dagegen konnten zusammengefaßt werden, weil die Unterschiede im Widerstande der einzelnen Drahtrollen zu gering sind, um in Bezug auf die Genauigkeit von irgend einem Einflusse zu seyn. Aus der fünften Columne der Tabelle III. ergibt sich der wahrscheinliche Fehler jeder Beobachtung nur zu $0'',01139$. Derselbe liegt also durchaus in den Grenzen der Genauigkeit, womit die Scale abgelesen werden kann.

§. 28.

Der wahrscheinliche Fehler von $0'',006$, wie wir ihn oben gefunden haben, erscheint unglaublich gering, wenn wir ihn mit den Messungen vergleichen, welche durch das gewöhnliche mit Neusilberdraht bewickelte Voltagometer angestellt werden. Da nämlich nach einer gemachten Vergleichung ungefähr $35''$ meines Platindrabtes einer Windung meines Voltagometers aequivalent sind, so wäre der wahrscheinliche Fehler $0'',006 = 0,00017$ Windungen des Voltagometers, eine Genauigkeit, die sich mit dem letztern Instrumente nie wird erreichen lassen. Drückt man die wahrscheinlichen Fehler in Theilen des gemessenen Widerstandes aus, so erhält man für die I. Tabelle $0,006 : 16 = 0,00038$ und für die II. Tabelle $0,0135 : 160 = 0,000084$. Indessen ist es keinesweges leicht geworden, eine solche dem gegenwärtigen Standpunkte der Galvanometrie mehr als genügende Genauigkeit zu erlangen. Da nämlich meine Bussole den Erschütterungen jedes vorbeifahrenden Wagens ausgesetzt ist, auch die Nadel schon wahrnehmbare Ablenkungen erfährt, wenn ein Wagen vor dem Hause hält oder kleine Truppenabtheilungen mit Gewehren und aufgesteckten Bajonetten vorbeigehen, so konnten die Beobachtungen nur des Nachts oder zur Winterzeit, nach gehörigem Schneefalle, angestellt werden. Bei weitem störender bei diesen Beobachtungen aber sind die Variationen des terrestrischen Magnetismus und namentlich der Declination, die nicht selten eine scharfe Messung geradezu unmöglich machen und ein äußerst zeitraubendes Abwarten erfordern, indem nur solche Messungen notirt werden dürfen, bei denen nach Aequilibrirung der Drähte durch das Voltagometer, die Nadel genau wieder auf das Fadenkreuz zeigt, das vor dieser Aequilibrirung jedesmal in den magnetischen Meridian eingestellt wird. Erkundigungen, die ich nach solchen Störungen öfters auf der hiesigen im Bergkorps befindlichen magnetischen Station einzog, ergaben dann, daß auch dort solche Störungen beobachtet worden waren, so daß andere zufällige Umstände, auf die ich an-

fangs bei meiner Bussole vermuthete, bei diesen Variationen nicht im Spiele waren.

Ich kann nicht unterlassen, es dankbarlichst zu erwähnen, wie sehr mir der Hr. Dr. Moritz aus Dorpat bei einem Theile dieser Beobachtungen behülflich gewesen ist.

IV. Ueber die latente Wärme des Wasserdampfs bei Sättigung unter verschiedenem Druck; von Hrn. V. Regnault.

(Neunte Abhandlung aus dem bereits in diesen Annalen Bd. 74, S. 202 näher bezeichneten Werk: *Relation des expériences entreprises etc. pour déterminer les principales lois et les données numériques, qui entrent dans le calcul des machines à vapeur.*)

In dieser neunten Abhandlung beabsichtige ich die Wärmemengen zu bestimmen, die man einem Kilogramm Wasser von 0° zuführen muß, um es unter verschiedenen Drucken in gesättigten Dampf zu verwandeln, diese Wärmemengen ausgedrückt durch die Zahl von Kilogrammen flüssigen Wassers, welche durch sie von 0° auf 1° C. erwärmt werden können.

Black machte zuerst, gegen die Mitte des vorigen Jahrhunderts, die wichtige Beobachtung, daß bei der Bildung des Wasserdampfs eine große Menge Wärme absorbiert wird; er machte sogar einige Versuche, um dieselbe zu messen. Er stellte ein kleines Gefäß voll Wasser auf den Deckel eines eisernen Ofens, in welchem er das Feuer so regelmäßig unterhielt, daß anzunehmen war, das Gefäß erhielte in gleichen Zeiten beinahe gleiche Wärmemengen. Er verglich alsdann die Zeit, welche das Wasser gebrauchte, um ins Sieden zu kommen, mit derjenigen, die das Wasser zu seiner vollständigen Verdampfung erforderte. Dieser Versuch, zwar hinlänglich um die bei der

Verdampfung stattfindende Wärme-Absorption nachzuweisen, war jedoch zu grob, um dieselbe genau zu messen. Black selbst sah dies ein, und machte später im Verein mit dem Dr. Irvine neue Versuche, bei denen er die Mengungs-Methode anwandte, welche er zur Bestimmung der specifischen Wärme der Körper ersonnen hatte. Zu dem Ende bediente er sich einer gewöhnlichen Destillirblase und maß die Temperatur-Erhöhung, welche das das Schlangenrohr umgebende kalte Wasser durch die Verdichtung einer gewissen Menge Dampf erlitt. So fand Black die Zahl 530, eine viel zu kleine, da er nicht die nöthigen Berichtigungen angebracht hatte ¹).

Der berühmte Watt machte zu wiederholten Malen Versuche über diesen Gegenstand; er begann dieselben sogar in Aufforderung von Black, dessen Schüler er war. Die ersten Versuche von Watt gehen bis zum Jahre 1765 zurück; sie gaben ihnen die Zahl 766, welche er selbst für ungenau hielt. Im Jahre 1781 nahm er den Gegenstand wieder auf und machte die Versuche, welche im Artikel „*Steam*“ der *Mechanical Philosophy* von Robinson (Brewster's, Ausgabe T. II. p. 5) beschrieben sind ²).

1) *Lectures on the elements of chemistry, T. I.*

2) Watt beschreibt hier die Versuche über die latente Wärme, welche er im Februar und März 1781 machte, folgendermaßen.

Ich nahm ein kupfernes Rohr von $\frac{3}{8}$ Zoll innerem Durchmesser, $\frac{1}{16}$ Zoll Dicke und 5 Fuß Länge, gekrümmt an einem Ende auf einer Länge von 3 Zoll; ich befestigte es hermetisch an den Schnabel eines Theekessels in solcher Neigung, daß der gekrümmte Theil sich 2 Fuß höher als dieser Schnabel befand; ein Propfen mit einem Loch von 0,2 Zoll Durchmesser, in welchem eine Federpose steckte, wurde in die Oeffnung des gekrümmten Endes geschoben.

Der Kessel wurde zur Hälfte mit Wasser gefüllt, dann der Deckel mit Mehlkleister verstrichen und durch ein gegen den Handgriff des Kessels gestemmtes Stück Holz befestigt. Andreerseits goß man $2\frac{1}{2}$ Pfund Wasser in ein weißblechernes Gefäß von 4 Zoll Tiefe und 6 Zoll Weite; es füllte dasselbe bis zur Höhe von $2\frac{1}{2}$ Zoll. Das Wasser wurde sorgfältig gewogen, indem man das Blechgefäß und eine zuvor mit Leinöl getränkte und dann auf dem Ofen getrocknete Papierscheibe tarirte

Dieses Gefäß wurde auf einen Tisch gestellt und mit Leinwand umhüllt. Das Wasser des Kessels wurde eine Stunde lang im Sieden ge-

Das Mittel aus 11 Bestimmungen ergab die Zahl 625,2, welche Watt indess für zu klein hielt, weshalb er die Zahl 633,3 als die wahrscheinlichere annahm.

Rumford hat dasselbe Element mittelst seines Calorimeters zu bestimmen gesucht. Das Wasser befand sich in einer Glasretorte, deren in der Luft aufsteigender Hals mittelst eines Pfropfens in der Mündung des Schlangenrohrs seines Calorimeters steckte. So fand Rumford in

halten, und sobald man in der Federpose am Ende der kupfernen Röhre des Kessels keine Wassertropfen sich mehr verdichten sah, tauchte man dieß Rohr in das Blechgefäß. Der Dampf verdichtete sich unter Geräusch und erwärmte das im Gefäß enthaltene Wasser, welches fortwährend umgerührt wurde, um seine Temperatur gleichförmig zu halten. Man setzte den Versuch fort, bis die Temperatur des Wassers um 70° bis 80° F. gesteigert worden, wozu 4 bis 6 Minuten erforderlich waren. Nach Verlauf von 10 Sekunden kam das Thermometer zum Stillstand; sogleich nach Ablesung der stationären Temperatur bedeckte man das Blechgefäß, um die Verdampfung des Wassers zu verhüten, mit der geölten Papierscheibe und wog es sehr sorgfältig.

Nachdem die Versuche beendet waren, trocknete man das Blechgefäß und stellte es in einen Saal, dessen Temperatur etwa 40° F. betrug, liefs es daselbst eine halbe Stunde verweilen, damit es sich mit dem umgebenden Mittel ins Gleichgewicht setzte, und gofs dann 2 Pfd. Wasser von 76° F. hinein; die Temperatur dieses Wassers sank auf 75°,5 herab.

Für einen Unterschied von 35,5 Graden bei 2 Pfund Wasser, also für einen von 44 Graden bei 2½ Pfund, mufs man ½ Grad Wärme als absorbiert vom Blechgefäß in Rechnung nehmen. Die Temperatur des Saals, in welchem die Versuche angestellt wurden, betrug etwa 56° F.

Auf die eben angezeigte Weise wurden 11 Versuche ausgeführt, die wie im folgenden Beispiel zur Berechnung der latenten Wärme dienen:

Temperatur des Wassers im Blechgefäß, vorher . . .	43°,5
Temperatur des Wassers im Blechgefäß, nachher . . .	89,5
Temperatur-Erhöhung	46,0
Wärme, vom Gefäß aufgenommen	0,5
Gesamte Erhöhung	46,5
Gewicht des Wassers im Gefäß, vorher	17500 Gran
Gewicht des Wassers im Gefäß, nachher	18260 „
Verdichteter Wasserdampf	760 „

Folglich hat man:

$$17500 \times 46,5 = 760 (x - 89,5).$$

drei Versuchen die Zahlen 669,0, 670,8 und 671,9¹⁾). Diese Zahlen sind zu groß. Bei der von Rumford gewählten Einrichtung verdichtete sich eine gewisse Menge des Dampfes in dem im Calorimeter steckenden Theil des Retortenhalbes, trat demselben Wärme ab und floß dessenungeachtet im flüssigen Zustand in die Retorte zurück.

Ure veröffentlichte in den *Philosophical Transactions* f. 1818 p. 385 eine Abhandlung, in welcher er sich vornahm, die latente Verdampfungswärme einer großen Anzahl flüchtiger Substanzen zu bestimmen. Ure's Versuche sind mit einem sehr einfachen, aber keiner genauen Resultate fähigen Apparate angestellt. Dieser Apparat bestand aus einer kleinen Glasretorte, deren sehr kurzer Hals in einen kugelförmigen Recipienten aus dünnem Glase von 3 Zoll engl. Durchmesser hineinreichte. Dieser Recipient war umgeben von einer gewissen Menge Wasser, die sich in einem cylindrischen Glasgefäß befand. In die Glasretorte wurden 200 Gran der zu untersuchenden Flüssigkeit gebracht und mittelst einer Argand'schen Lampe rasch

No. des Vers.	Kaltes Wasser im Gefäß.		Gewicht des verdichteten Dampfes. Gran.	Temper. des erwärmten Wassers. F°.	Temperaturanzuwachs. F°.	Summe der sensiblen und latent. Wärme.	
	Gewicht. Gran.	Temper. F°.				F°.	C°.
1	17500	43° 5	760	89,5	46° 5	1159,5	626,5
2	do.	44 ,5	708	86,5	42 ,5	1136,9	613,7
3	do.	44 ,5	899	98,0	54 ,0	1149,1	620,4
4	do.	44 ,5	467,6	73,5	29 ,5	1175,6	637,1
5	do.	44 ,5	369	67,25	23 ,0	1158,0	625,2
6	do.	47 ,5	642	87,0	40 ,0	1177,3	636,0
7	do.	49 ,0	588,5	84,5	36 ,0	1155,0	623,6
8	do.	47 ,0	675	87,5	41 ,0	1150,5	622,3
9	do.	45 ,0	680,5	86,5	42 ,0	1166,5	630,1
10	do.	45 ,0	664,25	85,5	41 ,0	1165,7	629,8
11	do.	45 ,0	975	102,0	57 ,5	1134,0	612,9
					Mittel	1157,1	625,2

Mehrere Fehlerquellen wirken auf die Resultate dieser Versuche ein und streben meistens die Zahl zu klein zu machen. Nach dieser Betrachtung glaube ich, daß man die Zahl 960 + 212 oder 1172 (633°3C.) als Summe der sensiblen und latenten Wärme annehmen könne.

1) *Biot, Traité de physique, T. IV. p. 710.*

destillirt. Das Wasser im kleinen Calorimeter wurde mittelst des Thermometers, welches seine Temperatur angab, fortwährend umgerührt. So fand Ure die Zahl 637,5 als Ausdruck der Wärmemenge, welche ein Kilogramm Wasser von 0° aufnimmt, um sich unter 760 Millm. Druck in gesättigten Dampf zu verwandeln. Allein es ist zu bemerken, wie schon Brix hervorhob ¹⁾, daß Ure's Resultate nach einer unrichtigen Formel berechnet sind, und sich die vorstehende Zahl bei Anwendung der richtigen Formel auf die Zahlenangaben seines Versuchs auf 593,4 reducirt.

In der erwähnten Abhandlung (p. 387) giebt Ure an, es hätten Lavoisier und Laplace die Zahl 655 gefunden. In den von diesen berühmten Gelehrten veröffentlichten Abhandlungen habe ich indess vergebens nach dieser Bestimmung gesucht.

In Biot's *Traité de phys. T. IV. p. 713* findet man, daß Hr. Gay-Lussac einerseits und die HH. Clément und Desormes andererseits dieselbe Zahl 650 gefunden hätten. Ich habe nirgends das Detail ihrer Versuche auffinden können.

Die wichtigsten und neuesten Versuche über den uns beschäftigenden Gegenstand verdanken wir Hrn. Despretz und Hrn. Brix.

Zu einer ersten Reihe von Versuchen gebrauchte Hr. Despretz einen dem Rumford'schen ähnlichen Apparat ²⁾. Der Hals der die Flüssigkeit enthaltenden Retorte reichte in ein kupfernes Schlangenrohr, welches durch einen länglichen, viereckigen Kasten von demselben Metall ging und aus einer seiner Wände herausragte. Die verdichtete Flüssigkeit floss durch das Schlangenrohr in das zu dem Ende aufserhalb aufgestellte Gefäß. Der Kasten enthielt 2703 Grm. Wasser. So fand Hr. Despretz für die Gesamtwärme die Zahl 631.

Zu einer zweiten Reihe von Versuchen wandte Hr. Despretz ein Calorimeter von weit beträchtlicheren Dimensio-

1) Pogg. Ann. Bd. 55, S. 351.

2) *Ann. de chim. et de phys. T. XXIV. p. 323.*

nen an; denn es enthielt 30 Liter Wasser. Die verdichtete Flüssigkeit blieb auf dem Boden des Schlangenrohrs und konnte genau gewägt werden. Diese Reihe gab eine etwas grössere Zahl als die erste, nämlich 640.

Hr. Brix erörtert in seiner Abhandlung umständlich die Fehlerquellen, welche auf die Resultate der Mengungsmethode einwirken, wenn man sie zur Bestimmung der latenten Wärme der Dämpfe anwendet, und er sucht durch langes Probiren die Summe dieser Fehler möglichst klein zu machen. Allein Hr. Brix hatte hauptsächlich den Zweck, die latenten Wärmen anderer Flüssigkeiten als Wasser zu bestimmen und wahrscheinlich daher hat er seinem Apparat so kleine Dimensionen gegeben ¹⁾. Aber in diesem Fall erlangt die Summe der Berichtigungen nothwendig einen relativ sehr hohen Werth und in Folge dessen wird der gesuchte ~~absolute~~ Werth unsicherer.

Wie dem auch sey: Hr. Brix findet durch seine Versuche für den Wasserdampf dieselbe Zahl 640, welche Hr. Despretz bei seiner zweiten Arbeit erhalten hat.

Aus Vorstehendem ersieht man, dass die von verschiedenen Experimentatoren erhaltenen Zahlen bedeutend von einander abweichen; allein es ist auch zu bemerken, dass die Versuche der HH. Despretz und Brix, die am meisten Zutrauen verdienen, zu einerlei Resultate führen.

Die Mechaniker haben zu ihren Berechnungen meistens die Zahl 650 angewandt.

Die eben aufgezählten Arbeiten hatten nur die Bestimmung der latenten Wärme der Dämpfe unter gewöhnlichem Druck der Atmosphäre zum Zweck. Viel weniger zahlreich und sehr unvollkommen sind die Untersuchungen, welche die Bestimmung desselben Elements unter anderen Drucken zum Ziel hatten.

Watt nahm an, dass die Wärmemenge, welche man einem Kilogramm flüssigen Wassers von 0° zur Verwandlung in Dampf ertheilen muss, unter jedem Druck constant sey, dass mithin diese Menge für jegliche Temperatur des

1) Pogg. Ann. Bd. 55, S. 341.

Dampfs dieselbe sey, sobald sich nur der Dampf im Sättigungszustand befindet.

Dieses, unter dem Namen *des Watt'schen Gesetzes* bekannte Gesetz darf indefs nur als eine Hypothese des berühmten Mechanikers betrachtet werden, denn Watt gründete es nicht auf directe Versuche. Er machte nur einen einzigen Versuch unter geringerem Druck als dem der Atmosphäre und dieser eine Versuch war sehr unvollkommen, wie Watt selber zugab ¹⁾).

¹⁾ Ueber diesen Versuch läßt Watt in der *Mechanical Philosophy* von Robinson *T. II. p. 8.* sich folgendermaßen aus:

Nicht zufrieden mit den Versuchen, die ich 1765 in Glasgow zur Bestimmung der latenten Wärme des Wasserdampfs in großer Eile angestellt hatte, machte ich 1783 andere, die mir aber auch keine genügende Resultate lieferten. Ich werde den angewendeten Apparat und die gemachten Versuche kurz beschreiben, hoffend, daß sie den Personen nützlich seyn können, die sich sorgfältiger mit demselben Gegenstand beschäftigen wollen.

Eine kleine Destillirblase von Weisblech *A* (Fig. 1. Taf. II) umgeben von einem Bad communicirte, mittelst einer Röhre, mit den doppelten Kegeln *B* und *C*, von denen jeder unten eine kleine, durch einen kupfernen Stöpsel verschlossene Oeffnung besaß. Die Röhre hatte in *D* eine Oeffnung, die sich auf dieselbe Weise verschloß. Die konische Oeffnung in *A* wurde durch einen guten Korkstöpsel verschlossen.

In die Blase goß man eine Pinte Wasser und ebenso viel in das Bad; dann stellte man dieses auf einen Ofen und brachte das Wasser zum Sieden. Man ließ den Dampf aus *B* und *C* entweichen, bis alle Luft ausgetrieben war. Alsdann verschloß man die Oeffnung *C* und tauchte sie sogleich ins Wasser, um den Eintritt von Luft zu verhindern. Länger ließ man die Luft aus *B* entweichen und sobald diese Oeffnung verschlossen war, tauchte man sie gleichfalls in das Wasser.

Nun goß man kaltes Wasser in das Bad bis zur gänzlichen Bedeckung der Mündung und ihres Stöpsels, wodurch die Spannung des Dampfs in der Blase und den beiden Doppelkegeln sogleich abnahm.

Dann tauchte man den Doppelkegel *B* in ein Blechgefäß von 6 Zoll Tiefe und $8\frac{3}{4}$ Zoll Durchmesser, das auf 5 Zoll Höhe mit kaltem Wasser gefüllt war. Dieß Wasser wog 62800 Gran. Die Anfangstemperatur betrug $51^{\circ},75$. Die Erkaltung des Recipienten *B* bewirkte die Destillation einer gewissen Menge Wasser, das sich darin verdichtete. Sobald man glaubte, daß eine hinlängliche Menge übergegangen war, nahm man den Stöpsel bei *D* fort, worauf die Luft in den Apparat eintrat und die Destillation unterbrach. Die Temperatur des Wassers im

Southern und Crighton machten 1803 ausgedehntere Versuche, um zugleich die Dichtigkeit des Wasser-

Condensator war auf 61° gestiegen; sie hatte sich also während des Versuchs um $9^{\circ},25$ erhöht. Man nahm den Doppelkegel *B* fort, wogte das darin verdichtete Wasser und bestimmte dessen Temperatur. Diese Temperatur betrug 62° und das verdichtete Wasser wog 534 Gran. Es wurden 6 Gran hinzugefügt, um das den Wänden anhaftende Wasser zu ersetzen; dieß gab im Ganzen 540 Gran. Die Temperatur des Wasserbades betrug zu Anfange des Versuchs 134° und zu Ende desselben 158° ; mithin war im Apparat ein Druck von etwa $\frac{1}{3}$ Atmosphäre zurückgeblieben. Der Versuch dauerte 9 Minuten. Eine Mauer schützte den Refrigerator vor der Wärme des Ofens. Die Temperatur des Saals betrug 58° .

Der Doppelkegel *B* wog 1000 Gran. Seine Temperatur war anfangs 134° und am Schlufs des Versuchs 62° ; Unterschied: 72° . Die Dichte des Weifsblechs beträgt 7,5; der Doppelkegel, dessen Volum $\frac{1000}{7,5}$ betrug, entsprach 134,6 Gran Wasser und da seine spec. Wärme etwa 0,75 war, so betrug sein Wasserwerth 101 Gran. Da diese Wärme nicht von dem im Kegel verdichteten Dampf geliefert wurde, so mußte man sie abziehen von der vom Kühlwasser erlangten Wärme, oder, was auf dasselbe hinauslief, man mußte vom Gewichte dieses Wassers 101 Gran abziehen. So hatte man:

Gewicht des Wassers im Abkühler	62800 Gran
Davon 101, als Wasserwerth des Kegels	101 „
Rest	62699 „

Zu dieser Zahl muß man die vom Abkühler absorbirte Wärme addiren. Dieser war ein Blechgefäß von $24\frac{1}{2}$ Unzen Gewicht; zieht man für den benächsten Theil $4\frac{1}{2}$ Unzen ab, so bleiben 20, deren Volum 1320 Gran Wasser ist; da seine Wärmecapacität $\frac{3}{4}$ ist, so beträgt sein Wasserwerth 980.

Gesamtwgewicht des erwärmten Wassers	63679 Gran
multiplicirt mit $9^{\circ},25$, der erlangten Wärme . . .	589030,75 „
und dividirt durch 540 Gran, das Gewicht des condensirten Dampfs	1090,79 „
Zurückgehaltene Wärme	62 „
Summe der sensibl. und latent. Wärme	1152,79 „
Abgezogen die sensible Wärme des Dampfs	146,0 „
Bleibt für die latente Wärme	1006,79 „

Ich habe schon gesagt, daß ich keineswegs befriedigt bin von dem Resultat dieses Versuchs. Es wurde eine große Anzahl von Elementen annähernd geschätzt, die eine directe Bestimmung durch den Versuch erfordern hätten.

dampfs bei Sättigung unter verschiedenem Druck und die latente Wärme desselben unter denselben Umständen zu bestimmen. Die Beobachtungen sind niedergelegt in einem an Watt gerichteten Brief, der in Robinson's *Mechanical Philosophy T. II. p. 160* enthalten ist. Untenstehende Note enthält eine Uebersetzung dieses Briefes ¹).

1) Die Versuche von Southern und Crighton wurden 1803 angestellt, hauptsächlich um die Dichtigkeit des Dampfs unter verschiedenen Drucken, größer als dem der Atmosphäre zu bestimmen. Man bediente sich dazu eines zu anderen Zwecken construirten Apparats, der aber für diesen Gegenstand, so wie für die Bestimmung der latenten Wärme des Dampfs sehr geeignet schien.

Die zu diesen Versuchen angewandten Thermometer waren mit der größten Sorgfalt construirte und graduirt; die Röhren waren genau calibrirt und den Siedpunkt hatte man bei beiden nach der im Jahre 1777 von der Commission der K. Gesellschaft gegebenen Vorschrift bestimmt (d. h. Kugeln und Stiele waren im Dampf, als das Barometer auf 29,8 Zoll stand; dies giebt die Temperatur, welche man 212° F. nennt); bei allen Versuchen brachte man die Kugel und den mit Quecksilber erfüllten Theil des Stiels in den Dampf oder das Wasser, dessen Temperatur man aufzeichnen wollte. Um das Thermometer in den Dampf zu bringen, schob man es durch eine Stopfbüchse oder ein wohl zusammengeschnürtes Halsband, so daß das Quecksilber etwas über die Wand des Gefäßes hervorragte.

Ein Cylinder von 3,16 Zoll Durchmesser war mitten in den Dampf gebracht. Der Dampf, welcher diesen Cylinder füllte, wurde ausgetrieben mittelst eines 18 Zoll langen und 0,86 Zoll dicken Kolbens, dessen Bewegung durch Drehung einer Handhabe regulirt wurde. Beim Hinabgehen verringerte der Kolben die Capacität des Cylinders und die Dampfmenge, die bei jedem Kolbengang zum Cylinder hinaustrat, konnte man dem eingesenkten Theil des Kolbens d. h. 130,7 Kubikzoll als gleich betrachten. Da indess der Kolben nicht hoch genug stieg um die obere Deckplatte des Cylinders zu berühren, also unvermeidlich ein Raum zwischen dem Ventil und dem Cylinder blieb, so nahm man denselben in Rechnung, setzte ihn auf 1,7 Kubikzoll. Wäre die Spannkraft des Dampfs immer gleich der der Atmosphäre gewesen, so würde man den 130,7 Kubikzoll nichts hinzuzusetzen gehabt haben. Allein bei den erwähnten drei Versuchen war die Spannkraft um $\frac{1}{3}$, $\frac{5}{3}$ und $\frac{9}{3}$ größer als der atmosphärische Druck gewesen. Man muß also hinzufügen:

Beim 1. Versuch	. .	$1,7 \times \frac{1}{3} = 0,57$,	was giebt	131,27	Kubikzoll
„ 2. „	. .	$1,7 \times \frac{5}{3} = 2,83$,	„ „	133,53	„
„ 3. „	. .	$1,7 \times \frac{9}{3} = 5,1$	„ „	135,80	„

Bei einer ersten Reihe von Versuchen fand Southern für die latente Wärme des Wasserdampfs die Zahlen

515,5 unter dem Druck 1016^m

541,1 „ „ „ 2032

534,0 „ „ „ 3048.

für die bei jedem Kolbenhub ausgetriebene Dampfmenge. Die Anzahl der Kolbenhübe, welche einen Kubikfuß austreiben würden, ist demnach:

beim ersten Versuch	13,164
„ zweiten „	12,941
„ dritten „	12,724

Nachdem der Dampf ein Ventil gehoben hatte, trat er zum Cylinder hinaus durch ein eisernes Rohr, an welchem ein kupfernes safs, das am Ende gekrümmt war und in einen Behälter mit Wasser tauchte. Dieser Behälter war von Holz, innen und aussen weiß angestrichen, etwa 30 Zoll breit und 26 Zoll tief. Die in denselben gebrachte Menge kalten Wassers war durch Wägung bestimmt worden, und die Zunahme, die sie während des Versuchs erfuhr, gab das Gewicht des verdichteten Dampfs.

Die Spannkraft des Dampfs bestimmte sich durch die Höhe der Quecksilbersäule, die ihr in einem Quecksilbermanometer das Gleichgewicht hielt, und die Zahl der Kolbenhübe wurde durch einen Zähler gemessen.

Die Data dieser Versuche sind in folgender Tafel zusammengestellt:

Nummer des Versuchs	I.	II.	III.
Dauer des Versuchs	121',75	51',5	38',25
Gesamtzahl der Kolbenhübe	5154	2434	1599
Zahl pro Minute	42,3	41,4	41,8
Gewicht d. Wassers im Behälter, anfangs	721,75 Pfd.	722 Pfd.	722 Pfd.
Temperatur des Wassers	45°,66	48	48
Gew. d. verdichteten Dampfs	20,25 Pfd.	20,0	19,45
Temp. d. Wassers i. Behält., zuletzt	76°	80°,25	79°,75
Temperaturanwuchs	30°,33	32°,25	31°,75
Spannung des Dampfs	40"	80"	120"
Temperatur desselben	229°	270°	295°

Dividirt man die bei jedem Versuch beobachtete Anzahl von Kolbenhüben durch die Zahl, welche bei jedem Versuch die zur Lieferung von einem Kubikfuß Dampf erforderliche Menge von Kolbenhüben vorstellt, so erhält man die Anzahl der ausgetriebenen Kubikfüsse Dampf. Diese Zahlen sind:

Bei einer zweiten Reihe, welche er für genauer als die erste hielt, fand er

523,3	unter dem Druck von 1016 ^m
523,3	„ „ „ von 2032
527,7	„ „ „ von 3048.

$$\text{Beim ersten Versuch} \quad \frac{5154}{13,164} = 391,53$$

$$\text{Beim zweiten Versuch} \quad \frac{2434}{12,941} = 188,09$$

$$\text{Beim dritten Versuch} \quad \frac{1599}{12,724} = 125,66$$

Multiplieirt man das Gewicht des bei jedem Versuch aus der Condensation des Dampfs entstandenen Wassers durch 27,65, d. h. durch die Zahl von Kubikzollen Wasser, die ein Pfund wiegen, und dividirt man hierauf das Product durch die Zahl von Kubikfussen verdichteten Dampfs, so hat man als Quotienten die Zahl von Kubikzollén Wasser, die zur Bildung eines Kubikfusses Dampfs nöthig sind; folglich hat man auch die relativen Dichtigkeiten des Dampfs.

So sind zur Bildung eines Kubikfusses Dampf erforderlichlich

$$\frac{20,25 \times 27,65}{391,53} = 1,430 \text{ Kubikzoll Wasser}$$

$$\frac{20,00 \times 27,65}{188,09} = 2,940 \text{ Kubikzoll Wasser}$$

$$\frac{19,45 \times 27,65}{125,66} = 4,279 \text{ Kubikzoll Wasser}$$

Quantitäten, die sich zu einander verhalten wie 40 : 82,24 : 119,70, während die entsprechenden Spannkkräfte im Verhältnisse 40 : 80 : 120 stehen.

Die Resultate scheinen also zu dem Schlufs zu führen: *Die Dichtigkeit des Wasserdampfs ist, wenn nicht genau, doch wenigstens beinahe, proportional der Spannung desselben.* Jedenfalls kann man behaupten, dafs dem innerhalb der Gränzen der Versuche so sey.

Die drei eben beigebrachten Versuche können dazu dienen, die latente Wärme des Dampfs in den drei Fällen zu berechnen.

Seyen: W das Gewicht des kalten Wassers, T dessen Temperatur, w das Gewicht des verdichteten Dampfs, t die Temperatur des erhitzten Wassers zu Ende des Versuchs, und x die Summe der latenten und sensiblen Wärme des verdichteten Dampfs, so haben wir

$$x = \frac{(W + w)t - WT}{w}$$

Aus diesen Versuchen schloß Southern, *dafs die latente Verdampfungswärme, d. h. die beim Uebergange aus*

Dadurch erhält man für die drei Versuche:

für den ersten $x = 1157^{\circ}$

für den zweiten $x = 1244^{\circ}$

für den dritten $x = 1256^{\circ}$

und wenn man die Temperaturen des Dampfs davon abzieht:

im ersten Versuch $1157 - 229 = 928$

im zweiten Versuch $1244 - 270 = 974$

im dritten Versuch $1256 - 295 = 961.$

Um die latente Wärme des Dampfs unter denselben Drucken zu bestimmen, d. h. unter den Drucken von 40, 80 und 120 Zoll Quecksilber, wurden drei neue Versuche gemacht. Man wandte dabei denselben Dampferzeuger an wie bei den früheren Versuchen, und an dem Ende einer an diesem Erzeuger sitzenden eisernen Röhre befestigte man ein kleines Kupferrohr von etwa $\frac{5}{8}$ Zoll Durchmesser, das so gebogen war, dafs es 1 bis 2 Zoll tief in das Kühlwasser tauchte. Diefs Rohr endigte in einer dicken Kupferscheibe mit einem runden Loch von 0,058 Zoll Durchmesser, durch welches der Dampf aus dem Kessel in das kalte Wasser trat. Das Wasser, welches zur Absorption der aus der Verdichtung des Dampfs herrührenden Wärme bestimmt war, befand sich in einem 3,77 Pfund schweren Blechgefäfs, das in seiner Wärmecapacität $\frac{1}{2}$ Pfund Wasser entsprach. Das in dieses Gefäfs gebrachte Wasser wog 28 Pfund.

Die folgende Tafel enthält die Elemente dieser Versuche:

No. des Versuchs.	Dauer des Versuchs.	Gew. d. kalt. Wassers. Pfd.	Temp. dieses Wassers. F ^o .	Endtemperatur. F ^o .	Temperaturzunahme. F ^o .	Gew. des verdicht. Wassers. Pfd.	Temp. des Dampfs. F ^o .	Spannung d. Dampfs. Zoll.
1	12' 45"	28,5	48 ^o	80 ^o	32 ^o	0,878	229 ^o	40
2	5 50	28,5	48	81 $\frac{1}{3}$	33 $\frac{1}{3}$	0,857	270	80
3	4 0	28,5	47 $\frac{3}{4}$	81	33 $\frac{1}{4}$	0,826	295	120

Daraus ergibt sich die Summe der latenten und sensiblen Wärme (S) und die latente Wärme (L):

	S .	L .
1 . . .	1119	890
2 . . .	1190	920
3 . . .	1228	933

Diese Zahlen sind nicht ganz genau, weil das Blechgefäfs eine bedeutende Wärmemenge an die umgebende Luft abtrat. Man suchte

dem flüssigen in den gasigen Zustand absorbirte Wärme, für alle Drucke constant sey, und dafs man die gesammte Wärme erhalte, wenn man die Zahl, welche die Temperatur des Dampfes vorstellt, zu der constanten latenten Wärme addire.

Dieses Gesetz ist den Physikern unter dem Namen des Southern'schen bekannt.

Clément und Desormes machten i. J. 1819 neue Versuche über diesen Gegenstand. Sie bedienten sich eines grossen Dampfkessels, in welchem sie das Wasser unter verschiedenem Druck zum Sieden bringen konnten, und sie liessen bei jedem Versuch gleiche Mengen Dampf in einem Abkühler verdichten, der eine gleiche Menge kalten Wassers von gleicher Temperatur enthielt. So fanden sie, dafs das Wasser des Abkühlers am Ende eines jeden Versuchs eine gleiche Endtemperatur annahm, unter was für einem Druck der Dampf auch gebildet worden war. Die Ver-

diese Wärmemenge durch directe Versuche zu ermitteln. Man fand, dafs, wenn das Wasser eine Temperatur von 80° hatte, der Verlust 1° in 5 Minuten betrug, dafs, wenn das Wasser nur 60° besafs, zu 1° Erkaltung 10,5 Minuten erforderlich waren. Folglich hatte bei einer mittleren Temperatur von 65° ein Verlust von 1° in 8' statt; und da der Ueberschufs der Temperatur über die der umgebenden Luft zu Anfang und zu Ende beinahe gleich war bei den drei Versuchen, so konnte man annehmen, dafs der Temperaturverlust proportional war der Dauer eines jeden. Somit mufts man den Endtemperaturen hinzufügen:

beim ersten Versuch . . .	$1\frac{5}{8}$ Grad
beim zweiten Versuch . . .	$\frac{3}{4}$ „
beim dritten Versuch . . .	$\frac{1}{2}$ „

Sodann findet man

	S.	L.
1 . . .	1171 . . .	942
2 . . .	1212 . . .	942
3 . . .	1245 . . .	950

Es ist wichtig zu bemerken, dafs bei der ersten Reihe von Versuchen nicht Rücksicht genommen ward auf die vom Gefafs verlorne Wärme; diese Wärme mufts beträchtlich seyn, vor allem beim ersten Versuch, der mehr als 2 Stunden dauerte. Daher ist die von diesem ersten Versuch gelieferte Zahl nothwendig zu klein.

Versuche von Clément und Desormes bestätigten also das Watt'sche Gesetz.

Die Arbeit dieser Physiker ist nur bekannt durch einen Auszug, den Thenard von einem derselben mitgetheilt erhalten und in seinem *Traité, T. I, p. 78* veröffentlicht hat. Man findet diesen Auszug in untenstehender Note ¹).

Um das Geschichtliche der Untersuchungen, die zur di-

- 1) Die Versuche von Clément und Desormes wurden folgendermaßen angestellt. Sie besaßen einen großen Dampfkessel, in welchem sie den Dampf eine Spannung von mehreren Atmosphären annehmen lassen konnten. Ein Kupferrohr leitete den Dampf, wenn man diesem durch Öffnen eines Hahnes Austritt gab, in eine Wanne, die eine Masse von 290 Kilogramm kalten Wassers enthielt. Ein Manometer auf der den Dampf leitenden Röhre zeigte die Spannung desselben an, gleich wie ein Thermometer dessen Temperatur.

Bei einem ersten Versuch besaß der Dampf eine Spannung von 4 Atmosphären und eine Temperatur von $152^{\circ},5$. Man ließ 14,5 Kilogramm Dampf in das kalte Wasser treten. Die dazu erforderliche Zeit betrug nur zwei Minuten. Die Temperatur des Wassers war anfangs 20° und zuletzt $49^{\circ},25$.

Die Wärmemenge wird demnach vorgestellt

vor dem Versuch durch 290 Kilogramm. zu 20°	=	5800	Einheiten
nach dem Versuch durch 304,5 „ „ $49^{\circ},25$	=	14972	„
folglich haben die 14,5 Kilogramm. hinzugefügt		9172	„
folglich hat ein Kilogramm. hinzugefügt		632	„

Diesem unmittelbaren Resultat des Versuchs glaubte man Einiges für die dabei stattgefundenen Wärmeverluste hinzuzufügen zu müssen. Aber der Versuch war so kurz, daß Clément und Desormes glaubten ein Maximum anzunehmen, wenn sie die ein Kilogramm Dampf bildende Wärmemenge auf 650 Einheiten setzten, dabei als Wärme-Einheit diejenige betrachtet, die ein Kilogramm Wasser um einen Centesimalgrad erwärmt.

Derselbe Versuch, mit derselben Dampfmenge, in demselben Apparat, an demselben Tage, mit derselben Menge kalten Wassers und unter ganz ähnlichen Umständen wiederholt, nur daß der Dampf andere Spannungen und andere Temperaturen hatte, derselbe Versuch, sagen wir, gab genau dasselbe Resultat. Es war viel leichter die Aehnlichkeit als etwa vorhandene Unterschiede zu bemerken, und dies Resultat ist vielleicht durch diesen Umstand besser außer Zweifel gesetzt als durch die Größe des Apparats und die auf die Ausführung dieses sonderbaren Versuchs verwandte Sorgfalt.

recten Lösung der uns beschäftigenden Aufgabe gemacht worden sind, zu vervollständigen, bleibt mir noch zu sagen, das Hr. Despretz in seinem *Traité de physique Edit. IV. p. 212* angiebt, er habe zur Bestimmung der latenten Wärme des Wasserdampfs unter großen Drucken einige Versuche gemacht, sey aber durch die Schwierigkeit Apparate zu construiren, die diese Drucke ausgehalten hätten, darin gehemmt worden, glaubé nichtsdestoweniger aus seinen Versuchen schliessen zu können, das die gesammte Wärme des Dampfs eine mit der Temperatur zunehmende sey. Dulong würde seinerseits zu einem ähnlichen Schluss gelangt seyn. (Lamé, *Cours de physique Edit. I. p. 487.*)

Die Mechaniker haben meistens das Watt'sche Gesetz angenommen, da es bei den Rechnungen sehr bequem ist, und überdiess durch die praktische Beobachtung bestätigt zu werden scheint, das man zur Erzeugung eines Kilogramm Dampfs unter niedrigem und unter hohem Druck fast dieselbe Menge von Brennmaterial gebraucht.

Hr. de Pambour (*Traité des Locomotives etc. Edit. II. chap. II et VII*) findet eine Bestätigung des Watt'schen Gesetzes in den Versuchen, die er mit einer Locomotive angestellt. Dieser geschickte Mechaniker hat beobachtet, das der Dampf, welcher im Kessel unter einem von 2,7 bis 4,4 Atmosphären gehenden absoluten Druck gebildet worden und unter einem von 1,40 bis 1,03 Atmosphären reichenden absoluten Druck in die Atmosphäre entweicht, bei seinem Austreten genau dieselbe Temperatur besitzt, wie wenn er im Sättigungszustand wäre. Dieser Umstand stimmt mit dem Watt'schen Gesetz, während nach dem Southern'schen Gesetz der Dampf mit einer höheren Temperatur austreten müfste, die, theoretisch genommen, dieselbe seyn würde wie die, welche der Dampf im Kessel besitzt. Sollen indess die Schlüsse des Hrn. de Pambour strenge seyn, mufs man annehmen, das der Dampf auf seinem Durchgang durch die Maschine keine Erkaltung erleide: eine, selbst bei den Einrichtungen einer Locomotive schwer zu verwirklichende Bedingung. Ueberdiess mufs

man voraussetzen, daß der Dampf vollkommen trocken, ohne Mitschleppung flüssiger Theilchen, in die Maschine gelange, was eine sehr schwer zu erfüllende Bedingung ist, besonders, wegen des raschen Spiels der Kolben bei einer Locomotive. Es bedarf nur der Gegenwart einer geringen Menge flüssigen Wassers, um die Erkaltung des Dampfes und den permanenten Sättigungszustand desselben zu erklären, selbst wenn das Southern'sche Gesetz das wahre wäre.

Endlich haben mehre Physiker, gestützt auf mehr oder weniger sinureiche physikalische oder mechanische Betrachtungen, die Richtigkeit des Watt'schen oder Southern'schen Gesetzes *a priori* zu erweisen gesucht. Ich werde mich nicht dabei aufhalten diese Speculationen hier zu discutiren, da sie immer auf bestreitbaren Grundsätzen beruhen; es ist offenbar, daß die uns beschäftigende Aufgabe, nur durch directe Versuche entschieden werden kann und der eben gegebene geschichtliche Abrifs der bisher unternommenen zeigt genügend, daß sie bei weitem nicht zu deren Lösung hinreichen.

Vor der Beschreibung der Apparate, die ich zur Bestimmung der latenten Wärme des Wasserdampfs unter verschiedenem Druck anwandte, scheint es mir zweckmäßig etwas bei der Mengungsmethode zu verweilen, um deren Fehlerquellen und die zu vermeidende Unsicherheit nachzuweisen; dadurch wird man den Zweck der von mir getroffenen Einrichtungen leichter begreifen.

Der Apparat, mittelst dessen man die latente Wärme der Dämpfe nach der Mengungsmethode bestimmt, besteht wesentlich aus einer Retorte *A* (Fig. 2. Taf II.), welche die auf ihre latente Verdampfungswärme zu untersuchende Flüssigkeit enthält, und aus einem Calorimeter *C* mit darin befindlichem Schlangenrohr, in welchem sich die verdampfte Flüssigkeit verdichtet. Die Retorte communicirt mit dem Schlangenrohr durch einen in *b* gekrümmten Hals *abc*. Dieser Hals besteht aus einem vorderen aufsteigenden Theil *ab*, so eingerichtet, daß der darin sich verdichtende Dampf

in den Kessel zurückfließt, und aus einem herabsteigenden sehr kurzen Theil bc , welcher in das Schlangenrohr reicht. Die Richtung ändert sich bei b plötzlich; aller jenseits b sich verdichtende Dampf begiebt sich in das Schlangenrohr und überläßt, wie angenommen wird, seine latente Wärme dem Calorimeter. Die verdichtete Flüssigkeit bleibt in der unter dem Schlangenrohr befindlichen Büchse B , und man läßt sie am Schlusse des Versuches ausfließen, um ihr Gewicht zu bestimmen.

Seyen nun: p das Gewicht der im Schlangenrohr verdichteten Flüssigkeit; — P das Gewicht des Wassers im Calorimeter vermehrt um das Wassergewicht, welches, hinsichtlich seiner Wärme-Capacität, dem Calorimeter und dem Schlangenrohr gleichkommt; — t_0 die Anfangstemperatur des Wassers im Calorimeter; — t_1 dessen Endtemperatur; — T die Temperatur des Dampfs; — c die specifische Wärme der Flüssigkeit, die des Wassers zur Einheit genommen; — λ die latente Wärme des Dampfs;
so haben wir

$$p\lambda + pc(T - t_1) = P(t_1 - t_0)$$

woraus

$$\lambda = \frac{P(t_1 - t_0) - pc(T - t_1)}{p}$$

Dieser Ausdruck bedarf mehrer Berichtigungen, um wirklich die gesuchte latente Wärme zu geben:

1. Die Destillation erfordert immer eine ziemlich lange Zeit und während defs verliert das Calorimeter durch Strahlung und durch Berührung mit der umgebenden Luft eine gewisse Menge Wärme. Die Endtemperatur t_1 findet sich also immer niedriger als sie gewesen wäre, wenn dieser Wärmeverlust nicht stattgefunden hätte.

Zur Entfernung dieser Unsicherheitsquelle hat Rumford vorgeschlagen, das Wasser des Calorimeters von einer Anfangstemperatur zu nehmen, die einige Grade unter der Temperatur der umgebenden Luft liegt, und den Dampf so lange hinüber zu leiten bis die Temperatur dieses Wassers um eben so viel Grade die Temperatur der Luft über-

trifft als sie zuvor darunter lag. Auf diese Weise verringert man den absoluten Werth der Berichtigung beträchtlich, aber man bringt ihn nicht gänzlich zum Verschwinden. Die in den beiden Hälften des Versuchs verlorenen oder gewonnenen Wärmemengen würden vielleicht gleich seyn, wenn die Erwärmung oder Erkaltung alleinig auf dem Wege der Strahlung erfolgt wäre; allein in Wahrheit sind sie ungleich, wenn man den Versuch in der Luft und besonders in einer bewegten anstellt. Ueberdies kann man in das Calorimeter nur selten ein gegen die Umgebung um 5 bis 6° in seiner Temperatur niedrigeres Wasser anwenden, ohne eine Bethauung des Calorimeters auf seiner Oberfläche zu veranlassen. Dieser Thau ist, da er im Laufe des Versuchs erst später verdampft, eine neue Ursache zur Störung.

Gewöhnlich bestimmt man diese Berichtigung durch den Calcul, indem man auf die Erkaltung des Gefäßes das Newton'sche Gesetz anwendet, d. h. voraussetzt, die Erkaltungsgeschwindigkeit des Gefäßes sey proportional dem Ueberschuss seiner Temperatur über die der Umgebung. Bezeichnet man mit τ die Temperatur des umgebenden Mittels, mit t die veränderliche Temperatur des Calorimeters und mit x die Zeit, so hat man:

$$\frac{dt}{dx} = -A(t - \tau)$$

Die Constante A wird durch directe Versuche über die Erkaltung des Apparats bestimmt.

Zerfällt man die Dauer des Versuchs in Elemente $\Delta x = 1'$, so kann man annehmen, t sey constant und gleich seinem mittleren Werth in n Minuten. Der Werth der Berichtigung ist dann

$$\sum \Delta t = -A(t - \tau)n \Delta x.$$

Vielleicht gäbe das Newton'sche Gesetz diese Berichtigung mit hinlänglicher Genauigkeit, wenn die Erkaltung im Vacuo geschähe, oder wenigstens in einer nicht sehr bewegten Luft; allein in einer bewegten Luft wird sie unrichtig, vor allem in einer, die zu verschiedenen Momen-

ten des Versuchs sehr verschieden bewegt wird. Es wird sogar sehr schwierig zu wissen, welchen Werth von τ man für die Temperatur der äußeren Luft annehmen müsse.

Ich kenne kein Mittel diese Berichtigung mit Genauigkeit auszuführen und es ist zweckmäßig den Versuch so einzurichten, daß die Berichtigung möglichst klein werde. Der sicherste Weg dahin zu gelangen, besteht darin, dem Apparat beträchtliche Dimensionen zu geben. Man verlangsamt auch die Erkaltungsgeschwindigkeit des Calorimeters, wenn man dasselbe in ein zweites sehr dünnwandiges Metallgefäß stellt, welches inwendig mit zerzupfter Baumwolle oder Schwandaunen ausgefüllt ist.

2. Eine zweite noch unsichrere Berichtigung entspringt daraus, daß der Hals, welcher den Dampf in das Schlangengerohr leitet, ihm zu gleicher Zeit ebenfalls eine gewisse Wärmemenge durch innere Leitungsfähigkeit zuführt. Bei der gewöhnlichen Operationsweise ist es unmöglich, diese Berichtigung mit einiger Sicherheit zu bestimmen.

Die störende Wärmemenge, die somit herbeigeführt wird, verändert sich mit der Lage des Knies b am Halse. Vom Theil ab des Halses kann angenommen werden, er werde erhitzt durch den Theil des Dampfes, welcher sich längs seinen Wänden verdichtet, und in die Retorte zurückfließt. Vorausgesetzt nun, kein Dampftheilchen überschreite die Ebene $\alpha\beta$, welche durch b geht, so würde dennoch das Calorimeter eine gewisse Wärmemenge erhalten die ihm durch innere Leitungsfähigkeit längs der Röhre bc zukäme.

Offenbar wird diese Wärmeportion ein Maximum seyn, wenn das Knie b sich dicht am Eintritt in das Calorimeter befindet; dagegen wird sie abnehmen in dem Maasse als man bc länger macht; sie wird auch abnehmen, wenn man den Hals bc aus einer die Wärme schlecht leitenden Substanz verfertigt.

Wenn aber bc eine merkliche Länge hat, kommt eine Fehlerquelle hinzu, die im entgegengesetzten Sinne wie die erste wirkt. Jede Dampfportion, welche die Gränze $\alpha\beta$

überschreitet, wird als wirkend auf das Calorimeter angesehen. Allein ein Theil der Wärme, welcher dieser Dampf auf seinem Wege in dem Halse *bc* abgiebt, geht durch Strahlung und durch Contact mit der äusseren kalten Luft verloren. Dieser Wärmeverlust ist um so grösser, je länger der Theil *bc* der Röhre ist. Man begreift also leicht, das es bei jedem mit einer bestimmten Flüssigkeit gemachten Versuch eine solche Lage des Halses *b* giebt, das der aus der ersten Quelle entspringende Wärmegewinn, und der von der zweiten herrührende Wärmeverlust einander compensiren; allein es hält schwer, diese Lage *a priori* zu bestimmen.

3. Der Dampf, welcher in das Calorimeter dringt, schleppt nothwendigerweise flüssige Theilchen mit sich. Selbst angenommen, der Dampf wäre im Kessel vollkommen trocken, wird er doch am Ort des Eintritts in den Hals *ab* und bei Durchstreichung desselben nothwendig eine Erkaltung erleiden, welche veranlasst, das ein Theil des Dampfs in den flüssigen Zustand übergeht. Der grössere Theil dieser Flüssigkeit fliesst längs den Wänden in den Kessel zurück; allein ein beträchtlicher Theil bleibt in Nebelgestalt und wird durch den gasigen Strom zum Calorimeter hineingeführt.

Der eben bezeichnete Uebelstand zeigt sich besonders zu Anfang und zu Ende des Versuchs. Zu Anfang ist noch viel Luft in der Retorte und diese Luft wird durch den sich entwickelnden Dampf ausgetrieben; allein in dem sie durch das Schlangenrohr entweicht, führt sie nothwendig eine gewisse Menge von darin sich verdichtendem Dampf mit fort. Die durch diese Verdichtung gelieferte Wärme wird nicht in Rechnung gezogen, weil man die Anfangstemperatur t_0 erst in dem Moment aufzuzeichnen beginnt, da die Destillation sehr kräftig geworden ist. Ueberdies ist in den ersten Augenblicken der Destillation das Rohr *ab* noch nicht sehr heiss; es findet darin eine reichliche Verdichtung von Dampf statt und nothwendig wird viel Flüssigkeit hineingerissen. Gewöhnlich bricht man den Versuch dadurch

ab, dafs man das unter dem Kessel befindliche Feuer entfernt; allein die Destillation hört nicht augenblicks auf, sie wird nur allmählig schwächer und in den letzten Momenten der Destillation treten analoge Störungen ein, wie sie zu Anfange statthatten.

4. Bei den Versuchen zur Bestimmung der latenten Wärme des Dampfs unter beträchtlicheren Drucken als dem der Atmosphäre, entwickelt sich der Dampf im Kessel unter hohem Druck; allein so wie dieser Dampf aus dem Kessel in das zum Calorimeter führende Rohr tritt, sinkt sein Druck auf den der Atmosphäre herab. Schwer zu sagen ist aber, was bei dieser ungeheuren Ausdehnung des Dampfs vorgeht. Es kann dabei ein bedeutender Wärmeverlust stattfinden, besonders wenn das Leitrohr eine grofse Länge hat, wie das unvermeidlich der Fall ist, wenn man zu diesem Versuch den Kessel einer Dampfmaschine benutzt.

Es scheint mir durchaus nothwendig, dafs der Dampf bis in das Schlangenrohr mit der Spannkraft fortgeführt werde, die er im Kessel besitzt.

5. Das im Kasten *B* des Schlangenrohrs aufgefangene Wasser besitzt nicht genau einerlei Temperatur mit dem das Calorimeter umgebenden Wasser, im Moment, wo man die Temperatur des letzteren aufzeichnet. Sind die Versuche blofs unter dem Druck der Atmosphäre gemacht, so läfst sich der Temperatur-Unterschied ziemlich genau schätzen durch Angabe eines kleinen Thermometers, dessen Behälter in die Mitte des Kastens *B* gebracht ist; allein dieses Mittel ist nicht mehr anwendbar, wenn die Verdichtung des Dampfs unter hohem Druck geschieht.

(Fortsetzung im nächsten Heft.)

V. *Ueber die Trennung der Phosphorsäure von den Basen überhaupt, und besonders von der Thonerde; von Heinrich Rose.*

Seit längerer Zeit war es mein Bemühen, eine Methode aufzufinden, durch welche man in Mengungen von phosphorsauren Salzen, die jedwede Modification der Phosphorsäure enthalten, diese Säure so abscheiden kann, daß sie nicht nur mit großer Genauigkeit ihrer Menge nach zu bestimmen ist, sondern daß man nach Abscheidung derselben, auch die Basen genau, leicht und ohne durch die Abscheidungsmittel der Phosphorsäure verunreinigt zu werden, zu unterscheiden im Stande ist.

Dieses Bemühen glückte mir nur zum Theil, indem es nach einer von mir vorgeschlagenen Methode nur gelang die starken Basen, oder diejenigen, deren neutrale salpetersauren Verbindungen durch die Kochhitze des Wassers nicht zersetzt werden, von der Phosphorsäure vollkommen zu trennen, während schwache Basen, namentlich Eisenoxyd und Thonerde, nach dieser Methode von der Phosphorsäure nur zum Theil und gewöhnlich nur zum kleinsten Theile geschieden werden konnten ¹).

Die Modification, welche die von mir vorgeschlagene Methode bei Anwesenheit von Eisenoxyd erleiden muß, ist keine bedeutende, und durch die Anwesenheit dieser Base bleibt der Gang der Untersuchung im Allgemeinen derselbe, indem der Theil des Eisenoxyds, welcher gemeinschaftlich mit der Phosphorsäure gewonnen wird, leicht von derselben durch Schmelzen mit kohlensaurem Alkali getrennt werden kann.

Durch die Gegenwart der Thonerde hingegen vermehren sich bei Anwendung der von mir vorgeschlagenen Methode die Schwierigkeiten so, daß sie nicht mehr anwendbar ist, und ein anderer Gang der Untersuchung eingeschlagen werden muß.

1) Pogg. Ann. Bd. 76, S. 252.

Bei vielen Untersuchungen phosphorsaurer Verbindungen, namentlich bei denen der Asche organischer Substanzen, kommt Thonerde nicht vor, denn bis jetzt hat man noch nicht mit Sicherheit Thonerde in den Vegetabilien und in den animalischen Körpern gefunden. Bei der Analyse dieser Verbindungen kann daher mit Vorthail die früher von mir vorgeschlagene Methode angewandt werden.

In mehreren Gebirgsarten hingegen finden sich Einmengungen von phosphorsauren Salzen, die man bisher bei den Untersuchungen fast immer übersehen hat. Schon vor langer Zeit machte mich mein Bruder darauf aufmerksam, dafs man in vielen Basalten eine deutliche Einmischung von Apatit bemerken kann, und dafs dieses Mineral überhaupt weit mehr verbreitet sey, als man es bisher angenommen hat. Unstreitig mag die grofse Fruchtbarkeit eines Bodens, der aus verwittertem Basalte besteht, von dieser Einmischung des Apatits herrühren.

Wird ein solcher Basalt im fein gepulverten Zustande mit einer verdünnten Säure behandelt, so löst diese, unter Zurücklassung von Kieselsäure und von dem durch Säuren nicht zersetzbarem Theile der Basalte, den Apatit auf, nebst den in Säuren auflösllichen Bestandtheilen des zersetzten zeolithartigen Minerals, unter welchen sich immer Thonerde befindet.

Man kann jetzt mittelst des molybdänsauren Ammoniaks mit Leichtigkeit die saure Auflösung auf einen Gehalt von Phosphorsäure prüfen, um bei der quantitativen Untersuchung dieselbe, auch wenn sie in sehr kleiner Menge vorhanden seyn sollte, nicht zu übersehen.

Diese quantitative Bestimmung hat aber ihre Schwierigkeiten. Wenn das Mineral durch verdünnte Salpetersäure zersetzt worden ist, so wäre bei Abwesenheit von Thonerde der einfachste Gang der Untersuchung der, die Basen durch metallisches Quecksilber von der Phosphorsäure auf die Weise abzuscheiden, wie ich dies früher gezeigt habe. Selbst kleine Mengen von Phosphorsäure würde man nach dieser Methode mit Sicherheit bestimmen können.

Da aber Thonerde ein fast nie fehlender Bestandtheil in dem durch Säuren zersetzbaren zeolithartigen Theile der Basalte und anderer Gebirgsarten ist, so kann die angeführte Methode der Untersuchung nicht angewendet werden. Wenn die salpetersaure Auflösung des Minerals mit metallischem Quecksilber im Wasserbade abgedampft und die trockne Masse mit Wasser behandelt wird, so löst sich, während die Phosphorsäure, mit Quecksilberoxydul verbunden, so wie eine gewisse Menge von Thonerde und von Eisenoxyd ungelöst zurückbleibt, ein großer Theil der Thonerde gemeinschaftlich mit den starken Basen auf. Die Auflösung ist trübe und wird nicht klar durch Filtriren, sie enthält deshalb Phosphorsäure. Wenn man daher, wie auch bei Gegenwart von Eisenoxyd, darauf rechnen muß, die Thonerde weder ganz mit den starken Basen, noch in den unlöslichen Quecksilbersalzen zu erhalten, so ist es doch nicht anzurathen, die Untersuchung weiter fortzusetzen, weil sich mit den unlöslichen Quecksilbersalzen nicht vollkommen die ganze Menge der Phosphorsäure abgeschieden hat.

Es wurde zu der trüben Flüssigkeit Chlorammonium hinzugefügt. Die Flüssigkeit liefs sich jetzt vollkommen klar filtriren; das Filtrat gab mit Schwefelwasserstoffgas noch eine Fällung von Schwefelquecksilber, aber die von demselben getrennte Auflösung enthielt neben der Thonerde auch noch etwas Phosphorsäure.

Auch wenn man zu der Auflösung der phosphorsauren Thonerde in Salpetersäure aufer metallischem Quecksilber noch Kieselsäure setzt, und auf die gewöhnliche Weise im Wasserbade bis zur Trockniß abdampft, so geht, wenn man die trockne Masse mit Wasser behandelt, die Flüssigkeit, welche von den unlöslichen Quecksilbersalzen abfiltrirt wird, trübe durchs Filtrum.

Bisweilen indessen glückte es, durch Zusetzen von Kieselsäure, namentlich einer höchst fein zertheilten, wie man sie durch Zersetzung des Fluorkieselgases mittelst Wassers erhält, eine von den unlöslichen Quecksilbersalzen ab-

filtrirte klare Flüssigkeit zu erhalten, aber sie enthielt immer etwas Phosphorsäure. Es ist nämlich in diesem Falle sehr schwer beim Abdampfen im Wasserbade vollständig die überschüssige Salpetersäure wegzuschaffen. Wenn sich auch durch Erhitzen im Wasserbade basische salpetersaure Thonerde bildet, so wird an andern Stellen das metallische Quecksilber durch die Umbüllung der Kieselsäure zu sehr gegen die Einwirkung der Säure geschützt.

Es wurde phosphorsaure Thonerde in Salpetersäure gelöst, und mit einer Auflösung von kieselsaurem Kali (Liquor silicum) versetzt. Durch einen Zusatz von geringen Mengen desselben wurde Kieselsäure ausgeschieden, die aber, wenn so viel von der Auflösung hinzugefügt wurde, daß das Ganze alkalisch reagirte, sich auflöste. Durch Zusetzen von Salpetersäure schied sich kieselsaure Kali-Thonerde aus, die aber durch mehr Säure wieder aufgelöst wurde. Nach Hinzufügung von metallischem Quecksilber wurde Alles im Wasserbade auf die bekannte Weise bis zur Trocknifs abgedampft. Auch dießmal wurde, als die trockne Masse mit Wasser behandelt wurde, eine klare Flüssigkeit erhalten, welche eine große Menge von Thonerde enthielt, aber auch, und zwar aus den oben angeführten Gründen, etwas Phosphorsäure.

Nach mehreren vergeblichen Versuchen mußte ich es aufgeben, bei Gegenwart von Thonerde die phosphorsaurer Verbindungen auf die von mir vorgeschlagene Art und Weise vermittelst Salpetersäure und metallischen Quecksilbers zu untersuchen. Ich ging deshalb zu einer ganz andern Methode über.

Bei meinen früheren Untersuchungen über die Phosphorsäure hatte sich gefunden, daß eine wäßrige Auflösung derselben durch kohlen saure Baryterde nicht vollständig gefällt werden kann. Dessen ungeachtet konnte phosphorsaure Magnesia, in Chlorwasserstoffsäure gelöst, vermittelst kohlen saurer Baryterde vollständig zersetzt, und alle Phosphorsäure mit der Baryterde abgeschieden werden,

während die ganze Menge der Magnesia in der Auflösung bleibt¹⁾).

Diese Untersuchungen, weiter ausgeführt, führten endlich zu einer Methode, die mit vielem Vortheil bei der quantitativen Analyse complicirt zusammengesetzter phosphorsaurer Verbindungen, welche Thonerde enthalten, angewandt werden kann.

Wenn man °Phosphorsäure, in Wasser gelöst, mit einem Ueberschusse von kohlenaurer Baryterde in der Kälte unter häufigem Umrühren digerirt, so erhält man in der filtrirten Flüssigkeit nach fünf Tagen noch sehr deutliche Reactionen von Phosphorsäure. Die Menge derselben nimmt zwar ab, je länger die kohlenaurer Baryterde mit der Säure in Berührung ist, aber selbst nach einer Digestion von vier Wochen können in der filtrirten Auflösung, die übrigens gegen Lackmuspapier nicht sauer reagirt, vermittelst des molybdänsauren Ammoniaks noch deutliche, wiewohl geringe Spuren von Phosphorsäure wahrgenommen werden. Auch wenn nach dieser Zeit die Flüssigkeit mit der überschüssigen kohlenaurer Baryterde gekocht wird, so werden diese Spuren der Phosphorsäure nicht gefällt, ein Beweis, daß nicht etwa etwas phosphorsaurer Baryterde durch freie Kohlensäure aufgelöst erhalten worden war.

Es ist möglich, daß durch eine Digestion von noch längerer Zeit die letzten Spuren von Phosphorsäure durch die kohlenaurer Baryterde abgeschieden werden können. Aber in jedem Falle würde diese Abscheidung mit so vielem Zeitverluste verknüpft seyn, daß sie schon deshalb nicht ausführbar wird.

Versetzt man aber eine Auflösung von °Phosphorsäure mit Salpetersäure oder mit Chlorwasserstoffsäure, verdünnt das Ganze mit Wasser und behandelt es mit kohlenaurer Baryterde in der Kälte, so ist nach kurzer Zeit, nach zwei Tagen, die ganze Menge der Phosphorsäure so vollständig abgeschieden, daß man keine Spur davon in der filtrirten

1) Pogg. Ann. Bd. 76, S. 228.

Flüssigkeit mittelst des molybdänsauren Ammoniaks auffinden kann. — Es muß sich also immer erst ein auflösliches Baryterdesalz bilden, wenn die Phosphorsäure gänzlich abgeschieden werden soll.

Löst man daher ein phosphorsaures Salz in Chlorwasserstoffsäure auf, und behandelt die mit Wasser verdünnte Lösung mit kohlensaurer Baryterde, so wird in jedem Falle die ganze Menge der Phosphorsäure abgeschieden. Die Base, welche mit derselben verbunden war, bleibt aber aufgelöst, wenn sie eine starke ist; sie wird aber gemeinschaftlich mit der Phosphorsäure gefällt, wenn sie zu den schwächeren gehört, und aus den Auflösungen ihrer andern Salze durch kohlensaure Baryterde niedergeschlagen werden kann.

Eine lange Reihe von Versuchen hat diese Erfahrung auf das vollständigste bestätigt.

Phosphorsaure Thonerde, in Salpetersäure gelöst, wurde 24 Stunden in der Kälte mit kohlensaurer Baryterde digerirt. Die filtrirte Flüssigkeit enthielt keine Spur von Phosphorsäure. Obgleich sie aber auch keine Thonerde enthielt, so gab sie doch durch Uebersättigung mit Ammoniak einen starken Niederschlag, der aber nur aus kohlensaurer Baryterde bestand, die in der Flüssigkeit in Kohlensäure aufgelöst enthalten war. Wurde aber die Baryterde mittelst Schwefelsäure entfernt, so konnte keine Thonerde in der Auflösung aufgefunden werden.

Phosphorsaures Eisenoxyd, in Salpetersäure gelöst, verhielt sich ähnlich. Nachdem die mit Wasser verdünnte Auflösung mit kohlensaurer Baryterde digerirt worden war, konnte in der filtrirten Auflösung weder Phosphorsäure noch Eisenoxyd wahrgenommen werden.

Phosphorsaures Wismuthoxyd in Salpetersäure gelöst, wird durch kohlensaure Baryterde ebenfalls vollständig in der Kälte gefällt. Die filtrirte Flüssigkeit enthielt weder Phosphorsäure noch Wismuthoxyd.

Phosphorsaures Kupferoxyd. Wird die Auflösung eines auflöslichen Kupferoxydsalzes mit kohlensaurer Baryterde

in der Kälte digerirt, so wird zwar der größte Theil des Kupferoxyds gefällt; eine geringe Menge bleibt aber aufgelöst. Durchs Kochen erst, wodurch das gefällte Kupferoxyd schwarz wird, erfolgt eine vollständige Ausscheidung. — Löst man aber phosphorsaures Kupferoxyd in Salpetersäure auf, und behandelt die mit Wasser verdünnte Lösung mit kohlenaurer Baryterde, so wird schon in der Kälte die ganze Menge des Kupferoxyds, sowie auch die der Phosphorsäure niedergeschlagen.

Phosphorsaures Uranoxyd. Aus den Auflösungen seiner auflösliehen Salze wird das Uranoxyd in der Kälte vollständig durch kohlenaurer Baryterde gefällt. Es bildet sich keine auflösliehe Verbindung von Uranoxyd mit kohlenaurer Baryterde, selbst bei Gegenwart von etwas freier Kohlensäure: Wird eine nicht zu verdünnte Auflösung von salpetersaurem Uranoxyd mit kohlenaurer Baryterde behandelt, so bildet sich sogleich durch Ausscheidung des voluminösen Uranoxydhydrats ein dicker Schleim. — Auch die Auflösung des phosphorsaurer Uranoxyds in Salpetersäure wird durch kohlenaurer Baryterde so vollständig niedergeschlagen, das nach einiger Zeit in der filtrirten Flüssigkeit weder Spuren von Uranoxyd noch von Phosphorsäure wahrgenommen werden konnten.

Phosphorsaures Natron. Aus der Auflösung des phosphorsaurer Salzes wird durch kohlenaurer Baryterde die Phosphorsäure nicht gefällt. Selbst durch eine Digestion von vier Wochen war in der filtrirten Lösung dem Anschein nach ebenso viel Phosphorsäure als in der ursprünglichen Auflösung enthalten. Setzt man aber zu derselben Salpetersäure, so wird durch kohlenaurer Baryterde die Phosphorsäure gänzlich in der Kälte gefällt. Eine sehr geringe Menge von hinzugefügter Salpetersäure bewirkt noch keine gänzliche Ausscheidung der Phosphorsäure; es muß eine hinlängliche Menge des auflösliehen Baryterdesalzes sich erst bilden, um die Phosphorsäure vollkommen niederzuschlagen. Wendet man statt der Salpetersäure Chlorwasserstoffsäure an, so ist der Erfolg ganz derselbe. Durch

Hinzufügung von Essigsäure aber geht die Abscheidung der Phosphorsäure sehr langsam von statten, aber nur weil die Essigsäure sehr langsam auf die kohlen saure Baryterde einwirkt. Die Flüssigkeit blieb lange sauer; so lange dies der Fall war, kann man auch natürlich Phosphorsäure nach dem Filtriren in derselben wahrnehmen. Erst nach einer Digestion in der Kälte von länger als einer Woche reagirte die Flüssigkeit neutral, und nach dem Filtriren wurde sie vollkommen rein von Phosphorsäure befunden.

Eine Auflösung von pyrophosphorsaurem Natron wird auch durch eine sehr lange Digestion mit kohlen saurer Baryterde nicht zersetzt. Diese setzt sich aber aus der Flüssigkeit als eine harte etwas klebrige Masse ab, welche sehr schwer durch Umrühren zu zertheilen war. Es mag hier eine Doppelverbindung entstanden seyn, wie sie das pyrophosphorsaure Natron leicht zu bilden pflegt.

Aus phosphorsaurem Natron, gemengt mit phosphorsaurer Thonerde und beide in Salpetersäure gelöst, wurde durch Behandlung mit kohlen saurer Baryterde die ganze Menge der Phosphorsäure und der Thonerde niedergeschlagen, während das Natron aufgelöst blieb.

Phosphorsaures Natron, phosphorsaure Magnesia und phosphorsaure Thonerde, alle in Salpetersäure gelöst, wurden durch kohlen saure Baryterde so zersetzt, daß Natron und Magnesia aufgelöst blieben, und die Thonerde mit der Phosphorsäure gefällt wurden.

Phosphorsaure Kalkerde. Das durch Fällung erhaltene nicht geglühte Salz in Salpetersäure gelöst, wird durch kohlen saure Baryterde vollständig zersetzt. In der filtrirten Flüssigkeit ist keine Phosphorsäure zu entdecken. Bei einer quantitativen Untersuchung der phosphorsauren Kalkerde kann nur die Bestimmung der Phosphorsäure genau geschehen; die der Kalkerde hat aber Schwierigkeiten wegen der Trennung derselben von der Baryterde. Nachdem der unlösliche Rückstand von der aufgelösten Kalkerde getrennt worden war, wurde er in Chlorwasserstoffsäure gelöst, die Baryterde durch Schwefelsäure entfernt, und die ge-

gelöste Phosphorsäure als phosphorsaure Ammoniak-Magnesia gefällt. Aus 1,281 Grm. nicht geglühter phosphorsaurer Kalkerde, die 0,948 Grm. geglühter $\text{Ca}^2 \overset{\cdot\cdot}{\text{P}}$ gegeben haben würden, erhielt Hr. Weber 0,808 Grm. $\text{Mg}^2 \overset{\cdot\cdot}{\text{P}}$, also 54,32 Proc. Phosphorsäure vom geglühten Salze. Der Berechnung nach sind 55,9 Proc. darin enthalten. Als aus der Auflösung, welche die Kalkerde enthielt, die Baryterde mittelst Schwefelsäure fortgeschafft wurde, wurde etwas weniger Kalkerde erhalten, als der Berechnung nach erhalten werden sollte, weil die Trennung der schwefelsauren Kalkerde von der schwefelsauren Baryterde durch Wasser mit vielen Schwierigkeiten verknüpft ist.

Wird phosphorsaure Kalkerde in Chlorwasserstoffsäure gelöst, so kann auch aus dieser Lösung die Phosphorsäure vollständig durch kohlsaure Baryterde gefällt werden.

Löst man dieselbe in Essigsäure auf, so gelingt auch dann noch die gänzliche Trennung der Phosphorsäure von der Kalkerde mittelst der kohlsauren Baryterde. Man muß aber in diesem Falle das Ganze bei weitem länger mit einander in Berührung lassen, als wenn man die phosphorsaure Kalkerde in Salpetersäure oder in Chlorwasserstoffsäure gelöst hätte. Während in letzterem Falle eine Digestion in der Kälte von wenigen Tagen nothwendig ist, wurden bei Anwendung von Essigsäure nicht weniger als 19 Tage erfordert, um alle Phosphorsäure vollständig zu fällen. Es dauerte schon sehr lange, ehe die Flüssigkeit aufhörte, sauer zu reagiren.

Wenn statt reiner phosphorsaurer Kalkerde Apatit, mit anderen Substanzen gemengt, der Untersuchung unterworfen werden soll, so kann nach Auflösung der Verbindung in Salpetersäure oder in Essigsäure zuerst der Chlorgehalt des Apatits durch salpetersaure Silberoxydauflösung bestimmt werden.

Wird pyrophosphorsaure Kalkerde, ($\text{Ca}^2 \overset{\cdot\cdot}{\text{P}}$) in der Kälte in Salpetersäure gelöst, und die Auflösung mit kohlsaurer Baryterde behandelt, so dauert es lange, ehe die Phos-

phorsäure von der Kalkerde getrennt und vollständig ab-
geschieden ist. Es war dazu eine Digestion von 8 Tagen
nothwendig, aber dann war die filtrirte Flüssigkeit voll-
ständig frei von Phosphorsäure.

Aus allen diesen Thatsachen geht hervor, daß die koh-
lensaure Baryterde sich vortrefflich dazu eignet, die Phos-
phorsäure aus den sauren Auflösungen ihrer Salze zu fäl-
len, und von den starken Basen abzuscheiden. Sie kann
daher sehr gut zur Abscheidung der Thonerde angewandt
werden, wenn diese, mit Phosphorsäure verbunden, von
andern phosphorsauren Basen zu trennen ist.

Es wird dadurch die Phosphorsäure von sämmtlichen
Basen, nebst der Thonerde und anderen schwachen Basen
gefällt, während die starken Basen aufgelöst bleiben. Die
Trennung der ganzen Menge der Phosphorsäure von der
Thonerde und den andern schwachen Basen ist dann fer-
ner noch mit Schwierigkeiten verbunden. Sie gelingt am
besten, wenn man aus der Masse, die Phosphorsäure und
Thonerde enthält, nach den Vorschriften von Berzelius
und Fuchs die Thonerde durch Kieselsäure abscheidet.

Es wird zweckmäfsig seyn, hier etwas ausführlich den
Gang der Untersuchung bei der Trennung mehrerer phos-
phorsaurer Salze mittelst kohlensaurer Baryterde zu be-
schreiben, welche von Hrn. Weber ausgeführt worden
ist, um die Genauigkeit der Methode zu prüfen. Bei die-
ser Beschreibung soll mehrerer Vorsichtsmafsregeln Erwäh-
nung gethan werden, die nothwendig sind, um ein genaues
Resultat zu erhalten.

Es wurden zur Untersuchung angewandt:

0,259 Grm.	phosphorsaure Thonerde,	$\overset{\cdot\cdot}{\text{Al}} \overset{\cdot\cdot}{\text{P}}$
0,110 „	phosphors. Eisenoxyd,	$\overset{\cdot\cdot}{\text{Fe}} \overset{\cdot\cdot}{\text{P}}$
0,379 „	phosphors. Magnesia,	$\overset{\cdot\cdot}{\text{Mg}}^2 \overset{\cdot\cdot}{\text{P}}$
0,548 „	phosphorsaure Kalkerde,	$\overset{\cdot\cdot}{\text{Ca}}^2 \overset{\cdot\cdot}{\text{P}}$
0,756 „	phosphorsaures Natron,	$\overset{\cdot\cdot}{\text{Na}}^2 \overset{\cdot\cdot}{\text{P}}$
<u>2,052</u> Grm.		

Nach dem Glühen wurden diese Salze in Salpetersäure gelöst, und die Auflösung mehrere Stunden ziemlich stark erwärmt, um die Pyrophosphorsäure der Salze in Phosphorsäure zu verwandeln.

Nach dem vollständigen Erkalten wurde die Lösung mit Wasser verdünnt, und so lange mit kohlenaurer Baryterde versetzt, bis die Flüssigkeit vollständig neutral reagirte. Das Ganze blieb unter öfterem Umrühren drei Tage hindurch stehen, wurde dann filtrirt, und das Ungelöste mit kaltem Wasser ausgesüßt. Das Auswaschen erfordert ziemlich lange Zeit. Da in dem Ungelösten kohlenaurer Baryterde enthalten ist, und diese an sich und besonders in Flüssigkeiten, die freie Kohlensäure enthalten, etwas auflöslich ist, so ist es nicht möglich, es dahin zu bringen, daß dieß Waschwasser beim Verdampfen auf Platinblech keinen Rückstand hinterläßt. Um nun zu sehen, wenn man mit dem Auswaschen aufhören kann, verfährt man am besten auf folgende Weise: Wenn der Rückstand, den das Waschwasser beim Abdampfen hinterläßt, nur sehr gering ist, so sammelt man von demselben eine nicht zu geringe Menge, und fällt aus dieser die Baryterde durch Schwefelsäure. Nach dem Filtriren der schwefelsauren Baryterde übersättigt man mit Ammoniak, und setzt zu der Flüssigkeit Oxalsäure. Wenn die zu untersuchende Verbindung Kalkerde enthält, wie dieß fast immer der Fall ist, so zeigt sich, wenn das Auswaschen noch nicht vollendet war, nach einiger Zeit eine Trübung durch oxalsaurer Kalkerde. Man muß dann so lange mit dem Aussüßen fortfahren, bis keine oxalsaurer Kalkerde mehr gefällt wird. Ist keine Kalkerde in der zu untersuchenden Verbindung enthalten, so findet das Auswaschen mit bei weitem größerer Leichtigkeit statt.

Die vom Ungelösten abfiltrirte Flüssigkeit wurde nebst dem Waschwasser zur Entfernung der aufgelösten Baryterde mit Schwefelsäure versetzt. Der entstandene Niederschlag wurde abfiltrirt und ausgewaschen. Dieses Auswaschen ist mit großen Schwierigkeiten verbunden, wenn der Niederschlag schwefelsaurer Kalkerde enthält. Es gelingt

diefs besser, wenn zur Auflösung der zu untersuchenden Verbindung Chlorwasserstoffsäure statt Salpetersäure angewandt worden ist, und wenn man zum Auswaschen sich nicht des reinen Wassers bedient, sondern eines solchen, welches mit Chlorwasserstoffsäure versetzt worden ist. Hierbei aber tritt ein Uebelstand ein, den ich schon früher bei mehreren Gelegenheiten wahrgenommen habe. Die schwefelsaure Baryterde ist nämlich nicht ganz vollkommen unlöslich in sehr vielem Wasser, das Säuren, namentlich Königswasser, enthält. Durch das sehr lange Zeit hindurch fortgesetzte Waschen mit saurem Wasser löst sich daher eine höchst geringe Menge derselben auf.

Die von der schwefelsauren Baryterde abfiltrirte Flüssigkeit wurde mit Ammoniak übersättigt. Sie muß vollkommen klar bleiben, denn alle Phosphorsäure ist durch die kohlen saure Baryterde abgeschieden worden. Sie wurde mit Oxalsäure versetzt und die oxalsäure Kalkerde nach einiger Zeit abfiltrirt. Die filtrirte Lösung wurde in einer Platinschale abgedampft. Beim Concentriren setzte sich ein körniger Niederschlag ab; er bestand, wie sich nachher erwies, vorzüglich aus schwefelsaurer Baryterde. Er wurde zu der oxalsäuren Kalkerde hinzugefügt, und diese in kohlen saure Kalkerde verwandelt. Beim Auflösen derselben in Chlorwasserstoffsäure blieb eine geringe Menge von schwefelsaurer Baryterde ungelöst. Sie wurde abfiltrirt, worauf aus der Lösung die Kalkerde als oxalsaures Salz von Neuem gefällt wurde.

Durch das Ausfüßen der großen Menge der schwefelsauren Baryterde mit Wasser, das mit Chlorwasserstoffsäure versetzt worden war, enthielt die von dem Niederschlage getrennte Flüssigkeit eine große Menge von freier Säure. Durch das Uebersättigen derselben mit Ammoniak entstand eine große Menge von ammoniakalischen Salzen, die das Eindampfen der Flüssigkeit zur Trockniß außerordentlich erschwerten. Das spätere Verjagen derselben aus der trocknen Masse war ebenfalls mit vielen Unannehmlichkeiten verbunden. Es wäre daher besser gewe-

sen, nach dem Filtriren der großen Menge der schwefelsauren Baryterde die Flüssigkeit durch Eindampfen zu concentriren, und den größten Theil der freien Säure zu verflüchtigen, ehe man mit Ammoniak übersättigte. Der Rückstand besteht dann aus schwefelsaurer Kalkerde, schwefelsaurer Magnesia und schwefelsauren Alkalien und einer sehr geringen Menge von schwefelsaurer Baryterde, die bei der Behandlung mit Wasser ungelöst bleibt, und durch Filtriren abgesondert werden könnte. Zur Sättigung der filtrirten Flüssigkeit würde man dann nur eine geringere Menge von Ammoniak nöthig haben, worauf man die Kalkerde abscheiden würde, die frei von schwefelsaurer Baryterde erhalten werden würde.

Die von der oxalsauren Kalkerde getrennte Flüssigkeit wurde abgedampft und der trockne Rückstand geglüht. Er löste sich klar in Wasser auf; die Auflösung wurde zur Entfernung der Schwefelsäure mit essigsaurer Baryterde versetzt. In der von der schwefelsauren Baryterde abfiltrirten Lösung wurden die essigsauen Salze durchs Glühen in kohlen-saure Salze verwandelt, und das kohlen-saure Natron von der Magnesia durch Wasser getrennt.

Der bei der Behandlung der sauren Lösung der zu untersuchenden phosphorsauren Salze mit kohlen-saurer Baryterde erhaltene unlösliche Rückstand enthielt die ganze Menge der Phosphorsäure, der Thonerde und des Eisen-oxys. Er wurde mit verdünnter Chlorwasserstoffsäure behandelt, wobei ein körniges Pulver ungelöst zurückblieb, das sich endlich, nachdem die Auflösung abgegossen war, durch Digestion mit concentrirter Chlorwasserstoffsäure löste. Aus den Lösungen, die vereint wurden, wurde nach Verdünnung mit Wasser die Baryterde durch Schwefelsäure gefällt.

Zu der Auflösung des unlöslichen Rückstands muß immer Chlorwasserstoffsäure angewandt werden, und nicht Salpetersäure, weil die Gegenwart dieser Säure im weitem Verlauf der Analyse mannigfaltige Nachtheile herbeiführt. Man muß übrigens bei der Auflösung, und bei der Fäl-

lung der Baryterde durch Schwefelsäure jeden unnöthigen Ueberschufs an Säure sorgfältig vermeiden, weil sonst die ferneren Operationen sehr erschwert werden. Denn die freie Säure muß mit kohlen-saurem Natron gesättigt werden, und durch die große Menge der dadurch entstehenden Salze wird das Abdampfen der Flüssigkeiten, das vollständige Trocknen des Rückstands und das fernere Behandeln desselben mit Unannehmlichkeiten verknüpft. Man darf, nach dem Ausfällen der Baryterde die Flüssigkeit durchs Abdampfen nicht concentriren, um den Ueberschufs der freien Säure zu verjagen, weil dies einen Verlust von Phosphorsäure verursachen würde.

Die saure Flüssigkeit wurde mit kohlen-saurem Natron neutralisirt. Es entstand hierbei eine Fällung von phosphorsaurer Thonerde und phosphorsaurem Eisenoxyd; ohne dieselbe abzusondern, wurde das Ganze bis zur Trocknifs abgedampft, zuletzt im Wasserbade, damit nichts durchs Sprützen verloren gehen konnte. Der trockne Rückstand wurde vorsichtig in einem Agatmörser zerrieben, und sodann innig mit ungefähr der gleichen Menge sehr reiner Kieselsäure und der sechsfachen Menge kohlen-sauren Natrons vom Gewicht der angewandten phosphorsaurer Salze gemengt. Das zuletzt noch in der Platinschale haftende wurde mit Wasser in einen Platintiegel gespült und darin abgedampft. In diesen Tiegel wurde darauf auch das Salzgemenge gebracht und in demselben geglüht. Es ist rathsam, einen möglichst großen Platintiegel anzuwenden, und diesen nur halb mit dem Salzgemenge zu füllen, da durch das Entweichen der Kohlensäure, ein Uebersteigen der Masse stattfinden kann, wenn der Tiegel zu klein ist. Man giebt anfangs nur eine gelinde Hitze, zuletzt aber erhöht man dieselbe bis zur starken Rothgluht. Es ist nicht gerade nothwendig, daß die Masse schmelze, doch da durch das Schmelzen eine innige Mengung stattfindet, so muß man es zu befördern suchen.

Die geglühte Masse wurde nach dem Erkalten mit Wasser aufgeweicht und so lange damit digerirt, bis das Un-

gelöste ein fein zertheiltes Pulver bildete. Man verdünnte sodann das Ganze mit vielem Wasser, und setzte eine Auflösung von kohlen saurem Ammoniak hinzu. Dadurch wird noch viel Kieselsäure gefällt; man filtrirt aber nicht früher, als bis die Flüssigkeit sich vollständig geklärt hat, da sonst die Kieselsäure leicht die Poren des Filtrums verstopft. Der Niederschlag wurde mit kaltem Wasser ausgewaschen, zu welchem etwas kohlen saures Ammoniak gesetzt worden war.

Die von dem Niederschlage abfiltrirte Flüssigkeit enthält die Phosphorsäure sämmtlicher Basen. Sie wurde mit Chlorwasserstoffsäure übersättigt. Es darf hierdurch keine Kieselsäure sich abscheiden; ist es doch der Fall, so hatte man keine hinreichende Menge von kohlen saurem Ammoniak hinzugefügt. Auch bei der nachherigen Uebersättigung mit Ammoniak darf keine Trübung eintreten, da diese von Thonerde herrühren würde, deren ganze Menge in dem Ungelösten enthalten seyn muß.

Aus der mit Ammoniak übersättigten Auflösung wird die Phosphorsäure als phosphorsaure Ammoniak-Magnesia gefällt.

Der ungelöste Rückstand, von welchem die Phosphorsäure haltige Flüssigkeit abfiltrirt worden war, wurde mit dem Filtrum in eine kleine Platinschale gebracht, mit Chlorwasserstoffsäure digerirt, und das Ganze im Wasserbade bis zur Trocknifs abgedampft, der trockne Rückstand auf die bekannte Weise mit Chlorwasserstoffsäure befeuchtet, nach einiger Zeit Wasser hinzugefügt, und die Kieselsäure abfiltrirt.

Die getrennte Flüssigkeit enthielt außer Thonerde und Eisenoxyd noch eine sehr kleine Menge Kalkerde. Erstere Basen wurden daher durch Ammoniak niedergeschlagen, und aus der abfiltrirten Lösung fällte man durch Oxalsäure eine kleine Spur von Kalkerde, die zu der früher erhaltenen hinzugerechnet wurde.

Man kennt bis jetzt keine andere Methode Eisenoxyd und Thonerde von einander zu trennen, als durch Kalihy-

drat. Diese Trennung gelingt nur, wenn man das ungelöste Eisenoxyd mehrere Male mit Kalihydrat behandelt. Nachdem daher die Mengung beider Oxyde mit Kalihydrat in einer Platinschale gekocht worden war, liefs man das Eisenoxyd sich absetzen, gofs die klare Flüssigkeit ab, und behandelte das Oxyd noch einmal mit Kalihydrat, welche Operation noch einiige Mal wiederholt wurde.

Das Eisenoxyd wurde darauf nach der Auflösung in Chlorwasserstoffsäure durch Ammoniak gefällt. — Die Flüssigkeit, welche die Thonerde enthielt, wurde mit Chlorwasserstoffsäure übersättigt, mit Ammoniak neutralisirt und die Thonerde durch Schwefelammonium gefällt.

Die Untersuchung gab folgendes Resultat:

Natron	16,86
Kalkerde	11,11
Magnesia	6,67
Thonerde	5,11
Eisenoxyd	2,92
Phosphorsäure	56,38
	<u>99,05.</u>

In den angewandten phosphorsauren Salzen ist aber das procentische Verhältnifs der Bestandtheile folgendes:

Natron	17,20
Kalkerde	11,75
Magnesia	6,78
Thonerde	5,31
Eisenoxyd	2,83
Phosphorsäure	56,13
	<u>100,00.</u>

Das erhaltene Resultat ist ein befriedigendes. Es würde vielleicht noch etwas genauer ausgefallen seyn, oder vielmehr die Analyse selbst würde hinsichtlich des Auswaschens mancher Niederschläge minder beschwerlich gewesen seyn, wenn zur Auflösung der phosphorsauren Salze Chlorwasserstoffsäure statt Salpetersäure angewandt worden wäre.

Man ersieht aber aus dem Gange der Untersuchung, dafs sie beschwerlich ist und sehr viel Zeit erfordert. Sie

mufs daher nur angewandt werden, wenn in den zu untersuchenden phosphorsauren Salzen Thonerde enthalten ist. Wenn diese fehlt, so ist die früher von mir beschriebene Methode, die Phosphorsäure von den Basen mittelst Salpetersäure und metallischen Quecksilbers zu trennen, der vorgeschlagenen weit vorzuziehen.

Die jetzt vorgeschlagene Methode ist besonders beschwerlich und zeitraubend bei Anwesenheit von Kalkerde in den phosphorsauren Verbindungen. Fehlt diese, oder ist sie selbst nur in sehr geringer Menge vorhanden, so ist die Untersuchung mit bei weitem weniger Unannehmlichkeiten verknüpft. Aber gerade in den Fällen, wo sie angewandt werden mufs, wenn Thonerde zugegen ist, pflegt Kalkerde fast nie zu fehlen.

VI. *Ueber die verschiedenen Metaphosphorsäuren und zwei neue Säuren derselben Verbindungsportion; von Th. Fleitmann.*

Vor kurzem haben Henneberg und ich in Gemeinschaft eine Untersuchung über die Verbindungen der Phosphorsäure veröffentlicht ¹⁾, durch die es uns gelungen seyn wird, die Aufmerksamkeit der Chemiker mit erhöhtem Interesse den seltsamen Erscheinungen zuzuwenden, die das Modificationswesen dieser merkwürdigen Säure bietet.

Das Gesamtgebiet der immer zahlreicher werdenden Modificationserscheinungen der Phosphorsäure läfst zwei wesentlich verschiedene Richtungen unterscheiden, in welchen sich die Fähigkeit dieser Säure über dasselbe erstreckt.

Die eine dieser Richtungen erhält ihren bildlichen Ausdruck durch die progressive Reihe derjenigen verschiedenen Phosphorsäureverbindungen, deren Säuren, als Haupt-

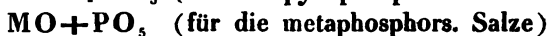
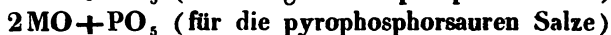
1) Liebigs Ann. Bd. 65, S. 304.

merkmal ihrer Verschiedenheit eine verschiedene Sättigungscapacität zeigen. Diese Reihe umfaßt die Salze der dreibasischen gewöhnlichen Phosphorsäure; der zweibasischen Pyrophosphorsäure und der einbasischen Metaphosphorsäure, sowie die Salze der von Henneberg und mir aufgefundenen intermediären Glieder 4PO_5 , 6HO und 5PO_5 , 6HO .

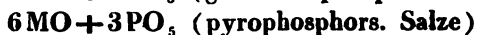
Die andere der angedeuteten Richtungen wird bezeichnet durch die Fähigkeit der Metaphosphorsäure bei Beibehaltung derselben Sättigungscapacität wiederum Säuren von den verschiedensten physikalischen und chemischen Eigenschaften zu constituiren. Diese Richtung der Modificationsfähigkeit wurde bis jetzt bloß bei der Metaphosphorsäure wahrgenommen. Die Salze der verschiedenen Säuren dieser Gruppe enthalten Säure und Base stets in demselben Verhältniß.

Die Arbeit von Henneberg und mir umfaßte beide Richtungen.

Die erste betreffend suchten wir zunächst, auf Grund theoretischer Betrachtungen, zu zeigen, wie unzulässig die von Graham aufgestellte Formelnreihe für die nach ihrer Sättigungscapacität verschiedenen Phosphorsäuren sey. Der Reihe Grahams



stellten wir die Reihe



gegenüber, bei welcher die Säuren in ihrer Verbindung mit gleicher Menge Basis verglichen werden. Wir zeigten die Existenz der bis dahin fehlenden intermediären Glieder $6\text{MO} + 4\text{PO}_5$ und $6\text{MO} + 5\text{PO}_5$, und erhoben dadurch die Richtigkeit der Reihe über allen Zweifel.

Sodann gaben wir durch Beschreibung einer neuen, aus-

gezeichnet charakterisirten Modification der *Metaphosphorsäure* dem Modificationswesen der Phosphorsäure in dieser zweiten Richtung eine gröfsere Bedeutung. Der *Metaphosphorsäure* *Grahams* stellen wir als gleichwerthige, aber sonst ganz verschiedene Säuren die Säure des unlöslichen metaphosphorsäuren Natronsalzes und die unserer krystallisirbaren Salze zur Seite. Für letztere zeigten wir die unzweideutige Forderung der allgemeinen Formel $3MO + 3PO_5$, für ihre wasserfreien Verbindungen und die Bedeutung, die in einer solchen polymeren Formel für die Constitution der Säure liegt, für die beiden anderen *Metaphosphorsäuren* machten wir einen gleichen, noch zu ermittelnden rationalen Ausdruck ihrer Verschiedenheit wahrscheinlich.

Ich habe den Gegenstand nach beiden Richtungen weiter verfolgt. Für die Wege, die ich in meiner Untersuchung eingeschlagen, war mir vornehmlich der Wunsch leitend, diejenige Aufklärung über die Constitution sämtlicher Phosphorsäuren zu erlangen, die es möglich mache, auf Grund der Kenntniß dieser verschiedenen Constitution eine neue umfassende Nomenclatur für dieselben aufzustellen und dadurch einem Bedürfnis abzuhelfen, das, sowie sich die Anzahl der Modificationen mehrt, ein immer dringenderes und unabweisbareres wird.

Für die Reihe der Phosphorsäuren von verschiedener Sättigungscapacität besitzen wir die *Graham'sche* Bezeichnung: gewöhnliche Phosphorsäure, Pyrophosphorsäure und *Metaphosphorsäure*; die Säuren $4PO_5$, $6HO$ und $5PO_5$, $6HO$ entbehren noch der Namen. Für die verschiedenen Modificationen der *Metaphosphorsäure*, die in ihren Salzen eine Verschiedenheit zeigen, so groß wie sie Säuren verschiedener Elemente nur immer zeigen können, besitzen wir ebenfalls keine Nomenclaturunterscheidung; alle theilen sich in den gemeinschaftlichen Namen *Metaphosphorsäure*. Eine solche Namenlosigkeit muß die nachtheiligsten Verwirrungen verursachen.

Ehe ich mich zu der Beschreibung der Resultate wende, die den Gegenstand des vorliegenden Theils meiner Unter-

suchung ausmachen, will ich mich zunächst über das Princip aussprechen, das mich zu der Nomenclatur geführt, die ich für die Phosphorsäuremodificationen vorzuschlagen gedanke. Die practische Anwendung ergibt sich nachher von selbst, und ich werde mich dadurch der Unannehmlichkeit überhoben sehen, bei jedesmaliger Anführung einer Säure oder eines Salzes den Gegenstand durch lästige Umschreibung zu bezeichnen.

Es ist keine leichte Sache für eine so zahlreiche Reihe von verschiedenen Körpern, wie die Phosphorsäuremodificationen, bei denen bei aller Verschiedenheit die gewöhnlichen Anhaltspunkte für die Nomenclatur, namentlich die verschiedene elementare Zusammensetzung ganz fehlen, gleich bezeichnende und practische Namen zu finden.

Unsere Wissenschaft kennt für solche Fälle sehr verschiedene Methoden der Benennung.

Wir besitzen für die verschiedenen Cyansäuren die Namen Cyansäure, Cyanursäure und Knallsäure. Diese Bezeichnungsweise ist ähnlich der, die den bisher bekannten drei Modificationen der Phosphorsäure die Namen gewöhnliche Phosphorsäure, Pyrophosphorsäure und Metaphosphorsäure gegeben hat.

Diese Benennung hat bisher ihrem Zwecke vollkommen genügt. Es liegt nahe dieselbe Bezeichnungsweise auf die übrigen neuen Glieder der Phosphorsäuremodificationen auszudehnen. In der That hat Gerhardt bereits in einem Referat der Arbeit von Henneberg und mir für die verschiedenen Metaphosphorsäuren eine angemessene Recrutirung der bisherigen Namen versucht. Indem Gerhardt für die gewöhnliche Modification derselben den Namen Metaphosphorsäure läßt, schlägt er für die beiden anderen Modificationen die recht wohl lautenden Namen Para- und Isophosphorsäure vor.

Es bleiben indess noch vier andere Modificationen zu benennen übrig. Die Aussicht auf noch größeren Zuwachs ist nicht genommen. Dürfte man nun auch vielleicht zugeben, das man nie in Verlegenheit gerathen werde, um

die erforderlichen Para und Iso, so wird doch aus andern Gründen eine solche Bezeichnungswaise durchaus verwerflich. Die erste Forderung, die man an eine gute Nomenclatur stellt, ist, das sie dem Gedächtnis möglichst Unterstützung gewähre im Zurückhalten der Thatsachen, die sich an die Natur der benannten Körper knüpfen. Die Worte Meta, Pyro, Para und Iso sind aber in obiger Anwendung so wenig bezeichnend und sinnverschieden, das gewis das geübteste Gedächtnis schon bei der jetzigen Anzahl der Phosphorsäuren große Mühe haben würde, eine Verwechselung der Namen zu vermeiden.

Eine andere Bezeichnungswaise ist durch die Fürsprache Berzelius zur allgemeineren Anwendung gelangt. Es ist dies die von Frankenheim zuerst gebrauchte Unterscheidung der drei verschiedenen alotropischen Zustände des Schwefels als Alpha-, Beta- und Gammaschwefel. Auf die verschiedenen Modificationen der Phosphorsäure übertragen, lieferte sie die Namen Alpha-, Beta- und Gamma-phosphorsäure.

Diese Nomenclatur läßt an Einfachheit nichts zu wünschen übrig. Das Alphabet hat 24 Buchstaben und nicht leicht dürfte sich eine Modificationsreihe finden, für welche diese Zahl nicht ausreichte. So einfach diese Nomenclatur aber ist, ebenso entschieden ist sie zu verwerfen. Sie besitzt den Fehler der vorhin besprochenen im höchsten Grade. Wollte man so sehr die billigsten Forderungen des Gedächtnisses misachten, wie es bei der Anwendung dieser Bezeichnungswaise auf die Gesamtzahl der Phosphorsäure-modificationen der Fall seyn würde, so könnte man auch gleich das Princip derselben verallgemeinern, und sämtliche chemische Verbindungen mit den Zahlen unseres Zahlensystems bezeichnen. Ich erinnere daran, wie schwierig es schon ist zu behalten, welche Modification der beiden Zinnoxyde mit dem Namen Alphazinnoxyd und welche mit dem Namen Betazinnoxyd belegt worden ist.

Eine rationelle wissenschaftliche Nomenclatur muß auf wesentliche Merkmale und Eigenschaften der zu benennen-

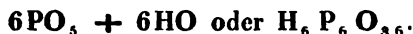
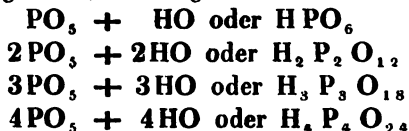
den Körper begründet seyn. Dieses Princip im Auge haltend, gelangt man bei der Betrachtung der verschiedenen Phosphorsäuren bald zu dem Schlufs, dafs nur in der Verschiedenheit ihrer inneren Constitution solche Anhaltspunkte zu finden sind, die einer alle Glieder umfassenden gleichförmigen Nomenclatur zu Grunde gelegt werden können. Alle übrigen Eigenschaften sind entweder zu unwesentlich oder bilden nur für einzelne Glieder unterscheidende Merkmale.

• Sobald es gelungen ist, diese innere Verschiedenheit für jede Modification in Zeichen durch eine rationelle Formel wiederzugeben, so kann die Gestalt dieser Formeln die Grundlage für ihre Benennung bilden.

Die Resultate des vorliegenden Theils meiner Untersuchung zeigen aber aufs deutlichste, dafs auch für diejenige Modificationsreihe der Phosphorsäure, deren Glieder sich nicht durch eine verschiedene Sättigungscapacität unterscheiden; eine solche durch die Formel ausdrückbare Verschiedenheit der Constitution existirt. Henneberg und ich haben bereits in der oben angegebenen Arbeit gezeigt, dafs die von uns gefundene Modification der Metaphosphorsäure die rationelle Formel $3MO + 3PO_5$ für ihre wasserfreien Salze verlange. Die Doppelverbindungen, die die Salze dieser Säure unter einander eingehen, besitzen stets ein solches Verhältnifs, dafs sich 2 Atome des einen Salzes vereinigt finden mit 1 Atom des andern und ihre Formel eine der beiden Gestalten $2MO$, $MO + 3PO_5$ oder MO , $2MO + 3PO_5$ erhält. Dieses constante Verhältnifs erklärt sich nur durch die Annahme einer durch jene rationelle Formel ausgedrückte polymerische Constitution der Säure. Dieselben Gründe, die für diese Säure zu der Formel $3PO_5 + 3HO$ führten, erheischen für zwei neue Säuren, deren Verbindungen in Folgendem beschrieben werden sollen, die Formeln $2PO_5 + 2HO$ und $4PO_5 + 4HO$. Es ist kein Zweifel daran dafs auch bei den beiden noch übrigen Modificationen der Metaphosphorsäure der Grund ihrer Verschiedenheit von gleicher Bedeutung ist. Bereits sind An-

zeichen vorhanden, die mit großer Wahrscheinlichkeit auf die Formeln $\text{PO}_5 + \text{HO}$ und $6\text{PO}_5 + 6\text{HO}$ als die ihnen zukommenden hinweisen.

Die verschiedenen Metaphosphorsäuren stellen sich hier nach als eine polymere desselben Radicals dar, die, je nach der Betrachtungsweise, die folgende Gestalt annimmt.



Bei Zugrundelegung dieser Formelreihe wird die Benennung der verschiedenen Metaphosphorsäuren eine höchst einfache. Sämmtliche Säuren behalten zur Bezeichnung ihrer gleichen Sättigungscapacität den bisherigen Namen Metaphosphorsäure gemeinschaftlich. Die Unterscheidung geschieht durch Andeutung des Factors, der in der rationalen Formel der Säure das Polymerieverhältniß ihrer Atomgruppe und somit zugleich ihren wesentlichsten Charakter bezeichnet. Hierzu eignen sich vorzüglich die griechischen Zahlwörter *μονάς*, *δυσάς*, *τριάς* u. s. w. in der bei solcher Anwendung üblichen Abkürzung. Es entstehen nach der Reihe die Namen:

Monometaphosphorsäure für $\text{PO}_5 + \text{HO}$
 Dimetaphosphorsäure für $2\text{PO}_5 + 2\text{HO}$
 Trimetaphosphorsäure für $3\text{PO}_5 + 3\text{HO}$
 Tetrametaphosphorsäure für $4\text{PO}_5 + 4\text{HO}$
 Hexametaphosphorsäure für $6\text{PO}_5 + 6\text{HO}$.

Diese Namen sind zum Theil nicht die wohlklingendsten. Vornehmlich sind die Worte Tetrametaphosphorsäure und Hexametaphosphorsäure Mund und Ohr wenig genehm. Diese geringen Mängel verschwinden indess gegen den außerordentlichen Vortheil, den die Nomenclatur darin besitzt, daß in dem Namen sogleich die charakteristische Eigenschaft der Säure ausgedrückt liegt. Die Trimetaphosphorsäure liefert nur Doppelsalze, in welchen τρεῖς

Aequivalente des einen Salzes verbunden sind mit ein Aequivalent des andern; die Doppelsalze der Dimetaphosphorsäure enthalten stets *gleiche* Aequivalente der beiden componenten Salze.

Für die Phosphorsäuren der andern Modificationskategorie bietet die verschiedene Sättigungscapacität hinlänglichen Anhalt für eine analoge nomenclatorische Unterscheidung. Die von Henneberg und mir aufgestellte Formelnreihe läßt indefs für eine solche Benutzung eine Bestätigung unser früher beschriebenen Versuche wünschen. Ich bin damit beschäftigt und verschiebe es bis zur Veröffentlichung dieser Theile meiner Untersuchung, Vorschläge für die Benennung der Säuren $4\text{PO}_3 + 6\text{HO}$ und $5\text{PO}_3 + 6\text{HO}$ zu machen.

Dimetaphosphorsäure.

Wird irgend eine der stärkeren fixen Basen oder deren Salzverbindung mit einem Ueberschuß von wässriger Phosphorsäure eingedampft und die Mischung einer allmählig gesteigerten Erhitzung unterworfen, so erfolgt bei dem Temperaturgrade, bei welchem die Phosphorsäure in die einbasische Modification übergeht, die Ausscheidung eines unlöslichen wasserfreien Salzes, das sich bei stärkerer Erhitzung in der überschüssigen Phosphorsäure wieder gänzlich auflöst.

Maddrell stellte nach diesem Verfahren eine große Reihe von Salzen dar und unterwarf dieselben einer genauen Analyse. Alle zeigten eine der allgemeinen Formel $\text{MO} + \text{PO}_3$ entsprechende Zusammensetzung und besaßen als gemeinschaftlichen Charakter eine außerordentliche Schwerbis Unlöslichkeit in Wasser und den meisten sauren und alkalischen Agentien.

Ohne sich weiter in Erörterungen über die Gleichartigkeit der analysirten Verbindungen einzulassen, stellte Maddrell dieselben stillschweigend als eine Salzreihe derselben Säure zusammen. Sie waren die Verbindungen der in dem

un-

unlöslichen metaphosphorsaurem Natron Graham's enthaltenen Säure.

War gleich die Richtigkeit einer solchen Zusammenstellung *a priori* wenig zu bezweifeln, so entbehrte sie doch jeder tieferen Begründung und blieb eine noch definitiv zu lösende Frage.

Mehrfache Versuche haben mir gezeigt, dafs sich die Trimetaphosphorsäure sehr leicht aus ihren Verbindungen im isolirten Zustand darstellen und als solche wieder auf andere Basen übertragen läfst. Die Zersetzung des trimetaphosphorsauren Silberoxyds und Bleioxyds geht mit der größten Leichtigkeit von statten. Die freie Trimetaphosphorsäure besitzt in der Kälte ziemliche Beständigkeit; beim Abdampfen geht sie rasch in gewöhnliche Phosphorsäure über.

Eine gleiche Isolirbarkeit liefs sich von den Säuren der unlöslichen Maddrell'schen Salze erwarten. Ich wählte das Kupferoxydsalz zum Ausgangspunkt meiner Versuche.

Behandelt man ein durch Zusammenschmelzen von Phosphorsäure mit Kupferoxyd erhaltenes *pyrophosphorsaures* Kupferoxyd mit Schwefelwasserstoff, so bildet sich Schwefelkupfer und die Pyrophosphorsäure wird in Freiheit gesetzt. Die Zersetzung geht ziemlich rasch vor sich. Anders aber ist das Verhalten des auf gleiche Weise erhaltene Maddrell'schen metaphosphorsauren Kupferoxyds gegen Schwefelwasserstoff. Das Salz widersteht mit der größten Hartnäckigkeit der Einwirkung desselben. Ist das Salz rein, so bringt tagelanges Behandeln mit Schwefelwasserstoff nicht die geringste Schwärzung hervor.

Für den Zweck meiner Untersuchung konnte es gleichgültig seyn, auf welche Weise ich die Uebertragung der Säure auf eine andere Salzbasis bewerkstelligte, sobald ich gewifs seyn durfte, dafs die angewandten Mittel keine Alteration der Natur der Säure bewirkten. Statt der Zersetzung mit Schwefelwasserstoff versuchte ich daher direct die Umsetzung mit den löslichen Schwefelmetallen der Al-

kalien. Dieser Weg führte mich zu ganz unerwarteten Resultaten, durch welche das Modificationswesen der Metaphosphorsäure ein neues Feld der interessantesten Untersuchungen eröffnet.

Am leichtesten gelingt die Umsetzung des Kupferoxydsalzes mittelst einer Lösung von Schwefelammonium. Bedeutend schwieriger ist sie mit Schwefelnatrium und Schwefelkalium.

Die vom gebildeten Schwefelkupfer getrennten Producte der Umsetzung sind lösliche Salze einer neuen Säure, nicht die entsprechenden Verbindungen der in dem unlöslichen Natronsalz Graham's enthaltenen Modification der Phosphorsäure.

Die Salze der Säure krystallisiren mit derselben Leichtigkeit wie die der Trimetaphosphorsäure, von denen sie aber sowohl in Krystallform als in Löslichkeit und Wassergehalt sehr verschieden sind.

Die wesentlichste Verschiedenheit bildet das der Säure eigenthümliche Verhältniß der Doppelsalzbildung. Die Mischungen ihrer Salze in dem verschiedensten Verhältniß liefern stets Doppelverbindungen, in welchen ein Aequivalent der einen Basis sich verbunden findet mit einem Aequivalent der andern. Ihre wasserfreien Verbindungen erhalten demgemäß die rationelle Formel $2MO + 2PO_3$ und die Säure selbst den Namen Dimetaphosphorsäure.

Wasserfreies dimetaphosphorsaures Kupferoxyd.

Die Darstellung und der Bildungsproceß dieses Salzes, in welchem die neue Säure ihre Entstehung fand, und welches das Muttersalz zu allen übrigen Verbindungen bildet, bedürfen einer ausführlicheren Beschreibung.

Maddrell bereitete dasselbe wie die übrigen unlöslichen metaphosphorsauren Salze, die er analysirt hat. Er erhitzte schwefelsaures Kupferoxyd mit einem großen Ueberschuß von Phosphorsäure bis zu einer Temperatur von $316^{\circ}C$. Das Salz schied sich pulverförmig aus.

Die Ausbeute, die man auf diese Weise erhält, ist sehr

verschieden. Sie ist abhängig von der Vorsicht, mit welcher die Erhitzung geleitet wird; nicht minder von dem Verhältniß von Phosphorsäure zum schwefelsauren Kupferoxyd, welches man anwendet. War die Menge der Phosphorsäure im Verhältniß zum schwefelsauren Kupferoxyd zu groß oder ging die Erhitzung weit über 316° C. hinaus, so erfolgt gar keine Ausscheidung des Salzes. Gewöhnlich bleibt das Mehrfache des angewandten Kupferoxyds in der überschüssigen Phosphorsäure gelöst. War die Erhitzung zu schwach, so besteht das Product zum Theil aus pyrophosphorsaurem Kupferoxyd,

Ohne die geringste Schwierigkeit dagegen gelingt die Darstellung des Salzes, wenn man ein durch die Waage bestimmtes geringeres Verhältniß von Phosphorsäure zu Kupferoxyd nimmt. Das beste Verhältniß fand ich zu fünf Aequivalent Phosphorsäure auf vier Aequivalent Kupferoxyd ($5\text{PO}_5 : 4\text{CuO}$). Bei diesem Verhältniß reicht selbst Rothglühhitze nicht hin, das gebildete dimetaphosphorsaure Kupferoxyd wieder aufzulösen. Fast die ganze Menge des angewandten Kupferoxyds scheidet sich in der Form des Salzes aus.

Die Phosphorsäure wendet man am bequemsten als Lösung an, deren Gehalt man vorher ermittelt hat. Des Kupferoxyds kann man sich in jeder beliebigen Form bedienen. Von den Salzen eignet sich zur Darstellung von kleineren Quantitäten das salpetersaure Kupferoxyd am besten. Die Salpetersäure wird mit Leichtigkeit ausgetrieben und verursacht dabei nicht das unangenehme Spritzen, das die Anwendung des schwefelsauren Salzes unrathsam macht. Will man sich indess aus pecuniären Rücksichten des letzteren Salzes bedienen, so muß man das möglichst entwässerte Salz allmählig in die vorher zur Syrupconsistenz eingedampfte Phosphorsäure eintragen. Die Menge der Phosphorsäure, die sich hierbei mit den Dämpfen der Schwefelsäure verflüchtigt, ist beträchtlich und muß nach Bedarf ersetzt werden.

Am vortheilhaftesten, besonders für die Darstellung von

großen Quantitäten, ist die Anwendung von reinem Kupferoxyd. Dasselbe darf keine Verunreinigung von anderen Basen enthalten und muß recht fein gepulvert seyn. Die Verbindung des Kupferoxyds mit der wässrigen Phosphorsäure geht schwierig vor sich, ist aber durchaus erforderlich, ehe die Mischung eingedampft und einer weiteren Erhitzung unterworfen wird. Ein geringer Zusatz von Salpetersäure befördert die vollständige Verbindung sehr.

Sey es nun, daß man reines Kupferoxyd oder eins der genannten Salze desselben anwendet, der Bildungsproceß des Salzes wird dadurch nicht wesentlich modificirt und durchläuft die verschiedenen Stadien der Phosphorsäuremodificationen, die man beim Eindampfen und Erhitzen von gewöhnlicher Phosphorsäure beobachtet.

Die anfangs klare Lösung des Kupferoxyds in der wässrigen Phosphorsäure beginnt beim Eindampfen bald sich zu trüben. Die Masse wird dickflüssig und es erfolgt die Ausscheidung eines intensiv blauen amorphen Salzes.

Dieses zuerst sich ausscheidende Salz ist eine wasserhaltige Verbindung der gewöhnlichen Phosphorsäure. Die Analyse ergab die Zusammensetzung: $2\text{Cu}, \text{HO} + \text{PO}_5$. Mit einer Lösung von Schwefelnatrium zersetzt, lieferte es ein Salz von der Zusammensetzung und den Eigenschaften des gewöhnlichen phosphorsauren Natrons.

Auf diese erste Ausscheidung des Salzes $2\text{CuO}, \text{HO} + \text{PO}_5$ folgt bei weiterer Erhitzung eine theilweise Wiederauflösung, während die Phosphorsäure aus der gewöhnlichen Modification in die der Pyrophosphorsäure übergeht. Mit steigender Temperatur erfolgt dann ein zweites Gestehen der Mischung. Die Ausscheidung eines unlöslichen bläulichweißen Salzes verändert die dunkelblaue Farbe in eine hellblaue.

Dieses zweite Salz, von pulvriger Beschaffenheit, ist neutrales wasserfreies pyrophosphorsaures Kupferoxyd. Es ist in Wasser gänzlich unlöslich; in Säuren, selbst in concentrirten, sehr schwierig löslich. Die Analyse bestätigte die Zusammensetzung $2\text{CuO} + \text{PO}_5$. Eine Zersetzung mit

Schwefelnatriumlösung, die in der Kälte sehr leicht erfolgt, lieferte pyrophosphorsaures Natron von der gewöhnlichen Form und Zusammensetzung.

Unter lebhaftem Spritzen, geht mit steigender Temperatur die Pyrophosphorsäure in die einbasische Modification über und alsbald beginnt die Bildung des dimetaphosphorsäuren Kupferoxyds.

Während der Ausscheidung desselben muß man Sorge tragen die Masse mit einem Platinspatel fleißig zu rühren und von den Wänden des Gefäßes abzustofsen. Ein Zusammenbacken und Anbacken an die Wände des Gefäßes macht die nachherige Behandlung mit Wasser sehr zeitraubend. Man steigert die Erhitzung bis zu einer Temperatur von circa 350° C. Die Operation ist beendet, sobald die Mischung aufhört zu spritzen und die überschüssige Metaphosphorsäure in dicken Wolken zu verrauchen beginnt. Die Behandlung mit Wasser behufs der Auflösung der überschüssigen Kupferoxydhaltigen Phosphorsäure muß in der Kälte geschehen, weil Siedhitze eine Zersetzung und Fällung des sich lösenden metaphosphorsäuren Kupferoxyds bewirkt. Das Ausfüßen wird so lange fortgesetzt, als das Waschwasser noch Reaction auf Lackmus zeigt.

Nach der beschriebenen Methode erhalten, ist das Salz von pulveriger, undeutlich krystallinischer Beschaffenheit. Auf Kosten der Menge erhält man nach einem etwas modificirten Verfahren das Salz in sehr deutlichen Krystallen. Wendet man ein etwas größeres Verhältniß von Phosphorsäure zu Kupferoxyd an, als das oben bezeichnete, so löst sich, bei Einwirkung der starken Glühhitze einer Besselius'schen Lampe, das gebildete dimetaphosphorsaure Kupferoxyd in der überschüssigen Phosphorsäure wieder vollkommen auf. Läßt man den so erhaltenen intensivblauen Fluß rasch erkalten, so erstarrt er zu einer durchsichtigen glasigen Masse, die sich mit Leichtigkeit in Wasser löst und keine Spur von Dimetaphosphorsäure enthält. Mindert man dagegen die Temperatur sehr allmählig und gestattet der überschüssigen Phosphorsäure ein freies

Verdampfen, so erfolgt, besonders bei leichtem Bewegen der Masse, mit einem Platinspatel, die Wiederbildung und Ausscheidung des dimetaphosphorsauren Kupferoxyds in glänzenden Kryställchen, die um so grösser und deutlicher werden, je mehr Zeit und Ruhe man ihnen zur Bildung läßt.

Das dimetaphosphorsaure Kupferoxyd besitzt eine bläulich weisse Farbe. Es ist in Wasser vollkommen unlöslich, beinahe ebenso unlöslich in den meisten, selbst concentrirten Säuren und Alkalien. Nur von Ammoniak und concentrirter Schwefelsäure in der Hitze wird es mit ziemlicher Leichtigkeit gelöst. Die Lösung in Ammoniak geschieht ohne Alteration der Säure; durch die Einwirkung der concentrirten Schwefelsäure wird dieselbe dagegen rasch in gewöhnliche Phosphorsäure übergeführt.

Zur Analyse wurde das Salz in concentrirter Schwefelsäure gelöst und die Trennung des Kupferoxyds von der Phosphorsäure durch Schwefelwasserstoff bewirkt. 1,284 Grm. geglähtes Salz gaben 0,453 Grm. Kupferoxyd.

	Berechnet:			
2 CuO	79,4	35,54		35,28
2 PO ₅	144	64,46		
	223,4	100,00.		

Dimetaphosphorsaures Natron.

Das dimetaphosphorsaure Kupferoxyd erleidet durch Behandlung mit Schwefelnatriumlösung in der Kälte keine merkliche Zersetzung, besonders wenn es auf die oben beschriebene Weise durch Krystallisation aus feurigem Flufs erhalten worden ist. Bei einer Temperatur indess, die den Siedpunkt noch nicht erreicht, geht die Umsetzung mit grosser Leichtigkeit vor sich; es bildet sich Schwefelkupfer und lösliches dimetaphosphorsaures Natron.

Ich bereitete das Schwefelnatrium durch Einleiten von Schwefelwasserstoff in Natronlösung und Vermischen der

gesättigten Lösung ($\text{NaS} + \text{HS}$) mit einer etwas geringeren als äquivalenten Menge von kaustischem Natron. Setzt man eine solche Schwefelnatriumlösung nach und nach zu dem fein gepulverten Kupferoxydsalz, so giebt das Entweichen des Schwefelwasserstoffs und die darauf eintretende neutrale Reaction der Mischung einen leitenden Maassstab für die Umsetzung ab. Dieselbe ist beendet, sobald die Mischung nach längerem Erwärmen eine alkalische Reaction von überschüssigem Schwefelnatrium behält. Man nimmt die Schwefelnatriumlösung am besten von einer Concentration, die der Löslichkeit des dimetaphosphorsauren Natrons entspricht.

Die durch Filtration vom Schwefelkupfer getrennte Lösung des Salzes ist bei vorsichtiger Bereitung höchstens mit etwas Schwefelnatrium verunreinigt, das sich aber durch Digeriren mit fein gepulvertem Kupferoxydsalz vollkommen entfernen lässt. Da das dimetaphosphorsaure Natron gleiche Löslichkeit in kaltem und heissem Wasser besitzt, so lassen sich nach der Methode der Abkühlung einer gesättigten Lösung keine Krystalle erhalten. Beim Abdampfen oder beim Abdunsten an der Luft scheidet sich das Salz in spiefsigen Krystallen aus, die aber wenig deutlich und meist zu Krusten vereinigt sind.

Das krystallisirte Salz löst sich in 7,2 Theilen Wasser. In starkem Alkohol ist es vollkommen unlöslich, und selbst in sehr verdünntem Weingeist lösen sich nur Spuren.

Dieses Verhalten gegen Weingeist giebt ein vortreffliches Mittel an die Hand, das Salz zu reinigen und schön krystallisirt zu erhalten. Setzt man zu einer wässrigen Lösung des Salzes auf einmal eine die vollständige Ausscheidung des Salzes bedingende Menge starken Weingeist hinzu, so fällt dasselbe, je nach Concentration der Flüssigkeit, als eine concentrirte Salzlösung oder in Pulverform nieder. Fügt man dagegen den Weingeist nach und nach, stets in einer zur Fällung unzureichenden Quantität hinzu, so scheidet sich das Salz in schönen langen, zu concentrischen Gruppen vereinigten Nadeln aus. Man fährt mit dem Zu-

satz von Weingeist fort, bis sich nichts mehr ausscheidet. Nach einem Zusatz von einem gleichen Volum 80procentigen Weingeist bleiben in der Mutterlauge nur Spuren des Salzes gelöst. Wäscht man die Krystalle auf einem Filter gehörig mit verdünntem Weingeist nach, so sind sie schon nach der ersten Krystallisation vollkommen rein zu betrachten.

Ich habe mich dieser Methode der Krystallisation mittelst Weingeist mit grossem Vortheil bei der Darstellung sämtlicher löslichen Salze bedient, die ich untersucht habe. Die ausserordentliche Zeitersparnifs, die sie mir namentlich zur Erhaltung von reinen Salzen für die Analyse gewährt hat, veranlaßt mich auf dieselbe besonders aufmerksam zu machen. Sie verdient gewifs, ihrer Kostspieligkeit ungeachtet, eine allgemeinere Anwendung als bisher.

Das dimetaphosphorsaure Natron enthält im krystallisirten Zustande auf seine rationelle Formel 4 Aequivalent Wasser. Bei der Analyse wurde die Dimetaphosphorsäure durch Erhitzen mit concentrirter Schwefelsäure in die gewöhnliche Modification übergeführt und als phosphorsaure Ammoniumoxydmagnesia gefällt.

1) 1,0615 Grm. lufttrocknes krystallisirtes Salz verloren beim Glühen 0,165 Grm. Wasser und gaben 0,978 Grm. pyrophosphorsaure Magnesia.

2) 0,943 Grm. verloren 0,145 Grm. Wasser.

3) 0,240 Grm. verloren 0,037 Grm. Wasser.

	Berechnet.		Gefunden.		
			I.	II.	III.
2 NaO	62	25,62			
2 PO ₅	144	59,50	59,18		
4 HO	36	14,88	15,54	15,37	15,41
	<hr/>	<hr/>			
	242	100,00.			

Die Krystalle verlieren ihr Wasser bei einer Temperatur von 100° C. vollständig. Das wasserfreie Salz nimmt an der Luft mit Begierde wieder Wasser auf und erhitzt sich beträchtlich, wenn man es damit befeuchtet.

Erhitzt man das krystallisirte Salz über der Spiritus-

lampe, so entweicht das Krystallwasser ohne Aufblähen. Bei anfangender Glühhitze schmilzt es und liefert bei raschem Abkühlen gewöhnliches unkrystallisirbares metaphosphorsaures Natron. Bei jeder Temperatur vor seinem Schmelzpunkte behält das Salz unverändert seine Eigenschaften als dimetaphosphorsaures Natron und geht nicht, wie man vermuthen könnte, vorher in das unlösliche metaphosphorsaure Natron Graham's oder in trimetaphosphorsaures Natron über.

Die Lösung des dimetaphosphorsauren Natrons reagirt vollkommen neutral. Dieselbe erhält sich in der Kälte monatelang ohne die geringste Zersetzung zu erleiden. Selbst beim Kochen tritt erst nach längerer Zeit eine saure Reaction ein, die, einmal eingetreten, schnell zunimmt und den Uebergang der Dimetaphosphorsäure in gewöhnliche Phosphorsäure bezeichnet. Auch bei dieser Umwandlung der Säure habe ich keine Zwischenstufe beobachten können.

Die Dimetaphosphorsäure geht weder saure noch basische Verbindungen ein und ist in diesem Sinne nicht mehr basisch.

Das dimetaphosphorsaure Natron löst sich mit großer Leichtigkeit in concentrirter Salzsäure auf, krystallisirt aber auf Zusatz von Weingeist vollständig als neutrales Salz wieder heraus. Ebenso liefert eine Lösung des Salzes in kaustischem Natron beim Abdampfen neutrales dimetaphosphorsaures Natron.

Das dimetaphosphorsaure Natron zeigt die größte Beständigkeit in alkalischen Lösungen; durch Kochen mit Säuren dagegen wird es rasch in saures gewöhnlich phosphorsaures Salz übergeführt. Am schnellsten und vollständigsten wirkt Schwefelsäure.

Das dimetaphosphorsaure Natron wird von dem trimetaphosphorsauren Salz neben Krystallform am leichtesten durch sein Verhalten gegen die Lösungen der schwereren Metalloxyde und alkalischen Erden unterschieden, mit denen es bedeutend schwerer lösliche einfache und Doppel-

Verbindungen giebt als jenes. Mit Bleisalzen giebt es sogleich einen weissen Niederschlag.

Dimetaphosphorsaures Kali.

Es wurde auf dieselbe Weise gewonnen, wie das Natronsalz. Die Umsetzung des dimetaphosphorsauren Kupferoxyds mit Schwefelkalium geht noch schwieriger vor sich, als mit Schwefelnatrium. Beim Krystallisiren mittelst Weingeist fällt das Salz leicht als concentrirte Lösung zu Boden, die sich aber nach einiger Zeit in Krystalle verwandelt. Der Mangel an ausgebildeten Individuen hat es mir unmöglich gemacht, die Krystallform des Salzes zu bestimmen.

Das krystallisirte Salz braucht 1,2 Theile Wasser zu seiner Lösung. Die Löslichkeit ist wie beim Natronsalz in kaltem und warmen Wasser gleich groß. Die neutrale Lösung besitzt einen wenig salzigen, etwas bitteren Geschmack.

Der Wassergehalt des krystallisirten Salzes beträgt halb so viel als der des Natronsalzes, und entweicht im Wasserbade vollständig ohne Alteration der Säure.

0,4245 Grm. lufttrockne Krystalle verloren beim Glühen 0,032 Grm. Wasser und gaben 0,374 Grm. pyrophosphorsaure Magnesia.

	Berechnet:		Gefunden:
2KO	94	36,72	
2PO ₅	144	56,25	56,56
2HO	18	7,03	7,53
	<hr/> 256	<hr/> 100,00.	

Läfst man auf das Salz schwache Glühhitze einwirken, so wird es in Salzwasser vollkommen unlöslich; die Dimetaphosphorsäure geht unter diesen Umständen in die Modification des unlöslichen metaphosphorsauren Natrons über.

Das dimetaphosphorsaure Kali ist bedeutend schwerer schmelzbar als das Natronsalz. Erst anfangende Weisglühhitze bringt es zum Flufs. Das klar geschmolzene Salz nimmt selbst beim raschesten Erkalten krystallinische Structur an. Dieses krystallinische Salz enthält die Phosphor-

säure in derselben Modification als das unlösliche Salz, welches durch Einwirkung von schwacher Glühbitze entsteht. Es ist in Wasser und schwachen Säuren vollkommen unlöslich. Die Verbindung des Kalis mit der gewöhnlichen Metaphosphorsäure Graham's ist demnach auf feurigem Wege nicht zu erzeugen.

Dimetaphosphorsaures Ammoniumoxyd.

Das dimetaphosphorsaure Kupferoxyd wird von kautischem Ammoniumoxyd mit ziemlicher Leichtigkeit gelöst. Die Zersetzung desselben durch Schwefelammonium wird aus diesem Grunde außerordentlich beschleunigt, wenn man einen geringen Ueberschuß von kautischem Ammoniumoxyd anwendet. Die Umsetzung geht schon in der Kälte vor sich.

Das krystallisirte Salz gebraucht 1,15 Theile kaltes oder heißes Wasser zu seiner Lösung. Seine Löslichkeit in verdünntem Weingeist ist weit beträchtlicher, als die des Natron- und Kalisalzes. Es ist deshalb nur rätlich, ziemlich concentrirte wässerige Lösungen zur Krystallisation mittelst Weingeist zu verwenden.

Das Salz krystallisirt in großen durchsichtigen Krystallen, die meistens sehr vollkommen ausgebildet sind. Dieselben sind kurze Prismen des monoklinischen Systems mit verschiedenen Combinationen. Die Hauptflächen erhalten die Bezeichnung ∞P , $0P$, $\infty P \infty$, $+P \infty$. Die Abstumpfungflächen $+P$ treten untergeordnet auf.

Das krystallisirte Salz ist wasserfreies dimetaphosphorsaures Ammoniumoxyd. Ich bestimmte das Ammoniumoxyd durch Glühen mit einer gewogenen Menge freier Basis. Die Anwendung von Bleioxyd zu diesem Behuf ist mit Unannehmlichkeiten verbunden. Ich ersetzte dasselbe zu größerer Bequemlichkeit durch wasserfreies pyrophosphorsaures Natron, das man sich mit geringer Mühe durch Glühen des neutralen gewöhnlich phosphorsauren Natrons darstellt. Das pyrophosphorsaure Natron läßt sich sehr genau abwägen

und treibt beim Glühen sein gleiches Aequivalent Ammoniak auf vollständigste aus.

1) 1,236 Grm. lufttrocknes Salz gaben beim Glühen mit pyrophosphorsaurem Natron 0,337 Grm. Ammoniumoxyd.

2) 0,6055 Grm. gaben 0,163 Grm. Ammoniumoxyd.

	Berechnet.		Gefunden.	
	144	73,47	I.	II.
2PO ₅			27,26	26,92
2AmO	52	26,53		
	196	100,00.		

Das Ammoniumoxyd wird von dem Salze beim Erhitzen für sich mit außerordentlicher Hartnäckigkeit zurückgehalten. In einem Luftbade erhitzt, behält es bis zu einer Temperatur von 300° C. constantes Gewicht. Glühhitze bringt es zum Schmelzen unter Entweichen von Ammoniakgas. Ein Theil des Ammoniaks wird von der Phosphorsäure selbst beim heftigsten Glühen zurückgehalten. Die zurückbleibende Säure entläßt beim Kochen mit kaustischem Kali stets bedeutende Mengen von Ammoniak.

Erhitzt man die durchsichtigen Krystalle des Salzes längere Zeit in einem Luftbade bei einer Temperatur von 200 bis 250° C., so werden dieselben, ohne im geringsten an Gewicht abzunehmen, weiß und undurchsichtig. Die Veränderung beginnt an den Kanten und verbreitet sich nach und nach durch die ganze Masse. Die Dimetaphosphorsäure geht unter dieser Erscheinung in die Modification des unlöslichen metaphosphorsauren Natrons über. Das modificirte Ammoniumoxydsalz in Wasser vollkommen unlöslich und kommt auch in seinen übrigen physikalischen Eigenschaften mit dem entsprechenden unlöslichen Kali- und Natronsalz überein.

Dimetaphosphorsaures Silberoxyd.

Dasselbe wird erhalten durch Vermischen eines der vorhergehenden löslichen Alkalisalze mit einem Ueberschuß von salpetersaurem Silberoxyd. Wendet man concentrirte

Lösungen an, so scheidet sich das Salz sofort als krystallinischer Niederschlag aus. Aus verdünnten Lösungen setzt es sich nach einiger Zeit in hübschen Kryställchen an.

Die geringe Gröfse der Krystalle erlaubte deren Bestimmung nicht; sie sehen denen des trimetaphosphorsauren Silberoxyds sehr ähnlich, besitzen aber viel geringere Löslichkeit als diese.

Das krystallisirte Salz ist wasserfreies dimetaphosphorsaures Silberoxyd.

0,7985 Grm. lufttrockene Krystalle verloren beim Glühen 0,002 Grm. und gaben 0,5995 Grm. Chlorsilber.

	Berechnet.		Gefunden.
2 AgO	232	61,70	60,99
2 PO ₅	144	38,30	
	<hr/> 376	<hr/> 100,00.	

Das Salz schmilzt bei schwacher Glühhitze und erstarrt zu einem klaren durchsichtigen in Wasser vollkommen unlöslichen Glase, in welchem die Säure in der gewöhnlichen Modification der Metaphosphorsäure enthalten ist.

Dimetaphosphorsaures Bleioxyd.

Es wird auf dieselbe Weise gewonnen wie das Silbersalz. Das Salz ist in Wasser beinahe unlöslich und scheidet sich nur bei Anwendung von sehr verdünnten Lösungen von dimetaphosphorsaurem Natron und salpetersaurem Bleioxyd in ziemlich deutlichen Kryställchen aus. Das dimetaphosphorsaure Ammoniumoxyd giebt mit Bleisalzen augenblickliche Niederschläge.

Das Salz ist wasserfrei, schmilzt ohne Aufblähen in der Glühhitze und erstarrt zu einem durchsichtigen Glase.

Zur Analyse wurde es in möglichst weniger Salpetersäure gelöst und das Bleioxyd durch Schwefelsäure gefällt.

0,9680 Grm. geschmolzenes Salz gaben 0,793 Grm. schwefelsaures Bleioxyd.

	Berechnet.		Gefunden.
2 PbO	223	60,76	60,30
2 PO ₅	144	39,24	
	<u>367</u>	<u>100,00.</u>	

Das Salz ist, in derselben Weise wie das trimetaphosphorsaure Bleioxyd, stets mit geringen Quantitäten von salpetersaurem Bleioxyd verunreinigt, von dem es sich durch Behandeln mit Wasser nicht reinigen läßt.

Dimetaphosphorsaurer Baryt

Zur Darstellung desselben versetzt man eine ziemlich concentrirte Lösung des Natronsalzes mit einem Ueberschuß von Chlorbarium. Die Ausscheidung des Salzes erfolgt nach kurzem Stehen in kleinen spiefsigen Kryställchen. Bei Anwendung von dimetaphosphorsaurem Ammoniumoxyd scheidet sich das Salz sogleich in Form eines wenig krystallinischen Niederschlages aus.

Der dimetaphosphorsaure Baryt ist sehr schwer löslich in Wasser. Säuren, selbst concentrirte Salpetersäure und Salzsäure greifen ihn beim Kochen nur wenig an. Concentrirte Schwefelsäure zersetzt ihn dagegen leicht unter Abscheidung von schwefelsaurem Baryt.

Das krystallisirte Salz enthält 4 Aequivalente Wasser, die es selbst bei 150° C. nicht vollständig verliert. Beim Glühen entweicht das Wasser unter Aufblähen.

1) 0,395 Grm. lufttrockne Krystalle verloren beim Glühen 0,0425 Grm. Wasser.

2) 0,7035 Grm. krystallisirtes Salz gaben 0,498 Grm. schwefelsauren Baryt und 0,474 Grm. pyrophosphorsaure Magnesia.

	Berechnet.		Gefunden.	
			I.	II.
2 BaO	144	43,19		43,25
2 PO ₅	135	46,01		46,51
4 HO	36	10,80	10,76	
	<u>333</u>	<u>100,00.</u>		

Das krystallisirte Salz unterscheidet sich nicht im geringsten in seiner procentischen Zusammensetzung vom krystallisirten trimetaphosphorsauren Baryt, der auf seine rationelle Formel 6 Aequivalente Wasser enthält. Der dimetaphosphorsaure Baryt ist in Wasser etwas weniger löslich als das trimetaphosphorsaure Salz. Um es über jeden Zweifel zu erheben, dafs die beiden Salze nicht identisch und dafs bei der Darstellung des einen oder andern nicht etwa eine Alteration der Säure stattgefunden, habe ich aus denselben wiederum die entsprechenden Natronsalze dargestellt und der Analyse unterworfen. Die Umsetzung der Barytsalze geschah ohne grofse Schwierigkeit durch Digestion derselben im fein gepulverten Zustand mit einer Lösung von kohlensaurem Natron. Die erhaltenen Salze besafsen beziehungsweise die Form und Zusammensetzung des dimetaphosphorsauren und trimetaphosphorsauren Natrons. Ersteres zeigte einen Wassergehalt von 15,32 Proc.; die Formel $2\text{NaO}, 2\text{PO}_5 + 4\text{HO}$ verlangt 14,88 Proc. Letzteres verlor beim Glühen 25,40 Proc., entsprechend der Formel $3\text{NaO}, 3\text{PO}_5 + 12\text{HO}$, wonach sich 25,90 Proc. Wasser berechnen.

Das beim Glühen des dimetaphosphorsauren Baryts zurückbleibende wasserfreie Salz erleidet durch die höchste Temperatur, die sich mit einer Berzelius'schen Lampe erreichen läfst, nicht die geringste Schmelzung. Die geglühte Masse ist in Wasser vollkommen unlöslich; von Säuren wird sie kaum angegriffen. Dieselbe ist kein dimetaphosphorsaurer Baryt mehr. Es war mir nicht möglich zu bestimmen, in welcher Modification die Phosphorsäure in ihr enthalten sey. Das geglühte Salz erleidet durch Digeriren mit kohlensaurem Natron keine Umsetzung.

Dimetaphosphorsaurer Kalk.

Derselbe wird gewonnen durch Vermischen einer Lösung von dimetaphosphorsaurem Natron oder Kali mit einem Ueberschufs von Chlorcalcium. Das Salz scheidet sich sogleich als krystallinischer Niederschlag aus. Dimetaphos-

phorsaures Ammoniumoxyd liefert ein Product, das stets grofse Mengen von Ammoniumoxyd in Form von Doppelsalz enthält.

Der dimetaphosphorsaure Kalk ist unlöslich in Wasser und wird selbst von concentrirter Salpetersäure und Salzsäure nicht merklich angegriffen. Concentrirte Schwefelsäure zersetzt ihn in der Wärme.

Der dimetaphosphorsaure Kalk enthält wie das Barytsalz 4 Aequivalente Wasser, die er bei 100° C. nicht fahren läfst und erst beim Glühen vollständig verliert.

0,257 Grm. lufttrocknes Salz verloren beim Glühen 0,040 Grm. Wasser.

	Berechnet.		Gefunden.
2 Ca O	56	23,73	
2 PO ₅	144	61,01	
4 HO	36	15,26	15,68
	<hr/> 236	<hr/> 100,00.	

Der beim Glühen des Salzes zurückbleibende metaphosphorsaure Kalk besitzt dieselben physikalischen Eigenschaften wie die entsprechende Barytverbindung.

Dimetaphosphorsaures Kupferoxyd.

Das im Eingange beschriebene wasserfreie dimetaphosphorsaure Kupferoxyd ist in Wasser vollkommen unlöslich. Diesem gegenüber ist das Verhalten der löslichen dimetaphosphorsaurer Salze gegen Kupferoxydsalze sehr auffallend. Setzt man zu einer concentrirten Lösung von dimetaphosphorsaurer Natron schwefelsaures Kupferoxyd, so bleibt die Mischung vollkommen klar und es scheidet sich selbst nach tagelangem Stehen keine Spur des unlöslichen dimetaphosphorsaurer Kupferoxyds ab. Dagegen auf blofsen Zusatz von Weingeist, so wie beim Abdunsten der Lösung an der Luft, setzt sich dieses Salz in Gestalt eines hellblauen Pulvers ab, das einmal gebildet, nachher vollkommen unlöslich in der Mischung ist.

Nimmt man statt des schwefelsaurer Salzes Kupferchlorid, so ist das Verhalten ein anderes. Das Kupferchlorid setzt

setzt sich bedeutend leichter mit dem dimetaphosphorsaurem Natron um. Ist die Mischung beider Salze ziemlich concentrirt, so beginnt nach einigem Stehen die Ausscheidung des Kupferoxydsalzes in deutlichen rundlichen Kryställchen, die sich außerordentlich fest an die Wände des Gefäßes setzen. Bei verdünnten Mischungen bewirkt ein geringer Zusatz von Weingeist bald die Krystallisation.

Das auf diese Weise gewonnene krystallisirte dimetaphosphorsaure Kupferoxyd enthält 8 Aequivalente Krystallwasser, die es bei 100° C. nicht verliert. Es ist wie das wasserfreie Salz in Wasser vollkommen unlöslich.

Das Salz ist stets durch etwas Kupferchlorid verunreinigt, das sich durch Behandeln mit Wasser nicht entfernen läßt. Diese Verunreinigung erklärt den Ueberschufs des Glühverlusts bei der Bestimmung des Wassergehalts. Beim Glühen für sich verliert das Salz mit dem entweichenden Wasser nicht unbedeutende Mengen Phosphorsäure. Ich habe diesen Verlust durch Zusatz von einer gewogenen Menge pyrophosphorsauren Natrons vermieden.

1) 0,462 Grm. lufttrockene Krystalle gaben beim Glühen 0,1175 Wasser.

2) 0,5685 Grm. gaben 0,145 Grm. Wasser.

	Berechnet:		Gefunden:	
			I.	II.
2 CuO	79,4	26,88	—	—
2 PO ₅	144	48,75	—	—
8 HO	72	24,37	25,43	25,49
	295,4	100,00.		

Dimetaphosphorsaures Manganoxydul.

Dasselbe bildet sich in ähnlicher Weise, wie das Kupferoxydsalz. Am besten nimmt man zur Darstellung ziemlich concentrirte Lösungen von dimetaphosphorsaurem Ammoniumoxyd und Manganchlorür bei Ueberschufs des letzteren.

Das Salz ist von röthlich weißer Farbe und besitzt im Uebrigen dieselben physikalischen Eigenschaften wie das

Kupferoxydsalz, mit dem es ohne Zweifel isomorph ist. Es krystallisirt wie dieses mit 8 Aequivalenten Wasser, die es bei 100° C. nicht fahren läßt.

Bei der Analyse geschah die Trennung der Phosphorsäure vom Manganoxydul durch Schmelzen mit kohlen-sau-rem Natron. Die Zersetzung ist vollständig; es bildet sich gewöhnlich phosphorsaures Natron und das Manganöxydul oxydirt sich zu Manganoxyduloxyd. Letzteres ist nach dem Auswaschen des phosphorsauren Natrons beträchtlich durch einen Gehalt von Natron verunreinigt und muß zur Bestimmung vorher wieder in Säuren gelöst und durch kohlen-saures Natron gefällt werden.

0,5035 Grm lufttrockne Krystalle verloren beim Glühen mit pyrophosphorsaurem Natron 0,131 Grm. Wasser und gaben 0,134 Grm. Manganoxyduloxyd.

	Berechnet:		Gefunden:
2MnO	71	24,74	24,75
2PO ₃	144	50,17	—
8HO	72	25,09	26,01
	<hr/> 287	<hr/> 100,00.	

Das Salz verliert beim Glühen sein Krystallwasser, ohne daß die Säure in eine andere Modification übergeht. Den Beleg hierfür giebt die Beschreibung des wasserfreien dimetaphosphorsauren Manganoxyduls.

Dimetaphosphorsaures Zinkoxyd.

Die Darstellung ist dieselbe wie beim Kupferoxyd- und Manganoxydulsalz. Das Salz krystallisirt am besten aus einer Mischung von dimetaphosphorsaurem Ammoniumoxyd und Zinkchlorid im Ueberschuß.

Das dimetaphosphorsaure Zinkoxyd bildet kleine farblose durchsichtige Krystalle von der Form der beiden vorhergehenden Salze. Es ist wie diese in Wasser unlöslich und wird von Säuren nur schwierig beim Kochen zersetzt.

Die Krystalle enthalten 8 Aequivalente Wasser, die erst bei anfangender Glühhitze vollständig entweichen. Die Tren-

nung der Phosphorsäure vom Zinkoxyd geschah auf dieselbe Weise wie die Trennung des Manganoxyduls von derselben.

1) 0,333 Grm. lufttrocknes Salz verloren beim Glühen mit pyrophosphorsaurem Natron 0,0825 Grm. Wasser.

2) 0,391 Grm. verloren 0,098 Grm. Wasser.

3) 0,319 Grm. gaben 0,240 Grm. pyrophosphorsaure Magnesia.

Berechnet:			Gefunden:		
			I.	II.	III.
2ZnO	81	27,27	—	—	—
2PO ₅	144	48,48	—	—	48,28
8HO	72	24,25	24,77	25,06	—
	297	100,00.			

Das Salz ist in heftiger Rothglühhitze unschmelzbar und erleidet in derselben keine Veränderung der Modification. (Siehe in Folgendem wasserfreies dimetaphosphorsaures Zinkoxyd.)

Dimetaphosphorsaure Magnesia.

Zur Darstellung derselben versetzt man eine concentrirte Lösung von dimetaphosphorsaurem Ammoniumoxyd mit einem Ueberschufs von Chlormagnesium. Das Magnesiasalz setzt sich nach einigem Stehen aus der Mischung in Krystallkrusten an die Wandungen des Gefäßes ab. Ein geringer Zusatz von Weingeist beschleunigt die Krystallisation sehr. Setzt man soviel Weingeist zu, daß eine augenblickliche Fällung des Salzes erfolgt, so scheidet sich dasselbe in Form eines Syrups aus, der erst nach längerem Stehen erstarrt.

Das Salz ist unlöslich in Wasser, durch Säuren etwas leichter zersetzbar, als die vorhergehenden Salze.

Die Bestimmung des Wassergehalts lieferte keine genauen Resultate. Das Salz verliert beim Glühen für sich Phosphorsäure.

1) 0,4135 Grm. lufttrocknes Salz verloren beim Glühen mit pyrophosphorsaurem Natron 0,1305 Grm. Wasser.

2) 0,317 Grm. verloren 0,101 Grm. Wasser und gaben 0,1325 Grm. pyrophosphorsaure Magnesia.

	Berechnet:		Gefunden:	
2MgO	40	15,09	—	14,96
2PO ₅	144	54,34	—	—
9HO	81	30,57	30,57	31,86
	<hr/>	<hr/>		
	265	100,00.		

Die nebenberechnete Formel $2\text{MgO} \cdot 2\text{PO}_5 + 9\text{HO}$ hat für die erhaltenen Zahlen die meiste Wahrscheinlichkeit. Die Formel $2\text{MgO} \cdot 2\text{PO}_5 + 10\text{HO}$ verlangt 32,85 Proc. Wasser und würde voraussetzen, daß die Analyse über 1 Proc. Wasser zu wenig ergeben habe.

Im Wasserbade verliert das Salz sein Wasser zum Theil. Die Erhitzung in demselben liefert indess ein wenig constantes Gewicht. 0,397 Grm. bei 100° getrocknetes Salz gaben beim Glühen 0,1135 Grm. Wasser, entsprechend 28,59 Proc. Die Formel $2\text{MgO} \cdot 2\text{PO}_5 + 8\text{HO}$ verlangt 28,12 Proc. Wasser.

Das Salz schmilzt in der heftigsten Rothglühhitze nicht. Ob es durch Einwirkung einer höheren Temperatur eine Aenderung der Modification erleide, habe ich nicht ermitteln können. Das geglühte Salz erleidet weder durch Behandlung mit den Lösungen von kohlensauren Alkalien noch mit gewöhnlich phosphorsauren Salzen eine Umsetzung, die es möglich machte, die Natur der in demselben enthaltenen Säure zu studiren.

(Schluß im nächsten Heft.)

VII. *Experimental-Untersuchungen über Endosmose; von Ph. Jolly in Heidelberg.*

(Auszug aus einer in Henle und Pfeufer's Zeitschrift für rationelle Medicin veröffentlichten und vom Hrn. Verf. übersandten Abhandl.)

Nachdem in einer geschichtlichen Einleitung, welche der Entdeckung der Endosmose durch N. W. Fischer ¹⁾ und Dutrochet ²⁾, so wie deren weiteren Verfolgung durch Magnus ³⁾, Poisson ⁴⁾, Jerichau ⁵⁾, Brücke ⁶⁾ und Vierordt ⁷⁾ gedenkt, näher auseinandergesetzt worden, daß durch das Dutrochet'sche Endosmometer weder der Durchgang der einzelnen Stoffe durch eine zwei Flüssigkeiten trennende Membran, noch auch nur das Verhältniß der Differenzen der stattfindenden Strömungen gemessen wird, geht der Verfasser zu der von ihm gewählten Messungsmethode über.

Dieselbe vereinfacht zunächst die Versuche insofern, als auf der einen Seite der Membran die Flüssigkeit in einem gleichförmigen Zustand erhalten wird; dies geschieht mit großer Annäherung entweder dadurch, daß man außerhalb einige Kubikfuß Flüssigkeit anwendet, während die mit der Blase geschlossene Röhre nur einige Gramm einer Lösung enthält, oder vollständiger und bequemer dadurch, daß man die Flüssigkeit außerhalb oft erneuert. Letzteres Verfahren wurde vom Verfasser bei allen seinen Versuchen eingehalten. In dem äußeren Gefäße hatte er destillirtes Wasser, welches er häufig erneuert, während die Röhre die Lösung

1) Abhandl. d. Berliner Akad. v. 1814 u. 15., Gilbert's Ann. Bd. 72. S. 300.

2) *Ann. de chim. et de phys. T. XXXV.* (Pogg. Ann. Bd. 11. S. 138.)

3) Poggendorff's Ann. Bd. 10. S. 153.

4) *Ann. de chim. et de phys. T. XXXV.* (Pogg. Ann. Bd. 11. S. 134.)

5) Poggend. Ann. Bd. 34. S. 613.

6) *Ibid.* Bd. 58. S. 77.

7) Archiv von Roser u. Wunderlich 1846, Heft 4. u. 1847 Heft 7. (Auch Pogg. Ann. Bd. 73. S. 519.)

des Stoffes enthielt, dessen Diffusion zu Wasser bestimmt werden sollte.

Die nach verschiedenen Zeiten eingetretenen Aenderungen wurden durch Abwägen der Röhre bestimmt, also durch das Gewicht und nicht nach dem Volumen. Diefs gewährt einen doppelten Vortheil; die Waage ist eins der feinsten Mefswerkzeuge, die unvermeidlichen Beobachtungsfehler sind bei ihr kleiner als bei Volumens-Bestimmungen; zum Andern fallen alle die Schwierigkeiten weg, die durch Ausbeugen und Anschwellen der Blase einer genaueren Volumsbestimmung sich entgegensetzen.

Die Abwägungen und Erneuerungen des destillirten Wassers setzte man so lange fort, bis keine anderen Gewichtsänderungen mehr eintraten als solche, die von der Verdunstung herrührten. Der Einfluß der Verdunstung wurde durch Abwägungen einer zum Theil mit Wasser gefüllten Controlröhre bestimmt. Am Schlusse jeder Versuchsreihe war, wie voraussichtlich, nur destillirtes Wasser im Innern der Röhre; der gelöste Stoff war durch Diffusion mit dem stets erneuten, destillirten Wasser gänzlich entfernt. Die an die Stelle des entfernten Stoffs eingetretenen Wassermengen waren im Allgemeinen sehr verschieden.

Da eine Diffusion durch unorganische Zwischenwände eben sowohl erfolgt, wie durch thierische Membranen, so sollte man meinen, es müßten Thonplatten oder Aehnliches weit genauere oder vergleichbarere Resultate geben, als die so leicht veränderlichen thierischen Membranen. Allein mit dem Gebrauche unorganischer Zwischenwände tritt eine Schwierigkeit anderer Art entgegen. Sind die Thonplatten dick, so erfolgt die Diffusion äußerst langsam; sie tritt beinahe zurück gegen die Verdunstung, und ist nach 6 bis 8 Wochen noch nicht vollendet. Sind die Thonplatten dünn, so erfolgt die Diffusion zwar in kürzerer Zeit, aber dünne Platten sind nie ganz gleichförmig und ihre Poren sind an einzelnen Stellen von solcher Gröfse, dafs ein geringer hydrostatischer Druck das Wasser mechanisch durchtreibt, wodurch dann die endosmotischen Erscheinungen ganz

verdeckt werden. Aehnliches bemerkte der Verfasser bei einigen organischen Substanzen, wie Holz und Leder, die zwar minder veränderlich als Schweins- und Rindsblase sind, sich aber wegen des erwähnten Nachtheils nicht gebrauchen lassen. Er kam daher nach zahlreichen Versuchen auf den Gebrauch thierischer Blasen zurück, und zwar bediente er sich, mit Ausnahme weniger Fälle, nur der Schweinsblase, die eine grössere Zahl von Versuchen aushält als Kalbsblase, und bei ihrer geringen Dicke rascher wirkt als Rindsblase.

Durch Zufall lernte der Verfasser ein Verfahren kennen, nach welchem thierische Membranen weit länger der Fäulnis widerstehen und eine für Diffusionsversuche sehr erwünschte grössere Gleichförmigkeit erlangen. Seit beiläufig 8 Jahren benutzte er nämlich in seinen Vorlesungen eine mit Blase verschlossene, theilweis mit Weingeist gefüllte Röhre, die in Wasser gestellt wurde, um so eine Erscheinung der Endosmose qualitativ zu zeigen. In dieser ganzen Zeit wurde die Blase nicht erneut; es war dies nicht nöthig, denn die Endosmose blieb immer gleich gut wahrnehmbar. Als er vor einem Jahr die messenden Versuche aufnahm, stellte er mehrere Röhren, wie die früher gebrauchten, her. Die relativ frischeren Blasen hatten schon nach 14 Tagen einen fauligen Geruch, während bei der älteren Blase erst nach 6 Wochen ununterbrochenen Gebrauchs ein Gleiches zu bemerken war. Da er dies der Wirkung des Weingeistes zuschrieb, den er früher so häufig bei dem gleichen Instrumente benutzt hatte, so liess er von nun an die Röhren, die frisch mit Blase versehen waren, mit Weingeist gefüllt, einige Tage in Wasser stehen, bevor sie zu weiteren Versuchen angewendet wurden. Der Erfolg war auch in sofern der Erwartung entsprechend, als die mit Weingeist behandelten Blasen, selbst in den Sommermonaten bei einer Lufttemperatur von 19° R. in ununterbrochenem Gebrauch, durch 8 bis 10 Tage der Fäulnis widerstanden.

Das Aufbinden der Blase auf die Röhre verlangt einige

Sorgfalt. Folgendes Verfahren führte schnell und sicher zum Ziel. Die Blase wurde in kaltem Wasser aufgeweicht, und in diesem Zustande über das eine offene Ende der Röhre mit einer Schnur fest gebunden. Nach ungefähr 24 Stunden ist die Blase vollkommen ausgetrocknet; man kann die Schnur wieder wegnehmen, die Blase zeigt sich fest an die Röhre geleimt. In diesem trocknen Zustande bindet der Verfasser dann von neuem die Blase mit stark gewirntem leinenem Faden an die Röhre. Zehn bis zwölf Umschlingungen dicht neben einander geben einen genügend festen Vorschufs. Kommt der Apparat in Wasser so quillt der stark gewirnte Faden auf und schließt die Blase nur um so fester an die Röhre an.

Die angewandten Röhren sind gewöhnliche cylindrische Glasröhren von ungefähr 15 Centm. Länge und 2 bis 3 Ctm. Durchmesser. Das Aufbinden der Blase ist an denselben leichter auszuführen als an solchen, die unten trichterförmig erweitert oder gar mit einem umgebogenen Rand versehen sind.

Das so vorbereitete Instrument muß, nachdem es in der früher erwähnten Art mit Weingeist behandelt worden ist, einer Probe unterworfen werden, deren Zweck dahin geht, zu erkennen, ob nicht Wasser bei einem hydrostatischen Druck von 1 bis 2 Zollen an einzelnen Stellen der Blase oder gar an dem aufgebundenen Rand mechanisch durchgepreßt werde. Der Verfasser hing also die leere Röhre in Wasser so auf, daß das mit Blase verschlossene Ende ungefähr 2 Zoll unter dem Niveau des Wassers stand. Wenn nach 24 Stunden auf der inneren Seite der Membran kleine Wassertröpfchen zu bemerken waren, so hielt er die Blase für unbrauchbar zu messenden Versuchen; er erneute daher dieselben so lange, bis er Stücke fand, die den bezeichneten Fehler nicht hatten. Es tritt indess dieser Fehler nicht häufig ein, und hat man ein Stückchen einer Blase als brauchbar zu den Versuchen erkannt, so wird man meist jedes andere Stückchen derselben Blase ebenfalls brauchbar finden.

Wägt man die mit Blase geschlossene Röhre leer und trocken ab, so tritt begreiflich durch Eintauchen in Wasser eine Gewichtszunahme ein, die indess nach einer oder zwei Stunden, je nach der Temperatur des Wassers, ihr Maximum erreicht. Die Blase und die zum Aufbinden angewendete Schnur imbibiren nämlich Wasser. Man wog daher in diesem feuchten Zustand die Röhre zum zweiten Male ab, um die durch Imbibition zurückgehaltene Wassermenge kennen zu lernen.

Nach allen diesen Vorbereitungen brachte der Verfasser die Stoffe oder die Lösungen der Stoffe, deren Diffusion mit Wasser gemessen werden sollte, in abgewägten Mengen in die Röhre.

Folgende Beispiele werden die Anwendung der Methode näher erläutern.

• Versuch mit trockenem Kochsalz.

Gewicht der Röhre, leer und feucht ¹⁾	37,81 Grm.
Gewicht des trocknen Kochsalzes	2,4
Totalgewicht	<u>40,21</u>
11. Jan. 1847. Abwägung 4 ^b Nachmittags	40,21
15. Jan. do. Letzte Abwägung 11 ^b Vormitt.	48,12
Verdunstung vom 11. bis 15. Jan.	0,05
Totalgewicht	<u>48,17</u>

Das Gewicht des durch Diffusion eingetretenen Wassers ist daher $48,17 - 37,81 = 10,36$. Es sind also 2,4 Grm. Kochsalz ersetzt durch 10,36 Grm. Wasser, oder 1 Grm. Kochsalz durch 4,316 Grm. Wasser.

Versuch mit Kochsalzlösung.

Gewicht der Röhre, leer und feucht	37,81
Gewicht des trocknen Kochsalzes	2,0
Gew. des zur Lösung angewendeten Wassers	6,2
Totalgewicht	<u>46,01</u>
16. Jan. Abwägung 11 ^b Morgens	46,01
22. Jan. Letzte Abwägung 4 ^b Nachmittags	43,1
Verdunstung vom 16. bis 22. Jan.	0,07
Totalgewicht	<u>53,17</u>

1) Blase und Schnur mit Wasser imbibirt.

Das Gewicht des durch Diffusion eingetretenen Wassers ist daher $53,17 - 44,01 = 9,16$. Es sind also 2 Grm. Kochsalz, die in 6,2 Grm. Wasser gelöst waren, ersetzt worden durch 9,16 Grm. Wasser oder 1 Grm. Kochsalz durch 4,58 Grm. Wasser.

Durch eine ausgedehnte Reihe solcher, späterhin auch unter Aufzeichnung der Temperatur angestellter Versuche mit verschiedenen Stoffen, gelangte der Verfasser zu dem Resultat, daß für die durch die Blase gegangene Menge des Stoffs immer ein von dessen Natur abhängiges bestimmtes Multiplum von Wasser wieder eintrete. Dieses Multiplum nennt er das *endosmotische Aequivalent* des Stoffes.

Folgendes sind die beobachteten Werthe dieser Aequivalente für die untersuchten Stoffe.

No. des Membran.	Gewicht des Stoffs zu Anfang des Versuchs.	Gewicht des zur Lösung dienenden Wassers.	Endosmotische Aequivalente nach den Versuchen.	Mittlere Temperaturen.
Kochsalz.				
1	2,4	0	4,316	Nicht beobacht.
1	2,0	6,2	4,58	" "
2	2,4	0	3,991	" "
2	4,8	0	3,820	" "
10	0,741	4,352	4,352	- 0°,34 R.
11	1,139	4,092	4,092	+ 0°,52
Glaubersalz.				
5	0,2816	4,0414	12,44	+ 9° R.
7	0,4066	34,1924	12,023	+ 5°
7	1,152	0	11,033	+ 0°,24
6	0,344	4,942	11,066	+ 0°,45
1	0,3816	0,4804	11,581	+ 3°,58
Schwefelsaures Kali.				
1	2,0	0	11,42	Nicht beobacht.
2	1,0	10,08	12,65	" "
4	1,214	0	12,76	+ 2°,42 "
Schwefelsaure Bittererde.				
5	1,067	1,121	11,503	- 0°,4
6	1,067	5,354	11,802	+ 1°,22
Schwefelsaures Kupferoxyd.				
6	1,728	0,972	9,564	Nicht beobacht.

No. des Membran	Gewicht des Stoffs zu Anfang des Versuchs.	Gewicht des zur Lösung dienenden Wassers.	Endosmotische Aequivalente nach den Versuchen.	Mittlere Temperaturen.
Saures schwefelsaures Kali.				
9	2,0	0	2,345	Nicht beobacht.
Schwefelsäure-Hydrat.				
3	1,248	3,952	0,391	+ 18°,0
5	1,315	4,165	0,308	+ 18,0
Kali-Hydrat.				
7	0,031	5,869	200,09	Nicht beobacht.
1	0,028	9,553	231,4	- 1°,17
Alkohol.				
6	2,840	0,710	4,140	+ 17°
8	0,707	0,177	4,132	+ 0,2
4	3,755	0,789	4,336	+ 2,5
Zucker.				
6	0,730	3,137	7,250	+ 1°,5
7	0,308	0	7,064	+ 3
Gummi.				
5	0,565	3,102	11,79?	Nicht beobacht.

Der Verfasser geht nun in eine nähere Betrachtung der endosmotischen Vorgänge ein, wobei er zuvörderst annimmt, daß die Menge der durch eine Membran in einer bestimmten Zeit übertretenden Stoffe wesentlich abhängt: 1) von der Größe des wirkenden Membranstücks; 2) von der Dichtigkeit der Lösung; 3) von der Anziehung der Membran gegen die getrennten Stoffe und 4) von der Anziehung der getrennten Stoffe gegen einander.

In Betreff der beiden ersten Elemente hält er es für das Wahrscheinlichste, daß jene Menge ihnen geradezu proportional sey, aber die beiden letzten sieht er sich, wegen unserer völligen Unkenntniß derselben, genöthigt, als eine unbekannte Größe, als einen Coëfficienten in der Rechnung aufzuführen, der einstweilen nicht direct bestimmbar ist, sich aber ändert je nach den Stoffen und je nach den Zwischenwänden, die in den Diffusionsversuchen angewandt werden.

Der Verfasser bezeichnet durch α die Menge des Stoffs, welcher in der Zeiteinheit durch die Flächeneinheit der Membran bei der Dichtigkeitseinheit der Lösung zu dem destillirten Wasser übergeht. Als Dichtigkeitseinheit der Lösung nimmt er an: die Gewichtseinheit des Stoffs gelöst in dem gleichen Gewicht Wasser, und bezeichnet daher die Dichtigkeit der Lösung durch den Quotienten aus dem Gewicht des Wassers in das Gewicht des gelösten Stoffs. Hiernach ist die durch eine Fläche gehende Menge des Stoffs $= \alpha f$; für eine Dichtigkeit δ wird sie $= \alpha f \delta$ und für eine Zeit $t = \alpha f \delta t$.

Hierbei wird aber vorausgesetzt, daß die Dichtigkeit während der ganzen Dauer des Versuchs ungeändert bleibe. Dies ist aber nicht der Fall; sie ändert sich in jedem Augenblick aus zwei Ursachen: es tritt Wasser ein, und geht zugleich ein Theil des Stoffs zu dem Wasser über, jedoch in einer nach den aufgefundenen Aequivalenten bestimm- baren Weise. Bezeichnet man durch a die anfängliche Menge des Stoffs und durch n die Menge des Wassers, in der er gelöst ist, so ist beim Beginn des Versuchs die Dichtigkeit der Lösung $= \frac{a}{n}$. Ist nach einer Zeit eine Menge x des Stoffs durch die Membran getreten, so ist in derselben Zeit βx Wasser eingedrungen, wo β das Aequivalent des betreffenden Stoffs bezeichnet. Es ist also im Innern der Röhre noch vorhanden ein Gewicht $a - x$ des ursprünglich angewandten Stoffs und dieses ist gelöst in $n + \beta x$ Wasser. Die Dichtigkeit der Lösung ist daher nach einer Zeit $t = \frac{a - x}{n + \beta x}$. Diese Dichtigkeit bleibt für ein Differential der Zeit ungeändert; für eben diese Zeit ist aber dx die eintretende Stoffmenge; man hat also

$$dx = \alpha f \frac{a - x}{n + \beta x} \cdot dt.$$

Durch Integration dieser Gleichung innerhalb der Grenzen $x = 0$ und $x = a$, erhält man

$$t \alpha f = (n + \beta a) \lg. \text{nat} \left(\frac{a}{a - a_1} \right) - \beta a_1$$

Durch diese Gleichung kann die Zeit t eines Versuchs

durch Rechnung bestimmt werden, welche erforderlich ist, damit eine Menge a_1 eines Stoffs durch Diffusion zum Wasser übertrete. Sie kann indess, da α seiner Größe nach nicht bekannt ist, nicht zu einer absoluten, sondern nur zu einer relativen Zeitbestimmung anwendbar seyn. Nur dieses ist aber nöthig, um sie an einer Versuchsreihe, die mit einem und demselben Stoffe angestellt wird, zu prüfen.

Wie dies geschehen könne, mag die Berechnung des folgenden Versuches zeigen:

Gewicht der Röhre, leer und feucht	33,4460 Grm.
Gewicht des wasserfreien Glaubersalzes	0,2816
Gewicht des Krystallwassers	0,3584
Gew. des zur Lösung angewandten Wassers	3,683
Totalgewicht	<u>37,769</u>
Abwägung 17. Nov. N. M. 3 ^h 45'	37,769
„ 18. Nov. V. M. 8 ^h	39,329 ¹⁾
„ 18. Nov. N. M. 3 ^h 30'	39,700
„ 19. Nov. V. M. 8 ^h 15'	40,166
„ 20. Nov. V. M. 8 ^h 30'	40,531
„ 21. Nov. V. M. 9 ^h	40,738
„ 22. Nov. V. M. 8 ^h	40,850
Letzte Abwägung 24 Nov.	40,992

Hieraus ergibt sich das endosmotische Element des Glaubersalzes zu

$$\frac{40,992 - 37,4874}{0,2816} = 12,44.$$

Bezeichnet man die Gewichtszunahmen, die in den oben notirten Zeiten eingetreten waren, der Reihe nach mit $p_1, p_2, p_3 \dots$ und die entsprechenden Zeitintervalle mit $t_1, t_2, t_3 \dots$ so hat man:

$p_1 = 1,560$	nach	$t_1 = 16,25$	Stunden
$p_2 = 1,931$	„	$t_2 = 23,75$	„
$p_3 = 2,397$	„	$t_3 = 40,50$	„
$p_4 = 2,762$	„	$t_4 = 64,75$	„
$p_5 = 2,969$	„	$t_5 = 89,25$	„
$p_6 = 3,081$	„	$t_6 = 112,25$	„

1) Diese und alle folgenden Zahlen sind schon wegen der Verdunstung berichtigt.

Aus $p_1, p_2, p_3 \dots$ berechnen sich zunächst die entsprechenden Salzmengen $a_1, a_2, a_3 \dots$, die in den gleichen Zeiten durch Diffusion zu dem Wasser übergehen. Da eine Salzmenge a_1 , nach dem gefundenen Aequivalent 12,44 durch $12,44 \cdot a_1$ Wasser ersetzt wird, und da die Gewichtszunahme gleich dem Gewicht des eingetretenen Wassers weniger dem Gewicht des ausgetretenen Salzes ist, so hat man $p_1 = 1244 \cdot a_1 - a_1$. Es ist also:

$$a_1 = \frac{p_1}{12,44}; \text{ ebenso } a_2 = \frac{p_2}{12,44} \text{ u. s. w.}$$

Nun war $a = 0,2816$, $p = 12,44$ und $n = 4,0414$. Dadurch erhält man:

$$\begin{array}{ll} t_1 \alpha f = 3,299 & t_4 \alpha f = 11,697 \\ t_2 \alpha f = 4,803 & t_5 \alpha f = 15,997 \\ t_3 \alpha f = 7,678 & t_6 \alpha f = 20,310. \end{array}$$

Sind die für die Gleichung gemachten Voraussetzungen richtig, so müssen die Verhältnisse der berechneten Zeiten gleich denen der beobachteten seyn. Es ist:

	Berechnet.	Gefunden.
$t_1 : t_2$	$= 3,299 : 4,803$	$= 16,25 : 23,75$
	1: 1,456	1: 1,461
$t_1 : t_3$	$= 3,299 : 7,678$	$= 16,25 : 40,5$
	1: 2,327	1: 2,492
$t_1 : t_4$	$= 3,299 : 11,695$	$= 16,25 : 64,75$
	1: 3,545	1: 3,984
$t_1 : t_5$	$= 3,299 : 15,997$	$= 16,25 : 89,25$
	1: 4,849	1: 5,492
$t_1 : t_6$	$= 3,299 : 20,310$	$= 16,25 : 112,25$
	1: 6,156	1: 6,907.

Hier sind alle Zeitverhältnisse mit dem ersten von 16,25 Stunden verglichen. Nach Anstellung des Versuchs war die Erneuerung des äußeren Wassers zum ersten Male nach 16,25 Stunden erfolgt; gerade während dieser Zeit war der Uebergang des Salzes zum Wasser am stärksten, das äußere Wasser war also bald eine freilich sehr verdünnte Lösung von Glaubersalz geworden. Ohne diesen Umstand

wäre in derselben Zeit offenbar eine gröfsere Salzmenge übergetreten; man hätte daher für p_1 und folglich auch für t_1 einen gröfseren Werth gefunden. Dieser Uebelstand wird mit dem Fortgang des Versuchs geringer, weil die Lösung an Dichtigkeit und daher die Geschwindigkeit in der Diffusion abnimmt. Es läfst sich daher erwarten, dafs eine bessere Uebereinstimmung sich zeigen werde, wenn die unmittelbar auf einander folgenden Zeiten verglichen werden. Hiernach erhält man:

durch Rechnung:	durch Beobachtung:
$t_1 : t_2 = 1 : 1,456$	$t_1 : t_2 = 1 : 1,461$
$t_2 : t_3 = 1 : 1,598$	$t_2 : t_3 = 1 : 1,705$
$t_3 : t_4 = 1 : 1,523$	$t_3 : t_4 = 1 : 1,598$
$t_4 : t_5 = 1 : 1,367$	$t_4 : t_5 = 1 : 1,396$
$t_5 : t_6 = 1 : 1,269$	$t_5 : t_6 = 1 : 1,256.$

Diese Zahlen weichen meist erst in der zweiten Decimale ab und enthalten somit eine vortreffliche Uebereinstimmung zwischen Rechnung und Beobachtung.

In ähnlicher Weise hat der Verfasser noch 20 eigends deshalb angestellte Versuche berechnet, ohne, mit Ausnahme ganz weniger Anomalien, gröfsere Abweichungen als die schon bezeichneten zu finden. Er hält es demnach für eine ausgemachte Sache, dafs

1) die endosmotischen Aequivalente in dem Sinne, wie sie aufgestellt wurden, existiren, und

2) die Menge der in einer Zeiteinheit übertretenden Stoffe, unter sonst gleichen Verhältnissen, der Dichtigkeit der Lösung proportional ist.

VIII. Zur Geschichte der Lehre von der doppelten Strahlenbrechung; von C. Marx in Braunschweig.

Kaum möchte irgend ein anderer Abschnitt der Naturlehre in geschichtlicher Hinsicht so interessant seyn als der, welcher die Lehre von der doppelten Strahlenbrechung und der Polarisation des Lichtes umfaßt. Seitdem Bartholin die wunderbare Eigenschaft des Doppelpaths erkannt und beschrieben hat, bis auf die neueste Zeit hat fast jeder Schritt in diesem Gebiete neue, unerwartete Entdeckungen herbeigeführt, so daß selbst die eifrigsten Bearbeiter desselben von dem, was neben ihnen von Andern aufgefunden ward, überboten und überrascht wurden. Noch fehlt eine das Einzelne genau und kritisch darstellende historische Entwicklung, und bis eine solche versucht und ausgeführt, mag auch das Nachstehende als ein kleiner Beitrag dazu gelten.

Vor einiger Zeit theilte Biot der Academie der Wissenschaften zu Paris eine ihm zugekommene Beobachtung von Mitscherlich mit, wonach die zum regulären System gehörenden Krystalle von chlorsaurem Natron, ähnlich wie gewisse Platten von Alaun, im polarisirten Lichte Farben-Erscheinungen zeigen. Es sey dieses also wiederum eine, wenn auch nur scheinbare ¹⁾ Ausnahme von dem schönen

Ge-

1) Die Ursache läge nämlich nicht in dem Vorhandenseyn wirklicher Axen der doppelten Brechung, sondern in dem mehr oder minder sichtbaren blättrigen Gefüge (*dans les plans de clivages, visibles ou invisibles*) solcher Krystalle. Ich glaube sie sey eher durch irgend eine bei ihrer Bildung eingetretene Verschiebung ihrer Theile zu erklären. So fand Brewster, daß schon ein kleiner Druck Polarisations-Phänomene in Krystallen von Kochsalz und Flußspath hervorrief, während solche von Kalkspath, Topas davon nicht afficirt wurden, auch bei der stärksten Gewalt (*I have applied forces so great as to break the shoulders of all the clamps that were employed, Philos. Transact. 1816 p. 167*), welche er darauf wirken liefs.

Gesetze, welches Dufay entdeckt habe (*la belle loi de Dufay*) das die Krystalle des regulären Systems keine doppelte Strahlenbrechung ausüben (*Comptes R.* 16. Nov. 1826 No. 20. p. 910.).

Eine andere Beobachtung von Mitscherlich legte Biot gleichfalls der Academie vor, nämlich, das das Doppelsalz aus Weinsäure und Natron-Ammoniak, so wie das aus Traubensäure (*le paratartrate*) und denselben Basen, ganz gleiche Zusammensetzung, gleiche Form, gleiches specifisches Gewicht, gleiche doppelte Strahlenbrechung, also auch gleiche Winkel der optischen Axen besitzen, das aber die Auflösung des erstern die Polarisations-Ebene nach rechts ablenkt, während die des andern Doppelsalzes darauf keine Wirkung ausübt. Indem nun Pasteur diese Beobachtung weiter verfolgte, gelangte er zu dem merkwürdigen Resultat, das, wenn man die Krystalle des traubensauren Doppelsalzes genau untersucht, man stets finde, das ein Theil derselben hemiëdrische Flächen besitzt, welche rechts, ein anderer Theil solche, welche links gewunden sind. Suche man sie einzeln sorgfältig aus, so lenken jene das Licht rechts, diese links ab, beide verbunden aber lassen die Polarisations-Ebene ungeändert. Auch die beiden, aus den zwei Gruppen von Krystallen für sich abgeschiedenen Säuren, obgleich im Uebrigen ganz identisch, zeigten einzeln dasselbe entgegengesetzte Verhalten gegen das Licht, während sie, mit einander verbunden, in Beziehung darauf sich neutralisirten.

Die ausführliche Abhandlung von Pasteur (in den *Ann. de Chim. et de Phys. T. XXIV.* Dec. 1848) verdiente vollständig auch in diesen Annalen mitgetheilt zu werden. Einige Nachträge dazu befinden sich in den *Compt. R. T. XXVIII.* 9. Avr. 1849 No. 15, wo er auch angiebt ähnliche hemiëdrische Krystallbildung an arceisensauren Strontian wahrgenommen zu haben. Gewiss verdient dieser Gegenstand die gründlichste weitere Verfolgung. So möchte das schwefelsaure Ceroxydul, an welchem ich früher eine ähnliche Bildung beobachtet habe (Schweiger-Seidels Jahrb. 1828. I. 4. S. 482) näher zu untersuchen seyn. Der Apatit von Gotthard, an welchem Haidinger die rechts und links gewundenen Flächen so schön nachgewiesen, ist, meines Wissens, in optischer Hinsicht noch nicht geprüft. Ein großer Krystall von Ehrenfriedersdorf zeigte mir die farbigen Ringe mit dem schwarzen Kreuze vollständig, ohne Drehungsfarben. Vielleicht findet hier auch eine Neutralisation entgegengesetzter Bildungen statt, wie sie Pasteur an der Traubensäure entdeckt, wie sie Biot schon längst beim Quarze vermuthet (*Traité de Ph. IV.* 524) und wie ich sie beim Amethyst nachgewiesen habe (in der Abhandlung in Schweiger-Seid. Jahrb. 1831 I. I. Hier heisst es S. 9.: „Wenn die verschiedenartigen Adern oder Schichten so schmal werden, sich so nahe bei einander befinden,

Mancher Leser möchte nun wohl verwundert fragen, wann denn diese Entdeckung gemacht und wo sie verzeichnet sey. Es ist indessen diese Annahme oder Behauptung Biot's nicht neu. In dem *Bulletin de la Sociét. philomath.* vom Jahre 1820 p. 79. sprach er sie schon aus und zwar in einem noch ausgedehnteren Sinne. Bei Gelegenheit nämlich wo er bemerkt, daß der Kanneelstein keine doppelte Brechung zeige, also tessularisch sey, fügt er hinzu, dieses habe längst schon für alle regulären Krystalle Dufay nachgewiesen. Ja Fontenelle habe *dans ses Éloges* angedeutet, daß er seine Beobachtungen noch viel weiter ausgedehnt habe und diese Ausdehnung begreife unstreitig die Klasse von Krystallen mit zwei Axen der doppelten Brechung, deren Entdeckung man also wohl seinem Scharfsinn zuschreiben dürfe (*Cette extension semble bien clairement concerner les cristaux à deux axes, dont l'existence paraît ainsi n'avoir pas échappé à la sagacité du Dufay*).

Da ich gerade damals mit der Aufsuchung der Materialien für eine Geschichte der Krystallkunde beschäftigt war, so suchte ich mich über diesen historisch nicht uninteressanten Punkt näher zu unterrichten und fand die betreffende Stelle in der *Histoire de l' Acad. des Sciences* für 1739, in der Denkrede auf Dufay (die unstreitig von Fontenelle ist, obgleich dieses weder an dem Orte selbst, noch in der Sammlung seiner Schriften angegeben ist). Hier wird gesagt, seine letzte, fast ganz vollendete Arbeit sey die über den Bergkrystall und den Isländischen Spath gewesen. Durch genaue Versuche und Messungen sey er zu allgemeinen Resultaten gekommen. So habe er z. B. entdeckt, daß alle durchsichtigen Steine, deren Winkel rechte sind, nur eine einzige Brechung haben, und daß alle die, deren Winkel nicht rechte sind, eine doppelte besitzen, deren Maafs von der Neigung ihrer Winkel abhängen. (Il

daß sie fast in Eins verschmelzen, so heben sie ihre gegenseitige Wirkung auf, neutralisiren einander, und dann tritt an solchen Stellen der Fall ein, wie bei den andern einaxigen Krystallen, indem hier die ursprüngliche Polarisation nicht gestört wird.“)

étoit arrivé par un grand nombre d'expériences à une mesure juste et à de faits généraux, que du moins pouvoient tenir lieu de principes, en attendant la première cause Physique, encore plus générale. Il avoit découvert, par exemple, que toutes les pierres transparentes, dont les angles sont droits, n'ont qu'une seule réfraction, et que toutes celles, dont les angles ne sont pas droits, en ont une double, dont la mesure dépend de l'inclinaison de leur angles). Es mag nun jedem Unbefangenen überlassen bleiben hiernach zu beurtheilen, ob ein haltbarer Grund für die Behauptung Biot's vorliege, oder ob nicht vielmehr das Bestreben ersichtlich sey, einem Landsmann eine wissenschaftliche Entdeckung zu vindiciren, die, nach dem Ausspruch der unpartheiischen Geschichte, unbestreitbares Eigenthum eines ganz Andern ist.

IX. *Gewicht und Gewichtsverhältnisse der Atmosphäre; von E. Schmid in Jena.*

Die Frage nach dem Gewichte der Atmosphäre gehört zu den einfachsten; denn es handelt sich nur darum, aus dem Bodendruck einer Flüssigkeit ihr Gewicht zu bestimmen. Und dennoch ist sie sehr verschieden beantwortet worden.

Poggendorff ¹⁾ berechnet das Volumen der trocknen atmosphärischen Luft, auf die Temperatur 0° und auf die dem Druck einer Quecksilbersäule von 0^m,76 Höhe entsprechende Dichte bezogen, zu

1954570 Kubikmeilen.

Dieses Volumen reducirte später Marchand ²⁾ auf Gewicht und erhielt

4 451 000 000 000 000 000 Kilogramme.

Zunächst für die Grundzüge der wissenschaftlichen Bo-

1) Handwörterbuch der reinen und angewandten Chemie herausgegeben von Liebig, Poggendorff u. Wöhler. Bd. I. Artikel: „Atmosphäre“.

2) Journal für praktische Chemie von Erdmann u. Marchand. Bd. 42. S. 449.

(tanik ¹⁾) von Schleiden unternahm ich eine directe Berechnung des Gewichts und erhielt

1 371 977 266 662 000 000 Preufs. Pfunde.

Eine Reduction auf französisches Gewicht ergibt

611 688 992 000 000 000 Kilogramme,

allerdings bedeutend weniger als von Marchand angegeben ist.

Endlich hat auch Marchand ²⁾ die Berechnung selbstständig durchgeführt und als Gewicht der Atmosphäre noch mehr gefunden, nämlich

5 263 623 000 000 000 000 Kilogramme.

Die Grundlagen, von welchen Poggendorff ausgeht, sind kürzlich die folgenden. Quecksilber bei 0° ist 10467,5 Mal so dicht als atmosphärische Luft bei 0° und 0^m,76 Barometerstand. Wenn daher die Luft überall die angegebene Temperatur und Dichte ~~besitze~~, und der Barometerstand am Meere 337^m,8 angenommen wird, so würde die Höhe der Atmosphäre 10467,5 · 337^m,8 = 24555' par. betragen. ~~Setzt~~ man also nach Abzug des Wasserdampfs die Höhe der trocknen atmosphärischen Luft unter denselben Bedingungen gleich einer geographischen Meile, den Halbmesser der Erde gleich 860 Meilen, so ergibt sich nach nicht weiter ausgeführten Gründen das Volumen der trocknen atmosphärischen Luft zu 1954570 Kubikmeilen.

Ich suchte zuvörderst den Luftdruck genauer zu erwägen. Deshalb ging ich von den Barometerständen aus, welche Schouw ³⁾ als die mittleren für Zonen von je 10 Breitegraden auf dem Becken des atlantischen Oceans aus Trentepohl's Tagebuch berechnet, und Berghaus ⁴⁾ auf die Intensität der Schwere unter 45° Breite reducirt hat. Mit Berücksichtigung des verschiedenen Flächeninhaltes dieser Zonen erhielt ich daraus als mittlerem Luftdruck 336^m,973 par. Als Betrag des Dampfdrucks nehme ich das

1) Zweite Auflage Bd. II. S. 445. Anmerkung.

2) Journal für praetische Chemie Bd. 42. S. 449.

3) Diese Annalen Bd. 26. S. 405.

4) Vorbemerkungen zum physikalischen Atlas S. 58.

Mittel aus den zu Calcutta, London, Jena und Catharinenburg dafür gefundenen Gröſen ¹⁾ d. i. $4''{,}353$ par. Demnach ist der mittlere Druck der trocknen Luft $336''{,}973 - 4''{,}353 = 332''{,}62$ par. d. i. $344''{,}26$ preufs. oder in runden Zahlen $344''$ preufs. Dafs mit dieser umständlichen Berechnung viel gewonnen wäre, will ich nun keineswegs behaupten. Schouw's Resultate entsprechen durchaus nicht mehr dem vollen Umfang der Erfahrung, besonders nachdem das Material durch Dove ²⁾ so bedeutend vermehrt worden ist. Aber selbst aus den von Dove gegebenen Uebersichten würde sich mit befriedigender Sicherheit kein Mittelwerth ableiten lassen, so dafs man bei der hier gegebenen Annäherung wird stehen bleiben können.

Einer Quecksilbersäule von $344''$ entspricht bei 0° eine Wassersäule von $32'39$, deren Gesamtdruck auf die Erdoberfläche gleich ist dem Gewicht einer Wassermasse von einer der Erdoberfläche gleichen Basis und $32'39$ Höhe. Nimmt man die Erdoberfläche zu $9\ 281\ 916,28$ geographische □ Meilen, die geographische □ Meile zu $388\ 194,01$ preussischen □ Ruthen ³⁾, und den preussischen Cubikfuß Wasser, welcher bei 15° R. 66 Pfunde wiegt, bei 0° zu $66,089$ preussischen Pfunden, so beträgt dieses Gewicht

1 371 977 266 662 000 000 preufs. Pfunde

und das ist zugleich das Gewicht der ganzen Atmosphäre. Dabei sind jedoch einige Momente unberücksichtigt geblieben. Erstens ist in den höheren Luftschichten das Verhältnifs zwischen dem Gewichte und der Masse, wegen der abnehmenden Intensität der Gravitation, ein anderes als am Boden. Zweitens nimmt auch die Stärke des Axenschwungs nach der Höhe zu, und wirkt dem Gewicht entgegen. Und drittens zeigt sich der Luftdruck in der Aequatorialzone, besonders in der Gegend der Windstillen, um ein Beträchtliches vermindert wegen des allgemeinen *Courant ascendent*. Da diese Momente sämmtlich der Schwere entgegenwirken,

1) Dove Repertorium Bd. 5. S. 265.

2) Diese Annalen Bd. 58. S. 177. und Bd. 77. S. 369.

3) Berghaus Grundriß der Geographie S. 13.

so wird sich, auch wenn ihr Einfluss verhältnißmäßig gering seyn möchte, das von mir berechnete Gewicht allerdings der Wahrheit nur annähern, aber doch insofern sicher seyn, als es nicht zu hoch angegeben ist.

Marchand ¹⁾ benutzte die von mir für den Betrag des Luft- und Dampfdrucks zusammengestellten Grundlagen, reducirte aber die Druckhöhe von Quecksilber auf Luft, für die letzte eine solche Dichte vorausgesetzt, dafs 1000 C. C. 1^{er},2995 wiegen, und berechnete das Gewicht dieser Luft, wenn es eine Schale erfüllt, deren innerer Durchmesser gleich ist dem Durchmesser der Erde, deren Dicke gleich ist 7846^m,83. Diese Berechnung führt zu dem oben angeführten Resultate.

Dafs aber die von Marchand befolgte Methode der Berechnung nicht die richtige ist, ergiebt sich sogleich aus ihren Consequenzen. Die Druckhöhe ist nach dem umgekehrten Verhältnifs der Dichte von Quecksilber auf Luft reducirt, und dabei ist die Luft als eine tropfbare Flüssigkeit angenommen, indem man ihre Dichte überall gleich voraussetzt. Die Druckhöhe dürfte aber ebensowohl auch auf Wasser oder eine andere tropfbare Flüssigkeit reducirt, und das Gewicht der Atmosphäre mit demselben Rechte dem Gewichte einer Schale von Quecksilber, Wasser u. s. w. von der Dicke der Druckhöhe angesetzt werden. Allein diese Gewichte stimmen mit einander durchaus nicht überein. Bedeutet nämlich

R den Erdhalbmesser,

h die Druckhöhe einer Flüssigkeit von der Dichte gleich Eins,

γ das Gewicht einer Volumseinheit dieser Flüssigkeit, d. i. das specifische Gewicht im strengen Sinne,

so ist:

$\frac{h}{n}$ die Druckhöhe,

und

1) Journal für pract. Chemie l. c. Der von mir berechnete Mittelwerth ist jedoch irrthümlich als von Berghaus herrührend citirt.

$n\gamma$ das specifische Gewicht einer n mal dichtern Flüssigkeit.

Ferner ist das Gewicht der Atmosphäre P , wenn man die Druckhöhe h zu Grunde legt

$$P = \frac{4}{3} \pi \cdot \gamma (3R^2 h + 3R h^2 + h^3).$$

Wenn man aber die Druckhöhe $\frac{h}{n}$ zu Grunde legt, so fällt das Gewicht der Atmosphäre P' bedeutend geringer aus, nämlich:

$$P' = \frac{4}{3} \pi \cdot \gamma (3R^2 h + 3R \frac{h^2}{n} + \frac{h^3}{n^2})$$

indem

$$P - P' = \frac{4}{3} \pi \cdot \gamma [3R h^2 (n - 1) + h^3 (n^2 - 1)].$$

Die weitere Angabe des Gewichts für die Bestandtheile der trocknen Atmosphäre beruht auf einer einfachen Proportionalrechnung. Indem ich als Mittelzahl aus den Untersuchungen von Dumas, Boussingault, Brunner, Saussure u. A. annehme das Volumverhältniß der Bestandtheile

Sauerstoff	20,76 Proc.
Stickstoff	79,19 -
Kohlensäure	0,05 -

erhielt ich nach den ältern Dichtigkeitsbestimmung von Berzelius und Dulong

für Sauerstoff	1,1026
- Stickstoff	0,9760
- Kohlensäure	1,5240

in preussischen Pfunden

313 634 003 159 000 000	Sauerstoff,
1 057 245 681 689 000 000	Stickstoff,
1 097 581 813 000 000	Kohlensäure,

und erhalte nach den neuern Dichtigkeitsbestimmungen von Regnault ¹⁾

für Sauerstoff	1,106
- Stickstoff	0,971
- Kohlensäure	1,529

1) Diese Annalen Bd. 65. S. 395.

in preussischen Pfunden

315 280 375 879 000 000 Sauerstoff,
 1 005 599 308 970 000 000 Stickstoff,
 1 097 581 813 000 000 Kohlensäure;

oder in Kilogrammen

147 460 130 000 000 000 Sauerstoff,
 493 715 511 000 000 000 Stickstoff,
 513 351 000 000 000 Kohlensäure.

X. *Bemerkungen über die Quellenbildung. Briefliche Mittheilungen vom Oberbergrath Zincken.*

Die dankenswerthe und gründliche Abhandlung des Hrn. Dr. Schlagintweit über die Isogeothenen, welche sich im siebenten diesjährigen Hefte Ihrer Annalen befindet, enthält, unter vielen andern interessanten Bemerkungen, auch Beobachtungen über die Entstehung der Quellen. Der Verfasser stellt besonders die Sätze auf, daß alle Quellen in Beziehung stehen mit der Lage und Neigung der Gebirgsschichten, so wie mit dem allgemeinen Charakter, der Configuration der Oberfläche etc. des Gebirges, welches näher nachgewiesen wird. Wenn man gleich aus diesen, fast zu allgemein gefassten Sätzen, vielleicht alle nähern Umstände der Quellenbildung würde herleiten können, so liegt es doch auf der Hand, daß es nützlich, ja erforderlich ist, deren Bedingungen näher zu erforschen, wenn irgend ein Nutzen aus dieser Betrachtung erwachsen soll; ich übergebe Ihnen daher folgende kurze Bemerkungen über die Quellenbildung in Gebirgen zu Ergänzung der Schlagintweit'schen Abhandlung.

Es ist eine, schon sehr lange vom Bergmann gemachte Bemerkung, daß auf dem Ausgehenden der Gänge viele Quellen gefunden werden. Es läßt sich daher das Streichen der Gänge häufig nach den Quellen beurtheilen, so

wie umgekehrt, auf dem Ausgehenden der Gänge Quellwasser erwartet werden kann. Ueberraschend interessante Belege geben viele specielle Bergwerksrevierkarten (z. B. die Gegend von Clausthal und Grund) für diese Erfahrung, welche schon der Bergmann der Vorzeit bei Aufsuchung der Gänge benutzte. Derselbe wufste auch, das man häufig bei kühlen und heitern Abenden und Morgen auf dem Streichen der Gänge einen Nebelstreif ruhend findet, ähnlich wie auf Flüssen und Teichen, wodurch die Gegenwart von Wasser verrathen wird. Der Grund der Wasserführung der Gänge ist einfach in den offenen Räumen derselben zu suchen; die denselben entspringenden Quellen fließen auf dem Ausgehenden im abfallenden Niveau aus, oder überströmen, bei gleichem Niveau des ausgehenden Ganges, das Nebengestein.

Ganz ähnlich wie die Gänge, verhalten sich die Gebirgslager, wenn die Art oder der Aggregatzustand des Gesteines wechselt, z. B. massiges und schiefriges Gestein zusammen liegt, wodurch offene Steinscheiden und nicht selten offene Klüfte entstanden und gangartig ausgefüllt sind. Dann findet man auch Quellen auf den Steinscheiden, jedoch selten so bedeutend, als auf dem Ausgehenden der Gänge, indem erst eine Erweiterung des Quellkanales durch die Quelle selbst erforderlich wird, um den offenen Gangräumen und Drusen ähnlich zu werden und bedeutenderen Wasserzuflufs möglich zu machen.

Die dargelegten Erfahrungen machen einleuchtend, welchen Nutzen die Beobachtung der Quellen im Gebirge für den Geognosten und Bergmann haben kann, abgesehen von den isogeothermalen Rücksichten auf dieselben.

Wenn auf eine genaue Charte einer Gegend alle Quellen, auch in Rücksicht auf Beschaffenheit und Stärke, aufgetragen sind, so wird, mit wenigen Ausnahmen, dadurch ein Anhaltspunkt gegeben, zu ermitteln, ob

- a) nur Bedingungen der Gestalt der Erdoberfläche die Ursache der Quellen seyen;
- b) ob es die Schichtenstellung,

- c) oder die Structur (z. B. Zerklüftung, Höhlen) des Gesteins sey;
- d) ob die Quellen auf dem Ausgehenden von Gängen liegen,
- e) auf Steinscheiden und dem Wechsel verschiedenartiger Gebirgsgesteine
- f) oder auf Klüften und Ruscheln.

Es wird keiner weitem Bemerkung bedürfen, um die Wichtigkeit, der, bisher wohl sehr oft außer Acht gelassenen Quellen, für den Geognosten und Bergmann, darzutun und zu deren genauesten Untersuchung aufzufordern. Nicht selten ist die Umgebung der Quellen so gelegen, vielleicht schon geritzt, dafs es keiner besondern Schurfarbeiten zu der Untersuchung derselben bedarf.

Möchten sich recht viele praktische Geognosten und Bergleute vereinigen, um ihre Erfahrungen über diesen so interessanten Gegenstand zu sammeln, welche künftig ein sehr zu beachtendes Hülfsmittel, besonders bei Untersuchung bergmännisch noch unbekannter Gegenden, darbieten können.

Ballenstedt am 28. Sept. 1849.

XI. *Historische Notiz über die specifische Wärme zusammengesetzter Körper.*

Im Band 76 dieser Annalen S. 129 findet sich eine Arbeit des Hrn. Woestyn über die specifischen Wärmen, welche aus den *Ann. de chim. et de phys. Série III. T. XXIII. S. 295* übertragen ist.

Hr. Woestyn stellt daselbst das Gesetz auf, dafs die Wärmemenge, welche nöthig ist, um die Temperatur des Atomgewichts eines zusammengesetzten Körpers um einen Grad zu erhöhen, gleich ist der Summe der Wärmemenge α , welche zu einer gleichen Temperaturerhöhung der in

dem zusammengesetzten Atom enthaltenen Atome und Bruchtheile von Atomen erfordert werden.

Es ist historisch zu bemerken, daß dieses Gesetz nicht neu ist, sondern schon von Schröder im Bd. 52 dieser Ann. S. 269 aufgestellt worden ist. Schröder hat dasselbe so ausgedrückt, daß die spezifische Wärme eines zusammengesetzten Körpers die Summe der spezifischen Wärmen sey, welche seinen Bestandtheilen in jenen Condensationszuständen zukommen, in welchen sie in der fraglichen Verbindung enthalten sind.

Es ist dies offenbar dasselbe Gesetz, nur ist darin Rücksicht auf die nothwendige Bedingung der Gleichheit der Condensationszustände genommen, welche nicht umgangen werden darf, und von Woestyn vernachlässigt wird.

Schröder hat die Nothwendigkeit der Beschränkung des Satzes auf den Fall entsprechender Condensationszustände mehrfach dargethan. So ist z. B. der Sauerstoff in den Oxyden von der Form RO und R_2O_3 im Allgemeinen mit gleichem Volum enthalten; die Beobachtungen zeigen, daß auch die spec. Wärme jedes Atoms Sauerstoff in diesen Verbindungen die gleiche ist. Ein größerer Condensationszustand findet in den Oxyden von der Form RO_2 statt; für sie ist auch die spec. Wärme jedes Atoms Sauerstoff kleiner.

Das Volum der Schwefelmetalle ist kleiner, als die Summe der Volume des Metalls und des Schwefels im isolirten Zustande. Auch die spec. Wärme der Schwefelmetalle ist kleiner, als die Summe der spezifischen Wärmen des Metalls und des Schwefels für sich. In dem Schwefelkies ist die Condensation größer, als in den übrigen Schwefelmetallen. Auch für die spec. Wärme des Schwefels im Schwefelkies ergibt die Beobachtung einen kleineren Werth, als für die übrigen Schwefelmetalle, wie Schröder am angeführten Orte gezeigt hat.

Woestyn berechnet zwar die spec. Wärme einiger Schwefelmetalle als Summe der spec. Wärmen der Metalle

und des Schwefels für sich, und findet die Resultate mit den Beobachtungen übereinstimmend. Er giebt jedoch nicht an, welchen *beobachteten* Werth für die spec. Wärme des freien Schwefels er seinen Rechnungen zu Grund legt; aber es scheint ein unrichtiger Werth zu seyn, etwa 34, während Regnault 40,8 für das Atom des freien Schwefels beobachtet hat. Für das Atom Schwefel in den meisten Schwefelmetallen ist die spec. Wärme, wie Schröder gezeigt hat, allerdings = 34 zu setzen.

Uebrigens leitet Woestyn für die spec. Wärme des in festen Verbindungen befindlichen Sauerstoffs und Chlors aus einigen Gruppen ganz dieselben Zahlenwerthe ab, welche Schröder am angeführten Orte schon festgestellt hat.

Diese ganze Arbeit von Woestyn enthält also nicht nur nichts Neues, sondern sie geht rückwärts, indem sie eine bereits festgestellt nothwendige Bedingung vernachlässigt, unter welcher der Satz allein Gültigkeit hat, und in seiner Anwendung eine genügende Annäherung zu der Wahrheit giebt.

XII. Reclamation in Betreff eines von Hrn. Doppler angegebenen Instruments. Schreiben des Hrn. J. Plateau an den Herausgeber.

Gent 25. März 1849.

Ich finde in Ihren Annalen Bd. 72. S. 530 einen Artikel von Hrn. Bolzano, worin dieser verschiedene von Hrn. Doppler vorgeschlagene physikalische Apparate und Verfahren auseinandersetzt. Eins dieser Verfahren bezweckt, die aus einer raschen und periodischen Bewegung, z. B. einer Schwingungsbewegung, hervorgehende Gesichtstäuschung zu zerstören; es besteht darin, daß man zwischen dem Auge und dem sich bewegenden Gegenstand eine undurchsichtige mit kleinen gleichabständigen Löchern versehene Scheibe aufstellt und dieselbe in ihrer Ebene und um ihren Mittelpunkt mit einer angemessenen Geschwindigkeit

rotiren läßt. Die Abhandlung in welcher Hr. Doppler dieß Verfahren beschrieben hat, ist 1845 erschienen; allein schon im Jahre 1833 hatte ich dieselbe Idee im Supplement zum *Traité de la Lumière* von Sir J. Herschel, übersetzt von den HH. Verhulst und Quetelet, p. 481, etc. ausgesprochen, und im Jahre 1836, in einer Note im *Bulletin de l'Académie de Bruxelles T. III. p. 364* bin ich mit neuen Details darauf zurückgekommen. Diese beiden Publicationen stellen also meine Prioritätsrechte auf die erwähnte Erfindung fest.

Uebrigens haben Sie in einer dem Aufsatz des Hrn. Bolzano hinzugefügten Note schon bemerkt, daß das von Hrn. Doppler vorgeschlagene Verfahren nicht neu sey; allein Sie sagen, daß unter anderen Savart es angewandt habe. In dieser Beziehung muß ich nun eine neue Reclamation erheben. Freilich hat Savart in seiner schönen Arbeit über die Constitution der Flüssigkeitsadern (*Ann. de chim. et de phys.* 1833, T. LIII. p. 337) ein gleichfalls auf die Andauer der Eindrücke auf die Netzhaut gegründetes Verfahren beschrieben, und mittelst desselben die aus der raschen Bewegung der Flüssigkeit entspringenden Gesichtstäuschungen zerstört; allein sein Verfahren, dessen Unvollkommenheit er selber anerkannt hat, ist ganz verschieden von dem meinigen.

Das Savart'sche Verfahren besteht nämlich darin, daß man ein breites schwarzes Band, versehen mit schmalen weißen Querstreifen in gleichen Abständen, sich hinter dem Flüssigkeitsstrahl und entgegengesetzt der Bewegung desselben bewegen läßt, und sich dann vor dem Strahl so aufstellt, daß dieser sich auf das Band projecirt. Wendet man nun eine geschwärzte Flüssigkeit an und hat das Band eine angemessene Geschwindigkeit, so unterscheidet man, in einem Zustand scheinbarer Unbeweglichkeit, Anschwellungen, welche das untere Ende des zusammenhängenden Theils der Ader begränzen, und getrennte Massen, die den unzusammenhängenden Theil bilden. Dieß Resultat entspringt daraus, daß jedes Mal, wenn eine der isolirten Massen sich

z. B. auf einen der weissen Streifen des Bandes projectirt, der für das Auge verdeckte Theil des Streifens diesem kein Licht zusenden kann, so dafs man an diesem Ort das Bild eines schwarzen Flecks auf dem grauen Grund sehen mufs, welchen der rasche Vorübergang der abwechselnd weissen und schwarzen Streifen erzeugt.

Allein es ist leicht begreiflich, dafs dies Verfahren die Anschwellungen und die isolirten Massen in gröfserer als der wirklichen Anzahl zeigen, und sie zugleich unter einer andern Gestalt als der wahren erscheinen lassen mufs. Weil nämlich die weissen Streifen, in Bezug auf das Auge, mit den einander folgenden isolirten Massen zum Zusammentreffen kommen, mufs offenbar der Abstand zwischen zwei Orten des Zusammentreffens eines und desselben weissen Streifens mit zwei einander folgenden schwarzen Massen nothwendig kleiner seyn als der wahr Abstand, der diese beiden Massen trennt; daraus folgt, dafs die Anzahl der schwarzen Flecke, die man nach dem Savart'schen Verfahren auf der Länge des discontinuirlichen Theils des Strahls erblickt, gröfser ist als die der isolirten Massen, welche sich, für einen gegebenen Augenblick, auf dieser selben Länge wirklich befinden. Dasselbe Raisonement gilt für die Anzahl der Anschwellungen des continuirlichen Theils, und es ergibt sich daraus die Folgerung, dafs die verticalen Dimensionen dieser Anschwellungen und der isolirten Massen kleiner erscheinen müssen, als sie in Wahrheit sind.

Wenn man nun, statt nach dem Savart'schen Verfahren die Ader zu beobachten, nach dem meinigen beobachtet, so ist aus der Natur dieses letzteren klar, dafs man alle Portionen der Ader in ihrer wahren Gestalt und in der wahren Anzahl erblicken mufs. Noch mehr! Wenn die Rotationsgeschwindigkeit der Scheibe, statt genau eine solche zu seyn, dafs jeder Spalt die verschiedenen Theile der Ader in derselben Phase ihrer Bewegungen sehen läfst, um eine sehr kleine Gröfse geringer ist, so mufs man die Bewegungen dieser Theile unterscheiden, aber anscheinend mit grofser Langsamkeit ausgeführt. Man mufs die An-

schwellungen langsam längs dem continuirlichen Theil hinabsinken, sich immer mehr ausbilden, dann sich ablösen sehen, um in den Zustand isolirter Massen überzugehen und endlich die Oscillationen zu vollziehen, deren Form Savart besprochen hat.

Abgehalten durch andere Arbeiten habe ich meinen Apparat noch nicht die Vollkommenheit gegeben, welche dieser Versuch erfordert; allein ich habe mir vorgenommen, mich unverweilt mit diesem Gegenstand zu beschäftigen und mein Verfahren auf die Beobachtung von Wasserstrahlen anzuwenden.

Was Hr. Doppler betrifft, so gehören ihm indess zwei Ideen: erstens nämlich, um eine gleichförmige Bewegung der Scheibe und den Werth ihrer Rotationsgeschwindigkeit zu erhalten, die Anwendung einer Cagniard-Latour'schen Sirene, mit welcher die Scheibe in Bewegung gesetzt wird; und zweitens die Ersetzung des ersten Verfahrens durch eine intermittirende Beleuchtung, dadurch, daß man die rotirende Scheibe zwischen dem zu beobachtenden Gegenstand und einer Lampe aufstellt. Möglich übrigens, daß Hr. Doppler in seiner Original-Abhandlung, von der ich nicht habe Kenntniß nehmen können, mich bei dem in Rede stehenden Verfahren citirt und sich nur die beiden eben erwähnten Ideen zuschreibt.

XIII. *Vom Durchgang des Wasserstoffgases durch starre Körper; von Hr. Louyet.*

(*Bulletin de l'acad. roy. de Belgique* 1848 pt. II. p. 297.)

Wenn man einen horizontalen aus einer Capillar-Oeffnung hervortretenden Strom von Wasserstoffgas auf ein, einige Millimeter von dieser Oeffnung vertical gehaltenes Blatt Papier richtet, so geht das Gas durch das Papier. Allein das Gas sibt nicht durch das Papier, wie man wohl

glauben könnte, sondern der Strom behält seine Form und kann hinter dem Papier angezündet werden, ganz wie wenn das letztere nicht zwischen dem Gasstrom und dem glühenden Körper aufgestellt wäre. Auch geräth ein Platinschwamm, der hinter dem Papier in Richtung des Stroms angebracht worden ist, ins Glühen. Das Platin wird noch glühend, wenn das Blatt Papier drei bis vier Centimeter von der Oeffnung ist, sobald man es nur dicht am Papier oder wenigstens in sehr kleinem Abstand davon hält.

Der Druck, unter welchem die Erscheinung sich einstellt, braucht nicht 10 bis 12 Centimeter Wasser zu übersteigen.

Zu meinem großen Erstaunen habe ich gesehen, daß das Wasserstoffgas in eben der Weise auch Blattgold und Blattsilber durchdringt. Hüllt man einen Platinschwamm in mehre Lagen Gold- oder Silberblättchen ein, und richtet den Gasstrom darauf, so wird er zuletzt glühend, und Gold und Silber haften daran.

Ein Platinschwamm, hinter Zinnfolie angebracht, und ein Strom Wasserstoffgas darauf geleitet, erhitzt sich stark, ohne jedoch zu erglühen. Da indess die Zinnfolie eine Masse kleiner Löcher enthält, wie man sieht, wenn man sie gegen Licht hält, so ist die Erscheinung nicht eben merkwürdig. Allein der Platinschwamm erhitzt sich noch merklich, wenn man die Zinnfolie verdoppelt.

Das Wasserstoffgas geht auch durch eine dünne Haut von Gutta-Percha, wie man sie nach dem Verdampfen einer Schicht der Lösung von Gutta-Percha in Chloroform erhält. Allein es geht nicht merklich durch die dünnen Glashäutchen, welche durch starkes Aufblasen einer Kugel am Ende einer Glasröhre entstehen, wie dünn diese Häutchen auch seyn mögen.

Diese Versuche lassen sich sehr bequem mit einem Döbereiner'schen Feuerzeuge wiederholen.

I. *Ueber die chemische Theorie der Volta'schen Säule. Von C. F. Schönbein.*

Häufig ist von der chemischen Theorie des Voltaismus behauptet worden, daß sie eine äußerst merkwürdige, an der offenen hydroelektrischen Säule auftretende Erscheinung nicht zu erklären vermöge und deshalb allein schon gegen die Contacthypothese, welche über das fragliche Phänomen genügende Rede und Antwort zu geben wisse, im entschiedensten Nachtheil stehe. Diese Erscheinung ist das Zunehmen der sogenannten elektrischen Spannung mit dem Wachsen der Zahl der Elemente einer Säule. Eine derartige Behauptung dürfte nicht ganz unbegründet seyn, wenn sie bezogen wird auf die chemische Theorie, wie dieselbe von de la Rive, Becquerel und Anderen aufgestellt worden ist; ich muß aber entschieden in Abrede stellen, daß der gemachte Vorwurf auch diejenige Ansicht treffe, welche ich über die nächste Ursache der hydroelektrischen Erscheinungen hege und die von mir in einer eigenen kleinen Schrift „Beiträge zur physikalischen Chemie“ schon vor geraumer Zeit ziemlich umständlich entwickelt wurde. Da der verehrungswürdige Senior der Elektriker, Hr. Pfaff, und mit ihm andere Physiker, meiner Theorie dennoch die Fähigkeit abgesprochen haben, über die statisch-elektrischen Erscheinungen der Säule Rechenschaft abzulegen, so halte ich es nicht für überflüssig, in diesen Annalen die Grundlosigkeit einer solchen Behauptung darzuthun und zu zeigen, daß die mit dem Wachsen der Zahl der Plattenpaare einer Säule eintretende Steigerung der elektrischen Spannung von meiner Hypothese gerade so nothwendig, wie von der Contacttheorie gefordert wird.

Bekanntlich bin ich selbst mit den strengsten Contactisten vollkommen über die Richtigkeit der Annahme einverstanden, daß es viele hydroelektrische Ketten gebe, welche voltaisch wirksam sind, ohne daß in ihnen vor bewerkstelligter Schließung irgend eine, entweder durch Verbindung oder Zersetzung sich äussernde, chemische Thätigkeit stattfindet, z. B. ein Metall der Kette oxydirt und deren feuchter Leiter zerlegt wird. Ketten dieser Art sind: Zink, Platin und reines Wasser; Zink, Platin und Zinkvitriollösung; Wasserstoff, Platin und reines Wasser; Bleisuperoxyd, Platin und Wasser; Chlor, Platin und Wasser etc.

Nichtsdestoweniger suche ich aber die Ursache der in solchen Ketten auftretenden elektrischen Erscheinungen nicht in einem bloßen, von allem Chemismus unabhängigen Contacte verschiedenartiger Materien z. B. zweier Metalle, sondern in einer allerdings durch Berührung bedingten chemischen Anziehung, welche ein Bestandtheil der Kette, z. B. das Zink, der Wasserstoff, das Chlor oder der Sauerstoff eines Superoxydes entweder gegen den Sauerstoff oder den Wasserstoff des Wassers, oder überhaupt gegen das Anion oder Kathion einer zur Kettenbildung angewendeten elektrolytischen Flüssigkeit ausübt. Der chemischen Anziehung z. B. einer Sauerstoff- oder Wasserstoff gierigen Substanz gegen das eine oder andere Ion des Wassers schreibe ich eine Störung des ursprünglichen chemischen Gleichgewichtszustandes eines Wassermoleciles zu, welches mit einer Substanz der angedeuteten Art in Berührung geräth, ohne daß aber hierdurch die Verbindung der Bestandtheile des Wassermoleciles aufgehoben zu werden und einer dieser Bestandtheile mit der anziehenden Substanz sich in der Wirklichkeit chemisch zu vereinigen braucht. Eine solche Störung des chemischen Gleichgewichts hat nach meinen Dafürhalten auch diejenige des elektrischen Gleichgewichtes, des besagten Wassermoleciles oder denjenigen Zustand zur Folge, welchen ich elektrische Polarisation zu nennen pflege. Die Wasserstoffseite unseres elektrolytischen Wassermoleciles wird positiv elektrisch, dessen Sauerstoffseite

negativ. Zieht eine Substanz den Sauerstoff des Wassers an, was der häufigere Fall ist, so wird die ihr zugewendete Seite des Wassermolecüles negativ, also die Sauerstoffseite seyn; übt die Substanz eine chemische Anziehung gegen den Wasserstoff des Wassers aus, so kehrt sich ihr die positive oder die Wasserstoffseite des Wassermolecüles zu. Befindet sich auf der einen Seite unseres Wassermolecüles eine Sauerstoff anziehende, auf der andern Seite eine Wasserstoff begierige Materie, so ist klar, daß unter diesen Umständen zwei chemisch elektromotorische Einflüsse auf das Wassermolecül ausgeübt werden, welche nothwendiger Weise mit Bezug auf die eintretende elektrische Polarisation oder Spannung stärker wirken müssen, als nur ein einziger, weil dieselben das Wassertheilchen in gleichem Sinne polarisiren. Stellt man an die entgegengesetzten Seiten des Wassertheilchens Substanzen, welche eine gleich starke chemische Anziehung entweder nur gegen den Sauerstoff oder nur gegen den Wasserstoff des elektrolytischen Molecüles ausüben, so sieht man leicht ein, daß keine elektrische Polarisation desselben erfolgen kann, weil in diesem Falle die wirkenden chemischen Zugkräfte das Wassermolecül mit gleicher Stärke in entgegengesetztem Sinne zu polarisiren suchen. Stehen an entgegengesetzten Seiten des Wassermolecüles Substanzen, von denen ebenfalls jede entweder nur den Sauerstoff oder den Wasserstoff des Wassers anzieht, sind aber diese gegen den gleichen Bestandtheil des Elektrolyten gerichteten chemischen Anziehungen an Stärke einander ungleich, so tritt zwar unter derartigen Umständen auch noch eine Polarisation des Wassermolecüles ein; es wird aber die Intensität derselben nur dem Unterschied der Größe der von beiden Substanzen gegen das gleiche Ion des Wassers ausgeübten chemischen Anziehungen proportional seyn können. Was im Voraustehenden von der Polarisation des Wassers gesagt worden, findet leicht seine Anwendung auf die durch chemische Ziehkräfte zu bewerkstelligende Polarisation aller elektrolytischen Flüssigkeiten. Nach dieser Kur-

zen Darlegung meiner Ansicht über die nächste Ursache der elektrischen Polarisirung elektrolytischer Körper durch chemische Ziehkraft, werde ich nun auch leicht zeigen können, daß die zwischen der Stärke der elektrischen Spannung und der Zahl gleichartiger Elemente einer Säule bestehende Proportionalität eine nothwendige Folge der eben entwickelten Ansicht ist.

Wählen wir zum Behufe einer solchen Beweisführung den Fall, wo Wasser die elektrolytische Verbindung und Zink der sauerstoffanziehende Körper ist, und denken wir uns ein Molecül dieses Metalles mit einem Molecül der Flüssigkeit in unmittelbare Berührung gesetzt.

Gemäß dem Gesagten wird unter diesen Umständen zunächst das Wassermolecül elektrisch polarisirt und zwar so, daß seine dem Zink zugewendete Seite in den negativen, die entgegengesetzte Seite aber in den positiven Zustand tritt und dauert dieser Zustand der Polarität des Wassermolecüles so lange an, als die Ursache zu wirken währt, die ihn hervorgerufen, also so lange, als das Zink in unmittelbarer Berührung mit dem Wasser bleibt. Auch versteht es sich von selbst, daß die Intensität der Polarität des Wassermolecüles abhängig ist von der Stärke der vom Zink gegen den Sauerstoff des Wassers ausgeübten chemischen Anziehung, d. h. von dem Grad der Oxydirbarkeit dieses Metalles.

Setzen wir die Intensität der im Wassermolecül durch das Zink hervorgerufenen Polarität zu 1 und lassen wir mit demselben ein zweites Wassermolecül in Berührung treten, so wird letzteres durch Induction ebenfalls polarisirt und zwar in dem gleichen Sinne, in welchem es das erste Wassertheilchen durch die chemische Ziehkraft des Zinkes geworden; wobei es sich von selbst versteht, daß die Stärke der elektrischen Polarität oder Spannung dieses zweiten Wassermolecüles nicht größer seyn kann, als die des ersten, d. h. nicht größer als 1. Ein drittes Wassertheilchen, dem zweiten angereicht, erlangt unter dem inducirenden Einfluß des letztern ebenfalls eine Spannung von

1 und man sieht leicht ein, daß jedes einzelne Glied einer stetigen Reihe von Wassertheilchen, deren eines Ende in Berührung steht mit einem Wassermolecül, welches sich unter dem Einfluß der chemischen Ziehwalt eines Zinktheilchens befindet, durch eine von Molecül zu Molecül gehende Induction in elektrische Spannung treten muß, dem Sinne und der Stärke nach gleich der Polarisation des ersten Wassermolecüles. Es bedarf wohl kaum der ausdrücklichen Bemerkung, daß auch unser Zinktheilchen durch das mit ihm in unmittelbarer Berührung stehende polarisirte Wassermolecül in der Weise elektrisch gespannt wird, daß die gegen das Wasser gekehrte Zinkseite positiv und die entgegengesetzte Seite negativ elektrisch ist.

Begrenzen wir nun das vom Zink abstehende freie Ende einer stetigen Reihe polarisirter Wassertheilchen durch ein Molecül einer Materie, die gegen den Sauerstoff oder Wasserstoff des Wassers sich so gut als chemisch indifferent verhält, z. B. durch ein Platinmolecül, so wird auch dieses Metall von dem angränzenden polarisirten Wassertheilchen durch Induction polarisirt werden, eine Spannung von 1 erhalten und dessen vom Wasser abgekehrte oder äußere Seite $+E$ zeigen. Würde man an dieses Platintheilchen eine zweite stetige Reihe von Wassermolecülen gränzen lassen, so sieht man leicht ein, daß jedes Glied dieser Reihe durch die inducirende Wirkung des Platintheilchens in gleichem Sinne und gleicher Stärke elektrisch gespannt werden müßte, in welchem das besagte Metalltheilchen es selbst ist; es müßte somit die Spannung der zweiten Reihe von Wassermolecülen $= 1$ seyn. Brächten wir unser polarisirtes Platintheilchen mit dem einen Ende einer stetigen Reihe von Zink- oder andern metallischen Molecülen in Berührung, so würde auch die Spannung der Glieder dieser Reihe nur 1 betragen und keine Zunahme der elektrischen Polarität erfolgen können, wie viele einzelne Reihen von Metalltheilchen gleicher oder verschiedener Art wir auch in Berührung mit dem polarisirten Platinmolecül hinter einander aufstellen möchten; denn die Spannung dieser Rei-

hen wird nur durch Induction und nicht durch neu hinzukommende chemisch elektromotorische Kräfte hervorgerufen. Ganz anders aber verhält sich die Sache, wenn das am Ende einer stetigen Reihe polarisirter Wassertheilchen stehende Platinmolecül mit einem Zinktheilchen und dieses dann mit einem Wassermolecül in Berührung gesetzt wird. Durch Induction erhält dieses Wassertheilchen eine Spannung von 1, wie dies der Fall wäre mit irgend einem Theilchen irgend einer leicht inducirbaren Materie; dann kommt aber auch der oben besprochene chemisch-elektromotorische Einfluß unseres zweiten Zinktheilchens auf das angränzende Wassermolecül ins Spiel, welcher Einfluß dieses Wassertheilchen in gleicher Weise elektrisch spannt, in welcher es schon durch Induction polarisirt worden; es muß somit die Spannung des in Rede stehenden Wassermolecüles doppelt so groß werden, als sie es vorher war. Fügt man an das Wassertheilchen mit doppelter Spannung eine zweite stetige Reihe von Wassermolecülen, so werden nothwendiger Weise alle Glieder derselben durch Induction ebenfalls polarisirt werden und eine Spannung von 2 erlangen. Aber das Wassertheilchen mit doppelter Spannung übt seinen inducirenden Einfluß nicht nur in der Richtung der zweiten Wassermolecülreihe, sondern auch nach der entgegengesetzten Richtung hin aus und steigert daher auch die Polarisation aller der in dieser Richtung liegenden Metall- und Wassertheilchen von 1 auf 2, so daß alle stetig zusammenhängenden Molecüle unserer Vorrichtung in dem gleichen Zustande elektrischer Entzweiung sich befinden. Wird unsere zweite Wassermolecülreihe an ihrem freien, vom zweiten Zinktheilchen abstehenden Ende wieder von einem Platintheilchen begrenzt, so erlangt auch dieses durch Induction eine Spannung von 2, ebenso ein weiter angefügtes Zinktheilchen, wie auch ein mit letzterem in Berührung gesetztes Wassermolecül. Da aber letzteres durch die chemisch-elektromotorische Thätigkeit des mit ihm in Berührung stehenden dritten Zinktheilchens eine Spannung von 1 erhält, und das fragliche Wassermolecül durch vor-

angegangene Induction schon eine Spannung von 2 hatte, so muß dieselbe auf 3 erhoben, dann aber auch aus dem vorhin angegebenen Gründen in jedem Theilchen unserer Vorrichtung die Stärke der Polarisation um 1 vermehrt werden.

Die beschriebene Vorrichtung ist nun offenbar nichts anderes als eine Volta'sche Säule, und man begreift leicht, daß in eben dem Verhältniß, in welchem wir darin die Zahl der erwähnten Combinationen vergrößern, wir auch die Spannung einer solchen Säule steigern, so also, daß wenn die Spannung einer einzigen Combination = t ist, die Spannung von n Combinationen derselben Art = nt seyn wird.

Was nun die Größe von t in jeder einfachen Kette betrifft, so richtet sich dieselbe, wie bereits angedeutet, nach der chemischen Beschaffenheit ihrer Bestandtheile und verändert sich mit der Veränderung eines oder aller Kettenglieder. Haben wir z. B. in einem Fall eine Combination von Zink, Wasser und Platin, in einem andern Fall eine Kette von Zink, Wasser und Kupfer, so wird die Spannung der ersten Combination größer als die der zweiten seyn, weil in der ersten der Unterschied der Oxydirbarkeit der angewendeten Metalle größer als in der zweiten Combination und die Stärke der elektrischen Polarisation der Wassertheilchen immer diesem Oxydirbarkeitsunterschied proportional ist.

Aus voranstehender Erörterung erhellt, daß der zwischen der Ansicht der Contactisten und der meinigen bestehende Unterschied wesentlich darauf hinausläuft, daß ich den Sitz der elektromotorischen Kraft der besprochenen Säule oder Kette ausschließlicly an die Berührungsstellen von Zink und Wasser setze und diese elektromotorische Kraft in der chemischen Anziehung suche, welche das Zink gegen den Sauerstoff des Wassers ausübt, während der Contactist die elektromotorische Kraft vorzugsweise an den Berührungsstellen von Zink und Platin thätig seyn läßt und von den chemischen Beziehungen des Zinkes

und Platins zu den Bestandtheilen des Wassers gänzlich absieht.

Würde es sich nun um nichts Weiteres als um die Erklärung der Thatsache handeln, daß in einer offenen Säule die Spannung mit der Zahl der Elemente wächst, so liegt am Tage, daß es völlig gleichgültig wäre, ob man in einer solchen Säule den Sitz der elektromotorischen Kraft dorthin oder daher schöbe, und ob man diese Kraft von chemischen Affinitäten oder etwas Anderem ableitete; denn die eine und die andere Hypothese fordert, daß die Spannung der Säule mit der Vermehrung ihrer Elemente zunehme. Es trifft somit meine Hypothese der ihr gemachte Vorwurf, welcher als der gewichtigste bezeichnet wurde, in keinerlei Weise, und steht dieselbe in vollkommenem Einklang mit den Ergebnissen der genauesten an der offenen Säule angestellten elektroskopischen Messungen, weshalb ich auch hoffen will, daß die Behauptung nicht werde wiederholt werden: es vermöge die chemische Theorie des Voltalismus die Spannungsverhältnisse der Säule nicht zu erklären.

Unter den von Hrn. Pfaff gegen meine Hypothese erhobenen Einwürfen findet sich auch der, daß ihr gemäß in gegebenen Fällen ein ganz anderer Volta'scher Erfolg eintreten sollte, als der ist, welcher in der Wirklichkeit erhalten wird. Ein solcher Fall ist für den Kieler Physiker folgender: Ein Trog sey an einem seiner Enden mit einer Zinkplatte *a*, am andern Ende mit einer Platinplatte *c* begränzt und werde das den Trog füllende Wasser durch eine Zinkplatte *b* in zwei Hälften getrennt. Hr. Pfaff meint nun, daß nach meiner Theorie beim Herstellen einer leitenden Verbindung zwischen der Zinkplatte *a* und der Platinplatte *c* kein Strom auftreten dürfe, weil die beiden Zinkplatten eine gleich starke chemische Anziehung gegen den Sauerstoff des zwischen sie gestellten Wassers ausüben, dieses Wasser somit nicht elektrisch polarisirt werden und deshalb auch keinen Strom liefern könne. Der Versuch zeige aber, daß ein Strom von der Platinplatte *c* zu der Zinkplatte *a* und von da durch die beiden Wasserhälften gehe. Hr. Pfaff hat vollkom-

men Recht, wenn er behauptet, daß die beiden Seiten der Zinkplatten, welche dem zwischen *a* und *b* stehenden Wasser zugekehrt sind, auf letzteres keinen polarisirenden Einfluß ausüben können, da ihre gegen den Sauerstoff dieses Wassers gerichteten Anziehungen gleich stark, aber einander entgegengesetzt sind, sich somit aufheben und das Wasser nicht zu polarisiren vermögen; der Kieler Physiker hat aber vergessen an die Seite des Zinkstückes *b* zu denken, welche gegen das zwischen ihr und dem Platin gelegene Wasser sieht. Diese Zinkseite polarisirt zunächst die mit ihr unmittelbar in Berührung stehenden Wassermoleculé, diese wieder durch Induction die nächstliegenden Wassertheilchen, und diese von Wassermoleculé zu Wassermoleculé gehende Induction polarisirt endlich auch die Theilchen der Platinplatte. Es ist aber klar, daß die durch besagte Zinkseite polarisirten Wassertheilchen auch inducirend nach der entgegengesetzten Richtung hin, also zunächst auf die Theilchen der Zinkplatte *b* und von da aus durch das hinter ihr liegende Wasser auf die Moleculé der Zinkplatte *a* wirken. Gemäß den oben entwickelten Grundsätzen muß in der besprochenen Vorrichtung die Polarisation aller ihrer Theilchen so seyn, daß die Außenseiten oder die vom Wasser abgewendeten Seiten der Theilchen der Zinkplatte *a* negative, die Außenseiten der Theilchen der Platinplatte *c* aber positive Polarität haben, was erfahrungsgemäß ist und die vorhin erwähnte Stromerscheinung vollkommen erklärt. Nach dieser Erörterung erachte ich es für überflüssig die weiteren Einwürfe Pfaßs zu widerlegen, welche sich auf die Ergebnisse noch anderer mit seiner Vorrichtung angestellten Versuche stützen; denn bei richtiger Anwendung der obersten Grundsätze meiner Theorie auf die angeführten Fälle wird man leicht finden, daß auch letztere ganz einfache Consequenzen dieser Theorie sind.

Eine Einwendung ganz anderer Art, die der verdienstvolle Kieler Naturforscher gegen einen Hauptsatz meiner Theorie gemacht hat, kann ich jedoch nicht mit Stillschweigen übergehen, da dieselbe, wenn gegründet, sicherlich das

Ganze dieser Theorie unzulässig machte. Hr. Pfaff ist der Meinung: es sey den Leitungsgesetzen der Elektrizität entgegen, daß die Theilchen so vollkommener Leiter, wie die Metalle sind, in den von mir vorausgesetzten elektrisch-polaren Zustand zu treten vermögen. Bei der Wichtigkeit dieses Streitpunktes sey es mir gestattet, etwas umständlich mich darüber auszusprechen.

Ich theile ganz und gar die Ansicht Faraday's, gemäß welcher es unmöglich ist, daß irgend ein Theilchen irgend einer Materie entweder bloß positiv oder bloß negativ elektrisch werden könne. Ein Körpertheilchen elektrisiren heißt: in ihm eine Thätigkeit hervorrufen, welche nach entgegengesetzten Richtungen hin entgegengesetzt wirkt, oder es ist ein so erregtes Theilchen nach der gewöhnlichen physikalischen Redeweise auf einer seiner Seiten positiv, auf der anderen negativ. Diese gleichzeitige Doppelthätigkeit oder Polarität ist ein Grundcharakter dessen, was man den elektrischen Zustand eines Körpertheilchens oder schlechtweg Elektrizität heißt. Hiernach kann von der Anhäufung nur einer Elektrizität auf einem Molecül oder Körper eben so wenig, als von einer fortschreitenden Bewegung einer einzigen Elektrizität über oder durch einen Körper die Rede seyn, d. h. davon, daß eine Elektrizität, wie Wasser etwa, in einem Behälter angehäuft und von da aus zum Abfließen gebracht werden könne. Ein positiv geladener Conductor z. B. ist für mich nichts anderes, als ein Körper, dessen Oberflächetheilchen auf ihren der umgebenden Luft zugekehrten Seiten positiv, auf ihren einwärts gerichteten Seiten negativ sind. Dieser polare Zustand der Oberflächetheilchen übt einen inducirenden Einfluß aus, theils auf die einwärts liegenden Theilchen des Conductors selbst, theils auf die benachbarten Theilchen der umgebenden Luft, so daß von der Oberfläche des Conductors aus durch alle mit ihr stetig unter einander zusammenhängend gewichtigen Molecüle eine Inductionswirkung geht. Dieser Vorstellung gemäß bestünde somit die positive Ladung unseres Conductors darin, daß

sowohl seine eigenen Theilchen als diejenigen der ihn umgebenden Körper in einem bestimmten Sinne elektrisch polarisirt oder gespannt wären. Falls die Anordnung der elektrischen Pole aller dieser Theilchen die umgekehrte von derjenigen ist, die eben erwähnt worden, nennen wir den Conductor negativ geladen. Entladung eines solchen Conductors oder irgend eines irgendwie elektrisirten Körpers ist völlig gleichbedeutend mit Aufhebung der elektrischen Polarität seiner Theilchen.

Wie man aus dem Gesagten leicht begreift, kommt die Fähigkeit der Körpertheilchen, sich elektrisch polarisiren und depolarisiren zu lassen, bei allen elektrischen Vorgängen ins Spiel und ist das, was man statische Electricität eines Körpers nennt, der bipolare Zustand seiner Theilchen. Die sogenannte strömende Electricität hat man als den Zustand zu betrachten, in welchem die Körpertheilchen sich befinden, während die durch irgend eine Ursache in ihnen hervorgerufenen elektrischen Polaritäten wieder verschwinden.

Leitungsfähigkeit eines Körpers für Electricität ist gleichbedeutend mit der elektrischen Polarisirbarkeit seiner Theilchen und die Leitung der Electricität selbst durch einen Körper hindurch betrachte ich als zwei der Zeit nach unendlich nahe zusammenfallende Thätigkeiten, nämlich als Polarisation und Depolarisation der aneinander gereiheten Theilchen eines solchen Körpers, wobei erstere Thätigkeit der letztern nothwendig vorangeht. Je schwieriger die Theilchen eines Körpers durch Induction oder anderweitige Einflüsse sich polarisiren lassen, um so schwieriger findet in ihnen, einmal polarisirt, auch die Depolarisation statt, und es sind deshalb gute Leiter solche Körper, deren Theilchen sich leicht, und schlechte Leiter solche Materien, deren Theilchen sich schwierig polarisiren und depolarisiren lassen.

Mag es sich aber mit der Richtigkeit der im Voranstehenden entwickelten Ansichten verhalten, wie da will, so giebt es einige wohl bekannte Thatsachen, welche zur An-

nahme eines elektrisch-polaren Zustandes der Körpertheilchen führen, dessen Möglichkeit von Hrn. Pfaff, als mit den Leitungsgesetzen der Elektrizität im Widerspruch stehend, bestritten wird. Eine Thatsache dieser Art ist der Zustand, in den ein isolirter metallischer Körper tritt, unter den inducirenden Einflufs z. B. eines positiv geladenen Conductors gestellt. Die statisch elektrischen Erscheinungen, welche unter diesen Umständen an den besagten isolirten Körper auftreten, können meines Bedünkens nur durch die Annahme erklärt werden, dafs die Seiten der Theilchen dieses Metalles, welche dem inducirenden Conductor zugekehrt sind, im negativen Zustande, die vom Conductor abgekehrten Seiten im positiven sich befinden. Trotz der grofsen Leitungsfähigkeit des Metalles dauert in letzterem der Zustand elektrischer Entzweigung fort, so lange der inducirende Einflufs des Conductors währt. Es ist überhaupt klar, dafs das, was wir im Deutschen „Elektrisiren durch Vertheilung“ nennen, gar nicht möglich wäre, wenn nicht Metalltheilchen mit entgegengesetzt elektrischen Polen sich berühren könnten, ohne dafs zwischen denselben eine Ausgleichung statt fände. Auch die offene hydroelektrische Kette oder Säule liefert einen sprechenden Beweis von der Polarität eines Systemes in einer bestimmten Ordnung sich berührender Theilchen gut leitender Körper, und vollends endlich der von den Contactisten so viel besprochene sogenannte Volta'sche Fundamentalversuch! Läfst man denn nicht in demselben zwei gut leitende Metalle sich innig berühren und wird nicht versichert, dafs dessen ungeachtet das eine Metall positiv, das andere negativ werde? Warum gleichen sich denn hier, trotz der vortrefflichen Leitungsfähigkeit der in Berührung gesetzten Körper, die hervorgerufenen elektrischen Gegensätze nicht sofort wieder aus, oder vielmehr, warum treten überhaupt, trotz des erwähnten Umstandes, dennoch an den sich berührenden Metallen solche elektrischen Gegensätze auf? Sollte dies nicht auch den Leitungsgesetzen der Elektrizität entgegen seyn? Wenn nun der Contactist

zur Erklärung dieser Erscheinung behauptet, seine elektromotorische Kraft bringe zwei Wirkungen hervor: sie trenne nicht nur die in den Metallen vereinigten Elektricitäten, sondern halte diese, einmal getrennt, auch auseinander, so wird man mir erlauben, für meine elektromotorische Kraft die gleiche Wirksamkeit in Anspruch zu nehmen. Von zwei Sachen die eine: entweder trifft der von Hrn. Pfaff erhobene Einwurf meine Hypothese, oder er trifft sie nicht. Ist ersteres der Fall, so können die von dem Kieler Physiker den Leitungsgesetzen entnommenen Gründe gerade so gut gegen die Contacttheorie, als gegen die von mir aufgestellte Hypothese geltend gemacht werden.

Es sey mir gestattet, noch eine Thatsache zur Sprache zu bringen, welche von den Contactisten zu Ungunsten der chemischen Theorie ausgelegt worden ist. Angestellten Messungen zufolge bleibt sich die Gröfse der elektromotorischen Kraft zweier Metalle z. B. von Platin und Zink merklich gleich, welches auch die oxyelektrolytische Flüssigkeit sey, mit welcher sie zur Kette verbunden werden, ob z. B. mit reinem Wasser, oder mit wasserhaltiger Schwefelsäure, Salpetersäure, Kalilauge u. s. w. Da nun derartige Flüssigkeiten in sehr von einander abweichender Weise auf das eine Metall des erwähnten Plattenpaares chemisch einwirken, bevor die Kette geschlossen ist, z. B. das Zink entweder gar nicht oder aber lebhaft angegriffen wird, so wurde aus der unter so verschiedenen Umständen sich zeigenden Unveränderlichkeit der Gröfse des elektromotorischen Vermögens der Schlufs gezogen, dafs der Hauptsitz desselben an der Contactstelle der Metalle und nicht an den Berührungspunkten des oxydirbareren Metalles und der oxyelektrolytischen Flüssigkeit der Kette sich befinde und somit die chemische Theorie des Voltaismus unrichtig sey.

Man sieht leicht ein, dafs die eben erwähnte Thatsache mit meiner Ansicht über die Natur und den Sitz der elektromotorischen Kraft einer hydroelektrischen Kette nicht nur nicht im geringsten Widerspruch steht, sondern eben-

falls eine einfache Consequenz derselben ist. Die Größe der elektromotorischen Kraft, welche zwei Metalle in einer oxyelektrolytischen Flüssigkeit zeigen, ist für mich, wie oben schon erwähnt, gleich dem Unterschied der Grade ihrer Oxydirbarkeit, oder noch genauer ausgedrückt, gleich dem Unterschied der Stärke, mit welcher diese Metalle den Sauerstoff des Wassers oder irgend eines oxyelektrolytischen Körpers anziehen. Ob nun die Metalle in entgegengesetzten Richtungen ihre Anziehung ausüben, gegen den Sauerstoff des reinen Wassers z. B., oder gegen den Sauerstoff von Wasser, das mit Schwefelsäure, Kali u. s. w. vergesellschaftet ist, immer bleibt der zwischen der Größe dieser Anziehungen bestehende Unterschied der gleiche, folglich erhält sich auch die Größe der elektromotorischen Kraft unverändert.

Wie also dem Contactisten bei seinen Kettencombinationen mit gleichbleibenden zwei Metallen und wechselnden oxyelektrolytischen Flüssigkeiten die Größe seiner elektromotorischen Kraft sich unverändert erhalten muß, so auch wie die meinige; ihm bleibt unverändert der Contact des gleichen Metallpaares, mit der Unterschied der Oxydirbarkeit der Metalle oder der Contact des gleichen oxydirbareren Metalles mit dem Wasser.

Dafs dieselben zwei Metalle, mit verschiedenen oxyelektrolytischen Flüssigkeiten zur Kette verbunden, dennoch verschiedene Stromintensitäten zeigen, erkläre ich natürlich, wie die Contactisten, d. h. aus dem verschiedenen Leitungswiderstand dieser Flüssigkeiten, oder um meine eigene Sprache zu reden, aus dem verschiedenen Einfluss, den die mit dem Wasser vergesellschafteten Stoffe auf die Polarisirbarkeit der Wassermolecüle ausüben. Alle Substanzen, welche die Polarisation der Wassermolecüle erleichtern, erhöhen auch die Stromintensität, indem, wie bereits angedeutet, der Grad der Leitungsfähigkeit oder des Leitungswiderstandes einer Materie nichts anderes ist als der Grad der Leichtigkeit oder Schwierigkeit, d. h. der Schnelligkeit oder Langsamkeit, mit der die Theilchen dieser Ma-

terie sich elektrisch polarisiren oder depolarisiren lassen. Aus Gründen, die uns noch völlig unbekannt sind, werden die Theilchen des reinen Wassers schwieriger polarisirt und depolarisirt, als diejenigen des säure- oder kalihaltigen Wassers u. s. w. In einer z. B. aus Zink, Platin und reinem Wasser zusammengesetzten Kette wird deshalb eine kleinere Menge der beiden Elektricitäten erst in Spannung treten und dann zur Ausgleichung kommen, als die Menge der Elektricitäten beträgt, welche in der gleichen Zeit zur Entzweigung und Wiedervereinigung gelangen, in einer Kette ebenfalls aus Zink, Platin und Wasser bestehend, welches letztere jedoch mit einem sauren, salzigen u. s. w. Körper vergesellschaftet ist. Unterschied der Stromintensitäten zweier Ketten ist aber gleichbedeutend mit dem Unterschied der Mengen der Elektricitäten, die in diesen Ketten in gleichen Zeiten zur Spannung und Ausgleichung kommen.

Nachdem ich versucht habe zu zeigen, das die an Ketten und Säulen auftretenden elektrischen Spannungs- und Strömungserscheinungen, wie auch die Gesetze nach welchen dieselben erfahrungsgemäß stattfinden, durch meine Hypothese ebenso genügend als durch die Ansicht der Contactisten erklärt werden können, so bleibt mir noch übrig die Gründe anzugeben, welche mich bestimmen, an die Stelle der Volta'schen Lehre eine andere zu setzen.

Möglichst viele Erscheinungen aus möglichst wenigen Ursachen abzuleiten, ist mit Recht ein auf allen Forschungsgebieten befolgter Grundsatz. In Uebereinstimmung mit demselben darf man daher keine eigenthümliche Kraft für das Hervorrufen der Volta'schen Erscheinungen voraussetzen, wenn es möglich ist, letztere auf eine Thätigkeit zurückzuführen, die schon bekannt ist, d. h. deren Annahme dazu dient, ganze Reihen anderartiger Erscheinungen zu erklären.

Als eine solche Kraft sehe ich dasjenige Etwas an, was verschiedenartige Materien bestimmt, zu gleichartig erscheinenden Körpern zusammenzutreten und was man chemische Anziehungskraft zu nennen beliebt hat. Die beiden

Gebiete der chemischen und Volta'schen Erscheinungen fallen in der Wirklichkeit so nahe zusammen, daß der unbefangene Forscher nicht umhin kann, zwischen denselben die innigste Verknüpfung, d. h. ein Verhältniß zu vermuthen gleich demjenigen, das zwischen Ursache und Wirkung besteht. Eine solche Vermuthung ist in der That auch schon früh ausgesprochen worden, was eben Anlaß zu dem so lange über den Quell der Volta'schen Elektrizität geführten Streit gegeben hat. Niemand kann die Verdienste, welche der Begründer der Contacttheorie um die Wissenschaft sich erworben, höher anschlagen, als ich es thue; dieß verhindert mich aber nicht der Meinung zu seyn, daß der italienische Physiker viel zu wenig Chemiker, oder vielmehr, daß die Chemie zur Zeit Volta's noch nicht weit genug vorgertückt war, als daß er oder seine Zeitgenossen eine richtige Einsicht hätten haben können in den Zusammenhang, welcher zwischen den chemischen und elektrischen Erscheinungen besteht. Die von dem großen Naturforscher aufgestellte Theorie der Säule konnte daher, trotz des eminenten Scharfsinnes ihres Urhebers, nicht anders als unvollkommen, lückenhaft und theilweise irrig seyn.

In wenigstens eben so große Irrthümer verfielen aber auch diejenigen, welche, den Metallen die Fähigkeit absprechend, durch gegenseitige Berührung in entgegengesetzt elektrische Zustände sich zu versetzen, behaupteten: es liege die Ursache des hydroelektrischen Stromes in der chemischen Verbindung eines der Metalle der Kette oder Säule mit einem Bestandtheil des feuchten Leiters, z. B. in der wirklichen Oxydation eines solchen Metalles, welche Oxydation der Zeit nach dem Auftreten des Stromes vorgehe.

Die Contactisten hatten Unrecht, daß sie die chemische Anziehung nicht als elektromotorische Kraft anerkannten, und die Vertheidiger der chemischen Theorie täuschten sich, indem sie behaupteten, daß der Störung des elektrischen Gleichgewichtes einer Kette oder Säule immer ein che-

chemischer Act der Verbindung oder Trennung innerhalb dieser Vorrichtungen oder Stromerscheinung vorausgehen müßte und dafs die in der geschlossenen Säule oder Kette wirklich stattfindenden chemischen Vorgänge nicht die Wirkung (wie dieß die Contactisten mit Recht annehmen) sondern die Ursache des Stromes seyen.

Ich glaube, dafs die Zeit zum Abschließen eines Vergleichs zwischen den beiden Rivaltheorien des Voltismus gekommen ist, denn es liegen jetzt den Streitenden so viele klar redende Thatsachen vor, dafs ihrer Autorität jeder Forscher sich gern unterwerfen wird, dem es mehr um den Besitz der Wahrheit, als um das Aufrechterhalten seiner bisherigen Meinung zu thun ist, der mit andern Worten mehr Wahrheitsliebe als Eitelkeit und Eigenliebe hat. Was mich selbst betrifft, so stehe ich gar nicht an, offen und unverholen zu bekennen, dafs ich früher im Sinne der chemischen Theorie Manches vertheidigte, was ich jetzt als Irrthum Preis gebe und umgekehrt gewisse Behauptungen der Contactisten als irrthümlich betrachtete, welche ich nun für vollkommen begründet halte.

Nach dieser Abschweifung komme ich endlich zur summarischen Beantwortung der Frage: warum ich, trotz des sogenannten Volta'schen Fundamentalversuches ¹⁾ und anderer Vorzüge der Volta'schen Lehre, dennoch der von mir aufgestellten Theorie den Vorrang einräume. Meine Antwort lautet, wie folgt:

1. Weil die Contactshypothese absieht und absehen muß, als von einer elektromotorischen Ursache, von allen chemischen Beziehungen der Stoffe zu einander, welche in die Zusammensetzung einer hydroelektrischen Kette oder Säule eingehen; während andererseits die Erfahrung lehrt, dafs in allen bis jetzt beobachteten Fällen zwischen den Volta'schen Erscheinungen hydroelektrischer Vorrichtungen und dem chemischen Verhalten ihrer Bestandtheile zu einander eine innige Beziehung stattfindet.

1) Ueber diesen Versuch behalte ich mir vor in einem spätern Aufsatz zu reden.

2. Weil aus den chemischen Beziehungen der Bestandtheile hydroelektrischer Combinationen zu einander immer mit Sicherheit vorausgesagt werden kann, in welchem Sinne die Polarisation oder Spannung derselben erfolge, welche relative Stärke sie haben, in welcher Richtung der Strom in geschlossenen Ketten sich bewegen werde u. s. w., während die Contactshypothese keine solche Anhaltspunkte hat und die eben bezeichneten Verhältnisse immer erst durch den Versuch in neu construirten Ketten ermitteln muß.

3. Weil endlich die Contactshypothese zum Behufe der Erklärung der Volta'schen Erscheinungen eine neue Kraft voraussetzt und zwar eine Kraft, deren Wirkungsgröße in gar keinem endlichen Verhältnisse zur Größe der Massen der Materien steht, in denen man sie (die Kraft) wirksam seyn läßt, eine Kraft also, welcher man ununterbrochene Arbeit zumuthet, ohne daß ihr gestattet wäre, sich je zu erschöpfen; während dagegen die chemische Theorie aus einer schon durch anderweitige Wirkungen bekannten Kraft auch die Volta'schen Erscheinungen entspringen und dieselbe nach bekannten Gesetzen wirken läßt. Aus diesen Gründen ziehe ich meine Erklärungsweise der Contactshypothese Volta's und seiner Nachfolger ganz entschieden vor und bin der Meinung, daß jene mehr als diese dem jetzigen Stand der Wissenschaft genüge. Indem ich aber eine solche Meinung hege, gebe ich nicht nur gerne zu, sondern bin selbst auf das lebhafteste davon überzeugt, daß auch der von mir gemachte Erklärungsversuch noch sehr weit von einer vollkommenen Theorie des Voltismus entfernt ist; denn nur zu deutlich sehe ich es ein, daß nicht eher von der Aufstellung einer solchen Theorie ernsthaft die Rede seyn kann, vor Allem das Wesen der Elektrizität und deren Beziehungen zum Chemismus unendlich viel genauer gekannt und tiefer erforscht seyn müssen, als dies gegenwärtig der Fall ist.

Basel im Juli 1849.

H. Ueber die endosmotischen Aequivalente und die endosmotische Theorie; von C. Ludwig in Marburg.

(Aus Henle und Pfeifer's Zeitschrift für rationelle Medicin VIII. Bd. 1. Heft., vom Hrn. Verfasser im Auszuge mitgetheilt).

Die bei den folgenden Diffusionsversuchen angewendete Untersuchungsmethode unterscheidet sich von der Jolly'schen nicht wesentlich ¹⁾. — Die Harnblase des Schweins wurde nach der Vorschrift gerade so auf die Röhre gebunden, und auf ähnliche Weise auch ihre Dichtigkeit geprüft; statt in die Luft, wurde das mit Wasser gefüllte Rohr in ein Gefäß mit Wasser gestellt, so daß ein Niveauunterschied von einigen Zollen blieb. Indem man hiedurch die Tropfenspannung vermied, konnte man sicher seyn, daß die Ursache des langsamen Sinkens der Flüssigkeit in dem Widerstande der Membran lag. Es wurden nur solche Hautstücke gewählt, bei welchen ein mehrzölliger Druck in 24 Stunden kein merkliches Sinken veranlafste. Um dasselbe Hautstück zu recht vielen Versuchen benutzen zu können, und um es zu Beginn jedes neuen Versuchs in gleichem Zustand anzuwenden, wurde es nach jedem Versuch mit der entleerten Röhre 24 Stunden in destillirtes Wasser gehängt, und dann an der Luft getrocknet. Wenn sich die ersten Spuren oder nur der Verdacht eines faden Geruchs einstellten, wurde Rohr und Blase wiederholt in Alkohol gelegt. Durch diese Vorsichtsmafsregeln ist es gelungen 16 Membranstücke 2½ Monat hindurch, während deren sie fortdauernd im Gebrauche waren, in allen ihren Eigenschaften und namentlich in der zu erhalten, daß sie dieselben endosmotischen Erscheinungen veranlassen.

Um die äußere Flüssigkeit zu allen Zeiten gleich zu erhalten, wurden bei destillirtem Wasser die Regeln von Jolly

1) Siehe das vorhergehende Heft dieser Annalen.

angewendet; gebrauchte man Salzlösungen als äußere Flüssigkeit, so wurde ihre Menge so bedeutend genommen, daß die Veränderung, welche in ihrer Zusammensetzung durch den jeweiligen endosmotischen Strom eintreten mußte, in die Grenzen der analytischen Fehlerquellen, d. h. in die $\frac{1}{100} - \frac{1}{1000}$ eines Procents fielen.

In einzelnen Fällen, in welchen mit constanter innerer und äußerer Concentration gearbeitet werden sollte, wurde in das Innere der Röhre eine beträchtliche Menge von krytallisirtem Salz gelegt, und das Rohr schon eher dem endosmotischen Strom entzogen, als alles Salz gelöst war. Es leistet dieses Mittel bei den angewendeten Salzen — Na Cl u. Na S + 10 Aq — nur für Kochsalz in weitere Temperaturgränzen, für Glaubersalz nur in engeren das Verlangte. In der That wurde aber in so engen Gränzen gearbeitet, daß auch für Glaubersalz die Methode zum Ziele führte. — In allen Fällen wurde der endosmotische Strom eher unterbrochen, ehe die Zusammensetzung der äußeren und innern Flüssigkeit gleich geworden war.

Um die Verdunstung zu verhüten, wurden die Röhren leicht verkorkt und dann folgendermaßen aufgestellt. Mittelst eines gerollten Papiers wurden sie in runde Löcher eines starken Bretts gehängt; dieses Brett benutzte man als Deckel des Gefäßes mit der äußeren Flüssigkeit und es konnten nun die in den Löchern verschiebbaren Röhren nach Belieben tief in die Flüssigkeit eingesenkt werden. Um die Röhren legte man auf das Brett eine dicke Lage ausgeschnittenen und täglich mehrmals befeuchteten Löschpapiers und stülpte auf dieses eine Glasglocke, so daß die Röhren mit ihren verkorkten Enden in einen fortwährend mit Wasser gesättigten Raum ragten.

Die Einflüsse der Temperatur wurden dadurch eliminirt, daß man jedesmal gleichzeitig 4 Röhren, in denen Flüssigkeiten von verschiedenen Concentrationen enthalten waren, dem Versuche unterwarf, resp. in dasselbe Brett und demnach in dieselbe äußere Flüssigkeit setzte.

Es versteht sich von selbst, daß man so oft wie möglich

den Niveauunterschied der innern und äufsern Flüssigkeit ausglich.

Die Wägungen endlich suchte ich dadurch genauer zu erhalten, dafs jedesmal vor dem Einsetzen das trockene Rohr tarirt, und jedesmal nach Beendigung des Versuchs auch das mit Löschpapier aufsen und innen wohl aber rasch getrocknete Rohr leer zurückgewogen wurde.

Die absolute Menge der zu Ende des Versuchs in der Röhre befindlichen festen Substanz wurde bei Lösungen aus dem durch Eintrockenen bestimmten Procentgehalt und bei Gegenwart von Krystallen durch Eintrockenen des wiederholt ausgewaschenen Inhalts bestimmt.

Man darf sich aber nicht verhehlen, dafs trotz aller Vorsicht der Methode und Arbeit, die Fehlergränzen für das Salz in die Mgr., für die Flüssigkeit in die Cgr. fallen. Die Fehlerquellen liegen in dem Beschlagen der Röhren, der Verdunstung von der äufseren Hautfläche beim Wiegen, in den Fehlern bei Bestimmung des Procentgehalts; namentlich bedaure ich jetzt, aus einem grofsen Vorrath käuflichen $\text{Na S} + 10 \text{ Aq}$ mir die Stücke zu den Versuchen mit krystalisirtem Salz ausgewählt zu haben; vier Analysen seines Wassergehalts differirten in dem $\frac{1}{10}$ der Procennte, wodurch schon bedeutendere Abweichungen in der Berechnung der von mir angewendeten Mengen eintraten. Offenbar enthielten die Krystalle noch Mutterlauge. Alle diese Fehler sind aber noch nicht so bedeutend, um wesentliche Aenderungen in den wahren Resultaten zu verdecken.

Wir fügen hier sogleich unsere Beobachtungen, die auf diese Weise erhalten wurden, an.

I. Versuchsreihe mit Glaubersalz.

Rohr.	Dauer in Stund.	Temperatur nach Reaumur.	Concentration der ursprüngl. Flüssigkeiten		Concentration der innern Flüssigk. zu Ende des Ver- suchs.	Mengen in Gr.		
			äußere.	innere.		des ausge- treten. Salzes.	des einget- reten. Wassers.	Ver- hält- niss- zahl.
VII.	119	0,25°	0,920\.	2,010\.	1,120\.	0,166	2,720	1:16,3
VII.	187	2°	0,904\.	1) Na S̄ kryst.	2,421\.	1,770	22,185	1:12,5
VII.	113	5°	0,0\.	5,084\.	0,428\.	0,587	18,743	1:31,9
VII.	138,0	6,5°	0,0\.	5,084\.	0,428\.	0,772	16,229	1:21,0
VIII.	119,0	0,25°	0,920\.	5,23\.	1,212\.	0,483	9,532	1:19,7
VIII.	187,0	2°	0,904\.	Na S̄ kryst.	1,422\.	1,455	25,698	1:17,5
VIII.	113,0	5°	0,0\.	5,084\.	0,392\.	0,582	24,588	1:42,2
VIII.	138,0	6,5°	0,0\.	5,084\.	0,403\.	0,823	23,129	1:28,1
IX.	119,0	0,25°	0,920\.	Na S̄ kryst.	1,308\.	0,907	12,861	1:10,0
IX.	187,0	2°	0,904\.	5,230\.	1,055\.	0,546	8,802	1:16,1
IX.	113,0	3°	0,0\.	Na S̄ kryst.	1,125\.	1,691	36,088	1:23,2
IX.	138,0	6,5°	0,0\.	Na S̄ kryst.	0,732\.	1,913	27,181	1:14,2
X.	124,0	0,25°	0,920\.	5,23\.	1,395\.	0,574	7,944	1:13,9
X.	188,0	2°	0,904\.	5,23\.	1,142\.	0,661	9,423	1:14,2
X.	116,0	5°	0,0\.	Na S̄ kryst.	0,418\.	1,225	20,703	1:16,0
X.	140,5	6,5°	0,0\.	2) Na S̄ kryst.	1,242\.	2,551	25,280	1: 9,9
XI.	186	0°	1,015\.	Na S̄ kryst.	1,296\.	1,320	6,964	1: 5,2
XI.	160,0	6°	1,811\.	5,084\.	2,273\.	0,411	2,218	1: 5,3
XI.	287	6°	4,64\.	Na S̄ kryst.	4,787\.	2,207	11,543	1: 5,2
XI.	89,5	6,5°	0,0\.	Na S̄ kryst.	5,786\.	4,198	24,806	1: 5,9
XI.	111,0	8°	0,0\.	5,358\.	0,178\.	0,952	7,883	1: 8,2
XI.	120,0	8,5°	0,0\.	1,028\.	0,030\.	0,243	5,922	1:24,3
XII.	187,0	0°	1,015\.	Na S̄ kryst.	1,313\.	0,974	5,147	1: 5,2
XII.	160,0	6°	1,811\.	5,084\.	2,265\.	0,433	2,331	1: 5,3
XII.	287	6°	4,64\.	Na S̄ kryst.	5,067\.	2,962	15,788	1: 5,3
XII.	89,5	6,5°	0,0\.	Na S̄ kryst.	3,225\.	4,638	25,883	1: 5,5
XII.	111,0	8°	0,0\.	5,359\.	0,218\.	1,155	9,318	1: 8,0
XII.	120,0	8,5°	0,0\.	1,028\.	0,029\.	0,254	5,980	1:23,5
XIII.	186,5	0°	1,15\.	5,230\.	1,324\.	0,535	2,901	1: 5,4

1) Bei dieser Temperatur lösen sich ungefähr 5—6\% wasserfreies Na S̄.

2) Bei dieser Temperatur lösen sich 6—7\% wasserfreies Na S̄.

Rohr.	Dauer in Stund.	Tem- pera- tur nach Reau- mur.	Concentration der ursprünglichen Flüssigkeiten		Concen- trat. der innern Flüssigk. zu Ende des Ver- suchs.	Mengen in Gr.		Ver- hält- niss- zahl.
			äußere.	innere.		des ausge- treten.	des einge- treten. VWas- sers.	
XIII.	183,5	0°	1,212\.	Na S kryst.	1,274\.	1,664	8,777	1: 5,3
XIII.	160,0	6°	1,811\.	Na S kryst.	2,211\.	1,566	8,484	1: 5,4
XIII.	287,5	6°	4,64\.	5,358\.	4,720\.	0,091	0,398	1: 4,3
XIII.	89,5	6,5°	0,0\.	5,358\.	0,167\.	0,878	7,305	1: 8,3
XIII.	111,0	8°	0,0\.	Na S kryst.	1,807\.	5,447	37,156	1: 6,8
XIII.	120,0	8,5°	0,0\.	1,028\.	0,038\.	0,216	5,087	1:23,6
XIV.	187	0°	1,015\.	5,23\.	1,288\.	0,561	2,899	1: 5,1
XIV.	183	0°	1,212\.	Na S kryst.	1,680\.	2,422	12,309	1: 5,0
XIV.	160	6°	1,811\.	Na S kryst.	2,383\.	2,337	12,245	1: 5,2
XIV.	90,5	6,5°	0,0\.	5,358\.	0,334\.	0,874	6,535	1: 7,4
XIV.	111,0	8°	0,0\.	Na S kryst.	1,463\.	5,597	36,813	1: 6,5
XIV.	120,0	8,5°	0,0\.	1,028\.	0,031\.	0,225	4,779	1:21,2
XV.	233	0°	2,880\.	Na S kryst.	3,324\.	1,329	7,286	1: 5,4
XV.	138	4°	2,726\.	5,084\.	2,833\.	0,268	1,377	1: 5,1
XV.	116	7°	0,0\.	5,084\.	0,185\.	0,787	7,999	1:10,1
XV.	90	6°	0,0\.	Na S kryst.	3,219\.	3,039	16,979	1: 5,5
XV.	70	5°	0,0\.	Na S kryst. (6,455\.)	6,455\. (noch Kryst.)	2,118	12,459	1: 5,8
XV.	112	7°	0,0\.	1,028\.	0,048\.	0,149	3,355	1:22,5
XVI.	233	0°	2,880\.	Na S kryst.	2,991\.	0,988	5,648	1: 5,7
XVI.	138	4°	2,726\.	5,084\.	2,739\.	0,282	1,512	1: 5,3
XVI.	116,5	7°	0,0\.	5,084\.	0,177\.	0,751	7,896	1:10,5
XVI.	90,0	6°	0,0\.	Na S kryst.	3,844\.	2,898	16,859	1: 5,8
XVI.	70	5°	0,0\.	1,028\.	0,162\.	0,148	3,203	1:21,6
XVI.	112	7°	0,0\.	Na S kryst.	noch Na S kryst. enthalt.	3,615	24,416	1: 6,7
XVII.	233	0°	2,880\.	5,23\.	2,950\.	0,311	1,618	1: 5,2
XVII.	138	4°	2,726\.	Na S kryst.	2,979\.	1,240	6,533	1: 5,2
XVII.	116,5	7°	0,0\.	Na S kryst.	0,564\.	3,210	19,184	1: 5,9
XVII.	90,0	6°	0,0\.	5,084\.	0,259\.	0,820	7,107	1: 8,6
XVII.	70,0	5°	0,0\.	Na S kryst.	Noch Na S kryst.	2,914	16,792	1: 5,7
XVII.	112	7°	0,0\.	1,028\.	0,066\.	0,199	4,596	1:23,1
XVIII.	233	0°	2,880\.	5,23\.	2,951\.	0,290	1,490	1: 5,1

Rohr.	Dauer in Stund.	Tem- pera- tur nach Reau- mur.	Concentration der ursprünglichen Flüssigkeiten		Concen- trat. der innern Flüssigk. zu Ende des Ver- suchs.	Mengen in Gr.		Ver- hält- niss- zahl.
			äufser.	innere.		des ausge- treten. Salzes.	des einget- reten. VWas- sers.	
XVIII.	138	4°	2,726\.	Na S ^{...} kryst.	3,487\.	1,551	8,170	1: 5,2
XVIII.	116	7°	0,0\.	Na S ^{...} kryst.	0,351\.	2,859	17,203	1: 6,0
XVIII.	190,0	6°	0,0\.	5,084\.	0,322\.	0,988	8,306	1: 8,5
XVIII.	70	5°	0,0\.	1,028\.	0,111\.	0,171	4,360	1:25,4
XVIII.	112	7°	0,0\.	Na S ^{...} kryst.	Noch Na S ^{...} kryst.	5,120	28,920	1: 5,6

II. Versuchsreihe mit Kochsalz.

Rohr.	Dauer in Stund.	Tem- pera- tur nach Reau- mur.	Concentration der ursprünglichen Flüssigkeiten.		Procent- gehalt d. innern Flüssigk. zu Ende des Ver- suchs.	Mengen in Gr.		Ver- hält- niss- zahl.
			innere.	äufser.		des ausge- treten. Salzes.	des einget- reten. VWas- sers.	
VII.	234	9°	Na Cl kryst.	22,6\.	23,007\.	1,677	9,463	1:5,7
VII.	68	9,75°	Na Cl kryst.	0,0\.	1,907\.	9,133	31,733	1:3,4
VIII.	234	9°	Na Cl kryst.	22,6\.	22,934\.	2,086	13,002	1:6,2
VIII.	68	9,75°	Na Cl kryst.	0,0\.	0,842\.	8,291	33,681	1:4,0
IX.	234	9°	Na Cl kryst.	22,6\.	23,361\.	2,665	13,710	1:5,1
IX.	68	9,75°	2,006\.	0,0\.	0,358\.	0,511	1,858	1:3,6
X.	234	9°	Na Cl kryst.	22,6\.	23,135\.	1,302	9,235	1:7,0
X.	68	9,75°	2,006\.	0,0\.	0,440\.	0,589	1,864	1:3,1
XV.	141	8°	Na Cl kryst.	5,0\.	5,327\.	7,642	27,416	1:3,3
XV.	147	8,5°	10,044\.	5,0\.	5,314\.	1,128	2,811	1:2,4
XV.	114	8,75°	2,006\.	0,0\.	0,211\.	0,521	0,615	1:1,1
XVI.	141	8°	Na Cl kryst.	5,0\.	11,924\.	7,363	27,097	1:3,6
XVI.	147	8,5°	10,044\.	5,0\.	5,343\.	1,202	3,109	1:2,5
XVI.	114	8,75°	2,006\.	0,0\.	0,235\.	0,567	0,732	1:1,1
XVII.	141	8°	10,044\.	5,0\.	5,055\.	1,008	2,573	1:2,4
XVII.	147	8,5°	Na Cl kryst.	5,0\.	5,313\.	6,671	22,605	1:3,3
XVII.	114	8,75°	Na Cl kryst.	0,0\.	0,504\.	9,899	30,297	1:3,0
XVIII.	141	8°	10,044\.	5,0\.	5,102\.	0,950	2,366	1:2,4

Rohr.	Dauer in Stund.	Tem- peratur nach Reau- mur.	Concentration der ursprünglichen Flüssigkeiten		Procent- gehalt der innern Flüssigk. zu Ende des Ver- suchs.	Mengen in Gr.		Ver- hält- niss- zahl.
			innere.	äufserc.		des ausge- treten.	des einge- treten. Wassers.	
XVIII.	147	8,5°	Na Cl kryst.	5,0\.	5,340\.	7,378	25,935	1:3,5
XVIII.	114	8,75°	Na Cl kryst.	0,0\.	0,543\.	6,557	23,237	1:2,5
XIX.	90	6°	Na Cl kryst.	14,329\.	15,990\.	3,608	15,210	1:4,2
XIX.	142	8°	25,066\.	14,340\.	15,077\.	1,665	4,629	1:2,7
XIX.	116	8,25°	Na Cl kryst.	0,0\.	1,780\.	9,337	30,431	1:3,2
XIX.	144	8°	4,920\.	0,0\.	0,204\.	0,884	1,291	1:1,4
XIX.	432	8°	Na Cl kryst.	22,5\.	22,809\.	4,342	21,305	1:4,9
XX.	90	6°	Na Cl kryst.	14,329\.	n. Kryst.	2,500	11,678	1:4,5
XX.	142	8°	25,066\.	14,340\.	15,266\.	1,723	5,549	1:3,2
XX.	116	8,25°	Na Cl kryst.	0,0\.	10,061\.	6,711	29,324	1:4,3
XX.	144	8°	4,920\.	0,0\.	0,275\.	0,959	1,384	1:1,4
XX.	432	8°	Na Cl kryst.	22,5\.	24,205\.	3,506	18,959	1:5,4
XXI.	90	6°	16,930\.	14,952\.	14,952\.	0,295	0,865	1:2,9
XXI.	142	8°	Na Cl kryst.	14,340\.	16,474\.	5,048	22,749	1:4,5
XXI.	116	8,25°	4,920\.	0,0\.	0,227\.	0,917	1,482	1:1,6
XXI.	144	8°	Na Cl kryst.	0,0\.	1,619\.	8,141	29,221	1:3,5
XXI.	432	8°	Na Cl kryst.	22,5\.	22,825\.	4,085	21,690	1:5,3
XXII.	90	6°	16,930\.	14,329\.	14,967\.	0,332	0,781	1:2,6
XXII.	142	8°	Na Cl kryst.	14,340\.	15,290\.	5,121	22,623	1:4,4
XXII.	116	8,25°	4,920\.	0,0\.	0,196\.	0,957	1,378	1:1,4
XXII.	144	8°	Na Cl kryst.	0,0\.	1,578\.	10,542	37,031	1:3,5
XXII.	432	8°	Na Cl kryst.	22,5\.	22,545\.	3,590	19,778	1:5,5

Die einfachste Analyse der Resultate dieser Tabelle zeigt, dass das sogenannte endosmotische Aequivalent bei gleichen Temperaturen für dieselben Stoffe keine *constante*, sondern eine *variable* Gröfse darstellt. Aus beiden Versuchsreihen, der mit Kochsalz sowohl, wie der mit Glaubersalz, geht ganz constant hervor, dass das endosmotische Aequivalent eine von dem Concentrationsgrad der Flüssigkeiten abhängige Gröfse ist. Das Gesetz dieser Abhängigkeit gestaltet sich aber für jedes Salz anders. Man ersieht dieses am besten, wenn man sich gebräuchlicher Weise das endosmotische Aequivalent als eine Curve verzeichnet denkt, die in ein Coordinatensystem getragen ist, dessen x den Procentgehalt der innern Flüssigkeit, und dessen y das endosmo-

tische Aequivalent für einen bestimmten Procentgehalt angiebt. Wir denken uns den Coordinatenanfangspunkt auf 0% gelegt. Die Curve des *Glaubersalz*äquivalents in den Gränzen der schwächsten Lösung bis zu der von 1% fällt sehr rasch ab, so daß bei einem geringen Wachsen von x das y bedeutend annimmt. In den Gränzen von 1—6% scheint sie sich dagegen, mit einigen Ausnahmen, der Achse des y annähernd parallel anzuschließen, so daß hier y als Constante betrachtet werden kann. — Von einiger, aber untergeordneter, in ihren Gründen später zu erläuternder Bedeutung erscheint auch der Concentrationsgrad der äußeren Flüssigkeit; es gestaltet sich nämlich in vielen Fällen eine etwas andere Form des Anfangsstückes der Curve, wenn man statt einer Salzlösung destillirtes Wasser als äußere Flüssigkeit anwendet; es tritt auch noch bei höherem Procentgehalt, als bei dem oben bezeichneten, eine Neigung der Curve zum Absteigen hervor. — Eine ganz andere Curve kommt für das Aequivalent des *Kochsalzes* zum Vorschein. Indem sie auch hier unverkennbar vom Concentrationsgrad abhängt, ist ihre Lage derjenigen des Glaubersalzes geradezu entgegengesetzt. Bei einer höheren Concentration der inneren Flüssigkeit treten für kleinere Salzgrößere Wassermengen über, während für eine niedere Concentration der Unterschied zwischen den ausgetauschten Gewichten mehr und mehr verschwindet. Es entfernt sich, um es mit einem Worte zu sagen, bei dem Glaubersalz mit abnehmender Concentration der Flüssigkeiten das endosmotische Verhältniß von der Einheit, während es sich beim Kochsalz ihr nähert. — Das Gesetz der Curve auf dem eingeschlagenen Wege genauer zu ermitteln, halte ich, aus später zu entwickelten Gründen, für unthunlich.

Vergleichen wir dieses Resultat mit dem von Jolly erworbenen, so bestätigt sich zunächst die Thatsache der specifischen Wirkung der einzelnen Salze, indem Flüssigkeiten von verschiedener Natur aber gleichem Procentgehalt eine durchaus andere Verhältnißzahl bieten. — Es besteht dagegen eine wesentliche Differenz in den Resultaten der

Jolly'schen Untersuchung und der meinigen darin, daß die GröÙe, welche Jolly für jede Zeit der Versuchsdauer constant setzte, von mir variabel gefunden wurde.

Bei der bekannten Genauigkeit Jolly's und seiner Aufmerksamkeit auf die Methodik müÙte die Abweichung meiner Beobachtungen mit MiÙtrauen betrachtet werden, wenn in der That seine Versuche hinreichend zahlreich und hinreichend variirt wären. Mit Glaubersalz hat er nur zwei den meinen vergleichbare Versuche angestellt, die denn auch wirklich, wenn auch nicht gerade sehr auffällig, meine Behauptungen unterstützen; es findet sich in seinem siebenten Rohr in zwei Versuchen das endosmotische Aequivalent einmal = 12, als er den Strom bei einer Concentration der innern Flüssigkeit von 1,18% beginnen lieÙ und das andere Mal = 11, wo im Beginn der Procentgehalt der innern Flüssigkeit zwischen 4—5% fiel. Eben so wenig zahlreich sind die vergleichbaren Versuche mit Kochsalz; in 2 den meinigen ähnlichen findet man allerdings das endosmotische Aequivalent gleich; es begann aber auch der eine Versuch mit einer Concentration von 27% und der andere mit einem Procentgehalt von 23,8. Man wird zugeben, daß die Gränzen und Zahlen der Beobachtung zu gering sind um eine Einsicht in die von mir erworbenen Thatsachen zu gestatten.

Die nothwendige Folge dieser Versuche ist die Unanwendbarkeit der Jolly'schen Formel, die in einer so eleganten und scharfen Weise den wahren Ausdruck der Thatsache zu enthalten schien. Die Möglichkeit der Integration seiner Differenzialgleichung verschwindet natürlich, wenn β selbst wieder als eine nicht näher zu bestimmende Function von x erscheint. Da dieses aber in Wirklichkeit durch die obigen Fundamentalversuche erwiesen ist, so wird die Formel mit ihren Folgerungen vorerst unbrauchbar, selbst wenn man im Uebrigen ihre Richtigkeit zugäbe.

Die nächste Aufgabe bestünde also darin, das Gesetz für alle Veränderungen des β in der erwähnten Gleichung aufzuhellen, was natürlich nur durch eine Analyse der Erscheinungen, welche in der Blase vor sich gehen, möglich

ist. — Von den 4 zur Erklärung derselben aufgestellten und neuerlichst noch vertheidigten Hypothesen scheint mir nur die von Brücke¹⁾ theoretisch unangreifbar. Indem sie zwei getrennte Schichten in einem Capillarraum annimmt, von denen die eine Wasser, die andere Wasser und Salz enthält, erklärt sie alle die Möglichkeiten, die in der That eintreten. Unverkennbar liegt aber in ihr eine andere Schwierigkeit. Es erscheint nämlich unwahrscheinlich, daß bei Gegenwart von Salzen in einer Membran eine Schicht destillirten Wassers an den Porenwandungen liegen solle. Darum ist sie trotz ihrer Genialität wohl nicht zur Geltung gekommen, und es bedurfte *neuer* Versuche zu ihrem Beweise, um so mehr da diese Brücke wohl für Oele und Glas, aber nicht für Salze, Wasser und Membranen beigebracht hatte.

Wenn in der That in den Thierblasen sich Schichten finden, welche sich mit Wasser und nicht mit Salzlösungen tränken, so müssen, wenn man in einer Lösung von bestimmtem und gleichbleibendem Procentgehalt sich eine Blase hat imbibiren lassen, im Innern derselben immer Flüssigkeiten von niedrigerer Concentration enthalten seyn, als außerhalb. Diese nächste Voraussetzung für Brücke's Hypothese ist in der That richtig.

Um den Procentgehalt der imbibirten Flüssigkeit zu bestimmen, verfährt man so, daß man das bekannte Gewicht der bei 100° C. getrockneten Haut von dem Gewicht der mit Löschpapier abgetrockneten imbibirten und der bei 100° C. getrockneten imbibirten abzieht. Man hat hierdurch alle Data. Der Ausführung dieses einfachen Gedankens bieten sich aber mancherlei Schwierigkeiten. — Zuerst kann man eine Schweinsblase nie ganz auswaschen. Legt man sie Tage lang ins Wasser, preßt sie wiederholt, trocknet sie — um die Fäulniß zu verhüten — und wäscht sie wiederum aus: immer enthält das Waschwasser noch Spuren von verbrennlicher Substanz. Sie setzt sich im feuchten Zustand fortwährend um. Recht rein und so rein, daß

1) Ann. Bd. 58. S. 77.

kein Schaden für die Versuche erwächst, erhält man sie durch mehrtägiges Auswaschen in Wasser bei darauf folgendem mehrtägigen bis mehrwöchigen Liegen in concentrirtem Alkohol, wiederholtes Auswaschen in Wasser und Pressen. — Viel schädlicher dem Versuche als die geringen Mengen ausgezogener Flüssigkeit sind die abgestoßenen Epitheliumsschuppen; sie fallen fast fortwährend und unter Umständen in so großer Menge von der Blase in die Imbibitionsflüssigkeit, daß dadurch ganz auffallende Fehler entstehen würden, wenn man sie vernachlässigte. Man muß dann durch Abdampfen Trocknen und Wägen, Verbrennen und Wägen den Gehalt der Imbibitionsflüssigkeit an organ. Substanz bestimmen und zum Gewicht der Blase addiren. Es gelingt in vielen Fällen auch dieses Abschuppen zum Unmerklichen herab zu drücken, wenn man die Blase, nachdem sie so weit wie thunlich ausgewaschen ist, mehrere Wochen anhaltend scharf trocknet; es scheint dadurch die Adhäsion des Epitheliums (wie der Elasticitätscoefficient der ganzen Membran) auffallend zu wachsen. — Das Trocknen der Blase erfordert noch besondere Aufmerksamkeit. Ehe man die ausgewaschene Blase in höherer Temperatur trocknet, muß man sie in warmer Luft oder im gesperrten Raume mit CaCl lufttrocken gemacht haben; man würde bei unmittelbarem Trocknen der feuchten Substanz in höherer Temperatur eine Leimbildung anbahnen. Da die Membran das hygroskopische Wasser sehr festhält, so muß man sie im Kochsalzbad trocknen und den mit einer aufgeschliffenen Platte bedeckten Tiegel im *leeren Raum* erkalten lassen, weil die Blasen vermöge ihrer ganz außerordentlichen Hygroskopicität dem CaCl kryst. und der engl. Schwefelsäure Wasser entziehen.

Auf diesem Wege erhielt man

I. Imbibitionsfähigkeit der Harnblase des Schweins für Na \ddot{S} .

1) Imbibitionslösung = 7,221% Na \ddot{S}

Trockene Blase = 4,123 gr.

Aufgenommene Flüssigkeit = 4,533 -

Rückstand	= 0,201 gr.
Flüssigkeit in der Membran	= 4,43\.
2) Imbibitionsflüssigkeit von 5,069\.	
a. Trockene Blase	= 3,268 gr.
Aufgenommene Flüssigkeit	= 4,525 -
Rückstand	= 0,172 -
Flüssigkeit in der Membran	= 3,80\.
b. Trockene Blase	= 3,770 gr.
Aufgenommene Flüssigkeit	= 5,109 -
Rückstand	= 0,168 -
Flüssigkeit in der Membran	= 3,28\.
3) Imbibitionsflüssigkeit von 4,995\.	
a. Trockene Blase	= 8,296 gr.
Aufgenommene Flüssigkeit	= 8,431 -
Rückstand	= 0,336 -
Flüssigkeit in der Membran	= 3,986\.
b. Trockene Blase	= 6,809 gr.
Aufgenommene Flüssigkeit	= 7,828 -
Rückstand	= 0,276 -
Flüssigkeit in der Membran	= 3,526\.

Zur Controle dieser Bestimmungen dürfte ein anderer Weg nicht verabsäumt werden. Wenn man noch die absolute Menge der Imbibitionsflüssigkeit vor dem Versuche, und den Procentgehalt derselben nach dem Versuche bestimmt, so kennt man die absoluten Mengen des ursprünglichen, weggenommenen und zurückbleibenden Salzes und Wassers. Diese Controle, für 3 a und b ausgeführt, ergab:

Für 3 a. Die Menge der Imbibitionsflüssigkeit	= 99,750 gr.
Enthält (nach 4,995\.) an Na \ddot{S}	= 4,983 -
Nach dem Versuche bleiben, nach	
Abzug der imbibirten Flüssigkeit	= 91,319 -
Ihr Procentgehalt beträgt nach Glü-	
hen des Rückstandes im Mittel	
5,123\.	und demnach enthält sie
Na \ddot{S}	= 4,678 -

Die 431 gr. imbibirter Flüssigkeit

enthalten Na S = 0,305 -

Demnach ihr Procentgehalt = 3,641\.

ir 3 b. Menge der Imbibitionsflüssigkeit = 115,0 gr.

Enthält (nach 4,995\.) an Na S = 5,744 -

Nach dem Versuche bleiben = 107,172 -

Ihr Procentgehalt im Mittel 5,120\.,

demnach enthalten sie Na S = 5,487 -

Die 7,828 gr. imbibirter Flüssigkeit

enthalten Na S = 0,257 -

Demnach ihr Procentgehalt = 3,309\.

II. Imbibitionsfähigkeit für Na. Cl.

1. Harnblase.

a. Imbibitionsfähigkeit = 19,03\.

Trockene Haut = 1,949 gr.

Aufgenommene Flüssigkeit = 2,107 -

Rückstand = 0,349 -

Flüssigkeit in der Blase = 16,56\.

b. Imbibitionsflüssigkeit = 9,88\.

Trockene Haut = 4,711 gr.

Aufgenommene Flüssigkeit = 6,325 -

Rückstand = 0,445 -

Flüssigkeit in der Blase = 7,05\.

2. Membrana elastica aus der Aorta der Ochsen

Imbibitionsflüssigkeit in allen Versuchen 19,79.

a. Trockene Haut = 2,795 gr.

Aufgenommene Flüssigkeit = 3,846 -

Rückstand = 0,619 -

Flüssigkeit = 16,09\.

b. Trockene Haut = 2,648 gr.

Aufgenommene Flüssigkeit = 2,671 -

Rückstand = 0,462 -

Flüssigkeit in der Blase = 17,22\.

c. Trockene Haut = 1,280 gr.

Aufgenommene Flüssigkeit = 1,319 -

Rückstand = 0,224 gr.

Flüssigkeit in der Blase = 16,98%

Wenn diese übereinstimmenden Zahlen noch nicht beweisend erscheinen sollten, so verweisen wir auf einen einfachen Versuch, der nur eine augenscheinliche Folge derselben ist. — Wenn man in einer *gesättigten kalten* Lösung von *chemisch reinem* Kochsalz eine *wohl ausgewaschene* und *lufttrockene* Blase sich in einem mit *ingeschliffenem Stöpsel* versehenen Glase imbibiren läßt, so vermag die Blase der Lösung so viel Wasser zu entziehen, dafs bald eine bedeutende Krystallisation von Na Cl entsteht, wenn man neben das Imbibitionsglas ein gleiches mit Lösung ohne Hautstücke stellt, in welchem man dann keine Krystallisation beobachtet. Es entzieht also die Blase etwa wie Ca Cl der Salzlösung Wasser.

Diese Versuche stellen die erste Forderung von Brücke's Hypothese aus dem Bereich der Probabilität und es mufs jetzt die zweite derselben, die, dafs *Wasser* und *Lösung* in der Haut enthalten sey, festgestellt werden. Es gelingt das sehr leicht auf verschiedenem Wege. Zuerst durch *Filtration unter Druck*. Wenn in der That die Annahme anderer Autoren, dafs die verdünnte Flüssigkeit durch die Membran gleichmäfsig vertheilt sey, richtig wäre, so würde, wenn eine Membran aus einer 20% Lösung von Na Cl nur eine 17% aufnehmen kann, auch nur eine 17% filtriren können, weil offenbar nur die in der Haut liegende Schicht aus der freien Fläche austreten kann. Der Versuch ergiebt das Gegentheil. Um alle Fehler zu elimiiren würde folgendermassen verfahren. — Als Filtrationsmembran wurde die dichte Membrana elastica der Schweinsaorta genommen; durch die Harnblase geht die Filtration zu langsam. Aus einem Blechrohr gingen 7 Röhren ab. In eine derselben wurde das Druckrohr — das oben leicht verkorkt war, in die andern 6, Glasröhren von 1 Ctm. Durchmesser gefügt. Um das freie Ende der letzteren war ein Kautschoukröhrchen gelegt und auf dieses die Membrana elastica mittelst oft umgelegter Fäden stark festgeschnürt. Nachdem sie bei

5" Wasserdruck wie früher auf ihre Dichtigkeit geprüft waren, wurden sie gereinigt, mit Kochsalz gefüllt und in den Apparat fest eingepropft. Ihr freies Ende wurde darauf mit Hülfe eines durchbohrten Korks in einen weiteren Glas-cylinder fest aber nicht luftdicht eingebracht und der Stöpsel mit einem in Wasser getränkten Löschpapier umgeben.

Salzwasser von 19,07% in der Druckröhre.

1) Druck im Maximum = 0,660 M. im Minimum 240 M. M.

Versuchsdauer 23 Stunden; durchgegangene Flüssigkeit = 6,238 gr.

Mit einem Procentgehalt von 19,04%.

2) Druck im Maximum 1,000 M. im Minimum 0,420 M.

Versuchsdauer 20 Stunden; durchgegangene Flüssigkeitsmenge = 24,179 gr.

Mit einem Procentgehalt von 19,33%.

Ein anderer noch directerer Beweis für die Richtigkeit dieses Resultats läßt sich so geben, daß man die imbibirten Häute selbst auspresst, und die ausgepresste Flüssigkeit untersucht. Es mußte dadurch entschieden werden, ob die in der Membran homogen war. — Das Auspressen der imbibirten und zwischen Filtrirpapier abgetrockneten Membranen geschah rasch in einer blanken stählernen Handpresse zwischen zwei Messingplatten. Man erhielt in zwei Versuchen aus einer unbestimmten Menge der Membranstücke, welche aus einer Na Cl Lösung von 9,88% eine 7,05% Flüssigkeit aufgenommen hatte, folgende Thatsachen.

Imbibitionsflüssigkeit Na Cl von 10,0%.

1. Menge der ausgepressten Flüssigkeit = 3,241 mit 10,2%.

2. - - - - - = 2,437 mit 10,3%.

Der Procentgehalt der ausgepressten Flüssigkeit war durch eine geringe Menge von organischer Substanz wohl erhöht worden. Zudem fallen bei so geringen Mengen die $\frac{1}{10}$ eines Procentes in die Fehlerquellen. Daher die Abweichung.

Nach diesen Versuchen möchte es wohl keinem Zweifel unterworfen seyn, daß in einer Membran, die sich mit Salzlösung imbibirt hat, zwei Flüssigkeitsschichten vorkommen,

von denen die eine durch mechanische Mittel entfernt werden kann, während die andere der austreibenden Wirkung der Druckkräfte Widerstand leistet. Ist einmal dieses Resultat festgestellt, so erhält die genauere Beobachtung des Versuchs, bei welchem eine Membran die Krystallisation des Kochsalzes herbeiführt, besonderes Interesse.

In der ersten Zeit, in welcher das Hautstück in die Kochsalzlösung gelegt wird, bleibt es vollkommen trocken und es fließt die Lösung wie ein Oeltropfen auf befeuchteten Flächen um die Membranstücke; erst von dem Augenblicke an, wo die Krystallbildung beginnt, wo also der Lösung schon Wasser entzogen ist, beginnt die Anfeuchtung, die aber nur äußerst langsam zu einer Durchfeuchtung fortschreitet. — In Verbindung mit den früheren Beobachtungen möchte sie wohl hinreichen um den scharfen Beweis zu führen, daß in der Membran eine *wässerige Wandschicht* und eine *salsige Mittelschicht* vorkomme.

Sucht man sich aus diesen Thatsachen eine scharfe Vorstellung des Imbibitionsherganges zu bilden, so wird folgende die einfachste von denen seyn, welche der Erfahrung entsprechen. Die kleinsten Theilchen der Membran haben eine ausgesprochene Verwandtschaft zu dem Wasser, wie durch ihre Condensationskraft der Wasserdämpfe und ihre Begierde aus Salzlösungen Wasser aufzunehmen hervorgeht. Sey es nun, daß sie sich mit einer Wasserschicht umgeben, oder daß sie selbst auf einen größern Raum gebracht werden — es tritt bei der Wasseraufnahme, wie ich mich durch Versuche überzeugte, keine Verdichtung ein — so muß hiedurch immer wie bei der Gegenwart der Wärmeeratmosphären der Elasticitätscoefficient sinken. Geschieht aber dieses, so wird durch die Cohäsion der Flüssigkeiten bei gleicher Beschaffenheit, oder durch Verwandtschaft bei ungleichartiger Lösung, Flüssigkeit eindringen. Es ist darum bei den Imbibitionserscheinungen stets auf den Elasticitätscoefficienten die größte Rücksicht zu nehmen. Die innige Beziehung, welche zwischen Elasticität und Imbibition besteht, wird eine Reihe von Erscheinungen, die bisher räthselhaft

waren, erklären; so namentlich die lange Dauer die zur Beendigung der Imbibition nöthig ist — offenbar eine Reckungserscheinung — und das Zusammenfallen der Membran bei Gegenwart von Salzlösungen ').

Kehren wir nun zu unserer ursprünglichen Aufgabe, zur Bestimmung des endosmotischen Aequivalents zurück, so können wir behaupten, daß dasselbe abhängig seyn werde von dem Verhältniß der Salzwasser- und Wasserflächen zu einander, die sich auf den Oberflächen der Membran finden. Denn es kann die Differenz der Volumina nur durch die Wandungsschicht, welche Wasser, aber kein Salz, durchdringen läßt, bedingt seyn. Es wird die Verhältnißzahl der Flächen aber nur dann die wahre des endosmotischen Aequivalents seyn, wenn in den verschiedenen Flächen dieselbe Beweglichkeit der Theilchen besteht.

Könnte man über eine physikalisch und chemisch homogene Membran gebieten, so würde man ein Mittel in der Hand haben, um sich Aufschluß über diesen letzteren Punkt zu verschaffen. — Denn da man eine der ursprünglichen Imbibitionsflüssigkeit gleich zusammengesetzte Lösung aus der Blase auspressen kann, so möchte es erlaubt seyn, alles Salz, welches man in den obigen Versuchen in der Membran fand, in gleichem Verhältniß in der Membran gelöst zu betrachten. Man würde sich unter dieser Voraussetzung die Menge des Salzwassers und des reinen Wassers durch einfache Proportionen ausrechnen können. Wäre nun die Membran ganz homogen, so hätte man auch die Zusammensetzung der Flüssigkeit in den Gränzflächen, auf die es einzig und allein ankommt. — Meine Versuche, obgleich sie, mit Ausnahme eines einzigen, gut mit dem endosmotischen Resultat stimmen, insofern sie mindestens in der Richtung, welche die Aequivalente verlangen, liegen, eignen sich bis jetzt durchaus nicht zur Entscheidung, weil ihnen eine so complicirte Membran zu Grunde liegt. — Die Verhältniß-

1) Chevreul hat in seiner von den Physiologen zu ihrem Nachtheil vergessenen Abhandlung schon viele hierher gehörige wichtige Erscheinungen erläutert. *Annales de chimie et physique* T. XIX. 1821.

zahl der Wasser- und Salzwasserflächen auf der Oberfläche ist aber begrifflich nichts Constantes, da sie eine Function sehr wechselnder Verhältnisse ist. In einer Salzlösung wird die *Wasserschicht*, welche sich um die *Membrantheilchen* legen kann, offenbar abhängig gedacht werden müssen von der Anziehung des Salzes zur Wandung, zum Wasser, und von der Menge des anwesenden Salzes. Die *mittlere Salzwasserschicht* wird aber, alles andere gleichgesetzt, von dem ursprünglichen und dem durch die Imbibition veränderten Elasticitätscoëfficienten der Membran und der Cohäsion der Flüssigkeit abhängen.

Obgleich keine dieser Bedingungen bis jetzt auch nur mit annähernder Genauigkeit angegeben werden kann und somit alle sichere Controle für das Erschöpfende unserer letzten Behauptungen fehlt, so ist es doch von Interesse, alle die Umstände zu verfolgen, die schon jetzt in Harmonie mit dieser detaillirten Anschauung gebracht werden können.

Zunächst wird es begrifflich, wie mit der Concentration das endosmotische Aequivalent sich ändert; es muß dieses geschehen, weil mit Abnahme der Salzmenge in der Membran das Wasser leichter den Anziehungen der organischen Substanz folgt; hiermit ändert sich der Elasticitätscoëfficient und zugleich die absolute Menge der eintretenden Flüssigkeit, und damit natürlich das Verhältniß der öfter erwähnten Flächen. Wie intricat sich übrigens die Verhältnisse gestalten mögen, geht aus der umgekehrten Lage der Curven der Aequivalente für Koch- und Glaubersalz hervor.

Je dichter eine Membran bei sonst bestehender gleicher chemischer Construction ausfällt, je größer ihre Cohäsion ist, um so höher wird ihr endosmotisches Aequivalent ausfallen müssen, weil in ihnen die Mittelschicht verhältnißmäßig gegen die Seitenschicht zurücktreten wird. In der That zeigten die Blasen VII—X ein auffallend hohes endosmotisches Aequivalent gegen die übrigen¹⁾; VII—X waren aber von 4 verschiedenen, sehr alten, fest getrock-

1) Das niedrigste endosmotische Aequivalent dürfte eine Porcellanplatte zeigen, welche ich mit BaCl und S, die ich abwechselnd filtrirte, dicht ge-

neten Blasen, die ich schon seit 6 bis 7 Jahren aufbewahrte, genommen, während die übrigen frisch waren. Bekanntlich wird aber durch langes Trocknen eine Blase viel steifer und verändert durch Imbibition ihre Dehnbarkeit weniger.

Die Einflüsse der Temperatur werden nun ebenfalls in Zukunft einer Beurtheilung unterliegen und nach bestimmten Richtungen geprüft werden können.

Von geringerer Bedeutung erscheint mir der zweite Theil der Hypothese von Brücke, wonach die Anziehungen nicht zwischen dünnem und dichtem Salzwasser, sondern zwischen Salz- und Wasseratom vor sich gehen sollen. So richtig dieß für Verbindungen mit atomistischer Constitution, für Niederschläge u. s. w. seyn mag: für Lösungen wird das schwerlich Geltung haben. Lösungen, welche selbst nicht nach Aequivalenten geschehen, müssen unter die adhäsiven Verbindungen, unter die Imbibitionserscheinungen gebracht werden, bei denen die Cohäsion der imbibirenden Theile sehr gering geworden ist. Nun zeigen in der That die dichten Lösungen ein eben so großes Imbibitionsvermögen in die noch krystallisirten Salze gleicher Natur, wie verdünnte, so daß unter diesem Gesichtspunkt die Annahme der Mischung von Salzlösungen mindestens ihr Abenteuerliches verliert. Ich hatte Hoffnung, durch eine Untersuchung des Gangs der Flüssigkeiten in mehreren aufeinander geschichteten Blasen, welche Glaubersalz und Wasser trennten, etwas darüber zu erfahren. Es ergab sich, daß in den Poren der Blase die Dichtigkeit in gerader Linie gegen das Wasser abnimmt ¹⁾). Es geht also die Mischung in den

macht hatte. — Versuchsdauer = 578 Stunden. Aeußere Flüssigkeit destillirtes Wasser.

Rohr mit Na S solut. 5,358\.	= 33,852	} 11,529 mit 0,618 Gr. Na S
leer	= 22,323	
Nach E. mit Flüss. v. 0,124\.	= 34,733	} 12,501 mit 0,016 Gr. Na S
leer	= 22,232	
		Uebergetr. = 0,602 Na S.
		Eingetret. = 1,574 Wasser

1) Es wurde zwischen zwei Messingplatten, die mit einem 2□" betragenden Ausschnitt versehen waren, und von denen eine einen Kasten als

Poren wie außerhalb vor sich, was schwerlich eintreten dürfte, wenn hier bei fast *aufgehobener* Schwere nur eine Anziehung nach Lösungsäquivalenten vorkäme. Ueberhaupt müßte das endosmotische und das Lösungsäquivalent in gewisser Beziehung stehen, es müßte mindestens, wie Liebig ¹⁾ richtig bemerkt, das endosmotische Äquivalent nicht unterhalb des niedrigsten Lösungsäquivalents zu stehen kommen. Dieses bestätigt aber weder Jolly's noch meine Untersuchung.

endosmotisches Rohr trug, 3 Membranen eingespannt. Fügte man in das Kästchen NaS und in ein äußeres Gefäß Wasser, so hatte man eine Reihe von Schichten zur Untersuchung, wenn man die Flüssigkeit aus den Blasen presste und die zwischen ihnen liegende mit der Pipette aufsaugte. Um aus den Blasen in hinreichender Menge Flüssigkeit zu erhalten, wurde der Versuch gleichzeitig mit drei Apparaten unternommen.

I.	1.	Procentgeh. der Flüssigkeit im innern Raume	= 7,8%
	2.	- - - aus den innersten Membranen gepresst	= 5,8
	3.	- - - aus den Räumen zwischen innersten und mittleren Membranen	= 3,7
	4.	- - - aus den Räumen zwischen äußeren u. inneren Membranen	= 2,2
	5.	- - - aus den äußersten Membranen gepresst	= 1,2
II.	1.	Procentgeh. der Flüssigkeit im innern Raume	= 6,964%
	2.	- - - in den Räumen zwischen den inneren und mittleren Membranen	a. = 4,299 b. = 4,044 c. = 4,638
	3.	- - - aus den mittleren Membranen	= 3,187
	4.	- - - des Raumes zwischen mittleren und äußeren Membranen	a. = 2,027 b. = 1,844
	5.	- - - aus den äußeren Membranen	= 4,311

1) Liebig's Untersuchungen über die Ursachen der Säftebewegung. Braunschweig 1848. 43. Anm.

III. Ueber Legumin; von Dr. P. Loewenberg.

I. Reactionen der Infusion von Erbsen.

Wenn man Erbsenmehl ¹⁾ mehrere Stunden mit kaltem Regen- oder destillirtem Wasser in Berührung läßt, so erhält man einen Bodensatz von Stärke und andern unlöslichen Substanzen, während darüber eine trübe gelbe Flüssigkeit steht, die durch Leinwand nur sehr unvollkommen, durch Papier aber nur äußerst langsam und auch dann nur trübe filtrirt werden kann, was um so unangenehmer ist als die Flüssigkeit sehr leicht in Gährung übergeht. Man zieht sie daher mit einem Heber ab, und um die Gährung der Masse auch während der Extraction zu verhindern, setzt man von Zeit zu Zeit, wenn die Temperatur im Zimmer nicht grade sehr niedrig ist, Eisstücke dazu; man bekommt auf die Art, auch ohne Anwendung von Ammoniak, einen vollständig neutralen Auszug. Setzt man von dieser trüben Flüssigkeit eine durch Papier möglichst geklärte Probe der Siedhitze aus, so coagulirt sie so stark, daß sie nicht mehr filtrirt werden kann; man erreicht dies Letztere einigermaßen aber nur unvollkommen, wenn man unmittelbar nach dem Kochen etwas kaltes Wasser hineinspritzt und nun filtrirt; das Filtrat giebt alsdann mit Essigsäure noch einen starken Niederschlag. Fällt man andrerseits eine Probe jener trüben Flüssigkeit mit etwas Essigsäure und filtrirt dann, so giebt das Filtrat nach der genauen Neutralisation mit kohlsaurem Ammoniak beim Kochen nur noch ein äußerst geringes Coagulum. Selbst wenn man nun voraussetzt, daß dieses Coagulum aus Albumin bestehe — und ich werde wei-

1) Zu der nachfolgenden Untersuchung wurde anstatt der Erbsen das Mehl derselben, das hier im Handel vorkommt, angewandt; man erspart dadurch die Mühe des Zerreibens und erreicht eine schnellere und vollkommene Extraction. Um indessen gegen eine Verfälschung mit andern Mehlartern sicher zu gehen, wurden die Reactionen auch an Erbsen versucht; sie fielen ebenso aus.

ter unten zeigen, dafs diefs nicht der Fall ist — so geht daraus doch hervor, dafs die neutrale, ohne Zusatz von Ammoniak bereitete Infusion zwei durch Essigsäure fällbare Körper enthält, von denen der eine in der Siedhitze coagulirt, der andre nicht, dafs also das bisher als Legumin betrachtete Präcipitat, das diese Infusion mit Essigsäure liefert, abgesehen von anderweitigen Verunreinigungen, ein Gemenge von Legumin und Albumin ist. Ausserdem enthält es noch einen dritten Körper, der sich von den beiden ersten dadurch unterscheidet, dafs er in Wasser löslich, in überschüssiger Essigsäure aber unlöslich ist, während Legumin und Albumin nach ihrer Präcipitation mit Essigsäure in Wasser unlöslich, in überschüssiger Essigsäure löslich sind. Es zeigt sich diefs deutlich beim Auswaschen des Niederschlages, den die Infusion mit Essigsäure liefert; sobald das Waschwasser neutral geworden ist, giebt es, mit Essigsäure versetzt, eine Trübung, die im Ueberschufs des Fällungsmittels nicht verschwindet, und die bei fortgesetztem Auswaschen immer geringer wird. Nimmt man hingegen von dem auszuwaschenden Niederschlag von Zeit zu Zeit eine Probe und bringt sie mit verdünnter Essigsäure zusammen, so löst sie sich Anfangs nur zum Theil auf, die Menge des Unlöslichen nimmt aber bei fortgesetztem Auswaschen immer mehr ab. Dafs aber alsdann das Legumin nicht in dem Waschwasser sondern in dem ausgewaschenen Niederschlage sich befindet, geht daraus hervor, dafs die Auflösung des letzteren in Ammoniak beim Abdampfen an der Luft sich mit einer starken Haut überzieht.

Hat man nun diesen dritten Körper durch Auswaschen mit Wasser entfernt, so handelt es sich noch darum das Legumin vom Albumin zu befreien. Ich glaubte die Trennung erreichen zu können durch Kochen der Infusion vor dem Zusatz von Essigsäure; indessen ist die Filtration alsdann so schwierig, dafs man einigermaßen große Mengen dadurch nicht herstellen kann, oft gelingt sie auch bei kleinen Mengen nicht. Ausserdem *schien* das Eiweifs nicht vollständig durch die Coagulation entfernt zu werden, denn

wenn man das Coagulum abfiltrirt, mit Essigsäure ausfällt, das Filtrat mit Ammoniak neutralisirt und kocht, so erhält man nochmals eine geringe Coagulation. Ich versuchte daher aus der Auflösung des präcipitirten und mit kaltem Wasser ausgewaschenen Gemenges in Ammoniak das Albumin zu entfernen, indem ich die Auflösung mit Essigsäure genau neutralisirte und der Siedhitze aussetzte. Die Flüssigkeit coagulirt sehr stark; als aber das Coagulum abfiltrirt wurde, gab das Filtrat mit Essigsäure nur noch eine *äußerst schwache* Fällung, während die ursprüngliche Infusion nach dem Kochen und Abfiltriren des dadurch entstandenen Coagulums mit Essigsäure noch einen bedeutenden Niederschlag gab, von dem sich ein großer Theil in überschüssiger Essigsäure löste. Es war mithin klar, daß hier ein großer Theil des Legumins mit dem Albumin sich niedergeschlagen hatte; den Grund davon suchte ich zunächst in einer Zersetzung des essigsauren Ammoniaks beim Kochen der Flüssigkeit und ich versuchte daher; die Auflösung des Gemenges in Ammoniak durch Abdampfen bei niedriger Temperatur zu neutralisiren. Nachdem die Haut von Legumin, die sich dabei bildet, abfiltrirt worden, kochte ich die vollständig neutrale Flüssigkeit — es kam kein Niederschlag. Es schien hiernach eine Veränderung des Albumins durch das Ammoniak in der Art vorgegangen zu seyn, daß es nach Verdampfung des überschüssigen Ammoniaks beim Kochen nicht mehr, wohl aber beim Kochen mit essigsaurem Ammoniak coagulirte; andrerseits schien durch letztere Operation zugleich der größte Theil des Legumins gefällt zu werden. Um indessen hierüber Gewisheit zu erlangen, stellte ich mir Pflanzeneiweiß¹⁾ aus Kartoffeln durch Ausziehen mit Schwefelsäurehaltigem Wasser etc. dar, und in der That verhielt sich dieß ebenso: in Ammoniak

1) Auch Hühnereiweiß, mit Ammoniakhaltigem Wasser verdünnt, und bis zum Verschwinden der alkalischen Reaction digerirt, coagulirt beim Kochen nicht mehr, wohl aber wenn man vor dem Kochen die Lösung eines Salzes mit alkalischer Basis hinzusetzt. Mit oxalsaurem und phosphorsaurem Natron trüt selbst beim Kochen nur eine starke Trübung ein.

gelöst kann man es nach der Neutralisation durch Abdampfen kochen, ohne einen Niederschlag zu erhalten; setzt man indessen essigsäures Ammoniak hinzu, so erhält man, selbst wenn die Salzlösung noch *etwas* alkalisch war, schon in der Kälte einen Niederschlag, der namentlich, wenn nur wenig essigsäures Ammoniak angewandt worden war, beim Kochen sich noch verstärkt; das Filtrat dieses Niederschlages giebt mit Essigsäure nicht die geringste Trübung, ebenso wenig mit Essigsäure und Blutlaugensalz, während die Flüssigkeit vor dem Kochen durch jene Säure stark gefällt wurde. Bei einer hinreichenden Menge essigsäuren Ammoniaks wurde das Albumin selbst in der Kälte vollständig ausgefällt. Ich hatte mithin in dem essigsäuren Ammoniak ein Mittel gefunden, um das Albumin aus jenem Niederschlage zu entfernen, und wenn damit auch ein bedeutender Verlust an Legumin verbunden war, so konnte ich mir dadurch doch etwas Albuminfreies Legumin verschaffen, aus dessen Reactionen ich, durch den Vergleich mit denen des Albumins aus Kartoffeln, auf eine vortheilhaftere Trennungsmethode geführt zu werden hoffte; denn dafs das Legumin durch essigsäures Ammoniak nur zum Theil gefällt wird, gieng daraus hervor, dafs das Filtrat von der durch Kochen coagulirten Auflösung des Gemenges mit Essigsäure eine wenn auch nur geringe Fällung gab, obgleich bei der Neutralisation mit Essigsäure so viel freies Ammoniak vorhanden war, dafs alles Albumin ausgefällt seyn mußte. Es lag nun mehr an der durch Abdampfen neutralisirten Lösung des so erhaltenen Legumins in Ammoniak zuerst das Verhalten der verschiedenen Ammoniaksalze zu erforschen. Oxalsäures Ammoniak fällt die Lösung fast gar nicht, während die entsprechende Lösung von Kartoffeleiweiß sehr stark dadurch coagulirt wurde; das Filtrat dieses Coagulums zeigte indessen, selbst wenn bei einem neuen Zusatz von oxalsäurem Ammoniak und nochmaligem Kochen keine Fällung mehr erhalten wurde, durch Essigsäure noch Eiweiß, so dafs dieses dadurch nicht vollständig entfernt werden kann. Salpetersäures Ammoniak zeigte sich noch weniger anwendbar,

da es sich gegen die Albuminlösung ebenso verhielt, während die Leguminlösung beim Kochen damit noch stärker getrübt wurde als durch das oxalsaure Salz (in der Kälte bleibt sowohl das Albumin wie das Legumin dadurch unverändert). Schwefelsaures Ammoniak dagegen ebenso wie Salmiak fällt bei hinreichender Menge die Albuminlösung schon in der Kälte vollständig aus, während die Leguminlösung dadurch unverändert bleibt; beim Kochen hingegen fällt auch das Legumin zum großen Theil nieder. Die Trennungsmethode, die sich hieraus ergibt, ist nun zwar vortheilhafter als die durch essigsaures Ammoniak, hat aber noch den Uebelstand, daß durch die große Menge Salz, die man zur Trennung anwenden muß, weil die Flüssigkeit nicht gekocht werden darf, das Auswaschen des Präparats sehr erschwert wird und eine Unvollständigkeit desselben den Stickstoffgehalt bei der Elementaranalyse bedeutend erhöhen muß. Auch diese Unsicherheit wird vermieden, wenn man sich zur Trennung der entsprechenden Natronsalze bedient. Kochsalz nämlich ebenso wie Glaubersalz lassen die Leguminlösung auch beim Kochen unverändert, während die Albuminlösung dadurch vollständig ausgefällt wird. Von diesen beiden Salzen verdient das Chlornatrium den Vorzug, weil eine etwaige Verunreinigung des Präparats mit dem Fällungsmittel auf die analytische Bestimmung seiner Elemente keinen Einfluß ausüben kann, während bei Anwendung von schwefelsaurem Natron die Bestimmung der im Legumin fertig gebildeten Schwefelsäure dadurch unsicher werden kann.

Aus diesen Reactionen erklärt sich nun auch das, was ich Anfangs für eine unvollkommene Coagulation des Albumins hielt (s. oben); es war dies Legumin, das durch etwas überschüssige Essigsäure aufgelöst und durch das Kochen mit dem bei der Neutralisation derselben gebildeten essigsauren Ammoniak gefällt wurde; nichtsdestoweniger ist die Methode, das Albumin in der ursprünglichen Infusion durch Kochen niederzuschlagen, der schweren und oft unmöglichen Filtration wegen, unausführbar.

II. Darstellung des Legumins.

Man muß daher, um reines Legumin zu erhalten, die Erbseninfusion mit Essigsäure fällen und den Niederschlag mit Wasser auswaschen. Da diese Operation sehr langsam von Statten geht, so thut man besser, wenn man das Waschen nur so lange fortsetzt, bis das Waschwasser neutral reagirt; man erhält alsdann einen Theil des in Essigsäure unlöslichen Körpers, da seine durch Abdampfen neutralisirte Lösung in Ammoniak beim Kochen mit Chlornatrium zum Theil gefällt wird, in dem Coagulum des Albumins und erleichtert sich schon hierdurch das Auswaschen; außerdem läßt sich das Legumin, wenn das Albumin und die übrigen Verunreinigungen entfernt sind, viel leichter aus-süßen. Den von freier Essigsäure befreiten Niederschlag löst man nun in Ammoniak mit der Vorsicht auf, denselben vor dem Zusatz des Ammoniaks in Wasser vollständig zu zertheilen, indem sonst ganze Klöße sich bilden, die durch einen schleimigen in Ammoniak unlöslichen Körper vor der Auflösung geschützt werden. Aus diesem Grunde filtrirt sich die Auflösung auch, selbst durch Leinewand, so äußerst schwer, daß man besser thut dieselbe nur durch Leinewand hindurch zu *drücken*, dann bis zur Neutralisation zu dige-riren, mit Zusatz von Chlornatrium zu kochen und dann, erst durch Leinewand, darauf durch Papier zu filtriren. Aus dieser Flüssigkeit wird nun durch Essigsäure das-Legumin gefällt, verbunden mit dem Rest des oben erwähnten in Wasser löslichen in überschüssiger Essigsäure unlöslichen Körpers.

III. Zersetzung des Legumins durch kochendes Wasser.

Das Auswaschen dieses letzteren durch kaltes Wasser dauert sehr lange und ich versuchte daher, dasselbe durch Anwendung heißen Wassers zu beschleunigen; die Menge des dadurch Ausgezogenen nahm indessen auch nach mehreren Tagen nicht ab, obgleich ich das Präparat, da das Filter sich sonst leicht verstopfte, während dieser Zeit anhaltend mit Wasser auskochte, die Flüssigkeit durch Leine-

wand davon trennte, dasjenige was auf dem Leinwandfilter zurückblieb mit Wasser in den Kolben zurückspülte, und es dann von Neuem jener Behandlung aussetzte. Hieraus wurde eine Zersetzung des Legumins beim Kochen mit Wasser wahrscheinlich, die sich dadurch als sicher herausstellt, daß wenn man das Präparat mit kaltem Wasser vollständig auswäscht, es dann mit Wasser kocht und alsdann das Ganze vollständig erkalten läßt, man in dem Filtrat und in dem Waschwasser wiederum einen durch Essigsäure fällbaren Körper findet, der durch überschüssige Essigsäure nicht aufgelöst wird. Man kann durch Waschen mit kaltem Wasser das Präparat wieder von demselben befreien, erzeugt ihn aber wieder von Neuem, wenn man es darauf mit Wasser kocht.

Ob dieser Körper identisch sey mit dem, welchen man nach der Fällung mit Essigsäure beim kalten Auswaschen erhält, muß dahin gestellt bleiben; die Reaction mit Essigsäure deutet darauf hin.

IV. Zusammensetzung des Legumins und seiner Zer- setzungsproducte.

Die Elementaranalyse ¹⁾ des auf die obige Art dargestellten mit kaltem Wasser, kochendem Alkohol und Aether ausgewaschenen Legumins gab (C=75).

C	53,89
H	7,25
S ²⁾	0,30

Phosphor, Phosphorsäure und Schwefelsäure sind nicht vorhanden. Legumin, auf die obige Art dargestellt, aber anhaltend mit kochendem Wasser behandelt und dann mit kaltem Wasser ausgewaschen, gab

	I.	II ³⁾
C	50,26	51,12
H	6,83	7,36

1) Bestimmt durch Glühen mit kohlenurem Natron und Salpeter.

2) Im Sauerstoffstrom mit Anwendung von Kupferoxyd, Bleioxyd und Kupferblech.

3) Die beiden Analysen sind von zwei verschiedenen Präparaten. In der

Das mit Essigsäure gefällte Filtrat dieser beiden zusammen genommen gab

C 54,70

H 7,11

V. Vergleichung mit den bisherigen Angaben über Legumin.

In diesen Zahlen und in den sonstigen oben angeführten Reactionen liegt aller Wahrscheinlichkeit nach der Schlüssel zu der räthselhaften Verschiedenartigkeit in den Dumas'schen Analysen von Legumin aus Hülsenfrüchten und in denen Rochleder's etc. Es erhielt nämlich (C = 75)

Rochleder.

	I.	II.		
		Das Präparat I. in Kali u. in Ammoniak gelöst mit Essigsäure gefällt und ebenso ausgewaschen.	Scheerer. Jonas.	Wie Rochleder's „Unreines Legumin“ dargestellt
Dumas.	Die Infusion von Bohnen mit Essigsäure gefällt u. mit kaltem Wasser, Alkohol und Aether gewaschen („Unreines Legumin“).			Anstatt mit Essigsäure m. Schwefels. gefällt.
Mittel aus den Analysen von Bohnen-, Erb- sen- und Lin- sen-Legumin.				
C 50,50	51,15 — 52,99	54,49	53,36	54,30
H 6,78	6,49 — 6,99	7,40	7,16	7,59

Nun giebt Dumas unter den Eigenschaften des Legumins an, es sey in kaltem Wasser stark auflöslich, in heissem Wasser unlöslich, indem die wässrige Lösung beim Erhitzen coagulire. Von der Falschheit dieser Behauptungen kann man sich nach dem Obigen leicht überzeugen; wahrscheinlich wurde Dumas zu ersterer Angabe durch die Fällung, die das kalte Waschwasser des mit Essigsäure aus der Infusion erhaltenen Niederschlages längere Zeit mit Essigsäure giebt, zu letzterer durch das Coaguliren der ursprünglichen Infusion verleitet. Gleichviel nun, ob dieß oder etwas Anderes der Grund zu seinem Irrthum gewesen,

Wasserstoffbestimmung muß ein Fehler entweder hier oder bei dem kalten ausgewaschenen Legumin vorhanden seyn. Ich bin auf längere Zeit an der Revision dieses Punktes gehindert und kann aus demselben Grunde auch die Stickstoffbestimmungen vorläufig nicht anstellen.

so geht daraus doch mit Wahrscheinlichkeit hervor, denn direct ausgesprochen wird es in dem Aufsätze nicht, daß er zum Auswaschen heißes Wasser anwandte und das von ihm erhaltene Legumin mußte also meinem oben erwähnten, absichtlich mit heißem Wasser behandelten Präparat entsprechen, mit dem es auch in der That so weit übereinstimmt, als es bei diesem zusammengesetzten Körper möglich ist.

Auf den ersten Blick konnte man die Verschiedenartigkeit jener Resultate noch aus einem andern Umstande herleiten. Da nämlich das, was Rochleder als unreines Legumin analysirt hat, sich den von Dumas erhaltenen Zahlen mehr nähert, so könnte man diese beiden Präparate als Legumin, das „gereinigte Legumin“ von Rochleder aber als eine Verbindung von Legumin mit Ammoniak betrachten, da bei der Darstellung der ersteren kein Ammoniak angewandt worden war; indessen hätte alsdann die Menge des Kohlenstoffs grade umgekehrt in den Dumas'schen Analysen größer gefunden werden müssen.

Die von Liebig, Rochleder u. s. w. aufgestellte Behauptung endlich, das Legumin sey in überschüssiger Essigsäure unlöslich, rührt wahrscheinlich daher, daß sie den in der Infusion mit Essigsäure erhaltenen Niederschlag im Ueberschuß des Fällungsmittels nicht ganz auflösen konnten, während aus dem Obigen hervorgeht, daß dieser Rückstand gar nicht aus Legumin bestanden hat.

In denselben Irrthum ist Mulder verfallen (Liebig's Frage p. 93.) indem er den ersten Niederschlag mit Essigsäurehaltigem Wasser auswusch. Er nennt den Rückstand Legumin, während es der unter drei aufgeführte Körper im unreinen Zustande war. Das essigsäure Waschwasser gab ihm beim Kochen noch einen Niederschlag, den er ganz richtig für Albumin erklärt, und endlich erhielt er nach der Neutralisation des Filtrats mit kohlensaurem Ammoniak durch Kochen noch einen „weichlichen Niederschlag“, der also Legumin war, das noch mit etwas Albumin vermenget war, da letzteres aus der sauren Lösung nur unvollständig gefällt

wird. Unrichtig ist ferner der Vorwurf, den Mulder der Liebig'schen Darstellungsweise daraus machte, daß nach ihr coagulirtes Albumin mit aufgelöst werde, da das lösliche Albumin durch Essigsäure ebenso wie das in Ammoniak gelöste coagulirte Albumin gefällt wird.

VI. Schlusfolgerungen für Legumin aus Erbsen.

Es ist nun in dem Obigen nachgewiesen worden:

1) Das bisher untersuchte Legumin aus Erbsen ist, wenn es mit kaltem Wasser ausgewaschen worden, ein Gemenge von Legumin und Albumin, wenn es mit heißem Wasser ausgewaschen wurde, ein Zersetzungsproduct des Legamins, mit Albumin gemengt, gewesen.

2) Man kann das Legumin und Albumin trennen, wenn man sie in Ammoniak auflöst, das überschüssige Ammoniak verdampft, Chlornatrium hinzusetzt, bis zum Kochen erhitzt, das gebildete Coagulum abfiltrirt, das Filtrat mit Essigsäure fällt, und mit kaltem Wasser, darauf mit kochendem Alkohol und Aether auswäscht.

3) Das so erhaltene Legumin ist in kaltem Wasser unlöslich und wird durch Kochen mit Wasser in einen Kohlenstoffreicheren, in Wasser löslichen, in Essigsäure unlöslichen und in einen Kohlenstoffärmeren, in Wasser unlöslichen Körper zerlegt.

4) Durch Essigsäure wird das Legumin gefällt, ein Ueberschufs davon löst es auf.

5) Aufser Legumin und Albumin ist in der Erbseninfusion noch ein Körper vorhanden, der durch Essigsäure daraus gefällt wird, und im Ueberschufs des Fällungsmittels sich nicht löst. Der Niederschlag ist in reinem Wasser löslich; seine Auflösung in Ammoniak wird, wenn das überschüssige Ammoniak verdampft wird, durch Kochen mit Chlornatrium zum Theil gefällt.

VII. Legumin aus süßen Mandeln.

Die aus süßen Mandeln erhaltene Emulsion mit Wasser verhält sich ganz ebenso wie die Erbseninfusion; auch in
ihr

ihr ist der oben erwähnte in Wasser lösliche in Essigsäure unlösliche Körper vorhanden, und ebenso verhält das daraus dargestellte Legumin sich gegen kochendes Wasser und gegen Essigsäure wie das aus Erbsenmehl erhaltene. Die Elementaranalyse gab für das ganz nach obiger Art dargestellte (mit kaltem Wasser, kochendem Alkohol und Aether ausgewaschene) Legumin

C 51,06

H 7,19

Durch mehrstündiges Auskochen mit Wasser blieb nach der Entfernung des gebildeten Products mit kaltem Wasser zurück

C 50,3 51,6

H 6,9 7,7

während das Decoët, mit Essigsäure gefällt und mit Wasser, Alkohol und Aether behandelt, gab

C 51,72 51,96

H 7,10 7,09

VIII. Unterschied zwischen Legumin aus Erbsen und Mandeln.

Hiernach wäre man berechtigt das Legumin der ölhaltigen Saamen mit dem der Hülsenfrüchte für identisch zu halten, indessen zeigt das erstere sich dadurch von letzterem verschieden, dafs man seine Auflösung in Ammoniak so wie die ursprüngliche Emulsion an der Luft abdampfen kann, ohne dafs es in den unlöslichen Zustand übergeht, während sich beim Abdampfen der Infusion von Erbsen das Legumin zum Theil ausscheidet.

Eines Umstands will ich hier noch erwähnen, obgleich ich noch nicht im Stande bin, weitere Rechenschaft darüber zu geben. Nämlich aus der Emulsion das Eiweifs durch Erhitzen derselben, gieft in die Flüssigkeit unmittelbar nachdem man das Gefäfs vom Feuer genommen, kaltes Wasser hinein (zur Erleichterung der Filtration), filtrirt und fällt dann durch Essigsäure, so giebt das Präcipitat nach dem Auswaschen mit kaltem Wasser, kochendem Alkohol und Aether bei der Elementaranalyse

C 50,20

H 7,01

also die Zusammensetzung des Legumins, nachdem es durch kochendes Wasser zersetzt worden. Es ist möglich, daß beim Erhitzen der Emulsion, bis zum Kochen, das ungefähr eine Stunde dauerte, ein ähnlicher Zersetzungsproceß vorgegangen ist wie beim anhaltenden Kochen des Legumins mit Wasser, und daß die grössere Schnelligkeit jener Zersetzung bewirkt worden ist durch das Synaptas der Maedelmilch, dessen Einwirkung bei der ersten Methode, da es bekanntlich durch Essigsäure nicht gefällt wird, gänzlich ausgeschlossen war.

IX. Vergleichung des Legumins mit dem Casein der Milch.

Versetzt man Kuhmilch mit etwas Ammoniak, entfernt das überschüssige Ammoniak durch Digestion, verdünnt etwas und filtrirt, so erhält man eine ziemlich klare Flüssigkeit, die beim Kochen mit Chlornatrium und schwefelsaurem Natron sehr stark coagulirt.

IV. Ueber die verschiedenen Metaphosphorsäuren und zwei neue Säuren derselben Verbindungsportion; von Th. Fleitmann.

(Schluß von S. 260.)

Die Verbindungen der Dimetaphosphorsäure mit Strontian, Eisenoxydul, Nickeloxydul und Kobaltoxydul werden auf gleiche Weise gewonnen wie die vorhergehende Salze. Ich habe dieselben aus Mangel an Zeit nicht näher untersuchen können. Verbindungen mit Eisenoxyd und den übrigen schwachen Metallbasen habe ich nicht erhalten können.

Die Dimetaphosphorsäure besitzt sehr große Neigung zu Doppelsalzbildung. Wie im Eingange zur Begründung

ihrer rationellen Formel und ihres Namens bereits erörtert worden ist, enthalten ihre Doppelverbindungen stets gleiche Aequivalente der beiden verschiedenen Basen. Sie entstehen entweder durch Vermischen der beiden componenten Salze oder durch Versetzen eines einfachen dimetaphosphorsäuren Salzes mit einem halben Aequivalent einer löslichen Verbindung der zweiten Base.

Dimetaphosphorsaures Natronkali.

Fügt man zu einer concentrirten Lösung von dimetaphosphorsäurem Natron eine entsprechende Menge des Kalisalzes, so fällt das Doppelsalz augenblicklich in Gestalt eines feinen Krystallmehls zu Boden. Durch Abdunsten der wässrigen Lösung an der Luft erhält man das Salz in größeren Krystallen.

Das dimetaphosphorsaure Natronkali erfordert 24 Theile Wasser zu seiner Lösung, während sich das Natronsalz in 7 Theile und das Kalisalz in 1,2 Theilen löst.

Das Salz krystallisirt mit 2 Aequivalenten Wasser. Ganz verschieden von dem Verhalten der beiden componenten Salze hält es bei 100° C. sein Wasser hartnäckig zurück und läßt es selbst bei 150° C. nur theilweise fahren. Beim Glühen entweicht dasselbe ohne Aufblähen. Das Salz schmilzt leicht und erstarrt zu einem durchsichtigen in Wasser leicht löslichen Glase, welches die Säure in der gewöhnlichen Modification der Metaphosphorsäure enthält.

0,492 Grm. lufttrocknes Salz verloren beim Glühen 0,039 Grm. Wasser und gaben 0,508 Grm. Kaliumplatinchlorid.

	Berechnet:		Gefunden:
2PO ₅	144	60,00	—
NaO	31	12,90	—
KO	47	19,60	19,93
2HO	18	7,50	7,92
	240.	100,00.	

Versetzt man eine Lösung des dimetaphosphorsäuren Natrons oder Kalis respective mit einer Lösung von Chlor-

kalium oder Chlornatrium, so erfolgt nach kurzem Stehen die krystallinische Ausscheidung des schwerlöslichen Doppelsalzes. Sehr vortheilhaft ist die Darstellung des Salzes aus den Mutterlaugen des Kalisalzes durch Zusatz von Chlornatrium.

Dimetaphosphorsaures Natriumammoniumoxyd.

Zur Darstellung desselben versetzt man eine concentrirte Lösung des dimetaphosphorsauren Natrons mit einer entsprechenden Menge des Ammoniumoxydsalzes und krystallisirt mittelst Weingeist oder durch Abdunsten an der Luft. Die Löslichkeit des Doppelsalzes ist gröfser als die des Natronsalzes, etwas geringer als die des Ammoniumoxydsalzes. Die Krystalle desselben sehen denen des dimetaphosphorsauren Kalis sehr ähnlich.

Das Salz krystallisirt mit 2 Aequivalenten Wasser entsprechend dem Wassergehalt der beiden componenten Salze. Es verliert sein Krystallwasser bei einer Temperatur von 110° C. vollständig.

1) 0,446 Grm. lufttrockenes Salz verloren beim Glühen mit pyrophosphorsaurem Natron 0,0895 Grm. Ammoniumoxyd und Wasser.

2) 0,301 Grm. verloren 0,0605 Grm. Ammoniumoxyd und Wasser.

	Berechnet:		Gefunden:	
			I.	II.
2PO ₅	144	65,75	—	—
NaO	31	14,16	—	—
AmO	26	} 20,09	20,07	20,10
2HO	18			
	<hr/> 219	<hr/> 100,00.		

Das Salz 2) war aus einer Mischung von 3 Aequivalenten Ammoniumoxydsalz auf 1 Aequivalent Natronsalz krystallisirt. Die Mutterlauge dieser Mischung setzte später Krystalle von reinem dimetaphosphorsaurem Ammoniumoxyd ab. Eine Probe desselben verlor beim Glühen mit pyrophosphorsaurem Natron 25,81 Proc. Ammoniumoxyd.

Dimetaphosphorsaures Ammoniumoxydkali.

Die Mischungen des Kali und Ammoniumoxydsalzes der Dimetaphosphorsäure zeigen beim Krystallisiren ein Verhalten, das, gegenüber den constanten Verhältnissen aller übrigen Doppelverbindungen, die ich untersucht habe, als ganz abweichend und vereinzelt dasteht.

Bringt man eine gemischte Lösung von gleichen Aequivalenten der beiden Salze zur Krystallisation, so scheiden sich nach einander zwei Doppelsalze von verschiedener Zusammensetzung aus.

Das zuerst krystallisirende, schwerlöslichere Salz enthält auf 3 Aequivalenten dimetaphosphorsaures Kali ungefähr 1 Aequivalent Ammoniumoxydsalz und entspricht ziemlich der Formel $3\text{KO} \cdot \text{AmO} \cdot 4\text{PO}_5 + 4\text{HO}$. Das zweite später krystallisirende Salz zeigt beinahe das umgekehrte Verhältniß der beiden Basen; es krystallisirt ohne Krystallwasser und wird entfernt durch die Formel $3\text{AmO} \cdot \text{KO} + 4\text{PO}_5$ wiedergegeben.

Man könnte geneigt seyn, diesen Verhältnissen eine gleiche Bedeutung zuzusprechen, als den analogen Gesetzen, die bei der Bildung der trimetaphosphorsauren Doppelsalze beobachtet werden und für die Dimetaphosphorsäure die rationelle Formel $4\text{PO}_5 \cdot 4\text{HO}$ geltend zu machen suchen. Indefs abgesehen davon, daß der Fall zu vereinzelt dasteht, um für eine solche Annahme entscheidend seyn zu können, findet man in anderen bekannten Verhältnissen die genügendste Erklärung dieses abweichenden Verhaltens. Kali und Ammoniumoxyd sind bekanntlich sehr isomorphe Basen. Sie besitzen ebenso große Neigung und Fähigkeit sich in ihren Verbindungen gegenseitig zu vertreten als die isomorphesten Glieder der Magnesiagruppe. In ihrer Verbindung mit Dimetaphosphorsäure zeigen die Basen ebenso wenig vollkommene Isomorphie wie Kupferoxyd und Zinkoxyd in ihren schwefelsauren Salzen. Ihre krystallisirten Salze unterscheiden sich ebenfalls durch verschiedenen Wassergehalt. Entsprechend diesen gleichen Verhältnissen zeigt eine gemischte Lösung von dimetaphosphorsaurem Ammonium-

oxyd und Kali ganz dieselben Erscheinungen, die man bei der Krystallisation von gemischten Lösungen von Zinkvitriol und Kupfervitriol beobachtet. — Es unterliegt keinem Zweifel, daß unter den mannigfachen Verbindungen, die von Säuren mit mehreren Basen bekannt sind, wesentliche Unterschiede in Beziehung auf Constitution zu machen sind. Die Verbindungsweise des Chlorplatins mit Chlorkalium ist vielleicht nicht zu verwechseln mit der Doppelsalzbildung von Chlormagnesium mit Chlorammonium. Als wesentlich verschieden aber von den gewöhnlichen Doppelsalzverbindungen müssen diejenigen Verbindungen mit mehreren Basen betrachtet werden, die durch eine Vertretung der letzteren nach den Regeln der Isomorphie entstehen. Solche Verbindungen haben natürlich die Bedeutung einer Doppelverbindung gänzlich verloren, besonders von Gesichtspunkten aus, von welchen ihre Verhältnisse im Vorhergehenden erwogen worden sind. Die beiden Verbindungen der Dimetaphosphorsäure mit Kali und Ammoniumoxyd sind aus vorhergehenden Gründen ebensowohl theoretisch als einfache Salze zu betrachten wie die Krystalle von gemischtem Kupfer- und Zinkvitriol.

Der Wassergehalt der beiden Salze bestätigt diese Annahme vollkommen. Das zuerst krystallisirende Salz mit überwiegendem Kaligehalt enthält zwei Aequivalente Wasser wie das reine Kalisalz; das zweite dagegen krystallisirt wasserfrei wie das Ammoniumoxydsalz. Leider war die Größe und Ausbildung der erhaltenen Krystalle nicht hinreichend, um durch Bestimmung und Vergleichung ihrer Form dieß Beispiel von isomorphischer Vertretung der Basen Kali und Ammoniumoxyd weiter zu constatiren.

Das Salz $2\left(\frac{2}{3} \text{KO} \cdot \frac{1}{3} \text{AmO}\right) + 2\text{PO}_5 + 2\text{HO}$ verliert sein Krystallwasser bei 150°C . vollständig und behält bei dieser Temperatur ein constantes Gewicht. Die Bestimmung des Ammoniumoxyds geschah durch Glühen mit pyrophosphorsaurem Natron, die des Kalis als Kaliumplatinchlorid.

1) 0,312 Grm. lufttrockenes Salz verloren bei 150°C . 0,023 Grm. Wasser, beim Glühen mit pyrophosphorsau-

rem Natron 0,0185 Grm. Ammoniumoxyd und gaben 0,446 Grm. Kaliumplatinchlorid.

2) 0,225 Grm. lufttrockenes Salz gaben 0,0285 Grm. Ammoniumoxyd und Wasser und 0,346 Grm. Kaliumplatinchlorid.

		Berechnet:		Gefunden:	
				I.	II.
4 PO ₅	288	58,65		—	—
3 KO	141	28,72		27,59	29,68
Am O	26	5,30		5,39	} 12,67
4 HO	36	7,33		7,37	
	<u>491</u>	<u>100,00.</u>			

Die Zusammensetzung des zweiten ammoniumoxydhaltigen Salzes entspricht am besten der empirischen Formel 5 Am O . 2 KO + 7 PO₅. Es verliert bei einer Temperatur von 200° C. nichts von seinem Gewicht.

0,364 Grm. lufttrockene Krystalle desselben verloren beim Glühen mit pyrophosphorsaurem Natron 0,068 Grm. Ammoniumoxyd und gaben 0,232 Grm. Kaliumplatinchlorid.

		Berechnet:		Gefunden:
5 Am O	130	17,86		18,68
2 KO	94	12,91		12,30
7 PO ₅	504	69,23		—
	<u>728</u>	<u>100,00.</u>		

Das letztere, zur Analyse verwendete Salz war aus einer Mischung von genau abgewogenen 3 Aequivalenten Ammoniaksalz und 1 Aequivalent Kalisalz krystallisirt. Das Verhältniß des Kalis zum Ammoniumoxyd wird sich unter veränderten Krystallisationsbedingungen wahrscheinlich ganz anders gestalten.

Dimetaphosphorsaures Bleioxydammoniumoxyd.

Behandelt man das in Vorhergehendem beschriebene unlösliche dimetaphosphorsaure Bleioxyd mit einem Ueberschuß von dimetaphosphorsaurem Ammoniumoxyd, so nimmt es ein gleiches Aequivalent des letzteren auf und verwandelt

delt sich in deutliche flimmernde Kryställchen des Doppelsalzes. Bei der Vermischung der Lösungen von salpetersaurem Bleioxyd und dimetaphosphorsaurem Ammoniumoxyd, bei hinreichendem Ueberschufs des letzteren, scheidet es sich augenblicklich in gleicher Form aus.

Das Salz ist in Wasser sehr schwer löslich. Säuren greifen es nur schwierig an. Es krystallisirt ohne Wassergehalt. Bei 150° C. verliert es nichts von seinem Gewichte; selbst beim Glühen wird das Ammoniumoxyd nur schwierig entlassen.

0,461 Grm. lufttrockenes Salz verloren beim Glühen mit pyrophosphorsaurem Natron 0,0445 Grm. Ammoniumoxyd und gaben 0,249 Grm. schwefelsaures Bleioxyd.

	Berechnet:		Gefunden:
Pb O	111,5	39,61	39,73
Am O	26	9,24	9,65
2 PO ₅	144	51,15	—
	281,5	100,00.	

Auf gleiche Weise wie dieses Ammoniumoxyd-Doppelsalz erhält man eine Doppelverbindung des Bleisalzes mit dem Natronsalz. Dieselbe ist indess von geringer Beständigkeit und zersetzt sich leicht wieder in die beiden componenten Salze. Die Analyse gab keine übereinstimmenden Resultate.

Dimetaphosphorsaurer Ammoniumoxydkalk.

Schlägt man dimetaphosphorsaures Ammoniumoxyd mit Chlorcalcium nieder, so erhält man stets, auch bei Ueberschufs des Chlorcalciums, ein ammoniumoxydhaltiges Kalksalz. Nimmt man einen Ueberschufs des Ammoniumoxydsalzes, so erhält man durch Krystallisation mittelst Weingeist das reine Doppelsalz in Form von spiefsigen Krystallblättchen. Das Salz ist in Wasser sehr schwerlöslich und verhält sich gegen Säure wie das reine Kalksalz. Es krystallisirt mit 2 Aequivalenten Wasser, die es bei 100° C. nicht fahren läfst.

1) 0,629 Grm. lufttrockenes Salz gaben 0,197 Grm. schwefelsauren Kalk.

2) 0,3295 Grm. verloren beim Glühen mit Bleioxyd 0,0715 Grm. Ammoniak und Wasser.

3) 0,3775 Grm. verloren beim Glühen mit Bleioxyd 0,0825 Grm. Ammoniak und Wasser.

	Berechnet:		Gefunden:		
			I.	II.	III.
2PO ₅	144	66,66	—	—	—
CaO	28	12,97	12,90	—	—
AmO	26	20,37	—	21,66	21,85
2HO	18				
	<hr/> 216	<hr/> 100,00.			

Dimetaphosphorsaures Kupferoxydammoniumoxyd.

Zur Darstellung desselben vermischt man die ziemlich concentrirten Lösungen von 2 Aequivalenten dimetaphosphorsaurem Ammoniumoxyd und 1 Aequivalent Kupferchlorid. Das Doppelsalz scheidet sich aus dieser Mischung auf Zusatz von Weingeist in verworrenen nadelförmigen Krystallen aus.

Das Salz besitzt eine lebhaft blaue Farbe und ist in Wasser sehr schwer löslich.

Es krystallisirt gewöhnlich mit 4 Aequivalenten Wasser; aber unter gewissen Umständen, die ich nicht mit Gewissheit habe ermitteln können, erhält man das Salz mit 2 Aequivalenten Krystallwasser. Es scheint, als wenn ein großer Ueberschuss von Ammoniumoxydsalz die Bildung des letzteren Salzes bewirke.

Das mit 4 Aequivalenten Wasser krystallisirte Salz verliert sein Wasser zum Theil bei gewöhnlicher Temperatur. Bei 100° C. entweichen 2 Aequivalent desselben.

1) 0,343 Grm. lufttrockenes Salz verloren bei 100° C. 0,0235 Grm. Wasser, beim Glühen mit pyrophosphorsaurem Natron 0,061 Grm. Ammoniumoxyd und Wasser und gaben 0,056 Grm. Kupferoxyd.

2) 0,333 Grm. lufttrockene Krystalle verloren beim

Glühen mit pyrophosphorsaurem Natron 0,082 Grm. Ammoniak und Wasser.

	Berechnet.		Gefunden.	
			I.	II.
2PO ₅	144	58,60	—	—
CuO	39,7	16,17	16,32	—
AmO	26	} 17,91	} 17,78	} 24,63
2HO	18			
2HO	18	7,32	6,85	
	<u>245,7</u>	<u>100,00.</u>		

Das Salz mit 2 Aequivalenten Krystallwasser ist luftbeständig und giebt im Wasserbade sein Krystallwasser nicht ab.

0,414 Grm. lufttrockene Krystalle desselben verloren beim Glühen mit pyrophosphorsaurem Natron 0,081 Grm. Wasser und gaben 0,0720 Grm. Kupferoxyd.

	Berechnet.		Gefunden.
2PO ₅	144	63,24	—
CuO	39,7	17,44	17,39
AmO	26	} 19,32	} 19,56
2HO	18		
	<u>227,7</u>	<u>100,00.</u>	

Die Reihe der Doppelsalze, die sich von der Dimetaphosphorsäure darstellen lassen, ist fast ebenso zahlreich, wie die Menge der möglichen Combinationen zwischen ihren einfachen Salzen. Ich habe sie unmöglich alle genauer untersuchen können. Der Analyse unterwarf ich noch die Ammoniumoxyd-Doppelsalze der Magnesiagruppe, die auf dieselbe Weise gewonnen werden, wie das Kupferoxyddoppelsalz und alle sehr hübsch krystallisiren. Es war mir indess unmöglich für den Wassergehalt der Salze hinlänglich übereinstimmende Resultate zu erhalten, um ihnen zuverlässige Formeln zuertheilen zu können. Die krystallisirten Salze verwittern meist alle an der Luft und erhalten weder über Schwefelsäure noch im Wasserbade constante Gewichte. Zu diesen Schwierigkeiten tritt noch der Um-

stand hinzu, daß die Salze, ähnlich wie das Kupferoxyddoppelsalz je nach den Umständen mit verschiedenem Wassergehalt krystallisiren. Den Salzen mit den größten Wassergehalt scheint für die Basen Manganoxydul, Zinkoxyd und Magnesia die gemeinschaftliche Formel $MO \cdot AmO + 2PO_5 + 6HO$ zuzukommen, während das sehr ähnliche Cadmiumoxyddoppelsalz mit 3 Aequivalenten Wasser krystallisirt.

Der dimetaphosphorsaure Baryt bildet weder mit Natron noch mit Ammoniumoxyd Doppelverbindungen. Bei den Versuchen, solche darzustellen, krystallisirt stets das sehr schwerlösliche reine Barytsalz heraus.

Ebenso wenig geht das dimetaphosphorsaure Silberoxyd Doppelverbindungen ein. Aus einer Mischung von salpetersaurem Silberoxyd mit überschüssigem Ammoniumoxydsalz krystallisirt stets reines Silberoxydsalz. Von dem Natronsalz vermag es dagegen, wegen der großen Neigung der Basen, Natron und Silberoxyd, zu isomorphischer Gestaltung, ziemlich bedeutende Quantitäten in seine Zusammensetzung aufzunehmen.

Schließlich gebe ich in folgendem eine übersichtliche Zusammenstellung sämtlicher Salze der Dimetaphosphorsäure, deren Formeln in Vorhergehendem durch die Analyse festgestellt worden sind.

a) Einfache Salze.

Wasserfr. dimetaphosphors.	Kupferoxyd	$2CuO \cdot 2PO_5$
Dimetaphosphors.	Natron	$2NaO \cdot 2PO_5 + 4HO$
„	Kali	$2KO \cdot 2PO_5 + 2HO$
„	Ammoniumoxyd	$2AmO \cdot 2PO_5$
„	Silberoxyd . . .	$2AgO \cdot 2PO_5$
„	Bleioxyd	$2PbO \cdot 2PO_5$
„	Bariumoxyd . .	$2BaO \cdot 2PO_5 + 4HO$
„	Calciumoxyd . .	$2CaO \cdot 2PO_5 + 4HO$
„	Kupferoxyd . . .	$2CuO \cdot 2PO_5 + 8HO$
„	Zinkoxyd	$2ZnO \cdot 2PO_5 + 8HO$
„	Manganoxydul	$2MnO \cdot 2PO_5 + 8HO$
„	Magniumoxyd	$2MgO \cdot 2PO_5 + 10HO$

b) Doppelsalze.

Natronkalisalz	$\text{NaO} \cdot \text{KO} \cdot 2\text{PO}_5 + 2\text{HO}$
Natronammoniumoxydsalz	$\text{NaO} \cdot \text{AmO} \cdot 2\text{PO}_5 + 2\text{HO}$
Bleioxydammoniumoxydsalz	$\text{PbO} \cdot \text{AmO} \cdot 2\text{PO}_5$
Kalkammoniumoxydsalz . .	$\text{CaO} \cdot \text{AmO} \cdot 2\text{PO}_5 + 2\text{HO}$
Kupferoxydammoniumoxydsalz	$\text{CuO} \cdot \text{AmO} \cdot 2\text{PO}_5$

Verhalten der übrigen Basen beim Zusammenschmelzen mit Phosphorsäure.

Die Entstehung der Dimetaphosphorsäure in ihrer Verbindung mit Phosphorsäure ist durchaus gebunden an das Vorhandenseyn dieser Basis. Kupferoxyd mit Phosphorsäure, zu gleichen Aequivalenten bis zur Vertreibung alles Wassers erhitzt, bewirkt unter allen Umständen die Ueberführung der Säure in Dimetaphosphorsäure; nie bildet sich eine andere Modification. Wird dagegen die Phosphorsäure mit Natron in gleichem Verhältniß zusammengeschmolzen, so entsteht, je nachdem die Einwirkung der Temperatur geleitet wird, eine der drei andern bekannten Modificationen der Metaphosphorsäure; aber es gelingt auf keine Weise eine dieser Modificationen in ihrer Verbindung mit Natron in Dimetaphosphorsäure überzuführen.

Dieser eigenthümliche Einfluß eines speciellen Körpers auf die Bildung eines anderen, ist gewiß eine Erscheinung von der größten Wichtigkeit. Das Interesse, welches dieselbe erweckt, stellt zunächst die Frage, welche Wirkung diesen verschiedenen Verhalten des Natrons und Kupferoxyds gegenüber, die übrigen Basen beim Zusammenschmelzen mit Phosphorsäure auf deren Gestaltung ausüben.

Ich habe diese Frage zum Gegenstand meiner weiteren Versuche gemacht. Ich schlug dabei dasselbe Verfahren ein, das ich zur Darstellung und Untersuchung des dimetaphosphorsauren Kupferoxyds befolgt habe. Von sämmtlichen stärkeren Metalloxydbasen erhielt ich dem Kupferoxydsalz ähnliche unlösliche krystallinische Verbindungen. Leider ist es mir bei vielen derselben nicht gelungen, die in ihnen enthaltene Säure auf andere Basen zu übertragen,

der einzige Weg, auf dem es bis jetzt möglich ist, die Natur derselben mit Bestimmtheit zu ermitteln.

Phosphorsäure und Manganoxydul.

Dampft man irgend eine Verbindung des Manganoxyduls mit überschüssiger Phosphorsäure ab und erhitzt, so ist der Vorgang ganz derselbe, wie bei der Darstellung des dimetaphosphorsauren Kupferoxyds. Der Proceß durchläuft dieselben Stadien, die ich dort ausführlicher beschrieben habe. Man erhält ein röthlichweißes Manganoxydsalz, das dieselbe charakteristische Unlöslichkeit in fast allen Agentien besitzt, wie das Kupferoxydsalz. In der überschüssigen Phosphorsäure löst es sich beim Glühen in viel geringerem Maasse wieder auf, als das dimetaphosphorsaure Kupferoxyd. Es krystallisirt aus der Lösung desselben unter denselben Bedingungen wie jenes.

Zum Studium der in dem Salze enthaltenen Säure versuchte ich eine Umsetzung desselben mit den löslichen Verbindungen der Alkalien. Dieselbe ist bedeutend schwieriger als die des dimetaphosphorsauren Kupferoxyds. Sie gelingt am besten durch Digeriren mit einer Lösung von kohlensaurem Natron. Von Schwefelnatrium wird das Salz selbst beim Erwärmen fast gar nicht angegriffen; Schwefelammonium wirkt nicht viel besser.

Das durch Umsetzung erhaltene Natronsalz war *dimetaphosphorsaures Natron*. Schon an seinen physikalischen Eigenschaften war es leicht als solches zu erkennen. Es stimmte in allen Reactionen mit demselben überein. Zur Bestätigung habe ich den Wassergehalt des krystallisirten Salzes bestimmt.

0,4645 Grm. lufttrockne Krystalle verloren beim Glühen 0,072 Grm. Wasser. Diese Zahlen ergeben 15,50 Proc. Wasser. Die Formel des dimetaphosphorsauren Natrons verlangt 14,88 Proc. Wasser.

Das geglühte und geschmolzene wasserfreie Salz reagirt vollkommen neutral und besitzt alle Eigenschaften des geschmolzenen metaphosphorsauren Natron Graham's, Re-

weis genug, dafs es eine der Formel $2\text{NaO} \cdot 2\text{PO}_5$, entsprechende Zusammensetzung besitzt.

Das Manganoxydul liefert demnach beim Zusammenschmelzen mit Phosphorsäure dieselbe Modification der Metaphosphorsäure als das Kupferoxyd. Das entstehende Salz ist *wasserfreies dimetaphosphorsaures Manganoxydul*.

Wie beim Kupferoxyd, so erhält man auch beim Manganoxydul stets dieselbe Verbindung, sobald man Phosphorsäure bis zur Vertreibung des basischen Wassers mit einem gleichen Aequivalent der Base zusammen erhitzt. Es ist mir nicht gelungen durch eine besondere Methode der Erhitzung eine andere Modification als die Dimetaphosphorsäure hervorzubringen. Das dimetaphosphorsaure Manganoxydul kann über einer Berzelius'schen Lampe für sich nicht zum Schmelzen gebracht werden.

Phosphorsäure und Zinkoxyd.

Die Darstellung des Zinkoxydsalzes ist ganz dieselbe, wie des Manganoxydsalzes. Das Salz scheidet sich, sobald die Phosphorsäure in die einbasische Modification überzugehen beginnt, als ein weisses undeutlich krystallisirtes Pulver aus. Es löst sich mit derselben Leichtigkeit wie das Kupferoxydsalz in der überschüssigen Phosphorsäure wieder auf, wenn die Temperatur bis zur Rothglühhitze gesteigert wird und kann durch allmälige Abkühlung unter fleifsigem Rühren aus dem klaren Fluß in hübschen deutlichen Kryställchen erhalten werden.

Das Salz widersteht mit der grössten Hartnäckigkeit allen sauren und alkalischen Lösungsmitteln mit Ausnahme von concentrirter Schwefelsäure, bei Anwendung von Siedhitze. Durch Schmelzen mit kohlen-saurem Natronkali wird es mit Leichtigkeit und vollkommen aufgeschlossen. Beim Behandeln der aufgeschlossenen Masse mit Wasser bleibt das Zinkoxyd ganz frei von Phosphorsäure, aber durch Natrongehalt verunreinigt zurück. Zur quantitativen Bestimmung wurde dasselbe in Salzsäure gelöst und durch kohlen-saures Natron gefällt.

0,3900 Grm. geglühtes Salz gaben 0,1425 Grm. Zinkoxyd.

	Berechnet.		Gefunden.
PO ₃	71	63,98	—
Zno	40,5	36,02	36,53
	<hr/> 112,5	<hr/> 100,00.	

Das Salz erleidet weder durch Kochen mit Schwefelnatriumlösung noch mit Schwefelammoniumlösung eine merkliche Zersetzung. Die Uebertragung der in demselben enthaltenen Säure auf andere Salzbasen gelingt am besten durch Digeriren mit den Lösungen der kohlen sauren Alkalien.

Ich habe das Natron- und Ammoniumoxydsalz in krystallisirter Form dargestellt. Die Untersuchung zeigte, daß es Verbindungen der *Dimetaphosphorsäure* waren. Das beim Glühen des Natronsalzes zurückbleibende gewöhnliche metaphosphorsaure Salz reagirte vollkommen neutral. 0,4645 Grm. krystallisirtes Natronsalz verloren beim Glühen 0,072 Grm. entsprechend 15,60 Proc. Wasser. Die Berechnung verlangt 14,88 Proc. Wasser.

Die durch Einwirkung des Zinkoxyds entstehende Metaphosphorsäure ist demnach ebenfalls *Dimetaphosphorsäure*. Das oben beschriebene Zinkoxydsalz ist wasserfreies dimetaphosphorsaures Zinkoxyd und erhält die Formel 2ZnO, 2PO₃. Auch das Zinkoxyd liefert beim Erhitzen mit einem gleichen Aequivalent von Phosphorsäure nie eine andere Modification als die Dimetaphosphorsäure.

**Phosphorsäure mit Kobaltoxydul, Nickelox ydul,
Eisenox ydul und Magnesia.**

Nach dem Vorhergehenden läßt sich vermuthen, daß die übrigen Glieder der Magnesiagruppe ein gleiches Verhalten gegen Phosphorsäure zeigen würden, wie das Zinkoxyd und Manganox ydul. Meine Versuche haben mir in d efs hierüber keinen Aufschluß gegeben.

Eine Verbindung des Eisenox yduls ist durch Zusammenschmelzen mit Phosphorsäure nicht darstellbar. Das Eisenox ydul oxydirt sich bei der zur Entwässerung der Phosphorsäure nöthigen Temperatur vollständig zu Eisenox yd.

Beim Glühen von schwefelsauren Eisenoxydul mit Phosphorsäure entweicht schweflige Säure.

Die Verbindungen des Kobaltoxyduls, Nickeloxyduls und der Magnesia sind von Maddrell dargestellt und analysirt worden. Er fand die Zusammensetzung entsprechend der empirischen Formel $MO + PO_5$.

Es ist mir trotz vieler Mühe nicht gelungen, eine Methode ausfindig zu machen, nach welcher sich die in diesen drei Salzen enthaltenen Säuren ohne Veränderung auf andere Basen übertragen ließen. Das Nickeloxydulsalz erleidet durch Kochen weder mit kohlen-sauren Alkalien noch mit Schwefelalkalien die geringste Zersetzung. — Das Kobaltoxydulsalz nimmt zwar nach langem Digeriren mit Schwefelnatrium eine schwarze Farbe an, die auf eine Zersetzung deutet; das Product derselben, das man erhält, ist indess zu unbedeutend, um eine genauere Untersuchung derselben zuzulassen. Das Magnesiasalz bietet noch viel weniger Aussicht auf die Möglichkeit einer Umsetzung. Tagelanges Digeriren mit kohlen-sauren oder gewöhnlich phosphorsauren Alkalien bewirkt nicht die geringste Zersetzung.

Phosphorsäure mit Baryt, Strontian und Kalk.

Die durch Glühen dieser drei Erden mit einem Ueberschuß von Phosphorsäure sich bildenden Verbindungen sind bereits von Maddrell dargestellt und analysirt worden. Ihre Zusammensetzung entspricht, wie die der vorhergehenden Salze der empirischen Formel $MO . PO_5$.

Ich habe diese Verbindungen auf die verschiedenste Weise dargestellt, aber vergebens mich bemüht, die in denselben enthaltene Säuremodification auf andere Basen zu übertragen. Ich versuchte zu diesem Ende vornehmlich die Digestion mit den Lösungen der kohlen-sauren Alkalien. Sie war vollkommen erfolglos.

Verspricht zwar nach diesen Versuchen die Befolgung der Methode der Umsetzung keinen Aufschluß über die Natur der durch die Einwirkung der alkalischen Erden entstehenden Metaphosphorsäuren, so bleibt doch zu hoffen, daß

dafs es später auf irgend einem andern Wege gelingen werde, zur Kenntnifs derselben zu gelangen. Vielleicht wird es möglich seyn, nach dem Studium der Doppelverbindungen, die sich auf feurigem Wege von den drei Verbindungen untereinander in constanten Verhältnissen erzeugen lassen, einen Schlufs auf die Constitution der in ihnen enthaltenen Säuren zu thun.

Phosphorsäure und Bleioxyd. Tetrametaphosphorsäure.

Das Verhalten des Bleioxyds beim Abdampfen und Erhitzen mit einem Ueberschufs von Phosphorsäure ist sehr verschieden von dem der vorhergehenden Basen. Ehe man sicher seyn kann, dafs das sich ausscheidende Salz wirklich die Verbindung einer Metaphosphorsäuremodification ist, löst sich dasselbe in der überschüssigen Phosphorsäure bereits vollkommen wieder auf. Dagegen gelingt es leicht durch allmäliges Abkühlen der klar geschmolzenen Mischung ein Bleioxydsalz in grossen durchsichtigen prismatischen Säulen krystallisirt zu erhalten. Die ganze Masse bildet gewöhnlich ein verworrenes Krystallgefüge, zusammengekittet durch die amorphe glasige Masse der überschüssigen Phosphorsäure und einer gelöst gebliebenen Quantität von Bleioxyd.

Die überschüssige Bleioxydhaltige Phosphorsäure löst sich sehr schwierig beim Behandeln mit Wasser auf; um so schwieriger, je mehr Bleioxyd sie zurückbehalten hat.

Das Salz ist in Wasser vollkommen unlöslich. Durch Kochen mit Säuren wird es viel leichter zersetzt und aufgelöst als alle vorhergehenden unlöslichen metaphosphorsäuren Verbindungen. Starke Glühhitze bringt das Salz zum Schmelzen. Beim raschen Erkalten gesteht es zu einer amorphen Masse. 0,484 Grm. geglühtes Salz gaben 0,303 Grm. phosphorsaure Magnesia.

	Berechnet:		Gefunden:
PO ₅	72	39,24	40,19
PbO	111,5	60,76	
	183,5	100,00.	

Der Ueberschufs von Phosphorsäure erklärt sich aus der Bereitungsweise des Salzes.

Das Salz wird durch Behandlung mit den Lösungen der Schwefelalkalien schon in der Kälte mit der größten Leichtigkeit zersetzt. Die bei der Umsetzung resultirenden Salze sind Verbindungen einer *neuen Säure*. Diese Säure ist die fünfte Modification der Metaphosphorsäure.

Während das wasserfreie Bleisalz, in welchem sich die Säure bildet, außerordentlich leicht und schön krystallisirt, sind die löslichen Verbindungen, die man aus demselben durch Umsetzung mit den Schwefelalkalien erhält, durchaus unkrystallisirbar. Sie besitzen dieselbe Gestaltlosigkeit wie die Salze der gewöhnlichen Metaphosphorsäure, mit denen sie auch im Uebrigen die meiste Aehnlichkeit haben.

Am charakteristischsten von den sonst wenig ausgezeichneten Salzen der Säure ist ihre Verbindung mit Natron. Zersetzt man das wasserfreie, feingepulverte Bleisalz der Säure mit einer Lösung von Schwefelnatrium, so findet unter Wärmeentwicklung eine rasche Umsetzung der beiden Salze statt. Die Mischung quillt bedeutend auf und bildet einen fest zusammenhängenden, elastischen Kuchen, bestehend aus dem Natronsalz der Säure und dem gebildeten feinzerteilten Schwefelblei. Der schwarze Kuchen verschluckt auf Zusatz von Wasser bedeutende Quantitäten desselben, ohne seine zähe elastische Beschaffenheit zu verlieren und eine Trennung des eingemengten Schwefelbleis möglich zu machen. Selbst auf Zusatz von 100 und mehreren Theilen Wasser behält die Lösung des Salzes eine schleimige Consistenz und läßt sich durchaus nicht filtriren.

Ich habe die verschiedensten Mittel, Zusatz von Säuren und Alkalien u. s. w. vergebens versucht, um die Lösung des Natronsalzes filtrirbar zu machen. War das angewandte Bleioxydsalz nicht ganz rein, enthielt dasselbe noch Beimischungen von amorphem Salz, so gelingt es wohl eine sehr verdünnte Lösung des Natronsalzes durch Absetzenlassen ziemlich vom suspendirten Schwefelblei zu trennen. Das Salz wird aus dieser Lösung auf Zusatz von Weingeist mit seinen früheren Eigenschaften wieder ausgeschieden. Es besitzt, auf diese Weise gereinigt, kautschuk-

ähnliche Consistenz, läßt sich zu langen Fäden ausziehen, die beim Loslassen mit großer Elasticität wieder zusammenschnellen. Die Lösung reagirt vollkommen neutral und trocknet beim Verdunsten zu einer durchsichtigen, risigen Masse ein, die nicht, wie das gewöhnliche metaphosphorsaure Natron, hygroskopisch ist. Es enthält im lufttrocknen Zustand auf die empirische Formel $MO \cdot PO_3$ ungefähr 2 Aequivalente Wasser. Die Bestimmungen des Wassergehalts zeigten wenig Uebereinstimmung. Beim Glühen schmilzt das Salz, unter Verlust seines Wassers, zu gewöhnlich metaphosphorsaurem Natron von vollkommen neutraler Reaction.

Mit den Lösungen der alkalischen Erden geben die löslichen Salze der Säure Niederschläge, die dem durch Weingeist präcipitirten Natronsalze sehr ähnlich sehn. Es sind in Wasser unlösliche, elastische Massen, die bei längerem Stehen saure Reaction annehmen und sich in gewöhnlich phosphorsaure Salze zersetzen.

Die völlige Gestaltlosigkeit der löslichen Verbindungen der Säure giebt keine Hoffnung, daß es gelingen werde, durch die Untersuchung ihrer Doppelsalze zu Aufschlüssen über ihre innere Constitution zu gelangen. Wenngleich von dieser Seite rathlos darüber, welche Stelle diese neue Säure in der polymerischen Formelreihe der Metaphosphorsäuren einzunehmen habe, so glaube ich doch eine Thatsache von gleichem Werthe, wie jene bei der Di- und Trimetaphosphorsäure beobachteten Doppelverbindungsverhältnisse gefunden zu haben, die wenigstens mit großer Wahrscheinlichkeit auf die ihr zukommende rationale Formel hinweist.

Schmilzt man dimetaphosphorsaures Kupferoxyd mit mehr als seinem gleichen Aequivalent dinetaphosphorsaurem Natron zusammen und sucht durch allmälige Abkühlung zu krystallisiren, so erhält man, je nachdem die letztere geleitet wurde, in sehr verschiedenem Verhältniß, drei verschiedene Producte. Die klar geschmolzene homogene Mischung der beiden Salze sondert sich bei der Krystallisa-

tion zum Theil in reines Natronsalz und Kupferoxydsalz, zum Theil bildet sich aus derselben eine Doppelverbindung zu gleichen Aequivalenten der beiden Basen. Diese drei Salze sind Verbindungen ebenso viel verschiedener Säuren. Das Natronsalz, das sich durch Behandlung mit Wasser leicht ausziehen läßt, ist *trimetaphosphorsaures* Natron. Die reine Kupferoxydverbindung ist *dimetaphosphorsaures* Kupferoxyd, und das Doppelsalz der beiden Basen enthält die Phosphorsäure in derselben Modification, die durch die Einwirkung des Bleioxyds beim Zusammenschmelzen mit derselben hervorgebracht wird.

Dieses Doppelsalz ist ebenso vollkommen unlöslich in Wasser, wie das dimetaphosphorsaure Kupferoxyd und ist von letzterem auf keine Weise zu trennen. Will man daher das Salz rein erhalten, so muß bei der Darstellung desselben die Sonderung des Natron- und Kupferoxydsalzes verhindert werden. Man erreicht diesen Zweck am vollkommensten, indem man zu der Mischung der beiden neutralen Salze ungefähr ein Viertel der in ihr enthaltenen Menge von freier Phosphorsäure fügt. Die freie Phosphorsäure verhindert die Bildung oder Krystallisation des trimetaphosphorsauren Natrons vollständig. Diefs erklärt die Wirkung derselben bei dem Proceß. Man erhitzt die vorher zur klaren wässrigen Lösung gebrachte Mischung der beiden Salze bis zu einer Temperatur von etwa 300° C. Das Doppelsalz scheidet sich bei dieser Temperatur in derselben Weise, wie das dimetaphosphorsaure Kupferoxyd aus. Es bildet ein bläulich weißes, undeutlich krystallinisches Pulver. War das Verhältniß von Natron zu Kupferoxyd nicht zu sehr von dem von der Berechnung verlangten abweichend, so ist dasselbe vollkommen rein, sowohl von dimetaphosphorsaurem Kupferoxyd, als auch von unlöslichem metaphosphorsauren Natron, durch welches letztere es bei sehr großem Ueberschuß des Natronsalzes unreinigt werden kann.

Die Verwandlung des Doppelsalzes in das entsprechende Natronsalz durch Digestion mit Schwefelnatriumlösung ge-

schieht vollständig, aber mit derselben Schwierigkeit wie die Umsetzung des dimetaphosphorsäuren Kupferoxyds. Der hierbei resultirende kautschukähnliche Salzkuchen besitzt ganz dieselben Eigenschaften wie das aus dem Bleioxydsalz erhaltene Natronsalz. Gelingt es, die schleimige Lösung desselben vom suspendirten Schwefelkupfer zu trennen, so erhält man auf Zusatz von Weingeist das Salz als dieselbe kautschukähnliche neutral reagirende Masse, die ich oben beschrieben habe. Obgleich es mir bis jetzt nicht möglich ist, die Identität dieses Salzes mit dem aus dem Bleisalz gewonnenen durch entscheidendere Merkmale, als die übereinstimmenden physikalischen Eigenschaften der beiden Salze darzuthun, so ist doch, da keine Verwechslung mit den Salzen der übrigen Modificationen der Metaphosphorsäure möglich ist, nicht daran zu zweifeln, daß das Kupferoxydnatrondoppelsalz und das oben beschriebene Bleioxydsalz Verbindungen derselben Säure sind.

Das Kupferoxydnatronsalz bekommt nach den übereinstimmenden Resultaten der Analyse die empirische Formel $\text{CuO} \cdot \text{NaO} + 2\text{PO}_5$.

Das zur Analyse verwendete Salz war aus einer Mischung von etwa 3 Aequivalenten Kupferoxyd mit einem Ueberschuß von Phosphorsäure gewonnen.

1) 0,781 Grm. geglühtes Salz gaben 0,3485 Grm. Kupferoxyd.

2) 0,798 Grm. von einer andern Darstellung gaben 0,147 Grm. Kupferoxyd.

	Berechnet.		Gefunden.	
			I.	II.
CuO	39,7	18,49	18,96	18,42
NaO	31	14,44	—	—
2PO ₅	144	67,07	—	—
	<u>214,7</u>	<u>100,00.</u>		

Das vorliegende Verbindungsverhältniß ist dasselbe wie das der dimetaphosphorsäuren Doppelsalze. Die Bleioxydmodification des elastischen Natronsalzes und die Dimeta-

phosphorsäure scheinen sich hiernach um dieselbe rationelle Formel zu streiten.

Sofern nicht daran zu zweifeln ist, dafs für die verschiedenen Modificationen der Metaphosphorsäure die im Eingange aufgestellte polymere Formelreihe als rationeller Ausdruck ihrer verschiedenen Constitution existirt, ist es selbstredend, dafs nur *eine* der beiden verschiedenen Säuren die Formel $2\text{PO}_5 \cdot 2\text{HO}$ erhalten kann, und die Formel der andern, im Einverständnifs mit den erhaltenen Resultaten sich als ein Multiplum derselben herausstellen mufs.

Das Recht der Dimetaphosphorsäure auf die Formel $2\text{PO}_5 \cdot 2\text{HO}$ ist bei der Menge von Doppelverbindungen, deren Verhältnisse ihr dasselbe ohne Annahme vindiciren, nicht zu bezweifeln. Die Formel der Bleioxydmodification wird daher die Vervielfältigung zu erleiden haben. Dieselbe ist hiernach mit grösster Wahrscheinlichkeit das vierte Glied der polymerischen Reihe der Metaphosphorsäuren. Die Säure würde demgemäfs den Namen Tetrametaphosphorsäure erhalten. Ich werde weiter unten zeigen, wie andere gewichtige Gründe diese Annahme entschieden unterstützen, gestehe aber zugleich gern, dafs es zur vollkommenen Begründung derselben noch entscheidendere Resultate bedarf.

Phosphorsäure mit Wismuthoxyd und Kadmiumoxyd.

Das Wismuthoxyd schmilzt wie das Bleioxyd mit über-schüssiger Phosphorsäure sehr leicht zu einem klaren Glase zusammen. Die krystallinische Ausscheidung erfolgt beim langsamen Abkühlen bedeutend schwieriger als die des Bleisalzes. Es bedarf eines fortwährenden fleissigen Rührens der Mischung mit einem Platinspatel, um sie dazu zu bringen.

Die Darstellung des Kadmiumsalzes ist ganz dieselbe wie die des dimetaphosphorsauren Zinkoxyds.

Die Zersetzung der beiden Salze mit Schwefelnatrium lösung geschieht mit grosser Leichtigkeit. Dieselbe zeigte, dafs die in denselben enthaltene Säure dieselbe Modifica-

tion ist, die durch Einwirkung des Bleioxyds auf Phosphorsäure hervorgebracht wird. Es resultirten dieselben elastischen Salzmassen, wie bei der Zersetzung des Bleioxydsalzes oder des Kupferoxydnatrondoppelsalzes mittelst Schwefelnatrium.

Phosphorsäure mit Silberoxyd.

Das Silberoxyd schmilzt mit derselben Leichtigkeit wie das Bleioxyd mit überschüssiger Phosphorsäure zu einem klaren Glase zusammen. Die krystallinische Ausscheidung des Silberoxydsalzes aus der allmähig erkaltenden Mischung erfolgt sehr schwierig.

Das Salz bildet kleine glänzende Krystallschüppchen. Es ist in Wasser vollkommen unlöslich. Die Umsetzung mit Schwefelnatriumlösung geht außerordentlich leicht unter Wärmeentwicklung von statten. Das resultirende Natronsalz ist gewöhnlich metaphosphorsaures Natron. Die Lösung des Salzes läßt sich mit Leichtigkeit von dem gebildeten Schwefelsilber durch Filtration trennen und wird durch Zusatz von Weingeist in Form einer concentrirten Salzlösung gefällt. Dieselbe hat alle Eigenschaften des durch rasches Abkühlen von geschmolzenen metaphosphorsäuren Natrons entstehenden zerfließlichen metaphosphorsäuren Salzes von Graham.

Die Wirkung des Silberoxyds auf die Metaphosphorsäure, indem es damit ein krystallisirtes Salz liefert, ist also dieselbe, wie die des Natrons bei rascher Abkühlung und Vermeidung der Krystallisation.

Auf gleiche Weise wie das Silbersalz läßt sich eine krystallisirte Verbindung des Quecksilberoxyds mit Metaphosphorsäure erhalten. Dieselbe krystallisirt noch weit schwieriger als die Silberoxydverbindung und scheint die Metaphosphorsäure ebenfalls in der gewöhnlichen Modification zu enthalten. Das Quecksilberoxydul geht beim Zusammenschmelzen mit Phosphorsäure unter Verflüchtigung von Quecksilber in Quecksilberoxyd über.

Es bleibt nach Vorhergehendem noch zu erörtern, welche Stellen in der oft angezogenen polymeren Reihe für die Metaphosphorsäuren die beiden noch übrigen Modificationen derselben einnehmen werden. Diese beiden Modificationen sind die Säure der unlöslichen metaphosphorsäuren Alkalisalze und die gewöhnliche Metaphosphorsäure Graham's.

Leider macht es die Natur der Verbindungen dieser Säuren nicht möglich, auf den bisher befolgten Wegen zu einem bestimmten Aufschluß über ihre Constitution zu gelangen. Die Versuche, die ich zur Ermittlung desselben angestellt habe, haben wenig entscheidende Resultate gegeben und bedürfen sehr der Bestätigung.

Nach der Bestimmung der Formeln der Di-, Tri- und Tetrametaphosphorsäure bleiben für die beiden Säuren von den Formeln der polymerischen Reihe vornehmlich die Glieder $PO_5 \cdot HO$, $5PO \cdot 5HO$ und $6PO_5 \cdot 6HO$ zu berücksichtigen. Die hierüber hinausgehenden polymeren Ausdrücke $7PO_5 \cdot 7HO$ u. s. w. haben wenig Wahrscheinlichkeit für ihre Existenz.

Von der Modification des unlöslichen metaphosphorsäuren Natrons sind, wenigstens mit ziemlicher Gewißheit, im ganzen drei Verbindungen als bekannt anzunehmen. Diese sind die drei unlöslichen metaphosphorsäuren Salze der Alkalien. Die vollkommenste Gleichheit ihrer physikalischen Eigenschaften läßt nicht daran zweifeln, daß es Verbindungen derselben Modificationen sind, obschon der allein endgültige Beleg auf dem Wege der Uebertragung der Säure auf andere Basen noch fehlt und auch wohl schwerlich wird gewonnen werden können.

Ich habe vergeblich versucht von den genannten drei Salzen Doppelverbindungen zu erzielen. Der einzig mögliche Weg schien mir die Erzeugung der Modification durch Zusammenschmelzen der Phosphorsäure mit einer Mischung der beiden fixen Alkalien. Wird das Kalisalz für sich geschmolzen, so erstarrt dasselbe, wie früher erwähnt wurde, stets als unlösliche, dem unlöslichen metaphosphorsäuren

Natron entsprechende Verbindung. Wird dagegen dem Kalisalz nur der sechste Theil seines Gewichts von metaphosphorsauren Natron zugesetzt, so bildet sich beim Erkalten der geschmolzenen Mischung keine Spur eines unlöslichen Salzes. Das unlösliche metaphosphorsaure Natron bildet sich mit großer Leichtigkeit, wenn Natron mit einem geringen Ueberschuss von Phosphorsäure einer allmählig gesteigerten Erhitzung unterworfen wird. Auf dieselbe Weise lässt sich mit derselben Leichtigkeit das unlösliche Kalisalz erzeugen. Nimmt man dagegen eine Mischung der beiden Basen, so erhält man nie oder nur in höchst geringen Quantitäten ein unlösliches Product, das wahrscheinlich eine bloße Mischung von Kali und Natronsalz ist.

Dieses Verhalten scheint anzuzeigen, dass die Modification der unlöslichen metaphosphorsauren Alkalisalze nicht die Fähigkeit besitzt, Doppelsalzverbindungen einzugehen. Ist dies aber der Fall, so erhält die Säure nach den als leitend angenommenen Grundsätzen die rationelle Bezeichnung $\text{IPO}_5 \cdot \text{IHO}$ und den Namen Monometaphosphorsäure.

Gleich unbefriedigende Resultate ergaben die Versuche, die ich zur Ermittlung der Constitution der gewöhnlich metaphosphorsauren Salze angestellt habe.

Fügt man zu einer wässrigen Lösung von gewöhnlich metaphosphorsaurem Natron Salmiak in großem Ueberschuss, so erfolgt eine theilweise Umsetzung der beiden Salze und man erhält auf Zusatz von Weingeist einen syrupartigen Niederschlag einer Doppelverbindung der Metaphosphorsäure mit Natron und Ammoniumoxyd, die sich durch wiederholtes Auflösen in Wasser und Fällen mittelst Weingeist leicht und vollkommen vom beigemischtem Chloratrium und Salmiak reinigen lässt.

Ich habe eine große Menge der auf diese Weise erhaltenen zerfließlichen Doppelverbindungen der Analyse unterworfen. Indess jede neue Darstellung gab ein anderes Resultat. Das Verhältniss des Natrons zum Ammoniumoxyd schwankte von 1:1 bis zu 1:5 und scheint abhän-

gig sowohl von der Menge des angewandten Salmiaks als von der Concentration der Flüssigkeit, aus welcher das Salz durch Weingeist präcipitirt werde. Beachtenswerth ist, dafs die Umsetzung mit Salmiak nie eine vollständige wird. Man mag das erhaltene Doppelsalz noch so oft von neuem mit Salmiak versetzen und präcipitiren, nie geht der Grad der Umsetzung über das Verhältnifs von 1:5 der beiden Basen hinaus.

Ich versuchte ferner eine Doppelsalzbildung mit den alkalischen Erden. Versetzt man ein durch Umsetzung mit Salmiak erzeugtes Natronammoniumoxydsalz mit einer zur vollständigen Fällung unzureichenden Menge Chlorcalcium, so erhält man ein Kalkammoniumoxyddoppelsalz in Form eines unlöslichen, käsigen Niederschlags. Auch dieses Salz zeigte keine constante Zusammensetzung. Bei mehreren Darstellungen entsprach der Ammoniumoxydgehalt ziemlich der Formel $5\text{CaO} \cdot \text{AmO} \cdot 6\text{PO}_5$; bei anderen fiel er für dieselbe zu hoch aus.

Diese Resultate sind wenig geeignet eine feste Entscheidung darüber abzugeben, welche Formel den Salzen der gewöhnlichen Metaphosphorsäure beizulegen sey. Die grösste Wahrscheinlichkeit erhält die Formel $6\text{MO} \cdot 6\text{PO}_5$. Es bleibt späteren Versuchen überlassen, dieselbe definitiv festzustellen.

Die eigenthümliche Entstehungsweise der verschiedenen Metaphosphorsäuren bietet Stoff zu interessanten Betrachtungen.

Man erlaube mir zur Erleichterung einer übersichtlichen Zusammenstellung der wichtigsten Thatsachen, die sich im Laufe meiner Untersuchung ergeben haben, für die beiden Säuren der gewöhnlichen metaphosphorsäuren Salze und der unlöslichen Alkaliverbindungen einstweilen diejenigen Namen gebrauchen zu dürfen, die ich in Vorhergehendem als die ihnen mit grofser Wahrscheinlichkeit zukommenden bezeichnet habe.

Die *Monometaphosphorsäure* entsteht durch die Einwir-

kung der drei Alkalien. Ihre Bildung findet *immer* statt, sobald Kali und Phosphorsäure zu gleichen Aequivalenten zusammengeglüht werden. Sie entsteht in Verbindung mit Ammoniumoxyd durch Erhitzen des dimetaphosphorsäuren Salzes dieser Base bis zu 250° C. In ihrer Verbindung mit Natron entsteht sie neben der Tri- und Hexametaphosphorsäure unter gewissen Umständen.

Die *Dimetaphosphorsäure* wird unter allen Umständen erzeugt, sobald die Phosphorsäure mit einem gleichen Aequivalent der isomorphen Basen Kupferoxyd, Zinkoxyd und Manganoxydul zusammen erhitzt wird. Nie habe ich ihre Entstehung in Verbindung mit einer anderen Basis, als den drei genannten wahrgenommen.

Die *Trimetaphosphorsäure* bildet sich durch Krystallisation einer geschmolzenen Mischung von gleichen Aequivalenten Phosphorsäure und Natron bei allmäliger Erkalting. Es giebt keine andere Entstehungsweise dieser Säure.

Die *Tetrametaphosphorsäure* entsteht durch die Einwirkung der Basen Bleioxyd, Wismuthoxyd und Cadmiumoxyd, sowie einer Mischung von gleichen Aequivalenten Kupferoxyd und Natron.

Die *Hexametaphosphorsäure* endlich bildet sich beim Glühen von Phosphorsäurehydrat, beim raschen Abkühlen des geschmolzenen Natronsalzes und durch Einwirkung des mit dem Natron isomorphen Silberoxyds.

Die Entstehung irgend einer der fünf Modificationen ist durchaus gebunden an das Vorhandensein derjenigen Basen, in Verbindung mit welchen sie nach vorübergehender Zusammenstellung erhalten werden.

Dies ist offenbar eine Thatsache von der größten Bedeutung. Sie bereichert den Kreis unserer Erfahrungen um eine ganz neue Erscheinung für die mir bis jetzt kein Analogon auffindbar zu seyn scheint. Ich hebe sie als das wichtigste Resultat meiner Untersuchung hervor.

Welcher ist der Grund dieser specifischen Wirkung der verschiedenen Basen? —

Für die Beantwortung dieser Frage scheint mir in dem

Wesen der Modificirung, wie wir es nach Vorhergehendem kennen gelernt haben, ein leicht verständlicher Fingerzeig zu liegen.

Die verschiedenen Modificationen der Metaphosphorsäure werden, ganz allgemein, hervorgebracht, indem der Körper PO_5 in seiner wasserfreien Verbindung mit den betreffenden Basen durch die Einwirkung der Hitze eine bestimmte polymerische Gestaltung annimmt. Es ist keine Frage, daß in der entstehenden Verbindung, die je nach der Betrachtungsweise durch die allgemeinen Formelausdrücke $nMO \cdot nPO_5$ oder $nMPO_6$ wiedergegeben wird, das Atom des Metalloxyds in gleicher Complexion enthalten ist, als das Phosphorsäureatom. Wenn wir nun sehen, daß die Phosphorsäure in Verbindung mit Kupferoxyd sich stets zu der Gruppe $2CuO \cdot 2PO_5$ gestaltet, während andere Basen unter denselben Bedingungen mit ihr Verbindungen von einem anderen Polymerieverhältniß eingehen, so liegt nichts näher, als zu vermuthen, daß diese besondere Wirkung des Kupferoxyds darin seinen Grund habe, daß die Atome des *Kupferoxyds selbst* vorzugsweise die Fähigkeit und Neigung besitzen, sich zu Doppelatomen zu gestalten. In gleicher Weise erklärt sich dann die spezifische Wirkung aller übrigen Basen. Das Natron erhält je nach den Verhältnissen die Neigung, sich zu einfachen, dreifachen und sechsfachen Atomen zu gruppieren, während das Kali vorzugsweise in seiner einfachen Atomgestalt beharrt.
u. s. w.

Eine solche Annahme, die weiter ausgedehnt allen Körpern die Fähigkeit zuspricht, verschiedene polymere Atomgestaltungen anzunehmen, wird sowohl durch Vernunftgründe, als durch manche Erfahrung unterstützt. Es läßt sich nicht gut annehmen, daß die Natur nur *einzelne Körper* mit einer Eigenschaft versehen habe, die so sehr den Charakter einer allgemeinen an sich trägt, wie die Modificirungsfähigkeit der Metaphosphorsäure. Es scheint vielmehr von vorneherein wahrscheinlich, daß die Natur das Grundwesen einer solchen Erscheinung als ein ganz gewöhnliches Mittel zur

Entfaltung ihrer unendlichen Mannigfaltigkeit benutze. In der That: welchen principiellen Unterschied sind wir zu machen berechtigt zwischen den zahlreichen Beispielen von Dimorphie und dem Modificationswesen der Phosphorsäure. Wäre die Beständigkeit der verschiedenen Metaphosphorsäuren nicht so groß, als sie ist, und erlaubte es dieselbe nicht die Säuren aus ihren verschiedenen Verbindungen auf andere Basen zu übertragen, würden wir wohl Veranlassung gefunden haben, die Existenz der verschiedenartigen metaphosphorsauren Salze von den gewöhnlichen Fällen der Dimorphie zu unterscheiden?

Frankenheim hat gezeigt, daß die beiden dimorphen Arten des Quecksilberjodids selbst in Dampfform ihre Verschiedenheit beibehalten. Er fand, daß, bei vorsichtiger Erhitzung, das rothe Jodid sich als rothes, das gelbe als gelbes Jodid verflüchtigt und condensirt. Die Beobachtung von H. Rose läßt nicht daran zweifeln, daß die glasige arsenige Säure sich bei ihrer Auflösung in Salzsäure mit Beibehaltung ihrer Eigenthümlichkeit löse und erst durch die Krystallisation in die andere dimorphe Form übergehe. Diese Beobachtungen zeigen aber aufs deutlichste, daß die Dimorphie mehr als eine äußere Formverschiedenheit ist; sie machen es höchst wahrscheinlich, daß die Verschiedenheit der dimorphen Körper eine gleichbegründete und theoretisch gleichwerthige wie die der Metaphosphorsäuremodification sey. Es steht zu hoffen, daß wir mit der Zeit ebenso wie bei den Metaphosphorsäure-Modificationen dahin gelangen werden, diese Verschiedenheit durch rationelle Formelausdrücke wiederzugeben. Vielleicht liegt in einem genauen Studium der Atomvolunverhältnisse dimorpher und polymerer Körper ein Weg, um zum Aufschluß über die Constitution derselben zu gelangen.

Das Verhalten des Kupferoxyds zur Phosphorsäure macht es sehr wahrscheinlich, daß diese Base in ihren wasserfreien Verbindungen die Neigung besitze, sich stets zu Doppelatomen zu gruppiren. Ist dieß der Fall, so erhält die früher beschriebene Verbindung der Tetrametaphosphorsäure

unbedingt die rationelle Formel $2\overset{u}{\text{C}}\text{H}\text{O} \cdot 2\text{NaO} \cdot 4\text{PO}_3$ und die Zulässigkeit des ihr auf Grund dieser Verbindung einstweilen gegebenen Namens vollkommene Bestätigung.

Die vorliegende Untersuchung wurde in dem Laboratorium des Herrn Prof. H. Rose ausgeführt, dessen gütige Unterstützung mich zum wärmsten Dank verbindet.

V. *Ueber den Einfluss der umgebenden Mittel auf das Glühen durch Voltaismus;*
von Hrn. W. R. Groce.

(*Philosoph. Magazine Vol. XXXV p. 114.*)

Im *Philosophical Magazine*, Decemberheft 1845¹⁾, wies ich auf einen auffallenden Unterschied hin, der bei der in einem Draht durch einen Volta'schen Strom erzeugten Wärme auftritt, je nachdem dieser Draht von atmosphärischer Luft oder Wasserstoffgas umgeben ist; und in der Baker'schen Vorlesung für 1847 gab ich einige fernere Versuche über diesen Gegenstand, wobei der Draht in Atmosphären von verschiedenen Gasen zum Glühen gebracht ward, während ein in die Kette eingeschaltetes Voltameter eine Gasmenge lieferte, die zu der im Draht entwickelten Wärme in einem umgekehrten Verhältniss stand. Durch ein in gegebenem Abstand aufgestelltes Thermometer wurde gezeigt, dass die strahlende Wärme in einem directen Verhältniss zur sichtbaren Wärme stand.

Obschon das Phänomen scheinbar abnorm war, so liefs es sich doch möglicherweise durch bekannte physische Agentien erklären, z. B. durch Verschiedenheit in der specifischen Wärme der umgebenden Media, in dem elektrischen Lei-

1) In einer Notiz über die Anwendung des Volta'schen Glühens zur Grubenbeleuchtung. Siehe auch den spätern Aufsatz in dies. Ann. Bd. 71 S. 196. P.

tungsvermögen derselben oder in der Beweglichkeit ihrer Theilchen, vermöge welcher die Wärme durch Molecularströme mit verschiedenen Graden von Schnelligkeit fortgeführt worden wäre. Die Untersuchung dieser Fragen bildet den Gegenstand des vorliegenden Aufsatzes.

Der Apparat war wie in Fig. 11. Taf. 1. eingerichtet. Zwei Glasröhren, *A* und *B*, von 1,5 Zoll Länge und 0,3 Zoll innerem Durchmesser, waren an beiden Enden durch Korke verschlossen, in welche Kupferdrähte hineinreichten, deren Enden durch einen schraubenförmigen Platindraht von $\frac{1}{80}$ Zoll Durchmesser und 3,7 Zoll Länge, im ausgestreckten Zustande, verbunden waren. Die Röhre *A* war mit Sauerstoff gefüllt, die Röhre *B* mit Wasserstoff, und beide so zubereitete Röhren waren in zwei getrennte, einander in jeder Beziehung ähnliche Gefäße getaucht, die 3 Unzen Wasser enthielten. In das Wasser eines jeden Gefäßes brachte man ein Thermometer, und die Kupferdrähte verband man so, daß sie hintereinander den Schließungsbogen einer Salpetersäure-Batterie von acht Zellen, jede von acht Quadratzoll wirkender Fläche, bildeten. Als geschlossen ward, gerieth der Draht in der Sauerstoff haltenden Röhre in Weißgluth, während der im Wasserstoffgas nicht sichtbar glühte. Die Temperatur des Wassers, die zu Anfange des Versuchs in jedem Gefäße 60° F. betrug, stieg innerhalb fünf Minuten in dem die Wasserstoff-Röhre umgebenden Wasser auf 70° F. und in dem die Sauerstoff-Röhre einschließenden auf 81° F. 1).

1) Nach der Veröffentlichung der Baker'schen Vorlesung ist mein Versuch über die eigenthümliche Wirkung des Wasserstoffgases auf den glühenden Draht in einem Aufsatz von Hrn. Matteucci erwähnt worden, welchen ich, obwohl er kurz nach seiner Veröffentlichung in meine Hände gekommen war, dennoch zu meinem Bedauern noch nicht mit der gehörigen Achtsamkeit gelesen hatte. Seit der Beendigung der in diesem Aufsatz beschriebenen Versuche habe ich ihn jedoch gelesen und daraus ersehen, daß ich ausführte, was mir von meinem Freunde angerathen ward. Zu einem anderen Zweck machte Hr. Matteucci einen einigermaßen ähnlichen Versuch wie den obigen, jedoch darin wesentlich von dem meinigen verschieden, daß er zuerst mit dem einen, und dann

Bevor ich in weitere Details der Versuche eingehe, muß ich das Außerordentliche dieses Resultats hervorheben. Ein und derselbe Strom oder ein und dieselbe Elektrizitätsmenge geht durch zwei ähnliche Drahtstrecken, die in dieselbe Menge Flüssigkeit eingetaucht sind, und dennoch scheint, weil sie von einer dünnen Hülle verschiedener Gase umgeben sind, ein großer Theil der Wärme, welcher in der einen Strecke entwickelt wird, in der andern zu verschwinden.

Ähnliche Versuche mit andern Gasen in dem ersten Rohre und Wasserstoff in dem zweiten gaben folgende Resultate. In fünf Minuten stieg das Thermometer von 60° F.

in Wasserstoff	auf 69°,5;	in Stickstoff	auf 81°,5
- - -	- 70°,5;	- Kohlensäure	- 80°,0
- - -	- 70°,0;	- Kohlenoxyd	- 79°,5
- - -	- 70°,5;	- Oelbild. Gas	- 76°,5 ¹⁾

An einem andern Tage stellte ich folgende Versuche an. Alle Umstände dabei waren dieselben, mit Ausnahme einer größeren Stärke des Stroms, weshalb ich sie nicht mit den obigen zusammengestellt habe. In fünf Minuten stieg das Thermometer von 60° F.

in Sauerstoff	auf 82°;	in Steinkohlengas	auf 76°
- Wasserstoff	- 77;	- - -	- 82°,5

woraus hervorgeht, daß das Steinkohlengas, was seine abkühlende Wirkung betrifft, zwischen Wasserstoff und ölbildendem Gase steht.

Am

mit dem andern Gase operirte, und somit nicht die Wirkungen einer und derselben Elektrizitätsmenge verglich. Ich kann nicht ganz mit den Schlüssen übereinstimmen, die er aus diesen und andern von ihm erwähnten Versuchen zieht, will sie jedoch hier nicht angreifen, da es mich zu weit von dem Hauptpunkte meines Ansatzes abführen würde.

- 1) Ich habe vielleicht zu bemerken, daß mehre Probeversuche gemacht wurden, um den Apparat zu prüfen. So wurden beide Röhren mit gleichen Gasen gefüllt, wo dann die Thermometer in beiden Gefäßen gleiche Angaben lieferten. Auch wurden die Röhren in Bezug auf die Gefäße und die in ihnen enthaltenen Gase mit einander vertauscht. Das Wasser wurde immer umgerührt, um seine Temperatur vor der Ableitung gleichförmig zu machen.

An einem andern Tage wurden Schwefelwasserstoffgas respective mit Sauerstoff und Wasserstoff verknüpft. Im Schwefelwasserstoff glühte der Draht anfangs etwas schwächer als im Sauerstoff, allein bald wurde das erstere Gas rasch zersetzt; es lagerte sich Schwefel auf die Innenwand der Röhre ab und in dem Maafse nahm das Glühen an Stärke ab, so dafs es zuletzt kaum das im Wasserstoff übertraf, wie dann auch das Gas jetzt fast reiner Wasserstoff war. Unter gleichen Umständen wie zuvor stieg das Thermometer in fünf Minuten von 60° F.

in Sauerstoff auf 86°; in Schwefelwasserstoff auf 76°
 - Wasserstoff - 79 ; - - - - - 81°,5

Dieses Resultat würde den Schwefelwasserstoff zwischen Wasserstoff und Steinkohlengas setzen; allein da sich das erstere Gas rasch zersetzte, so wurde der gröfsere Theil des Versuchs mit einem kleinen Mengen Schwefel enthaltenden Wasserstoffgase und nicht mit Schwefelwasserstoffgas gemacht. Ich glaube daher, dafs das Schwefelwasserstoffgas, oder das aus gleichen Aequivalenten seiner beiden Elemente bestehende Gas, weiter absteht vom reinen Wasserstoffgas, wahrscheinlich in seiner erkaltenden Wirkung dem Kohlenoxyd und der Kohlensäure gleich ist.

In Phosphorwasserstoffgas wird der Platindraht zerstört, indem er sich, so wie er zum Glühen kommt, mit dem Phosphor verbindet, wodurch das Verhalten dieses Gases zu anderen nicht ermittelt werden kann.

Oxydul und Oxyd des Stickstoffs werden, wie ich schon in der Baker'schen Vorlesung angegeben, vom glühenden Draht zersetzt; sie sind in ihrer Wirkung, wie die atmosphärische Luft, möglichst nahe ihren Bestandtheilen gleich.

In Aetherdampf erlischt das Glühen des Drahts beinahe so vollständig wie in Wasserstoffgas; ich habe die Wirkung noch nicht verglichen, halte sie aber beinahe für gleich der des Steinkohlen- und des ölbildenden Gases.

In meinen früheren Versuchen fand ich für die Gase, wenn die Stärke des Glühens umgekehrt proportional ge-

setzt wurde dem durch das Voltameter gemessenen Leitvermögen des Drahts, folgende Ordnung ¹).

Gas in Umgebung des Drahts.	Gasentwicklung im Vol- tameter pro Minute.
Wasserstoff	7,7 Kbkzll.
Oelbildendes Gas	7,0 -
Kohlensäure	6,6 -
Kohlenoxyd	6,6 -
Sauerstoff	6,5 -
Stickstoff	6,4 -

Angenommen, bei den gegenwärtigen Versuchen sey die Wärme des Wassers eine richtige Anzeige der Stärke des Glühens des Drahtes, so ist die Ordnung dieselbe in beiden Versuchsreihen. Der Wasserstoff steht jedoch in seiner Wirkung auf den glühenden Draht sowohl vom Sauerstoff als vom Stickstoff so weit ab, dafs ich, um die relative Stellung dieser letzten beiden Gase genauer zu ermitteln, sie gegeneinander und nicht gegen Wasserstoff nochmals durch einige Versuche prüfte. Ich wiederholte zunächst meine früheren Versuche mit diesen beiden Gasen, und veränderte dabei die Umstände nur in der von den gegenwärtigen Versuchen angegebenen Weise, welche letztere, weil bei ihnen das Gefäfs, statt der äufseren Atmosphäre ausgesetzt zu seyn, in eine gegebene Wassermenge getaucht war, eine gröfsere Gleichheit in der abkühlenden Wirkung der Umgebung gaben und mir Gelegenheit verschafften, beide Methoden in Einem Experiment zu combiniiren.

Ich füllte beide Röhren *A* und *B* mit Sauerstoff, und schlofs ein Voltameter in die Kette ein. Nach 2 Minuten waren 3,43 Kbkzll. Wasserstoff im Voltameter entwickelt und das Thermometer in jeder Zelle von 60° auf 63° gestiegen. Ein ähnlicher Versuch mit Stickgas gab in 2 Minuten 3,4 Kbkzll. Wasserstoffgas und ein Steigen des Thermometers von 60° auf 63°.

Diese Versuche stimmen mit meinen früheren in Betreff des Voltameters, geben aber für das Thermometer keinen

1) *Philosoph. Transact.* 1847. p. 2. (Ann. Bd. 71. S. 194.)

Unterschied zwischen Sauerstoff und Stickstoff. Ich combinirte daher bei den folgenden drei Versuchen Stickstoff mit Sauerstoff in dem Apparat Fig. II. Taf. I. Unter völlig gleichen Umständen wie früher stieg das Thermometer in fünf Minuten von 60° F.

I.	in Sauerstoff	auf 71 ⁰⁵ ;	in Stickstoff	auf 73°
II.	-	-	77 ;	- - - 76
III.	-	-	75 ;	- - - 76
Mittel	-	-	74,5;	- - - 75

Nach dem ersten Versuch hatte die Batterie etwas an Kraft gewonnen, allein da beide Drähte Theile derselben Leitung bildeten, afficirten diese Veränderungen nicht die vergleichenden Resultate. Der zweite Versuch giebt dem Sauerstoff und Stickstoff eine umgekehrte Stellung als der erste und dritte; allein die Gase kommen einander in dem Kühlvermögen so gleich, daß diese geringen Unterschiede nicht viel bedeuten. Ich stellte sie jedoch noch ferner auf die Probe. Ich verknüpfte Sauerstoff und Stickgas nach einander mit Kohlensäure und erhielt folgende Resultate. In 5 Minuten stieg das Thermometer von 60° F.

I.	in Sauerstoff	auf 75°;	in Kohlensäuregas	auf 75°
II.	-	-	76 ;	- - - 75
I.	- Stickstoff	-	74 ;	- - - 73
II.	-	-	73 ;	- - - 72,5

Beim letzten Versuch hatte die Batterie etwas an Kraft verloren. Beide Gase, Sauerstoff und Stickstoff, zeigten ein geringeres Kühlvermögen als die Kohlensäure, allein der Sauerstoff kam ihr näher als der Stickstoff, darin übereinstimmend mit dem früheren Versuch. Aus Allem erhellt, daß der Sauerstoff eine etwas schwächere Kühlwirkung auf den glühenden Draht ausübt als der Stickstoff; indess können diese Gase für die Zwecke dieses Aufsatzes beinahe als gleich betrachtet werden. Atmosphärische Luft übt eine ähnliche Wirkung aus wie Sauerstoff und Stickstoff für sich. Allein ich bin zu glauben geneigt, daß bei der Berührung der atmosphärischen Luft mit dem glühenden Draht, etwas salpetrige Säure gebildet werde; denn wenn Lackmuspapier über dem voltaisch erglühenden Draht

gehalten wird, zeigen sich auf der Strecke gerade über dem Draht schwache, aber deutliche rothe Flecke.

Um zu ermitteln, ob die specifische Wärme der umgebenden Media die Ursache der Erscheinung sey, untersuchte ich nun die Wirkung des den Volta'schen Strom leitenden Drahts auf Flüssigkeiten. Alle Umstände waren wie bei den früheren Versuchen, und 3 Unzen Wasser umgaben gleiche Mengen der folgenden Flüssigkeiten. In 5 Minuten stieg das Thermometer von 60° F.

in Wasser auf 70°,3; in Terpenthinöl	auf 88°,0
- - - 70,3; - Schwefelkohlenstoff	- 87,1
- - - 69,0; - Olivenöl	- 85,0
- - - 70,1; - Naphtha	- 78,8
- - - 70,5; - Alkohol sp. Gr. 0,84	- 77,0
- - - 68,5; - Aether	- 76,1

Auf den letzten Versuch gebe ich nicht viel, da die Batterie schwächer wirkte. Jedes der obigen Resultate ist das Mittel aus drei Versuchen, bei denen die übrigen Flüssigkeiten nur sehr unbedeutende Verschiedenheiten zeigten, der Aether aber gab so bedeutende Schwankungen in den Resultaten, dafs ich keinen grofsen Werth darauf lege. Die Leichtigkeit, womit der Aether verdampft und siedet, erfordert die Anwendung gröfserer Mengen von ihm; allein da dann auch, zum Behufe des Vergleichs, alle übrigen Flüssigkeiten in gröfserer Menge hätten genommen werden müssen, so hielt ich es nicht für werth, die ganze Reihe noch einmal zu wiederholen.

Man wird bemerken, dafs die Wirkungen bei den obigen Flüssigkeiten keineswegs in directer Beziehung zu deren specifischen Wärmen stehen; diefs bestätigte sich ferner als ich ein Gas mit einer Flüssigkeit verglich, nämlich Wasserstoff mit Wasser. Alle Umstände waren wie zuvor, die Röhre A mit Wasserstoffgas und die Röhre B mit Wasser gefüllt, beide eingetaucht in 3 Unzen Wasser. In fünf Minuten stieg das Thermometer von 60° F.

auf 75°,5 in Wasserstoffgas, und auf 72° in Wasser.

Dieser Versuch zeigt bündig die Unmöglichkeit, das betrachtete Phänomen durch specifische Wärme allein zu er-

klären; und wenn auch ohne Zweifel die spezifische Wärme einigen Einfluss auf die abkühlenden Wirkungen verschiedener Gase und Flüssigkeiten haben muss, so ist sie doch anscheinend von sehr geringer Bedeutung im Vergleich zur wahren physischen Ursache der Unterschiede, worin übrigens dieselbe auch bestehen möge.

Angenommen, wie es Faraday behauptet ¹⁾, die Gase besitzen ein schwaches Leitvermögen für die Voltasche Elektrizität, und vorausgesetzt, der Wasserstoff habe, wegen seiner grossen Analogie im chemischen Charakter mit den Metallen, ein stärkeres Leitvermögen als die übrigen Gase, so würde dies die eigenthümliche Wirkung desselben auf den glühenden Draht erklären, da dann ein Theil des Stroms, statt durch den Draht zu gehen, von dem umgebenden Gase fortgeführt würde. Um dies zu ermitteln, stellte ich folgende Versuche an.

I. In das geschlossene Ende einer gekrümmten Röhre Fig. 12. Taf. I. schmolz ich einen gebogenen Platindraht (*loop of platinum wire*) *AB* und zwei getrennte Platindrähte *C* und *D* hermetisch ein. Die Enden der letzteren waren einander so nahe wie möglich und ihr Zwischenraum war wieder dicht über dem Scheitel des gebogenen Drahts. Die Röhre war mit Wasserstoffgas gefüllt und der Draht *AB* verbunden mit einer Volta'schen Batterie von hinreichender Stärke, um ihn auf den höchsten Grad des Glühens zu versetzen, den er ohne Schmelzung ertragen konnte. Nun wurden *C* und *D* verbunden mit den Polen einer anderen Batterie, in deren Kreis zugleich ein empfindliches Galvanometer eingeschaltet worden war. Es konnte indess an der Galvanometernadel nicht die geringste Wirkung beobachtet werden, und eben so negativ war der Erfolg als die Röhre mit atmosphärischer Luft gefüllt ward.

II. Nun wurden parallele Stücke Platindrähte so vorgerichtet, dass sie einander möglichst nahe waren (Fig. 13. und jedes von ihnen durch eine Batterie für sich zum vol-

1) *Experiment. Research.* §§. 272, 441. u. 444.

len Glühen gebracht werden konnte. Umgeben von Atmosphären von atmosphärischer Luft oder von Wasserstoffgas, konnte mit einer Salpetersäure-Batterie von 10 Zellen bei vollem Glühen nicht die geringste Leitung quer durch den Zwischenraum beider Drähte entdeckt werden. Selbst als die Güte des Hrn. Gassiot mir erlaubte, diesen Versuch mit seiner Salpetersäure-Batterie von fünfhundert wohl isolirten Zellen zu wiederholen, und als die glühenden Drähte bis auf 0,02 Zoll einander genähert wurden, leitete die Luft nicht. Als sie einander noch mehr genähert wurden, kamen sie in Schlagweite, wurden augenblicklich geschmolzen und die Galvanometernadel, welche bis dahin vollkommen ruhig gewesen war, wurde rasch herumgeschleudert.

Hieraus halte ich mich zu dem Schlufs berechtigt, das wir keinen experimentellen Beweis dafür haben, das ein Stoff im Gaszustand die Volta'sche Elektrizität leitet; wahrscheinlich leiten Gase auch die Franklin'sche Elektrizität nicht, da die Versuche, welche *prima facie* zu diesem Schlusse führen, sich durch eine disruptive Entladung erklären lassen.

In Faraday's Versuch wurden zwei Drähte einander in einer Weingeistflamme genähert und der Zwischenraum in dieser Flamme erwies sich etwas leitend. Diese Leitung könnte entweder durch unverbrannte Kohlentheilchen in der Flamme oder durch die Flamme selbst bewirkt worden seyn, da nach Th. Andrews die Flamme, selbst die des reinen Wasserstoffgases, die Volta'sche Elektrizität leitet ¹).

Ich bemühte mich nun zu ermitteln, ob eine spezifische inductive Wirkung des Wasserstoffgases einen Einfluss habe. Zu dem Ende wurden parallele Platindrähte und parallele Gewinde von Kupferdrähten in Atmosphären von Wasserstoff und von atmosphärischer Luft gebracht; einer dieser Paralleldrähte leitete den Strom und der andere war mit einem empfindlichen Galvanometer verbunden. Ich konnte

1) *Phil. Mag. Vol. IX. p. 176. (Ann. Bd. 43, S. 310.)*

indefs im Moment des Schließens und Oeffnens der Kette keinen Unterschied in der Ablenkung der Nadel entdecken, es mochten die Drähte in Wasserstoffgas oder atmosphärischer Luft befindlich seyn. Ebenso wenig konnte ich, als die Paralleldrähte mit ihren Atmosphären von umgebenden Gas in eine gegebene Menge Wasser getaucht wurden, irgend einen Unterschied in der entwickelten Wärme entdecken, der Strom mochte in den Drähten in gleicher oder entgegengesetzter Richtung gehen.

Mein nächster Gegenstand war zu ermitteln, ob beim gewöhnlichen Glühen, dieselbe scheinbare Vernichtung von Wärme im Wasserstoffgase stattfindet, wie beim Volta'schen Glühen. Zwei Eisencylinder *AB*, Fig. 14 Taf. I., jeder 390 Gran schwer, wurden an lauge, wie die Figur zeigt, gebogene Eisendrähte befestigt. Die Cylinder wurden zusammen in einen Tiegel voll feinen Sandes gestellt und darin gleichmäfsig zur Weißgluth gebracht, dann aus dem Sande genommen und an die Oberfläche gleicher Menge Wasser in den Gefäfsen *C* und *D* geführt; hier stülpte man zwei Röhren *e* und *f*, von denen die eine Wasserstoff und die andere atmosphärische Luft enthielt, über sie und tauchte nun das Ganze schnell unter Wasser, gehalten in der abgebildeten Stellung durch eine kleinere Vorrichtung, deren Beschreibung nicht nöthig seyn wird.

Die Temperatur des Wassers zu Anfang des Versuchs war 60° F. In 4 Minuten war das den Wasserstoff umgebende Wasser auf 94° gestiegen und blieb darauf stehen, während das die Luft einschließende nur 87° erreichte. In 10 Minuten war das den Wasserstoff umgebende Wasser auf 92°,5 gesunken, während das die Luft einhüllende sich auf 93° erhoben hatte, die höchste Temperatur, die es erreichte. Die respectiven Maxima waren also 94° und 93°. Da indefs das die Luft umgebende Wasser eine längere Zeit zur Erreichung seines Temperatur-Maximums gebrauchte und während des eine höhere Temperatur als die äußere Atmosphäre gehabt hatte, so mußte es etwas von der erlangten Wärme verloren haben. Man kann daher

annehmen, daß die Maxima gleich waren und der Unterschied in der Wirkung beider Gase nur in der Zeit der Durchleitung der Wärme bestand. Bei einem zweiten Versuch waren die Resultate ähnlich; das Maximum betrug im Wasserstoff $92^{\circ},5$ und in der Luft 91°).

- Leslie's und Davy's Versuche haben gelehrt, daß, beim gewöhnlichen Glühen, der Wasserstoff eine raschere Abkühlung bewirkt als die gewöhnliche Luft, und die obigen Versuche haben gezeigt, daß derselbe die ausgegebene Wärmemenge dabei weder verändert noch in eine andere Kraft verwandelt; mein nächster Zweck war nun zu ermitteln, ob diese Schnelligkeit der abkühlenden Wirkung des Wasserstoffs die beim Volta'schen Glühen beobachteten Erscheinungen erklären werde. Obwohl die beiden Klassen von Erscheinungen anscheinend sehr verschieden sind, so könnte es doch seyn, daß das erhöhte Leitungsvermögen, welches aus der raschen Kühlwirkung des Wasserstoffs entsteht und die Stromstärke vergrößert, in Gestalt von Elektrizität die Kraft fortführte, welche, wenn der Draht (wie beim stärkeren Glühen) mehr Widerstand darbietet, in Form von Wärme entwickelt wurde. Die Anwendung eines und desselben Mediums, ein Mal unter verhinderter und das andere Mal unter freier Circulation der erwärmten Ströme, schien einiges Licht werfen zu müssen auf das umgekehrte Verhalten des Leitungsvermögens zu der entwickelten Wärme. Es wurde daher der folgende Versuch angestellt.

In dem Apparat Fig. 11 blieb die Röhre *A* unverkorkt, so daß das Wasser freien Zugang hatte, während die Röhre *B* mit feinem Sand, getränkt mit Wasser, gefüllt und darauf an beiden Enden verkorkt wurde. Bei Durchleitung des Stroms ergab sich Folgendes. In dem die Röhre *A* enthaltenden Gefäße stieg das Thermometer in 5 Minuten von 52° auf 60° und in dem Gefäße der Röhre *B* gleichfalls

1) Bei dem Volta'schen Versuche wirkte Eisendraht ähnlich wie Platindraht.

von 52° auf 60°. Ebenso stieg das Thermometer in zweiten 5 Minuten in jedem Gefäße auch von 60° auf 67°.

Ein anderer analoger Versuch war folgender. Ich brachte ein Gewinde von Platindraht in ein sehr enges Glasrohr von $\frac{1}{6}$ Zoll Durchmesser, verschloß es an einem Ende hermetisch, zog es am anderen zu einer sehr feinen, nur eben den Platindraht durchlassenden Oeffnung aus und füllte es mit Wasser (eine kleine Oeffnung übrig zu lassen war nöthig, um das Bersten der Röhre bei Ausdehnung des erhitzten Wassers zu verhüten); in das andere Gefäß wurde ein ähnliches Gewinde von Platindraht, doch ohne irgend ein Glasrohr, gelegt. Nach Schließung der Kette stieg das Thermometer in 5 Minuten.

in dem Wasser ohne Röhre von 60° auf 87°

in dem Wasser mit der Röhre von 60 auf 86

Hier sprach der, freilich geringe Unterschied gegen das, was sich nach Theorie erwarten liefs; die genaue Gleichheit der vorhergehenden Resultate und die nahe Uebereinstimmung der letzten gab indess keinen genügenden Aufschluß über den in Rede stehenden Punkt, obwohl das negative Resultat eher gegen die Ansicht spräche, welche den Effect des Volta'schen Glühens dem des gewöhnlichen Glühens gleich stellte.

Als einen anderen Weg, das zuvor erwähnte Ziel zu erreichen, nämlich die umgekehrte Relation der Leitungsfähigkeit des Drahts zu der darin entwickelten Wärme, schritt ich zu folgendem Versuche. Ein Platindraht, einen Fuß lang und ein Achtzigstel eines Zolls im Durchmesser wurde durch eine Batterie von 10 Zellen in Luft zum Glühen gebracht und ein Voltameter mit in den Kreis eingeschaltet. Das vom Voltameter gelieferte Wasserstoffgas betrug einen Kubikzoll in 44 Sekunden. Die Hälfte des Drahts ward nun in Wasser von 60° getaucht. Hiedurch verstärkte sich die Intensität des Glühens der anderen Hälfte sehr ansehnlich. Das Voltameter aber lieferte nun einen Kubikzoll in 40 Sekunden. Zwei Drittel des Drahts

eingetaucht gaben 1 Kubikzoll in 37 Sekunden. Beim letzten Versuch erreichte die Hitze des nicht eingetauchten Drahtstücks fast den Schmelzpunkt des Platins. Aus diesem Resultat geht hervor, daß der vergrößerte Leitungswiderstand des glühenden Stücks nicht gleich ist dem erhöhten Leitungsvermögen der abgekühlten Parthien desselben Drahts.

Um zu sehen, in wiefern die abkühlende Wirkung auf den Draht etwa von der größeren oder geringeren Beweglichkeit der Theilchen des ihn umgebenden Mediums herühren möge, las ich die Aufsätze von Faraday ¹⁾ und Graham ²⁾ nach. Nach den Versuchen des Ersteren scheint das Entweichen verschiedener Gase durch Haarröhrchen unter einem gewissen Druck, oder die Umdrehungsgeschwindigkeiten von Windfahnen (*vanes or floats*) in verschiedenen Gasen in umgekehrtem Verhältniß zur Dichtigkeit solcher Gase zu stehen. Bei Graham's Versuchen dagegen scheint das Entweichen der Gase durch Haarröhrchen keinem bestimmten Gesetze unterworfen zu seyn, wiewohl die Kohlenwasserstoffverbindungen mit größerer Leichtigkeit durchgingen als andere Gase.

Die abkühlenden Wirkungen der Gase stehen entschieden in keinem Verhältnisse zu den Dichtigkeiten derselben; denn die Kohlensäure einerseits und der Wasserstoff andererseits kühlen stärker ab als die atmosphärische Luft; und das ölbildende Gas, welches sich im specifischen Gewicht der Luft so sehr nähert und vom Wasserstoff so weit entfernt, steht in der abkühlenden Wirkung dem Wasserstoff näher und von der Luft weit ab.

Aus der Gesamtheit der in diesem Aufsatz beschriebenen Versuche können wir schliessen, daß die abkühlende Wirkung verschiedener Gase oder vielmehr der Unterschied in der abkühlenden Wirkung des Wasserstoffs und seiner Verbindungen von allen übrigen Gasen nicht herrührt von Verschiedenheiten in der specifischen Wärme,

1) *Quarterly Journ. of Science Vol. III. p. 354.*

2) *Philosoph. Transact. 1846 p. 573.*

im specifischen Gewicht und im Leitungsvermögen für Elek-
tricität, auch nicht, aus früher schon angegebenen Grün-
den ¹⁾, von der durch Leslie beobachteten Eigenthüm-
lichkeit in Fortpflanzung des Schalls, und eben so wenig
von jener Beweglichkeit, vermöge welcher ein Gas mit
größerer Leichtigkeit als ein anderes aus engen Oeffnun-
gen entweicht, sondern wahrscheinlich von einer Beweg-
lichkeit oder Vibrationsfähigkeit (*mobile or vibratory cha-
racter*) der Theilchen, wodurch die Wärme rascher fortge-
führt (*abstracted*) wird. Ich glaubte einst, daß die Wir-
kung mit der Verbrennlichkeit zusammenhänge, und dies
einen Unterschied zwischen den elektro-negativen und elek-
tropositiven oder neutralen Gase herstelle; allein die hier
beschriebenen Versuche haben mich veranlaßt, diese An-
nahme aufzugeben.

Ich bin zu glauben geneigt, daß das Phänomen, ob-
wohl influencirt von der Fluidität (*Fluency*) des Gases, doch
hauptsächlich von einer Molecularwirkung an den Ober-
flächen des glühenden Körpers und des Gases herrührt.
Wir wissen, daß bei den Wirkungen der strahlenden
Wärme der physische Zustand der Oberfläche des aus-
strahlenden oder absorbirenden Körpers einen höchst wich-
tigen Einfluß auf die relativen Geschwindigkeiten der Ra-
diation oder Absorption ausübt; so ist Jedermann bekannt,
daß schwarze und weiße Oberflächen in dieser Beziehung
einen auffallenden Gegensatz bilden. Warum sollte nicht
die an der strahlenden Substanz liegende Oberfläche des
gasigen Mediums einen wechselseitigen Einfluß ausüben?
Könnte nicht die Oberfläche des Wasserstoffs als Schwarz,
die des Stickstoffs als Weiß auf den glühenden Draht wir-
ken? Dies scheint mir um so mehr erwägungswürth als
es ein Verbindungsglied bilden könnte zwischen den ab-
kühlenden Wirkungen der verschiedenen Gase und den ge-
heimnifsvollen Wirkungen der Oberfläche bei katalytischen
Verbindungen und Zersetzungen durch starre Körper wie

1) *Philosoph. Transact. O.* 1847.

Platin. Epipolische Wirkungen. bin ich überzeugt, werden allmählig eine viel wichtigere Stellung in der Physik einnehmen als sie bisher gethan.

Die Verschiedenheit der abkühlenden Wirkung des Wasserstoffs und derjenigen seiner Verbindungen, in denen er nicht durch ein kräftiges elektro-negatives Gas neutralisirt ist, von der aller übrigen Gase, ist vielleicht die auffallendste Eigenthümlichkeit der von mir beschriebenen Erscheinungen. Die Unterschiede zwischen allen übrigen Gasen unter sich sind ganz unbedeutend gegen die zwischen ihnen und den wasserstoffhaltigen. Ich habe früher einige Erscheinungen beobachtet, welche mir damals unerklärlich waren, die mir aber jetzt auf dieser physikalischen Eigenthümlichkeit zu beruhen scheinen. Wenn z. B. ein Strom von Sauerstoff in einer Atmosphäre von Kohlenwasserstoffgas angezündet wird, so ist die Flamme kleiner als wenn man umgekehrt verfährt. Der Volta'sche Bogen zwischen Metalldrähten ist auch viel kleiner in Wasserstoffgas als in Stickgas, obwohl beide Gase unfähig sind, sich mit den Drähten zu verbinden. In der That ist es kaum ausführbar, im Wasserstoffgas überhaupt einen Lichtbogen zu erhalten.

Davy hat in seinen Untersuchungen über die Flamme verschiedene Versuche beschrieben, die ähnlich zu erklären sind; allein wiewohl er die Resultate beschreibt, leitet er sie nirgends, so weit ich sehe, von einer specifischen Eigenthümlichkeit des Wasserstoffs ab.

Von dem in diesem Aufsatz untersuchten Phänomen veröffentlichte ich zuerst einen Abriss in Verbindung mit einigen Versuchen über die Anwendung des Volta'schen Glühens zur Beleuchtung der Gruben; es wäre nicht unmöglich, daß die jetzt beschriebenen Versuche einst eine wohlthätige Anwendung zur Lösung des Problems vom Sicherheitslicht in Gruben finden werden. Ein Licht, welches eben im Stande wäre, sich unter der abkühlenden Wirkung der gewöhnlichen atmosphärischen Luft zu halten, würde durch eine mit wasserstoffhaltigen Gasen gemischte Luft ausgelöscht werden.

Ich bin weit von der Behauptung, Mittel angegeben zu haben, die diese Bedingung erfüllen und doch ein kräftiges Licht liefern; ich habe es nur als einen Wink zur Beachtung hingeworfen, in der Meinung, daß es keinen Anwuchs unserer Kenntnisse giebt, der nicht zuletzt eine nützliche Anwendung fände.

Nachschrift. Seit ich diesen Aufsatz mittheilte, habe ich von Hrn. Dr. Andrews in Belfast einen erhalten, der schon 1840 in den *Proceedings of the Royal Irish Academy* veröffentlicht ist und ähnliche Versuche enthält, wie die, welche ich im Jahre 1845 bekannt machte. Meine Versuche sind in demselben Jahre angestellt wie die des Dr. Andrews, allein da ich deren Veröffentlichung verschob, so hat Dr. Andrews volles Recht auf die Priorität. Hätte ich seine Versuche früher gekannt, würde ich ihrer im ersten Theile dieses Aufsatzes erwähnt haben.

VI. Ueber das Gleichgewicht von homogenen starren Körpern; von Hrn. W. Wertheim.

(*Ann. de chim. et de phys. Ser. III. T. XXIII. p. 52.*)

Die allgemeinen Gleichungen des Gleichgewichts und der Bewegung starrer elastischer Körper sind von Navier aufgestellt, in der Hypothese, daß die Molecule eines Körpers, nach einer sehr kleinen Aenderung seiner Gestalt, einander anziehen oder abstossen, proportional der Zu- oder Abnahme ihrer gegenseitigen Entfernung.

Durch andere Betrachtungen sind Poisson und die HH. Lamé und Clapeyron zu denselben Gleichungen wie Hr. Navier gelangt. Auch Hr. Cauchy hat die Aufgabe behandelt, ausgegangen von einer allgemeineren Fundamentalhypothese wie die von Navier. Nachdem er in einer ersten Abhandlung die starren Körper als continuir-

liche Massen betrachtet hat, nimmt er sie in einer zweiten als Systeme materieller Punkte, die von Anziehungs- oder Abstofsungskräften sollicitirt werden. Er zeigt dann, wie man die in beiden Fällen erhaltenen Formeln zusammenfallen lassen, und mit denen von Navier, die nur einen speciellen Fall darstellen, identisch machen kann. Allein um die allen diesen Rechnungen zum Grunde gelegten Fundamentalthypothesen annehmen zu können, müßten sämtliche daraus hervorgehenden Folgerungen und Gesetze zuvörderst durch die Erfahrung controlirt werden.

Eins dieser Gesetze scheint in der That durch einen von Poisson erwähnten Versuch des Hrn. Cagniard-Latour bestätigt zu werden ¹). Diefs Gesetz kann so gefaßt werden:

Wenn ein Stab oder eine elastische Saite einem Zug unterworfen wird, welche nur eine sehr kleine Verlängerung bewirkt, so wächst das Volum, und dieser Anwuchs ist, auf die Volumseinheit, gleich der Hälfte der linearen Verlängerung auf die Längeneinheit.

Um dieses Gesetz zu prüfen, beobachtete Hr. Cagniard-Latour die Niveauveränderungen, die eine Wassersäule in einer Glasröhre erleidet, wenn ein an der Basis der Röhre befestigter Messingdraht einer Verlängerung unterworfen wird. Die Röhre war 2 Meter lang. Ehe man den Draht befestigte, tauchte man ihn bis zur Basis der Röhre ein und nahm das Niveau des Wassers; dann hob man den Draht um 6 Millm. vom Grunde auf und beobachtete die Niveauveränderung. Endlich befestigte man ihn und unterwarf ihn einem solchen Zug, dafs er sich um dieselbe Gröfse, 6 Millm., verlängerte. Dieser Versuch bestätigte nun das angeführte Gesetz.

Diefs Verfahren wäre hinreichend genau, wenn es sich nur darum handelte, nachzuweisen, ob wirklich eine Volumsveränderung stattgefunden habe; aber es scheint nicht genügend zu einer genauen Messung derselben.

1) *Ann. de chim. et de phys. Sér. II. T. XXXVI. p. 385.* (Ann. Bd. XII. S. 516.)

In der That, da die Röhre einen größeren Durchmesser als der Draht besitzt, so werden die kleinen Volumsveränderungen des letzteren durch Niveauveränderungen gemessen, die noch kleiner sind. Beim Heben des Drahts, zieht man eine Wasserschicht fort, die das Niveau senken muß und dennoch nicht in Rechnung gezogen worden ist. Der an der Basis der Röhre befestigte Draht kann nicht ganz gerade gewesen seyn und sein unteres Ende kann sich in einer gewissen Höhe über der Basis befunden haben, ohne daß nothwendig eine dieser Höhe gleiche Drahtlänge aus dem Wasser gezogen wurde.

Endlich ist es unmöglich, einen Messingdraht um 3 Millim. auf das Meter zu verlängern, ohne ihm ziemlich beträchtliche bleibende Verlängerungen einzuprägen, während das Gesetz nur für rein elastische Verlängerungen und Verkürzungen gilt.

In jüngster Zeit hat Hr. Regnault ¹⁾ bei seinen Untersuchungen über die Zusammendrückbarkeit der Flüssigkeiten, die kubische Zusammendrückbarkeit der von ihm angewandten Gefäße von verschiedener Gestalt und Materie bestimmt, und daraus durch Anwendung der Formeln des Hrn. Lamé die Elasticitäts-Coëfficienten der Materie dieser Gefäße hergeleitet. Die dadurch bestimmten Coëfficienten fielen sämmtlich größer aus als die, welche ich durch Verlängerung von Drähten und Stäben desselben Materials erhalten hatte.

Hr. Regnault hat nicht allein diese Verschiedenheit, so wie die Unsicherheit, die überhaupt noch in diesem ganzen Theil der Elasticitätstheorie herrscht, hervorgehoben, sondern auch eine genaue Methode angegeben, um die Volumsveränderungen starrer Körper und das Verhältniß dieser Volumsverhältnisse zu den entsprechenden Verlängerungen oder Compressionen zu bestimmen. Hr. Regnault hat mich aufgefordert, mich speciell mit dieser Aufgabe zu befassen.

Ehe ich diese Methode anwandte, wollte ich einen vor-

1) *Mém. de l'acad. des Sciences T. XXI. p. 429.*

läufigen Versuch anstellen nach einer zwar weniger genauen aber directeren Methode.

Zu dem Ende bediente ich mich quadratischer Kautschukstäbe von so grossem Querschnitt, dafs man dessen Seite mit dem Dicken-Zirkel messen konnte. Das Kautschuk erleidet nur sehr unbedeutende bleibende Verlängerungen, und man kann sie in Rechnung ziehen, wenn man die Dimensionen der Stäbe erstlich bei der stärksten Spannung misst und dann auf immer schwächere und schwächere Spannungen zurückgeht. Die successiven Contractionen geschehen nur sehr langsam und gewöhnlich kommt der Stab erst nach 24 Stunden merklich auf seine ursprüngliche Länge zurück. Um so viel wie möglich eine gleichmäfsige Verlängerung in der ganzen Länge des Stabes zu erhalten, darf man die Enden desselben nicht einklemmen. Sie wurden daher in zwei Eisenstücke eingelassen und eingekittet, die zur Bewirkung des Zuges mit Ringen versehen waren; man erwärmte die Theile, welche der Verlängerung zu widerstreben suchten, gelinde, und begann die Messungen erst von einem Paar Visirpunkten aus, die von den beiden Enden eine gewisse Entfernung besafsen. Die schwachen Verlängerungen durften nur durch Gewichte bewerkstelligt werden, weil das Kautschuk schon unter wenig bedeutenden Lasten zu fädeln beginnt. Man übte also nun einen horizontalen Zug aus und befestigte die Ringe in den verschiedenen Gleichgewichtslagen, um Zeit zu den Messungen zu haben. Die Messungen wurden mit einem Dicken-Zirkel gemacht, der Zehntel eines Millimeters angab.

Seyen nun L und c der Abstand der Visirpunkte und die Querseite des Stabes vor der Anlegung der Kräfte

L' und c' dieselben Gröfsen nach der Verlängerung.

δ die Linear-Verlängerung auf die Längen-Einheit.

β die Verkürzung der Querseite auf die Längen-Einheit.

so hat man

$$L' = L(1 + \delta); \quad c' = c(1 - \beta).$$

Nach Poisson mufs nun seyn

$$\beta =$$

$$\beta = \frac{1}{3} \delta$$

vorausgesetzt, daß δ und β sehr kleine Größen seyen.

Die in der folgenden Tafel enthaltenen Werthe von c und c' sind Mittel aus einer sehr großen Zahl von Messungen, gemacht an zwei Seiten eines jeden Querschnitts und an verschiedenen Punkten der Länge.

Tafel I. — Stab I, Verticaler Zug,

$L.$	$c.$	$L'.$	$c'.$	$\delta.$	$\frac{\delta}{4}$	$\beta.$	$\frac{\delta}{3}$
mm	mm	mm	mm				
36775	48,60	269,35	48,46	0,004351	0,001088	0,002881	0,001450
-	-	372,32	48,20	0,012427	0,003107	0,008230	0,004142
-	-	375,58	48,23	0,021292	0,005323	0,007613	0,007097
-	-	376,60	48,19	0,024066	0,006016	0,008436	0,008022
-	-	381,04	47,92	0,036139	0,009035	0,013992	0,012046
-	-	383,42	48,04	0,042610	0,010652	0,011523	0,014203
-	-	386,57	47,76	0,051176	0,012794	0,017284	0,017059
-	-	392,37	47,56	0,066947	0,016737	0,021399	0,022316

Tafel II. — Stab I, Horizontaler Zug.

$L.$	$c.$	$L'.$	$c'.$	$\delta.$	$\frac{\delta}{4}$	$\beta.$	$\frac{\delta}{3}$
335	47,20	370	44,98	0,1045	0,0261	0,0470	0,0348
-	-	450	41,05	0,3433	0,0858	0,1303	0,1144
-	-	580	36,15	0,7314	0,1828	0,2341	0,2438
-	-	815	30,60	1,4328	0,3582	0,3517	0,4776
-	-	1000	27,90	1,9851	0,4963	0,4089	0,6617
-	-	1125	26,25	2,3582	0,5895	0,4237	0,7861

Tafel III. — Stab II, Horizontaler Zug. 1)

$L.$	$c.$	$L'.$	$c'.$	$\delta.$	$\frac{\delta}{4}$	$\beta.$	$\frac{\delta}{3}$
300	9,45	350	8,89	0,1667	0,0417	0,0593	0,0556
325	9,28	400	8,32	0,2308	0,0577	0,1034	0,0769
350	8,93	450	7,98	0,2857	0,0714	0,1064	0,0952
315	9,35	500	7,58	0,5873	0,1468	0,1893	0,1958
315	9,35	550	7,21	0,7460	0,1865	0,2289	0,2487
350	8,94	600	6,96	0,7143	0,1786	0,2215	0,2381
350	8,94	650	6,61	0,8571	0,2143	0,2606	0,2857
305	9,46	800	5,97	1,6230	0,4057	0,3689	0,5410
305	9,46	850	5,71	1,7869	0,4467	0,3964	0,5956
305	9,46	900	5,59	1,9509	0,4877	0,4091	0,6503
305	9,46	1000	5,16	2,2787	0,5697	0,4545	0,7596
357	8,45	1100	4,91	2,0812	0,5203	0,4189	0,6937

1) Bei den beiden ersten Versuchen waren die Gestaltveränderungen offenbar zu klein, um mit hinreichender Genauigkeit gemessen werden zu können.

Diese Versuche stehen ganz im Widerspruch mit dem erwähnten Gesetz. Die transversale Contraction der Seite des Querschnitts ist bei weitem nicht gleich dem Viertel der Verlängerung, sondern nähert sich mehr dem Drittel derselben, dessen Werthe in der letzten Spalte angegeben sind.

So lange die Verlängerungen nicht sehr bedeutend sind, findet man nahezu $\beta = \frac{1}{3}\delta$; die Unterschiede zwischen den Zahlen der siebenten und achten Spalte sind klein in Bezug auf den Grad von Genauigkeit, den die Versuche dieser Gattung ertragen. Allein diese Uebereinstimmung hört auf, so wie sich δ der Einheit nähert; von diesem Punkte an wächst β in einem viel kleineren Verhältniß als $\frac{1}{3}\delta$ und selbst als $\frac{1}{3}\delta$.

Bekanntlich hört auch für die Gase die Richtigkeit des Mariotte'schen Gesetzes auf, sobald man sie sehr starken Compressionen unterwirft. Ich werde in einer andern Abhandlung auf diese Analogie zurückkommen und mich für jetzt nur darauf beschränken, die sehr kleinen Volumsänderungen zu betrachten, welche die Mathematiker dem Calcul unterworfen haben und man bei allen starren Körpern beobachten kann.

Obgleich es nicht erlaubt ist, die an einer Substanz organischer Herkunft, wie das Kautschuk, erhaltenen Resultate zu verallgemeinern und auf alle elastischen Körper auszudehnen, so ist mir doch der eben nachgewiesene Unterschied zwischen der Erfahrung und der allgemein angenommenen Theorie wichtig genug erschienen, um ihn noch durch genauere Versuche zu prüfen.

Die von Hrn. Regnault vorgeschlagene Methode besteht in der Anwendung hohler Cylinder, die man der Länge nach einem Zuge aussetzt. Man mißt zugleich die lineare Verlängerung und die Aenderung des inneren Volums. Die letztere wird mit vieler Genauigkeit durch die Senkung einer Säule Flüssigkeit in einem Haarröhrchen gegeben, welches mit der Höhlung des Cylinders communicirt. Da der innere Querschnitt dieses letzteren sehr groß

ist, so bewirkt die geringste Volumsveränderung eine große Aenderung im Stande der Flüssigkeit.

Ich untersuchte zuvörderst drei aus einem selben Stücke Messing gezogene Röhren von 1 Meter Länge, die alle einen innern Durchmesser von 5 Millimeter hatten und dabei eine Wanddicke von respective 1, 2 und 3 Millimetern.

Jede Röhre *a*, Fig. 15. Taf. I., war an ihren beiden Enden in zwei weit dickere Stücke *b*, *b'* desselben Messings eingeschraubt und festgelöthet. Das untere Stück *b'* war versehen mit einem großen Eisenring, an welchen Lasten gehängt werden konnten. Das obere Stück *b* besaß einen vorspringenden Rand *e* und war durch eine Scheibe mit dem Stück *d* verbunden. Ein zwischen gelegtes Leder *c* diente zur hermetischen Verschließung dieser Fuge und das Haarröhrchen ward in das Stück *d* eingekittet.

Der Versuch geschieht auf folgende Weise. Man füllt das Rohr mit wohl von Luft gereinigtem Wasser und schraubt das Haarröhrchen darauf. Man erhitzt nochmals, um die letzten Luftblasen zu entfernen, die in der Fuge zurückgeblieben seyn könnten, und taucht nun das Ende dieses Röhrchens in ein mit Wasser gefülltes Gefäß, so daß das Niveau desselben nach der Erkaltung eine gewisse Höhe in dem Haarröhrchen einnimmt. Darauf hängt man das Stück *b* an einen soliden Schraubstock, welcher das Ganze umfaßt und wobei der Rand *c* das Herabgleiten verhindert, selbst unter der Wirkung starker Belastungen.

Ich habe alsdann mit fünf Krystallglas-Röhren aus der Fabrik von Choisy-de-Roi, von verschiedenen Dimensionen, operirt.

Hiebei mußte man die eben beschriebene Aufhängung etwas verändern, um zu vermeiden, daß nicht bei Auflegung der Last diese Röhren etwas aus der Verticale wichen und transversal zerbrächen.

Die zum Versuch genommene Röhre *a* Fig. 16. Taf. I. ist an beiden Enden *b* und *b'* festgekittet.

Das obere Stück *b* ist umgeben von einem aufgeschnittenen Ring *g*, auf welchem es auch mittelst seines vor-

springenden Randes e ruht. Dieser Ring wird getragen von einem starken Eisenbügel, bestehend aus zwei lothrechten Stäben h und h' und einem waagrechten i , der durch zwei Mütter l , l' an die ersteren befestigt ist. Dieses horizontale Stück rollt seiner ganzen Länge nach frei auf dem großen Support m mittelst zweier entsprechender Einschnitte, die sich an der Unterseite des ersteren und an der Oberseite des zweiten befinden.

Das Haarröhrchen f ist zwei Mal rechtwinklich gebogen, so daß sein lothrechter Theil sich vor dem Support m befindet.

Nachdem die Glas- oder Metallröhren so vorgerichtet und aufgehängt sind, zieht man dicht bei den Stücken b und b' zwei zarte Visirlinien, legt eine gewisse Last auf, mißt die Lage dieser beiden Linien und des Wasserstandes im Haarröhrchen, nimmt darauf die Last ab, und mißt abermals die Lage dieser drei Elemente. Nun vergrößert man die Last und verfährt ebenso. Der Wasserstand wird mit dem Kathetometer gemessen und mit Sorgfalt eine vierte Visirlinie an der Basis des Haarröhrchens genommen. Die Beobachtung dieser letzten Linie giebt die Verschiebung, welche der ganze Apparat in Folge einer leichten Biegung des Supports m oder einer Verlängerung der lothrechten Arme h , h' erleidet.

Diese Berichtigung, welche niemals einige Zehntel-Millimeter übersteigt, ist schon in den Werthen der Niveau-Veränderungen begriffen, die in den Tafeln VII. und VIII. enthalten sind. Die angewandten Lasten waren immer so klein, daß sie während der kurzen Dauer des Versuchs keine meßbare bleibende Verlängerung bewirken konnten, und da die gegenseitigen Abstände der beiden Visirlinien zuvor gemessen wurden, so genügte es, um die Verlängerung oder Verkürzung der Röhre zu finden, daß man die Verschiebung dieser beiden Linien maß. Diese Verschiebungen wurden gemessen mittelst zwei, von Hrn. Bréguet angefertigte Fernröhre. Dieselben, befestigt in verlangter Höhe an einer senkrechten Säule, folgten den Bewegungen

der Visirlinien mittelst zweier Mikrometerschrauben mit graduirtem Kopf, welche Tausendstel eines Millimeters angeben. Man findet also die Verlängerungen oder die Veränderungen im Abstände der beiden Visirlinien, indem man die Verschiebung der oberen Linie von der der unteren abzieht.

Die Hauptschwierigkeit bei diesen Versuchen entspringt aus Temperatur-Veränderungen; denn diese hermetisch verschlossenen Apparate stellen wahrhafte Thermometer dar, und jede Temperaturveränderung ist eine Fehlerquelle beim Messen der Volumsveränderungen.

Freilich ist die Masse des Apparats zu beträchtlich als das die Temperaturveränderungen, welche während der kurzen Dauer des Versuchs etwa stattfinden, einen merklichen Einfluss haben könnten; allein dafür haben diese Thermometer einen gleichsam täglichen Gang, einen steigenden bis zu einer gewissen Tagesstunde und darauf einen fallenden. Dieser regelmässige Gang influencirt die Resultate in merklicher Weise, indem er in der ersten Periode die Senkungen verringert und alle Erhöhungen des Niveaus um dieselbe Gröfse vermehrt; in der zweiten Periode wirkt dieser Einfluss umgekehrt. Dadurch ist es leicht, diese Fehlerquelle zu eliminiren, indem man den Verlängerungs- und den Verkürzungsversuch durch Auflegen und Abnehmen der Last immer und zwar rasch hintereinander wiederholt.

Da einer der beiden Werthe stets um dieselbe Gröfse zu groß ist als der andere zu klein, so giebt das Mittel aus ihnen den berichtigten Werth der Niveau-Veränderung und man wird aus den folgenden Tafeln ersehen, dass diese Mittel fast zusammenfallen, ungeachtet die rohen Beobachtungen beträchtliche Unterschiede unter einander zeigen.

Die äufsern Durchmesser der Messing- und Glasröhren wurden an verschiedenen Punkten der Länge mittelst des *Sphärometers* gemessen; ihre inneren Capacitäten wurden direct bestimmt, indem man sie leer und voll Wasser wägte; eben so bestimmte man die der drei angewandten Haars-

röhrchen durch Wägung des eine gegebene Länge füllenden Quecksilbers. Zu dem Ende hatte man drei Haarröhrchen von möglichst gleichem Kaliber ausgesucht. Das spezifische Gewicht des angewandten Quecksilbers betrug 13,498 bei 25° C, das des Wassers wurde aus seiner Temperatur berechnet.

Diese Messungen und Wägungen ergaben folgende Resultate:

Tafel IV. — Kalibrirung der Haarröhrchen.

No. der Röhre.	Quecksilbersäule.			Innerer Durchmesser.	Innerer Querschnitt.
	Länge.	Gewicht.	Temperatur.		
1	^m 1,197	^{grm} 2,302	25° C	^{mm} 0,42592	^{cm} 0,14248
2	0,697	1,356	25°	0,42840	0,14413
3	1,017	2,510	25	0,48348	0,18358

Tafel V. — Aeußere Durchmesser der Messing- und Glasröhren an verschiedenen Stellen ihrer Länge.

No. der Röhre.		1.	2.	3.	4.	5.	Mittel.
							mm
Messing	I.	7,454	7,352	7,368			7,391
	II.	9,098	9,154	9,112			9,121
	III.	11,182	11,232	11,198			11,204
Krystallglas	I.	10,168	10,082	10,134	10,072	10,056	10,1024
	II.	9,486	9,518	9,864	9,878	9,905	9,7302
	III.	8,440	8,371	8,244	8,220	8,116	8,2782
	IV.	7,311	7,391	7,424	7,472	7,436	7,4069
	V.	7,984	8,005	7,956	8,000	8,162	8,0214

Tafel VI. — Kalibrirung der Messing- und Glasröhren.

No. der Röhre.	Wassersäule.			Innerer		Wand- dicke.	Quer- schnitt der Wand.
	Länge.	Gew.	Temp.	Durchm.	Quer- schnitt.		
Messing.	^{mm} I. 890,00	^{grm.} 17,027	25°	^{mm} 4,9420	^{cm} 19,182	^{mm} 1,2245	^{cm} 23,722
	II. 944,90	18,181	25	4,9562	19,292	2,0824	46,046
	III. 957,25	18,248	25	4,9332	19,113	3,1354	79,476
Krystall- glas.	I. 916,00	44,776	22	7,8968	48,978	1,1028	31,180
	II. 927,00	37,438	24	7,1794	40,482	1,2754	33,873
	III. 13,00	29,785	25	6,4535	32,710	0,9123	21,111
	IV. 925,00	14,476	18	4,4664	15,668	1,4702	27,423
	V. 928,00	11,148	20	3,9140	12,032	2,0537	38,497

Tafel VII. — Versuche mit den Messingröhren. Messingröhre No. I; Haarröhrchen No. 1. Abstand der Visirlinien 899^{mm},50.

Belast. pro Quadr. Millm. d. Quersch.	Ver- länger. gemess.	Niveau-Veränder.		Mittel f. jede Last.		Mittel für eine Last v. 1 Kilogramm. auf d. □ Millm.	
		beobacht.	bericht. wegen Temp.	Verläng.	Niveau- Verän- derung.	Verläng.	Niveau- veränder.
Kilogramm.	mm	mm					
2,15	{ 0,170 0,180	{ 8,76 6,76	} 7,76	0,175	7,76	0,08140	3,609
4,30	{ 0,350 0,380	{ 15,19 16,29	} 15,74	0,365	15,74	0,08488	3,660
5,91	{	21,20	} 21,27		20,60		3,486
		21,35					
		20,02					
		20,36					
7,00	{ 0,600 0,570	19,83	} 20,33	0,585	26,53	0,08359	3,790
		20,83					
		25,78					
		27,28					
7,52	{	26,98	} 27,20		27,36		3,638
		27,43					
		27,77					
		27,27					
8,60	{ 0,690 0,680 0,650 0,700 0,730 0,700	28,04	} 28,29	0,692	29,29	0,08047	3,406
		28,54					
		30,04					
		30,54					
10,75	{ 0,920 0,900 0,940	38,30	} 38,80	0,920	38,80	0,08558	3,609
		39,30					
		38,80					
		38,80					
12,89	{ 1,080 1,121 1,080 1,088	45,92	} 47,95	1,092	48,04	0,08472	3,727
		49,98					
		44,92					
		51,53					
15,05	{ 1,636 1,669	46,82	} 47,95				
		49,08					
		55,95					
		55,92					
17,19	{ 1,435 1,505	65,21	} 64,71	1,470	64,71	0,08551	3,764
		64,21					
19,34	{ 1,636 1,665	71,83	} 72,03	1,653	72,03	0,08547	3,724
		72,24					

Tafel VII. (Fortstz.) — Versuche mit den Messing-
röhren; Messingröhre No. II; Haarröhrchen No. 2.
Abstand der Visirlinien 897^{mm},75.

Belast. pro Quadr. Millm. d. Quersch.	Ver- länger. gemess.	Niveau-Veränder.		Mittel f. jede Last.		Mittel für eine Last v. 1 Kilogramm. auf d. □ Millm.	
		beobacht.	bericht. wegen Temp.	Verlänger.	Niveau. Verän- derung.	Verläng.	Niveau- verändr.
Kilogramm.	mm	mm					
2,00	0,174	7,72	} 8,18	0,1746	7,95	0,08750	3,975
	0,165	8,65					
	0,163	7,42					
	0,196	8,13					
	0,175	7,54					
3,00		8,26	} 7,90	0,2927	11,47	0,09757	3,823
	0,298	10,41					
	0,288	11,86					
	0,292	11,45					
		12,18					
4,00		14,83	} 14,87	0,3825	14,93	0,09562	3,733
	0,388	14,92					
	0,365	15,24					
	0,387	15,38					
	0,390	14,64					
5,00		14,55	} 14,60	0,4877	19,08	0,09754	3,816
	0,488	19,98					
	0,498	18,24					
	0,483	18,51					
	0,482	19,39					
6,00		18,68	} 19,17	0,5235	22,58	0,08725	3,763
		19,66					
	0,596	21,17					
	0,556	22,56					
	0,505	22,68					
	0,545	22,57					
	0,465	21,00					
	0,474	23,55					
		22,39					
	23,44						
	23,16	} 22,91	0,5235	22,58	0,08725	3,763	
	23,36						

Tafel VII. (Fortstz.) — Versuche mit den Messing-
röhren; Messingröhre No. II.; Haarröhrchen No. 2.
Abstand der Visirlinien 897^{mm},75.

7,00	0,642	25,20	} 26,00	0,6432	26,25	0,09189	3,750
	0,649	26,80					
	0,598	25,40					
	0,666	26,97					
	0,661	25,89					
		26,19					
		27,06					
		26,48					
		26,48					
	26,48						

Belast. pro Quadr. Millm. d. Quersch.	Ver- länger. gemess.	Niveau-Veränder.		Mittel f. jede Last.		Mittel für eine Last v. 1 Kilogramm auf d. □ Millm.	
		beobacht.	bericht. wegen Temp.	Verlänger.	Niveau- Verän- derung.	Verläng.	Niveau- verändr.
Kilogramm.	mm	mm					
8,00	0,722	29,55	} 30,09	0,7473	30,04	0,09341	3,755
	0,786	30,63					
	0,661	27,90	} 29,70				
	0,785	31,50					
	0,794	30,04	} 30,57				
	0,719	31,11					
	0,674	28,80	} 29,81				
	0,784	30,82					
	0,795						
	0,753						
9,00	0,835	33,28	} 34,08	0,8084	34,09	0,08982	3,787
	0,763	34,88					
	0,847	32,65	} 33,83				
	0,848	35,02					
	0,749	33,53	} 34,35				
	35,18						
10,00	0,896	35,88	} 37,37	0,8869	37,61	0,08869	3,761
	0,894	38,86					
	0,910	36,91	} 37,84				
	0,833	38,77					
	0,949	36,69	} 37,51				
	0,872	38,33					
	0,866	36,82	} 37,51				
	0,883	38,21					
	0,884	37,41	} 37,83				
0,882	38,22						

Tafel VII. (Fortstz.) — Versuche mit den Messing-
röhren; Messingröhre No. III; Haarröhrchen No. 3.

Abstand der Visirlinien 899^{mm},58.

2,00	0,205	5,47	} 6,44	0,179	6,135	0,08950	3,068
	0,204	7,42					
	0,159	5,34	} 5,51				
	0,151	5,67					
	0,175	6,51	} 6,71				
	6,91						
	4,74	} 5,88					
	7,02						
3,00	0,284	8,09	} 9,15	0,281	8,982	0,09370	2,994
	0,302	10,21					
	0,250	8,93	} 9,15				
	0,302	9,38					
	0,302	8,51	} 8,75				
	0,283	9,00					
	0,220	8,99	} 8,88				
0,304	8,77						

Belast. pro Quadr. Millm. d. Quersch.	Ver- länger. gemess.	Niveau-Veränder.		Mittel f. jede Last.		Mittel für eine Last v. 1 Kilogramm auf d. □ Millm.						
		beobacht.	bericht. wegen Temp.	Verlänger.	Niveau- Verän- derung.	Verläng.	Niveau- verändr.					
Kilogramm.	mm	mm										
4,00	0,337	11,68	} 12,02	0,361	12,337	0,09025	3,084					
	0,394	12,37										
	0,367	11,22	} 12,62									
	0,382	14,02										
	0,326	11,55	} 12,39									
		13,23										
		11,99	} 12,32									
		12,66										
	5,00	0,467	14,54					} 14,84	0,472	15,012	0,09440	3,002
		0,507	15,14									
0,488		14,50	} 15,13									
0,502		15,76										
0,463		14,18	} 14,99									
		0,509		15,79								
0,442		14,54	} 15,09									
0,400		15,64										
6,00	0,575	17,49	} 19,13	0,562	18,760	0,09366	3,127					
	0,581	20,77										
	0,559	17,28	} 18,13									
	0,552	18,98										
	0,573	18,85	} 19,02									
	0,535	19,19										

Tafel VIII. — Versuche mit Glasröhren; Glasröhre No. I.
Haarröhrchen No. 3. Abstand der Visirlinien 844 Millm.

0,642	0,125	11,36	} 12,42	0,1407	13,097	0,21916	20,400
	0,143	13,48					
	0,163	11,96	} 12,61				
	0,133	13,26					
	0,151	11,19	} 12,37				
	0,138	13,56					
	0,169	13,74	} 13,89				
	0,151	14,04					
	0,129	13,49	} 14,09				
	0,127	14,70					
	0,119	12,63	} 13,24				
	0,140	13,85					
	0,149	12,19	} 12,76				
	0,133	13,34					
		13,11	} 14,03				
		14,96					
	12,06	} 12,46					
	12,86						

Belast. pro Quadr. Millm. d. Quersch.	Ver- länger. gemess.	Niveau-Veränder.		Mittel f. jede Last.		Mittel für eine Last v. 1 Kilogrmm. auf d. □ Millm.	
		beobacht.	bericht. wegen Temp.	Verlänger.	Niveau- Verän- derung.	Verläng.	Niveau- verändr.
Kilogrmm.	mm	mm					
1,106	0,237	24,08	} 23,18	} 0,2348	} 23,386	} 0,21230	} 21,145
	0,237	22,28					
	0,221	23,06	} 23,04				
	0,254	23,02					
	0,226	24,02	} 24,24				
	0,258	24,46					
	0,226	24,32	} 22,63				
	0,219	20,94					
		20,38	} 23,84				
		27,30					
1,427	0,312	32,41	} 31,10	} 0,3275	} 31,030	} 0,22950	} 21,745
	0,319	29,79					
	0,344	29,34	} 30,71				
	0,335	32,08					
		29,21	} 31,28				
		33,36					

Tafel VIII. (Fortstz.) Versuche mit Glasröhren; Glasröhre No. II; Haarröhrchen No. 1. Abstand der Visirlinien 865 Millm.

0,590	{ 0,120 } { 0,110 } { 0,126 }	0,1187		0,20104
durch Zufall zerbrochen.						

Glasröhre No. III; Haarröhrchen No. 1. Abstand der Visirlinien 865 Millm.

0,474	0,126	6,81	} 6,61	} 0,1194	} 6,817	} 0,25190	} 14,392
	0,119	6,41					
	0,140	7,04	} 6,67				
	0,118	6,31					
	0,119	6,40	} 6,40				
	0,107	6,41					
	0,125	8,11	} 7,14				
	0,105	6,18					
	0,138	9,65	} 7,34				
	0,097	5,03					
		9,09	} 6,75				
		4,41					
		8,59	} 6,81				
	5,03						

Tafel VIII. (Fortstz.) Versuche mit Glasröhren; Glasröhre No. III; Haarröhrchen No. 1. Abstand der Visirlinien 865 Millm.

Belast. pro Quadr. Millm. d. Quersch.	Verlänger. gemess.	Niveau-Veränder.		Mittel f. jede Last.		Mittel für eine Last v. 1 Kilogramm auf d. □ Millm.	
		beobacht.	bericht. wegen Temp.	Verlänger.	Niveau-Veränderung.	Verläng.	Niveau veränd.
Kilogramm.	mm	mm					
0,947	0,255	14,90	16,82	0,2330	16,102	0,24604	16,997
	0,249	18,74					
	0,256	15,69					
	0,222	14,89					
	0,214	18,74					
	0,235	15,61					
	0,200	17,59					
		13,63					
		14,61					
		15,97					
	16,46	16,43					
	16,41						

Glasröhre No. IV; Haarröhrchen No. 1. Abstand der Visirlinien 864 Millm.

0,729	0,130	6,58	5,46	0,1460	5,830	0,20028	8,000
	0,166	6,58					
	0,159	6,65					
	0,161	4,28					
	0,141	4,96					
	0,135	5,92					
	0,152	7,25					
	0,139	4,50					
	0,131	6,94					
		4,72					
	4,38	5,90					
	7,42	5,90					
	5,04	5,73					
	6,42	8,95					
1,182	0,226	9,78	8,77	0,2257	9,551	0,19095	8,080
	0,228	8,12					
	0,215	10,73					
	0,223	7,87					
	0,235	13,43					
	0,225	6,23					
	0,228	11,39					
		6, 5					
		12,88					
		5,87					
	10,07	10,18					
	10,29	9,45					
	9,43	9,45					
	9,47	10,56					
	12,99						
	8,13						

Tafel VIII. (Fortstz.) — Versuche mit Glasröhren; Glasröhre No. V; Haarröhrchen No. 1. Abstand der Visirlinien 869 Millm.

Belast. pro Quadr. Millm. d. Quersch.	Ver- länger. gemess.	Niveau-Veränder.		Mittel f. jede Last.		Mittel für eine Last v. 1 Kilogramm. auf d. □ Millm.	
		beobacht.	bericht. wegen Temp.	Verlänger.	Niveau- Verän- derung.	Verläng.	Niveau- verändr.
Kilogramm.	mm	mm					
0,250	0,136	3,32	} 2,36	0,1055	2,730	0,20307	5,2548
	0,077	1,40					
	0,129	2,24	} 2,54				
	0,090	2,84					
	0,119	1,07	} 3,12				
	0,132	5,18					
	0,090	4,06	} 2,88				
	0,099	1,70					
	0,096	3,47	} 3,04				
	0,105	2,62					
	0,084	2,14	} 2,41				
	0,116	2,68					
	0,099	4,05	} 3,10				
		2,16					
	2,18	} 2,39					
	2,60						
0,842	0,146	7,51	} 5,23	0,1620	4,825	0,19248	5,7330
	0,178	2,95					
	0,151	3,56	} 5,12				
	0,138	6,68					
	0,201	3,57	} 4,13				
	0,158	4,69					
		3,35	} 4,82				
	6,29						

Diese Versuche zeigen, daß die Volumsveränderungen so gut wie die Verlängerungen, proportional den Belastungen sind.

Man mußte nun die für jede Röhre erhaltenen Verlängerungen und Niveauveränderungen zuvörderst auf die Einheit der Belastung zurückführen. Um dies mit Genauigkeit zu thun, mußten wir aus den in den beiden letzten Spalten enthaltenen Mitteln die Mittel nehmen. Denn, wenn die Fehlerquellen constant bleiben, so werden die den stärkeren Belastungen entsprechenden Messungen relativ weniger von diesen Fehlern afficirt seyn, als die, welche zu schwächeren Belastungen gehören. Man fand

also das allgemeine Mittel, indem man für jede Röhre die Summe der Verlängerungen und die Summe der Niveau-Veränderungen dividirte, durch die Summe der angewandten Belastungen. Es sind diese beiden Quotienten, die wir mit ΔL und ω bezeichnen.

Seyen also: D = Dichtigkeit der Substanz der Röhre; v_1 = Schallgeschwindigkeit in dieser Substanz; n_1 = Anzahl der doppelten Längsschwingungen in der Sekunde; q = Elasticitätscoefficient; L_1 = gesammte Länge der Röhre; L = Abstand der Visirlinien bei unbelasteter Röhre; ΔL = Verlängerung des Röhrenstücks zwischen den zwei durch die Visirlinien gehenden Querschnitten, bei einer Belastung von 1 Kilogrm. auf das Quadratmillimeter; $\frac{\Delta L}{L}$ = dieselbe Verlängerung auf die Einheit der Länge; S = innerer Querschnitt der Röhre; U = Volum des hohlen Cylinders zwischen den beiden Querschnitten, im unbelasteten Zustande; ΔU = Aenderung dieses Volums unter Wirkung einer Last von 1 Kilogramm auf das Quadratmillimeter; $\frac{\Delta U}{U}$ = dieselbe Aenderung auf die Einheit des Volums; s = innerer Querschnitt des Haarröhrchens; w = Senkung des Wasserstands im Haarröhrchen vermöge der Verlängerung ΔL . Wir wollen nun zuvörderst die Elasticitätscoefficienten dieser Röhren bestimmen.

Tafel IX. — Elasticitätscoefficienten, aus der Verlängerung.

Substanz.	No. der Röhre.	$\frac{\Delta L}{L}$	9.
Messing	I	0,000 0939	10645,2
	II	0,000 1015	9855,5
	III	0,000 1035	9664,9
Krystallglas	I	0,000 2596	3852,5
	II	0,000 2324	4302,6
	III	0,000 2873	3481,1
	IV	0,000 2258	4429,0
	V	0,000 2284	4379,1

Bei den Messingröhren nehmen die Elasticitätscoefficienten ab in dem Maasse als deren Wanddicke zunimmt; dies

mufs so seyn, denn da sie aus einem selben Messingstück gezogen wurden, so gingen sie desto öfter durch den Drahtzug und erlitten folglich desto gröfsere Verdichtungen als sie dünner wurden. Diese Coëfficienten nähern sich übrigens sehr den Zahlen 9277 und 9394, welche ich früher aus der Verlängerung zweier Messingdrähte abgeleitet habe ¹⁾.

Die Unterschiede zwischen den Coëfficienten der Glasröhren können herrühren entweder von einer Verschiedenheit in der Zusammensetzung, oder von einer Ungleichheit der Erkaltung oder von einer Unvollkommenheit der Kalibrirung. Ich glaubte sie noch durch die Anzahl ihrer Längsschwingungen prüfen zu müssen, die bekanntlich immer gröfsere Coëfficienten giebt als die Verlängerung.

Tafel X. — Elasticitätscoëfficienten der Krystallglas-Röhren nach deren Längsschwingungen.

No. der Röhre.	D.	L_1 .	n_1 .	v_1 .	q.
I	3,202	0,878	2306,3	12,190	5354,0
II	3,206	0,689	3011,8	12,491	5629,7
III	3,202	0,912	2245,5	12,328	5476,7
IV	3,198	0,908	2281,6	12,471	5597,3
V	3,195	0,874	2348,6	12,356	5189,3

Bei andern Versuchen mit weifsem Krystallglas von Baccarat haben wir, Hr. Chevandier und ich, die folgenden Zahlen gefunden ²⁾:

$$D = 3,330 \quad v_1 = 12,211 \quad q = 5588.$$

Nachdem die Längenveränderungen sonach bewährt worden waren, konnten wir sie mit den Volumsveränderungen vergleichen. Nach Poisson ist

$$\frac{\Delta U}{U} = \frac{1}{2} \cdot \frac{\Delta L}{L}$$

und weil

$$U = LS \quad \text{und} \quad \Delta U = \omega S$$

mufs man finden:

$$\omega S = \frac{1}{2} \Delta L \cdot S.$$

1) *Ann. de chim. et de phys. Sér. III. T. XII. p. 598.* (Ann. Ergänzungsband II. S. 89.)

2) *Ann. de chim. et de phys. Sér. III. T. XIX. p. 134.*

Tafel XI. — Verlängerungen und Volumszunahmen.

No. der Röhre.	S □mm.	s □mm.	ΔL mm.	ω mm.	$\frac{1}{2} \Delta LS$	ωSs	$\frac{1}{3} \Delta LS$
Messingröhren.							
I	19,182	0,14248	0,08450	3,6508	0,81047	0,52017	0,54032
II	19,292	0,14413	0,09109	3,7718	0,87866	0,54363	0,58578
III	19,113	0,18358	0,09308	3,0561	0,88949	0,56104	0,59299
Glasröhren.							
I	48,978	0,18358	0,21908	21,033	5,3650	3,8613	3,5767
III	32,710	0,14248	0,24848	16,997	4,0639	2,4217	2,7093
IV	15,668	0,14248	0,19508	8,051	1,5282	1,1472	1,0188
V	22,032	0,14248	0,19844	5,465	1,1938	0,7786	0,7959

Diese Versuche zeigen einleuchtend die Unrichtigkeit des Poisson'schen Gesetzes, denn die Werthe von $\frac{1}{2} \cdot \frac{\Delta L}{L}$ sind immer sehr bedeutend gröfser als die von $\frac{\Delta U}{U}$, während die von $\frac{1}{3} \cdot \frac{\Delta L}{L}$ wie man sieht, sehr gut mit ihnen übereinstimmen. Zwar sind diese letzteren bei den Messingröhren noch etwas zu groß, allein bei den Glasröhren sind sie abwechselnd zu klein und zu groß. Möglich ist, daß bei den starren elastischen Körpern diese Gleichheit nicht in aller Strenge gültig sey; es ist sogar wahrscheinlich, daß sie bei Körpern, die durch den Drahtzug oder das Streckwerk gegangen sind, folglich aufgehört haben wahrhaft homogene Körper zu seyn, nicht mehr stattfindet. Indes, da die Versuche nur sehr kleine Unterschiede ergeben und wir dasselbe Gesetz durch Versuche beim Kautschuk gefunden haben, so können wir es für jetzt als strenge richtig ansehen, und untersuchen, welche Modificationen man an der Theorie anbringen müsse, um sie mit dem Gesetz in Einklang zu bringen.

So modificirt giebt uns die Theorie für mehre besondere Fälle Formeln, die wir mit den Resultaten der Erfahrung vergleichen können und somit zu neuen Verifikationen des angenommenen Gesetzes werden.

(Schluß im nächsten Heft.)

VII. Ueber die Natur der bisher für metallisches Titan gehaltenen Substanz.

(Aus einem Briefe des Prof. Wöhler an den Herausgeber.)

Ich habe Dir eine kleine Entdeckung mitzutheilen, die Dir eben so unerwartet seyn wird, als sie es mir selbst war. Die schönen kupferfarbenen Würfel von Titan, deren Bildung in den Hohöfen so häufig beobachtet wird, sind nicht das, wofür man sie bis jetzt gehalten hat; sie sind nicht ein einfacher, sondern sie sind ein zusammengesetzter Körper. Sie bestehen aus einer Verbindung von Cyantitan mit Stickstofftitan, zusammengesetzt nach der Formel $TiC^2N + 3Ti^3N$, und enthalten in 100 Theilen:

Titan	78,00	oder	{ Titancyanür	16,21
Stickstoff	18,11		{ Stickstofftitan	83,79
Kohlenstoff	3,89			

Die Beweisführung für diese Zusammensetzung findest Du in einer ausführlicheren Abhandlung im Januarheft 1850 der Annalen der Chemie und Pharmacie. Ich will hier nur kurz das Verhalten anführen, wodurch sich dieser Stickstoff- und Kohlenstoff-Gehalt verräthen hat.

Erhitzt man die Würfel in trockenem Chlorgas, so bildet sich liquides Titanchlorid und zugleich in reichlicher Menge ein flüchtiger Körper in kleinen schwefelgelben Krystallen, der eine bisher nicht bekannt gewesene Verbindung von Titanchlorid mit Cyanchlorid ist, die sich auch leicht unmittelbar aus beiden Chloriden hervorbringen läßt.

Schmilzt man feines Pulver von Titanwürfeln mit Kalihydrat, so entwickelt sich reichlich Ammoniakgas unter Bildung von titansaurem Kali.

Glüht man die Würfel in einem Strom von Wassergas, so zersetzen sie dasselbe unter Entwicklung von Wasserstoffgas und Bildung von Ammoniak und von Blausäure.

Die hiebei entstehende Titansäure, bei etwa 300facher Vergrößerung betrachtet, erscheint als eine Aggregation von

mehrentheils wohl ausgebildeten Krystallen, und diese Krystalle haben merkwürdigerweise die Form des Anatas. Es sind spitze Quadratoctaëder, meist mit starker Querstreifung der Flächen, von starkem, diamantähnlichem Glanz, theils farblos, meist aber nelkenbraun: kurz sie sind künstlicher Anatas, mit allen Eigenthümlichkeiten dieses seltenen Minerals.

Die Würfel haben ferner die auffallende Eigenschaft, als Pulver mit den Oxyden von Kupfer, Blei und Quecksilber gemengt und erhitzt, mit starker, sprühender Feuererscheinung und unter Reduction jener Metalle zu verbrennen. Die entstehende Hitze ist so groß und so momentan, daß selbst das Kupfer in einem Glasrohr zu Kugeln zusammenschmilzt. Diese Eigenschaft wurde benutzt zur Bestimmung des Kohlenstoffgehaltes.

Was die Bildung der Würfel in den Hohöfen betrifft, so halte ich es für unzweifelhaft, daß sie mit der in den Hohöfen schon so oft beobachteten Bildung von Cyankalium im Zusammenhang steht. Einige Versuche, die ich in dieser Hinsicht anstellte, scheinen diese Annahme vollkommen zu bestätigen. So gab ein Gemenge von Kaliumeisencyanür und Titansäure, eine Stunde lang Nickelschmelzhitze ausgesetzt, eine braune, ungeschmolzene, poröse Masse, worin man unter dem Mikroskop, untermengt mit metallischem Eisen, überall ein Netzwerk von kupferfarbenen, stark metallisch glänzenden, kurzen Prismen erkannte, die unzweifelhaft aus der Substanz der Würfel bestanden. Nachdem durch Salzsäure das metallische Eisen ausgezogen war, blieb ein braunes, unter dem Mikroskop kupferroth und krystallinisch erscheinendes Pulver zurück, welches alle Reactionen der Würfel zeigte. Auch habe ich die Angabe von Zinken, daß die Würfel in sehr hoher Temperatur flüchtig sind, bestätigt gefunden.

Die Würfel, die zu diesen Versuchen dienten, stammten alle aus dem Hofen zu Rübeldam am Harz, worin neuerlich, wie Hr. Blumenau schätzt ¹⁾, eine Titanmasse

1) Annalen d. Chem. und Pharm. 67. S. 122.

von wenigstens 80 Pfund an Gewicht gefunden worden ist. Ich habe nicht Gelegenheit gehabt, Würfel aus andern Hohöfen zu untersuchen, zweifle aber nicht, daß sie in der Zusammensetzung alle identisch sind.

So lange die Titanwürfel für das reine Titan gehalten wurden, war es bei der Aehnlichkeit der Farbe ein verzeihlicher Irrthum, auch die zuerst von Freund H. Rose aus dem Ammoniak-Titanchlorid dargestellte kupferfarbene Substanz dafür zu halten. Aber dieser Körper ist ebenfalls keineswegs das, wofür man ihn hielt, sondern er ist *Stickstoff-Titan*, enthaltend fast 28 Proc. Stickstoff und zusammengesetzt nach der Formel $Ti^3 N^2$, das heißt wahrscheinlich $2 Ti^3 N^2$, nämlich $3 TiN + Ti^3 N$. Noch erkennt man bei näherer Vergleichung, daß er auch in der Farbe von den Würfeln verschieden ist, die mehr einen Stich ins Gelbe haben. Mit Kalihydrat geschmolzen, giebt er reichlich Ammoniak, und beim Verbrennen an der Luft bilden 100 Theile nicht 166 Th. Titansäure, wie es bei reinem Titan der Fall seyn würde, sondern nur 120 Theile.

Diese ist aber nicht die einzige, isolirt darstellbare Verbindung zwischen Titan und Stickstoff; ich habe gefunden, daß es deren noch zwei andere giebt. Alle diese Verbindungen zeigen, wie die Würfel, die eigenthümliche Erscheinung, als Pulver mit leicht reducirbaren Metalloxyden vermischt und erhitzt, unter sprühender, äußerst heftiger Feuererscheinung sich zu oxydiren und das andere Metall zu reduciren. Alle vertragen eine mindestens bis zur Silberschmelzhitze gehende Temperatur, ohne zersetzt zu werden.

Das Stickstoff-Titan = TiN entsteht durch heftiges Glühen von Titansäure in einem Strom von getrocknetem Ammoniakgas. Als Pulver ist es dunkel violett, mit einem Schein in's Kupferfarbene; in Stücken ist es violett kupferfarben, metallisch glänzend.

Ein Stickstoff-Titan = $Ti^5 N^3$, wahrscheinlich eigentlich = $2 TiN + Ti^3 N$, entsteht, wenn man Rose's Titan ($Ti^3 N^2$) in einem Strom von getrocknetem Wasserstoffgas glüht, wobei ein Theil des Stickstoffs als Ammoniak

weggeführt wird. Es entsteht ferner, wiewohl innig gemengt mit Kohle, jedoch ohne Bildung von Cyantitan, wenn man Titansäure in einem Strom von Cyangas oder von Blausäuredampf glüht. Es ist schön messinggelb, fast goldgelb, und vollkommen metallglänzend.

Du fragst nuu, wie ist denn eigentlich das reine metallische Titan beschaffen? Dieses ist zuerst von Berzelius dargestellt, jedoch nur wenig untersucht worden. Dieses ist der Körper, den er durch Erhitzen von Kaliumtitanfluorür mit Kalium erhielt ¹⁾. Ich habe es auf diese Weise dargestellt, indem ich die unter starker Feuererscheinung statt findende Reduction in einem bedeckten Platintiegel vornahm. Nach dem Auswaschen ist es ein schwarzgraues, nicht krystallinisches Pulver, das auch durch Druck nicht die geringste Kupferfarbe annimmt, sondern unter dem Mikroskop als völlig metallglänzende, zusammengesinterte Klumpen von der Farbe des Eisens erscheint, ganz ähnlich dem durch Wasserstoffgas reducirten Eisen. Beim Erhitzen an der Luft verbrennt es mit der glänzendsten Feuererscheinung zu Titansäure. In eine Flamme gestreut, verbrennt es, noch hoch über der Flamme, mit demselben blendenden Glanz und denselben sternförmigen, sprühenden Funken wie das Uran. In Sauerstoffgas erhitzt, brennt es mit blendendem, blitzähnlichem Feuer auf einmal ab. Mit Mennige vermischt und erhitzt, verbrennt es mit so heftiger Feuererscheinung, daß die Masse wie ein Schufs aus dem Rohr herausgeschleudert wird. Eben so heftig ist seine Verbrennung in Chlorgas, jedoch ebenfalls erst beim Erhitzen. Es ist ein Wasserzersetzendes Metall und wird nicht allein von Salzsäure unter Wasserstoffgas-Entwicklung aufgelöst, sondern fängt auch bei 100° in reinem Wasser an dieses zu zersetzen. Aus der Lösung in Salzsäure fällt Ammoniak ein schwarzes Oxyd, welches beim Erwärmen unter Wasserstoff-Entwicklung zuerst blau und dann zu weißer Titansäure wird.

1) Diese Annalen Bd. IV. S. 3.

VIII. *Ueber die Entfernung des Schwefelwasserstoffs aus Auflösungen bei quantitativen Analysen; von Heinr. Rose.*

Sehr häufig muß man bei der quantitativen Bestimmung des Chlors in Auflösungen die mit demselben verbundenen Metalle durch Schwefelwasserstoff fällen. Wenn man dann in der vom Schwefelmetall abfiltrirten Flüssigkeit die darin enthaltene Chlorwasserstoffsäure durch salpetersaure Silberoxydauflösung als Chlorsilber niederschlagen will, so erhält man durch den in der Auflösung noch befindlichen Schwefelwasserstoff eine Mischung von Chlorsilber und von Schwefelsilber. Durch Erhitzen der Flüssigkeit den Schwefelwasserstoff zu entfernen, ist nicht rathsam, weil dann auch etwas Chlorwasserstoff verflüchtigt werden könnte. In der Mischung das frisch gefällte Chlorsilber von dem Schwefelsilber durch Ammoniak zu trennen, ist umständlich, und macht die quantitative Bestimmung des Chlors minder genau. Ich bediente mich früher einer Auflösung von schwefelsaurem oder salpetersaurem Kupferoxyd, um das aufgelöste Schwefelwasserstoff als Schwefelkupfer abzuscheiden. Es entsteht hierdurch aber ein Verlust an Chlor, da das Schwefelkupfer in Verbindung mit Chlorkupfer als eine unlösliche Verbindung niederfällt ¹⁾. Dasselbe ist aber auch der Fall, wenn die Auflösungen anderer Metalloxyde, welche aus sauren Auflösungen durch Schwefelwasserstoff als Schwefelmetalle abgeschieden werden können oder auch wenn die Hydrate dieser Oxyde angewandt werden. Es bilden sich also hier, wenn ein Ueberschuß des Metalloxydsalzes mit Schwefelwasserstoff in Berührung kommt, ähnliche Verbindungen von Schwefelmetall mit Chlormetall, oder mit Metalloxydsalz, wie man sie schon seit längerer Zeit beim Quecksilber kannte ²⁾.

1) Pogg. Ann. Bd. 75, S. 5.

2) Pogg. Ann. Bd. 13, S. 59.

Nur sind jene Verbindungen hinsichtlich der Farbe von den Schwefelmetallen nicht so verschieden, wie dies bei den Quecksilberverbindungen der Fall ist.

Das beste Mittel, den aufgelösten Schwefelwasserstoff zu zerstören und abzuscheiden, ohne dabei einen Verlust an Chlor befürchten zu müssen, ist, wie ich nach mehreren Versuchen, die kein genügendes Resultat gaben, gefunden habe, eine Auflösung von schwefelsaurem Eisenoxyd, die zu dem Zwecke vorrätig gehalten werden kann. Durch den Zusatz derselben wird durch den aufgelösten Schwefelwasserstoff nur etwas Schwefel abgeschieden, der kein Chlor enthält, und abfiltrirt werden kann. Dann erst wird durch salpetersaures Silberoxyd das Chlor als Chlorsilber gefällt.

XI. Ueber das Meteoreisen von Zacatecas; von Dr. C. Bergemann in Bonn.

Ogleich das Meteoreisen von Zacatecas schon wiederholt beschrieben worden ist ¹⁾, so wird doch eine Analyse desselben bisjetzt vermifst. Ich kam daher der Aufforderung des Hrn. Ober-Bergrath Dr. Burkart, eine solche anzustellen, um so bereitwilliger nach, als ich durch seine Güte eine hinreichende Quantität von den Bohrspähnen dieses Eisens erhielt, welche Derselbe bei der Trennung einiger größerer Stücke in Zacatecas gesammelt hatte.

Burkart's Beschreibung dieses Meteoreisens, mit wel-

1) Sonneschmidt's miner. Beschreibung der vorzüglichsten Bergwerks-
Revire in Mexico S. 192. Chladni über Feuermeteore u. s. w. Wien
1819 S. 336. Gilbert's Annalen Bd. 50. A. v. Humboldt's *Es-
sai politique* Bd. 4. S. 107. Burkart's Aufenthalt in Mexico, Stutt-
gart 1836, Bd. I. S. 389. Partsch die Meteoriten des k. k. Hof-Mi-
neralien-Kabinettes zu Wien 1843. S. 122.

cher die Angaben anderer Schriftsteller im Wesentlichen übereinstimmen, ist folgende:

„Diese Eisenmasse ist an $4\frac{1}{2}$ Fufs rheinl. lang, 1 Fufs 9 Zoll breit und im Mittel 9 Zoll stark. Das spec. Gewicht fand ich = 7,5 und die ganze Masse wäre demnach schwerer als sie von Sonneschmidt angegeben ist, der sie auf 20 Centner schätzt. Ihre Form ist ganz unregelmäßig, doch ohne einspringende Winkel und nicht scharfkantig. Auf der Oberfläche ist sie ziemlich glatt, hat aber mehrere Vertiefungen und ist von vielen Sprüngen und Rissen durchsetzt. Das Eisen der Masse ist geschmeidig, dehnbar und daher nur äußerst schwer zersprengbar. Es scheint sehr vereinzelte Parthien zu enthalten; wenigstens zeigen sich auf polirten Flächen rundliche und eckige Flecken, welche einen metallisch-glänzenden, ins Gelbliche spielenden Strich erlangen. Auf dem Bruch ist es körnig und hakig; mehrere Blätterdurchgänge sind an einzelnen Stellen zu bemerken. Seine Farbe ist lichtstahlgrün, einerseits dem Silberweissen, andererseits dem Dunkelstahlgrün sich nähernd.“

„Bei dem Aetzen entwickeln sich die Widmannstädt'schen Figuren auf dem Eisen von Zacatecas nur schwach und unregelmäßig.“

In diesem Eisen befinden sich $\frac{1}{2}$ bis 1 Lin. im Durchmesser haltende Flecke von gelblich grüner Farbe, welche anscheinend aus Magnetkies bestehen. Auf einer $1\frac{1}{2}$ bis 2 Zoll großen Schnittfläche konnte ich deren nur 5 bis 6 bemerken. Nach Partsch dagegen enthalten die Exemplare der k. k. Sammlung in Wien und besonders ein größeres Stück der berühmten Reichenbach'schen Sammlung neben dem Magnetkies vielleicht auch Schwefelkies, beide gleichsam als netzförmiges Geflecht durch das ganze Meteoreisen verbreitet, und wird diese eingesprengte Schwefelverbindung als Ursache betrachtet, weshalb die Widmannstädt'schen Figuren in diesem Meteoreisen fast gar nicht hervorzubringen sind. Jedoch, nachdem was ich von demselben zu sehen Gelegenheit hatte, scheint mir eine so

allgemeine Verbreitung des Schwefeleisens unwahrscheinlich und konnte ich die Ausscheidung auch immer nur für Magnetkies halten.

Die zur Analyse benutzten Bohrspähne waren ziemlich dünn und vom Rost stark angegriffen; andere daran haftende fremdartige Theile ließen sich sonst nicht bemerken. Die Spähne würden sorgfältigst mit sehr verdünnter Schwefelsäure gereinigt, abgewaschen und bei der Siedhitze des Wassers getrocknet.

Ihr spec. Gewicht war im Mittel aus drei von mir angestellten Wägungen bei $+9^{\circ}$ C. = 7,4891, was also mit Burkart's und Rumler's ¹⁾ Angaben ziemlich übereinstimmt.

Eine vollständige Auflösung des Eisens war durch Säuren nicht zu bewirken. Der in Chlorwasserstoffsäure unlösliche Rückstand betrug nach drei bei der Ausführung der qualitativen Analyse angestellten Wägungen im Mittel 3,78 Proc.

Bei der Auflösung des Eisens wurde zugleich mit dem Wasserstoffgase eine Kohlenverbindung desselben entwickelt; die Kohle in dieser war mithin besonders zu bestimmen. Die Verbrennungs-Methoden von Regnault oder Bromeis konnten dazu nicht angewendet werden, da es mir nicht gelingen wollte das Eisen zu einem so feinen Pulver umzuwandeln, als solches zur Erreichung eines sicheren Resultates bei diesem Verfahren bilden muß, wenn ich nicht Gefahr laufen wollte, das Meteoreisen mit Theilchen von dem zerkleinernden Werkzeugen zu verunreinigen. Ich wählte daher den von Berzelius angegebenen Weg und suchte die mit dem Wasserstoffgase bei der Auflösung von 2,74 Grm. Eisen durch verdünnte gereinigte Schwefelsäure fortgehende Kohle dadurch zu bestimmen, daß dasselbe durch ein mit Kupferoxyd gefülltes erhitztes Rohr geleitet wurde, um, neben dem Wasser, Kohlensäure zu bilden, durch welche in einem mit einer Auflösung von Chlorcalcium und Ammoniak gefüllten Absorptions-Appa-

1) Partsch a. a. O. S. 151.

rate, der an dem Rohr angebracht war, kohlensaurer Kalk gefällt wurde. Nach der weiteren Bestimmung zeigte dieser ein Gewicht von 0,037 Grm. oder 1,359 Proc., was 0,164 Proc. Kohle entspricht. Eine vollständige Auflösung des Eisens hatte indessen auch durch die Schwefelsäure nicht stattgefunden. Es war ein schwarzer Bodensatz nebst kleinen Schüppchen, welche das Ansehen des Graphits besaßen, hinterblieben. Dieser Rückstand wurde nach dem Ausfüßen erst mit Chlorwasserstoffsäure, und, als auch diese ohne weitere Wirkung sich zeigte, mit Königswasser behandelt, wodurch Phosphorsäure und Schwefelsäure in sehr geringer Menge gebildet wurden.

4,79 Grm. Bohrspähne wurden durch Chlorwasserstoffsäure aufgelöst, indem das sich dabei entwickelnde Wasserstoffgas in Bleisolution geleitet wurde, wobei augenblicklich Schwefelblei durch gleichzeitig entstehendes Schwefelwasserstoffgas sich bildete. Das erhaltene Schwefelblei wurde nach der Oxydation mit rauchender Salpetersäure u. s. w. bestimmt und aus dem Gewicht des entstandenen Salzes der Schwefel in den Bohrspähnen zu 0,040 Grm. oder 0,845 Proc. berechnet. Der nach der Gasentwicklung erhaltene Rückstand, auf welchen die Chlorwasserstoffsäure keine Einwirkung weiter zeigte, wurde noch mit Salpetersäure digerirt, um vielleicht abgeschiedenen Schwefel zur Schwefelsäure umzuwandeln. In dieser sauren Auflösung brachte indessen Chlorbaryumsolution kaum eine Trübung hervor und war der Schwefel mithin vollständig als Schwefelwasserstoffgas bei der Auflösung des Eisens entfernt worden.

Für die weitere Untersuchung wurde die Auflösung der 4,79 Grm. benutzt. Aus derselben konnte neben sich abscheidendem Schwefel durch Schwefelwasserstoff nur ein wenig Schwefelkupfer gefällt werden. Die Menge des aus dem Oxyde desselben berechneten metallischen Kupfers entsprach 0,030 Proc.

Nach Entfernung des Schwefelwasserstoffs und vollständiger Oxydation des Eisens wurde die Bestimmung von diesem in der neutral gemachten Flüssigkeit nach bekanntem

Methode durch frisch bereitetes bernsteinsaures Ammoniak vorgenommen. Der Menge des Eisenoxydes entsprach 85,094 Proc. metallisches Eisen.

Die vom bernsteinsauren Eisenoxyd abfiltrirte und durch Eindampfen concentrirte Flüssigkeit wurde nun mit Ammoniumsulfhydrat behandelt um Schwefelnickel und Schwefelkobalt zu fällen, welche weiter nach der von Liebig angegebenen Methode von einander getrennt wurden. Es ergaben sich dabei 0,581 Grm. oder 7,999 Proc. Nickel und 0,032 Grm. oder 0,668 Proc. Kobalt.

In der von den Schwefelmetallen abfiltrirten Flüssigkeit war noch Bittererde enthalten, welche, nach Beseitigung der Schwefelverbindungen u. s. w., durch Bildung der phosphorsauren Ammoniak-Magnesia bestimmt wurde. Das Gewicht des Niederschlages entsprach 0,016 Grm. oder 0,340 Proc. Magnesium.

Der in Chlorwasserstoffsäure nicht lösliche Theil des Meteoreisens, dessen Gewicht = 0,175 Grm. betrug, bestand meistens aus der oben erwähnten braunschwarzen, pulverförmigen Masse, welche nicht viel schwerer als Wasser war und nach dem Aufrühren in demselben sich nur langsam wieder zu Boden senkte, und ferner aus wenigen metallisch-glänzenden Schüppchen. Es gelang vollkommen die leichteren Theile von den schwereren durch einige Tropfen Wasser herunter zu spühlen. Das Gewicht jener war 0,022 Grm.; sie wurden durch Digeriren mit Königswasser nur partiell gelöst und hinterließen einen Rückstand von 0,016 Grm. In der Auflösung fand sich Eisen- und Nickeloxyd und eine Spur Phosphorsäure, Körper, welche auch aus den schwerern metallischen Schüppchen zu erhalten waren; ihr Gewicht muß der Rechnung nach ursprünglich 0,006 Grm. betragen haben. Die unlöslichen 0,016 Grm. verbrannten bei starker Glühhitze, hinterließen jedoch dabei noch einen aus Eisenoxyd bestehenden Fleck und bestanden mithin aus Kohle oder einer an Kohle sehr reichen Verbindung.

Der schwerere Theil des Rückstandes, im Gewicht von 0,153 Grm., wurde mit Salpetersalzsäure anhaltend digerirt, wodurch er sich um 0,079 Grm. seines Gewichts verminderte, indem Eisenoxyd, Nickeloxyd und Phosphorsäure gelöst wurden. Der in Chlorwasserstoffsäure unlösliche Theil der Bohrspähne enthält mithin Eisen und Nickel in Verbindung mit Phosphor. Für eine sichere quantitative Scheidung dieser hielt ich ihre Menge nicht für ausreichend, auch wenn die 0,006 Grm., welche der Kohle zuerst beigemischt waren, hinzugegeben wurden.

Der auch der Einwirkung der Salpetersalzsäure widerstehende Rückstand wog 0,071 Grm. und bestand aus Chromeisen. Er wurde mit ein wenig Salpeter und kohlenurem Natron zusammengeschmolzen und die geschmolzene Masse mit Wasser ausgelaugt, um in der gewöhnlichen Weise qualitativ untersucht zu werden; seine Zusammensetzung wurde bei der Aufstellung der Resultate der Analyse als Fe Cr angenommen.

Zur Bestimmung des Phosphorgehaltes ¹⁾ in diesem Meteoreisen wurden 3,48 Grm. desselben mit Chlorwasserstoffsäure so lange digerirt als diese eine Einwirkung zeigte; der abfiltrirte Rückstand, welcher die Phosphorverbindungen enthielt, darauf mit Salpetersäure behandelt und diese Flüssigkeit wieder von dem aus Kohle und Chromeisen bestehenden unlöslichen Theile gesondert. Aus der Auflösung wurden die Metalle durch Ammoniumsulfhydrat entfernt, die Flüssigkeit angesäuert, gekocht u. s. w., darauf mit Ammoniak übersättigt und die Phosphorsäure durch Chlorcalciumsolution nach dem bekannten Verfahren gefällt. Die Menge des phosphorsauren Kalkes entsprach 0,019 Grm. oder 0,546 Proc. Phosphor.

Die Zusammensetzung des Meteoreisens von Zacatecas ist mithin folgende:

1) Die Bestimmungsweise der Phosphorsäure nach H. Rose, in d. Ann. Bd. 76, war zur Zeit der Ausführung dieser Analyse noch nicht publicirt.

Eisen	4,054	Grm. oder	85,091	Proc.
Nickel	0,474	-	-	9,895
Kobalt	0,032	-	-	0,668
Kupfer	0,001	-	-	0,030
Magnesium	0,009	-	-	0,187
Kohle	0,007	-	-	0,164
Kohle mit wenig Eisen	0,016	-	-	0,334
Phosphoreisen und Nickel	0,079	-	-	1,649
Chrom Eisen	0,071	-	-	1,482
Schwefel	0,041	-	-	0,845
Mangan	Spuren			
	<u>4,783</u>			<u>99,348.</u>

Die Phosphormetalle bestehen aus:

Eisen und Nickel	0,060	} 0,079 od. 1,649 Proc. {	} 1,103
Phosphor	0,019		

Die Hauptbestandtheile dieses Meteoreisens sind also ebenfalls Eisen und Nickel, und zwar annähernd 9 At. Eisen gegen 1 At. Nickel, ein Verhältniß, wie es Rammelsberg in dem magnetischen Theil des Meteorsteins von Klein-Wenden aufgefunden hat, und wie es sich überhaupt bei den meisten Meteoreisen zu wiederholen scheint. Ein so großer Gehalt an Schwefeleisen, wie ihn die oben erwähnten Angaben von Partsch in dieser Masse vermuthen ließen, wird durch die vorstehende Analyse freilich nicht nachgewiesen, die Resultate derselben entsprechen dagegen der äußeren Beschaffenheit derjenigen Stücke, welche ich zu sehen Gelegenheit hatte, vollständig. Magnetkies findet sich nur an einzelnen Stellen abgeschieden und selbst größere Theilchen der Bohrspähne konnten aufgelöst werden, ohne daß sich auch nur eine Spur von Schwefelwasserstoffgas dabei entwickelte, während es durch andere kleinere Theilchen oft augenblicklich reichlich gebildet wurde. Wird die Menge der Schwefelverbindung nach der Quantität des aufgefundenen Schwefels berechnet und die Zusammensetzung des Magnetkieses nach Frankenheim als Fe angenommen, so würde diese 2,269 Proc. Magnet-

kies entsprechen und mithin 83,210 Eisen als mit Nickel vereinigt zurückbleiben.

Das untersuchte Meteoreisen besteht demnach aus;

Nickeleisen	93,77 Proc.
Magnetkies	2,27 -
Chromeisen	1,48 -
Phosphornickel und Eisen	1,65 -
Kohle	0,49 -
	<hr/>
	99,66

Dasselbe steht also hinsichtlich seiner Eisenverbindung dem Meteoreisen von Elbogen ziemlich nahe, enthält aber eine viel gröfsere Menge von Einmischungen, fast 6 Proc., wodurch die Erzeugung der Widmannstaedt'schen Figuren bedeutend erschwert werden mufs.

X. *Mineral-analytische Beiträge; von N. J. Berlin in Lund.*

1. *Sodalith von der Insel Lamö bei Brewig in Norwegen.* Dieses Mineral wurde von Hrn. Esmark aufgefunden und anfangs für Glaukolith angesehen. Es kommt in nieren- oder knollenförmigen Massen im Elaeolith eingeschlossen vor; zuweilen schiefst es wie eine Rinde den Elaeolith ein. Das lavendelblaue Mineral wurde von Hrn. Weibye ¹⁾ gesandt und besteht nach von Borc aus

Kieselsäure	38,86
Thonerde	30,82
Natron	22 03
Kali	0,51
Kalkerde	1,21
Talkerde	0,44
Zinn, Mangan	} Spuren
Wolframsäure	
Molybdänsäure	
Chlor	unbestimmt.
	<hr/>
	93,87

1) Vergl.: „Zur Kenntnifs Norwegischer Mineralien“ in Leonhard und Bronn's Jahrbuch.

2. *Thulit von der Eisengrube Klodeberg bei Arendal in Norwegen.* Herr Weibye fand im Jahre 1843 dieses Mineral in einer Schicht von Magneteisenstein in der vorgeannten Grube, wo es nicht wieder gefunden worden ist. Es sieht dem rothen Mangankiesel sehr ähnlich, ist derb, in Bruche splittrig, von Farbe schön rosenroth. Nach einer von mir ausgeführten Analyse besteht es aus (Spec. Gew. 3,34)

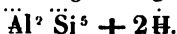
Kieselsäure	40,28	Sauerstoff	20,92
Thonerde	31,84	14,85	} 15,31
Eisenoxyd	1,54	0,46	
Kalkerde	21,42	6,12	} 6,58
Talkerde	0,66	0,25	
Manganoxydul	0,95	0,21	
Vanadinsäure	0,22		
Glühverlust	1,32		
Alkali	unbestimmt.		
	<hr/> 98,23		

Hieraus läßt sich die Formel des Epidots berechnen, dessen rothe Varietät Thulit genannt worden ist.

3. *Pyrophyllit von Westanå.* Der Pyrophyllit vom Ural und von Spaa sind von Hermann und von Rammelsberg mit verschiedenen Resultaten untersucht worden. Da dieses Mineral im Jahre 1844 auch in Schweden, in der verlassenen Eisengrube Westanå in Schonen gefunden wurde, so hat Sjögren dasselbe im hiesigen Universitäts-Laboratorium analysirt. Der fragliche Pyrophyllit kommt in einem Quarz gange neben Eisenglimmer vor, zuweilen in sehr schönen Exemplaren. Das Spec. Gew. 2,78—2,79. Zwei Analysen gaben:

Kieselsäure	67,77	65,61	Sauerst.	34,09
Thonerde	25,17	26,09	}	12,42
Eisenoxyd	0,82	0,70		
Kalkerde	0,66	0,69		
Talkerde	0,26	0,09		
Manganoxydul	0,50	0,09		
Wasser	5,82	7,08		6,29
	<hr/> 101,00	<hr/> 100,35		

Das Mineral war über Schwefelsäure getrocknet. In drei andern Versuchen wurde der Wassergehalt zu 5,62, 5,77, 7,29 gefunden. Die obigen Resultate stimmen mit dem von Rammelsberg erhaltenen gut überein und führen, wenn man die Einmengenungen als Bisilicate in Abzug bringt, zu der von Demselben vorgeschlagenen Formel



Es verdient bemerkt zu werden, daß L. E. Walmstedt (*Min. analytiske Studier. Upsala 1848*) für den kalifreien Agalmatolith aus China dieselbe Zusammensetzung gefunden hat.

4. *Stilbite von Gustafsberg in Jemtland (Schweden) und aus der Barbro-Grube in Norwegen.* Diese Mineralien sind ebenfalls von Sjögren analysirt; die Analysen des bei $+100^\circ$ getrockneten Mineralpulvers geben:

	Gustafsberg.	Barbro-Grube.
Kieselsäure	57,41	58,41
Thonerde	16,14	16,56
Eisenoxyd	0,25	— —
Kalkerde	8,75	7,89
Wasser	16,60	16,53
Talkerde, Alkalien	Spuren	} 0,54
	Talkerde Manganoxydul	
	<hr/> 99,15	<hr/> 99,93

Die meisten der bisher ausgeführten Stilbit-Analysen gaben 18,5 bis 19 Proc. Wasser, während der berechnete Wassergehalt nur 17 Proc. beträgt. Dieses rührt daher, daß das über Schwefelsäure getrocknete Mineral hygroskopisches Wasser zurückhält, welches erst bei $+100^\circ$ ausgetrieben werden kann. Sjögren fand in drei mit dem über Schwefelsäure getrockneten Minerale angestellten Versuchen den Wassergehalt 18,40, 18,10, 18,02; das bei $+100^\circ$ getrocknete zeigte dagegen einen Wassergehalt von 16,80, 16,61, 16,53.

5. *Rother Zeolith von Mora Stenar in der Nähe von Upsala.* Dieser Zeolith, der in den äußern Eigenschaften

dem sogenannten Edelforsit vollkommen ähnlich ist, besteht nach Sjögrens Analyse aus

Kieselsäure	51,61	Sauerst.	26,82
Thonerde	19,06	}	9,81
Eisenoxyd	2,96		
Kalkerde	12,53		3,58
Wasser	14,02		12,46
	<u>100,18.</u>		

Dieses führt ziemlich nahe zu der von Gerhardt für den Laumontit vorgeschlagenen Formel



welche fordert

Kieselsäure	51,53
Thonerde	21,49
Kalkerde	11,92
Wasser	15,06
	<u>100.</u>

Die Analysen ähnlicher Zeolithe sind: I. von Aedelfors (Edelforsit) von Retzius; II. desselben Minerals von Hisinger; III. von Fahlun und IV. von Märtenberg, beide von Hisinger. Diese Analysen gaben

	I.	II.	III.	IV.
Kieselsäure	60,28	53,76	60,0	53,37
Thonerde	15,42	18,47	15,6	16,50
Eisenoxyd	4,16	4,02	1,8	2,36
Kalkerde	8,18	10,90	8,0	13,00
Wasser	11,07	11,23	11,6	10,67
	<u>99,11</u>	<u>98,38</u>	<u>97,0</u>	<u>95,90</u>

Da sowohl Retzius als Hisinger darauf hindeuten, daß die Mineralien nicht frei von eingemengtem Quarz seyen, so ist es bei Vergleichung dieser Analysen mit der obigen nicht unwahrscheinlich, daß alle Mineralien, welche Rother Zeolith, Mehlzeolith, Aedelforsit, Zéolith rouge u. s. w. genannt worden sind, nichts als Laumontit, vielleicht in mehr oder minder verwittertem Zustande sind. Diese Ansicht äußert auch Hisinger in Bezug auf den Zeolith von Fahlun.

XI. *Chemische Untersuchung des Embolits oder Bromchlorsilbers; von C. F. Plattner.*

In diesen Annalen Bd. LXXVII, S. 134, theilt Herr Prof. Breithaupt seine mineralogische Bestimmung des natürlichen Bromchlorsilbers mit und fügt auch das Resultat der von mir unternommenen chemischen Untersuchung dieses Minerals bei, von welcher Untersuchung ich das Speciellere noch anzugeben habe.

Der besondern Güte des auf der Freiburger Bergacademie studirenden Herrn Sewell, aus England, verdanke ich ebenfalls, wie Hr. Prof. Breithaupt, einige Mineralien von der Grube Colorada zu Copiapo in Chile. Unter diesen Mineralien befinden sich drei kleine Stücke, von denen das eine hauptsächlich aus einer zerstörten, eisenoxydreichen erdigen Gangmasse besteht und an der einen Seite mit einem rindenartigen, dunkelbraunen geschmeidigen Ueberzug versehen ist, der sich vor dem Löthrohre wie reines Chlorsilber verhält. Die beiden andern Stücke dagegen bestehen aus einem Gemenge von einem, dem Silberhornerze ähnlichen Minerale und einer zum Theil zerstörten, eisenoxydreichen erdigen Gangmasse; auch zeigt das eine dieser beiden Stücke hie und da kleine Drusen, die aus theils rundlichen, theils krystallinischen meist glänzenden Körnchen, von spargelgrüner Farbe, gebildet sind. Herr Th. Richter fand, als er die letzten beiden Stücke in meinem Laboratorium vor dem Löthrohre prüfte, daß dieselben nicht, wie jenes, reines Chlorsilber, sondern eine Verbindung von Chlorsilber und Bromsilber enthalten. Dies veranlaßte mich, eine genaue chemische Untersuchung dieses Minerals vorzunehmen, um zu ermitteln, in welchem Verhältnisse die Menge des Chlorsilbers zu der des Bromsilbers darin vorhanden sey.

Die Resultate der qualitativen und quantitativen chemischen Untersuchung sind nun folgende.

1. Verhalten vor dem Löthrobre etc.

Auf Kohle schmilzt das von fremdartiger Beimengung freie Mineral sehr leicht, breitet sich aus, und reducirt sich im Reductionsfeuer, unter Entwicklung eines stechenden Bromgeruchs, allmählig zu metallischem Silber. Bei einem Zusatz von Soda wird es sogleich reducirt. Gräbt man die im letztern Falle zum Theil in die Kohle gedrungene alkalische Masse mit dem Messerchen aus, löst dieselbe auf einem kleinen Filtrum in siedend heißem Wasser auf, dampft die klare Auflösung in einem Porcellanschälchen zur Trocknifs ab, und schmelzt das trockne Salz in einem Glaskölbchen mit doppelt schwefelsaurem Kali, so entwickeln sich rothgelbe Bromdämpfe, die, trotz der sich gleichzeitig entwickelnden schwefligen Säure, deutlich an ihrem eigenthümlichen Geruch erkannt werden können.

Schmelzt man einige Körner des Minerals mit doppelt schwefelsaurem Kali in einem Glaskölbchen, so vereinigen sich dieselben zu einem dunkelroth erscheinenden Tropfen, ohne dafs das darüber befindliche flüssige saure Kalisalz merklich gefärbt wird; auch ist eine Entwicklung von gefärbten Dämpfen nicht wahrzunehmen, zum Beweis, dafs das Mineral frei von Jod ist, welches, da Jodsilber sich durch doppelt schwefelsaures Kali zerlegen läfst, violette Dämpfe entwickeln würde. Läßt man das Ganze erkalten, so erstarrt das geschmolzene Mineral zu einer Perle, die ihre dunkelrothe Farbe nach und nach in eine citron- bis schwefelgelbe umändert. Löst man das geschmolzene Kalisalz in Wasser auf und setzt die zurückbleibende gelbe Perle, nachdem ihre Oberfläche mit Fließpapier abgetrocknet worden ist, der Einwirkung des Tageslichtes aus, so färbt sie sich allmählig spargelgrün; sie nimmt also dieselbe Farbe an, welche die krystallinischen Körner des Minerals besitzen. Da die gelbe Farbe des mit doppelt schwefelsaurem Kali geschmolzenen und hierauf erkalteten Minerals weniger intensiv ist, als die des auf dieselbe Weise geschmolzenen Bromsilbers, und das Chlorsilber eben so geschmolzen, nach dem Erkalten eine weisse Farbe besitzt,

so geht daraus hervor, daß das im Minerale befindliche Silber nicht allein an Brom, sondern zum Theil an Chlor gebunden ist.

Schmelzt man kleine Körner des Minerals mit Kupferoxyd auf Kohle in der innern Löthrohrflamme zusammen, so wird die äußere Flamme anfangs grünlich, später aber intensiv grünlichblau gefärbt.

Es ergibt sich demnach aus vorstehendem Verhalten das Resultat, daß das Mineral aus Brom- und Chlor-Silber besteht.

2. Quantitative Bestimmung der Bestandtheile.

Da von den beiden Exemplaren, die mir zur chemischen Untersuchung zu Gebote standen, auf mechanischem Wege nicht so viel reines Bromchlorsilber erlangt werden konnte, als zu einer Analyse erforderlich war, so mußte die nöthige Menge durch Ausschmelzen mit einem reichlichen Zusatz von doppelt schwefelsaurem Kali in einem Porcellantiegel gewonnen worden; welches Verfahren auch ohne Bedenken eingeschlagen werden konnte, da das genannte saure Salz in erhöhter Temperatur auf Brom- und Chlor-Silber nur äußerst schwach, auf Eisenoxyd und erdige Basen dagegen sehr stark auflösend einwirkt. Es wurden dazu reichlich 3 Grm. des mit erdigen Theilen vermengten Minerals im Stahlmörser so weit als möglich zertheilt und davon die reinsten platt gedrückten Theile in einem Porcellantiegel mit einer hinreichenden Menge doppelt schwefelsauren Kalis bei geringer Hitze nur so lange geschmolzen, bis die Oberfläche des flüssigen Salzes sich frei von oben aufschwimmenden Theilen des ausgeschmolzenen Minerals zeigte. Nach dem Erkalten des Tiegels wurde die geschmolzene Masse mit heißem Wasser behandelt, wobei das Bromchlorsilber rein von allen fremdartigen Gemengtheilen in Form einer gedrückten Kugel mit fast rein schwefelgelber Farbe zurückblieb. Die wässerige Auflösung des zum Schmelzen gebrauchten Salzes, in welcher sich fein zertheilte Kieselerde befand, wurde mit viel Was-

ser verdünnt, und mit Chlorwasserstoffsäure versetzt, wobei sich ein wenig Chlorsilber ausschied, welches den Beweis lieferte, daß bei der Schmelzung des Minerals mit doppelt schwefelsaurem Kali ein wenig Chlor- und Bromsilber zerstört worden war. Da indessen die Menge dieses Chlorsilbers gegen die Menge des ausgeschmolzenen Bromchlorsilbers nur äußerst gering war, so konnte dieselbe ohne Bedenken unberücksichtigt bleiben.

Von dem ausgeschmolzenen Bromchlorsilber wurden 1,705 Grm. auf metallischem Eisen reducirt, wozu das Eisen in Form einer kleinen dünnen Platte in einem Porcellangefäß mit Wasser übergossen und dasselbe mit einem Tropfen Chlorwasserstoffsäure angesäuert worden war. Das in dem verdeckt gehaltenen Porcellangefäß reducirte Silber wurde anfangs mit sehr verdünnter Chlorwasserstoffsäure, zuletzt aber mit reinem Wasser gekocht, hierauf getrocknet und geglüht; es wog

1,140 Grm., welche 66,862 Theilen in 100 entsprechen,
die demnach mit 33,138 - Brom und Chlor
zu 100,000 Theilen verbunden waren.

Da nun eine directe Bestimmung des Gehaltes an Brom und Chlor mit Schwierigkeiten verbunden ist, und bei einer so geringen Menge Minerals zu weniger genauen Resultaten führen dürfte, als durch Berechnung nach der, in der 4ten Auflage von H. Rose's Handbuch der analytischen Chemie, Bd. 2, S. 572, beschriebenen, von Berzelius angegebenen Methode, so wurde auch hier zur Bestimmung der genannten beiden Bestandtheile die Berechnung vorgezogen. Diese Berechnung beruht darauf: daß sich die Brommenge zu dem Gewichtsunterschied zwischen dem Gemisch von Bromsilber und Chlorsilber und dem, der gefundenen Silbermenge entsprechenden, Betrag an Chlorsilber verhält, wie das Aequivalent des Broms zur Differenz der Aequivalente des Broms und Chlors.

Die zu einer solchen Berechnung für gegenwärtigen Fall erforderlichen Zahlen sind folgende:

66,862 Theile Silber entsprechen 88,817 Theilen Chlorsilber.

Zieht man von 100,000 Theilen Brom- und Chlorsilber
 diese 88,817 Theile Chlorsilber ab,
 so ergeben sich 11,183 Theile Gewichtsunterschied.
 Das Aequivalent des Broms = 1000,0,
 - - - - - Chlors = 443,3,
 also 556,7 Differenz.

Es verhalten sich nun

$$556,7 : 1000 = 11,183 : x \text{ Theilen Brom;}$$

$$x = \frac{11,183 \cdot 1000}{556,7} = 20,088 \text{ Theile Brom.}$$

Zieht man von den obigen 33,138 Th. Brom und Chlor
 diese 20,088 Th. Brom ab,
 so bleiben 13,050 Th. Chlor.

Das Mineral besteht demnach in 100 Gewichtstheilen
 aus:

66,862	Gewth. Silber =	5 Aeq.	
20,088	- Brom =	2 -	
13,050	- Chlor =	3 -	
100.			

Hieraus ergibt sich die chemische Formel $2 \text{ Ag Br} + 3 \text{ Ag Cl}$, welcher folgende Zusammensetzung entspricht:

Silber 5 Aeq. =	6750	oder	66,964
Brom 2 - =	2000	-	19,841
Chlor 3 - =	1330	-	13,195
	10080		100.

XII. *Ueber die Fessel'sche Wellenmaschine, den neueren Boutigny'schen Versuch und das Ergebnis fortgesetzter Beobachtungen in Betreff des Verhaltens krystallisirter Substanzen gegen den Magnetismus.*

(Aus einem Schreiben des Hrn. Prof. Plücker an den Herausgeber).

Bonn, den 26. Novbr. 1849.

Hiermit übersende ich Ihnen die versprochene Notiz den Fessel'schen Apparat zur Darstellung der Wellen

wegung des Licht-Aethers, welcher bereits seit ein paar Monaten in Ihren Händen ist. Ich habe damit so lange gezögert, weil ich zugleich über einen neuen Apparat, der eben fertig geworden ist, berichten wollte. Herr Wheatstone hat zuerst die sinnreiche Idee gehabt, gleich lange parallele Stäbe, die an einem Ende mit einem Knopfe versehen sind, durch Auflegen und Anstoßen an zwei gleiche Wellenmodelle von Mahagoniholz, die unter einem Winkel von 90° gegen einander gerichtet sind, in eine solche Lage zu bringen, dafs die Aufeinanderfolge der Knöpfe die Form derjenigen Wellen darstellt, die aus den beiden Wellen resultirt. Bringen wir die Wellen-Modelle gegen einander in alle möglichen Lagen, so erhalten wir alle möglichen Formen, die die Lichtwellen in der geradlinien elliptischen und kreisförmigen Polarisirung haben. Dieses konnte bei dem Apparate, den ich bei Herrn Wheatstone im Herbste 1848 sah, durch eine continuirliche Verschiebung *eines* der beiden Modelle geschehen, wonach der Polarisationszustand continuirlich sich änderte. Der Anblick dieses Apparats gab mir sogleich den Gedanken, dafs man *durch gleichzeitige Verschiebung beider Modelle* — nachdem man sie in eine solche gegenseitige Lage, wie sie der Form der Welle in jeder beliebigen Polarisationsart des Lichtes entspricht, fest verbunden hat — die wirkliche *Bewegung* der Aethertheilchen bei dieser Art der Polarisirung darstellen könne. Diese Idee hat Herr Fessel, Lehrer an der Provinzial-Gewerbschule zu Cöln und zugleich ein geschickter practischer Mechaniker, in dem, in Ihren Händen befindlichen, Apparate ausgeführt.

Die Stäbe, die gleich lang und an ihrem obern Ende mit einem kleinen Knopfe versehen sind, stehen senkrecht auf einem nach der Form einer senkrechten Welle gebogenen Messingstreifen, der, auf Eichenholz, an einem Schieber *A* von Mahagoni befestigt ist. Ueber diesem ersten Schieber *A* befindet sich ein zweiter *B*, bestehend aus zwei parallelen horizontalen Messingblechen, in welchen senkrecht über einander zwei sich genau entsprechende, voll-

kommen gleiche Wellenlinien geschnitten sind, durch welche die Stäbe hindurchgesteckt werden. Die einzelnen Stäbe sind von einander durch zwei Lagen paralleler horizontaler Metallstreifen getrennt, so daß sie nur in den Zwischenräumen zwischen denselben, ohne zu viel Spielraum, fortgeschoben werden können. Statt des obern Schiebers *B* kann auch ein Schieber *C* eingesetzt werden, in welchem, statt der beiden eingeschnittenen Wellenlinien, zwei geradlinige Einschnitte gemacht sind.

Wenn man diesen letzten Schieber *C* gebraucht, so erhält man durch Ausziehen und Einstoßen des untern Schiebers *A* die Bewegung einer verticalen Welle polarisirten Lichtes.

Wenn man sich der Schieber *A* und *B* bedient, so erhält man zunächst, durch Verschiebung des einen Schiebers gegen den andern, wie bereits Herr *Wheatstone*, die Form der Lichtwellen in allen möglichen Polarisationsarten, und wenn man dann die beiden Schieber mit einander verbindet und gleichzeitig bewegt, die entsprechende Bewegung der Aethertheilchen selbst.

Um das Entstehen der Wellen im ruhenden Aether zu veranschaulichen, sind noch zwei Schieber, *D* und *E*, hinzugefügt, der eine mit einem Wellenmodell, das in einer Ebene ausläuft, der andere mit Welleneinschnitten, die zuletzt geradlinig werden. Man kann auch die Schieber *A* und *E* oder *D* und *B* combiniren; dann sieht man wie zu einer verticalen Welle eine horizontale, oder zu einer horizontalen Welle eine verticale hinzukommt. Die Combination von *D* und *E* endlich zeigt das Entstehen einer einfachen verticalen Welle.

Der neue oben erwähnte Apparat ist vorzugsweise dazu bestimmt, eine auf einen Krystall auffallende Lichtwelle, zugleich mit der Bewegung der beiden Lichtwellen im Innern des Krystalls, darzustellen. Er ist gewissermaßen aus drei bereits früher beschriebenen Apparaten zusammengesetzt; ein Schieber *F* giebt die Welle in der Luft, und zwei Paare mit einander verbundener Schieber *G* und *H*, *F* und *K*,

geben die beiden Wellen, in welche jene, beim Eintritt in den Krystall, sich theilt. Durch Umbiegen werden die Knöpfe der durch diese beiden Schieberpaare bewegten Nadeln so gerichtet, daß alle, für den Fall der Ruhe, in einer geraden Linie liegen, der gemeinschaftlichen Axe der drei Wellen. Die Bewegung wird durch gezahnte Stangen und drei Räder vermittelt, und ist für die drei Wellen eine verschieden schnelle.

Wenn in jedem Schieberpaare die Phasen der beiden Wellen übereinstimmen, so haben wir den Fall einer Lichtwelle, die auf einen parallel mit der Axe geschnittenen Doppelpath senkrecht auffällt, und deren Ebene mit dem Hauptschnitte einen Winkel von 45° bildet, und sich in zwei senkrecht gegen einander schwingende, geradlinige Wellen auflöst. Die relativen Längen, Intensitäten und Geschwindigkeiten der Wellen sind dem bezeichneten Falle des Doppelpathes annäherungsweise entnommen.

Wenn der Phasenunterschied der beiden Wellen in den Schiebern G und H , so wie in I und K — es kann derselbe ganz beliebig genommen werden — insbesondere $\frac{1}{2}$ Wellenlänge beträgt, so haben wir den Fall einer Lichtwelle, die, nach der Axe in Bergkrystall eintretend, sich in zwei kreisförmig polarisirte, sich rechts und links drehende Wellen zerlegt. Man sieht, wie in dem Falle des Doppelpaths die beiden sich kreuzenden Wellen, hier die mit verschiedenen Geschwindigkeiten sich drehenden rechts und links gewundenen Spiralen im Innern des Krystalls, so wie die Drehung der Polarisations-Ebene, die eine Folge davon ist.

Obgleich ich ziemlich vertraut mit der Theorie der Wellenbewegung des Aethers im Innern der Krystalle bin, so hat der neue Apparat doch sehr dazu beigetragen, mir diese Bewegung anschaulicher zu machen. Es springt zum Beispiel auf den ersten Blick in die Augen, wie die Drehung der Polarisations-Ebene im Bergkrystall der Dicke der senkrecht gegen die Axe geschnittenen Platte proportional ist, und daß, wenn diese Drehung 180° beträgt, die Zahlen der nach der Axe fortschreitenden beiden Lichtwellen in

nerhalb der Platte um eine Einheit verschieden sind. Diese Zahlen seyen daher $(m + 1)$ und m , die entsprechenden Brechungs-Coëfficienten μ' und μ , endlich sey die Dicke der Platte, die die Polarisations-Ebene für eine bestimmte Farbe um 90° dreht, gleich c und die Länge der entsprechenden längern Welle λ , so ist

$$\frac{\mu}{\mu'} = \frac{m + 1}{m}, \quad m\lambda = c,$$

und folglich:

$$\lambda = 2c \left(\frac{\mu}{\mu'} - 1 \right)$$

$$\frac{\mu}{\mu'} = \frac{\lambda}{2c} + 1.$$

Wir können hienach die doppelte Brechung nach der Axe des Bergkrystalls berechnen, und umgekehrt, aus der Messung dieser doppelten Brechung für einen bestimmten Fall, auf neuem Wege die Länge der Lichtwellen für die betreffende Farben bestimmen. Die numerische Verification dieser Formeln würde eine neue Bestätigung der Fresnel'schen Theorie geben. Ich schreibe sie hier blofs hin zur Empfehlung des Apparates, den Herr Fessel genau und elegant ausgeführt hat ¹⁾.

Vielleicht interessirt es Sie, eine Bestätigung der neuesten Versuche des Herrn Boutigny zu erhalten. Um Ostern dieses Jahres hat derselbe, mit gewohnter Freundlichkeit, mir seine frühern Versuche gezeigt und seine seltene Ausdauer in Verfolgung eines fruchtbaren Gedankens bewundernd, nahm ich damals den Eindruck mit hinfort, dafs es sich hiebei um lange noch nicht vollständig enthüllte Naturgesetze handle, worin ich durch die Nachricht von seinen letzten Versuchen nur bestärkt wurde. In Folge einer mündlichen Besprechung dieser Versuche, schrieb mir Herr Fessel aus Cöln, er habe am folgenden Tage seine Finger in möglichst stark erhitztes Blei eingetaucht, der hervorragende Nagel eines Fingers sey dabei verbrannt wor-

1) Herr Fessel hat den Preis dieses Apparates auf 90 Thaler festgestellt. Der einfache Apparat mit den Schiebern *A*, *B* und *C* kostet ⁶ und wenn die Schieber *D* und *E* noch hinzukommen 35 Th

den, sonst aber seyen die Finger ganz unversehrt geblieben; und gleich darauf schrieb er mir weiter, ein Arbeiter in der Maschinenfabrik von Behrens et Comp. zu Cöln habe den Versuch mit geschmolzenem Eisen gemacht und wolle denselben vor mir wiederholen. Dieses Anerbieten annehmend, ging ich in Begleitung mehrerer Personen, die sich für die Sache interessirten, nach Cöln. Der Arbeiter schlug in meiner Gegenwart wirklich mit den nicht benetzten Fingerspitzen, rasch und nicht ohne Aengstlichkeit, gegen die Oberfläche des Eisens, das eben aus dem Schmelzofen in eine Wanne ausgeströmt war und später zum Gusse einer großen Ofenplatte verwendet wurde. Von der Richtigkeit der Boutigny'schen Versuche war ich hienach vollständig überzeugt und als ich eben zu dem Arbeiter hinzutrat, um seine Fingerspitzen genauer zu untersuchen, schlug bereits einer der mich begleitenden beiden Assistenten des physikalischen Kabinetts, mit der vollen flachen Hand, die er zuvor in Wasser getaucht hatte, so stark gegen die hellglühende Oberfläche, daß geschmolzenes Eisen heringeworfen wurde, und gleich darauf schlug auch der andere Assistent mit benetzter Hand hinein. Nach diesen Versuchen, die selbst gegen die von Boutigny angerathenen Vorsichtsmaßregeln, nicht gegen die Masse zu schlagen, angestellt worden waren, schienen Versuche, die ich der Vorsicht wegen, vor dem Eintauchen machen wollte, für diesen Zweck überflüssig; ich benetzte die rechte Hand, steckte den Zeigefinger fast ganz in die geschmolzene Masse und zog ihn, ganz langsam durch dieselbe hinfahrend, nach ein paar Sekunden wieder heraus. Ich fühlte, wie das Eisen vor meinem Finger floh und hatte in demselben *durchaus keine* Empfindung von Hitze ¹).

1) Schon vor länger als 20 Jahren sah Hr. Prof. H. Rose, bei einem Besuche der Hüttenwerke zu Avestad in Schweden, daß ein Arbeiter, für eine geringe Belohnung, flüssiges Kupfer mit der bloßen Hand aus einem Tiegel schöpfte und gegen die Wand warf. Es bestätigt dieß, wie andere Thatsachen, die Hr. Boutigny selbst in seiner (nächstens auch in diesen Annalen erscheinenden) Abhandlung aufführt, daß das erwähnte Phänomen, namentlich in technischen Kreisen, längst kein unbekanntes war. P.

Ich würde die Temperatur des Eisens, die etwa 1500° C. war, nicht auf 36° geschätzt haben, der Finger war beim Herausziehen weniger warm als die übrige Hand. Auch Herr Fessel und meine drei übrigen Begleiter wiederholten unter Modificationen diese Versuche; einer derselben mit trockener Hand, einer bemerkte, wie die zuvor in Wasser eingetauchte Hand, nur so weit trocken herauskam, als sie nicht eingetaucht war, ein dritter schöpfte das Eisen mit der hohlen Hand. Die kleinen Härchen auf den eingetauchten Fingern waren überall verschwunden, die Nägel hatten durchaus nichts gelitten, auch war kein besonderes Eindringen der Wärme durch die Nägel bemerkbar. Die herausgezogene Hand hatte einen schwachen brenzlichen Geruch, der, wo Schwielen vorhanden, stärker war; aber nirgend das geringste Gefühl einer Verbrennung oder auch nur einer unangenehmen Hitze. Gewisse Operationen der niedern Chirurgie würden sich hiernach am schmerzlosesten machen lassen, wenn man den Fuß in ein Bad glühenden Eisens brächte. Zuletzt machte ich noch einen Versuch, dem eigentlich seine Stelle früher bestimmt war: ich hing den Finger eines ledernen Handschuhes, den ich von Innen stark benetzt und um einen Holzstab gezogen hatte, beinahe eine Minute lang in das geschmolzene Eisen: beim Herausziehen war der Handschuh nicht nur nicht verbrannt, sondern auch nur etwa (ein Thermometer stand mir damals nicht zu Gebote) 40° warm.

Vermuthungen und theoretische Ansichten über diese merkwürdigen Erscheinungen, hier schon, ohne weitere Versuche, auszusprechen, würde voreilig seyn. Ich hoffe indefs, Ihnen darüber bald einen Beitrag für die Annalen schicken zu können.

Da eine Uebersetzung meines Briefes, den Herr Faraday in dem *Philosophical Magazine* abdrucken liefs und in welchem ich denselben 1^o, das entgegengesetzte Verhalten der positiven und negativen Krystalle zwischen den Magnetpolen, und 2^o, die permanente Polarität des Cyanits nach

einer der Axenwirkung entsprechenden Richtung, die so stark ist, daß derselbe schon durch die Erde, bei verschiedener horizontaler Aufhängung nach verschiedenen Azimuten sich richtet, zuerst meldete — in den Annalen erschienen ist ¹⁾, so wurde eine von mir beabsichtigte desfallsige Mittheilung für dieselben unnöthig, und das um so mehr, als ich eine allgemeine Uebersicht meiner sämtlichen, auf Magnetismus bezüglichen Beobachtungen in einer academischen Gelegenheitsschrift zum 3. August d. J. bald nachfolgen liefs. Als vorläufige Ergänzung theile ich die folgende Gruppierung verschiedener von mir näher untersuchten Krystalle in Beziehung auf ihr magnetisches Verhalten mit.

Negative einaxige Krystalle.

- | | |
|-----------------|--------------------|
| a) Magnetische: | b) Diamagnetische: |
| Turmalin, | Antimon, |
| Beryll, | Kalkspath. |
| Diopas, | |
| Arsenikblei, | |
| Vesuvian. | |

Positive einaxige Krystalle.

- | | |
|------------------------------|--------------------|
| a) Magnetische: | b) Diamagnetische: |
| Arsenik, | Wismuth, |
| Eisenvitriol ²⁾ , | Quarz (schwach). |
| Zinnstein, | |
| Scapolith von Pargas, | |
| Troostit. | |

Negative zweiaxige Krystalle.

- | | |
|-----------------------|--------------------|
| a) Magnetische: | b) Diamagnetische: |
| Roths Blutlaugensalz, | Antimonglanz, |

1) Ann. Bd. 77, S. 447.

2) Ich rechne den Eisenvitriol hierher, weil er in magnetischer Beziehung sich ganz wie ein einaxiger positiver Krystall verhält, in dem eine einzige Richtung, um die herum Alles symmetrisch ist, von den Polen angezogen wird. Diese Richtung fällt mit derjenigen zusammen, welche zwei der von den beiden auf einander senkrechten optischen Axen gebildeten Winkel halbirt und mit der Hauptsplattungsfläche einen Winkel von 75° macht. In optischer Beziehung bildet der Krystall die Gränze zwischen positiven und negativen.

Staurolith,
Glimmer,
Diopsid,
Wolfram.

Arragonit,
Salpeter.

Positive zweiaxige Krystalle.

- | | |
|--|---|
| <p>a) Magnetische;
Cyanit,
Augit,
Hornblende,
Strahlstein.</p> | <p>b) Diamagnetische:
Kupferglanz,
Bourbonit,
Glaubersalz,
Gyps,
Topas.</p> |
|--|---|

Wie der zweiaxige *Cyanit* nach bestimmter Richtung magnetische Polarität hat und behält, stark genug um durch den Erdmagnetismus sich zu richten, so auch *Augit* und der einaxige magnetische *Zinnstein*. *Eisenglanzkrystalle* von Elba verhalten sich in Beziehung auf Polarität eigenthümlich. Als ich durch die Bemerkung geleitet, das die magnetische Axenwirkung mit dem Magnetismus der Masse in gleichem Maasse zuzunehmen scheint, einen solchen Krystall nahm, um ihn in Beziehung auf Axenwirkung zu prüfen, bemerkte Herr Dr. Beer zuerst, das derselbe in allen Lagen, in welchen er einen Augenblick festgehalten wurde, in Ruhe blieb, wie auch seine Längen-Dimension gegen die Linie der Pole gerichtet war. Ich halte bis jetzt noch diese Erscheinung für die Folge eines bestimmten Grades der magnetischen Coercitiv-Kraft, und ich denke, das man auch dem Stahle eine solche Härte geben kann, das er ebenso sich verhält. Ein durch zwei Spaltungs-Flächen (senkrecht gegen die optische Axe) begränztes dünnes Plättchen aus demselben Krystalle stellte sich, an einem Coconfaden aufgehängt, sehr stark in den magnetischen Meridian, und noch jetzt, nach vier Wochen, macht es sehr rasche Oscillationen um die Gleichgewichts-Lage, wenn ein nicht magnetischer Schlüssel auch nur auf vier Zoll genähert wird. Hierbei begreift man nicht, wie dieses Mineral, mit so vielen andern, für nicht magnetisch gehalten werden konnte.

Zu Anfang dieses Monats ist es mir endlich gelungen, eine Erklärung der von mir an Krystallen beobachteten magnetischen Erscheinungen zu geben und diese Erklärung sowohl durch directe Versuche als durch mathematische Entwicklungen zu unterstützen. Das Paradoxe zum Beispiel, das der Turmalin, zwischen den beiden Polen aufgehängt, der Masse nach angezogen wird und doch vor den Polen flieht, läßt sich einfach auf die Gesetze der gewöhnlichen magnetischen Anziehung zurückführen. Ebenso flieht nämlich ein Eisenstäbchen vor den Polen, wenn es an dem Ende eines Stabes von Messing oder von irgend einer andern, magnetisch ziemlich indifferenten Materie, in seiner Mitte quer befestigt und der Stab so an einem Faden aufgehängt wird, das er um seine Mitte sich horizontal drehen kann.

Ich nehme eine Induction diamagnetischer Ströme an, wie es eine Induction magnetischer Ströme giebt und zeige durch neue Versuche, das ein Wismuthstab in einer Spirale, durch welche ein Strom geht, eine diamagnetische, der magnetischen entgegengesetzte, Polarität erhält. Alle von mir beobachteten Erscheinungen erklären sich alsdann dadurch, das in einem Krystalle, das heisst in seinen Moleculen, einerseits magnetische, andererseits diamagnetische, Polarität — je nach der magnetischen oder diamagnetischen Beschaffenheit der Masse — nach verschiedenen Richtungen mit verschiedener Leichtigkeit, die mit der verschiedenen Elasticität des Aethers zusammenhängt, durch Induction sich entwickelt: in analoger Weise wie zum Beispiel ein Stäbchen weichen Eisens durch Induction leichter zum Longitudinal- als zum Transversal-Magnet wird. Es versteht sich von selbst, das wir die letzte Auffassungsweise auch auf Ampère'sche Molecular Ströme, magnetische und diamagnetische, die in gewissen Ebenen leichter als in andern entstehen und festgehalten werden, zurückführen können.

Wenn Sie den vorstehenden Andeutungen eine Stelle in Ihren Annalen gönnen wollen, so brauche ich mit der Bekanntmachung der mannigfaltigen Resultate, die ich seit meinem Briefe an Herrn Faraday über das magnetische

Verhalten derjenigen Krystalle, die ich mir verschaffen konnte, erlangt habe und die ich gerne noch vervielfältigen möchte, weniger zu eilen und behalte auch die wünschenswerthe Muse, das schon vorliegende verschiedenartige Material zur Begründung meiner theoretischen Auffassungsweise zu redigiren. —

XIII. Ueber die Calina oder den Höhenrauch in Spanien.

(Entnommen aus dem Werke: Zwei Jahre in Spanien und Portugal, von Moritz Willkomm, Bd. III, S. 110.)

Ich sehe mich hier zu einigen Bemerkungen veranlaßt, um den Ausdruck „Höhenrauch“ zu entschuldigen, mit dem ich das spanische Wort „Calina“ übersetzt habe¹⁾). Jener eigenthümliche Dunst nämlich, welchen der Spanier auf diese Weise benennt, hat, glaube ich, gar nichts mit dem Phänomen gemein, was man bei uns Höhenrauch heißt. Letzterer soll bekanntlich von den Moorbränden des Nordens herrühren; wenigstens ist es bei einzelnen Höhenrauchen mit Evidenz nachgewiesen worden. Ob der deutsche Höhenrauch stets ein Resultat des Verbrennens der Haiden und Mooregegenden in Ostfriesland, Oldenburg, den Ostseeländern, Rußland, Scandinavien, Island u. s. w. sey, lasse ich dahingestellt seyn; die südspanische Calina aber wird sicherlich nicht durch dergleichen Brände bewirkt, und dies aus folgenden Gründen: Der deutsche Höhenrauch ist bekanntlich ein vereinzelttes Phänomen. Er erscheint plötzlich, dauert höchstens ein Paar Tage, und verschwindet dann eben so schnell. Er riecht ferner brandig oder besitzt wenigstens irgend einen specifischen Geruch und hüllt auch sehr nahe gelegene Gegenstände in einen blauen Dunst. Ganz anders verhält es sich mit der Calina. Diese ist ein permanenter Nebel, welcher alljährlich den ganzen Sommer hindurch ununterbrochen um den Horizont lagert und den Himmel trübt. Ich habe dieses eigenthümliche Phänomen beide Jahre hindurch beobachtet, und jedes Mal denselben Verlauf wahrgenommen. Die Calina fängt sich Mitte oder Ende des Juni an zu zeigen. Um diese Zeit bildet sie einen schmalen Nebelstreifen von bläulichgrauer Farbe rings um den Horizont. Dieser Nebelring wächst genau in der-

1) *Calina*, wörtlich: *Nebel*.

selben Proportion, als die Hitze steigt, bis er zuletzt von Mitte des August an, wo die Wärme den höchsten Grad erreicht hat, ungefähr ein Viertel des Himmelsgewölbes bedeckt. Um diese Zeit hat dieser Nebel am Horizont eine braunröthliche Farbe. Weiter hinauf geht diese ins Gelbliche über und von seinem Saume aus breitet sich ein durchsichtiger Dunst, wie ein zarter Gazeschleier, über das ganze Himmelsgewölbe aus, welcher das Blau des Himmels trübt und diesem ein bleifarbenes Ansehn verleiht. Hat die Calina diesen Grad erreicht, so verhüllt sie alle Horizonte gänzlich und trübt die Aussicht bis auf eine Entfernung von 3—4 Stunden. Alle näher gelegenen Gegenstände dagegen sind scharf beleuchtet. Dabei habe ich nie die leiseste Spur eines Geruches wahrgenommen, auch ist dies ganz unmöglich, weil man nie in diesen Nebel hineinkommt. Denn je mehr man sich einem so umflorten Gegenstande nähert, desto heller und deutlicher wird er, bis er endlich in einer Entfernung von ein Paar Stunden ganz hell daliegt, und keine Spur mehr von dem Nebel zu sehen ist. Von Ende des August an nimmt die Calina mit der sich verringern den Hitze allmählig ab, bis sie bei den ersten, Ende des Septembers oder Anfang Octobers eintretenden, Aequinoctialstürmen gänzlich verschwindet. Desgleichen verringert sie sich bisweilen plötzlich, wenn einmal ein Gewitter kommt und die Atmosphäre abkühlt, was im Allgemeinen im hohen Sommer sehr selten zu geschehen pflegt. Geschieht es aber, und ich habe dies selbst einige Male erlebt, so zeigt sich die Calina am folgenden Morgen bedeutend zusammengeschrumpft und der Himmel reiner und blauer. Binnen wenigen Tagen erreicht jedoch dieser Nebel wieder seine vorige Ausdehnung. — Ich habe die Calina namentlich in den heißen Ebenen des Guadalquivir, der Mancha, und in der Provinz von Almeria beobachtet, weniger in den Gebirgen. Diese wenigen Bemerkungen werden, hoffe ich, genügen, um zu beweisen, daß der spanische Höhenrauch, oder wie man jenen Nebel nennen will, nimmermehr von Moorbränden herrühren könne. Vielleicht ist er ein Erzeugniß der Hitze, worauf sein regelmäßiges progressives Wachsen und Abnehmen, seine Permanenz und seine plötzliche Verminderung nach Gewittern, hindeuten. Dafür hält ihn auch der gemeine Mann, und nennt ihn deshalb: „*Calina*“.

VII. *Ueber den Mechanismus der elektrischen Entladung; von Peter Riefls.*

In dem Zustande des Leiters, der einen elektrisirten Körper entladet, treten Aenderungen sehr verschiedener Art ein, die aufzusuchen und deren Gesetze festzustellen, eine der fruchtbarsten Aufgaben der Physik genannt werden darf. Die Wirkungen der Entladung auf den entladenden Leiter erregen das höchste Interesse, indem sie durch denselben Apparat Erfolge darbieten, die sonst nur durch die heterogensten Mittel erreicht werden können, sie legen die Aufforderung nahe, den Mechanismus der Entladung selbst zu betrachten und damit das Band zu suchen zwischen den vereinzelt stehenden Wirkungen, den Leitfaden zu neuen experimentellen Untersuchungen. In der That hat, bewußt oder unbewußt, Jeder diese Aufforderung anerkannt, der sich mit der Elektrizität beschäftigt hat, aber die Vorstellungen über den Vorgang bei der Entladung sind nur stückweise vorgetragen, unter experimentellen Ergebnissen, unter mathematischen Erörterungen versteckt, oft gar nur in dem Erstaunen merklich geworden, das der Beobachter über eine neue elektrische Wirkung äußert. Ich will die Vorstellungen, die sich mir bei meinen elektrischen Arbeiten über den Vorgang der Entladung ergeben haben, hier im Zusammenhange geben und dabei die Versuche nennen, von welchen ich ausgegangen bin. Da sichere messende Versuche über die elektrischen Wirkungen nur an der Batterie angestellt worden sind, so bleibt die Betrachtung auf die Entladung der Batterie beschränkt.

Durch den Act der Entladung wird die Batterie unelektrisch, der angelegte Schließungsbogen elektrisch gemacht; beide Vorgänge sind es, die hier getrennt ihrem nähern Verlaufe nach untersucht werden sollen.

Zustand der Batterie während der Entladung.

Der Zustand der Batterie nach der Ladung und Entladung ist leicht mit den elektrischen Messwerkzeugen, hingegen während der Entladung auf keine Weise direct zu ermitteln. Ich schliesse auf diesen Zustand aus der Schlagweite, das heisst aus der grössten Entfernung, in welche das Ende des Schliessungsbogens dem Innern der Batterie oder einem Fortsatze desselben gebracht werden kann, um die Entladung zu veranlassen. Die Versuche haben gezeigt ¹⁾, dass die Schlagweite nicht von der Elektrizitätsmenge q der Batterie abhängt, sondern von $\frac{q}{s}$ ihrer mittleren Dichtigkeit. Diese Dichtigkeit hat aber ein constantes Verhältniss zu der Dichtigkeit des Fortsatzes der Batterie, da dieser gegen die Belegung der Batterie stets sehr klein ist. In der Formel für die Schlagweite $d = b \frac{q}{s}$ ist aber b nur so lange constant, als Grösse und Form des Fortsatzes, an dem die Entladung eintritt, unverändert bleiben. Lässt man das Innere der Batterie in eine Kugel endigen oder in eine Scheibe von gleicher Oberfläche, so ist in dem letzten Falle die Schlagweite grösser als in dem ersten. Messungen in der Torsionswaage haben ferner ergeben ²⁾, dass die Dichtigkeit an einem Punkte einer Scheibe proportional der Schlagweite ist, in welcher die Scheibe gegen einen neutralen Körper hin entladen wird. Daraus folgt, dass die Schlagweite der Batterie allein abhängig ist von der elektrischen Dichtigkeit der Stelle am Fortsatze der Batterie, an welcher die Entladung eintritt. Es ist keinem Zweifel unterworfen, dass wenn man den Fortsatz vom Innern einer Batterie fortgerückt denkt, so dass die elektrische Anordnung auf ihm ungeändert fortbesteht, dieser Fortsatz in derselben Schlagweite entladen werden würde, mit welcher die ganze Batterie entladen wird. Aus diesen Erfahrungen ist zu folgern, dass die Entladung ausgeführt wird durch wiederholte Ladung eines einfachen Leiters an der Batterie, also im Wesentlichen ebenso von Statten geht, wie mit Hilfe von

1) Pogg. Ann. 40. 332.

2) Annalen Bd. 73. S. 382. u. 390.

Franklins Spinne. Jede einzelne Entladung des Leiters ist von einem Funken begleitet, dessen nur augenblickliche Dauer nachweisbar ist. Ob die Ladung des Leiters eine merkliche Dauer hat, kann unentschieden bleiben, da aus Versuchen hervorgeht, daß die Zeit, in welcher die Batterie ihre Elektrizität verliert, durch die Fortschreitung der Entladung im Schließungsbogen bestimmt wird. Es ist daher jede einzelne, von einem Funken begleitete, Entladung des Leiters (Fortsatzes der Batterie) von der nächsten Entladung durch einen Zeitraum getrennt, in welchem die Elektrizitätsmenge der Batterie unverändert bleibt. Trägt man die Elektrizitätsmengen der Batterie auf eine die Entladungszeit vorstellende Abscissenlinie, so wird eine stufenförmige Linie gezeichnet, in welcher die mit der Abscissenlinie parallelen Theile die Zwischenzeiten zwischen den einzelnen Funken darstellen. Was also bei der Entladung als ein einziger längere Zeit andauernder Funken erscheint, ist eine Reihe vieler momentaner Funken, und die Entladung besteht aus einer Menge einzelner *Partialentladungen*.

Die Vorstellung von Partialentladungen, die durch alle Wirkungen der Entladung auf das kräftigste unterstützt wird, stößt auf eine Schwierigkeit, die sich indess sogleich beseitigen läßt. Die einzelnen auf einander folgenden Funken der Partialentladungen gehen bei derselben Entfernung des Fortsatzes der Batterie von dem Ende des Schließungsbogens über (wir wollen in dem Folgenden Fortsatz und Ende kugelförmig annehmen). Nun wird die mit der Batterie verbundene Kugel nach jeder Partialentladung offenbar eine geringere Elektrizitätsmenge von der Batterie erhalten, als sie vorher besaß, und es scheint also eine fortwährende Näherung der Batteriekugel an die des Schließungsbogens nöthig, um nach dem Gesetze der Schlagweite die wiederholten Entladungen zu gestatten. In der That würde dieß geboten seyn, wenn die Luft zwischen den Kugeln unverändert geblieben wäre. Diese Luft hat nach jeder Entladung eine bedeutende Aenderung erlitten, sie ist auseinandergerissen, verdünnt und mit leitenden von den Kugeln losgerissenen

Theilchen erfüllt worden. In solcher Luft hat dieselbe Elektrizitätsmenge auf der Kugel eine grössere Schlagweite, als zuvor, dieselbe Schlagweite wird daher für eine geringere Menge gelten. Dies geht nicht nur aus den Versuchen über die Schlagweite in verdünnter Luft hervor, sondern ist auch direct von Faraday ¹⁾ nachgewiesen worden. Jeder Funke bei den Partialentladungen vermittelt den Durchbruch des zunächst folgenden, so lange als die vorhandene Elektrizitätsmenge hinreicht, bei dem bestehenden Zustande des Luftraumes überzugehen. Ist diese Gränze überschritten, so hört die Entladung auf, es tritt gewöhnliche Luft in den Zwischenraum der Kugeln und diese müssen nun einander um ein großes Stück genähert werden, um die Entladung der noch in der Batterie zurückgebliebenen Elektrizität (des Rückstandes) zu gestatten.

Bei jeder Partialentladung verlieren beide Belegungen der Batterie einen Theil ihrer Elektrizität. Der Ladungszustand besteht in dem bestimmten Verhältnisse 1 zu m das die Elektrizitätsmengen der innern und äußern Belegung der Batterie besitzen. Ist die Menge der innern Belegung von 1 auf $1 - p$ gesunken, so muß zur Bewahrung dieses Verhältnisses die Menge der äußern Belegung von $-m$ auf $-m(1 - p)$ sinken, es muß von ihr also die Menge $-mp$ fortgehen. Jede Partialentladung bewirkt also die Fortschaffung der beiden Elektrizitätsportionen p und $-mp$ aus der Batterie, nach deren Vereinigung im Schließungsbogen die Menge $p(1 - m)$ übrig bleibt, die nothwendig positiv, also mit der Elektrizität der innern Belegung gleichartig ist. Jede Partialentladung und ebenso ihre Summe, die Gesamtentladung, hat die Folge, daß der Schließungsbogen mit der Elektrizitätsart elektrisirt zurückbleibt, die sich im Innern der Batterie befand. Ist der Schließungsbogen nicht isolirt, so verschwindet diese Elektrizität zwar gleich wieder, aber erst nachdem sie ihre Anwesenheit durch eine merkwürdige Erscheinung, die Seitenentladung, bekundet hat. Jede Partialentladung ist von einer Partialseitenentladung

1) *Experiment. research. al.* 1417.

begleitet, welche die naturgemäße Erklärung der Schlagweiten im verzweigten Schließungsbogen liefert ¹).

Zahl der Partialentladungen. Die Zahl der einzelnen Entladungen während einer Gesamtentladung hängt davon ab, wie oft der mit der Batterie verbundene Leiter unelektrisch geworden ist. Die Entladung dieses Leiters tritt bei einer bestimmten elektrischen Dichtigkeit ein, also nachdem der Leiter eine bestimmte Elektrizitätsmenge von der Batterie erhalten hat. Ändert man die Elektrizitätsmenge in der Batterie, indem man ihre Dichtigkeit ungeändert läßt, so bleibt die Schlagweite ungeändert, der Leiter erhält also eine Elektrizitätsmenge, die von der Batterie in weiter Gränze unabhängig bleibt. Der Rückstand von Elektrizität hingegen, der in der Batterie nach der Entladung zurückbleibt, macht stets denselben Theil der Gesamtmenge aus, woraus folgt, daß der Leiter in demselben Verhältnisse öfter entladen worden ist, als die Elektrizitätsmenge der Batterie größer war, das heißt daß die Zahl der Partialentladungen in geradem Verhältnisse zu der Elektrizitätsmenge der Batterie steht.

Schwieriger ist der Einfluß der elektrischen Dichtigkeit in der Batterie auf die Zahl der Partialentladungen von vorn herein festzustellen. Da mit größerer Dichtigkeit die Schlagweite größer wird, also der mit der Batterie verbundene Leiter eine größere Elektrizitätsmenge erhalten muß, um entladen zu werden, so folgt, daß entweder die Zahl der Partialentladungen oder der Rückstand der Batterie mit vergrößerter Dichtigkeit abnehmen muß. In den meisten Fällen scheint das Letztere zu geschehen, doch in so geringem Maße, daß man bei den gewöhnlichen Batterieversuchen von der Veränderlichkeit des Rückstandes absehen kann. Es muß ein Grund vorhanden seyn, die Elektrizitätsmengen zu verringern, welche der Leiter zu den der ersten Partialentladung folgenden Entladungen erhält. Dieser Grund liegt wahrscheinlich in der Größe der Luftveränderung zwischen den entladenden Leitern, die mit der elektrischen Dich-

1) Annalen Bd. 76. 489.

tigkeit in der Batterie zunimmt. Wenn bei der Dichtigkeit 1 die Luft zwischen den Entladern so verändert wird, daß die Elektrizitätsmengen, welche der mit der Batterie verbundene Leiter bei zwei bestimmten aufeinander folgenden Partialentladungen besitzt, sich wie 1 zu $\frac{1}{n}$ verhalten, so ist dießs Verhältniß bei der Dichtigkeit 2 wahrscheinlich ein größeres. Dann wird es geschehen, daß bei anfänglicher größerer Dichtigkeit der Elektrizität in der Batterie, dieselbe Zahl von Partialentladungen ausgeführt wird wie früher und dennoch der Rückstand nur wenig kleiner ausfällt.

Der Einfluß des Schließungsbogens auf die Zahl der Partialentladungen ergibt sich so. Nachdem die Luft zwischen den Entladern durch eine Partialentladung verändert worden, kehrt sie allmähig in ihren natürlichen Zustand zurück, und jede Partialentladung wird die Luft desto entfernter von diesem Zustande finden, je schneller sie der vorhergehenden Entladung gefolgt ist. Jede Partialentladung ist schwächer als die vorangehende, vermag den Luftraum weniger zu ändern, als diese; nach einer gewissen Zahl von Entladungen tritt ein Zustand der Luft ein, bei welchem die noch auf dem Leiter vorhandene Dichtigkeit nicht hinreicht, die Luft zu durchbrechen, so daß die Entladungen aufhören. Bei einer größern Zwischenzeit zwischen den einzelnen Entladungen muß die Luft nach einer bestimmten Anzahl von Partialentladungen denselben Zustand besitzen, den sie bei kleinerer Zwischenzeit erst nach einer größern Anzahl besitzt und daher die Gesamtentladung je nach der Zwischenzeit mit einer verschiedenen Anzahl von Partialentladungen geschlossen werden. Diese Zwischenzeit aber hängt bei gleicher Dichtigkeit der Elektrizität in der Batterie von der Beschaffenheit des Schließungsbogens ab, die in dem Verzögerungswerthe ihren Ausdruck findet. Es ist darnach gewiß, daß die Zahl der Partialentladungen sich mit dem Verzögerungswerthe des Schließungsbogens im entgegengesetzten Sinne ändert. Der Versuch hat indess gezeigt, daß dießs erst dann geschieht, wenn

die Zeit zwischen den Partialentladungen über einen bestimmten Werth hinaus verlängert worden ist. Es ist kein Unterschied in dem Rückstande der Batterie bemerkt worden, als vier Linien oder 5017 Fufs desselben Drahtes in den Schließungsbogen eingeschaltet waren, obgleich dadurch die Zeit zwischen den Partialentladungen im Verhältnisse 1 zu 180612 verlängert wurde. Erst bei Einschaltung einer Wassersäule, welche die Zwischenzeit auf einen bedeutend höhern Werth brachte, fand sich der Rückstand fast doppelt so groß, als früher, woraus zu schliessen ist, daß die Zahl der Partialentladungen abgenommen hatte. — Fassen wir die Bestimmungen über die Zahl der Partialentladungen zusammen: diese Zahl ist gewöhnlich nur von der Elektrizitätsmenge der Batterie, in extremen Fällen auch von der elektrischen Dichtigkeit und der Beschaffenheit des Schließungsbogens abhängig, dann aber stets in der Art, daß mit abnehmender Dichtigkeit und zunehmendem Verzögerungswerthe die Zahl der Partialentladungen *vermindert* wird.

Es ist bisher vorausgesetzt, daß die Batterie durch zwei feststehende Kugeln entladen wird; bewirkt man die Entladung durch Annäherung der beiden Kugeln bis zur Berührung, so wiederholt sich die bisher beschriebene Entladung in verschiedenen Entfernungen, wie ich dieß an einem andern Orte ¹⁾ angegeben habe. Wird sogleich nach der Entladung das Ende des Schließungsbogens von dem Innern der Batterie entfernt, so nimmt diese eine schwache Ladung an, die vorzugsweise unter dem Namen *Residuum* begriffen wird. Diese Ladung rührt davon her, daß ein Theil der angesammelten Elektrizität in das Glas der Batteriefaschen bis zu einiger Tiefe eindringt, und erst nach der Entladung in die Belegungen zurücktritt. Die Stärke des Residuum ist daher von der Natur des Glases abhängig, aus dem die Flaschen gefertigt sind; da das Eindringen und Zurücktreten der Elektrizität Zeit bedarf, so findet man das Residuum am stärksten, wenn die Batterie eine längere

1) Annalen 53. 12.

Zeit geladen und entladen gestanden hat. Dieser Rückstand von Elektrizität ist der Batterie nicht wesentlich, da er nur durch den starren Zwischenkörper zwischen den Belegungen hervorgerufen wird und fortfällt, wenn man Luft an die Stelle des Glases setzt. Ein wesentliches Residuum entspringt aber aus der Natur der Entladung selbst. Die Entladung geschieht mit zwei ungleichen Elektrizitätsmengen, mit der Menge $+l$ die von dem Innern, und $-m$ die von der Außenseite der Batterie fortgeht. Die Summe dieser Mengen $l - m$ vertheilt sich nach den Gesetzen der ruhenden Elektrizität auf den metallischen Theilen der Batterie und auf dem Schließungsbogen, so dafs auch die innere Belegung einen Theil davon erhält. Dieser Theil bringt, wenn nach der Entladung die innere Belegung isolirt worden, eine Ladung der Batterie zu wege, vermehrt also das unwesentliche Residuum. Je gröfser aber die Oberfläche der äufseren Belegung und des Schließungsbogens ist, desto geringer ist jener, der inneren Belegung zukommende, Theil von Elektrizität und man macht ihn daher unmerklich, wenn während der Entladung die äufseren Belegung eine vollkommene Ableitung zur Erde erhalten hat.

Zustand des Schließungsbogens während der Entladung.

Die continuirliche Entladung.

Während die Batterie durch die einzelnen Partialentladungen allmählig ihre Elektrizität verliert, findet in dem Schließungsbogen ein sehr zusammengesetzter Vorgang statt. Vor jeder Partialentladung ist der Schließungsbogen unelektrisch, sein der Batterie nächstes Ende wird durch die Entladung plötzlich elektrisch und die Elektrizität dieses Endes mufs den ganzen Bogen durchlaufen, bevor eine neue Entladung eintreten kann. Die Fortpflanzung der Elektrizität läfst sich so vorstellen. Es seyen auf der Oberfläche des Schließungsbogens eine Anzahl sich berührender Punkte in der kürzesten Linie gelegen, die von einer Belegung der Batterie zur andern gezogen werden kann. Ist der der in-

nern Belegung nächste Punkt durch die Entladung elektrisch geworden, so nimmt der folgende Punkt die Elektrizität auf; die elektrische Dichtigkeit des ersten Punktes sinkt, die des zweiten steigt und zwar so lange bis der zweite Punkt die anfängliche Dichtigkeit des ersten erlangt hat, wonach dasselbe Spiel sich zwischen dem zweiten und dritten Punkte und so fort wiederholt. Ein eigenthümlicher elektrischer Zustand, in einer Zunahme und folgenden Abnahme der elektrischen Dichtigkeit bestehend, wird jeden Punkt jener Linie ergreifen; die Zeit, in welcher eine bestimmte Phase dieses Zustands von einem Punkte zu dem in der Längeneinheit von ihm entfernten Punkte übergegangen ist, bestimmt die *Fortpflanzungsgeschwindigkeit* der Entladung. Dasselbe was für jeden Punkt der Oberfläche des Schließungsbogens, gilt auch für den durch ihn und normal gegen die oben angegebene Linie gelegten Querschnitt des Bogens. Alle Punkte, die zu einem Querschnitt gehören, werden gleichzeitig elektrisch und unelektrisch, und die Fortpflanzung der Partialentladung geschieht in der Masse des Schließungsbogens, indem der bezeichnete elektrische Zustand von einem Querschnitte zu dem in der Richtung der Entladung nächst folgenden übergeht. Es ist für diese Betrachtung gleichgültig, ob die Entladung nur (wie hier der Einfachheit wegen angenommen ist) von der innern zur äußeren Belegung oder zugleich in entgegengesetzter Richtung fortschreitet. Unter jeder von beiden Voraussetzungen ist es klar, daß die Zeit, in welcher der Schließungsbogen nach dem Eintritte einer Partialentladung wieder unelektrisch geworden ist, eine Zeit, die unter *Dauer der Partialentladung* verstanden werden soll, von der *Länge* des Bogens abhängt und von der Fortpflanzungsgeschwindigkeit der Entladung. Diese Geschwindigkeit ist der Dichtigkeit der Elektrizität in der Batterie proportional und ist mit der *Materie* des Schließungsbogens veränderlich. Aber die Dauer der Partialentladung hängt ferner von der *Dicke* des Schließungsbogens ab; dies läßt sich folgendermaßen deutlich machen. Ist der cylindrisch angenommene Schließungsbo-

gen überall von gleicher Dicke, so können wir ihn als aus lauter gleichen Scheiben bestehend denken. Diese Scheiben werden von der Entladung so ergriffen, daß wenn eine Scheibe die elektrische Dichtigkeit der in der Richtung der Entladung vorangehenden erreicht hat, diese selbst unelektrisch geworden ist. Die Dauer der Partialentladung wird also hier durch die Zeit bestimmt, in welcher eine gegebene Anzahl von gleichen Scheiben einmal elektrisch gemacht wird. Nun sey ein Stück des Schließungsbogens von geringerem Durchmesser als der übrige Theil, bestehe also aus kleineren Scheiben. In einem Zeitmomente der Entladung wird die letzte große Scheibe elektrisch seyn, die von der sie berührenden kleinen Scheibe entladen wird. Hat die kleine Scheibe die anfängliche Dichtigkeit der großen erlangt, so geht nach der obigen Bemerkung die Entladung in der Reihe der kleinen Scheiben weiter und zwar mit derselben Geschwindigkeit, die sie in der Reihe der großen Scheiben besaß. Aber hiermit kann die Dichtigkeit der großen Scheibe nicht auf Null gekommen seyn, da die kleine Scheibe zu gleicher Dichtigkeit eine geringere Elektrizitätsmenge bedarf als die große, es wird daher eine zweite Ladung der kleinen Scheibe eintreten, die mit geringerer Dichtigkeit und daher mit geringerer Fortpflanzungsgeschwindigkeit vollendet ist und so fort, bis die große Scheibe alle Elektrizität verloren hat. Es werden also hier, obgleich die Zahl der Scheiben dieselbe ist, wie bei dem überall gleich dicken Drath, diese Scheiben öfter elektrisch werden müssen, um die ganze vorhandene Elektrizitätsmenge zu erschöpfen. Der Einfluß des dünnern Schließungsdraths ist daher derselbe wie der eines längeren auf die Dauer der Partialentladung, die in beiden Fällen vergrößert wird.

Nach dem Vorhergehenden läßt sich bestimmen, daß die Dauer der einzelnen Partialentladungen zunehmen wird mit folgenden Größen: mit dem umgekehrten Werthe der Dichtigkeit der Elektrizität in der Batterie, mit der Länge des Schließungsbogens, mit der Verzögerungskraft der Materie des Bogens, mit dem umgekehrten Werthe seines Quer-

schnittes. Dieselben Bestimmungen können aus dem Ausdrucke abgeleitet werden, den ich für die Entladungszeit der Batterie nach meinen Wärmeversuchen aufgestellt habe. Es ist nämlich diese Zeit gesetzt worden $z = (1 + bV) \frac{q}{y}$ wo q die Elektrizitätsmenge in der Batterie bedeutet, y deren Dichtigkeit und $V = \frac{l x}{r^2}$, worin l , x , r Länge, Verzögerungskraft, Halbmesser des Schließungsbogens bezeichnen. Die ganze Entladungszeit ist als das Product der Dauer einer Partialentladung in die Anzahl der ausgeführten Entladungen anzusehen. Diese Anzahl ist nach der obigen Ausführung in weiten Gränzen der Veränderung von V und y , die bei den Wärmeversuchen nie erreicht werden, proportional der Elektrizitätsmenge q und die Dauer einer Partialentladung ist demnach $\frac{1 + bV}{y}$, welcher Ausdruck die obigen Angaben enthält. Begreiflich ist hiermit eine mittlere Dauer gemeint, da in der That die Entladungen wegen fortdauernd abnehmender Dichtigkeit der Elektrizität in der Batterie mit zunehmender Dauer einander folgen müssen.

Dicke und Stoff des Schließungsbogens bestimmen die Zeit, während welcher jeder Querschnitt des Bogens elektrisch bleibt. Diese Zeit ist um so gröfser, je dünner der Bogen ist und aus je schlechter leitendem Stoffe er besteht, indess seine Länge darauf ohne Einfluss bleibt. Die Dauer einer Partialentladung und dadurch die ganze Entladungszeit kann demnach in zwiefacher Weise durch den Schließungsbogen verlängert werden, einmal indem eine gröfsere Anzahl von Querschnitten elektrisch gemacht, das andere Mal, indem dieselbe Zahl eine längere Zeit hindurch elektrisch erhalten wird. Man kann leicht durch Wahl des Stoffes und der Dimensionen des Schließungsbogens die Dauer der Partialentladung ungeändert lassen und dabei die Zeit beträchtlich ändern, während welcher jeder Querschnitt elektrisch bleibt. Dies wird der Fall seyn wenn man den Verzögerungswertb $\frac{l x}{r^2}$ constant setzt und l , x , r

ändert. Für die meisten Wirkungen der Entladung, die nur von der Entladungsdauer abhängen, ist diese Aenderung völlig gleichgültig. Sie ist bisher nur bei der Magnetisirung von Stahlnadeln durch den Schließungsbogen merklich geworden, indem man ganz verschiedene Magnetisirungsgruppen gefunden hat, je nach der Dicke und dem Stoffe gleichwerthiger Schließungsdrähte¹⁾).

Die Entladungszeit der Batterie wird durch den Inhalt des Querschnittes des Schließungsbogens bestimmt, ohne daß seine Peripherie in Anschlag käme. Die Wirkungen der Entladung hängen bei einem Schließungsbogen von bestimmter Länge von der Masse und nicht von der Oberfläche ab. Man kann sich hiervon überzeugen, wenn man von zwei gleichen Drähten den einen rund läßt, den andern platt walzen läßt. Setzt man jeden dieser Drähte in einzelnen Versuchen zu einem Drahte hinzu, in dem die durch die Entladung entwickelte Wärme beobachtet wird, so findet man keinen Unterschied der Wärme bei Anwendung des runden oder platten Drahtes, obgleich letzterer eine größere Oberfläche als der erste besitzt. Dies kann einen Augenblick auffallen, da nach der obigen Erklärung die Wirksamkeit eines zugesetzten Drahtes darin besteht, den durch die Entladung elektrisirten übrigen Theil des Schließungsbogens unelektrisch zu machen, und es bekannt ist, daß wenn ein Leiter durch Mittheilung an einen andern Elektrizität verliert, dieser Verlust von der Größe der Oberfläche des zugesetzten Leiters abhängt, nicht von seiner Masse. Es findet indess der wesentliche Unterschied zwischen beiden Versuchen statt, daß in dem zuletzt erwähnten Falle die Elektrizität des ersten Leiters dadurch vermindert wird, daß ein Theil davon auf dem zugesetzten Leiter zu einer festen Anordnung kommt, in dem Falle der Entladung aber durch Zerstörung dieser Elektrizität, die sich mit der entgegengesetzten Art verbindet. Wo Elektrizität zu einer, wenn auch noch so kurze Zeit andauernden festen Anordnung kommt, bestimmt Form und Ober-

1) Annalen Bd. 9. S. 459. Bd. 69. S. 348.

fläche des zugesetzten Leiters die Menge der aufgenommenen Elektrizität. Dieser Fall kommt nebenbei auch bei der Entladung der Batterie vor. Es ist oben gezeigt worden, daß nicht die ganze im Innern der Batterie befindliche Elektrizitätsmenge im Schließungsbogen ausgeglichen wird und ein kleiner Theil davon übrig bleibt. Dieser Rest ordnet sich auf der Oberfläche des Bogens an und bringt die Erscheinung der Seitenentladung hervor, auf welche Form und Oberfläche des Schließungsbogens von Einfluß sind ¹⁾).

Der bisher beschriebene muthmaßliche Vorgang bei der Entladung ist mit der Bezeichnung *continuirliche Entladung* belegt worden und wird als der normale betrachtet. Die Wirkungen dieser Art der Entladung sind: die Erwärmung, der Magnetismus, die elektrodynamische Bewegung, die Elektrolyse und ein Theil der physiologischen Erscheinungen. Es finden aber noch andere Wirkungen der Entladung im Schließungsbogen statt, namentlich die mechanischen und die mit Lichtentwicklung verbundenen, welche unzweifelhaft auf die nun folgende, von der vorigen gänzlich verschiedene Entladungsweise deuten.

Die discontinuirliche Entladung.

Bei der continuirlichen Entladung in einem homogenen Schließungsdrahte schreitet ein bestimmter elektrischer Zustand von einem Querschnitte zu dem unmittelbar angränzenden gleichmäfsig fort, so daß in gleichen Zeiten gleichviel Querschnitte des Drahtes elektrisch werden. Man denke sich dieß gleichmäfsige Fortschreiten an einem Querschnitte durch irgend eine Ursache gehemmt und diesen Querschnitt zu einer höhern elektrischen Dichtigkeit gebracht, als er sonst erreicht haben würde, so wird ein von ihm entfernter Querschnitt durch Influenz elektrisch und es findet dann in einem Momente eine Ausgleichung der Elektrizitäten beider Querschnitte statt. Das ganze zwischen den beiden

1) Annalen Bd. 76. S. 481.

Querschnitten liegende Stück des homogenen Drahtes wird in einem Augenblicke von der Entladung ergriffen und durchbrochen, gerade so, als ob dies Stück aus einem andern schlechter leitenden Stoffe bestände. Hierdurch ist die Entladung im ganzen Schließungsbogen wesentlich verändert worden. So lange die Dichtigkeit jenes ersten Querschnittes zunimmt, stockt die Entladung in der Richtung nach dem zweiten Querschnitte, und schreitet erst nach dem Durchbruche der hemmenden Schichten weiter fort. Es werden also nicht mehr in gleichen Zeiten gleiche Strecken des Schließungsbogens elektrisch werden. Ferner waren bei der continuirlichen Entladung alle Punkte desselben Querschnittes in demselben elektrischen Zustande, die Fortpflanzung dieses Zustandes geschah also in der Normalen des Querschnittes (Axe des Drahtes). Der plötzliche Durchbruch der Elektrizität kann ebensowohl normal als schief gegen den Querschnitt erfolgen. Diese stofsweise erfolgende Entladung soll als *discontinuirliche* Entladung bezeichnet werden. Um sich eine klare Vorstellung der beiden Entladungsarten zu verschaffen, stapelte man eine Anzahl blanker Metallscheiben zu einer Säule auf und presse sie durch eine Schraube zusammen. In den Schließungsbogen einer, wenn auch stark geladenen Batterie eingeschaltet, wird diese Säule eine continuirliche Entladung durch sich hindurch gestatten, und diese sowohl in der Masse der einzelnen Scheiben als an den Berührungsflächen je zweier Scheiben statt finden. Hebt man aber durch Lösung der Schraube die innige Verbindung der Scheiben auf, oder sind die Scheibenflächen oxydirt, so geschieht die Entladung durch die Scheiben discontinuirlich, wie sich an deutlichen Merkmalen nachweisen läßt. Die Hemmung der Entladung, die hier durch einen vom Schließungsbogen unterschiedenen Stoff (Luft, Oxyd) bewirkt wird, kann auch in einem durchaus homogenen Schließungsbogen eintreten.

Die Dauer jeder Partialentladung und dadurch die der Gesamtentladung wird durch Vertauschung der continuirlichen mit der discontinuirlichen Entladungsweise in zwie-

facher und zwar entgegengesetzter Art verändert. Der Querschnitt, an dem die Intermittenz der Entladung eintritt, bleibt länger elektrisch, als er bei der continuirlichen Entladung war und dadurch wird die Entladungszeit verlängert; in dem Stücke hingegen des Schließungsbogens, das durchbrochen wird, schreitet die Entladung geschwinder als früher vor, was eine Verkürzung der Entladungszeit zur Folge hat. Eine fernere Verkürzung der Entladungszeit wird durch folgenden Umstand hervorgebracht. Bei der continuirlichen Entladung wird die Fortpflanzungsgeschwindigkeit durch die elektrische Dichtigkeit am Ende des Drahtes bestimmt, welche direct von der Dichtigkeit in der Batterie abhängt. Bei der discontinuirlichen Entladung wird die Dichtigkeit und damit die Geschwindigkeit an der Intermittenzstelle, also im Schließungsbogen selbst, vermehrt. So bringt die Einschaltung einer Luftschicht in den Schließungsbogen, die durch Platten begränzt wird, bis zu einer gewissen Dicke der Schicht eine Verkürzung der Entladungszeit zu Wege, weil die Elektrizität an den Rändern der Platten condensirt wird ¹⁾. Je nach dem Ueberwiegen des einen oder andern der angeführten Umstände wird also, wenn statt der continuirlichen Entladung an einer Stelle des Schließungsbogens die discontinuirliche eintritt, die Entladungszeit verkürzt oder verlängert werden. Wenn die betroffene Stelle starr ist, so hat man im Allgemeinen eine Verlängerung, wenn sie flüssig oder luftförmig ist, eine Verkürzung dieser Zeit zu erwarten.

Beide Arten der elektrischen Fortpflanzung, welche die continuirliche und discontinuirliche Entladung begründen, können in jedem, gleichartigen wie ungleichartigen Schließungsbogen eintreten, wie auch dessen Stoff und Dimensionen beschaffen seyn mögen. Die Entladungsart wird durch die Dichtigkeit der Elektrizität in der Batterie bestimmt, dergestalt dafs die Entladung in jedem gegebenen Bogen so lange continuirlich bleibt, als die Dichtigkeit noch nicht eine bestimmte Gröfse erreicht hat. In Betreff der Bezeich-

1) Annalen Bd. 43. S. 79.

nung ist hier jedoch Folgendes zu merken. In den sehr unvollkommenen Leitern (Isolatoren) findet die continuirliche Fortpflanzung der Elektricität so äusserst langsam statt, dafs sie sich durch keine Aenderung im Schliessungsbogen merklich machen läfst und nur aus dem Zustande des elektrisirten Körpers geschlossen wird. In diesem Falle pflegt man das Wort Entladung zu vermeiden und eine andere Bezeichnung wie Elektricitätsverlust, Zerstreung zu gebrauchen. In diesem Sinne wird gesagt, dafs in Glas, Schelllack, Luft u. s. w. die elektrische Entladung nur discontinuirlich stattfindet.

Die Wirkungen der discontinuirlichen Entladung im Schliessungsbogen sind aus den Versuchen zu entnehmen, in welchen diese Entladung künstlich herbeigeführt wurde ¹⁾. Es sind Lichterscheinungen, Schmelzungen, Sprengungen und andere mechanische Wirkungen, die je nach dem Aggregatzustande des Schliessungsbogens sich modificiren. Die starren *guten Leiter*, wie die Metalle, werden durch die discontinuirliche Entladung erschüttert, es werden Theile von ihnen losgerissen, sie erhalten Einbiegungen, glühen, schmelzen und werden in Staub verwandelt. Diese Wirkungen werden bei einem gegebenen Drahte successiv durch Steigerung der Dichtigkeit der entladenen Elektricität hervorgebracht; bei Drähten von verschiedenem Verzögerungswerthe aber desto leichter, je gröfser dieser Werth ist. So erhält man z. B. die Verbiegung eines Drahtes durch eine desto schwächere Ladung, je dünner der Draht ist und je schlechter sein Metall leitet. Zugleich mit dem Eintritte der discontinuirlichen Entladung wird eine Zunahme des Verzögerungswerthes des betroffenen Drahtstückes bemerkt und diese Zunahme beobachtet gewisse, mit den Wirkungen zusammenhängende Perioden, innerhalb welcher der Verzögerungswerth sich nur wenig ändert. So wurde bei den Versuchen die erste bedeutende Zunahme jenes Werthes bei

1) Priestley's Geschichte der Elektric. deutsch S. 440. S. 483. Pogendorff's Annalen Ergänzungsband 1842 S. 309.

bei der sichtlichen Erschütterung des Drahtes bemerkt, eine andere bei dem Eintreten des Glühens und als der Draht schmolz nahm der Verzögerungswerth wieder ab¹⁾). Wenn die Continuität eines Drahtes nicht gelöst wird, wie bei der Verbiegung und dem Glühen, findet man bei Wiederholung eines Versuches für den Schließungsdraht nahe denselben Verzögerungswerth, was, wie die Abhängigkeit des Glühens von der Dicke des Drahtes, beweist, daß die Entladung alle Punkte eines Querschnittes gleichzeitig ergreift, also in der Axe des Drahtes fortschreitet. Bei den höhern Wirkungen ist dieß nicht der Fall, indem dabei der Weg der Fortpflanzung schief gegen die Axe stehen kann, wie die Zerreißung der Drähte in der Richtung der Axe deutlich zeigt.

Die *starren unvollkommenen* Leiter (Halb-, Nichtleiter) werden durch die discontinuirliche Entladung zersprengt und durchbohrt, oft auch theilweise zerschmelzt, wie es bei den guten Leitern geschieht. Doch findet hier ein bemerkenswerther Unterschied statt. Bei den guten Leitern geht die discontinuirliche Entladung, wie die continuirliche, durch die Masse, ohne daß die Oberfläche des Leiters einen Einfluß ausübt. Die unvollkommenen Leiter hingegen leiten durch atmosphärischen Einfluß an ihrer Oberfläche die Elektrizität oft viel besser, als in ihrer Masse und die Entladungen finden theils an der Oberfläche, theils in der Masse selbst statt. Um eine Durchbohrung des unvollkommenen Leiters zu bewirken, muß eine genügend starke Entladung allein durch die Masse geführt werden, und hierzu muß die Dichtigkeit der Elektrizität in der Batterie desto stärker seyn, je schlechter leitend die Masse des Leiters ist; weil die oberflächliche Leitung bei den verschiedenen Isolatoren nicht sehr verschieden ist. Man bedarf daher zur discontinuirlichen Entladung durch die Masse eines Isolators eine desto stärkere elektrische Dichtigkeit, je weniger gut sein Leitungsvermögen ist, während bei den guten Leitern, wie oben bemerkt wurde, das Entgegengesetzte

1) Annalen Bd. 65, S. 526.

stattfindet. Um ein Beispiel zu geben: ein Glimmerblatt wird erst durch Electricität größerer Dichtigkeit durchbohrt, als eine gleich dicke Glastafel, von welchen ersteres in seiner Masse schlechter leitet als letztere, hingegen wird ein Platindraht durch eine kleinere Dichtigkeit zerstört als ein Kupferdraht, obgleich ersterer gleichfalls schlechter leitet als letzterer. Wo die Wirkung der Oberfläche fortfällt, wie bei den flüssigen unvollkommenen Leitern, findet auch bei diesen dasselbe Gesetz statt, das für die guten Leiter gilt: die schlechter leitende Flüssigkeit wird von dem Funken leichter durchbrochen, als die besser leitende. Dafs bei den festen Isolatoren übrigens auch die Festigkeit des Gefüges die elektrische Dichtigkeit bestimmt, die zu ihrer Durchbohrung verlangt wird, ist für sich klar. Der Verzögerungswerth der Isolatoren ist nur bei ihrer Zerstörung merklich, da er vor derselben zu groß ist um durch eine Wirkung im Schließungsbogen bestimmt werden zu können.

Die *tropfbaren* Flüssigkeiten, obgleich im Leitungsvermögen viel weniger von einander verschieden, als die starren Körper, lassen die beiden Entladungsarten zu in derselben Weise, wie diese. Die unvollkommen leitenden Flüssigkeiten geben nur bei discontinuirlicher Entladung eine augenblickliche Entladung der Batterie, die besserleitenden auch bei der continuirlichen. Bei diesen letztern Flüssigkeiten ist der Effect der Entladung sehr verschieden nach der einen oder andern Art, obgleich in beiden Fällen die Batterie ihre Electricität im Augenblicke verliert. Die continuirliche Entladung geschieht ohne Geräusch und Licht, die Flüssigkeit wird elektrolytirt (ihre Bestandtheile treten an bestimmten Stellen auf). Die discontinuirliche Entladung erzeugt in der Flüssigkeit einen Funken, schleudert sie aus einander, zersprengt häufig das Gefäß, darin sie enthalten ist, zersetzt sie an allen Stellen des Durchbruches. Der Verzögerungswerth der Flüssigkeit, der bei der continuirlichen Entladung mit den gewöhnlichen Mitteln unbestimmbar groß war, wird bei der discontinuirlichen sehr

merklich. Es sind hier sehr kleine Unterschiede der elektrischen Dichtigkeit, welche die eine oder andere Art der Entladung veranlassen ¹⁾).

Die *luftförmigen* Stoffe sind so unvollkommene Leiter der Elektrizität, daß in ihnen die *continuirliche* Entladung nicht mehr durch ihre Wirkungen erkannt und daher nicht als Entladung im engern Sinne bezeichnet wird. Die *discontinuirliche* Entladung hingegen findet in ihnen sehr leicht statt und wird durch Verdünnung der Luftart befördert. Die Wirkungen dieser Entladung sind theils mechanischer theils chemischer Natur, indem die Lufttheilchen aus einander geworfen und chemisch verändert werden. Der Verzögerungswerth der durchbrochenen Luftschicht ist dabei ausnehmend klein und wird ferner durch Nebenumstände so verdeckt, daß nicht unbedingt dieser Werth mit der Dicke der Luftschicht zunimmt. Am merkwürdigsten sind der Schall und die eigenthümlichen Lichterscheinungen, von welchen die *discontinuirliche* Entladung in Luftarten stets begleitet wird und die, obgleich sie seit dem Anfange des Studiums der Elektrizität die Aufmerksamkeit der Beobachter erregt und eine große Anzahl von Untersuchungen veranlaßt haben, zu den am wenigsten aufgeklärten Erscheinungen der Elektrizitätslehre gerechnet werden müssen.

II. *Ueber die Scheiben, welche sich beim Zusammenstoßen von zwei Wasserstrahlen bilden und über die Auflösung einzelner Wasserstrahlen in Tropfen; von G. Hagen.*

Wenn zwei gleiche Wasserstrahlen von kreisförmigem Querschnitt so gegen einanderstoßen, daß ihre Axen zusammenfallen, so kann das Wasser nur seitwärts ausweichen, und bei der symmetrischen Wirkung der Kräfte müs-

1) Ann: Bd. 65, S. 534.

sen alle einzelne Wassertheilchen entweder in der Ebene bleiben, welche in dem Punkte, wo der Zusammenstoß erfolgt, die gemeinschaftliche Axe normal schneidet, oder sie müssen sich um dieselbe gleichmäÙig vertheilen. Die Schwere wird freilich auf die spätere Bewegung des Wasser und die Form der schwebenden Masse Einfluß haben, die Wirkung des ersten Stoffes ist aber nach allen Seiten gleich.

Eine solche im Kreise fortgeschleuderte Wassermasse stellt sich innerhalb gewisser Gränzen als eine zusammenhängende, sehr regelmäÙige und spiegelnde, also glatte Scheibe dar. Diese Erscheinung ist schon lange bekannt gewesen und in etwas veränderter Form mehrfach bei Anwendung von Springbrunnen benutzt worden. Savart ¹⁾ stellte darüber zuerst genauere Untersuchungen an, indem er die Durchmesser solcher Scheiben unter verschiedenen Umständen maß, und aus den Beobachtungen einige Beziehungen herleitete, welche zwischen der GröÙe der Scheiben und der Stärke der beiden zusammenstoßenden Wasserstrahlen stattfindet. Eine Erklärung des ganzen Phänomens und namentlich der Nachweis, wie die lebendige Kraft des Wassers bei der Bildung der Scheibe zerstört werde, womit die GröÙe der Scheibe offenbar zusammenhängt, ist indessen bisher nicht gegeben.

Nach Savart's Beobachtungen ist der Radius der Scheibe im äußersten Falle, nämlich bei geringer Geschwindigkeit und großer Dicke der Strahlen, nur etwa der halben Druckhöhe gleich, er bleibt aber gewöhnlich sogar unter dem vierten Theile derselben. Der Weg, den die ringsumher abfallenden Tropfen verfolgen, zeigt deutlich, daß die lebendige Kraft, welche das Wasser in den Strahlen besaß, am Rande der Scheibe großentheils zerstört ist.

Hält man einen Draht in die Scheibe, so vereinigen sich die durch denselben getrennten Wasserfäden nicht wieder. Es bildet sich alsdann ein Ausschnitt, der nicht durch

1) *Mémoire sur le choc de deux veines liquides animés de mouvements directement opposés. Annales de chimie et physique. 1833. Tome LV.*

gerade Linien, oder Radien begränzt ist, vielmehr wird der Winkel, dem dieser Ausschnitt entspricht, nach dem Rande hin inner gröfser, so dafs es scheint, als ob die äufsern Wasserfäden durch eine Seitenkraft nach dem zusammenhängenden Theile der Scheibe hingezogen werden. Wenn die Trennung der Fäden aber seitwärts vom Mittelpunkte einer lothrechten Scheibe erfolgt, so bemerkt man, dafs der obere getrennte Faden, der Richtung der Schwere entgegengesetzt, sogar aufwärts gezogen wird.

Wenn man zwei Drähte oder ein Blech, das mit einem Schlitz versehen ist, in die Scheibe hält; so bleibt der zu beiden Seiten abgeschnittene Theil der Wassermasse von der übrigen Scheibe getrennt, und nimmt eine radiale Richtung an. Besonders auffallend ist es dabei, dafs dieser Strahl weit über den Umfang der Scheibe herausgeht, und wenn man ihn schon in der Nähe der Axe bildet, sogar gleich dem gewöhnlichen steigenden Strahle eine Höhe erreicht, die dem ganzen Wasserdrucke nahe kommt. Die Zerstörung der lebendigen Kraft des Wassers in der Scheibe wird also nicht durch das Zusammenstofsen beider Strahlen veranlafst, sondern erfolgt auf dem Wege von der Axe nach dem Rande der Scheibe.

Diese Wahrnehmungen lassen schon sehr deutlich erkennen, von welcher Kraft die ganze Erscheinung herrührt. Die *Spannung der Oberfläche* des Wassers gestattet nicht, dafs die Masse beim Zusammenstofsen beider Strahlen sich in Tropfen auflöst; sie vereinigt dieselben zur regelmässigen kreisförmigen Scheibe. Sobald letztere aber durch den hineingesteckten Draht unterbrochen wird, so zieht sie die äufsern, von einander getrennten Fäden immer weiter zurück, und endlich ist sie es allein, welche die lebendige Kraft der radial strömenden Wassertheilchen zerstört, indem jedes hinzutretende Element der Wassermasse einen Ring bildet, der bei zunehmender Entfernung von der Axe auf beiden Seiten eine gröfsere Oberfläche annimmt, und sonach in jedem Augenblicke aufs Neue gespannt werden mufs.

Diese an sich gewifs sehr wahrscheinliche Erklärung wird als richtig angesehen werden dürfen, wenn nachzuweisen ist, daß der aus den Capillarerscheinungen hergeleitete Werth der Spannung der Oberfläche des Wassers mit demjenigen übereinstimmt, der in der Scheibenbildung die lebendige Kraft des Wassers zerstört.

Die Spannung ist in jedem kleinen Theilchen der Oberfläche nach allen Richtungen in der Ebene der letztern wirksam. Zerlegt man diese sämtlichen Kräfte auf zwei gegen einander senkrechte Axen, so erhält man die Spannungen in zwei Richtungen, und diese bezeichnen die ganze Summe aller Spannungen an der untersuchten Stelle. Die in meinen frühern Mittheilungen über die Oberfläche der Flüssigkeiten ¹⁾ angegebenen Werthe von T drücken die Summe aller auf eine bestimmte Axe projecirten Spannungen aus. In vorliegenden Falle darf man daher nur die Kräfte untersuchen, die in der Richtung des Bogens oder der Tangente, und in der der Normale oder des Radius wirksam sind.

Die Spannung in der Richtung des Radius ist ohne Einfluß auf die Bewegung des Wassers, weil sie in jedem Ringe, der in die Scheibe tritt, schon vorhanden ist, und sich während der Bewegung desselben nicht merklich verändert. Diese Spannung würde allerdings, wenn der Wasserdruck aufhörte, die Masse der Scheibe nach der Axe hinziehen: während der Erscheinung wird ihr aber durch den dauernden Druck das Gleichgewicht gehalten, und wie eine Feder, die gleichmäfsig gespannt bleibt, gar nicht als Feder wirkt, so kann auch diese Spannung keinen mechanischen Effect äußern. Das Verhältniß ist ganz demjenigen analog, welches sich darstellt, wenn die Oeffnung, aus der ein Wasserstrahl tritt, nicht unmittelbar in dem festen Reservoir angebracht, vielmehr durch einen elastischen Schlauch damit verbunden ist. Während man das Reser-

1) Abhandlungen der mathematischen Klasse der Academie der Wissenschaften in Berlin. 1845 S. 41 und 1846 S. 1. (Ann. Bd. 67, S. 1 und 152 und Bd. 77 S. 449).

voir anfüllt und der Druck sich vergrößert, wird der Schlauch zwar gespannt und ausgedehnt, wozu allerdings ein Theil der lebendigen Kraft des Wassers verwandt wird, so daß der inzwischen austretende Strahl etwas schwächer ist, als er bei fester Verbindung der Ausflußöffnung mit dem Gefäße seyn würde. In gleicher Art wird der Strahl während der Verminderung des Druckes etwas verstärkt werden. Von solchen Uebergängen ist hier aber nicht die Rede, es handelt sich vielmehr nur um den *Beharrungszustand*, und während dieses bleibt die Spannung des Schlauches unverändert: seine Elasticität ist daher vollständig aufgehoben, und der Wasserstrahl wird sich genau in gleicher Weise bilden, wie wenn der Schlauch absolut fest wäre, und keine Elasticität besäße.

Anders verhält es sich mit der in der Richtung des Bogens wirkenden Spannung der Oberflächen. Es leidet keinen Zweifel, auch kann man sich durch Aufstreuen feiner Körnchen leicht davon überzeugen, daß die äußern Theilchen, welche die Oberfläche bilden, sich mit den innern zusammen bewegen. Denkt man aber beide Oberflächen in concentrische Ringe zerlegt; so wird jeder Ring, der Bewegung der innern Masse folgend, sehr schnell von dem Umfange der zusammenstossenden Strahlen nach dem Rande der Scheibe laufen, und indem er sich in entsprechender Weise erweitert, muß seine Spannung immer aufs Neue überwunden werden, was ohne Kraftverlust nicht geschehen kann. Die Spannung eines solchen Ringes in der Richtung des Bogens verursacht einen Druck in radialer Richtung und dieser wirkt als verzögernde Kraft der Bewegung des Wassers entgegen.

T sey die Spannung der Oberfläche in der Breite der Längeneinheit, r der Radius des Ringes und dr seine Breite. Die Spannung in der einen Oberfläche des Ringes ist daher Tdr , und diese bewirkt in einem Ausschnitte, welcher den Winkel φ entspricht, nach einem bekannten Lehrsätze der Mechanik in normaler Richtung einen Druck gleich φTdr . Ein eben so großer Druck bildet sich auf der ge-

genüber liegenden Oberfläche. Der ganze Druck, den dieser Theil des Ringes in der Richtung der Radien oder in der Richtung der Bewegung des Wassers erleidet, ist daher

$$2\varphi T dr.$$

Bezeichnet man die Dicke des Ringes mit b , und das Gewicht der Raum-Einheit des Wassers mit γ , so ist die Masse des untersuchten Theiles des Ringes

$$b\gamma r\varphi dr.$$

folglich die aus dem Drucke hervorgehende verzögernde Kraft

$$\frac{2T}{b\gamma r}.$$

Das Gesetz der Bewegung des Wassers in der Scheibe ist hiernach ausgedrückt durch die Gleichung

$$0 = \frac{d^2r}{dt^2} + 4g \frac{T}{b\gamma r}$$

oder

$$0 = dc + 4g \frac{T}{b\gamma r} dt.$$

worin t und c , wie gewöhnlich, die Zeit und Geschwindigkeit bezeichnen. Nennt man ferner R den Radius der Scheibe, ρ den Radius beider Strahlen, durch deren Zusammenstoßen die Scheibe gebildet wird und v die Geschwindigkeit in diesen Strahlen; so ist die Wassermenge, welche in einer Sekunde in die Scheibe tritt, oder jeden kreisförmigen Querschnitt der Scheibe durchläuft

$$2\rho^2\pi v = 2r\pi bc$$

daher

$$rb = \frac{\rho^2 v}{c}.$$

Die obige Gleichung verändert sich hiernach in

$$0 = dc + \frac{4gT}{\gamma\rho^2 v} c dt$$

oder

$$0 = dc + \frac{4gT}{\gamma\rho^2 v} dr$$

folglich

$$0 = c + \frac{4gT}{\gamma\rho^2 v} r + \text{Const.}$$

Die Constante findet man, wenn man darauf Rücksicht

nimmt, daß in dem Kreise, wo die Scheibenbildung beginnt

$$r = \varrho$$

und

$$c = v$$

ist. Man hat also

$$v - c = \frac{4gT}{\gamma \varrho^2 v} (r - \varrho).$$

Am äußern Umfange der Scheibe ist aber

$$r = R$$

und

$$c = 0.$$

Die Gleichung verwandelt sich daher für diesen Werth von r in

$$v = \frac{4gT}{\gamma \varrho^2 v} (R - \varrho)$$

und man findet endlich

$$R = \frac{v^2 \gamma}{4gT} \varrho^2 + \varrho.$$

Savart schließt aus seinen Beobachtungen, daß die Durchmesser der Scheiben bei gleichen Ausflußöffnungen den Druckhöhen, und bei gleichen Druckhöhen den Flächeninhalten der Ausflußöffnungen proportional sind. Beide Folgerungen finden in der vorstehenden Herleitung ihre Begründung, vorausgesetzt, daß die Halbmesser den Strahlen vergleichungsweise zu denen der Scheiben so klein sind, daß man das letzte Glied vernachlässigen kann, was mit Rücksicht auf die Unsicherheit der Beobachtungen allerdings zulässig ist.

Besonders wichtig ist die Frage, welche Werthe für T sich aus Savart's Beobachtungen ergeben? Man kann den vorstehenden Ausdruck nicht unmittelbar zu diesem Zwecke benutzen, da Savart weder ϱ , d. h. den Durchmesser der zusammenstossenden Strahlen, noch auch v oder die Geschwindigkeit derselben gemessen hat. Für jede einzelne Beobachtung wird dagegen der Durchmesser der Durchflußöffnung und der Wasserdruck über derselben angegeben. Aus der Beschreibung des Apparates ersieht man,

dafs die Ausflufsöffnungen in dünner Wand angebracht waren. In beiden Strahlen fand sonach eine Contraction statt, die man aus vielfachen andern Beobachtungen näherungsweise kennt, der Abstand der Scheibe von der Ausflufsöffnung betrug aber 1,5 Centimeter, war daher mehr, als hinreichend, um die Contraction schon vor dem Zusammenstofse vollständig eintreten zu lassen. Setzt man den Contractions-Coëfficient gleich 0,61, wie die meisten Beobachtungen, namentlich für gröfsere Druckhöhen ergeben, so ist

$$\begin{aligned} \rho &= \frac{1}{2} D \sqrt{0,61} \\ &= 0,39051 \cdot D, \end{aligned}$$

wobei D den Durchmesser der Ausflufsöffnung bezeichnet.

Michelotti's Beobachtungen über den Ausflufs des Wassers aus Oeffnungen in dünner Wand beweisen, dafs die Strahlen, sobald die Contraction eingetreten ist, dieselbe Geschwindigkeit haben, welche Körper annehmen, die vom Horizont des Wasserspiegels im Reservoir bis zur untersuchten Stelle des Strahles herabfallen. Es könnte zweifelhaft seyn, ob man diesen Satz im vorliegenden Falle anwenden darf, da Savart die Strahlen nicht aus den weiten Gefäfsen selbst austreten liefs, vielmehr zwischen diesen und den Ausflufsöffnungen noch kurze Zuleitungsröhren angebracht hatte, in welchen ein gewisser Widerstand sich bildete, auf dessen Ueberwindung ein Theil des Druckes verwandt wurde. Eine nähere Untersuchung zeigt aber, dafs selbst in den ungünstigsten Fällen, welche die Beobachtungsreihen umstofsen, dieser Widerstand in den 20 Centimeter langen und 4,5 Centimeter weiten Röhren so unbedeutend ist, dafs man den entsprechenden Verlust an Druck unbeachtet lassen, und die jedesmalige Druckhöhe als Geschwindigkeitshöhe ansehen kann. Wenn letztere daher durch h bezeichnet wird, so ist

$$h = \frac{v^2}{4g}.$$

Endlich habe ich noch die Aenderung eingeführt, dafs ich

$$\frac{T}{\gamma} = m$$

setze. m bezeichnet alsdann nichts Anderes, als jene Constante, welche, durch den Krümmungshalbmesser dividirt, die Erhebung der Oberfläche in den Capillar-Erscheinungen ausdrückt.

Die obige Gleichung ergibt hiernach

$$m = \frac{h\varrho^2}{R - \varrho}$$

Ich habe aus jeder einzelnen Beobachtung nach diesem Ausdrücke m berechnet, und die gefundenen Werthe in folgender Tabelle zusammengestellt, dabei jedoch diejenigen Beobachtungen ausgeschlossen, welche, eines noch stärkeren Druckes unerachtet, keine Vergrößerung der Scheibe zeigten, wobei also schon die Auflösung in feine Tropfen anfing. Alle Maafse sind in Metern angegeben.

$h.$	$D = 0,003$		$D = 0,004$		$D = 0,006$	
	$2R.$	$m.$	$2R.$	$m.$	$2R.$	$m.$
1,05	0,38	0,00000 7633				
1,00	0,36	7676				
0,95	0,35	7502				
0,90	0,33	0,00000 7541				
0,85	0,32	7346				
0,80	0,30	7379				
0,75	0,28	0,00000 7416	0,47	0,00000 7840		
0,70	0,27	7180	0,45	7645		
0,65	0,25	7206	0,41	7797		
0,60	0,22	0,00000 7569	0,39	0,00000 7570	0,70	0,00000 9473
0,55	0,21	7272	0,34	7969	0,69	8811
0,50	0,19	7316	0,33	7466	0,66	8376
0,45	0,175	0,00000 7156	0,30	0,00000 7399	0,59	0,00000 8440
0,40	0,15	7439	0,26	7601	0,55	8052
0,35	0,135	7245	0,23	7531	0,50	7757
0,30	0,11	0,00000 7653	0,20	0,00000 7439	0,45	0,00000 7395
0,25	0,095	7411	0,165	7540	0,36	7723
0,20	0,075	7562	0,135	7405	0,30	7434
0,15	0,055	0,00000 7828				
0,10	0,037	7933				
	Mittel	0,00000 7463		0,00000 7600		0,00000 8162.

Die Abweichungen der Werthe von m in den einzelnen Reihen können nicht befremden, wenn man darauf Rücksicht nimmt, daß die Durchmesser der Wasserschei-

ben grofsentheils nur in ganzen Centimetern angegeben sind, sich auch nicht füglich schärfer messen lassen. Die Abweichungen zeigen auch wenig Regelmässigkeit, denn wenn in der dritten Beobachtungs-Reihe die Werthe von m mit der gröfsern Druckmenge zunehmen, so findet in der ersten Reihe für dieselben Druckhöhen das Gegentheil statt.

Auffallend ist es, dafs die mittleren Werthe der Reihen mit der Gröfse der Ausflufsöffnungen zunehmen. Dabei entsteht aber die Frage, ob die Oeffnungen genau 3, 4 und 6 Millimeter weit waren. Wäre der Halbmesser der kleinsten Oeffnung nicht 1,5 sondern 1,56 Millimeter gewesen, so würde der mittlere Werth der ersten Beobachtungs-Reihe mit dem der letzten schon genau übereinstimmen. Die Differenz erklärt sich vielleicht auch durch die Zunahme des Contractions-Coëfficienten bei kleineren Oeffnungen, den alle Beobachtungen über den Ausflufs des Wassers andeuten. Dieser Umstand ist indessen zur Zeit noch so unsicher, dafs nicht füglich davon Rechnung getragen werden kann.

Das Mittel aus den drei Werthen von m , welche die Beobachtungsreihen durchschnittlich ergaben, ist

$$m = 0,000007742$$

oder wenn man statt des Meters den Rheinländischen Zoll zur Längeneinheit wählt

$$m = 0,01132.$$

Die eigentlichen Capillar-Erscheinungen ergaben beim Wasser sehr verschiedene Werthe von m , jenachdem die Oberfläche längere oder kürzere Zeit hindurch gestanden hat. Ich habe in den beiden bereits angeführten Abhandlungen die Beweise für diese Thatsache geliefert. In der frisch gebildeten Oberfläche des Wassers ist die Spannung und sonach m am gröfsten, wird aber in der Zwischenzeit von einer Minute schon merklich kleiner. Durch schnell wiederholtes Abstreichen mit Fließpapier gelang es mir, den Werth von m bis auf 1,50 zu steigern, und bei der Scheibenbildung ist die Oberfläche jedenfalls ganz neu, man muß also in diesem Falle die stärkste Spannung annehmen.

Der Bestimmung

$$m = 1,50$$

liegt die Pariser Linie als Längeneinheit zum Grunde: wählt man dafür den Rheinländischen Zoll, so erhält man

$$m = 0,01116.$$

Die Übereinstimmung dieses Werthes mit dem aus Savart's Beobachtung hergeleiteten ist so groß, wie irgend zu hoffen war. Die Voraussetzung, daß die Spannung der Oberfläche die lebendige Kraft des Wassers in den Scheiben zerstört, ist sonach gerechtfertigt.

Mehrere Beobachtungen über die Scheibenbildung habe ich angestellt, die ein abweichendes Resultat ergaben, auch war die Anordnung des Apparates und die Art der Messung verschieden. Ich liefs nämlich, um den Einfluß der Contraction zu umgehen, die Strahlen nicht aus Oeffnungen in dünner Wand, sondern aus kurzen cylindrischen Ansatzröhren austreten. Bei diesen findet keine Contraction statt, und der Durchmesser des Strahles stimmt mit der der Oeffnung überein. Die Geschwindigkeit des Wassers im Strahle liefs sich dagegen, nachdem die Größe der Oeffnungen bekannt war, mit aller Schärfe bestimmen, indem ich die bei verschiedenen Wasserständen ausfließenden Wassermengen direct maß.

Ich übergebe die specielle Beschreibung des ganzen Apparates, der ursprünglich für andere Beobachtungen bestimmt, eine viel größere Schärfe der Messung erlaubte, als im vorliegenden Falle erforderlich war. Die Radien beider Ausfluß-Oeffnungen waren nicht ganz genau übereinstimmend, den der einen fand ich durch wiederholte Messungen mit dem Faden-Mikrometer gleich 0,04277 und den der andern gleich 0,04348 Rheinländische Zolle. Die Flächen der Oeffnungen sind also 0,005747 und 0,005940, und dem Verhältnisse dieser Zahlen entsprachen in der That die Zeiten, in welchen gleiche Senkungen des Wasserspiegels bei Benutzung der einen, oder der andern Ausflußöffnung erfolgten. Der Unterschied ist so geringe, daß

er bei der Unsicherheit der Messung der Scheiben schon unbeachtet bleiben durfte. In den Rechnungen ist daher vorausgesetzt, daß beide Strahlen einander gleich waren, und der Querschnitt eines jeden 0,005843 Zolle maß. Endlich wurden noch bei jeder neuen Aufstellung des Apparates die Zeiten beobachtet, in welchen der Wasserstand, während der Abfluß durch beide Oeffnungen erfolgte, von halbem zu halbem Zolle sank.

Nach diesen Vorbereitungen beschränkte sich die Beobachtung darauf, den horizontalen Durchmesser der Scheiben zu messen, und gleichzeitig den Wasserstand zu beobachten.

Es ergaben sich für die nachstehenden Geschwindigkeiten des Wassers in den Strahlen die daneben bezeichneten Halbmesser der Scheiben, woraus die Werthe von m nach der obigen Formel abgeleitet sind. Alle Größen sind in Rheinländischen Zollen ausgedrückt.

<i>v.</i>	<i>R.</i>	<i>m.</i>
113,2	2,79	0,0115
118,8	2,90	0,0122
120,7	2,94	0,0125
136,0	3,87	0,0120
139,3	4,06	0,0119
144,8	5,12	0,0102
154,1	4,50	0,0132
	Mittel	0,0119.

Die Abweichungen erklären sich dadurch, daß die Größe der Scheiben schwer zu messen ist, indem die Tropfen an ihrem Umfange ganz unregelmäßig abspringen, und dabei jedesmal die Scheibe stark ausziehen, so daß der Durchmesser der letzteren in jeder Richtung sich fortwährend verändert.

Im Allgemeinen ergaben diese Beobachtungen einen etwas größeren Werth für m , als die Capillar-Erscheinungen selbst im äußersten Falle gegeben hatten. Dieses darf in sofern nicht befremden, als es unmöglich ist, die eigent-

lichen Capillar-Erscheinungen in so kurzer Zwischenzeit nach ihrer Darstellung zu beobachten, daß die Oberfläche nicht schon merklich an Spannung verloren haben sollte.

Der Halbmesser der Wasserscheibe entspricht dem obigen analytischen Ausdrucke nur innerhalb einer bestimmten Gränze. Wenn der Wasserdruck und mit demselben die Geschwindigkeit der Strahlen nach und nach verstärkt wird, so vergrößert sich die Scheibe keineswegs fortwährend, sie erreicht vielmehr bei einer gewissen Geschwindigkeit der Strahlen ihr Maximum, und bei noch größerer Geschwindigkeit wird sie sogar kleiner, als sie früher war. Die äußere Erscheinung läßt diesen Uebergang gleichfalls erkennen. Die Scheibe verliert nämlich im letzten Falle das solide Ansehen, welches sie bisher hatte: sie gleicht einem dünnen Häutchen, welches, wie vom Winde bewegt, zahllose feine Falten schlägt, die sich fortwährend verändern. Besonders auffallend ist es dabei aber, daß an ihrem Umfange das Wasser sich nicht mehr in großen Massen ansammelt, und in einzelnen starken Tropfen abfällt, die ganze Scheibe vielmehr begränzt ringsum unregelmäßig, als ob sie abgerissen wäre, und die feinen Tröpfchen überall umherfliegen, die bei zunehmender Geschwindigkeit der Strahlen immer feiner werden, und endlich einen Staubregen bilden, der in der Ebene der Scheibe weit umhergeschleudert wird.

Diese Erscheinung rührt offenbar davon her, daß die Oberfläche bei einer gewissen Ausdehnung der Scheibe nicht hinreichende Festigkeit besitzt, um das Wasser zusammenzuhalten. Savart bezeichnet dieses Phänomen mit der Benennung *auréole*, und bemerkt, daß es nach den (oben mitgetheilten) Beobachtungen an verschiedenen Scheiben eintritt, sobald die Producte aus den Radien der Ausflußöffnungen in die Druckhöhen eine bestimmte Größe erreichen. Eine weitere Erklärung hat Savart nicht gegeben:

er sagt nur, daß der Mangel eines passenden Apparats ihn verhindert habe, die Gesetze aufzusuchen, nach welchen die Durchmesser der Scheiben bei weiterer Verkleinerung des Wasserdruckes abnehmen.

Man könnte vermuthen, daß diese Zerstreung des Lichts eintritt, sobald die Scheibe sehr dünn wird. Eine nähere Betrachtung zeigt indessen, daß dieses nicht der Fall ist, und daß es keine bestimmte Gränze für die Dicke der Scheibe, noch auch für die Geschwindigkeit giebt, wo die Auflösung in Tropfen erfolgt.

Unter Beibehaltung der früheren Bezeichnungen ergiebt die obige Rechnung

$$c = \frac{4gT}{\gamma \varrho^2 v} (R - r).$$

Wegen der Gleichheit der Wassermenge in beiden Stellen mit derjenigen, die jeden kreisförmigen Querschnitt der Scheibe durchströmt, ist

$$b = \frac{\varrho^2 v}{rc}.$$

Indem man den vorstehenden Werth von c und nach der früheren Herleitung statt v^2 dessen Werth

$$v^2 = \frac{4gT}{\gamma \varrho^2} (R - \varrho)$$

in den letzten Ausdruck einführt, erhält man

$$b = \frac{\varrho^2 (R - \varrho)}{r(R - r)}.$$

Der Nenner wird ein Maximum, also b ein Minimum, wenn $r = \frac{1}{2}R$ ist. Die Scheibe ist daher in der Mitte am dünnsten. Bezeichnet B ihre Dicke an dieser Stelle, so ist

$$B = \frac{4\varrho^2 (R - \varrho)}{R^2}.$$

Man kann diesen Ausdruck so verändern, daß die Abhängigkeit von der Druckhöhe deutlicher wird. Wenn man nämlich den obigen Ausdruck für R , sowie auch die Fallhöhe oder Druckhöhe h einführt, welche der Geschwindigkeit

gkeit v entspricht, und endlich, wie schon früher gesehen, $\frac{T}{\gamma}$ gleich m setzt; so findet man

$$B = \frac{4m}{h}.$$

Die geringste Dicke jeder Scheibe ist allein abhängig von der Geschwindigkeit der Strahlen, und zwar steht sie im umgekehrten Verhältnisse zur Fallhöhe, welche dieser Geschwindigkeit entspricht.

Savart's Beobachtungen ergaben augenscheinlich, daß die Auflösung der Scheiben in Tropfen nicht allein von diesem B abhängig ist. Wäre dieses der Fall, so müßte nämlich in allen drei Beobachtungs-Reihen das Maximum der Scheibe bei derselben Druckhöhe eingetreten seyn; außerdem aber dürfte man auch erwarten, daß bei zunehmender Druckhöhe der Durchmesser der Scheibe sich plötzlich mit der Hälfte reducirte, was gleichfalls nicht geschieht. Die Erfahrung zeigt vielmehr, daß bei zunehmender Druckhöhe der Durchmesser der Scheibe zunächst zu wachsen aufhört, also die Zerstreung in Tropfen am Umfange der Scheibe beginnt, wo nicht nur die Dicke der Scheibe wieder größer, sondern auch die radiale Geschwindigkeit des Wassers am kleinsten ist. Man darf demnach auch nicht voraussetzen, daß der Zusammenhang der Scheibe aufhört, sobald die Geschwindigkeit des Wassers eine gewisse Gränze übersteigt.

Es dürfte nicht unwichtig seyn, zu untersuchen, welches die geringste Dicke in den beobachteten Wasserscheiben sey. Nach Savart's Beobachtungen stellte sich unter dem Drucke von 1,05 Meter und zwar für die Ausfluß-Oeffnung von 3 Millimeter noch eine vollständig ausgebildete Scheibe dar. Der Werth von B ist in diesem Falle dem 34ten Theile eines Millimeters oder dem 74ten Theile einer Rheinländischen Linie gleich. Ich beobachtete, daß eine Wasserscheibe bei der Geschwindigkeit der Strahlen von 205 Zoll in ihrem Umfange zu zerstreuen anfing. Diese

Geschwindigkeit entspricht der Fallhöhe von 56 Zoll, und daraus ergibt sich B gleich dem 104ten Theile einer Linie.

Die Ursache der bei verstärktem Drucke eintretenden Auflösung der Wasserscheiben in feine Tropfen ist sonach weder in der geringen Dicke der Scheiben, noch in der großen Geschwindigkeit zu suchen, womit das Wasser dieselben durchläuft. Dagegen liegt die Vermuthung sehr nahe, daß diese Erscheinung mit der *Auflösung eines Wasserstrahles in Tropfen* in naher Beziehung steht. Die hierüber angestellten Untersuchungen werden dieses im Allgemeinen bestätigen, wenn der Zusammenhang beider Erscheinungen sich auch nicht analytisch nachweisen läßt.

Der Einfachheit wegen betrachte ich zunächst einen Strahl, der durch das Ueberfließen des Wassers über den Rand eines Gefäßes entsteht, der also durch keinen Wasserdruck, sondern allein durch den Fall frei gebildet wird. Ich nehme auch an, daß das Gefäß fortwährend in gleicher Höhe gefüllt bleibe, so daß der Strahl sich nicht verändert. Alsdann werden zwei Wassertheilchen A und B , die nacheinander und zwar in der Zwischenzeit τ in den Strahl eintreten, sich mit einer constanten Geschwindigkeit von einander entfernen. Ihr Abstand von einander ist gleich

$$2g\tau t,$$

wenn t die Zeit bedeutet, die seit dem Eintritt des Theilchens B in den Strahl verflossen ist. Nehme ich nun an, daß die Zeit τ im Vergleiche zu t sehr klein sey, oder daß B sehr nahe auf A folge, so ist die Fläche des cylindrischen Mantels des Strahles zwischen diesen beiden Punkten

$$\tau \sqrt{8M\pi g} \cdot \sqrt{t},$$

wo M die in einer Sekunde ausfließende Wassermenge bedeutet. Der Mantel, oder die freie Oberfläche ist also der Quadratwurzel der Zeit, oder der vierten Wurzel der Fallhöhe des Punktes B proportional. Derselbe vergrößert sich demnach zwar fortwährend, aber seine Vergrößerung ist

Anfangs am stärksten, und wird nach und nach immer kleiner, oder das Heraustreten neuer Wassertheilchen aus dem Innern des Strahles, um die erforderliche Oberfläche zu bilden, wird um so leichter, je tiefer der untersuchte Theil des Strahles bereits herabgefallen ist. Es darf kaum erwähnt werden, daß in jedem einzelnen Querschnitte des Strahles das Verhältniß des Umfanges zum Inhalte genau in gleicher Weise sich verkleinert, also die Wassertheilchen auch aus jedem Querschnitte um so leichter heraustreten können, je tiefer derselbe liegt. Es ist sonach durchaus nicht anzunehmen, daß der Strahl sich deshalb an einer gewissen Stelle in Tropfen auflösen müßte, weil die umschließende Oberfläche sich nicht schnell genug bilden könnte. Dagegen wird freilich, sobald ein Abreißen erfolgt, die weitere Trennung der gelösten Theile durch die Spannung der Oberfläche um so mehr befördert werden, je feiner der Strahl in Folge seiner Beschleunigung bereits ausgezogen, oder je tiefer er gefallen ist. Nichts desto weniger muß die Ursache der ersten Trennung doch in einer äußern Veranlassung gesucht werden.

Diese Annahme wird Gewisheit, wenn man bemerkt, daß derselbe Strahl, mag er vertical aufwärts, oder abwärts gerichtet seyn, sehr nahe in derselben Entfernung von der Ausfluß-Oeffnung sich in Tropfen auflöst. In dem ersten Falle kann aber seine ursprüngliche Geschwindigkeit durch den Einfluß der Schwere schon größtentheils vernichtet, im andern dagegen beinahe verdoppelt seyn, und dennoch ist die Erscheinung nicht wesentlich verschieden. Noch auffallender giebt sich dieses im horizontalen Strahle zu erkennen, wobei die Einwirkung der Schwere fast ganz aufhört. Die Geschwindigkeit ändert sich in demselben nur nach Maßgabe der nach und nach eintretenden Senkung. Bei starken Druckhöhen und kleinen Durchflußöffnungen ist diese Senkung für den zu untersuchenden Theil des Strahles nur unbedeutend, also die Aenderung der Geschwindigkeit und des Querschnittes unmerklich; man sollte daher auf eine ganz gleichmäßige Beschaffenheit des Strahles

schliessen, aber dennoch löst sich derselbe an einer bestimmten Stelle in Tropfen auf.

Auch über diesen Gegenstand hat Savart sehr wichtige Beobachtungen angestellt¹⁾, und namentlich die Beziehung der ganzen Erscheinung zu den Schwingungen der umgebenden Luft, oder vielmehr des Gefässes, worin das Wasser sich befindet, nachgewiesen und zugleich höchst auffallende Verhältnisse in der Tropfenbildung angedeutet. Derselbe hat auch durch Anordnung eines sehr sinnreichen Apparates, unerachtet der schnellen Bewegung der Tropfen, diese zu beobachten und ihre Form und Grösse und gegenseitigen Abstand zu bestimmen versucht.

Die Messung der Länge des ungetheilten Strahles ist nicht nur schwierig, sondern auch an sich sehr unsicher. Der eigentlichen Auflösung desselben in Tropfen gehen merkliche ringförmige Anschwellungen voran, die ich aber nur auf geringe Entfernungen, und bei wirklichen Strahlen niemals bis zur Ausflufs-Oeffnung habe verfolgen können. Man sieht diese, wie ich glaube am deutlichsten, wenn man den Strahl an einer Scheibe auffängt, und wählt man hierzu eine Glasscheibe, so kann man, indem man von der hintern Seite darauf sieht, am sichersten die Länge des massiven Theiles des Strahles durch Annähern und Entfernen der Scheibe ermitteln. Diese Art der Beobachtung zeigt das Profil des Strahles scharf begränzt und dunkel gefärbt: die Schwankungen oder jene ringförmigen Anschwellungen geben sich deutlich zu erkennen, sobald sie die Scheibe treffen, und wenn vollends der Strahl sich schon trennt, so bemerkt man die Unterbrechung sehr auffallend in der helleren Färbung des Profiles. Wäre der Strahl unveränderlich, so könnte man auf diese Art sehr sicher die Länge seines festen Theiles ermitteln; aber in Folge jeder zufälligen, wenn auch nur sehr geringen Erschütterung der Umgebungen und selbst der Luft, wie Savart aufser Zweifel gestellt hat, beginnen oft die Pulsationen und selbst

1) *Ann. de chim. et phys. Tome LIII. p. 337* und Poggendorff's *Annalen* Bd. 33, S. 451 und 520.

die Trennungen schon viel näher der Ausflufs-Oeffnung. Bei senkrecht aufsteigenden Strahlen gewährt diese Anordnung der Beobachtung, und namentlich, wenn man flach concave Glasscheiben (Uhrgläser) anwendet, noch den Vortheil, daß die zurückfallenden Tropfen vom Strahle entfernt werden.

Manche der von Savart bemerkten Eigenthümlichkeiten der Tropfenbildung habe ich, wenn ich auch gefärbtes Wasser und starke Beleuchtung anwendete, niemals mit einiger Wahrscheinlichkeit wahrnehmen können. Mir schien es, als ob die Tropfenbildung oder das Zerreißen der Oberfläche sich jedesmal durch das Ausstofsen sehr feiner Tröpfchen zu erkennen giebt, die unregelmäßig bald nach der einen bald nach der andern Seite, aber jedesmal seitwärts aus dem Strahle gestofsen werden. Die in der Richtung des Strahles fortfliegenden Tropfen waren an Größe nicht sehr verschieden, zeigten auch in Bezug auf die geringe Verschiedenheit der Größe keine besondere Regelmäßigkeit, am wenigsten wenn der Strahl aus einer Oeffnung in dünner Wand austrat. Oft folgten drei und noch kleinere Tropfen unmittelbar einander. Nur einmal sah ich eine regelmäßige Abwechslung größerer und kleinerer Tropfen, und zwar in einem Strahle der durch einen kleinen Heber gebildet wurde, doch auch in diesem Falle war das Verhältniß des Durchmessers der größern Tropfen zu dem der kleineren nur etwa wie 4 zu 3. Jene feinen Zwischentropfen, von denen Savart spricht, habe ich niemals wahrgenommen. Vielleicht waren dieses jene Seitentropfen, die bei der Schwäche jenes Strahles beinahe lothrecht herabfallen mochten. Ich muß aber bemerken, daß ein großer Theil der von Savart angestellten Beobachtungen sich wirklich nur auf eine Reihe von getrennt austretenden Tropfen, und keineswegs auf einen zusammenhängenden Strahl bezogen zu haben scheint. Mir ist es wenigstens selbst bei Anwendung der feinsten Durchflufs-Oeffnungen und der kleinsten Druckhöhen nicht gelungen, zusammenhängende Strahlen darzustellen, die nach ihrer

Auflösung nur 5 Tropfen in der Sekunde gegeben hätten. Eine Oeffnung von 0,9 Linie Durchmesser gab bei der Druckhöhe von 9 Linien, nachdem der Strahl sich aufgelöst hatte, schon 80 Tropfen in der Sekunde. Sobald die Druckhöhe sich aber verminderte, verschwand der zusammenhängende Strahl ganz, und die Tropfen fielen schon einzeln von der Oeffnung ab.

Das Mittel, welches ich zum Zählen der Tropfen, so wie zur Beurtheilung ihrer Größe und Entfernung anwendete, bestand darin, daß ich das Schwungrad einer Drehbank mit einer Trommel aus Pappe versah, diese mit Fließpapier überzog und den zu untersuchenden Strahl während einer kurzen Zeit darauf fallen liefs, indem das Rad sich schnell drehte. Diese Art der Beobachtung ist sehr sicher, da man die Tropfen auf dem Papier mit voller Schärfe und Bequemlichkeit untersuchen kann, besonders wenn das Wasser gefärbt war. Zwischen die Ausfluß-Oeffnung und das Schwungrad legte ich eine geneigte Rinne, um den Strahl bis zur Zeit der Beobachtung und unmittelbar nachher abzuleiten. Die Dauer der Beobachtung beschränkte sich etwa auf eine halbe Sekunde, während welcher Zeit die Rinne seitwärts gestofsen wurde. Das Rad, welches 75 Zoll Umfang hatte, drehte sich in der Sekunde ein oder zweimal herum, indem es in gewöhnlicher Weise durch Treten bewegt wurde. Man gewöhnt sich, besonders wenn man ein Sekunden-Pendel vor Augen hat, sehr leicht daran, dem Rade diese Geschwindigkeiten mitzutheilen, und es dauernd darin zu erhalten.

Endlich erwähne ich noch, daß ich wiederholentlich auch Strahlen mit dem Rade auffing, die ihrem Ansehen nach sich noch nicht in Tropfen aufgelöst hatten, vielmehr an den Stellen, wo sie das Rad berührten, gleich massiven Glasstäben eine spiegelnde Oberfläche zeigten. In diesem Falle vertheilte sich die Flüssigkeit jedesmal ganz gleichmäfsig, und ohne Anschwellungen zu zeigen, als ein sehr feiner Streif über die Trommel. Dieses geschah auch noch, wenn ich das Rad drei Umdrehungen in der Sekunde ma-

chen liefs, und man darf daraus wohl mit Sicherheit schließen, daß die Tropfenbildung keineswegs schon in der Ausflußöffnung, sondern erst an der Stelle des Strahles beginnt, wo derselbe das massive Ansehen verliert, und der Mangel an Continuität auch dem bloßen Auge bemerkbar wird.

Diese Stelle ist indessen keineswegs unveränderlich, sie schwankt vielmehr in Folge der leisesten Erschütterungen sehr bedeutend. Savart hat durch acht Beobachtungsreihen nachgewiesen, welchen großen Einfluß die Art der Aufstellung des Gefäßes auf die Länge des zusammenhängenden Theiles des Strahles hat. Die Strahlen traten dabei aus Oeffnungen in dünner Wand, und zwar waren die Oeffnungen theils 3, und theils 6 Millimeter weit. Die Resultate waren für beide Oeffnungen sehr verschieden. Der zusammenhängende Theil des Strahles aus der feinem Oeffnung ist nämlich nach diesen Beobachtungen sehr nahe der Quadratwurzel aus der Druckhöhe proportional, oder wenn man die Beobachtungen graphisch darstellt, so erhält man Parabeln, deren Scheitel in die Anfangspunkte der Abscissen fallen. Trägt man dagegen die mit der weiteren Oeffnung angestellten Beobachtungs-Reihen in gleicher Weise auf, so ist ein Anschluß derselben an Parabeln, deren Scheitel in dem Anfangspunkte der Abscissen liegt, unmöglich.

Ich habe eine Menge Beobachtungen dieser Art angestellt, auch denselben in Bezug auf die Weite der Oeffnungen und die Druckhöhe eine größere Ausdehnung, als Savart gegeben. Sie weichen im Allgemeinen unter sich bedeutend ab, und ergaben niemals diejenige Uebereinstimmung, welche einzelne Reihen von Savart's Beobachtungen zeigten, und namentlich diejenigen, welche die Parabel darstellten. Ueberhaupt deutete keine einzelne meiner Beobachtungsreihen die Parabel an, wiewohl ich auch Oeffnungen benutzte, die wenig größer und kleiner, als 3 Millimeter waren. Die Richtigkeit jenes Gesetzes muß ich demnach bezweifeln, wenn auch Savart unerachtet

des Widerspruches aller von ihm selbst mit der größern Oeffnung angestellten Beobachtungen, dasselbe ausdrücklich ausspricht.

Um aus meinen Messungen Resultate zu ziehen, schien es mir überflüssig, alle einzelnen Beobachtungen einer scharfen Berechnung zu unterwerfen. Ich stellte sie daher zunächst durch Abscissen und Ordinaten graphisch zusammen. Dabei zeigte es sich, daß die Curve, welche durch die Längen des zusammenhängenden Theiles des Strahles bei verschiedenen Druckhöhen und derselben Ausflußöffnung dargestellt wird, sich nicht merklich von einer geraden Linie unterscheidet. Ich hatte sogar fast bei keiner Beobachtungsreihe Veranlassung, eine Krümmung nach der einen, oder der andern Seite voranzusetzen. Diese Linien zeigten, daß die Länge des zusammenhängenden Theiles des Strahles mit der Druckhöhe zunimmt, daß er aber in den meisten Fällen keinesweges mit dem Aufhören der Druckhöhe gleichfalls verschwindet, vielmehr alsdann noch eine bestimmte Länge behält.

Hiernach ergab sich die Form des Ausdrucks

$$H = \alpha + \beta h,$$

wo α die zuletzt erwähnte Länge, β eine gewisse andere Constante, h die Druckhöhe und H die Länge des zusammenhängenden Theiles des Strahles bezeichnet.

Stellte ich ferner die unter Anwendung derselben Beobachtungsart mit verschiedenen Ausflußöffnungen gemachten Messungen zusammen; so ergab die Zeichnung mit großer Wahrscheinlichkeit, daß der Factor β der jedesmaligen Weite, oder dem Radius ρ der Oeffnung proportional sey. Die Constante α war gleichfalls augenscheinlich von ρ abhängig und nahm zu, sobald ρ größer wurde. Beide Größen standen aber nicht im einfachen Verhältnisse, vielmehr schien es, daß α dem Quadrate von ρ also dem Querschnitte des Strahles proportional sey. Die mit verschiedenen Ausflußöffnungen angestellten Beobachtungen ließen sich sonach durch den Ausdruck

$$H = a\rho^2 + b h \rho$$

darstellen. Ich muß aber bemerken, daß ich dieses Resultat nicht nur fand, als ich den Abstand der Stelle, wo die Tropfenbildung erfolgt, von der Ausflußöffnung maß, sondern ganz unabhängig davon führte die Messung der Länge des festen Theiles des Strahles, der also keinen dauernden Schwankungen unterworfen ist, mich genau zu demselben Ausdrucke.

Um die Zahlenwerthe der Constanten a und b zu finden, schien es genügend, zunächst für jede einzelne Beobachtungsreihe durch bloße Schätzung diejenige gerade Linie zu ermitteln, welche sich derselben am genauesten anschloß. Ich spannte einen feinen Faden über die Zeichnung und verschob denselben so lange, bis er sich den einzelnen Beobachtungspunkten am besten anzuschließen schien, und diese sich gleichmäßig darum gruppirt. Die auf solche Art gefundene gerade Linie wurde demnächst durch zwei Punkte an den Grenzen der angestellten Beobachtungen bestimmt, und diese beiden Punkte legte ich der folgenden Rechnung zum Grunde, als wenn sie unmittelbar durch Beobachtung gefunden wären.

Ich erhielt sonach für jede Durchfluß-Oeffnung und jede Beobachtungsart zwei Werthe der Länge des Strahles zu zwei verschiedenen Druckhöhen gehörend. Hierauf berechnete ich aus den so gefundenen Werthen und zwar für alle unter übrigens gleichen Umständen angestellte Beobachtungsreihen nach der Methode der kleinsten Quadrate und unter Zugrundelegung des angegebenen Ausdrucks der beiden Constanten.

Ich will nur die Endresultate dieser Rechnungen hier mittheilen.

I. Wenn die Länge der Strahlen bis zur Auflösung in Tropfen gemessen wird:

A. bei senkrecht herabfallenden Strahlen

$$H = 857 \cdot \rho^2 + 13,5 \cdot h \rho.$$

B. bei horizontalen Strahlen

$$H = 282 \cdot \rho^2 + 19,0 \cdot h \rho.$$

C. bei senkrecht aufsteigenden Strahlen

$$H = 17,0 \cdot h \rho.$$

II. Wenn die Länge der Strahlen nur bis zu der Stelle gemessen wird, wo die Schwankungen einzutreten pflegen:

B. bei horizontalen Strahlen

$$H = 490 \cdot \rho^2 + 11,3 \cdot h \rho.$$

Die Verschiedenheit dieser Resultate kann nicht auffallen, sobald man auf die große Unsicherheit dieser Messungen Rücksicht nimmt. Eine irgend sichere Gränze für die Länge des zusammenhängenden oder des festen Theiles des Strahles giebt es nicht, und es ist daher auch sehr wahrscheinlich, daß ich in den zu verschiedenen Zeiten angestellten Beobachtungen, von der Aufstellungsart des Apparates abgesehen, jene Gränze nach der jedesmaligen Disposition des Auges und der Beleuchtung verschieden geschätzt habe. Hierdurch erklärt es sich, daß die zusammengehörigen Beobachtungen unter sich jedesmal besser übereinstimmten, als mit denen, die an anderen Tagen angestellt waren.

An denselben Ausdruck habe ich auch Savart's Beobachtungen anzuschließen versucht, indem ich jedesmal die bei gleicher Aufstellungsart des Apparates mit beiden Durchfluß-Oeffnungen gemachten acht Beobachtungen nach der Methode der kleinsten Quadrate berechnete. Sie beziehen sich sämmtlich auf die Länge des herabfallenden Strahles und zwar bis zu der Stelle, wo die Auflösung in Tropfen erfolgt. Ich habe auch hier, wie in den vorstehenden Untersuchungen den Rheinländischen Zoll als Maas-Einheit eingeführt.

Die erste Aufstellung des Apparates begünstigte am meisten die Vibrationen, die zweite weniger, die dritte noch weniger und am wenigsten die vierte. Die Resultate sind bei der ersten Aufstellung:

$$H = 1033 \cdot \rho^2 + 11,0 \cdot h \rho$$

bei der zweiten:

$$H = 1161 \cdot \rho^2 + 13,5 \cdot h \rho,$$

bei der dritten:

$$H = 2485 \cdot \rho^2 + 14,4 \cdot h\rho,$$

und bei der vierten:

$$H = 2927 \cdot \rho^2 + 13,3 \cdot h\rho.$$

Diese Resultate weichen nicht gerade bedeutend von den aus meinen Beobachtungen hergeleiteten ab. Man darf vielleicht aus allen die Folgerung ziehen, dafs der constante Factor des zweiten Gliedes von der Richtung des Strahles und von der Art der Aufstellung des Apparates ganz unabhängig ist, der Factor des ersten Gliedes dagegen um so gröfser wird, je mehr die Richtung des Strahles sich der der Schwere nähert, und je mehr alle Vibrationen vermieden werden.

Eine genügende Erklärung des ganzen Phänomens zu geben, bin ich nicht im Stande; es scheint aber, dafs die Spannung der Oberfläche des Wassers auch hier von grossem Einflusse ist. Die Beziehung zu den Schallwellen, die Savart evident nachgewiesen hat, lassen dieses schon vermuthen, und die Formveränderungen der bereits abgerissenen Tropfen, welche die auffallende Knotenbildung veranlassen, bestätigen es sehr sicher. Das letzte Phänomen schliesst sich auch an die Form-Veränderungen eines noch zusammenhängenden Strahles an, der aus dreiseitigen oder vierseitigen Oeffnungen tritt. Die Kraft, welche in diesem Falle die aus den Seiten vorspringenden Rippen wieder zurückzieht, und zwar mit solcher Gewalt, dafs statt ihrer tiefe Rinnen entstehn, kann wohl keine andere seyn, als die Spannung der elastischen Oberfläche.

Die Schwingungen dieser Oberfläche, die bei zunehmender Ausbildung endlich ein Zerreißen der Oberfläche und sonach die Trennung des Strahles in Tropfen verursachen, werden gewifs um so mehr befördert, je weniger Steifigkeit der Strahl besitzt. Man darf wohl annehmen, dafs diese Steifigkeit theils dem Drucke proportional ist, unter dem der Strahl sich bildet oder h , theils aber auch dem Verhältnisse des Querschnittes zum Umfange des Strahles oder ρ . Auf diese Weise erklärt sich die Zusammen-

setzung des zweiten Gliedes in dem gefundenen Ausdrucke. Das erste Glied dagegen, welches beim senkrecht aufsteigenden Strahle verschwindet, rechtfertigt sich vielleicht dadurch, dafs der Strahl, wenn er auch ohne Druck sich bildet, schon durch den Zusammenhang der Wasserfäden auf eine gewisse Länge die Schwingungen der Oberfläche verhindert, und dieser Widerstand der Anzahl der Wasserfäden oder ρ^2 proportional ist.

Berlin d. 30. Juli 1849.

III. Ueber das Gleichgewicht von homogenen starren Körpern; von *Hrn. W. Wertheim*.

(Schluß der im vorigen Heft abgebrochenen Abhandlung.)

Hr. Cauchy hat gezeigt, dafs man die Navier'sche Grundhypothese durch eine allgemeinere Hypothese ersetzen kann. Statt anzunehmen, jeder vornehmste Zug oder Druck sey proportional der linearen Ausdehnung oder Zusammendrückung in Richtung der Kraft, kann man voraussetzen, er zerfalle in zwei Theile, von denen der eine der linearen Veränderung proportional gehe, während der andere proportional sey der kubischen Ausdehnung oder Verdichtung.

Seyen ω der vornehmste Zug oder Druck, ε die lineare Veränderung und v die entsprechende Volumsänderung, so setzen wir, dafs man habe:

$$\omega = k\varepsilon + Kv \quad . \quad . \quad (1)$$

wo k und K , für homogene Körper, zwei Constanten sind, die nur von der Natur der Substanz abhängen.

Denken wir uns einen Cylinder mit freier convexer Fläche, nur unterworfen an seinen Grundflächen einem Zuge oder Drucke, der ihn um die Gröfse δ verlängert oder verkürzt. Hr. Cauchy beweist nun, dafs man habe

$$v = \frac{k}{k+2K} \delta \quad \dots \quad (2)$$

Macht man nach dem Poisson'schen Gesetz

$$v = \frac{1}{2} \delta \text{ so hat man } k = 2K$$

und substituirt man die letztere Gleichung in den allgemeinen Gleichungen, die man nach unserer Hypothese erhält, so fallen sie zusammen mit denen von Poisson und Navier.

Allein unsere Versuche zeigen, dafs man wirklich hat

$$v = \frac{1}{3} \delta$$

und folglich

$$k = K \quad \dots \quad (3); \quad \omega = k(\delta + v) \quad \dots \quad (4)$$

Sey nun P' die Kraft, welche, auf die Flächeneinheit, an den beiden Grundflächen des Cylinders wirkt; dann hat man

$$P' = \frac{4}{3} k \delta \quad \dots \quad (5)$$

und wenn man wie gewöhnlich setzt:

$$\frac{P'}{\delta} = q, \text{ so hat man } k = \frac{3}{4} q \quad \dots \quad (6)$$

Sey nun dieser selbe Cylinder eingeschlossen in eine Büchse von unausdehnbarer Materie und einem inneren Durchmesser gleich dem des Cylinders, und sey P' das Gewicht, welches, an der oberen Grundfläche des Cylinders wirkend, eine Verkürzung δ hervorbringt, so hat man $v = \delta$ und

$$P'' = 2k\delta \quad \dots \quad (7)$$

Sey endlich P''' eine Kraft, die gleichmäfsig auf die ganze Oberfläche des Cylinders wirkend, dieselbe δ proportionale Verkürzung hervorbringt, so hat man $v = 3\delta$ und

$$P''' = 4k\delta \quad \dots \quad (8)$$

Die Gleichungen (2) und (8) drücken folgende Gesetze aus.

Die kubische Zusammendrückbarkeit oder Ausdehnbarkeit ist gleich der linearen Zusammendrückbarkeit oder Ausdehnbarkeit.

Wenn ein Cylinder oder Prisma im Sinne seiner Länge gezogen wird, ist die Volumszunahme auf die Volumsein-

heit gleich einem Drittel der Verlängerung auf die Längeneinheit.

Die Verringerung der Größe des Querschnitts ist gleich zwei Dritteln, und die Verkürzung der Seite des Prismas gleich einem Drittel dieser Verlängerung.

Alle diese Größen ändern das Zeichen, sobald der Cylinder im Sinne der Länge comprimirt wird.

Der Elasticitätscoefficient ist gleich drei Vierteln des Verhältnisses zwischen der Kraft und der proportionalen Verlängerung oder Verkürzung.

Denken wir uns einen Cylinder oder ein Prisma comprimirt

- 1) an seinen beiden Grundflächen, während seine übrige Fläche frei ist;
- 2) an einer seiner Grundflächen und eingeschlossen in einer unausdehnbaren Büchse;
- 3) gleichmäfsig an seiner ganzen Oberfläche.

Die Kräfte, welche man anwenden müßte, um in diesen drei Fällen dieselbe Verkürzung im Sinne der Länge zu bewirken, werden sich verhalten wie $1 : \frac{2}{3} : 3$, und für eine selbe Kraft werden die Verkürzungen seyn wie $3 : 2 : 1$.

Diese Gesetze ergeben sich aus den Gleichungen, welche man erhält, wenn man die elastischen Körper als continuirliche Massen betrachtet.

Allein Hr. Cauchy hat auch bestimmt, was die Werthe von k und K seyn, wenn man die Körper als ein Haufwerk einer großen Anzahl Molecüle betrachtet.

In diesem Falle hat man die folgende Gleichungen:

$$\left. \begin{aligned} X\Delta + \frac{dP_1}{dz} + \frac{dP_2}{dy} + \frac{dP_3}{dx} &= 0 \\ Y\Delta + \frac{dQ_1}{dz} + \frac{dQ_2}{dx} + \frac{dQ_3}{dy} &= 0 \\ Z\Delta + \frac{dR_1}{dx} + \frac{dR_2}{dy} + \frac{dR_3}{dz} &= 0 \end{aligned} \right\} \quad (9)$$

Hierin sind X, Y, Z die algebraischen Projectionen der beschleunigenden Kraft, welche irgend ein Molecül soll-

citirt und Δ die Dichtigkeit der Materie. Die neun Gröfsen $P_1, P_2 \dots$ reduciren sich auf sechs, die folgende Werthe haben:

$$\begin{aligned}
 P_1 = R_3 &= \left[(Q + G) \frac{d\zeta}{dx} + (Q + 1) \frac{d\zeta}{dx} \right] \Delta \\
 P_2 = Q_3 &= \left[(R + H) \frac{d\xi}{dy} + (R + G) \frac{d\xi}{dx} \right] \Delta \\
 Q_1 = R_2 &= \left[(P + 1) \frac{d\eta}{dx} + (P + H) \frac{d\eta}{dy} \right] \Delta \\
 P_3 &= \left[(L + G) \frac{d\xi}{dx} + (R - G) \frac{d\eta}{dy} + (Q - G) \frac{d\zeta}{dx} \right] \Delta \\
 Q_2 &= \left[(R - H) \frac{d\xi}{dx} + (M + H) \frac{d\eta}{dy} + (P - H) \frac{d\zeta}{dx} \right] \Delta \\
 R_1 &= \left[(Q - J) \frac{d\xi}{dx} + (P - J) \frac{d\eta}{dy} + (N + J) \frac{d\zeta}{dx} \right] \Delta
 \end{aligned}
 \tag{11}$$

Die neun Gröfsen G, H, J, L, M, N, P, Q und R werden gegeben durch folgende Gleichungen

$$\begin{aligned}
 G &= S \left[\pm \frac{1}{2} m r \cos^2 \alpha f(r) \right] \\
 H &= S \left[\pm \frac{1}{2} m r \cos^2 \beta f(r) \right] \\
 J &= S \left[\pm \frac{1}{2} m r \cos^2 \gamma f(r) \right] \\
 L &= S \left[\frac{1}{2} m r \cos^4 \alpha f(r) \right] \\
 M &= S \left[\frac{1}{2} m r \cos^4 \beta f(r) \right] \\
 N &= S \left[\frac{1}{2} m r \cos^4 \gamma f(r) \right] \\
 P &= S \left[\frac{1}{2} m r \cos^2 \beta \cos^2 \gamma f(r) \right] \\
 Q &= S \left[\frac{1}{2} m r \cos^2 \gamma \cos^2 \alpha f(r) \right] \\
 R &= S \left[\frac{1}{2} m r \cos^2 \alpha \cos^2 \beta f(r) \right]
 \end{aligned}
 \tag{12}$$

in welchen zur Abkürzung gesetzt ist

$$f(r) = r f(r) - f(r).$$

m ist die Masse eines Molecüls, r der gegenseitige Abstand zweier derselben, $f(r)$ eine unbekannte Function dieses Abstandes, und die Summe S erstreckt sich auf alle Molecüle, die in dem Wirkungskreis eines Molecüls liegen. Die Zeichen $+$ oder $-$ gelten, je nachdem die äufsere Kraft eine Ausdehnung oder Zusammendrückung zu bewirken sucht.

Bei den homogenen Körpern kann man immer voraussetzen, die Molecüle seyen gleichmäfsig vertheilt in Bezug auf drei Ebenen, die parallel den Coordinat-Ebenen durch eins von ihnen gelegt sind. Man hat also:

$$G = H = J; L = M = N; P = Q = R \quad (13)$$

und folglich wie es Hr. Cauchy zeigt

$$L = 3R \quad . \quad . \quad . \quad . \quad . \quad . \quad (14)$$

Allein das Verhältnifs zwischen G und zwischen L und R hängt offenbar von der Natur der Function $f(r)$ ab; diefs Verhältnifs wird also nicht *a priori* bestimmt werden können, mufs durch den Versuch bestimmt werden.

Damit die allgemeinen Gleichungen, zu welchen man gelangt, hier coincidiren mit denen, die man erhält, wenn man die Körper als stetige Massen betrachtet, mufs man setzen

$$k = 2(R + G) \Delta; K = (R - G) \Delta \quad . \quad (15)$$

Wie wir gesehen, hat man nach der Theorie von Navier und Poisson

$$k = 2K, \text{ woraus } R + G = R - G.$$

Die Gröfse G mufs also gegen R zu vernachlässigen seyn; diefs zieht eine grofse Anzahl Hypothesen über die Natur der Function $f(r)$ nach sich, Hypothesen, nach denen die Wirkungsweise dieser Kraft zu begreifen fast unmöglich ist.

Wie wir aber so eben bewiesen, hat man in Wahrheit $k = K$, also

$$2(R + G) = R - G$$

und

$$R = -3G \quad . \quad . \quad . \quad . \quad . \quad . \quad (16)$$

Durch Combination der Gleichungen (12), (13) und (14) hat man:

$$S [\pm \frac{1}{2} m r f(r)] = 3G$$

und

$$\begin{aligned} S [\frac{1}{2} m r f(r)] &= S [\frac{1}{2} m r (\cos^2 \alpha + \cos^2 \beta + \cos^2 \gamma)^2 f(r)] \\ &= 3L + 6R = 15R \end{aligned}$$

und berücksichtigt man die Gleichung (16)

$$S \left[\frac{1}{2} m r f(r) = -15 S \left[\pm \frac{1}{2} m r f(r) \right] \right]$$

und dieser Gleichung genügt man, wenn man setzt:

$$f(r) = r^{-14}$$

Die *Molecularkraft* nimmt also ab, umgekehrt wie die vierzehnte Potenz der Entfernung.

Ueberdies haben wir

$$k = -\frac{4}{3} \Delta S \left[\pm \frac{1}{2} m r^{-13} \right]$$

Substituirt man die Gleichungen (13), (14) und (16) in den Gleichungen (10) und (11), so findet man:

$$\left. \begin{aligned} P_1 = R_3 &= \frac{k}{2} \left(\frac{d\zeta}{dx} + \frac{d\xi}{dx} \right) \\ P_2 = Q_3 &= \frac{k}{2} \left(\frac{d\xi}{dy} + \frac{d\eta}{dx} \right) \\ Q_1 = R_2 &= \frac{k}{2} \left(\frac{d\eta}{dx} + \frac{d\zeta}{dy} \right) \end{aligned} \right\} \quad (19)$$

$$\left. \begin{aligned} P_3 &= k \left(2 \frac{d\xi}{dx} + \frac{d\eta}{dy} + \frac{d\zeta}{dx} \right) \\ Q_2 &= k \left(\frac{d\xi}{dx} + 2 \frac{d\eta}{dy} + \frac{d\zeta}{dx} \right) \\ R_1 &= k \left(\frac{d\xi}{dx} + \frac{d\eta}{dy} + 2 \frac{d\zeta}{dx} \right) \end{aligned} \right\} \quad (20)$$

und wenn man diese Werthe in den Gleichungen (9) substituirt, unter Erwägung, dafs:

$$v = \frac{d\xi}{dx} + \frac{d\eta}{dy} + \frac{d\zeta}{dx}$$

so erhält man die allgemeinen Gleichungen der Bewegung

$$\left. \begin{aligned} X + \frac{2k}{A} \left[\frac{1}{4} \left(\frac{d^2\xi}{dx^2} + \frac{d^2\xi}{dy^2} + \frac{d^2\xi}{dz^2} \right) + \frac{3}{4} \frac{dv}{dx} \right] &= \frac{d^2\xi}{dt^2} \\ Y + \frac{2k}{A} \left[\frac{1}{4} \left(\frac{d^2\eta}{dx^2} + \frac{d^2\eta}{dy^2} + \frac{d^2\eta}{dz^2} \right) + \frac{3}{4} \frac{dv}{d\eta} \right] &= \frac{d^2\eta}{dt^2} \\ Z + \frac{2k}{A} \left[\frac{1}{4} \left(\frac{d^2\zeta}{dx^2} + \frac{d^2\zeta}{dy^2} + \frac{d^2\zeta}{dz^2} \right) + \frac{3}{4} \frac{dv}{dz} \right] &= \frac{d^2\zeta}{dt^2} \end{aligned} \right\} \quad (21)$$

in denen für den Fall des Gleichgewichts der zweite Theil gleich Null wird.

Diese Gleichungen können wir nun auf mehr, schon von Poisson, Lamé und Clapeyron behandelte, be-

sondere Fälle anwenden, und wir wollen darunter diejenigen auswählen, die wegen ihrer Anwendung wichtig sind.

Gleichgewicht eines elastischen Fadens.

Sei P die Spannung eines homogenen elastischen Fadens in jedem seiner Punkte, δ die Ausdehnung seines Elements ds vermöge dieser Kraft, so hat man allgemein ¹⁾

$$\delta = \frac{d\xi}{dx} \frac{dx^2}{ds^2} + \frac{d\eta}{dy} \frac{dy^2}{ds^2} + \frac{d\zeta}{dz} \frac{dz^2}{ds^2} \\ + \left(\frac{d\xi}{dy} + \frac{d\eta}{dx}\right) \frac{dx dy}{ds^2} + \left(\frac{d\xi}{dz} + \frac{d\zeta}{dx}\right) \frac{dx dz}{ds^2} + \left(\frac{d\eta}{dz} + \frac{d\zeta}{dy}\right) \frac{dy dz}{ds^2}$$

Allein wir haben

$$P_1 = P \frac{dx dz}{ds^2}; \quad P_2 = P \frac{dy dx}{ds^2}; \quad Q_1 = P \frac{dy dz}{ds^2}$$

und mit Rücksicht auf die Gleichungen (19)

$$k\delta = k \left(\frac{d\xi}{dx} \frac{dx^2}{ds^2} + \frac{d\eta}{dy} \frac{dy^2}{ds^2} + \frac{d\zeta}{dz} \frac{dz^2}{ds^2} \right) \\ + 2P \left(\frac{dx^2 dy^2 + dx^2 dz^2 + dy^2 dz^2}{ds^4} \right)$$

Ebenso haben wir die Gleichungen

$$P_3 = P \frac{dx^2}{ds^2}; \quad Q_2 = P \frac{dy^2}{ds^2}; \quad R_1 = P \frac{dz^2}{ds^2}.$$

Durch Combination dieser letzten Gleichungen mit denen (20) findet man:

$$\frac{d\xi}{dx} = \frac{P'}{k} \left(\frac{3dx^2 - dy^2 - dz^2}{4ds^2} \right) \\ \frac{d\eta}{dy} = \frac{P'}{k} \left(\frac{-dx^2 + 3dy^2 - dz^2}{4ds^2} \right) \\ \frac{d\zeta}{dz} = \frac{P'}{k} \left(\frac{-dx^2 - dy^2 + 3dz^2}{4ds^2} \right)$$

und indem man substituirt

$$k\delta = P \left[\frac{3}{4} \left(\frac{dx^4 + dy^4 + dz^4}{ds^4} \right) + \frac{3}{2} \left(\frac{dx^2 dy^2 + dx^2 dz^2 + dy^2 dz^2}{ds^4} \right) \right] \\ = \frac{3}{4} P.$$

Somit kommt man auf die Gleichung (5) zurück.

1) Poisson, *Mém. de l'acad. des Scienc. T. VIII. p. 429.*

Gleichgewicht eines Cylinders mit ebenen Grundflächen.

Gesetzt der elastische Körper sey ein hohler Cylinder mit ebenen Grundflächen; nennen wir nun:

r und r' die Radien der Innen- und Außenwand,

p und p' die Ueberschüsse des inneren und äußeren

Drucks über den der Atmosphäre,

h die innere Höhe des Cylinders,

$u = \pi r^2 h$ sein inneres Volum,

Δ die Aenderung dieses Volums,

c die kubische Zusammendrückbarkeit der Substanz des Cylinders

und setzen $m = \frac{r^2}{r'^2 - r^2}$.

Sey ρ der Radius irgend eines Punktes des Cylinders unter bloßem Druck der Atmosphäre, und gesetzt er werde zu $\rho + \rho \varphi$ unter Wirkung der Kräfte p und p' , so werden wir haben

$$\rho^2 = x^2 + y^2; \quad \xi = \rho x, \quad \eta = \rho y, \quad \zeta = \rho z.$$

Substituirt man in den Gleichungen (21) die Werthe von

$$v, \quad \frac{d^2 \zeta}{dx^2}, \quad \frac{d^2 \eta}{dy^2}, \quad \frac{d^2 \xi}{dz^2}$$

und integrirt, so findet man

$$\varphi = \alpha + \frac{\beta}{\rho^2} \quad \text{und} \quad v = \gamma + 2\alpha$$

in welchen die Werthe der drei Constanten α , β , γ zu bestimmen bleiben.

Zum Gleichgewicht der beiden convexen und der beiden ebenen Flächen des Cylinders haben wir die Gleichungen

$$p + k \left(3\alpha - \frac{\beta}{r^2} + \gamma \right) = 0 \quad \dots \quad (a)$$

$$p' + k \left(3\alpha - \frac{\beta}{r'^2} + \gamma \right) = 0 \quad \dots \quad (b)$$

$$pm - p'(m+1) - 2k(\alpha + \gamma) = 0 \quad (c)$$

woraus

$$\alpha = \gamma = \frac{pr^2 - p'r'^2}{4k(r'^2 - r^2)}, \quad \beta = \frac{(p - p')r^2 r'^2}{k(r'^2 - r^2)}$$

$$\varphi = \frac{\rho^2 (pr^2 - p'r'^2) + 4(p - p')r^2 r'^2}{4k(r'^2 - r^2)};$$

für $\rho = r$

$$\varphi = \frac{1}{4k} [pm - p'(m+1) + 4(p-p')(m+1)]$$

und weil wir nach der Gleichung (3) haben $c = \frac{1}{k}$ findet man:

$$\Delta u = uc \left\{ \frac{3}{4} [pm - p'(m+1)] + 2(p-p')(m+1) \right\} \quad (22)$$

Denken wir uns nun statt eines Cylinders mit ebenen Grundflächen eine Röhre, die an einem ihrer Enden unveränderlich befestigt ist und am anderen eine weitere Tubulatur trägt, und diene diese Röhre, gefüllt mit Flüssigkeit oder Gas, zur Fortpflanzung eines Drucks in das Innere eines geschlossenen Behälters.

Bis auf die Gleichung (c) wird man dieselben Gleichungen haben wie im frühern Fall. Denn der äußere Druck wirkt nur noch auf die convexe äußere Fläche und der innere Druck, welcher, statt die Röhre zu verlängern, sie im Sinne ihrer Axe zu comprimiren strebt, wirkt auf den ganzen Querschnitt des soliden Theils der Röhre.

Statt der Gleichung (c) hat man also die folgende

$$p + 2k(a + \gamma) = 0 \quad . \quad . \quad . \quad (d)$$

Combinirt man diese mit den Gleichungen (a) und (b), so findet man:

$$\alpha = \frac{1}{4k} \left[\frac{2(p-p')r'^2}{r'^2 - r^2} - p \right]$$

$$\gamma = -\frac{1}{4k} \left[\frac{2(p-p')r'}{r'^2 - r^2} + p \right]$$

Bei den Versuchen, bei denen wir diese Rechnung anwenden werden, ist die Röhre von aussen nur dem atmosphärischen Druck unterworfen; wir haben also $p' = 0$ und

$$\alpha = \frac{p}{4k} \left(\frac{r'^2 + r^2}{r'^2 - r^2} \right); \quad \beta = \frac{p}{k} \left(\frac{r^2 r'^2}{r'^2 - r^2} \right)$$

$$\gamma = -\frac{p}{4k} \left(\frac{3r'^2 - r^2}{r'^2 - r^2} \right); \quad \varphi = \frac{p}{4k} \frac{\rho^3 (r'^2 + r^2) + 4r^2 r'^2}{(r'^2 - r^2) \rho^2}$$

für $\rho = r$

$$\varphi = \frac{p}{4k} (6m + 5) \quad \text{und} \quad \Delta u = uc p \left(\frac{5}{2} m + \frac{7}{4} \right) \quad (23)$$

Ist die Röhre graduirt, so werden wir für u die innere Capacität eines Grades nehmen können; $u + \Delta u$ wird dann seine Capacität unter Wirkung der Kraft p seyn, und da u, c, m gewöhnlich sehr kleine Gröfsen sind, wird Δu auch sehr klein bleiben, selbst für beträchtliche Werthe von p .

Bemerken wir noch, dafs wenn man die innere Capacität des Cylinders verschwinden läfst, indem man $r = 0$ setzt, alsdann seyn wird, für

den Cylinder mit ebenen Grundflächen $p = 0$ und $\gamma = -\frac{p'}{4k}$

die Röhre $p' = 0$ und $\gamma = -\frac{3p}{4k}$

identische Resultate nach den Gleichungen (5) und (8)

Gleichgewicht einer Kugel.

Seyen

$C = \frac{1}{k}$ die kubische Zusammendrückbarkeit der Substanz der Kugel,

R und R' die Radien der Innen- und Aussenwand,

P und P' die Gröfsen, um welche die auf diese beiden Flächen wirkenden Drucke den atmosphärischen Druck übertreffen,

$V = \frac{4}{3}\pi R^3$ die innere Capacität der Kugel unter dem atmosphärischen Druck,

ΔV die Aenderung dieser Capacität in Folge der Wirkung der Kräfte P und P' und setzen wir $N = \frac{R^3}{R'^3 - R^3}$.

Sey ρ der Radius irgend eines Punktes im vollen Theil der Kugel; wenn er nach der Gestaltveränderung zu $\rho + \rho\varphi$ wird, so haben wir:

$$\xi = \varphi x, \eta = \varphi y, \zeta = \varphi z, \rho^2 = x^2 + y^2 + z^2.$$

Durch Substitution dieser Werthe in den Gleichungen (21) kommt

$$\frac{d^2\varphi}{d\rho^2} + \frac{4}{\rho} \frac{d\varphi}{d\rho} = 0$$

woraus durch Integration

$$\varphi = \gamma + \frac{\beta}{\rho^3} \dots \dots \dots (\alpha)$$

Für die beiden Flächen hat man:

$$P + 2k \left(2\gamma - \frac{\beta}{R^3} \right) = 0 \quad (b)$$

$$P' + 2k \left(2\gamma - \frac{\beta}{R'^3} \right) = 0 \quad (c)$$

und folglich

$$\beta = \frac{(P-P') R^3 R'^3}{2k(R'^3 - R^3)} \quad \gamma = \frac{PR^3 - P'R'^3}{4k(R'^3 - R^3)}$$

$$\varphi = \frac{\rho^3 (PR^3 - P'R'^3) + 2(P-P') R^3 R'^3}{4k(R'^3 - R^3) \rho^3}$$

für $\rho = r$

$$\varphi = \frac{1}{4k} [PN - P'(N+1) + 2(P-P')(N+1)]$$

und (24)

$$\Delta V = \frac{3}{4} CV [PN - P'(N+1) + 2(P-P')(N+1)]$$

für eine volle Kugel hat man

$$R=0, P=0 \text{ und } \varphi = -\frac{P'}{4k}$$

was mit der Gleichung (8) übereinkommt.

Wir werden uns dieser Gleichungen bedienen können, um die kubische Zusammendrückbarkeit der Piézometer zu bestimmen, die Hr. Regnault bei seinen Untersuchungen über die Compressibilität der Flüssigkeiten angewandt hat.

Jeder dieser Versuche besteht aus drei Beobachtungen, gemacht: 1) unter dem innern Druck, 2) unter dem äußeren Druck, 3) unter dem innern und äußeren Druck zugleich.

Der äußere Druck wirkt nur auf die Außenwand des Piézometers, während der innere Druck zugleich auf die Innenwand dieses Instruments und auf die Innenwand und den Scheitel der zur Messung der Volumsänderungen dienenden graduirten Röhre wirkt.

Seyen also: $\alpha \dots$ die innere Capacität von 1 Grad der Röhre; $c \dots$ die kubische Zusammendrückbarkeit der Substanz; r und $r' \dots$ die Radien der Innen- und Außenwand; $\mu \dots$ die Zusammendrückbarkeit der in den Piézometern enthaltenen Flüssigkeit; $h, h', h'' \dots$ die Verände-

rungen im Stande der flüssigen Säule bei diesen drei Beobachtungen, ω , ω' , ω'' .. die scheinbaren Volumsveränderungen der Flüssigkeit, so hat man:

$$\omega = h\alpha \left[1 + cP \left(\frac{5}{2} m + \frac{7}{4} \right) \right]$$

$$\omega' = h'\alpha$$

$$\omega'' = h''\alpha \left[1 + cP \left(\frac{5}{2} m + \frac{7}{4} \right) \right]$$

und

für $P=0$.

für $P=0$:

$$\Delta V = \frac{CPV}{4} (9N+6); \quad \Delta V' = -\frac{CPV}{4} 9(N+1);$$

für $P=P'$.

$$\Delta V'' = -\frac{3CPV}{4}$$

woraus

$$\Delta V = \Delta V'' - \Delta V'.$$

Allein wenn man nur auf den absoluten Werth dieser Größen Rücksicht nimmt

$$\omega = \mu PV + \Delta V, \quad \omega' = \Delta V', \quad \omega'' = \mu PM - \Delta V'',$$

mithin

$$\left. \begin{aligned} \omega &= \omega' + \omega'' \\ C &= \frac{1}{PV} \frac{4}{9} \frac{\omega'}{N+1} \\ \mu &= \frac{1}{PV} \left(\omega'' + \frac{1}{3} \frac{\omega'}{N+1} \right) \end{aligned} \right\} \quad (26)$$

und durch Substitution der Werthe von ω , ω' , ω''

$$\left. \begin{aligned} c &= \frac{h'+h''-h}{-h''} \left(\frac{5}{2} m + \frac{7}{4} \right) \\ C &= \frac{\alpha}{PV} \left[\frac{4}{9} \frac{h'}{N+1} \right] \\ \mu &= \frac{\alpha}{PV} \left[\frac{h'h''}{h-h'} + \frac{1}{3} \frac{h'}{N+1} \right] \end{aligned} \right\} \quad (27)$$

Die Gleichungen (26) sind anwendbar, sobald man im Voraus den Werth von c kennt; die erste dieser Gleichungen dient dann zur Controle der Genauigkeit der Versuche. Wir werden uns der zweiten bedienen (welche dieselbe

bleibt in den Gleichungen (26) und (27)) um die kubische Zusammendrückbarkeit des Kupfers und Messings zu bestimmen, aus denen die beiden sphärischen Piézometer des Hrn. Regnault angefertigt waren..

In der folgenden Tafel ist

P der auf die Außenwand des Piézometers wirkende Druck, in Atmosphären,

$\alpha' = \frac{h'}{P}$ die Niveau-Veränderung in Graden für jeden Druck, zurückgeführt auf den Druck von einer Atmosphäre,

C die kubische Zusammendrückbarkeit der Substanz.

Wir haben also

$$C = \frac{\alpha}{V} \frac{4}{9} \frac{\alpha'}{N+1}.$$

Tafel XII. — Kupferne Kugel.

$$V = 109^{\text{cc}}, 11; N = 12,592; \frac{\alpha}{V} = 0,00000\ 6947.$$

$P.$	$\alpha'.$	$C.$
2,8017	5,762	0,00000 13089
4,3687	5,821	0,00000 13223
5,6753	5,906	0,00000 13416
6,4507	5,912	0,00000 13430
7,8206	6,043	0,00000 13728

Mittel 0,00000 13377.

Allein wir haben

$$k = \frac{1}{C}, \quad q = \frac{4}{3} k \quad \text{also} \quad q = \frac{4}{3} \frac{1}{C}$$

und daraus ergibt sich

$$k = 747552 \text{ Atmosphären auf d. } \square \text{ Centm.}$$

$$= 769978 \text{ Kilogr. auf d. } \square \text{ Centm.}$$

und

$$q = \frac{4}{3} k = 10266 \text{ Kilogr. auf d. } \square \text{ Mllm.}$$

Die Verlängerungsversuche gaben für angelassenes Kupfer ¹⁾

$$q = 10519.$$

1) *Ann. de chim. et de phys. Ser. III. T. XII. p. 421.* (Ann. Ergänzb. II, S. 36.)

Nach der ältern Formel hat man

$$q = \frac{5}{2}k, \quad k = \frac{3}{5} \frac{1}{C} \quad \text{also} \quad q = \frac{3}{2} \frac{1}{C}$$

und dieß gibt $q = 11550$, einen viel zu großen Werth, wie schon Hr. Regnault bemerkt hat.

Der mittlere Coëfficient, den wir so eben aus den Compressionsversuchen herleiteten, ist noch ein wenig kleiner als der, welcher sich aus der Verlängerung ergibt. Dieß muß so seyn, denn in obiger Tafel wachsen die Werthe von a' und C mit dem Druck, und dieß beweist, daß kleine bleibende Formveränderungen stattfanden. Berechnet aus dem ersten dieser Werthe, welcher einem so kleinen Drucke entspricht, daß diese Formveränderungen noch unmerklich sind, so hat man:

$$q = 10492$$

einen Werth, der fast mit dem des durch Verlängerung gefundenen Coëfficienten übereinstimmt.

Tafel XIII. — Messingene Kugel.

$$V = 102^{\text{cc}},71; \quad N = 13,122; \quad \frac{\alpha}{V} = 0,00000 \, 7380.$$

<i>P.</i>	<i>a'</i>	<i>C.</i>
1,5834	6,357	0,0000 14765
2,4282	6,349	0,0000 14746
3,2233	6,433	0,0000 14942
4,0229	6,407	0,0000 14881
4,7319	6,358	0,0000 14767
5,5731	6,377	0,0000 14811
6,3860	6,329	0,0000 14700
7,1857	6,312	0,0000 14660
8,4369	6,355	0,0000 14760
9,1515	6,391	0,0000 14844

Mittel 0,00000 14788.

Das Mittel giebt

$$k = 676224 \text{ Atmosphären pro } \square \text{ Centm.}$$

$$= 696511 \text{ Kilogrm. pro } \square \text{ Centm.}$$

$$q = 9286,8 \text{ Kilogrm. pro } \square \text{ Millm.}$$

Durch Verlängerung wurde an einem Draht von Berliner Messing gefunden ¹⁾

1) *Ann. de chim. et de phys. Ser. III. T. XII. p. 598.* (Ann. Ergänzb. II, S. 89.)

$$q = 9277$$

und die alte Formel giebt

$$q = 10477,6.$$

Gleichgewicht eines Cylinders mit halbkugelförmigen Grundflächen.

Seyen

C die Zusammendrückbarkeit der Substanz,

P und P' der innere und der äußere Druck,

R und R' der innere und der äußere Radius des cylindrischen Theils,

R_1 und R_2 der innere und der äußere Radius des kugelförmigen Theils,

$$M = \frac{R_2}{R_2 - R^2}, \quad N = \frac{R_1^3}{R_1^3 - R^3},$$

U und V die inneren Capacitäten dieser beiden Theile,

$W = U + V$ die totale Capacität des Behälters,

ferner: $c, r, r', m, u, \alpha, h, h', h'' \omega, \omega', \omega'', a, a', a''$ u. μ . wie zuvor, so findet man durch Combination der Gleichungen (22) und (24)

$$A W = \frac{3}{4} C \left\{ U [PM - P'(M+1) + \frac{8}{3}(P-P')(M+1)] + V [PN - P'(N+1) + 2(P-P')(N+1)] \right\} \quad (28)$$

Die Werthe von $\omega, \omega', \omega''$ sind gegeben durch die Gleichungen (25) und man hat für $P' = 0$:

$$\Delta W = \frac{3}{4} CP \left[U \left(\frac{11M+8}{3} \right) + V(3N+2) \right]$$

für $P = 0$:

$$\Delta W' = -\frac{3}{4} CP \left[U \frac{11}{3}(M+1) + 3V(N+1) \right]$$

für $P = P'$

$$\Delta W'' = -\frac{3}{4} CP W$$

woraus

$$\Delta W = \Delta W'' - \Delta W'.$$

Man hat

$$\omega = \mu P W + \Delta W; \quad \omega' = \Delta W'; \quad \omega'' = \mu P W - \Delta W''$$

Mithin, wenn man nur die absoluten Werthe dieser Gröfsen nimmt:

$$\left. \begin{aligned} \omega &= \omega' + \omega'' \\ C &= \frac{1}{P} \left[\frac{4\omega'}{11U(M+1)+9V(N+1)} \right] \\ \mu &= \frac{1}{P} \left[\frac{\omega''}{W} + \frac{3\omega'}{11U(M+1)+9V(N+1)} \right] \end{aligned} \right\} (29)$$

und indem man die Werthe von ω , ω' , ω'' substituirt

$$\left. \begin{aligned} c &= \frac{1}{P} \frac{k' + k'' - k}{(h - k'') \left(\frac{1}{2}m + \frac{7}{4} \right)} \\ C &= \frac{\alpha}{P} \left[\frac{4k'}{11U(M+1)+9V(N+1)} \right] \\ \mu &= \frac{\alpha}{P} \left[\frac{k'k''}{W(h - k'')} + \frac{3k'}{11U(M+1)+9V(N+1)} \right] \end{aligned} \right\} (30)$$

Um die Zusammendrückbarkeit des von Hrn. Regnault angewandten Behälters von gewöhnlichem Glase zu finden, hat man:

$$C = \frac{4\alpha a'}{11U(M+1)+9V(N+1)}$$

Tafel XIV. — Cylinder von gewöhnlichem Glase, mit hemisphärischen Grundflächen.

$$\begin{aligned} U &= 75,459 & W &= 80,631 & N &= 2,2626 \\ V &= 5,172 & M &= 3,6264 & \alpha &= 0,00075801. \end{aligned}$$

P.	a'.	C.
2,53676	3,006	0,00000 22831
3,31144	3,027	0,00000 22991
4,64252	3,004	0,00000 22816
5,96012	3,010	0,00000 22862
6,77075	3,006	0,00000 22831
7,57360	3,032	0,00000 23029
8,57710	3,026	0,00000 22983
9,34590	3,007	0,00000 22839
10,48480	3,014	0,00000 22892

Mittel 0,00000 22897.

$k = 436738$ Atmosphären pro \square Centm.

$= 449840$ Kilogrm. pro \square Centm.

$q = 5997,9$ Kilogrm. pro \square Millm.

Die Verlängerungsversuche gaben für das feine Sodaglas ¹).

$$q = 6040.$$

Die ältere Formel giebt

$$q = 6747,6.$$

Hr. Oersted hat zur Prüfung der Richtigkeit der Formel, mittelst deren man die wahre Zusammendrückbarkeit einer Flüssigkeit aus ihrer scheinbaren ableitet, einen Versuch gemacht ²). Nachdem er die scheinbare Zusammendrückbarkeit des Wassers in einem gläsernen Piëzometer bestimmt hat, nimmt er statt des letzteren eine bleierne Flasche. Indem er sich dabei des von Tredgold bestimmten Elasticitätscoëfficienten des Bleies bedient, findet er, das man in diesem Metall eine negative scheinbare Zusammendrückbarkeit d. h. eine scheinbare Ausdehnung erhalten müßte. Allein der Versuch gab ihm eine Zunahme der scheinbaren Zusammendrückbarkeit von zwei Millionteln des Wasservolums, und daraus schließt er, das die Substanz der Hülle ohne Einfluß sey auf die scheinbare Zusammendrückbarkeit der Flüssigkeit.

Allein wir sahen soeben, das die kubische Zusammendrückbarkeit des gewöhnlichen Glases 0,00000 22897 ist, der Elasticitätscoëfficient des reinen Bleis ist in runder Zahl = 1800 Kilogrm. pro □ Millm., woraus für das Blei $C = 0,00000\ 76297$ und zwar für den Druck von 1 Atmosphäre auf das □ Centm. Die Versuche wurden zugleich bei äußerem und innerem Druck angestellt, und zurückgeführt auf die Einheit des Drucks und des Volums, hat man die scheinbare Zusammendrückbarkeit $\omega'' = \mu - \frac{3}{4}C$, also für das Piëzometer

$$\text{von Glas } \omega'' = \mu - 0,00000\ 17172$$

$$\text{von Blei } \omega'' = \mu - 0,00000\ 57222.$$

1) *Ann. de chim. et de phys. Ser. III. T. XIX. p. 137* (Ann. Ergänzbd. II. S. 115.)

2) *Ann. de chim. et de phys. Ser. II. T. XXXVIII. p. 327.* (Ann. Bd. XII. S. 513 und Bd. XXXI. S. 361.)

Die scheinbare Zusammendrückbarkeit müßte also in dem gläsernen Piëzometer beinahe 4 Milliontel größer seyn als in dem bleiernen, und dieser Unterschied würde noch viel kleiner seyn, wenn das Piëzometer des Hrn. Oersted von Krystallglas, und das Blei frei von Legirungen gewesen wäre.

Man sieht, daß in diesem Fall der Widerspruch zwischen Formel und Erfahrung klein genug ist, um irgend einer Fehlerquelle, z. B. einer bleibenden Entstellung der Flasche, zugeschrieben zu werden.

Leicht wird es seyn, alle übrigen Aufgaben über das Gleichgewicht starrer Körper in eben der Weise zu behandeln.

Von der Schallgeschwindigkeit.

Der in den Gleichungen (21) enthaltene Coëfficient v ist bekanntlich der Ausdruck der Schallgeschwindigkeit in einer unbegrenzten Masse oder in einer Kugel; man hat also:

$$v = \sqrt{\frac{2k}{\Delta}} = \sqrt{\frac{3g}{2\Delta}}.$$

Sey v_1 die Schallgeschwindigkeit in einem elastischen Faden oder Stabe; mittelst der **Bewegungs-Gleichungen** und bei Berücksichtigung der Gleichung (5) findet man

$$v_1 = \sqrt{\frac{P}{\delta\Delta}} = \sqrt{\frac{g}{\Delta}}.$$

Die Schallgeschwindigkeit in einer Kugel oder einer unbegrenzten Masse verhält sich zu der in einem Faden oder Stabe von derselben Substanz wie $\sqrt{\frac{3}{2}}:1$.

Alle diese Entwicklungen wurden unter der Voraussetzung gemacht, daß die Gleichung (3) für alle starren Körper strenge gültig sey. Allein abgesehen von den Effecten des Anlassens und der unvollkommenen Homogenität der Körper, mit welchen wir arbeiten konnten, ist es möglich, daß diese Gleichung nach der Natur der Substanz geringe Modificationen erleide.

Da δ und ϱ in jedem Falle durch den Versuch gegeben sind, so findet man mittelst der Gleichung (2) das Verhältniß zwischen K und k .

Bei meinen Versuchen mit Messing ist K immer etwas größer als k . Im Allgemeinen hat man:

$$\varrho^2 = \frac{k+K}{A} \quad \varrho_1^2 = \frac{k(k+3K)}{A(k+2K)}$$

Allein es bedarf noch anderer Versuche um zu ermitteln, ob dergleichen Unterschiede in allen Körpern und bei allen Temperaturen vorhanden seyn und ob sie den Widerspruch zu erklären vermögen, den man bei einem und demselben Stabe zwischen den durch Schwingungen und den durch Verlängerung erhaltenen Geschwindigkeiten findet. In diesem Falle würde die Hypothese von einer Beschleunigung des Schalls durch die bei den Schwingungen erzeugte Wärme unnöthig. Diese Aufgabe wird Gegenstand anderer Untersuchungen seyn, bei welchen ich dieselben Grundsätze auch auf das Studium des Gleichgewichts und der Bewegung von Flüssigkeiten und Gasen anzuwenden suchen werde¹⁾.

IV. Ueber die tägliche Veränderung der magnetischen Declination auf St. Helena; von Hrn. Oberst-Lieutenant Edward Sabine.

(*Philosoph. Transact. f. 1847 pt. I. p. 51.*)

Längst bekannt ist, dafs in Europa das Nord-Ende (d. h. das gen Norden sich richtende Ende) eines horizontal aufgehängten Magnets von der Nacht an bis zwischen 7 und 8 Uhr Morgens nach *Osten* wandert und dann eine entgegengesetzte Bewegung einschlägt oder nach *Westen* zurückgeht. Neuere Beobachtungen haben gezeigt, dafs auch in Nord-Amerika und

1) Vergl. die Abhandlung des Hrn. Clausius in diesen Annalen Bd. 76. S. 46. P.

überhaupt unter mittleren Breiten auf der nördlichen Hemisphäre eine ähnliche Bewegung zu denselben Stunden der örtlichen Zeit stattfindet.

Seit einigen Jahren ist auch bekannt und durch spätere Beobachtungen bestätigt, daß auf der südlichen Hemisphäre unter mittleren Breiten das Nord-Ende des Magnets sich in entgegengesetzter Richtung bewegt, d. h. bis etwa 8 Uhr Morgens nach *Westen* geht, und darauf nach *Osten* zurückkehrt.

Aus der Entgegengesetztheit, welche sonach in der Bewegung auf beiden Hemisphären unter denselben Meridianen zu denselben Stunden stattfindet, schien sich der nicht unwahrscheinliche Schluß zu ergeben, daß die diese Bewegungen bedingenden Ursachen, worin sie auch bestehen mögen, einander an gewissen intermediären Punkten eines jeden Meridians aufheben und somit die tägliche Variation verschwinde. Es entstand hiedurch die Frage, ob die diese Punkte unter verschiedenen Meridianen verbindende Linie zusammenfalle entweder mit dem geographischen Aequator oder mit dem magnetischen Aequator oder mit einer der isodynamischen Linien.

Das Problem, zu dessen Lösung die Beobachtung sonach aufgefordert ward, ist von Hrn. Arago mit solcher Klarheit in dem *Annuaire* von 1836 ausgesprochen worden, daß es erlaubt seyn mag, seine eigene Worte anzuführen:

„Dans l'hémisphère nord, la pointe d'une aiguille horizontale aimantée, qui se tourne vers le nord, marche, de l'est à l'ouest, depuis 8 $\frac{1}{4}$ ^h du matin jusqu'à 1 $\frac{1}{4}$ ^h après midi; de l'ouest à l'est, depuis 1 $\frac{1}{4}$ ^h après midi jusqu'au lendemain matin. Dans l'hémisphère sud, la pointe tournée vers le nord marche de l'ouest à l'est, depuis 8 $\frac{1}{4}$ ^h du matin jusqu'à 1 $\frac{1}{4}$ ^h après midi; c'est précisément l'opposé du mouvement qu'effectue, aux mêmes heures, dans notre hémisphère, la même pointe nord.“

„Supposons qu'un observateur partant de Paris s'avance vers l'équateur. Tant qu'il sera dans notre hémisphère, la pointe nord de son aiguille effectuera tous les matins un

mouvement vers l'occident; dans l'hémisphère opposé la pointe nord de cette même aiguille éprouvera tous les matins un mouvement vers l'orient. Il est impossible que ce passage du mouvement occidental au mouvement oriental se fasse d'une manière brusque; il y a nécessairement entre la zone où s'observe le premier de ces mouvements, et celle où s'opère le second, une ligne où, le matin, l'aiguille ne marche ni à l'orient ni à l'occident, c'est-à-dire reste stationnaire."

„Une semblable ligne ne peut pas manquer d'exister; mais où la trouver? Est-elle l'équateur magnétique, l'équateur terrestre ou bien quelque courbe d'égale intensité?"

In dem neueren Werk des Hrn. v. Humboldt (*Kosmos I.* 190) wird diese Frage auch berührt und das Problem fast in denselben Worten angegeben. Nachdem von der Entgegengesetztheit der Bewegung in beiden Hemisphären gesprochen worden, bemerkt Hr. v. Humboldt, daß man mit Recht zu dem Glauben geführt werde, es müsse, wahrscheinlich zwischen dem terrestrischen und magnetischen Aequator, eine Gegend auf der Erde geben, in welcher keine stündliche Veränderung der Declination vorhanden sey. Diese vierte Curve, welche man die Curve keiner Bewegung oder vielmehr *die Linie ohne stündliche Veränderung der Declination* nenne könne, sey bisjetzt noch nicht aufgefunden.

Bei der Auswahl der Stationen, wo im Jahre 1840 auf Anordnung der Britischen Regierung und der Ostindischen Compagnie magnetische Observatorien errichtet wurden, ward die Lösung dieses Problems nicht übersehen. Singapore liegt dicht am terrestrischen Aequator, es eignet sich daher gut zur Prüfung der Vermuthung des Herrn Arago; es liegt auch nicht weit von der Linie ohne Neigung und deshalb liefs sich erwarten, daß es, wenigstens einigermaßen, die mit einer solchen Lage verknüpften Eigenthümlichkeiten zeigen werde. Eine etwas andere als die insgemein in Frankreich herrschende Betrachtungsweise des magnetischen Systems der Erdkugel veranlafste in England die

die Meinung, daß wahrscheinlich eine andere Linie als die von Hrn. Arago vermuthete, in dieser Beziehung die Scheidelinie beider Hemisphären sey, und daß die Erscheinungen der täglichen Variation, welche diese Scheidelinie charakterisiren würden, am besten an einer in deren Nähe gelegenen Station studirt werden möchten. Die hier erwähnte Linie läuft rund um die Erdkugel und schneidet die verschiedenen Meridiane an Punkten, wo die Intensität auf jedem (Meridian) ein Minimum ist; oder, genauer gesagt, sie ist der Ort der Punkte kleinster Intensität aller rechtwinklich gegen sie gezogenen Linien auf der Erdoberfläche. Die Lage derselben durch alle Meridiane der Erde ist mit beträchtlicher Annäherung festgestellt worden ¹⁾. Sie ist vermöge ihrer Definition nicht nothwendig eine *isodynamische* Linie oder eine Linie von gleicher Magnetkraft; und in der That ist sie weit davon entfernt, da die Intensität der Kraft an verschiedenen Stellen dieser Linie, nach absolutem Maafs, von 6,4 bis 7,6 schwankt. Es trifft sich, daß Singapore, welches, wie gesagt, dicht beim terrestrischen Aequator und unweit der Linie ohne Abweichung liegt, sich in einer Gegend befindet, wo die Linie der schwächsten Kraft und die ohne Neigung einander am nächsten kommen. Die Beobachtungen von Singapore liessen also erwarten, daß sie die Phänomene einer intermediären Station erläutern würden, gleichviel der intermediäre Charakter entspringe aus der Nähe zum terrestrischen Aequator, zur Linie ohne Neigung oder zu der der kleinsten Kraft.

St. Helena liegt dicht an der Linie der kleinsten Magnetkraft, in einer Gegend, wo diese Linie sich am weitesten sowohl vom terrestrischen als vom magnetischen Aequator entfernt. Die geographische Breite daselbst ist etwa — 16° und die Neigung etwa — 22°. Sollte daher die tägliche Variation zu St. Helena einen intermediären Charakter zeigen, so war zu erwarten, dieser würde mehr aus der Nähe

1) *Report of the british Association, 1837. Philosoph. Magazine Vol. XIV, p. 81.*

der Linie kleinster Intensität als aus der einer der beiden andern Linien entspringen.

Eine dritte Station, das Cap der guten Hoffnung, schien wohl geeignet, diesen letzten Punkt auf eine noch strengere Probe zu stellen. Obwohl etwas entfernter als St. Helena von der Linie der kleinsten Intensität (welche zwischen beiden Stationen durchgeht, doch etwas näher an St. Helena als am Cap), so ist doch die Magnetkraft am Cap noch so schwach, daß sie, in absolutem Maaße, nicht die Intensität an einigen Stellen der Linie kleinster Kraft übersteigt (z. B. in der Nähe von Singapore). Es schien daher nicht unwahrscheinlich, daß, wenn der intermediäre Charakter den Stationen auf oder nahe bei der Linie kleinster Intensität angehöre, das Cap der guten Hoffnung an den Eigenthümlichkeiten einer solchen Station Theil nehmen werde, obwohl die Entfernung des Caps vom terrestrischen Aequator nicht weniger als 34° beträgt und die Neigung daselbst -53° übersteigt.

Von dem Augenblick an, da der erste Jahrgang der Beobachtungen aus St. Helena und vom Cap nach England kam und untersucht wurde, war deren Bedeutung für die Lösung des Problems ersichtlich; allein da die Meinung ausgesprochen ward, die cylindrischen Büchsen, in welchen die Magnetometer anfänglich aufgestellt waren, möchten wahrscheinlich zu bestimmten Tagesstunden und Jahreszeiten Luftströme erregt, und somit die beobachtete tägliche Variation in größerem oder geringerem Grade gestört haben, so war es vorsichtiger, die Schlüsse, zu welchen sie führten, so lange zu verschieben, bis man die mit vermehrter Sorgfalt gemachten Beobachtungen der folgenden Jahre erhalten hätte.

Die Resultate, welche jetzt der Gesellschaft mitgetheilt werden, gründen sich auf fünfjährige, von 1841 bis einschliesslich 1845 fortgesetzte Beobachtungen zu St. Helena. Von Beginn des J. 1841 bis Juli 1843 war der Magnet in eine cylindrische Büchse eingeschlossen, entsprechend der Beschreibung im *Report of the Committee of Physics*

of the Royal Society (p. 14) und vom Juli 1843 bis Ende 1845 in einem doppelten rechteckigen Kasten, wie er vom Capt. Smythe, Director des Observatoriums zu St. Helena, in einer Note folgendermassen beschrieben worden ist:

„Statt der cylindrischen Büchse mit Glasdeckel wurde eine doppelte rechtwinkliche zum Einschluss des Magnetes angewandt. Sie besteht aus zwei Büchsen von Mahagoniholz, die einander vollkommen ähnlich sind, nur dass die äussere von grösseren Dimensionen als die innere ist. Diese Büchsen sind in der Mitte durchschnitten und die Hälften, an einander gesetzt, schliessen mittelst einer Fuge dicht zusammen. Inwendig ist die innere, und auswendig die äussere Büchse mit Goldpapier überzogen; und die Büchsen werden festgehalten an ihrem Ort durch Schrauben, die durch ein die kupferne Ständer verbindendes und auf der äusseren Büchse ruhendes Querstück gehen.“

Ein sorgfältiger Vergleich der vor und nach dieser Abänderung angestellten Beobachtungen lässt keinen wesentlichen Unterschied wahrnehmen, der Luftströmen zugeschrieben werden könnte. Das Gesetz der täglichen Variation ist dasselbe, es mag aus den Beobachtungen der ersten drittehalbjährigen Periode oder aus denen der zweiten eben so langen hergeleitet werden. Die Grösse des Bogens, welchen die Magnetonadel in Folge der täglichen Variation innerhalb 24 Stunden durchläuft, mag er nun gemessen werden durch den Unterschied der äussersten Ost- und West-Lagen des Magnets oder durch die Summe der von Stunde zu Stunde beobachteten Schwankungen, ist nicht dieselbe in den einzelnen Momenten des Jahrs, und zu geringem Betrage ist sie auch ungleich in denselben Monaten verschiedener Jahre; allein diese offenbar wahrhaften und vermuthlich von zeitweisen Ungleichheiten in den magnetischen Ursachen herrührenden Verschiedenheiten treten gleichmässig in jeder der beiden Reihen auf. Das Gesetz der Variation in jedem Monat kann im Allgemeinen aus den Beobachtungen irgend eines Jahres der Reihe abgeleitet werden, allein der mittlere Betrag ergibt sich genauer aus dem Mit-

tel mehrer Jahre. Ich habe daher in diesem Aufsatz nur das Mittel aus fünf Jahren angewandt, ohne denselben mit dem Detail der einzelnen Reihen zu belasten.

Die aus den fünfjährigen Beobachtungen zu St. Helena hervorgehende Variation zeigt, daß diese Station zum Behufe der Lösung des in Rede stehenden Problems wohl ausgewählt war; allein die Lösung, welche sie liefert, ist sehr verschieden von der, welche vorausgesehen wurde; sie scheint die etwaige Erklärung der physischen Ursachen der periodischen Variationen wesentlich zu unterstützen. Wie wir gesehen, bewegt sich der Magnet auf dem nördlichen Theil der Erde bis 7 oder 8^h Morgens gen Osten und kehrt dann nach Westen zurück; er thut dies in jedem Monat des Jahres; der Betrag der Bewegung ist zwar größer in den Sommer- als in den Winter-Monaten, allein die Richtung bleibt immer dieselbe. Ebenso ist auf dem südlichen Theil der Erde die entgegengesetzte Bewegung auch constant das ganze Jahr hindurch; zwar ist sie, wenn die Sonne in den südlichen Zeichen steht, größer, als wenn dieselbe in dem nördlichen Zeichen verweilt, allein die Richtung ist in allen Monaten des Jahres dieselbe. Die äußerste westliche Elongation wird eben so alle Monat um etwa 8 Uhr Vormittags erreicht, als es mit der äußersten östlichen um dieselbe Zeit in der nördlichen Hemisphäre der Fall ist.

Auf St. Helena dagegen besteht die wohl ausgesprochene Eigenthümlichkeit der täglichen Variation darin, daß während der einen Hälfte des Jahres die Bewegung des Nord-Endes der Magnetenadel zu den genannten Stunden mit der Richtung übereinkommt, welche die Bewegung in der nördlichen Hemisphäre hat, wogegen in der anderen Hälfte des Jahres die Richtung mit der in der südlichen Hemisphäre zusammenfällt. Die entgegengesetzten Bewegungen, welche gleichzeitig an jedem Tage des Jahres unter denselben Meridianen in den beiden Hemisphären stattfinden, neutralisiren also einander nicht durch ihre wechselseitige Opposition, lassen den Magnet nicht stationär.

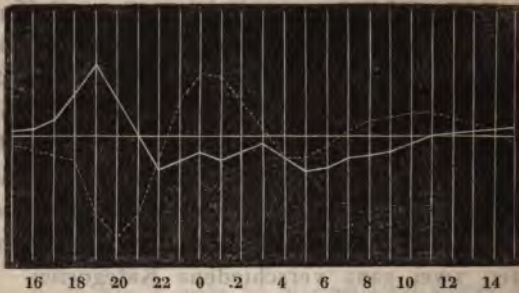
Im Gegentheil nimmt zu St. Helena die tägliche Variation Theil an den Phänomenen in beiden Hemispären, so daß jedes, abwechselnd, in den entgegengesetzten Jahreszeiten vorwaltet. Der Uebergang von der einen Ordnung des Phänomens zu der andern erfolgt zur Zeit der Nachtgleichen oder bald hernach. Im März und April, im September und October hat die tägliche Variation zu den bezeichneten Stunden, an verschiedenen Tagen, mehr oder weniger den Charakter von der in beiden Jahreszeiten. Allein die Monate Mai, Juni, Juli und August einerseits, und November, December, Januar und Februar andererseits bilden zwei ganz verschiedene Kategorien. In den ersteren erreicht das Nordende des Magnets sein östliches Extrem zu denselben Stunden, wo es in den letzteren auf sein westliches Extrem gelangt, und überdiess haben die Extreme beinahe gleichen Abstand von der mittleren Lage des Magnets in den respectiven Monaten.

[Das Original giebt nun, nach dem Mittel der fünfjährigen Beobachtungen zwei graphische Darstellungen des Ganges der täglichen Variation zu St. Helena von Stunde zu Stunde, von 15^h bis 3^h. Die erste derselben zeigt diesen Gang für jeden einzelnen Monat; in der zweiten dagegen sind die Monate, in denen die Sonne entschieden nördlich oder südlich vom Aequator steht (also October bis inclusive Februar einerseits, und Mai bis inclusive September andererseits) zusammengefaßt und daneben noch der März und der April aufgezeichnet, um zu zeigen, daß diese Monate den Uebergang zwischen beiden Gruppen machen, d. h. zwei östliche Maxima haben um 18^h und zwischen 0^h und 1^h). Die Gröfse dieser Zeichnungen, die keine Verkleinerung litten, nöthigte sie hier fortzulassen.

- 1) Der October, sagt der Verfasser, entspricht entschieden mehr dem November, December, Januar und Februar als dem Mai, Juni, Juli, August und September. Dieß ist wichtig zu bemerken, weil, obgleich im September die Sonne vom Aequator nach Süden geht, sie doch bis anfangs November nordwärts des Parallels von St. Helena bleibt. Es ist also die Lage der Sonne in Bezug auf den Aequator der Erde und

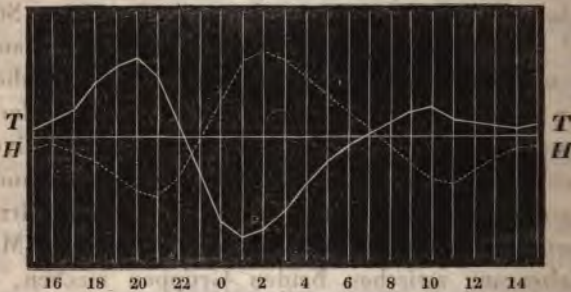
Dagegen haben wir nebenstehend drei andere Darstellungen in verkleinertem Maaßstabe wieder gegeben. Die

Fig. 1. St. Helena.



erste zeigt den Gang der Nadel zu St. Helena durch die voll ausgezogene Curve in den Monaten Mai bis September inclusive und durch die punktirte Curve in den Monaten October und Februar, wobei die Ausweichung oberhalb der mittleren Lage die Abweichung nach Osten bezeichnet.

Fig. 2 Toronto und Hobarton.



Die zweite Figur zeigt den mittleren Gang der Variation des ganzen Jahres, einerseits durch die vollausgezogene Linie für Toronto (in Canada) und andererseits durch die punktirte Linie für Hobarton (in Neu-Holland), um so den Contrast beider Hemisphären sichtbar zu machen. Die Elongationen sind halb so groß dargestellt als die in der Fig. 1. und der späteren Fig. 3.]

nicht in Bezug auf das Zenit des Beobachtungsortes, was die Epoche des Wechsels der täglichen Variation der Magnetenadel bezeichnet.

Beim Vergleiche der Fig. 1 und 2 zeigt sich (so fährt das Original fort) eine allgemeine Aehnlichkeit der Effecte in den entgegengesetzten Hemisphären einerseits, und in den entgegengesetzten Jahreszeiten andererseits, obwohl zugleich untergeordnete Punkte der Unähnlichkeit ebenfalls augenfällig sind. Eine Erörterung dieser untergeordneten Verschiedenheiten (z. B. des Nicht-Zusammenfallens der Wendestunden, die zu St. Helena in dem einen Falle etwas früher als zu Toronto und in dem andern als zu Hobarton eintreten, so wie des Stofses, der vom Mai bis September in den westlichen Elongationen zu St. Helena um die Mittagsstunde erfolgt) liegt nicht im Zweck dieses Aufsatzes; allein als einen kleinen, aber auscheinend charakteristischen Punkt der Aehnlichkeit, will ich mir erlauben den Umstand hervorzuheben, daß die östliche Elongation in den Morgenstunden zu Toronto und in der entsprechenden Jahreszeit zu St. Helena immer eine Stunde früher eintritt als die westliche Elongation um dieselbe Jahreszeit zu Hobarton und in der entsprechenden Jahreszeit zu St. Helena.

Wir haben bisher von der täglichen Variation zu St. Helena nur die Stücke des Vormittags und der ersten Stunde des Nachmittags betrachtet. Wie wir gesehen, ist die Bewegung des Magnets in den beiden Solstitialperioden des Jahres von 3 Uhr Morgens bis 3 Uhr Nachmittags, auffallend unähnlich und während eines bedeutenden Theils dieser Stunden sogar entgegengesetzt. Eine weniger hervortretende aber nicht minder systematische Verschiedenheit findet während der übrigen Stunden statt, wie ersichtlich aus den Projectionen der Fig. 1., welche respective den Monaten Mai bis September, und October bis Februar entsprechen.

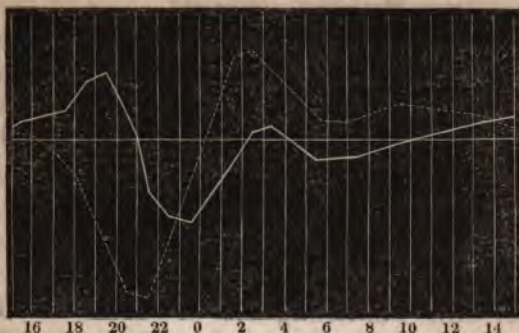
Vom Mai bis September besteht die tägliche Variation zu diesen Stunden in einer kleinen aber stetigen Bewegung des Nord-Endes der Magnetnadel gegen Osten, welche um 5 oder 6 Uhr Nachmittags anfängt und ohne Unterbrechung die Nacht hindurch bis zum folgenden Morgen fortsetzt.

Dagegen ist vom October bis zu mFebruar die Bewegung, welche anfangs in derselben Richtung geschieht, beträchtlicher und sie erreicht um 9 oder 10 Uhr Nachmittags ein östliches Extrem, dem nichts Analoges in der übrigen Zeit des Jahres entspricht. Dann erfolgt eine Umkehr gegen Westen (entgegengesetzt der Richtung in der gegenüberliegenden Jahreszeit) und diese hält bis zum Vormittag des nächsten Tages statt. Im nächtlichen Theil der täglichen Curve also, so gut wie in den schon ausführlich besprochenen Theil, verschwindet die stündliche Variation zu St. Helena nicht, sondern zeigt fortwährend in den entgegengesetzten Jahreszeiten eine Verschiedenheit, in welcher sich noch eine Analogie zu der in Fig. 2 dargestellten Verschiedenheit des jährlichen Ganges zu denselben Stunden in Toronto und Hobarton erkennen läßt. Zu bemerken ist jedoch, daß die Correspondenz, welche während der Tagesstunden einerseits zwischen Toronto und den den nördlichen Sommer bildenden Monaten zu St. Helena, und andererseits zwischen Hobarton und den den südlichen Sommer bildenden Monaten zu St. Helena existirt, sich nicht in dem nächtlichen Theil der Curve erhält.

Sind die Erscheinungen der täglichen Variation zu St. Helena die charakteristischen einer Station, die zwischen der nördlichen und südlichen magnetischen Hemisphäre liegt, und die, freilich in entgegengesetzten Jahreszeiten, Theil nimmt an den entgegengesetzten Vorgängen, die einzeln in den beiden Hemisphären das ganze Jahr hindurch vorwalten, so müssen wir die tägliche Variation am *Cap der guten Hoffnung*, ungeachtet der großen Entfernung dieser Station vom terrestrischen und magnetischen Aequator, als ein ferneres Beispiel zur Erläuterung der Phänomene an einer intermediären Station betrachten.

Die Curven der nebenstehenden Figur, von denen die voll ausgezogene für die Monate Mai bis September, und die punktirte für die Monate October bis Februar gilt, beide nach dem Mittel aus fünfjährigen Beobachtun-

Fig. 3. Cap der guten Hoffnung.



gen, zeigen im Allgemeinen eine auffallende Aehnlichkeit mit den vorhergehenden Curven, und die Abweichungen von diesen sind der Art, daß sie sich leicht aus der größeren Entfernung des Caps von der theilenden Linie herleiten lassen. Man wird bemerken, daß am Cap, so gut wie auf St. Helena, umgekehrte Bewegungen in den entgegengesetzten Jahreszeiten stattfinden, obwohl am Cap die Sonne das ganze Jahr hindurch nördlich vom Zenite bleibt.

Da ich *Singapore* zu Anfange dieses Aufsatzes genannt habe, so will ich hinzufügen, daß ich die im Archive der K. Gesellschaft vorhandenen handschriftlichen Beobachtungen dieser Station von den Jahren 1841 und 42 untersucht habe. Diese Beobachtungen scheinen nur alle zwei Stunden angestellt zu seyn, erlauben also keine so vollständige Herleitung der täglichen Variation wie stündliche Aufzeichnungen; allein sie reichen hin, um zu zeigen, daß hier die Variation im Allgemeinen mit der auf St. Helena und am Cap übereinstimmt. Das Nord-Ende des Magnets bewegt sich in den Monaten Mai, Juni, Juli und August bis 7 oder 8 Uhr Vormittags nach Osten und kehrt dann sogleich nach Westen zurück, während es in den Monaten November, December, Januar und Februar bis 8 Uhr Morgens nach Westen geht, und dann unmittelbar nach Osten zurückkehrt. Die letztgenannten Monate haben auch um 2 Uhr Nachmittags ein östliches Extrem, dem in den

Monaten Mai, Juni, Juli und August kein ähnliches oder entgegengesetztes Maximum entspricht.

Aus den hier beigebrachten Thatsachen ergibt sich also, daß die zu Anfange dieses Aufsatzes erwähnte, von ausgezeichneten Autoritäten angenommene Linie ohne tägliche Variation der Declination nicht auf der Erde vorhanden ist.

V. *Ueber eine Ableitung der Ohm'schen Gesetze, welche sich an die Theorie der Elektrostatik anschließt; von G. Kirchhoff.*

(Der physikalischen Gesellschaft zu Berlin mitgetheilt am 9. Nov. 1849)

Ohm ist bei der Ableitung seiner Gesetze der Strömungen in der galvanischen Kette von Voraussetzungen über die Elektrizität ausgegangen, die nicht in Uebereinstimmung mit den Voraussetzungen sind, welche man über dieselbe hat machen müssen, um die elektrostatischen Erscheinungen zu erklären; im Widerspruche mit diesem nimmt Ohm an, daß die Elektrizität in einem Leiter sich in Ruhe befindet, wenn sie den Rauminhalt desselben mit gleichmäßiger Dichtigkeit erfüllt. Wenn es nun an sich schon wünschenswerth erscheinen muß, die Gesetze, denen die Strömungen der Elektrizität unterworfen sind, durch Betrachtungen herzuleiten, die sich an die Theorie der Elektrostatik anschließen, so wird dieses ein Bedürfnis, sobald man eine befriedigende Theorie von Versuchen geben will, bei denen man es sowohl mit strömender als mit ruhender Elektrizität zu thun hat, von Versuchen, wie die, welche in neuerer Zeit von Hrn. Kohlrausch an der geschlossenen Kette mit Condensator und Elektrometer an gestellt sind ¹). Es ist meine Absicht hier zu zeigen, wie

1) Diese Ann Bd 78, S. 1.

die Ohm'schen Formeln aus dem elektrostatischen Gesetze für die gegenseitige Abstofsung der Elektricitätstheilchen sich ableiten lassen, wenn man gewisse Annahmen zu Hülfe nimmt, welche sich auf Fragen beziehen, die in der Theorie der Elektrostatik ganz offen geblieben sind.

Ist einem Leiter Elektricität mitgetheilt, so wird diese sich dann im Gleichgewicht befinden, wenn die Kräfte sich gegenseitig aufheben, die von der freien Elektricität auf ein Elektricitätstheilchen, das sich an irgend einer Stelle im Innern des Leiters befindet, ausgeübt werden. Es findet dieses statt, wenn das Potential der gesammten freien Elektricität in Bezug auf einen Punkt im Innern des Leiters constant ist. Die Rechnung zeigt, dafs dieses nur der Fall seyn kann, wenn die freie Elektricität sich in gewisser Weise auf der Oberfläche des Leiters angeordnet hat.

Werden zwei verschiedene Leiter, etwa ein Stück Kupfer und ein Stück Zink, welche einzeln keine freie Elektricität enthielten, mit einander in Berührung gebracht, so wird der eine Leiter positiv, der andere negativ elektrisch. Die Elektricität, welche an der Berührungsstelle erregt ist, nimmt bald eine Gleichgewichtslage an; bei dieser mufs nothwendig das Potential der gesammten freien Elektricität in Bezug auf alle Punkte eines jeden der beiden Leiter constant seyn; daraus folgt, dafs freie Elektricität sich nicht in dem Innern der Leiter befinden kann, dafs dieselbe also allein auf der Oberfläche dieser gelagert seyn mufs; ein Theil der Elektricität wird sich an der Berührungsfläche der beiden Leiter binden, ein anderer die freie Oberfläche derselben bedecken. Das Potential aller freien Elektricität in Bezug auf alle Punkte eines jeden der Leiter ist constant; es wird aber für den ersten Leiter einen andern Werth haben, als für den zweiten, denn die Rechnung lehrt, dafs, wenn es in beiden Leitern denselben Werth hätte, nirgend freie Elektricität vorhanden seyn könnte, da die Summe aller freien Elektricität $= 0$ ist. Was nun den Unterschied der beiden Werthe des Potentials in den beiden Leitern betrifft, so könnte dieser von dem Stoffe der beiden Leiter

und ihrer Gestalt abhängen; ich mache die Annahme, daß er von der letzteren unabhängig ist, und daß er die Größe ist, die die Spannung der beiden Körper heißt. Wir wollen das Potential aller freien Elektrizität in Bezug auf einen Punkt des ersten Leiters durch u_1 , dasselbe in Bezug auf einen Punkt des zweiten durch u_2 bezeichnen; dann muß u_1 sowohl als u_2 constant seyn; ist ferner $U_{1,2}$ die Spannung der beiden Körper, so muß

$$u_1 - u_2 = U_{1,2}$$

seyn.

Denken wir uns mehrere Leiter, etwa 3, so mit einander in Berührung gebracht, daß der Leiter 1 den Leiter 2 und dieser den Leiter 3 berührt, so wird die Elektrizität auf diesen sich immer ins Gleichgewicht setzen können. Nennen wir wieder das Potential der gesammten freien Elektrizität für einen Punkt des ersten Leiters u_1 , für einen des zweiten u_2 und für einen des dritten u_3 , und ferner die Spannung zwischen 1 und 2 $U_{1,2}$, die zwischen 2 und 3 $U_{2,3}$, so ist zu dem Gleichgewicht erforderlich, daß jede der drei Größen u_1 , u_2 , u_3 constant ist, und daß die Gleichungen

$$u_1 - u_2 = U_{1,2}$$

$$u_2 - u_3 = U_{2,3}$$

erfüllt sind. Nehmen wir aber an, daß die Leiter 1, 2, 3 so mit einander in Berührung gebracht worden sind, daß jeder von ihnen die beiden anderen berührt, so wird nicht immer ein Gleichgewicht der Elektrizität auf ihnen möglich seyn. Findet ein Gleichgewicht statt, so muß wieder jede der Größen u_1 , u_2 , u_3 constant seyn, und es müssen die Gleichungen:

$$u_1 - u_2 = U_{1,2}$$

$$u_2 - u_3 = U_{2,3}$$

$$u_3 - u_1 = U_{3,1}$$

erfüllt werden. Die Addition dieser Gleichungen giebt:

$$0 = U_{1,2} + U_{2,3} + U_{3,1};$$

dieser Bedingung müssen also die Spannungen der drei Leiter genügen, wenn ein Gleichgewicht der Elektrizität auf

ihnen möglich seyn soll; der Bedingung wird genügt, wenn die drei Leiter, der sogenannten Spannungsreihe angehören.

Wir haben jetzt zu untersuchen, was vorgehen wird, wenn diese Bedingung nicht erfüllt ist. In einem bestimmten Augenblicke wird die Vertheilung der freien Elektrizität in dem Systeme eine gewisse seyn; ich lasse es unbestimmt, ob diese freie Elektrizität sich auch hier nur auf der Oberfläche der Leiter befindet, oder ob sie in ihr Inneres gedrungen ist. Das Potential derselben in Bezug auf einen Punkt eines der Leiter sey u ; dieses u ist nicht constant sondern eine Function der Coordinaten des Punktes, auf den es sich bezieht; daher werden auch die Kräfte, die von der freien Elektrizität auf ein Elektrizitätstheilchen, das sich an irgend einer Stelle im Innern des Leiters befindet, ausgeübt werden, sich nicht das Gleichgewicht halten, sondern eine bestimmte Resultante liefern. Wir denken uns im Innern des Leiters ein Raumelement σ , und bezeichnen jene Resultante für einen Punkt in σ durch R . Ist keine freie Elektrizität in σ vorhanden, so wird daselbst die neutrale elektrische Flüssigkeit zerlegt werden; die positive Elektrizität wird in der Richtung von R , die negative in der entgegengesetzten Richtung fortgeführt werden; dabei müssen die Mengen positiver und negativer Elektrizität, die in dem Elemente σ bewegt werden, und ebenso die Geschwindigkeiten derselben gleich seyn. Ich nehme an, daß die Menge der einen oder der anderen Flüssigkeit, die in der Zeiteinheit durch einen Querschnitt von σ getrieben wird, der senkrecht auf der Richtung von R seyn soll, und dessen Größe durch dw bezeichnet werden mag,

$$= dw k R$$

sey, wo k die Leitungsfähigkeit des Körpers bezeichnet. Um zu entscheiden, was in dem Falle geschehen wird, wenn σ freie Elektrizität enthält, mache ich die Annahme, daß eine Bewegung der elektrischen Flüssigkeiten in einem Leiter nicht anders vor sich gehen kann, als wenn durch jedes Flächenelement in demselben gleichzeitig gleiche Men-

gen der beiden Elektricitäten nach entgegengesetzten Seiten strömen. Daraus folgt dann, dafs, auch wenn σ freie Elektricität enthält, durch $d\omega$ in der Zeiteinheit ebenso viel positive Elektricität in der Richtung von R strömt, als negative in der entgegengesetzten Richtung. Was die Menge der durch $d\omega$ strömenden Elektricitäten anbetrifft, so nehme ich an, dafs sie wiederum

$$= d\omega k R$$

ist.

Fügt man zu diesen Annahmen, die zum größten Theile schon von Weber in seinen elektrodynamischen Maafsbestimmungen ausgesprochen sind, noch die hinzu, dafs die Differenz der Werthe des Potentials der gesammten freien Elektricität für zwei Punkte, die in unmittelbarer Nähe aneinander diesseits und jenseits der Berührungsfläche zweier Leiter liegen, dieselbe bleibt, sey es, dafs ein Strom durch die Leiter geht, oder dafs die Elektricität sich in ihnen in Ruhe befindet; so gelangt man unter der Voraussetzung, dafs der elektrische Zustand des Systemes ein stationärer geworden ist, zu denselben Gleichungen für das Potential der freien Elektricität, die aus der Ohm'schen Vorstellung für die elektroskopische Kraft, d. i. die Dichtigkeit der Elektricität, sich ergeben.

In der That, nennen wir die Normale des Elementes $d\omega$, die die Richtung von R hat, N , so ist

$$R = - \frac{du}{dN},$$

also die durch $d\omega$ in der Zeiteinheit fließende Menge positiver oder negativer Elektricität.

$$= - k d\omega \frac{du}{dN}.$$

Aus der Ohm'schen Vorstellung folgt derselbe Ausdruck für diese Menge, falls man mit u die elektroskopische Kraft bezeichnet¹⁾). Aus diesem Ausdrucke kann man aber, ohne auf die Bedeutung von u einzugehn, schliessen,

1) Diese Ann. Bd. 75, S. 191; hier ist Spannung genannt, was Ohm als elektroskopische Kraft bezeichnet.

dafs wenn der Zustand des Systemes ein stationärer geworden ist, u der Differentialgleichung

$$\frac{d^2u}{dx^2} + \frac{d^2u}{dy^2} + \frac{d^2u}{dz^2} = 0$$

und für jeden Punkt der freien Oberfläche des Leiters der Gränzbedingung

$$\frac{du}{dN} = 0$$

genügen mufs; dafs ferner für jeden Punkt der Berührungsfläche zweier Körper die Gleichung:

$$k \frac{du}{dN} + k_1 \frac{du_1}{dN} = 0.$$

gilt. Zu diesen Bedingungen ist, sowohl bei der Ohm'schen Vorstellung als bei der hier auseinandergesetzten, noch die hinzuzufügen, dafs für jeden Punkt derselben Berührungsfläche $u - u_1 =$ der Spannung der beiden Körper wird. Für die Gröfsen u ergaben sich also bei beiden Vorstellungen dieselben Gleichungen; in Bezug auf die Strömungen, die durch die Differentialquotienten dieser Gröfsen bestimmt sind, erhält man also dieselben Resultate, mag man von der einen oder von der andern ausgehen. Verschiedene Resultate erhält man aber in Betreff der Vertheilung der freien Elektricität in der Kette. Nach Ohm giebt der Werth von u an jeder Stelle des Systems unmittelbar die Dichtigkeit der Elektricität an, nicht so bei der hier entwickelten Ansicht; aus dieser folgt, dafs auch bei der geschlossenen Kette freie Elektricität sich nur auf der Oberfläche der Leiter befinden kann. Da nämlich u innerhalb eines der Leiter der Differentialgleichung

$$\frac{d^2u}{dx^2} + \frac{d^2u}{dy^2} + \frac{d^2u}{dz^2} = 0$$

genügt, so mufs u ein Potential von Massen seyn, die ausserhalb dieses Leiters liegen; u ist aber das Potential aller freien Elektricität; von dieser kann also kein Theil im Innern jenes Leiters, also überhaupt nicht im Innern irgend eines der Leiter liegen.

Die hier angestellten Betrachtungen gelten, welches auch

die Zahl, die Gestalt und die Anordnung der Leiter ist, die mit einander in Berührung gebracht worden sind; sie gelten also auch für den Fall, daß eine Platte eines Condensators mit einem Punkte einer geschlossenen Kette in Verbindung gesetzt ist, und geben daher die Theorie solcher Versuche, wie die oben angeführten des Hrn. Kohlrausch sind. Die Resultate, die sie liefern, sind in vollkommener Uebereinstimmung mit den Ergebnissen dieser Versuche.

Den durchgeführten Betrachtungen liegt das elektrostatische Gesetz der Wirkung elektrischer Theilchen zu Grunde. Aus diesem Gesetze lassen sich die Ampère'schen elektrodynamischen Erscheinungen und die Inductionserscheinungen nicht erklären; Weber hat ein allgemeineres Gesetz gefunden, durch welches es ihm gelungen ist, jene Erscheinungen zu erklären, ein Gesetz, in dessen Ausdruck die relative Geschwindigkeit der Theilchen, deren Wirkung auf einander betrachtet wird, vorkommt, und das in das elektrostatische übergeht, wenn diese Geschwindigkeit verschwindet. Um die verschiedenen Felder der Elektrizitätslehre unter einen Gesichtspunkt zu bringen, muß man sich daher die Aufgabe stellen, die Gesetze der Strömungen in der geschlossenen Kette aus dem Weber'schen Gesetze herzuleiten. Diese Herleitung scheint schwer zu seyn, doch ist es leicht *a posteriori* zu beweisen, daß die Vorstellung von den Strömungen, zu denen die Annahme des elektrostatischen Gesetzes geführt hat, auch mit dem Weber'schen Gesetze in Einklang ist, wenn man noch eine gewisse Hypothese zu Hülfe nimmt, die Hypothese nämlich, daß bei der Berechnung der Kraft, welche eine Scheidung der beiden Elektricitäten in dem Raumelemente v eines der Leiter hervorbringt, die Elektricitäten in v als ruhend angesehen werden müssen. Diese Annahme hat nichts Widerstrebendes, wenn man sich vorstellt, daß die Bewegung der Elektricität in einem Leiter nur von Molecül zu Molecül vor sich geht, so daß jedes Elektricitätstheilchen bei einem Molecüle, bei dem es ankommt, einen

Ruhe-

Ruhepunkt findet. Bei dieser Vorstellung kann man leicht zugeben, daß die Elektrizitätsmenge, die von einem Molecül zu einem benachbarten übergeführt wird, nur durch die Kräfte bedingt wird, die auf die Elektrizitätstheilchen ausgeübt werden, während sie noch an jenem Molecül sich in Ruhe befinden, nicht aber durch die Kräfte, die auf sie wirken, während sie schon auf dem Wege zum folgenden Molecül sind. In Bezug auf die Theorie der Induction, die Weber gegeben hat, ist es gleichgültig, ob man diese Annahme macht, oder nicht. Macht man dieselbe, und denkt sich übrigens die Strömungen in der Kette so, wie sie die Voraussetzung des elektrostatischen Gesetzes ergeben hat, so ist es, in Bezug auf die Größe und die Richtung der Kraft, welche die Elektrizitäten in dem Elemente σ zu scheiden strebt — also in Bezug auf die elektromotorische Kraft, wie Weber sie nennt —, gleichgültig, ob man von dem elektrostatischen oder dem Weber'schen Gesetze ausgeht. Der Unterschied, der möglich wäre, müßte nämlich herrühren von den Kräften, welche die in den anderen Theilen des Systemes strömenden Elektrizitäten ausüben, und diese Kräfte tragen nach dem, was Weber bewiesen hat, zu jener elektromotorischen Kraft nichts bei, da die Strömungen constant sind, und gleiche Mengen der beiden Elektrizitäten nach entgegengesetzten Richtungen mit derselben Geschwindigkeit führen.

VI. *Chemische Mittheilungen von* *C. F. Schoenbein.*

Versuche in der Absicht angestellt, den Einfluß näher kennen zu lernen, welchen gewisse chemische Vergesellschaftungen des Sauerstoffs sowohl auf das Oxydationsvermögen als das Volta'sche Verhalten dieses Körpers aus-

üben, haben mich zur Ermittlung einer Reihe von Thatsachen geführt, welche meines Wissens neu und nicht ohne alles Interesse sind, weshalb auch einige derselben in nachstehenden Aufsätzen beschrieben werden sollen.

I. Ueber die Zersetzung des Jodkaliums auf trockenem Wege.

Dieses Salz wird unter Jodausscheidung durch folgende Substanzen auf trockenem Wege zerlegt:

1. durch die Metallsäuren mit *fünf* Atomen Sauerstoffgas.

a) *Arsensäure*. Schon beim Zusammenreiben der wasserfreien Säure mit dem trocknen Jodsalz wird einiges Jod frei, indem sich die Masse braungelb färbt, und reichlichst entbinden sich Joddämpfe aus dem Gemenge bei erhöhter Temperatur unter Bildung arsensauren Kalis und arsenigter Säure, gemäß der chemischen Gleichung $3\text{AsO}^5 + 2\text{KJ} = 2\text{KAs} + \text{AsO}^3 + 2\text{J}$. Erreicht die Temperatur nicht den Verdampfungspunkt von AsO^3 , so sublimirt sich nur Jod, sonst noch arsenigte Säure. Uebrigens zersetzt auch die wäßrige Lösung der Arsensäure in der Wärme ziemlich lebhaft das Jodkalium, natürlich ebenfalls unter Jodentbindung und Bildung von arsensaurem Kali und arsenigter Säure.

b) *Antimonsäure*. Ein wasserfreies Gemenge dieser Säure und des Jodkaliums stößt bei höherer Temperatur dicke Joddämpfe aus, ohne Zweifel unter Bildung antimonsauren Kalis und Antimonoxyds.

2. Durch die Metallsäuren mit *drei* Atomen Sauerstoffes.

a) *Chromsäure*. Schon in der Kälte scheidet sich beim Vermengen der trockenen Säure mit Jodkalium Jod ab und bei mäfsiger Erhitzung werden dicke Jodqualme entbunden unter Bildung von Kalichromat und Chromoxyd.

b) *Kalibichromat*. Dieses Salz wirkt wie die freie Chromsäure auf das Jodkalium ein; denn ein inniges Gemenge beider Substanzen läßt schon in der Kälte eine merkliche

Menge Jodes fahren und es qualmen aus demselben bei einer Temperatur, die noch weit unter der dunkeln Rothgluth liegt, die dicksten Joddämpfe auf. $5K\ddot{C}r^2 + 3KJ$ setzen sich hiebei in $8K\ddot{C}r + Cr^2O^3 + 3J$ um, weshalb drei Gewichtstheile des Bichromates völlig hinreichen, um das in zwei Gewichtstheilen Jodkaliums enthaltene Jod abzutrennen. Der bei dieser Reaction erhaltene Rückstand ist eine schmutzig grüne Masse, welche an das Wasser einfach chromsaures Kali abgiebt, unter Zurücklassung von Chromoxyd. Im Kalibichromat besitzen wir somit ein eben so einfaches als nettes Mittel, Jod auf trockenem Wege aus dem Jodkalium zu gewinnen; wie man leicht begreift, ist diese zierliche Methode der Joddarstellung keineswegs kostspielig, da der volle Werth des dabei verwendeten Bichromats wieder in dem einfach chromsauren Kali und Chromoxyd gewonnen wird.

c) *Molybdänsäure.* Die trockene Säure scheidet schon in der Kälte aus dem gleichbeschaffenen Jodsalz einiges Jod und reichlich bei mäßiger Erwärmung ab, ohne Zweifel unter Bildung molybdänsauren Kalis und Molybdänoxydes.

d) *Wolframsäure.* Diese Substanz verhält sich wie Molybdänsäure.

e) *Vanad- und Tantalsäure.* Ich habe zwar mit diesen Säuren, welche mir im Augenblick nicht zu Gebot stehen, noch keine Versuche angestellt, zweifle aber nicht, daß sie aus dem Jodkalium das Jod abscheiden werden unter Bildung von vanad- und tantalsaurem Kali und Erzeugung niedrigerer Oxydationsstufen des Vanads und Tantals.

3. Durch die Metallsäuren mit zwei Atomen Sauerstoffes.

a) *Zinnsäure.* Sowohl die beiden künstlich bereiteten isomeren Modificationen der Zinnsäure, als auch der in der Natur vorkommende Zinnstein, innig mit Jodkalium gemengt, scheiden aus diesem Salz in der Hitze Jod ab, wahrscheinlich unter Bildung von Kalistannat und Zinnoxidul.

b) *Titansäure*. Wie voransteht.

c) *Uransäure*. Ebenso.

4. Durch Säuren mit metalloidalen Grundlagen.

a) *Phosphorsäure*. Beim Eintragen vollkommen trockenen und fein gepulverten Jodkaliums in geschmolzene wasserfreie Phosphorsäure findet eine stürmische Jodentwicklung statt und wird diese Arbeit in einem offenen Platintiegel vorgenommen, so kommt dabei eine Flamme zum Vorschein, welche, durch die gleichzeitig sich entbindenden Joddämpfe gesehen, eine carmesinrothe Färbung hat und nur kurze Zeit andauert. Auch das geschmolzene Phosphorsäurehydrat ($\text{HO} + \text{PO}^5$) scheidet reichlich Joddämpfe aus dem Jodkalium ab unter der eben erwähnten Flammenerscheinung, wobei jedoch ziemlich viel Jodwasserstoff auftritt. Würde die wasserfreie Phosphorsäure wie die ihr ähnliche Arsensäure auf Jodkalium einwirken, was wahrscheinlich ist, so setzten sich in der Hitze $3\text{PO}^5 + 2\text{KJ}$ in $2\text{KP} + \text{PO}^3 + 2\text{J}$ um, und rührt die im Platintiegel erscheinende Flamme von der Verbrennung der entstandenen und in der Hitze dampförmig gewordenen phosphorichten Säure her.

b) *Kieselsäure*. Ein inniges Gemenge chemisch-reiner Kieselsäure und Jodkaliums entbindet bei höherer Temperatur sichtbare Joddämpfe, vorausgesetzt jedoch, atmosphärische Luft oder Sauerstoffgas stehen mit der erhitzten Masse in Berührung. Ohne Erfüllung dieser Bedingung keine Jodentwicklung. Von der Richtigkeit dieser Angabe überzeugt man sich, indem man durch eine Glasröhre, gefüllt mit dem besagten Gemenge, Kohlensäure, Wasserstoff oder Stickstoff strömen läßt, während die Röhre stark erhitzt wird. Unter diesen Umständen kommt keine Spur freien Jodes zum Vorschein; verwechselt man aber die genannten Gase mit atmosphärischer Luft oder Sauerstoffgas, so wird Jod um so lebhafter ausgeschieden, je höher die Temperatur des Gemenges ist, und es wird kaum der ausdrücklichen Bemerkung bedürfen, daß sich unter diesen Umständen ein Kalisilicat bildet.

c) *Borsäure*. Sie verhält sich ähnlich der Kieselsäure.

Aus diesen Thatsachen erhellt, daß freie Kieselsäure oder Borsäure in Berührung mit Jodkalium und Sauerstoffgas bei höherer Temperatur den letzteren bestimmt, sich mit dem Kalium des Jodsalzes zu verbinden, um ein Silicat oder Borat zu bilden; wie umgekehrt freies Kali in Berührung mit Mangan oder Chrom und Sauerstoffgas die Umwandlung dieser Metalle in Säuren verursacht.

Ich brauche wohl nicht zu sagen, daß alle die oben genannten Metallsäuren, nebst der Phosphorsäure, auch bei völligem Luftabschluß das Jodkalium unter Jodabscheidung und Bildung von Kalisalzen zerlegen, woraus sich ergibt, daß das Kalium des Jodsalzes durch einen Theil des in diesen Säuren enthaltenen Sauerstoffes oxydirt wird, wie dieß übrigens auch schon das Auftreten der niedrigeren Oxydationsstufen der metallischen Radikale besagter Säuren, z. B. der arsenigten Säure, das Chromoxydes u. s. w. zeigt.

5. Durch Eisensalze.

a) *Eisenchlorid*. Aus einem wasserfreien Gemenge dieses Salzes und Jodkaliums wird schon in der Kälte ziemlich viel Jod frei und entbinden sich bei mäßiger Erwärmung die dicksten Joddämpfe unter Bildung von Eisenchlorür und Chlorkalium. Eine möglichst concentrirte Eisenchloridlösung fällt aus einer gleichbeschaffenen Jodkaliumlösung einen großen Theil des Jodes in krystallinischer Form aus, wobei natürlich ebenfalls Eisenchlorür und Chlorkalium entsteht, gemäß der chemischen Gleichung $Fe^2 Cl^3 + KJ = 2Fe Cl + KCl + J$. Nach diesen Angaben ist die Bemerkung fast überflüssig, daß ein Aeq. Eisenoxydes mit einem Aeq. Jodkaliums vermenget und mit drei Aeq. Salzsäure übergossen bei hinreichend langer Erwärmung in zwei Aeq. Eisenchlorürs ein Aeq. Chlorkaliums und ein Aeq. freien Jodes sich umsetzen.

b) *Eisenoxydsulfat*. Das trockene sogenannte neutrale schwefelsaure Eisenoxyd (FeS^3) macht schon in der Kälte einiges Jod aus dem Jodsalz frei und aus einem iuuigen

Gemenge beider Salze steigen bei mäßiger Erwärmung dicke Jodqualme auf, ohne daß hierbei schweflichte Säure sich entbände. Ein Gemenge von einem Aeq. Eisenoxydes und einem Aeq. Jodkaliums mit drei Aeq. Schwefelsäure übergossen, die zuvor stark mit Wasser verdünnt worden und für sich allein kein Jod mehr aus dem Jodkalium auszuscheiden vermag, entbindet bei der Siedhitze reichliche Joddämpfe, und hören diese auf zu erscheinen, so enthält der Rückstand nur schwefelsaures Eisenoxydul und Kalisulfat. Hieraus erhellt, daß $\text{Fe}^2\text{O}^3 + 3\text{SO}^3 + \text{KJ}$ sich in $2\text{FeS} + \text{K}^2\text{S} + \text{J}$ umsetzen und zum Behufe der Jodabscheidung des Jodes aus dem Jodkalium eben so gut Eisenoxyd als Brauneisen angewendet werden kann.

c) *Eisenoxydsalze* überhaupt. Alle von mir bisjetzt geprüften Eisenoxydsalze, wie z. B. das Phosphat, Arseniat, verhalten sich gegen Jodkalium ähnlich dem Eisenchlorid oder Eisenoxydsulfat, d. h. sie alle machen aus dem Jodsalz in der Wärme reichlich Jod frei unter Bildung von Eisenoxydul- und Kalisalzen.

d) *Kaliumeisencyanid*. Ein inniges Gemenge des trockenen Cyanides und gleichbeschaffenen Jodkaliums dampft schon in der Kälte einiges Jod aus und entwickelt bei der Siedhitze des Wassers sichtbare Joddämpfe. Bei merklich höherer Temperatur wird kein Jod mehr frei und finden Reactionen statt, die ich noch nicht näher ermittelt habe. Innerhalb gewisser Temperaturgränzen dürfte das Cyanid auf das Jodsalz so einwirken, daß sich $3\text{K Cy} + \text{Fe}^2\text{Cy}^3 + \text{KJ}$ in $2(2\text{K Cy} + \text{Fe Cy}) + \text{J}$ umsetzen.

6. Durch Kupferoxydsalze. Es ist bekannt, daß in Wasser gelöste Kupferoxydsalze durch Jodkalium so zersetzt werden, daß Kalisalze nebst Halbjodkupfer entstehen und Jod frei wird. Nach meinen Erfahrungen scheiden auch die wasserfreien und freien und festen Kupferoxydsalze, wovon selbst das Carbonat keine Ausnahme macht, schon in der Kälte Jod aus dem trockenen Jodkalium ab, wie dieß das Blauwerden des Stärkeklisters

beweist, den man in Papierstreifen im Gefäße aufhängt, worin sich das Gemenge irgend eines Kupferoxydsalzes und Jodkaliums befindet. Aus derartigen Gemengen entwickeln sich bei der Siedhitze des Wassers sichtbare Joddämpfe und dicke Qualme derselben bei einer Temperatur, die noch ziemlich weit von der dunkeln Rothgluth entfernt ist. Kupferchlorid und Kupferoxydsulfat eignen sich zu diesen Versuchen am besten. Die hierbei gewonnenen Rückstände habe ich noch nicht näher untersucht.

Es bedarf wohl kaum der ausdrücklichen Angabe, daß es aufer dem Jodkalium noch manche andere Jodmetalle giebt, welche sich durch die oben angegebene Mittel auf trockenem Wege unter Jodabscheidung zerlegen lassen; ebenso ist nicht daran zu zweifeln, daß auch noch andere als die erwähnten metallischen Sauerstoffverbindungen zersetzend auf das Jodkalium einwirken, wie ich dies in Bezug auf einige Oxyde in einem Nachtrag zeigen werde.

Zum Schlusse noch eine Bemerkung. Da für mich das Jodkalium eine kalihaltige Verbindung und das Jod ein Superoxyd ist, so muß ich natürlich die oben angeführten Thatsachen anders erklären, als dies die herrschende Theorie thut und als ich es selbst im voranstehenden Aufsatz gethan. Ueberall, wo diese Theorie das Kalium oxydirt werden läßt, findet nach der ältern Hypothese, die ich für die richtige halte, eine Oxydation des Jodiumoxydes zu Superoxyd oder zu dem statt, was wir heute Jod nennen.

II. Ueber die Zersetzung des Bromkaliums auf trockenem Wege.

Da die Zersetzungsverhältnisse dieser Verbindung denjenigen des entsprechenden Jodsalzes sehr ähnlich sind, so kann ich mich kurz fassen in den Angaben über die Umstände, unter welchen aus dem Bromkalium Brom auf trockenem Wege abgeschieden wird. Alle obengenannten Metallsäuren und Salze entbinden mehr oder minder reichlich Brom bei Anwendung von Wärme, und da dieser Körper inniger als das Jod an die metallischen Radikale gebunden

ist, so folgt hieraus, daß die Bromentbindung aus den Brommetallen durch die oben angegebenen sauerstoffhaltigen Mittel nicht so leicht bewerkstelligt wird, als die Jodentwicklung aus den Jodmetallen. Als die bequemsten Mittel zur Abtrennung des Broms vom Bromkalium auf trockenem Wege dienen das Kalibichromat und das Eisenchlorid, welches letztere auch im aufgelösten Zustand dazu benutzt werden kann, aus Bromkalium das Brom durch Destillation zu gewinnen.

Was das geschmolzene Phosphorsäurehydrat betrifft, so entwickelt dasselbe aus dem genannten Bromsalz wenig freies Brom und viel Bromwasserstoff; und mit Kieselsäure das Bromkalium unter Beiseyn von Sauerstoffgas auch noch so stark erhitzt, vermochte ich kaum Spuren von freiem Brom zu erhalten.

III. Ueber die Zersetzung einiger Chlormetalle auf trockenem Wege.

Da unter den drei sogenannten Salzbildnern Jod, Brom und Chlor, das letztere mit den Metallen die innigsten Verbindungen eingeht, so folgt hieraus, daß diese Chloride ihrer Zersetzung auf trockenem Wege auch den gröfseren Widerstand entgegensetzen werden.

Chlorkalium oder Chlornatrium mit irgend einer der oben genannten, das Jod- und Bromkalium zersetzenden, Substanzen gemengt, lassen selbst bei starker Erhitzung kein Chlor fahren, wohl aber die Chloride des Bariums, Strontiums, Calciums, Magniums und wahrscheinlich noch einiger anderen Metalle. Zu einer solchen Chlorabscheidung eignet sich nach meinen Erfahrungen am besten das Kalibichromat. Aus einem innigen und vollkommen trocknen Gemenge dieses Salzes und Chlorcalciums entwickelt sich bei höherer Temperatur eine merkliche Menge Chlorgases unter Bildung einfach chromsauren Kalis und Kalkes nebst Chromoxyd.

Wie es scheint, zeigen ein solches Verhalten alle diejenigen Chloride, welche an der Luft erhitzt einiges Chlor

fahren lassen, während ein Theil ihres Metalles durch den atmosphärischen Sauerstoff oxydirt wird.

IV. Ueber einige desoxydirenden Wirkungen der Kohle.

1) Schüttelt man auch nur einige Augenblicke gewöhnliches Kohlenpulver mit einer wässrigen Lösung vollkommen reinen Eisenchlorides, so wird diese, wenn filtrirt, durch Kaliumeisencyanid aufs Tiefste gebläut werden, was beweist, dafs unter den angeführten Umständen Eisenchlorür entsteht. Behandelt man eine gegebene Menge besagter Chloridlösung lange genug mit hinreichend viel Kohlenpulver, so wird alles Chlorid in Chlorür verwandelt. Je feiner die Kohle zertheilt ist, desto rascher erfolgt diese Veränderung, weshalb geglühter Kienrufs viel wirksamer sich verhält, als gewöhnliches Kohlenpulver. Es verdient bemerkt zu werden, dafs selbst gepulverter Coaks eine gleiche Wirkung auf das Eisensalz hervorbringt.

2) In Wasser gelöstes schwefelsaures, salpetersaures und essigsäures Eisenoxyd werden durch Schütteln mit Kohlenpulver vollständig in Oxydulsalze verwandelt, woraus wohl zu schliessen ist, dafs alle in Wasser oder irgendwie gelöste Eisenoxydsalze durch Kohle schon in der Kälte in Oxydulsalze sich überführen lassen.

Hinsichtlich des Verhaltens der Kohle zu der Eisenoxynitratlösung dürfte noch folgende Angabe am Orte seyn. Ist die Lösung so verdünnt, dafs sie hell gelbbraun erscheint und hat man dieselbe einige Minuten lang mit Kohlenpulver geschüttelt, so sieht das Filtrat viel dunkler aus, als die ursprüngliche Lösung. Nach einer abermaligen kurzen Behandlung mit frischer Kohle fällt die Färbung der Lösung noch dunkler aus, und nach einer dritten oder vierten Operation der gleichen Art wird die Flüssigkeit beinahe farbelos erscheinen, in welchem Falle sie dann keine Spur von Eisenoxydsalz mehr, sondern nur Oxydulsalz enthält. Diese Verdunkelung der Farbe rührt davon her, dafs die Kohle der Eisenoxydsalzlösung nicht nur Sauerstoff, sondern gleichzeitig auch etwas Salpetersäure ent-

zieht, was Bildung von basisch salpetersaurem Eisenoxyd, d. h. besagte Verdunkelung zur Folge hat.

3) Wird die Lösung des Kaliumeisencyanides auch nur wenige Augenblicke mit gewöhnlichem Kohlenpulver geschüttelt, so bläut sich die filtrirte Flüssigkeit mit Eisenchlorid — oder irgend einer andern oxydulfreien Eisenoxysalzlösung schon merklich stark. Die gleiche Cyanidlösung lange genug mit einer hinreichenden Menge Kohlenpulvers geschüttelt, verändert sich so, daß sie mit gelösten Eisenoxysalzen reichliche tiefblaue Niederschläge liefert oder bei ihrer Verdampfung einen gelblichen Rückstand läßt, den ich noch nicht näher untersucht habe, der aber dem größern Theile nach aus Kaliumeisencyanür zu bestehen scheint.

Betrachtet man das gelöste Kaliumeisencyanid als ein Doppelsalz, aus blausaurem Kali und blausaurem Eisenoxyd zusammengesetzt, und das gelöste Kaliumeisencyanür als blausaures Eisenoxydalkali, so würde die erwähnte Wirkung der Kohle aus einer Umwandlung des Eisenoxys in Eisenoxydul sich erklären lassen.

4) Quecksilberchloridlösung lange genug mit einer hinreichenden Menge Kohlenpulvers geschüttelt, wird geschmacklos und unfähig mit Kalilösung Quecksilberoxyd zu liefern. Es verwandelt sich unter diesen Umständen das Quecksilberchlorid in Chlorür.

5) Eine verdünnte Lösung völlig oxydulfreien Quecksilberoxydnitrates auch nur einige Augenblicke mit Kohlenpulver geschüttelt und dann filtrirt, trübt sich mit Salzsäure oder Kochsalzlösung versetzt, schon ziemlich stark, was von gefällttem Quecksilberchlorür herrührt und welche Thatsache beweist, daß die Kohle selbst in der Kälte einen Theil des salpetersauren Quecksilberoxyds augenblicklich in Oxydulsalz verwandelt. Indem ich die gleiche Quecksilberoxydnitratlösung drei oder vier Male mit frischen Portionen Kohlenpulvers rasch hintereinander schüttelte, gelangte ich dahin, im Laufe einer Viertelstunde ein von Oxyd völlig freies Oxydulsalz zu erhalten. Diese Eigen-

schaft der Kohle läßt sich dazu benutzen, lösliche Quecksilberoxydulsalze von einer etwaigen Beimischung von Oxydsalz zu befreien. Einer anderen merkwürdigen desoxydierenden Wirkung der Kohle wird in einem folgenden Aufsatz gedacht werden.

Basel im Mai 1849.

VII. *Ueber die latente Wärme des Wasserdampfs bei Sättigung unter verschiedenem Druck; von Hrn. V. Regnault.*

(Schluß der S. 216 dieses Bandes abgebrochenen Abhandlung¹).

Nach dieser Einleitung gehe ich zur Beschreibung der Apparate über.

Die wesentlichen Theile sind: 1) ein Dampfkessel, 2) ein Condensator, 3) ein Luftbehälter, welcher als künstliche Atmosphäre dient, 4) ein System von zwei einander vollkommen ähnlichen Calorimetern, 5) ein dampfvertheilender Hahn, 6) ein Quecksilbermanometer und 7) eine Luft-Druckpumpe. (Fig. 3 und 4 Taf. II. zeigen den Apparat im Grund- und Aufrifs, so weit es bei verkleinertem Maafsstabe möglich war.)

1. Der Kessel ist aus 12 Mllm. dickem Eisenblech gebildet, hat 0^m,64 im Durchmesser und 0^m,8 in Höhe. Der wohl aufgebolzte Deckel desselben ist 30 Mllm. dick und hat 2 Oeffnungen, eine in der Mitte und eine seitwärts. Die in der Mitte ist verschlossen durch eine gufseiserne

1) Bei Uebersetzung dieses zweiten Theils der Abhandlung haben wir an mehren Stellen, so weit es ohne Schaden für das Verständniß geschehen konnte, Abkürzungen eintreten lassen, zumal die dazu gehörigen Figuren, die im Original mehr als drei Tafeln in Groß-Folioformat füllen, doch nicht anders als in verkleinertem Maafsstabe und unter Fortlassung verschiedener Details wiederzugeben waren. P.

Platte, in welche drei unten verschlossene Eisenröhren hermetisch eingelassen sind. Diese Röhren dienen zur Aufnahme der Thermometer, mittelst welcher die Temperatur des Dampfs und des Wassers im Kessel bestimmt wird. Eine dieser Röhren geht bis zum Boden des Kessels, die andere nur bis zur Mitte und niemals bis ins Wasser hinab. Beide halten inwendig 10 Mllm. im Durchmesser; die dritte, von 30 Mllm. innerem Durchmesser, nimmt den Behälter eines Luftthermometers auf.

Der Kessel faßt etwa 300 Liter Wasser, wird indefs nur mit 150 Liter versehen, die durch eine dicht verschließbare Oeffnung im Deckel eingegossen werden. Er steht (in einem Nebengemach, in Verlängerung des Rohrs $T'T$ Fig. 3) in einem gemauerten Ofen, dessen Schornstein, zur Regulirung des Luftzugs, mit einem Schoß versehen ist.

Die seitliche Oeffnung im Deckel nimmt ein Kupferrohr OO' auf, welches den Dampf aus dem Kessel in den Vertheilungsbahn R und somit in die Calorimeter führt. (Fig. 5. Taf. II. zeigt einen Theil desselben.) Um zu verhüten, daß in diesem Rohre Dampf verdichtet, und flüssiges Wasser hineingerissen werde, ist dasselbe, welches 35 Mllm. im Durchmesser hält, umgeben von einer weiteren, 9 Centm. im Durchmesser haltenden Röhre TT' , welche ebenfalls Dampf enthält. Dieser Dampf kommt auch aus dem Kessel und hat genau die Temperatur desselben, wird aber nicht zum Versuch gebraucht; er tritt auch nicht in den Hahn R , sondern hat seinen Ausgang durch eine Röhre $s_1 s_2$, welche ihn direct zum Condensator D führt und durch einen Hahn verschließbar ist.

Das innere Rohr OO' sitzt nicht bloß an dem Kessel, sondern geht in denselben hinein, macht darin zwei schlangenförmige Umgänge und mündet genau in der Mitte der Dampfkammer. Sonach wird der Dampf aus der Mitte der Kammer geschöpft und ohne Abkühlung bis in den Vertheilungsbahn R geführt.

2. Der Condensator D ist ein Cylinder von 12 Mllm. dickem Eisenblech und steht in einem großen Behälter $V_1 V_2$,

von Eisen, der mit kaltem Wasser gefüllt ist und ihn dadurch stets in einer niedrigen Temperatur erhält.

Dieser Condensator trägt mehrere metallene Tubulaturen. Eine erste derselben α , versehen mit einem Hahn R_1 , setzt den Condensator, mittelst einer kupfernen Röhre $\alpha\alpha_1\alpha_2$, in Verbindung mit dem inneren Theil des Verbindungshahns R ; eine zweite β führt mittelst der kupfernen Röhre $\beta\beta_1\beta_2$ zu einer metallenen Büchse M , die dazu dient, den Druck gleichmäßig im ganzen Apparat zu vertheilen; eine dritte, unten, dient zum Ablassen der verdichteten Flüssigkeit; und eine vierte, seitwärts, führt zu einem Niveau-Anzeiger $h'h'$.

Um den Condensator, der 60 Liter faßt, beständig in einer niederen Temperatur zu erhalten, wird das ihr umgebende Wasser im Behälter V_1V_2 fortwährend erneuert aus einer über ihm stehenden großen Wanne X . Aus dieser fließt das Wasser durch einen Heber t_6t_7 , der durch einen Hahn r_3 regulirt wird, zunächst in den Staucher $M'N'$, der den senkrechten Theil der Röhre $\beta\beta$ umgiebt, um darin die Verdichtung des Dampfs zu vollenden, falls sie im Condensator D nicht vollständig gewesen seyn sollte. Dann geht dießes Wasser durch die kleine Röhre $t_1t_2t_3$ bis zum Boden des Behälters V_1V_2 , während das erwärmte Wasser oben abfließt, zunächst in ein Gefäß G und von da in einen Brunnen.

3. Der Luftbehälter EF besteht aus einem Cylinder von 12 Mllm. dicken Eisenblech, hat 0^m,72 im Durchmesser, 1^m,4 in Länge, folglich eine Geräumigkeit von etwa 600 Litern. Er liegt in einem Bassin Y , gehalten von zwei Eisenstäben. Oben besitzt er in einem bronzenen Stück zwei Tubulaturen, eine verticale und eine horizontale. Erstere setzt den Behälter durch die Röhre tt' in Verbindung mit der Druck-Luftpumpe; letztere, durch die Röhre $\delta\delta_1$, mit der Büchse M .

4. Die Einrichtung der Calorimeter CC' begreift sich leichter aus der Fig. 6. Taf. II., die diese und den Vertheilungshahn R in lothrechtem Durchschnitt zeigt. Die Calorimeter bestehen aus zwei kupfernen Cylindern mit Deckeln

von sehr dünnem Metall. Ein Hahn s , am tiefsten Punkt ihres Bodens, erlaubt das Ablassen des in ihnen enthaltenen Wassers.

Das Schlangenrohr besteht erstens aus einer kupfernen Kugel A von 2 Mllm. Wanddicke, in welche der zu verdichtende Dampf unmittelbar gelangt. Das flüssige Wasser und der nicht verdichtete Dampf begeben sich durch die Röhre gh in eine zweite Kugel B , welche der ersten ähnlich ist, aber unten, aufserhalb des Calorimeters, einen Hahn r_1 trägt. Dieselbe Kugel hat auch oberwärts eine Tubulatur a und daran ein kupfernes Schlangenrohr, welches durch die Röhre $de\gamma_1$, in der Axe des Calorimeters, zu diesem hinausführt. In γ_1 ist ein Rand zum Anschrauben der kupfernen Röhren $\gamma_1\gamma$, welche die Verbindung mit der Büchse M herstellen.

Um das Wasser in den Calorimetern während des Versuchs beständig durch einander zu rühren, ist ein Agitator angebracht. Derselbe besteht aus ausgeschnittenen Kupferingen in horizontaler Lage, versehen mit lothrechten Stielen, die durch einen horizontalen Stab $\eta\eta'$ verbunden sind (Fig. 4.). Letzterer sitzt in der Mitte an einem lothrechten Kupfercylinder, den man durch Schnüre, die über Rollen $\rho_2\rho_2\rho_3\rho_3$ laufen, aufziehen und herablassen kann. Der ganze Lauf des Agitators beträgt die halbe Höhe der Calorimeter. Jeder Stiel trägt zwei Kupferringe, in solcher Lage, dafs wenn der eine den Boden des Calorimeters nahezu berührt, der andere sich in der Mitte befindet. Auf diese Weise wird in beiden Calorimetern ein vollkommen gleichmäfsiges Umrühren bewerkstelligt.

Bei jedem Versuch wird ein gleiches Volum Wasser in die Calorimeter gebracht, abgemessen in dem Gefäfse H . Diefs aus verzinktem Eisenblech gemachte Gefäfs steht, an der Mauer befestigt, mit seinem Trichter unter dem Hahn R_6 der Wanne X . Trichter und Körper des Gefäßes sind seitlich verbunden durch eine Glasröhre $h_2h'_2$, auf welcher ein Visirstrich in der Ebene m_3n_3 , bis zu welcher das Gefäfs mit Wasser gefüllt wird. Unten hat das Ge-

fäfs einen dreifach durchbohrten Hahn, mittelst dessen man nach Belieben Wasser entweder durch die Röhre $\zeta\zeta'$ in das Calorimeter C , oder durch die Röhre $\xi\xi'$ in das Calorimeter C' bringen kann.

5. Der Vertheilungshahn B wird aus Fig. 5. Taf. II. verständlich werden. In einem Stück aus Metall gegossen besteht er erstlich aus einem ringförmigen Raum $jlnm$, in welchen der Dampf direct aus dem Rohre OO' gelangt, und zweitens aus einem centralen, schwach konischen Raum $hgik$, welcher den hohlen Hahn $abde$ einschließt. Zwei Röhren oC , $o'C'$ führen von diesem innern Raum zu den Calorimetern, und der hohle Hahn $abde$ gestattet, durch ein seitliches Loch o , die Verbindung mit dem einen oder dem andern Calorimeter herzustellen, oder sie mit beiden ganz zu unterbrechen.

Der Stiel f des Hahns geht in die Oeffnung B dampfdicht durch einen Hanfring, der mit geschmolzenem Kautschuck eingefettet ist und durch den Schraubenbolzen A zusammengepreßt wird. Oben ist er mit einer Handhabe versehen. (Fig. 6.)

Unten ist die Büchse $jlmn$ verschlossen durch eine angeschraubte und durchbohrte Platte $mnpp'$, aus welcher die Röhre α, α zum Condensator D führt. (Fig. 3.)

Die Verbindung der Tubulaturen oC , $o'C'$ mit den Schlangen in den Calorimetern bot beträchtliche Schwierigkeiten dar, da alle Verbindungsstücke innerhalb der Calorimeter bleiben mußten und, zum leichten Abfließen des aus der Verdichtung des Dampfs entstandenen Wassers, den Röhren qr eine geneigte Lage zu geben war. Fig. 6. Taf. II. wird indess die Einrichtung einigermaßen verständlich seyn.

6 und 7. Das Quecksilber-Manometer und die Luft-Druckpumpe sind dieselben Instrumente, welche schon in meiner Abhandlung über die Zusammendrückbarkeit der Gase und der über die Elasticität der Wasserdämpfe beschrieben wurden ¹⁾.

1) D. h. in den Abhandlungen, wie sie später in dem großen Werke des Hrn. Regnault ausführlich erschienen sind. Die früher in diesen Annä-

Das Manometer communicirt mit der Gesamtheit der Apparate durch die Röhre $\lambda\lambda'$, welche zur tubulirten Büchse M führt.

Alle

len (Bd. 65, S. 395 und Ergänzbd. S. II. S. 119) mitgetheilten Aufsätze enthalten die Beschreibung beider Instrumente noch nicht. Zum Verständniß derselben wollen wir daher nachstehendes bemerken.

Das *Manometer* ist im Wesentlichen ein U-förmiges Glasrohr mit einem kürzeren Schenkel, der zum übrigen Apparat führt, und einem längeren, der in freier Luft mündet. Es mißt die Spannung der in dem Apparat enthaltenen Dämpfe und Gase durch die Höhe der in seinem langen Schenkel aufsteigenden Quecksilbersäule und da diese Spannung bis zu einem Druck von 30 Atmosphären geht, so ist das Instrument von etwas colossaler Größe und von complicirterer Einrichtung, als es, wenn es nur zur Messung kleiner Drucke diente, seyn würde. Man sieht es in Fig. 3 und 4. Taf. II in Grund- und Aufriss angedeutet. Die Schenkel desselben bestehen aus Glasröhren von 3 Metern Länge, 10 Millm. innerem Durchmesser und 5 Millm. Wanddicke, und zwar der kurze Schenkel aus einer einzigen, der lange aber aus acht, die auf eine eigenthümliche Art sehr solid mit einander verbunden sind. Außerdem ist noch eine dritte Glasröhre angebracht, die oben zugeschmolzen ist und in diesen Versuchen nicht weiter gebraucht wird. Diese drei Glasschenkel aa' , bb' , cc' sind unten eingekittet in die Ansätze eines starken gußeisernen Kanals de , der vorne ein ziemlich weites cylindrisches Gefäß VV' von gleichem Material trägt. Kanal und Gefäß sind mit Quecksilber gefüllt, und um dieses zu Anfang des Versuchs bis zu einem bestimmten Punkt in den Röhren emporzutreiben, hat das Gefäß eine kleine Wasserpumpe pp' , die durch ein Hebelwerk sm bewegt wird. Das Manometer ist innerhalb eines Thurms an einer starken, aus mehreren Stücken zusammengesetzten Bohle aufgerichtet, und geht noch, fast zur Hälfte seiner Höhe, an einem solid befestigten Mastbaum über den Thurm hinaus. Innerhalb des Thurmes geschieht die Ablesung des Standes der Quecksilbersäule im Rohre bb' mittelst Kathetometer, die auf- und abgeschoben werden können, während auch für den Beobachter ein beweglicher Stuhl angebracht ist, mittelst dessen er sich in jede erforderliche Höhe versetzen kann. Eine ähnliche Vorrichtung befindet sich oberhalb des Thurms, wo indess der Beobachter den Stand der Quecksilbersäule an einer unmittelbar auf der Glasröhre befindlichen, Millimeter angehenden, Scale mittelst eines Fernrohrs abliest. Die Temperatur wird durch mehre, in verschiedener Höhe angebrachte Thermometer angegeben, und der Luftdruck durch ein Barometer.

Die *Luftpumpe*, welche den Zweck hat, Luft in dem Gefäße U (Fig. 3.) zu comprimiren, besteht aus drei einfachen Pumpen, deren

Alle Theile des Apparats wurden so construirt, das sie einen Druck von 20 Atmosphären ertragen konnten; allein die Hauptschwierigkeit bestand darin, sie vollkommen luftdicht zu machen. Zu dem Ende wurden die eisernen Cylinder mehrmals auswendig mit einer Salmiaklösung bestrichen und dann länger als einen Monat der oxydierenden Wirkung der Luft ausgesetzt. Durch den entstandenen Rost gelang es die kleinen Risse in dem Metall zu verstopfen und die Fugen luftdicht zu machen.

Der Apparat wurde dann vollständig zusammengestellt und die Luft darin, mittelst der Druckpumpe bis zu einem Druck von 5 Atmosphären comprimirt. Die Bassins, die Calorimeter u. s. w. wurden mit Wasser gefüllt, um alle die Theile unter Wasser zu setzen, die dazu bestimmt waren. Diejenigen, welche nicht unter Wasser gesetzt werden konnten, wurden sorgfältig untersucht, nachdem man sie mit Seifenwasser bestrichen hatte. Man entdeckte dadurch, hauptsächlich in den Apparaten aus Eisenblech, eine große Anzahl kleiner Risse; es gelang aber, sie zu verstopfen, indem man das Metall mit dem Polirstahl rieb. Einige Löchelchen wurden selbst in den bronzenen Stücken entdeckt; man hätte diese durch Zinnloth dichten können, allein, da diese Stücke bei dem Versuche stark erhitzt werden mußten, so hielt man es für besser, sie durch neue zu ersetzen. Die kupfernen Röhren wurden zuvor mit der hydraulischen Presse unter einem Druck von 20 Atmosphären untersucht.

Nach diesen Ausbesserungen wurde der Apparat wieder zusammengestellt, die Luft bis zu 10 Atmosphären Druck hineingepumpt und 24 Stunden stehen gelassen. Nach Ablauf dieser Zeit hatte die manometrische Säule sich nur um 1 Decimeter gesenkt und diese schwache Verringerung des Drucks war größtentheils durch eine Abnahme der Tem-

Kolbenstangen durch eine einzige, mit Schwungrad und Handhaben versehene Welle in Bewegung gesetzt werden. So lange der Druck nicht 10 Atmosphären übersteigt, reichen zwei Mann dazu aus, geht er aber bis zu 20 Atmosphären, sind vier Mann erforderlich.

peratur entstanden, wahrscheinlich auch durch eine Sauerstoff-Absorption seitens der feuchten Metallwände. Es war übrigens unmöglich, mittelst Seifenwassers das geringste Entweichen wahrzunehmen.

1. Gesamtwärme des Wasserdampfs unter dem Druck der Atmosphäre.

Für diesen Fall ist ein großer Theil der Stücke des Apparates überflüssig. Man setzt den Apparat mit der äußeren Luft in Verbindung, indem man den Hahn R_4 des Luftbehälters herauszieht; man läßt ihn aber in Verbindung mit dem Quecksilber-Manometer, um zu erfahren, ob nicht, während der Destillation, ein merklicher Druck-Ueberschuß stattfindet.

Man bringt etwa 150 Liter Wasser in den Kessel und steckt zwei Quecksilberthermometer in die Eisenröhren, solchergestalt, daß die Quecksilbersäulen kaum aus dem Kessel herausragen. Man beobachtet diese Thermometer mit einem Fernrohr.

Alle vom Dampf durchströmten und der freien Luft ausgesetzten Theile des Apparats werden mit Lagen von Flannell umhüllt, so namentlich das Rohr TT' , der Vertheilungsbahn R mit seinen Ansätzen, und die zum Condensator D führende Röhre $\alpha, \alpha_1, \alpha_2$.

Der Vertheilungshahn wird so gestellt, daß der Dampf in keins der Calorimeter gelangt, sondern direct, durch die Röhre $\alpha, \alpha_1, \alpha_2$ in den Condensator D . Man unterhält die Destillation etwa eine Stunde, so daß 20 bis 30 Liter in den Condensator übergehen. Dadurch wird die Luft vollständig ausgetrieben und die verschiedenen Theile des Apparats erlangen einen stabilen Temperaturzustand.

Man bringt in jedes Calorimeter das bestimmte Maas kalten Wassers und setzt die Agitatoren in Bewegung. Die Thermometer sind so tief eingesteckt, daß sie mit den Gipfeln ihrer Säulen kaum aus den Pfropfen hervorragen, die zu ihrer Befestigung in den Deckeln der Calorimeter dienen.

Sie werden mittelst Fernröhre abgelesen, die horizontal an verticalen Ständern verschiebbar sind.

Man macht einen vorläufigen Versuch, darin bestehend, daß man die Erwärmung der Calorimeter, unter beständiger Umrührung ihres Wassers, fünf Minuten lang beobachtet. Die Temperatur dieses Wassers ist niedriger als die der umgebenden Luft; die letztere sucht sie also zu erhöhen. Ebenso wird den Calorimetern auf dem Wege der Leitung durch die Verbindungsstücke des Vertheilungshahns beständig eine gewisse Wärmemenge zugeführt. Die Beobachtung giebt also die Summe dieser beiden Wärmemengen.

Durch Combination dieser Beobachtung mit einer andern, zuvor gemachten, bei welcher man die Erwärmung der Calorimeter unter ähnlichen Umständen, aber bei ungeheiztem Kessel, also bloß vermöge des Contacts mit der Luft, aufgezeichnet hat, erhält man die nöthigen Elemente zur Berechnung der Wärmemenge, welche den Calorimetern von dem Vertheilungshahn aus, wenn dieser einen Dampfstrom von 100° durchläßt, auf dem Wege der Leitung zugeführt wird. Solchergestalt ist dieses Berichtigungs-Element für die übrigen Versuche bestimmt.

Jetzt dreht man den Vertheilungshahn so, daß der Dampf in das Calorimeter *C* gelangt und beurtheilt die darin verdichtete Dampfmenge aus dem Gang des Thermometers dieses Calorimeters. Hat man die gewünschte Temperatur-Erhöhung erhalten, so schließt man den Hahn, indem man ihn in seine ursprüngliche Stellung versetzt. Der Dampf geht nun noch durch den Hahn *R*, begiebt sich aber ganz in den Condensator, während er, bei der früheren Stellung des Hahns, zum Theil in das Calorimeter *C* ging. Man kann übrigens den Antheil des Dampfs, der in das Calorimeter übergeht, und folglich die Zeit, welche das Wasser des Calorimeters zu seiner Erwärmung um eine gleiche Zahl von Graden erfordert, nach Belieben vergrößern oder verringern. Will man, daß diese Zeit sehr lang sey, so läßt man den Hahn *R*, des Condensators ganz of-

fen und öffnet den Vertheilungshahn R nur zum Theil. Will man dagegen, daß diese Zeit sehr kurz sey, so schließt man den Hahn R_1 theilweis und öffnet den Hahn R gänzlich. Die gesammte Dampfmenge, die während einer gegebenen Zeit in den Apparat übergeht, kann man übrigens vermehren oder vermindern, indem man das Feuer unter dem Kessel mehr oder weniger anschürt.

Im Moment, wo man den Hahn R verschließt, notirt man die Zeit, taucht das Thermometer bis nahe zum Gipfel seiner Säule in das Calorimeter C und beobachtet von Minute zu Minute die Temperaturen an den Thermometern beider Calorimeter.

Nach einer oder zwei Minuten kommt das Thermometer C zum Stillstand, und dann beginnt es zu sinken. Man fährt fort es 5 Minuten lang zu beobachten, eben so wie das Thermometer C' .

Nun läßt man das Wasser; welches sich im Calorimeter C verdichtet hat, abfließen und sammelt es in einem unter dem Hahn r_1 stehenden Kolben o , in welchem sich ein Thermometer mit sehr kleinem cylindrischem Behälter aufgehängt befindet. Sobald bei voller Oeffnung des Hahns r_1 das Ausfließen aufhört, schließt man ihn, schüttelt das Wasser im Kolben um, und beobachtet rasch seine Temperatur. Man stellt den Kolben wieder unter den Hahn und beobachtet abermals den Gang der Thermometer fünf Minuten lang. Nach Verlauf dieser Zeit öffnet man aufs Neue den Hahn r_1 und sammelt die Wassertropfen, die noch an den Wänden herabfließen. Die kleine Menge Flüssigkeit, welche die Innenwände benetzt, wird als gleich bei allen Versuchen und folglich als zum Apparate gehörig angesehen.

Ein Gehülfe wägt das in den Kolben aufgefangene Wasser.

Während dieser Zeit hat man den Agitator beständig in gleichförmiger Bewegung erhalten und damit fährt man auch während des zweiten Theils des Versuches fort, wenn das Calorimeter C' seinerseits functionirt.

Man verstärkt das Feuer unter dem Ofen, und wenn die Destillation wieder regelmässig geworden ist, was man aus der Art, wie das Wasser im Indicator h, h' des Condensators steigt, entnimmt, beobachtet man zugleich die Thermometer der Calorimeter C und C' , und bringt den Vertheilungsbahn R in die Stellung, bei der er den Dampf in das Calorimeter C' führt. Dann verfährt man genau so, wie es vorhin bei dem Calorimeter C beschrieben ist.

Endlich, nachdem das verdichtete Wasser aus dem Calorimeter C' abgelassen worden, beobachtet man 5 Minuten lang das Sinken der beiden Thermometer C und C' , welche ungeachtet der gleichen Wärmemengen, die ihnen auf dem Wege der Leitung vom Vertheilungsbahn R her zugeführt werden, erkalten, weil die Temperatur der Calorimeter höher ist als die des umgebenden Mediums.

-Sehen wir nun, wie man sich bei diesem Verfahren gegen die früher (S. 212. Heft X) bezeichneten Fehlerquellen schützt und wie der Versuch selber die Elemente zu den aufgezählten Berichtigungen liefert.

Die Einrichtung der innern Röhre, die den Dampf aus dem Centrum der Dampfkammer schöpft und darauf in Schlangengestalt mehr als vier Meter lang im Kessel herumläuft, hat den Zweck, das Fortschleudern von flüssigem Wasser, durch das Aufstossen der Flüssigkeit, zu verhüten. Diefs Aufstossen ist übrigens sehr schwach, weil das Sieden regelmässig unter einem constanten Luftdruck geschieht.

Der wirkende Dampf ist übrigens auf seinem ganzen Wege bis zu den kleinen, in die Calorimeter führenden Ansätzen ii' , die nur 4 Centm. lang sind, umgeben von einer dicken Dampfhülle, welche sich direct in den Condensator begiebt, und dieselbe Temperatur wie er besitzt. Zur grösseren Sicherheit sind alle metallenen Theile mit dickem Wollenzug umgeben.

Die Störungen endlich, die bei dem gewöhnlichen Verfahren zu Anfang und Ende des Versuchs stattfinden, stellen sich hier nicht ein, weil der Versuch weder Anfang

noch Ende hat. Erst, wenn die Destillation regelmässig geworden und alle Theile ihre normale Temperatur erlangt haben, tritt der Dampf in die Calorimeter.

Das beim Versuch beobachtete Steigen der Temperatur des Wassers im Calorimeter bedarf einer Berichtigung, deren Elemente vorhin aufgezählt wurden und sich durch folgende Betrachtungen bestimmen lassen.

Befinden sich die Calorimeter in einer höheren Temperatur als die der umgebenden Luft, so verlieren sie eine gewisse Wärmemenge auf dem Wege der Strahlung und eine andere durch den Contact mit der umgebenden Luft; allein dafür gewinnen sie eine kleine Wärmemenge vermöge innerer Leitung längs den Ansätzen *ii'*, durch welche sie mit dem Hahn *R* verbunden sind.

Ist das Newton'sche Gesetz, für die kleinen Temperaturüberschüsse bei unseren Versuchen, mit hinreichender Annäherung anwendbar auf die in einer mehr oder weniger bewegten Luft geschehenden Erkaltung eines Körpers, so können wir die Summe der beiden ersten Wärmemengen vorstellen durch einen Ausdruck von der Form:

$$\Delta \vartheta = A \vartheta \cdot \Delta x \dots \dots \dots (1)$$

worin ϑ den Ueberschufs der Temperatur der Calorimeter über die der umgebenden Luft, Δx das Zeitelement, und *A* eine durch die Versuche zu bestimmende Constante bezeichnet.

Ist es dagegen nothwendig, diese beiden Wärmemengen zu trennen, und auf jede ihr besonderes Gesetz anzuwenden, so wird man immer die auf dem Wege der Strahlung verlorne Wärmemenge setzen können gleich

$$A \vartheta \cdot \Delta x.$$

Die durch die umgebende Luft veranlasste Erkaltung ist, nach Dulong und Petit, gegeben durch einen Ausdruck von der Form

$$np^c \vartheta^{1,233} \cdot \Delta x,$$

worin *p* die Spannung des Fluidums, *c* eine Constante, die für alle Körper gleich, aber nach der Natur des Ga-

ses verschieden ist, n aber für denselben Körper constant, und nach der Natur des Gases verschieden ist.

Bei unsern Versuchen kann man setzen

$$np^c = B,$$

wo B eine für denselben Bewegungszustand der Luft constante Gröfse ist. Die durch die umgebende Luft bewirkte Erkaltung wird demnach einfach:

$$B \vartheta^{1,233} \cdot \Delta x.$$

Die Wärmemenge endlich, die, für einen constanten Unterschied zwischen der Temperatur des Hahns R und der der Calorimeter, auf dem Wege der Leitung fortgeführt wird, ist einfach proportional der Zeit, und wird ausgedrückt durch

$$K \Delta x.$$

Zuerst ist also die Aufgabe zu lösen, ob die Erkaltung durch Ausstrahlung und durch Berührung mit der äufsern Luft, durch einen Ausdruck von der Form

$$\Delta \vartheta = A \vartheta \cdot \Delta x$$

mit hinreichender Genauigkeit dargestellt werden könne, oder ob man zu der verwickelteren Formel

$$\Delta \vartheta = A \vartheta \Delta x + B \vartheta^{1,233} \Delta x = A \vartheta \left(1 + \frac{B}{A} \vartheta^{0,233} \right) \Delta x \quad (2)$$

mit zwei unbestimmten Constanten A und $\frac{B}{A}$ seine Zuflucht nehmen müsse.

Zu dem Ende brachte man Wasser von verschiedenen successiv höheren Temperaturen in die Calorimeter, und beobachtete ihre Thermometer, unter fortwährender Bewegung dieses Wassers, 30' lang. Die Erkaltung wurde als gleichförmig während dieser Zeit angenommen und die Temperaturen der Calorimeter und der umgebenden Luft als gleich den Mitteln aus den zu Anfange und nach 30' beobachteten Angaben, so dafs man die Erkaltung in 1' erhielt, indem man $\frac{1}{30}$ der beobachteten Gesamt-Erkaltung nahm.

No. des Ver- suchs.	Mitteltemperatur.			ϑ .		$\Delta\vartheta$ od. Erkaltung in 1'.	
	Luft.	Calorimeter		C.	C'.	C.	C'.
1	4°,83	9°,30	9°,95	4°,47	5°,12	0°,00586	0°,00646
2	4°,55	8°,30	8°,87	3°,75	4°,32	0°,00453	0°,00498
3	4°,63	11°,26	14°,74	6°,63	10°,11	0°,00817	0°,01298
4	4°,73	14°,95	17°,90	10°,22	13°,17	0°,00370	0°,01897
5	4°,84	19°,57	16°,89	14°,73	12°,05	0°,01983	0°,01779

Hienach giebt die Formel $\Delta\vartheta = A\vartheta\Delta x$ als Werthe von A :

	C.	C'.
1	0,001311	0,001262
2	0,001209	0,001153
3	0,001232	0,001284
4	0,001340	0,001440
5	0,001346	0,001476
Mittel	0,001287	0,001338.

Wie man sieht sind diese Werthe zwar nicht identisch, aber, wenn man ihre ungemeine Kleinheit erwägt, doch nicht sehr verschieden.

Eine Anwendung der Formel (2) auf obige Versuche gab für die beiden darin enthaltenen Constanten weit größere Schwankungen und dieses wiederholte sich auch bei anderen Reihen von Beobachtungen.

Bei einer noch anderen Reihe, bei der die Temperatur des einen Calorimeters niedriger war als die der Luft, dasselbe sich also erwärmte, ergab sich Folgendes:

ϑ .		$\Delta\vartheta$.		A nach Formel (1).	
C.	C'.	C.	C'.	C.	C'.
+ 7°,97	- 4°,22	0°,01114	0°,01005	0°,001398	0°,002570
+ 7°,58	- 3°,91	0°,01087	0°,00913	0°,001434	0°,002359
		Mittel		0,001416	0,002465.

Hieraus geht hervor, dass der Coëfficient A in dem Falle, wo das Calorimeter sich erwärmt, bedeutend größer ist als in dem, wo es erkaltet.

Aus allen diesen Beobachtungen darf geschlossen werden, dass man sich der Formel (1) zur Berechnung der

Berichtigungen bedienen könne, doch mit der Bedingung, den Werth des Coëfficienten A so viel wie möglich bei jedem Versuch durch gleichzeitige Beobachtungen nur unter möglichst ähnlichen Bewegungszuständen zu bestimmen.

Die allgemeine Formel, welche die Erkaltung während des Zeitelements Δx ausdrückt, ist also

$$-\Delta \vartheta = A \vartheta \Delta x - K \Delta x,$$

wo A und K Coëfficienten sind, die für jeden Versuch specielle Werthe haben. Wir wollen nun sehen, wie sie durch die Beobachtungen selbst zu berechnen sind.

Sey t_0 die Anfangstemperatur des Wassers im Calorimeter C ; t_1 die Maximumtemperatur desselben nach dem Durchgang des Dampfes; τ die Temperatur der umgebenden Luft; T die Temperatur des Dampfes im Vertheilungshahn R ; t'_0 und t'_1 die Anfangs- und Endtemperatur des Thermometers im zweiten Calorimeter.

Wir wollen den S. 530 beschriebenen Doppelversuch in mehre Perioden theilen:

Erste Periode. Die beiden Calorimeter befinden sich in den Temperaturen t_0 und t'_0 , in niedrigeren als die Temperatur τ der Luft; der Dampf geht durch den Vertheilungshahn und begiebt sich direct in den Condensator. Man beobachtet die Erwärmung, welche unter diesen Umständen die beiden Thermometer im Verlauf von 5 Minuten erleiden. Wir nehmen das Zeitelement Δx zu einer Minute an, und bezeichnen mit $\Delta \vartheta$ und $\Delta \vartheta'$ ein Fünftel der Erkaltung, die innerhalb 5' erfolgt. So erhalten wir:

$$\left. \begin{aligned} \Delta \vartheta &= A (\tau_0 - t_0) + K \\ \Delta \vartheta' &= A (\tau_0 - t'_0) + K \end{aligned} \right\} \dots (3)$$

Da beide Calorimeter fast dieselbe Temperatur besitzen, und in Bezug auf den Hahn R eine symmetrische Stellung haben, so kann man K als gleich in beiden Gleichungen ansehen, und diese reichen also hin zur Bestimmung der Constanten A und K .

Zweite Periode. Der Dampf geht in das Calorimeter C , dessen Temperatur bis zum Maximum t_1 steigt. So lange

der Hahn *R* offen ist, steigt die Temperatur beinahe regelmässig; so wie er aber geschlossen wird, steigt sie nur sehr langsam bis zu ihrem Maximum, welches sie nach 2 bis 3 Minuten erreicht.

Wir wollen die Zeit zwischen den Beobachtungen der Anfangs- und Endtemperatur in drei Theile zerfallen.

1. Die Zeit *m*, während welcher das Wasser des Calorimeters *C* von der Anfangstemperatur t_0 auf die Temperatur τ der Luft steigt. Der Wärmegewinn wird ausgedrückt durch

$$m(A \cdot \frac{1}{2}(\tau - t_0) + K) \dots (4)$$

wo *A* und *K* die durch die Versuche der ersten Periode bestimmten Werthe haben. Allein besser ist, nur *K* als bekannt durch diese Versuche vorauszusetzen, und *A* durch gleichzeitige Beobachtung des Calorimeters *C'* zu bestimmen; für letzteres gilt die Formel

$$\Delta \vartheta' = m(A \cdot \frac{1}{2}(\tau - t'_0) + K) \dots (5)$$

2. Die Zeit *m*, zwischen dem Moment, wo das Calorimeter eine der Lufttemperatur gleiche Temperatur angenommen hat, und dem, wo man den Hahn schliesst und die Temperatur des Calorimeters fast auf ihrem Maximum t_1 ist. Wir setzen dabei voraus, die Erkaltung sey dieselbe, wie wenn der Temperatur-Ueberschufs beständig $\frac{1}{2}(t_1 - \tau)$ gewesen wäre. Man hat also für die Erkaltung:

$$m_1(A_1 \cdot \frac{1}{2}(t_1 - \tau) - K) \dots (6)$$

worin *A* nicht denselben Werth hat wie im ersten Theil: der Werth desselben ergibt sich aus den Beobachtungen, die während der dritten Periode gemacht werden.

Was *K* betrifft, so wollen wir voraussetzen, es sey proportional dem Unterschied zwischen den Temperaturen des Hahns und des Calorimeters, folglich annehmen, es sey

$$K = \frac{T - \frac{1}{2}(t_1 + \tau)}{T - t_0}$$

wo *K* denselben Werth hat wie zuvor.

3. Die Zeit *m*, zwischen dem Schliessen des Hahns und

dem Beobachten des Maximums. Hier wird die Erkaltung vorgestellt durch:

$$m_2 \left[A_1 (t_1 - \tau) - K \frac{T - t_1}{T - t_0} \right] \dots (7)$$

wo A denselben Werth wie beim vorhergehenden Versuch besitzt, und sich aus den Beobachtungen der dritten Periode berechnet.

Dritte Periode. Das im Calorimeter C verdichtete Wasser wurde abgelassen und die gleichzeitige Erkaltung beider Calorimeter 5 Minuten lang beobachtet. Für das Calorimeter C hat man:

$$\Delta \vartheta = A_1 (t_1 - \tau) - K \frac{T - t_1}{T - t_0} \dots (8)$$

daraus ergibt sich der Werth von A_1 , dessen man für die Formeln der zweiten Periode bedarf.

Das Calorimeter C' befindet sich unter fast denselben Bedingungen wie in der ersten Periode. Man hat demnach:

$$\Delta \vartheta' = A' (t'_0 - \tau) + K \dots (9)$$

K kann als constant geblieben betrachtet werden; A' wird wenig von A verschieden seyn, allein zweckmäßiger ist es; seinen Werth aus der vorhergehenden Gleichung abzuleiten und diesen Werth in der folgenden Periode, wo das Calorimeter C' functionirt, anzuwenden.

Vierte Periode. Der Dampf geht in das Calorimeter C' ; das Calorimeter C functionirt blind (*à blanc*).

Die Zeit zwischen dem Oeffnen des Hahns und dem Beobachten der Maximum-Temperatur wird wieder in drei Theile zerfallen.

1. Die Zeit m' , während welcher das Wasser im Calorimeter C' von der Anfangstemperatur t'_0 bis zur Temperatur τ der umgebenden Luft steigt; während dieser Zeit ist der Wärmegewinn

$$m' (A' \cdot \frac{1}{2} (\tau - t'_0) + K).$$

2. Die Zeit m'_1 zwischen dem Moment, da das Calorimeter die umgebende Temperatur erreicht, und dem, wo

man den Hahn schließt und die Temperatur ihrem Maximum sehr nahe ist. Der Wärmeverlust wird vorgestellt durch

$$m'_1 \left[A'_1 \frac{t'_1 - \tau}{2} - K \frac{T - \frac{1}{2}(t'_1 + \tau)}{\tau - t'_0} \right] \quad (11)$$

Der Werth des Coëfficienten A'_1 ergibt sich aus der Beobachtung der gleichzeitigen Erkaltung des Calorimeters C , welche giebt

$$\Delta \vartheta_1 = A'_1 (t_1 - \tau) - K \frac{T - t_1}{T - t_0} \quad (12)$$

3. Die Zeit m'_2 zwischen dem Schließen des Hahns und dem Beobachten der Maximum-Temperatur des Calorimeters C' ; während derselben ist der Wärmeverlust

$$m'_2 \left[A'_1 (t'_1 - \tau) - K \frac{T - t'_1}{T - t'_0} \right] \quad (13)$$

wo A'_1 denselben Werth hat wie zuvor.

Fünfte Periode. Man läßt das Wasser aus dem Calorimeter C ab, und beobachtet 5' lang das Sinken der Thermometer beider Calorimeter, die beide Wasser von höherer Temperatur als die der umgebenden Luft einschließen. Die Formeln, die nun für die Erkaltung in $1'$ gelten, sind respective für das Calorimeter C und C' :

$$\left. \begin{aligned} \Delta \vartheta &= A'_1 (t_1 - \tau) - K \frac{T - t_1}{T - t_0} \\ \Delta \vartheta' &= A'_1 (t'_1 - \tau) - K \frac{T - t'_1}{T - t'_0} \end{aligned} \right\} \quad (14)$$

Mittelst dieser beiden Ausdrücke lassen sich neue Werthe von A'_1 und K berechnen, die man dann mit den früher erhaltenen vergleichen kann. Klar ist, daß die Werthe von t_0 , t'_0 , t_1 , t'_1 sich während der Dauer dieser Versuche um Kleinigkeiten ändern; in jedem Fall nimmt man sie so, wie die directe Beobachtung sie liefert.

Endlich wurde, wie Seite 533 gesagt, das Thermometer des Calorimeters, nach dem Moment, wo es sein Maximum zeigte, noch von Minute zu Minute beobachtet bis zu dem Moment, wo man das aus der Verdichtung des

Dampf entstandene Wasser abliefs. Gesetzt diese Beobachtungen geschehen während m_3 Minuten. Klar ist, dafs wenn das verdichtete Wasser dieselbe Temperatur hätte wie das Wasser des Caloriméters, alsdann die Erkaltung die nämliche seyn würde, wie bei den Beobachtungen, die nach dem Ablassen des Wassers geschehen. Nach diesen wäre sie aber

$$m_3 \Delta x \left[A_1 (t_1 - \tau) + K \frac{T - t_1}{T - t_0} \right]$$

Zieht man von dem Werth dieses Ausdrucks die wirklich beobachtete Erkaltung ab, so erhält man die sehr kleine Wärmemenge, welche das verdichtete Wasser während dieses Zeitraums dem Calorimeter noch lieferte; wir wollen sie mit q bezeichnen.

Somit hat man endlich für die kleinen Wärmemengen, die man den direct beobachteten Temperatur-Anwüchsen hinzufügen muß,

beim Calorimeter C

$$\left. \begin{aligned} \Sigma \Delta \vartheta = -m \left[A \frac{\tau - t_0}{2} + K \right] + m_1 \left[A_1 \frac{t_1 - \tau}{2} - K \frac{T - \frac{1}{2}(t_1 + \tau)}{T - t_0} \right] \\ + m_2 \left[A_1 (t_1 - \tau) - K \frac{T - t_1}{T - t_0} \right] + q \end{aligned} \right\} (15)$$

und beim Calorimeter C'

$$\left. \begin{aligned} \Sigma \Delta \vartheta' = -m' \left[A' \frac{t' - t'_0}{2} + K \right] + m'_1 \left[A'_1 \frac{t'_1 - \tau}{2} - K \frac{T - \frac{1}{2}(t'_1 + \tau)}{T - t'_0} \right] \\ + m'_2 \left[A'_1 (t'_1 - \tau) - K \frac{T - t'_1}{T - t'_0} \right] + q' \end{aligned} \right\} (16)$$

Mit einem Wort, der Geist der Methode besteht darin, dafs man die Berichtigungen für das Calorimeter, welches *wirklich functionirt*, nach den Beobachtungen bestimmt, die gleichzeitig am zweiten Calorimeter gemacht werden, an demjenigen, welches *blind functionirt*, d. h. unter gleichen Umständen der äufseren Störung, aber ohne Dampf zu empfangen, so dafs seine Veränderungen nur Folgen der störenden Ursachen sind, die gleichzeitig auf das erste Calorimeter einwirken.

Man beobachtet im Kolben o die Temperatur θ des ver-

dichteten Wassers unmittelbar nachdem es aus dem Calorimeter abgelassen worden. Diese Temperatur weicht immer etwas von der Maximumtemperatur des Calorimeters ab, aber der Unterschied erreicht selten 1° .

Die Temperatur θ ist nicht absolut richtig; offenbar sinkt sie etwas, während das Wasser abfließt. Einige directe Versuche, gemacht unter möglichst ähnlichen Umständen wie die bei den wirklichen Versuchen stattfindenden, haben mir gezeigt, dass dieses Sinken von $0^{\circ},1$ bis $0^{\circ},2$ schwankte, je nach dem Temperatur-Ueberschuss der umgebenden Luft. Diese kleine Berichtigung wurde jedesmal an der beobachteten Temperatur θ angebracht; übrigens ist die hieraus entspringende Unsicherheit ganz unbedeutend, denn leicht kann man sich überzeugen, dass daraus kein Fehler von $\frac{1}{20000}$ in der gesuchten latenten Wärme hervorgeht.

In Wirklichkeit ist man bei Berechnungen der Correctionen oft genöthigt sich von der eben beschriebenen Methode etwas zu entfernen, weil die Werthe dieser Correctionen sehr klein sind. So sind die Gleichungen (3) und (5) selten numerisch genug von einander verschieden, dass man sie als zwei besondere Gleichungen betrachten und zur Bestimmung der beiden Constanten A und K gebrauchen könnte. Dasselbe gilt von den Gleichungen (12) und (14) verglichen mit einander. Vielmehr, da man ohne merklichen Fehler K als constant für sehr wenig verschiedene Temperatur-Ueberschüsse $T-t$ annehmen kann, ist es besser, unter allen Gleichungen, die aus den beim gewöhnlichen Druck der Atmosphäre angestellten Versuchen abgeleitet werden, diejenigen auszuwählen, die zur Bestimmung dieser Gröfse am geeignetsten sind, und das daraus abgeleitete Mittel bei allen Versuchen anzuwenden.

So fand man $K=0^{\circ},0040$ für einen Temperatur-Unterschied $T-t=88^{\circ}$.

Ist einmal der Werth von K bestimmt, so geben die Gleichungen (3), (5) und (8) bei jedem Versuch die besonderen Werthe von A und A' . Die Werthe

von A und A' oscilliren um $0^{\circ},0022$
 die von A_1 und A'_1 - - - $0^{\circ},0014$

Nähme man in den Formeln (15) und (16) diese Werthe von A , A_1 und K als constant für alle Versuche an, so fände man, als Berichtigungen, Werthe, die kaum um $0^{\circ},01$ von den genaueren Werthen abweichen, welche man bei Berücksichtigung aller aufgezählten Umstände erhält.

Das Gewicht der kupfernen Calorimeter mit ihrem Schlangenrohr, dem Agitator und den inneren Verbindungsschrauben, beträgt

für C . . 15615 Grm.; für C' . . 15542 Grm.

Die spezifische Wärme des Kupfers = $0,0951$ angenommen ¹⁾ erhalten wir für den Wasserwerth des Calorimeters

C . . . $1482^{\text{grm}},8$; C' . . . $1475^{\text{grm}},7$.

Die bei jedem Versuch in die Calorimeter gebrachte Wassermenge hatte immer ein gleiches, in dem Gefäß H abgemessenes Volum. Durch äußerst sorgfältige Wägungen bestimmte man das Gewicht des Wassers, welches es bis zum Visirstrich füllte. In einem ersten Versuch betrug diefs Gewicht $65039^{\text{grm}},4$ bei $12^{\circ},06$; bei einem zweiten $65046^{\text{grm}},3$ bei 12° .

Allein man bedurfte der genauen Kenntnifs des Gewichtes Wasser, welches das Maafsgefäß bei den verschiedenen, bei den Versuchen stattfindenden Temperaturen füllte. Dazu gelangte man durch Rechnung einerseits mittelst der übereinstimmenden Resultate von Despretz ²⁾ und Pierre ³⁾ über die Ausdehnung des Wassers, und andererseits mittelst des, durch eigends angestellte Versuche ermittelten Coëfficienten der kubischen Ausdehnung des Eisenblechs, wodurch sich derselbe = $0,0000305$ ergab.

[Darnach giebt das Original eine Tafel, welche das Gewicht des in die Calorimeter gebrachten Wassers, so-

1) *Ann. de chim. et de phys. Sér. II. T. LXXIII. p. 37.* (Ann. Bd. LI. S. 213.)

2) *Ann. de chim. et de phys. Sér. II. T. LXX. p. 47.*

3) *Ann. de chim. et de phys. Sér. III. T. XV. p. 350.*

wohl an sich, als vermehrt um den Wasserwerth dieser Instrumente, für alle Grade von 0° bis 15° enthält.]

Die Quecksilberthermometer der Calorimeter waren mit größter Sorgfalt graduirt. Ein Centigrad nahm auf dem Thermometer in C . . 18 $\frac{1}{2}$,7620, und auf dem in C' . . 18,5800 ein, wonach es leicht war mit dem Fernrohr noch $\frac{1}{100}$ eines Centigrades abzulesen.

Nachstehende Tafel enthält (auszugsweise ¹) die Resultate sämmtlicher unter dem Druck der Atmosphäre angestellter Versuche, 44 an der Zahl.

Calorimeter.	Wassergewicht d. Calorimeter. Grm.	$t_1 - t_0$ berichtigt.	Verdichtetes Wasser.		Dampf.			Gesamtwärme d. Dampfs.
			Gewicht. Grm.	Temperatur.	Druck. mm.	Temperatur ²⁾ berechnet. beobachtet.		
C	66524,0	8,744	949,10	21,50	746,52	90,49		633,3
C	20,4	11,483	1255,15	24,80	746,55	99,49		634,1
C	34,4	11,853	1287,88	22,85	767,06	100,26	100,58	635,2
C	34,4	11,049	1200,79	21,98	765,94	100,22	100,25	634,0
C'	38,6	12,173	1316,85	21,98	770,13	100,37	100,09	633,4
C'	38,1	13,071	1413,45	21,98	768,37	100,31	100,18	635,4
C	23,5	11,347	1231,10	23,71	746,43	99,49	—	636,8
C	23,1	11,336	1230,10	23,38	745,71	99,46	—	636,3
C	23,3	11,428	1240,23	23,53	741,29	99,31	—	636,4
C	22,5	11,374	1233,05	24,16	740,82	99,28	—	637,6
C	35,4	11,739	1272,84	22,37	765,19	100,19	100,44	636,0
C'	27,3	12,079	1308,85	23,00	765,19	100,19	100,56	636,8
C'	26,2	11,910	1287,65	23,03	765,23	100,19	100,44	638,3
C	34,4	11,791	1275,57	22,85	765,28	100,19	100,49	637,9
C'	26,2	10,354	1121,04	21,63	765,20	100,19	100,19	635,9

Calo-

- 1) Fortgelassen sind nämlich die Spalten, welche enthalten: die No. des Versuchs, die Anfangstemperaturen t_0 , die Endtemperatur t_1 , den beobachteten Unterschied $t_0 - t_1$, die Mitteltemperatur der Luft τ , die Zeit der Einstromung des Dampfs, die Zeit bis zum Sinken der Temperatur, die Leitungswärme (aus welchen letzten 7 Angaben der berichtigte $t_0 - t_1$ berechnet ist) und der Druck des Dampfs, in Atmosphären.
- 2) Von den Temperaturen ist die *berechnete* aus dem Barometerstand abgeleitet; sie ist im Allgemeinen etwas kleiner als die andere, an den Thermometern des Kessels *beobachtete*, und dies muß so seyn, denn wenn die Destillation des Wassers gehörig vor sich gehen soll, muß die Spannkraft des Dampfs im Kessel etwas größer seyn als der Druck der Atmosphäre.

Calorimeter.	Wassergewicht d. Calorimeter. Grm.	$t_1 - t_0$ berichtigt.	Verdichtetes Wasser.		Dampf.			Gesamtwärme des Dampfs.
			Gewicht. Grm.	Temperatur.	Druck. mm.	Temperatur		
						berechnet.	beobachtet.	
C	66535,2	0	1274,57	22,22	767,00	100,26	100,53	635,9
C'	26,7	12,688	1371,61	22,38	767,03	100,26	100,58	637,9
C'	27,6	12,667	1369,23	22,61	767,12	100,26	100,58	637,9
C	33,4	10,154	1099,03	20,92	767,02	100,26	100,38	635,6
C	34,0	10,360	1120,99	21,00	767,00	100,26	100,36	635,8
C'	26,2	13,137	1425,42	23,81	767,09	100,26	100,56	636,7
C'	26,2	13,170	1425,58	23,00	765,87	100,22	100,47	637,6
C	35,0	12,251	1213,19	21,45	765,72	100,22	100,63	638,4
C'	27,0	12,690	1376,68	23,67	765,90	100,22	100,70	636,8
C'	34,9	11,364	1230,03	22,00	765,92	100,22	100,67	636,6
C'	27,1	12,209	1321,87	22,85	765,85	100,22	100,58	637,2
C	45,8	12,843	1384,70	18,79	770,10	100,37	100,40	636,1
C'	45,6	11,782	1266,75	18,00	768,50	100,32	100,15	636,7
C'	38,5	12,948	1395,18	19,37	768,47	100,32	100,13	637,3
C'	45,3	12,564	1354,70	19,32	768,32	100,31	100,20	636,1
C	44,2	12,750	1369,22	16,03	766,19	100,22		635,6
C'	36,9	18,064	1956,01	22,37	766,24	100,22		636,9
C'	44,9	13,506	1455,09	18,36	767,15	100,26		635,9
C'	37,9	14,924	1612,69	20,19	767,23	100,26		635,9
C	45,6	12,578	1357,20	18,89	735,76	99,09		635,7
C'	37,8	16,371	1772,29	21,50	735,76	99,09		636,1
C	45,6	12,675	1363,38	18,02	735,09	99,07		636,6
C'	38,6	14,609	1575,64	20,19	735,09	99,07		636,9
C'	43,3	13,292	1431,45	18,16	742,87	99,36		636,1
C'	37,1	15,035	1619,65	19,18	742,87	99,36		636,8
C	44,2	13,166	1413,95	16,86	742,08	99,33		637,3
C'	37,8	15,658	1691,20	20,19	742,05	99,33		636,4
C'	45,0	13,743	1483,10	19,03	740,53	99,27		635,7
C'	38,4	14,751	1590,50	19,75	740,53	99,27		636,8

Nimmt man die ersten 6 Versuche aus, die als vorläufige zu betrachten sind, da sie absichtlich unter den ungünstigsten Umständen angestellt wurden, so geben die übrigen 38, deren Extreme 635,6 und 638,4 sind, als allgemeines Mittel 636,67 für die Gesamtwärme, welche der Dampf bei Verdichtung zu flüssigem Wasser von 0° abgibt.

II. Gesamtwärme des Dampfs unter Drucken größer als der der Atmosphäre.

Die Apparate waren so eingerichtet, dass die Versuche mit Dampf von hohem Druck unter ganz ähnlichen Umständen geschahen wie die früheren mit Dampf unter dem Druck

der Atmosphäre. Der äußere Luftdruck ist nun ersetzt durch den Druck einer künstlichen Atmosphäre, den man nach Belieben abändern konnte. Diese Atmosphäre hat ein bedeutendes Volum und wird in constanter Temperatur erhalten, so daß ihre Elasticität während der Dauer eines Versuchs nicht merklich schwankt.

Die Luft in dem Behälter *EF* wird mittelst der Druckpumpe comprimirt, um den zu den Versuchen verlangten Druck zu erhalten, der mit dem Quecksilbermanometer gemessen wird. Das Sieden des Wassers im Kessel ist so regelmäsig wie wenn es unter dem gewöhnlichen Druck der Atmosphäre vor sich ginge. Die Versuche geschehen genau in derselben Weise, wie S. 530 und etc. auseinandergesetzt worden, so daß dem dort Gesagten nichts hinzuzusetzen ist. Das Manometer wurde im Laufe eines Versuchs zwei Mal beobachtet, zuerst einige Augenblicke nach dem Oeffnen des Hahns *R*, und darauf einige Augenblicke nach dem Schließsen desselben. Man nahm an, der Druck, unter welchem der Dampf destillirte, sey das Mittel aus diesen beiden Beobachtungen, die übrigens stets nur sehr wenig von einander abwichen.

Die Berichtigungen an den beobachteten Temperaturerhöhungen bestimmten sich auf dieselbe Weise wie bei den unter dem Druck der Atmosphäre gemachten Versuchen. Die Elemente dieser Berichtigungen wurden, wie S. 534 gesagt, durch die Versuche selber gegeben.

Das aus der Verdichtung des Dampfs entstandene Wasser, welches beim Oeffnen des Hahns *R* mit Gewalt aus dem Calorimeter hervordrang, wurde im Kolben *O* gesammelt und gewägt. Die Zeit seines Ausfließens ist sehr kurz, und es muß daher einen geringeren Wärmeverlust erleiden als bei den Versuchen, die unter atmosphärischem Druck geschehen. Dessenungeachtet wurde angenommen, daß das Wasser bei diesem Umgießsen etwa $0^{\circ},2$ verliere, weil es einer neuen Quelle zum Wärmeverlust ausgesetzt war. Der Dampf nämlich, wenn er sich in einer comprimirten Luft verdichtet, löst von dieser Luft eine größere Menge als das

Wasser aufgelöst enthalten kann, wenn es in den Kolben gelangt. Es entwickeln sich demnach aus dem Wasser eine Menge kleiner Luftblasen, die es für einige Augenblicke milchig machen und nothwendig eine gewisse Wärmemenge fortschleppen.

Bis zu einem Druck von 10 Atmosphären ist der Gang der Versuche sehr leicht und merkwürdig regelmäfsig, so dafs die Resultate dieselbe Genauigkeit haben, wie die der unter gewöhnlichem Druck der Atmosphäre angestellten Versuche. Ueber 10 Atmosphären hinaus werden aber die Versuche schwieriger; man mufs das Feuer unter dem Kessel sehr verstärken; die verschiedenen Theile des Apparats leiden bedeutend und man mufs sie oft untersuchen, um sich zu versichern, dafs sie nicht undicht werden.

Jeden Morgen gofs man das Wasser in den Kessel zurück, welches am Tage zuvor überdestillirt worden, und welches, mit dem darin gebliebenen, etwa 150 Liter ausmachte. Diese Wassermenge war, bei zweckmäfsiger Leitung des Feuers, zu vier bis sechs aufeinanderfolgenden Bestimmungen hinreichend. Dadurch, dafs man viel destillirtes Wasser in den Kessel brachte, verhinderte man das Einkrusten des Kessels, welches sonst nach kurzer Zeit erfolgt seyn würde.

Nach dem letzten Versuch an jedem Tage verschlofs man, während im Kessel das Wasser noch siedete, den Hahn R_4 des Luftbehälters, um für den morgenden Tag die darin enthaltene comprimirt Luft zu bewahren. Man verlor also nur die kleine Menge comprimirt Luft, die im Condensator und den Verbindungsrohren des Apparats enthalten war. Diese Luft entwich beim Oeffnen der Hähne r_1 der Calorimeter. Am andern Morgen schrob man die Oeffnung des Kessels auf und brachte die nöthige Wassermenge hinein.

Die Versuche konnten bis zu einem Druck von 14 Atmosphären mit vollem Erfolg angestellt werden, wenn ab und zu die Fugen der Apparate wieder dicht gemacht wurden. Es war sogar eine Reihe Versuche unter stärkerem Druck be-

gonnen worden, allein der Kessel wurde so undicht, dass man damit einhalten musste. Der Druck von 14 Atmosphären, der bei diesen Versuchen erreicht wurde, übertrifft auch schon um vieles denjenigen, den man bei Dampfmaschinen anwendet, da dieser selten über 5 bis 6 Atmosphären hinausgeht.

Nachstehende Tafel enthält (auszugsweise in ähnlicher Art wie die frühere) die Resultate von 73 Versuchen, die bei Drucken bis zu 14 Atmosphären angestellt wurden.

Calo- rime- ter.	Wasser- gewicht d. Calorime- ters. Grm.	$t_1 - t_0$ berich- tigt.	Condensirtes Wasser.		Dampf.		Ge- samt- wärme des Dampfs	Gesamt- wärme d. Dampf- s weniger d. Temp. d. Dampfs.
			Gewicht. Grm.	Temp.	Druck in At- mosph.	Tem- pera- tur.		
C	66537,0	13,519	1456,27	24,68	1,905	119,25	642,3	523,0
C	36,9	9,356	1000,48	19,72	1,924	119,60	641,8	522,2
C	37,4	11,678	1253,75	22,36	2,083	122,17	642,2	520,0
C	45,8	12,070	1282,58	18,12	2,293	125,2	643,9	518,7
C'	38,5	15,603	1669,45	21,73	2,327	125,5	643,6	518,1
C	45,8	12,387	1315,25	18,16	2,433	127,2	644,8	517,6
C'	38,5	14,246	1517,46	20,42	2,568	129,0	645,1	516,1
C	27,1	11,694	1247,20	25,27	3,007	134,4	649,0	514,6
C	26,6	11,811	1262,70	25,27	2,991	134,2	647,5	513,3
C	23,0	11,575	1234,23	24,83	3,072	135,1	648,5	513,4
C	23,0	11,635	1238,80	24,39	3,060	135,0	649,1	514,1
C	25,2	11,583	1235,50	23,96	3,080	135,2	647,6	512,4
C	45,4	12,998	1376,53	18,76	3,113	135,5	647,0	511,5
C'	38,5	14,053	1488,95	19,42	3,119	135,7	647,3	511,6
C'	38,7	15,459	1641,90	21,25	3,193	136,4	647,6	511,2
C	45,7	11,479	1212,75	17,59	3,288	137,5	647,4	509,9
C'	38,4	13,278	1407,72	19,69	3,313	137,7	647,2	509,5
C	45,6	11,504	1211,70	16,84	3,394	138,6	648,4	509,8
C	44,9	12,226	1287,05	17,32	3,739	142,0	649,2	507,2
C'	37,1	12,714	1339,02	17,29	3,764	142,2	648,9	506,7
C	41,4	12,248	1184,84	16,19	3,831	142,5	647,8	505,3
C'	37,9	12,870	1353,60	17,92	3,889	143,4	650,3	506,9
C	34,4	11,501	1221,20	22,95	4,003	141,3	649,4	505,1
C'	38,5	13,711	1445,32	18,74	4,013	144,3	649,7	505,4
C	28,3	11,735	1246,50	24,54	4,100	145,3	651,0	505,7
C	28,3	12,125	1291,00	25,12	4,116	145,4	649,9	504,5
C	27,6	12,271	1307,01	24,54	4,144	145,6	649,1	503,5
C	37,8	11,434	1208,80	21,79	4,241	146,5	651,1	504,6
C	31,8	12,276	1305,50	24,13	4,373	147,6	649,6	502,0
C	33,0	11,276	1299,00	24,12	4,523	149,0	652,8	503,8
C	34,3	12,252	1296,48	23,96	4,692	150,2	652,6	502,4
C'	37,5	10,917	1144,95	15,59	5,109	153,5	650,1	496,6
C	44,6	14,233	1499,90	18,70	5,191	154,1	650,2	496,1

Calo- rime- ter.	Wasser- gewicht d. Calorime- ters. Gramm.	$t_1 - t_0$ berich- tigt.	Condensirtes Wasser.		Dampf.		Ge- samt- wärme des Dampfs	Gesamt- wärme d. Dampfs weniger d. Temp. d. Dampfs.
			Gewicht.	Temp.	Druck in At- mosph.	Tem- perat- ur.		
C	66542,5	12,784	1338,14	15,84	5,335	155,1	651,3	496,2
C'	37,7	13,317	1402,45	18,36	5,352	155,2	650,0	494,8
C'	37,3	14,194	1490,45	18,59	5,353	155,2	652,0	496,8
C	43,2	12,534	1313,88	16,42	5,357	155,3	651,0	495,7
C	44,5	12,101	1269,90	17,32	5,415	155,7	651,4	495,7
C	41,0	13,028	1360,26	15,84	5,520	156,5	652,9	496,4
C	42,0	14,453	1518,13	18,16	5,616	157,1	651,4	494,3
C	41,4	14,238	1491,04	17,52	5,724	157,8	652,0	494,2
C	44,5	12,248	1280,25	16,71	6,109	160,3	653,1	492,8
C'	37,9	14,401	1509,65	18,89	6,123	160,4	653,4	493,0
C'	37,5	9,984	1038,70	14,77	6,344	161,8	654,1	492,3
C	45,5	12,351	1292,20	17,77	6,818	164,6	653,6	489,0
C'	38,6	13,947	1459,05	19,65	6,858	164,9	655,4	490,5
C	44,2	13,343	1390,60	17,14	8,062	171,6	655,5	483,9
C'	37,5	14,572	1522,15	19,07	8,273	172,6	655,8	483,2
C'	38,7	11,414	1190,38	17,52	8,287	172,6	655,3	482,7
C	45,7	11,912	1241,32	17,20	8,328	172,8	655,6	482,8
C'	37,5	14,657	1530,15	19,05	8,380	173,1	656,1	483,0
C	44,1	12,942	1347,65	17,20	8,423	173,4	656,0	482,6
C'	36,4	13,907	1449,30	17,73	8,524	173,9	655,9	482,0
C	43,9	12,990	1353,48	17,60	8,530	174,0	656,0	482,0
C	45,0	12,935	1347,95	17,71	8,819	175,3	656,1	480,8
C'	38,2	14,557	1520,88	19,57	8,853	175,5	656,1	480,6
C	43,8	14,099	1457,30	18,59	9,671	179,3	662,3	483,0
C	44,6	13,422	1387,83	18,59	9,759	179,6	662,2	482,6
C'	38,2	14,235	1471,35	19,20	9,764	179,6	662,7	483,1
C'	37,7	14,983	1552,06	20,00	9,822	180,0	662,2	482,2
C	45,4	12,943	1337,88	18,88	10,600	183,2	662,4	479,2
C	38,6	14,271	1478,64	20,77	10,666	183,5	662,8	479,3
C'	83,6	13,671	1413,98	19,75	10,699	183,7	662,8	479,1
C	45,4	15,549	1614,90	20,92	10,708	183,7	661,8	478,1
C'	38,5	14,203	1465,93	20,22	11,250	186,0	664,5	478,5
C	45,4	13,951	1440,52	20,42	11,267	186,0	664,9	478,9
C'	38,4	14,872	1537,38	20,60	11,744	187,9	664,4	476,5
C	44,9	14,314	1474,39	19,75	11,830	188,2	665,6	477,4
C'	38,4	15,619	1617,02	21,73	11,848	188,2	664,2	476,0
C	45,5	13,830	1427,75	21,66	13,344	193,8	666,0	472,2
C	44,4	14,272	1479,00	22,13	13,412	194,2	664,3	470,1
C'	38,4	16,272	1585,73	23,23	13,595	194,7	665,4	470,7
C	45,8	14,139	1456,67	20,48	13,625	194,8	666,0	471,2

Die letzte Columne entstand, indem von der Gesamtwärme des Dampfes die Temperatur desselben abgezogen wurde. Diese Temperatur ist die des Luftthermometers, berechnet aus dem in Millimetern beobachteten Druck (der

hier in der Tafel fortgelassen wurde), dem übrigens wie dem in Atmosphären angegebenen (der in der Tafel behalten ist), schon der am Barometer abgelesene atmosphärische Druck hinzugefügt ist.

III. Gesamtwärme des Dampfs unter Drucken geringer als der der Atmosphäre.

Die Druckpumpe wurde durch eine Saugpumpe ersetzt und damit der Behälter *EF* so weit geleert bis man den Druck erhalten hatte, unter welchem man die Bestimmungen machen wollte. Die Anstellungsweise der Versuche war die frühere; allein die Temperatur des aus der Verdichtung des Dampfs entstandenen Wassers konnte nicht mehr direct gemessen werden, weil sich dies Wasser nicht eher aus dem Calorimeter abzapfen liefs, als bis man Luft hineingelassen hatte. Man war genöthigt anzunehmen, das Wasser habe, im Moment des Aufzeichnens der Maximum-Temperatur, gleiche Temperatur wie das des Calorimeters. Den aus dieser Hypothese etwa entspringenden Fehler verringerte man indess beträchtlich dadurch, dafs man die Erkaltung des Calorimeters die ersten zehn Minuten nach der Beobachtung des Maximums verfolgte und diese Erkaltung mit der verglich, die während der nächsten zehn Minuten stattfand. Der Unterschied zwischen den beiden beobachteten Resultaten mußte sehr nahe die Wärmemenge geben, welche das verdichtete Wasser fortfuhr dem Wasser des Calorimeters abzutreten, und man konnte annehmen, dafs nun das verdichtete Wasser gleiche Temperatur mit dem umgebenden Wasser besitze.

Bei jedem Paare von Versuchen schlofs man den Hahn *B*, des Luftbehälters *EF* und liefs Luft sowohl in den Condensator als in den Dampfkessel treten; endlich sammelte man in dem Kolben *o* das in jedem Calorimeter verdichtete Wasser und wägte es.

Das Sieden des Wassers ist unter schwachen Drucken weit unregelmäßiger als unter starken; es erfolgt immer unter Aufstossen und die Thermometer des Kessels zeigen

bedeutende Temperaturveränderungen an, je nach dem die Destillation mehr oder weniger lebhaft ist. Ueberhaupt zeigt sich bei diesen Versuchen ein ziemlich großer Druck-Unterschied zwischen dem Dampf des Kessels und der Luft der künstlichen Atmosphäre. Da der Dampf nur eine sehr geringe Dichtigkeit hatte, so war man genöthigt, ihn mit vieler Geschwindigkeit eintreten zu lassen, damit der Versuch nicht zu lange dauerte. Die Heizung des Kessels geschah bei diesen Versuchen nicht mit Coaks oder Steinkohle, sondern mit Holzkohle, wobei sie leichter gehörig zu reguliren ist.

Folgende Tafel enthält die Resultate von 23 Versuchen, die unter Drucken von 0,64 bis 0,22 Atmosphären an- gestellt wurden.

Calo-ri- me- ter.	Wass- ergew. d. Calo- ri-me- ters ¹⁾ .	$t_1 - t_0$ berich- tigt .	t_1 .	Gew. des verdichtet. Wassers.	Druck d. Dampfs	Temp. des Dampfs. berech- net.	Temp. des Dampfs. beob- achtet.	Ge- sammt- wärme des Dampfs	Ge- sammt- wärme des Dampfs wen. d. Tp. d. Dampfs
	grm			grm.	mm	°	°	°	°
C	38,2	12,836	19,62	1390,85	488,75	88,11	87,96	633,4	545,3
C	45,4	11,277	17,90	1219,25	483,31	87,83	87,63	633,1	545,3
C	37,8	13,204	20,33	1444,50	449,84	85,97	86,04	628,4	542,0
C	38,5	12,898	19,21	1404,00	437,16	85,24	85,41	628,6	543,4
C	45,3	11,787	18,64	1278,98	436,62	85,20	85,32	631,7	546,5
C	45,6	11,473	17,74	1246,65	430,93	84,88	85,68	629,9	545,0
C	40,0	11,947	22,53	1310,63	401,40	83,08	83,61	628,9	545,8
C	34,9	12,628	21,63	1378,34	394,92	82,66	82,98	631,0	548,3
C	42,4	12,229	21,05	1338,45	369,80	81,03	81,42	628,8	547,8
C	34,4	11,320	22,31	1243,87	363,36	80,60	83,18	627,7	547,1
C	35,0	11,219	22,14	1230,15	360,12	80,37	81,08	628,8	548,4
C	43,5	11,424	19,44	1244,23	357,13	80,17	80,63	630,2	550,0
C	43,5	9,024	17,01	979,10	348,22	79,55	79,29	630,1	550,5
C	38,1	10,754	17,67	1174,26	330,63	78,28		627,0	548,7
C	45,3	13,330	20,20	1457,37	307,17	70,50	79,76	628,6	552,1
C	38,1	13,277	20,28	1462,02	247,07	71,35	72,60	624,4	553,0
C	38,2	11,471	18,28	1264,00	244,55	71,11	72,85	622,2	551,1
C	45,3	11,835	18,69	1294,22	238,09	70,49	71,97	626,9	556,4
C	45,3	12,412	19,17	1359,50	230,17	69,70	70,77	626,4	556,7
C	38,4	12,618	19,12	1390,98	213,72	68,01	70,41	622,5	554,5
C	45,5	11,826	18,23	1297,23	198,10	66,30	68,03	624,7	558,1
C	38,4	12,926	19,58	1424,83	181,47	64,34	67,78	622,9	558,6
C	45,5	11,711	18,25	1284,34	170,91	63,02	65,38	625,5	562,5

1) d. h. der Ueberschuß über 66500 Grm.

Vergleicht man die fast unter gleichem Druck gemachten Versuche mit einander, so sieht man, daß sie zwar etwas größere Unterschiede als die in den vorhergehenden Tafeln zeigen, daß aber nur ein einziger dieser Unterschiede 4,7, d. h. etwa $\frac{1}{30}$ der zu messenden Größe erreicht.

Ich habe nicht gesucht, mit meinem großen Apparat die Gesamtwärme des Dampfs unter kleineren Drucken als 0,2 Atmosphäre zu bestimmen, weil das Sieden des Wassers unter so kleinen Drucken sehr unregelmäßig ist. Da es indess, besonders für das Studium der meteorologischen Phänomene, wünschenswerth war, diese Wärmemenge unter schwachen Drucken genau zu kennen, so habe ich, nach mehrfachen Versuchen, folgenden Weg gewählt.

Statt die Wärmemenge zu bestimmen, die ein bekanntes Gewicht Dampf bei Sättigung unter bestimmtem Druck, bei seiner Verdichtung dem kalten Wasser eines Calorimeters abgibt, habe ich die Wärmemenge aufgesucht, die ein bekanntes, in den Recipienten eines Calorimeters gebrachtes Gewicht Wasser diesem Calorimeter raubt, sobald es unter sehr schwachem Druck verdampft.

Zu dem Ende habe ich mich eines kleinen messingenen Calorimeters bedient, ähnlich dem des Hrn. Brix ¹⁾, nur von etwas größeren Dimensionen. Es wurde gewogen, erstlich leer und dann nachdem mit einer Pipette etwa 5 Grm. destillirten Wassers in den Recipienten gebracht worden. Dadurch erfuhr man genau die Menge des zu verdunstenden Wassers. Man verband den Recipienten durch seine Tubulatur mit einer Flasche, die als Luftbehälter diente, und verknüpfte diese wiederum einerseits mit einer Luftpumpe und andererseits mit einem Quecksilbermanometer.

Die als künstliche Atmosphäre dienende Flasche war in ein Kältegemisch von Eis und Kochsalz getaucht. Hierauf goß man ein bestimmtes Volum Wasser von bekannter Temperatur in das Calorimeter, verschloß dasselbe mit sei-

1) Ann. Bd. 55. S. 341.

nen Deckel und stellte in die Axe des Behälters ein sehr empfindliches Thermometer.

Man begann damit, die Erkaltung oder Erwärmung des im Calorimeter befindlichen Wassers unter fortwährendem Umrühren desselben, fünf Minuten lang zu beobachten. Damit das Erkalten regelmäsig geschähe, hatte man das Calorimeter concentrisch in ein etwas größeres Blechgefäß gestellt, welches es vor zufälligen Luftströmen schützte. Durch rasches Auspumpen verringerte man nun die Elasticität der innern Luft auf einen bestimmten, am Manometer abgelesenen Werth, der nothwendig geringer seyn mußte als die Spannkraft des Wasserdampfs bei der Temperatur des Calorimeters. Sogleich begann die Destillation des im Recipienten des Calorimeters enthaltenen Wassers, indem sich der Dampf in der erkalteten Flasche verdichtete. Man beobachtete die Temperatur des Calorimeters, unter fortwährendem Umrühren seines Wassers, von Minute zu Minute, und las zugleich die Spannkraft am Manometer ab.

Man erkennt sogleich den Moment, wo das Wasser des Recipienten vollständig überdestillirt ist, weil dann das Sinken des Thermometers plötzlich einhält; eine sehr kurze Zeit bleibt die Temperatur stillstehend und darauf steigt sie langsam, wenn die Temperatur des Wassers im Calorimeter geringer ist als die der Umgebung. Ebenso erkennt man das Ende der Destillation am Manometer, weil dieses dann plötzlich um eine kleine Größe steigt.

Nun beobachtete man abermals das Steigen oder Sinken des Thermometers fünf Minuten lang. Combinirt mit dem Beobachten der Erkaltung während der fünf Minuten vor der Destillation, gab diese Beobachtung die Elemente, mittelst deren man die für die Endtemperatur nöthigen Berichtigungen streng ermitteln konnte, um so die Wärme welche das Calorimeter während des Versuchs durch die umgebende Luft verloren oder gewonnen hatte, in Rechnung zu ziehen.

Sey M das Gewicht des in das Calorimeter gebrachten

Wassers, vermehrt um den Wasserwerth des Calorimeters und seiner Anhängsel; m das Gewicht des der Verdampfung ausgesetzten Wassers; t_0 und t_1 die Anfangs- und die Endtemperatur des Calorimeters, folglich $t_0 - t_1$ die Temperatur-Erniedrigung, welche das im Calorimeter befindliche Wasser in Folge der Verdampfung des im Recipienten enthaltenen Wassers erleidet.

Die Größe $t_0 - t_1$ bedarf wegen des Einflusses äußerer Umstände auf das Calorimeter einer Berichtigung, die folgendermaßen erhalten ward.

Man machte zuvor eine Reihe Versuche über die Geschwindigkeit der Erkaltung oder Erwärmung des mit Wasser von verschiedener Temperatur gefüllten Calorimeters, während die Luft nahezu gleiche Temperatur bewahrte. Nach den Resultaten dieser Versuche construirte man eine Curve, zu welcher die Temperaturen des Calorimeters als Abscissen und die Erkaltungsgeschwindigkeiten, d. h. die Temperatursenkungen in $1'$, als Ordinaten genommen wurden. So erkannte man, daß besagte Curve sehr wenig von der geraden Linie abwich und folglich als solche angesehen werden konnte.

Die directe Beobachtung der Erkaltung des Calorimeters in den fünf Minuten vor dem Versuch, und die der Erwärmung während der fünf Minuten nach demselben geben die beiden äußersten Punkte der geraden Linie, welche die Erkaltung bei jedem Versuch vorstellt. Es genügt also, auf diese Linie die Erkaltungen oder Erwärmungen aufzutragen, welche dieses Wasser, zufolge der minutlich gemachten Temperatur-Ablesungen, während jeder Minute erlitten hat. Die gesammte Berichtigung an $t_0 - t_1$ wird daher gleich seyn der algebraischen Summe e aller dieser partiellen Erkaltungen.

Bezeichnet man demnach mit X die Wärmemenge, welche ein Gramm Wasser bei Verdampfung unter den Umständen des Versuchs absorbiert, so hat man:

$$mX = M(t_0 - t_1 + e).$$

Damit X die *Gesamtwärme* des Dampfes vorstellte,

müßte das verdampfende Wasser m bei 0° in das Calorimeter gebracht worden seyn; es hatte aber anfangs die Temperatur t_0 , folglich wird die Gesamtwärme seyn $X + t_0$.

Die GröÙe $X + t_0$ repräsentirt wohl die Wärmemenge, welche das Gewicht m an Wasser von 0° bei Verdampfung unter den stattfindenden Umständen absorhirt, aber es fragt sich: ist der entstandene Dampf ein gesättigter, und, wenn dieß der Fall, welche Spannkraft oder Temperatur entspricht diesem Sättigungszustand? Dieß sind die wahren Schwierigkeiten der Aufgabe, die mir nicht scheinen, mit Sicherheit gelöst werden zu können.

Wir kennen die Spannkraft f unserer Atmosphäre; sie ist gegeben durch das barometrische Manometer; allein offenbar muß der Dampf in dem Recipienten $EFGH$ des Calorimeters eine beträchtlichere Spannung besitzen, weil sonst keine Destillation stattfinden könnte. ¹⁾ Der Unterschied zwischen beiden Spannungen muß sogar ziemlich groß seyn, denn, wenn der Versuch unter günstigen Genauigkeitsbedingungen geschehen soll, muß die Destillation ziemlich rasch erfolgen, damit die Berichtigung e immer nur ein sehr kleiner Bruch von $t_0 - t_1$ sey.

Eine Unsicherheitsquelle gleicher Natur existirt bei unsern Versuchen unter hohen Drucken. Nothwendig übertrifft der Druck des Dampfs im Kessel den der künstlichen Atmosphäre; allein es kann daraus kein merklicher Fehler entspringen, weil dieser Druck-Ueberschuß immer nur ein äußerst kleiner Bruch des gesammten Druckes ist. Anders verhält es sich aber mit den gegenwärtigen Versuchen, wo der Druck-Unterschied, wegen der Kleinheit des gesammten Drucks, ein beträchtlicher Bruchtheil von diesem seyn kann. Wahrscheinlich ist also die am barometrischen Manometer beobachtete Spannkraft f beträchtlich geringer als der mittlere Druck F , unter welchem der Dampf überdestillirte.

Ueberdieß ist der Dampf beim Austreten aus dem Calorimeter nicht im Sättigungszustand. Er ist es im Moment seiner Entwicklung, und seine Spannung entspricht der Tem-

¹⁾ Ann. Bd. 55. Taf. IV. Fig. 1. p. 339. 343.

peratur t , welche das verdampfende Wasser in diesem Moment besitzt; allein diese Temperatur liegt nothwendig unter der des umgebenden Wassers im Calorimeter. Ehe der Dampf entweicht, überhitzt er sich also an den Wänden des Calorimeters und raubt ihnen einen kleinen Antheil Wärme, wodurch sich das Resultat complicirt.

Also kennt man erstlich nicht genau die Temperatur ϑ , welcher der Sättigung des Dampfs entspricht, da diese Temperatur etwas höher seyn muß als die, welcher eine dem Druck f des Manometers gleiche Spannkraft des Wasserdampfs entspricht. Und zweitens muß der Werth $X + t_0$ etwas zu hoch gefunden werden, weil der Dampf bei einer höheren Temperatur als ϑ zum Calorimeter austritt.

Offenbar wird man diese Unsicherheiten sehr vermindern, wenn man den Druck f nur sehr wenig unterhalb derjenigen Spannkraft bringt, die für jeden Augenblick der Temperatur des Wassers im Calorimeter entspricht; allein dann geht die Destillation sehr langsam, der Versuch dauert sehr lange und dadurch allein ist er keiner Genauigkeit mehr fähig.

Ich glaube indess nicht, daß die aufgezählten Umstände merklich auf die Resultate eingewirkt haben. Um mich davon zu versichern, machte ich die Versuche unter abgeänderten Umständen, bald unter einem sehr schwachen Druck, wobei die Destillation der 5 Grm. Wasser in 3 bis 4 Minuten vollendet war, bald unter einem stärkeren Druck, wobei die Destillation derselben Menge bis an 12 Minuten erforderte. Im ersten Falle mußten die Ursachen der Störung viel wirksamer seyn als im zweiten, und dennoch waren die Unterschiede immer sehr gering. Ebenso veränderte ich die Anfangstemperatur des Wassers von 9° bis 28° .

Ich versuchte auch, ob man bei einer sehr langsamen Destillation genaue Resultate erlangen werde, wenn man die Erkaltungsgeschwindigkeit des Calorimeters, während das Wasser verdampft, vergleiche mit der, welche dieses Calorimeter unter denselben Umständen, aber ohne Destil-

lation von Wasser, darbietet; allein es schien mir, dafs es unmöglich sey, irgend etwas Gewisses aus diesem Verfahren herzuleiten, da die Destillation zu unregelmäfsig ist.

Wir haben gesagt, dafs man bei jedem Versuch ein gleiches Volum Wasser in das Calorimeter brachte. Das Gewicht dieses Wassers schwankte zwischen den Gränzen der Anfangstemperaturen t_0 , die bei meinen Versuchen vorkamen, von 500 bis 502 Grm. Diesem Gewicht mufs der Wasserwerth des Calorimeters und seiner Anhängsel hinzugefügt werden; derselbe, bestimmt aus dem Gewicht des Apparats und der specifischen Wärme seines Materials, ergab sich zu 37,5 Grm. Eben dieser Werth wurde auch durch directe Versuche bestimmt, indem man die Temperaturveränderungen beobachtete, welche das Wasser des Calorimeters durch Zusatz einer bestimmten Menge heifsen Wassers oder durch Schmelzung einer bekannten Menge Eis erlitt. So fand ich durch das Mittel aus einer grofsen Zahl von Versuchen den Wasserwerth des Calorimeters zu 42,3 Grm. Ich nehme für diesen Werth 40 an, was nahe das Mittel aus dem berechneten und dem direct gefundenen ist.

Folgende Tafel, die keiner besonderen Erläuterung bedarf, enthält alle 22 nach diesem Verfahren angestellten Versuche.

Gew. d. verdampften Wassers m.	Gew. d. Wassers im Calorimet. M.	Temp. d. Calorimeters.		$t_0 - t_1$ berichtigt.	Mitt. Druck bei d. Destillation f .	Temp. bei der der Dampf die Spannkraft f besafs.	Dauer der Destillation.	Wärme absorbiert vom verdampft. Wasser. X.	Gesammte Wärme $X + t_0$.
		anfangs t_0 .	zuletzt t_1 .						
5,250	542,0	9,21	3,55	5,748	4,5	- 0,2	11'	592,3	601,5
5,180	541,8	12,17	6,34	5,713	3,9	- 2,1	7	596,7	608,9
5,127	541,8	12,44	7,16	5,624	4,6	0	9	593,4	605,8
5,170	541,4	15,47	10,09	5,725	7,7	+ 7,4	10	599,0	614,5
5,262	541,3	16,47	10,95	5,815	8,3	+ 8,5	10	597,0	613,5
5,127	541,3	16,17	10,82	5,642	7,8	+ 7,6	9	595,3	611,5
5,178	541,0	18,74	13,26	5,592	9,0	+ 8,6	11	584,3	603,0
5,240	541,0	19,22	13,68	5,675	10,3	+ 11,8	10	585,9	605,1
5,220	541,0	19,21	13,63	5,738	7,8	+ 7,6	7	594,6	613,8

Gew. d. verdampften Wassers <i>m.</i>	Gew. d. Wassers im Calorimet. <i>M.</i>	Temp. d. Calorimeters.		$t_0 - t_1$ berichtigt.	Mittl. Druck bei d. Destillation <i>f.</i>	Temp. bei der der Dampf die Spannkraft <i>f</i> besafs.	Dauer der Destillation.	Wärme, absorbirt vom verdampft. Wasser. <i>X.</i>	Gesammtwärme $X + t_0$.
		anfangs t_0 .	zuletzt t_1 .						
5,252	541,0	20,20	14,60	5,725	11,9	+ 14,0	11'	589,7	609,9
5,152	541,0	20,31	14,82	5,557	10,9	+ 11,4	8	582,4	602,7
5,242	540,9	21,48	15,90	5,744	11,5	+ 13,5	12	592,8	614,3
5,271	540,8	21,72	16,01	5,761	6,6	+ 5,2	5	590,2	611,9
5,221	540,8	21,71	16,04	5,717	5,3	+ 2,0	4	591,3	613,0
5,200	540,4	23,05	17,40	5,694	12,4	+ 14,7	8	592,4	615,4
5,250	540,4	23,54	17,85	5,697	8,3	+ 8,5	4	587,1	610,6
5,195	540,3	22,81	18,17	5,626	8,3	+ 8,5	4	585,9	609,7
5,162	540,3	24,09	18,49	5,605	8,6	+ 9,0	4	587,4	611,5
5,216	540,3	24,10	18,43	5,676	8,5	+ 8,9	4	587,6	611,7
5,192	540,1	26,40	21,72	6,641	13,6	+ 16,1	6	586,7	613,1
5,085	540,0	27,57	22,00	5,523	8,3	+ 8,6	4	586,5	614,1
5,207	539,9	28,16	22,45	5,705	7,2	+ 6,4	3	591,6	619,7

Wichtig ist zu bemerken, dass die in dieser Tafel enthaltenen Versuche unter sehr verschiedenen, oft für die Genauigkeit der Resultate sehr ungünstigen Umständen angestellt wurden. Man würde sicherlich weniger grosse Schwankungen in den Gesamtwärmen angetroffen haben, wenn man im Gegentheil die Umstände immer möglichst ähnlich zu machen gesucht hätte.

Ich glaube, man wird sich nicht sehr von der Wahrheit entfernen, wenn man annimmt, die Gesamtwärme des Wasserdampfs, der im Sättigungszustand unter einem Druck von $9^{\text{mm}},16$ entwickelt wird, welcher der Temperatur von 10°C entspricht, betrage 610 Einheiten. Für Wasser von 0° würde die Gesamtwärme nur einige Einheiten kleiner seyn.

Ich habe noch gesucht, die latente Wärme des gesättigten Wasserdampfs unter niedrigen Drucken durch eine andere Methode zu erhalten, welche, wie ich hoffe, diese Grösse mit vieler Genauigkeit zu liefern vermag und nicht den Einwürfen ausgesetzt ist, die ich gegen das erste Verfahren erhoben habe. Allein diese, am Schlusse meiner Abhandlung über die Hygrometrie ¹⁾ beschriebene Methode,

1) *Ann. de chim. et de phys. Sér. III. T. XV. p. 227.* (Auszugsweise in dies. Ann. Bd. LXV. S. 135.)

erfordert die Kenntnifs mehrer Data, über welche noch viel Unsicherheit herrscht. Namentlich muß man kennen die Wärmecapacität der Luft und die Wärmemenge, welche die Luft während der Destillation absorhirt. Es schien mir nöthig, diese beiden Elemente durch neue Versuche zu bestimmen, und erst wenn diese beendet sind, werde ich die Bestimmungen der latenten Wärme des Wasserdampfs berechnen können.

Werfen wir einen Blick auf die Gesamtheit der vier letzten Tafeln, so wird es leicht zu erkennen seyn, ob die Erfahrung das eine oder andere der beiden Gesetze bestätigt, unter deren Wahl sich die Physiker theilen.

Nach dem Watt'schen Gesetz ist die Wärmemenge, welche man einem Kilogramm flüssigen Wassers von 0° zu seiner Verwandlung in gesättigten Dampf ertheilen muß, gleich für jeden Druck. Diese Wärmemengen finden sich in der letzten Spalte unserer Tafeln; sie müßten also constant seyn oder wenigstens nur die zufälligen, aus den Fehlern der Versuche entspringenden Schwankungen zeigen. Allein diese Zahlen wachsen mit dem Druck vollkommen regelmäfsig, von 610 an, dem Werth der Gesamtwärme des Wasserdampfs unter einem Druck von 0,01 Atmosphäre, bis zu 666, dem Werth derselben Gröfse unter dem Druck von 13,6 Atmosphären.

Das Southern'sche Gesetz besagt dagegen, dafs die Gesamtwärme weniger die sensible, vom Thermometer angezeigte, kurz die Wärme, welche man gewöhnlich *latente Verdampfungswärme* nennt, constant sey unter allen Drucken. Die letzten Spalten der Tafeln S. 548 und 551 enthalten diese Wärmen.

Wäre das Southern'sche Gesetz richtig, so müßten die Zahlen dieser Spalten constant seyn; allein man sieht, dafs sie stufenweise abnehmen, von 560, welche dem Druck von 0,2 Atmosphären entspricht, bis zu 471, welche dem Druck von 13,6 Atmosphären angehört, oder gar von 600

bis 471, wenn man den Werth 610 — 10, welcher der Temperatur 10° entspricht, aus der Tafel S. 557 mit hinzuzieht.

Das Southern'sche Gesetz entfernt sich also noch mehr als das Watt'sche von den Resultaten der directen Erfahrung.

Es wäre nun das wahre Gesetz der Gesamtwärmen des gesättigten Wasserdampfs aufzusuchen; allein ich glaube nicht, daß diese Untersuchung gegenwärtig mit einiger Aussicht auf Erfolg angestellt werden kann, denn es fehlen uns noch mehre Elemente, deren Kenntniß mir zur Lösung des Problems absolut nothwendig erscheint. Wesentlich nöthig scheint mir, das Gesetz zu kennen, welches die Dichtigkeiten des gesättigten und nicht gesättigten Dampfes unter verschiedenem Druck und bei verschiedener Temperatur regelt. Gewöhnlich nimmt man an, daß sich die Dichtigkeiten des gesättigten und nicht gesättigten Dampfes, bei constanter Temperatur, nach dem Mariotte'schen Gesetz berechnen lassen, und daß, unter gleichem Druck, aber bei verschiedenen Temperaturen, die Volume des nicht gesättigten Dampfes in der Annahme berechnet werden können, der Dampf dehne sich, wie auch seine Dichtigkeit seyn möge, für jeden Temperaturgrad um denselben Bruchtheil seines Volums bei 0° aus, um welchen sich für dasselbe Temperatur - Intervall die atmosphärische Luft ausdehnt, wenn sie Dichtigkeit hat, die sie unter dem Druck einer einzigen Atmosphäre besitzt. Allein die verschiedenen Untersuchungen, die ich in dieser Reihe von Abhandlungen veröffentlicht habe, machen es sehr wahrscheinlich, daß diese Hypothesen weit von der Wirklichkeit abweichen, und es ist daher unerläßlich, diese Relationen durch directe Erfahrungen mit Sicherheit festzustellen.

Die in dieser Abhandlung auseinandergesetzten Messungen geben uns die Wärmemengen, welche ein Kilogramm Wasserdampf bei Sättigung unter verschiedenem Druck, folglich bei verschiedener Temperatur, abgiebt, wenn er in den Zustand des flüssigen Wassers von 0° zurückgeführt wird. Allein es scheint mir überdies wesentlich, die Wärmemenge

zu kennen, die ein Kilogramm *nicht gesättigten Wasserdampfs bei verschiedener Temperatur, unter verschiedenem Druck* unter gleichen Umständen abgibt. Diefs wird Gegenstand einer künftigen Abhandlung seyn, welcher ich neue Untersuchungen über die specifische Wärme permanenter Gase und über die von ihnen bei der Zusammenrückung entwickelten Wärme hinzufügen werde.

Diese Data scheinen mir durchaus nothwendig, ehe man das physische Gesetz der Spannkraft des Wasserdampfs bei verschiedener Temperatur und das der Gesamtwärme, welche der Dampf unter bestimmten Umständen enthält, auf eine rationelle Weise zu bestimmen suchen kann.

Allein, wie auch das Gesetz seyn möge, welches die gesammten Wärmemengen mit den Temperaturen verknüpft, so kann man es immer, innerhalb der Gränzen meiner Versuche, numerisch nach steigenden Potenzen von t entwickeln, und annehmen:

$$\lambda = A + BT + CT^2 + DT^3 + \dots$$

wo A, B, C, D, \dots constante Coëfficienten sind.

Setzt man $\lambda = A$, so hat man das Watt'sche Gesetz, dessen Unrichtigkeit durch die vorstehenden Versuche erwiesen ist. Ich habe versucht, ob man meine Versuche durch eine Formel mit zwei Gliedern

$$\lambda = A + BT$$

mit hinlänglicher Genauigkeit ausdrücken könne.

Wir haben angenommen, es sey die Gesamtwärme in gesättigtem Wasserdampf bei der

Temperatur	+ 10° C.	(nach Taf. S. 557)	..	610	Einheiten
- -	+ 63° C.	(nach Taf. S. 551)	..	625	- -
- -	+ 100° C.	(nach Taf. S. 544)	..	637	- -
- -	+ 195° C.	(nach Taf. S. 548)	..	666	- -

Aus den beiden letzten Werthen, die mir volles Zutraun einflößten, berechnete ich die Constanten A und B und fand

$$A = 606,5 \qquad B = 0,305$$

so dafs die numerische Formel ist

$$\lambda = 606,5 + 0,305 T$$

Diese Formel giebt für die Temperaturen $+ 10^{\circ}$ C. und $+ 63^{\circ}$ C. genau die beobachteten Gesamtwärmen wieder; denn es giebt

für $+ 10^{\circ}$ die Formel: $\lambda = 609,6$, der Versuch: $\lambda = 610,0$
 - $+ 63$ - - $625,2$, - - $625,0$

Ueberdiess ist es kennbar, daß für die verschiedenen Temperaturen, unter welchen die Versuche der Tafeln S. 548 und 551 angestellt wurden, die Unterschiede zwischen den Zahlen der Formeln und denen der Versuche niemals die wahrscheinlichen Beobachtungsfehler übertreffen. Man kann also annehmen, daß obige numerische Formel unsere experimentellen Bestimmungen genügend darstelle, zumal die Versuche keiner so großen Genauigkeit fähig sind, daß es nützlich seyn könnte eine dreigliedrige Formel zu Hülfe zu nehmen.

Provisorisch nehmen wir also die Formel

$$\lambda = 606,5 + 0,305 T$$

als Ausdruck des numerischen Gesetzes der Erscheinung, erwartend, daß ein tieferes Studium der Eigenschaften des Dampfs uns die Aufstellung des wahren physischen Gesetzes erlauben werde.

Nach dieser Formel ist die Gesamtwärme, welche in einem Kilogramm gesättigten Wasserdampfs von der Temperatur T enthalten ist, gleich der Wärmemenge, die ein Kilogramm gesättigten Wasserdampfs von 0° beim Uebergang in flüssiges Wasser von 0° abgiebt, vermehrt um das Product $0,305 T$. Der Bruch $0,305$ ist demnach eine *eigenthümliche Wärmecapacität* des Wasserdampfs, verschieden von den Wärmecapacitäten der Gase bei constantem Volumen oder bei constantem Druck, aber innigst verbunden mit diesen. Es ist die Wärmemenge, die man einem Kilogramm gesättigten Wasserdampfs ertheilen muß, um seine Temperatur um 1° C. zu erhöhen, sobald man zugleich diesen Dampf zusammendrückt, damit er im Sättigungszustand verbleibe.

Mittelst obiger Formel habe ich folgende Tafel berechnet:

Temperaturen des gesättigten Dampfs.	Entsprechende Spannkraften		Gesamt- wärme.
	in Millimetern.	in Atmosphären.	
0°	4,60	0,006	606,5
10	9,16	0,012	609,5
20	17,39	0,023	612,6
30	31,55	0,042	615,7
40	54,91	0,072	618,7
50	91,98	0,121	621,7
60	148,79	0,196	624,8
70	233,09	0,306	627,8
80	354,64	0,466	630,9
90	525,45	0,691	633,9
100	760,00	1,000	637,0
110	1075,37	1,415	640,0
120	1491,28	1,962	643,1
130	2030,28	2,671	646,1
140	2717,63	3,576	649,2
150	3581,23	4,712	652,2
160	4651,62	6,120	655,3
170	5961,66	7,844	658,3
180	7546,39	9,929	661,4
190	9442,70	12,425	664,4
200	11688,96	15,380	667,5
210	14324,80	18,848	670,5
220	17390,36	22,882	673,6
230	20926,40	27,535	676,6

VIII. Ueber eine neue sonderbare Anwendung des Verweilens der Eindrücke auf die Netzhaut; von Hr. J. Plateau.

(Mitgeth. vom Hr. Verf. aus dem *Bullet. de l'acad. de Bruxelles T. XVI.*)

Man schneide aus weißem, hinreichend dickem Papier zwei Scheiben, die eine von 30, die andere von 33 Centmet. im Durchmesser. Man theile die erstere in acht gleiche Sektoren; streiche zwei gegenüberstehende derselben roth und zwei andere blau an, und zwar mit recht schönen Gummifarben; bemale dann zwei andere gegenüberstehende Sektoren, so wie einen kreisrunden Raum von 4 Centm.

Durchmesser, mit recht dunklem Schwarz, und lasse endlich die beiden letzten Sektoren weifs (Taf. II. Fig. 7.), worin die Farben roth, blau, schwarz und weifs, durch Schattirungen, und die Buchstaben *r*, *b*, *s*, *w* angedeutet sind). Nachdem dieses gemacht, bestreicht man die Scheibe mit einem farblosen Firnis, welcher in die Poren des Papiers eindringt, und den weissen, wie den farbigen Theilen mehr Durchsichtigkeit giebt ¹).

In der andern Scheibe mache man zwei Ausschnitte, von gleicher Form wie die Sektoren, aber nur bis auf 3 Centm. zum Umfange gehend, und von einer Winkelbreite, die nur drei Viertel von der der Sektoren beträgt. Nach dem Mittelpunkt hin lasse man zwischen ihren Enden einen Abstand von 4 Centm., und schwärze dann die ganze Scheibe. (Siehe Fig. 8 Taf. II.).

Durch Mütter befestige man nun diese Scheibe in ihren Mitten auf zwei kleinen kupfernen Rollen von 3 Centmet. Durchmesser, und bringe die letzteren so an einem Gestelle an, dafs die Scheiben, in verticaler und paralleler Stellung, 3 Centmet. von einander abstehen. Die Rollen nehmen Schnüre auf, die über andere, gröfsere Rollen gehen; die letzteren sind von Holz, beide 15 Centm. im Durchmesser und auf einer gemeinschaftlichen, mit einem Handgriff versehenen Axe befestigt. Endlich sind die Schnüre so umgeschlagen, dafs beide Rollen und folglich beide Scheiben sich in gleichem Sinne drehen. Diefs System ist, wie man sieht, dem des Anorthoskops, so wie es ins Publikum gekommen ist, analog, bis auf die Gleichheit der Kupferrollen im Durchmesser, die Gemeinschaftlichkeit des Sinns ihrer Bewegungen, die geringere Zahl von Oeffnungen in der schwarzen Scheibe und die gröfsere Breite dieser Oeffnungen. Als Anorthoskop mufs auch das gegenwärtige Instrument des Abends angewandt werden, und zwar stark beleuchtet durch eine Lampe, die hinter der farbigen Scheibe zweckmäfsig

1) Damit auf der so gefirnissten Scheibe die gefärbten Theile recht lebhaft seyen, wenn man sie im Durchsehen beobachtet, ist es gut, die Farben auf beiden Seiten des Papiers anzubringen.

aufgestellt worden; endlich muß sich der Beobachter auf der anderen Seite des Apparats, d. b. gegenüber der schwarzen Scheibe, aufstellen und beide Augen in der Höhe der Mittelpunkte der Scheiben halten, während ein Anderer den Handgriff mit hinreichender Schnelligkeit dreht. Der Abstand des Beobachters vom Apparat muß wenigstens ein Meter betragen.

Nach dieser Vorrichtung, denke man sich für einen Augenblick, die beiden Kupferrollen seyen mathematisch gleich, und dasselbe gelte auch sowohl von den beiden Holzrollen als von der Dicke beider Schnüre. Alsdann werden die Geschwindigkeiten beider Scheiben einander vollkommen gleich seyn, und, da sie in gleichem Sinne geschehen, so werden offenbar die beiden Querschnitte, wenn sie beim Beginn der Bewegung z. B. den rothen Sektoren entsprechen, ins Unbestimmte fortfahren einander zu entsprechen, so daß der Beobachter, bei hinreichender Geschwindigkeit, den ganzen kreisrunden Raum von gleichmäsig rothen Oeffnungen durchlaufen sieht, und darauf beschränkt sich die Wirkung des Apparats.

Allein diese vollkommene Gleichheit der Geschwindigkeiten läßt sich nicht verwirklichen; denn gesetzt, die Rollen wären auch so sorgfältig gearbeitet, daß man ihre Durchmesser als vollkommen gleich betrachten könnte, und es hätten überdies die beiden Schnüre, als von einem selben Stück genommen, eine gleiche Dicke, so bedürfte es doch noch besonderer Vorsichtsmaßregeln, um ihnen genau dieselbe Spannung zu geben; und ein sehr kleiner Unterschied in dieser Beziehung reicht hin, wenn auch noch so wenig, die Gleichheit ihrer Dicken und mithin auch die der Geschwindigkeit zu zerstören. Es wird also im Allgemeinen eine geringe Ungleichheit zwischen den Geschwindigkeiten beider Scheiben stattfinden, und eben auf dieser Ungleichheit beruht die Täuschung, von der hier die Rede seyn soll.

Gesetzt nämlich, die Farben seyen wie Fig. 7. gereiht, die Scheiben drehen sich in der durch die Pfeile angedeuteten Richtung und die schwarze Scheibe habe einen klei-

nen Ueberschuß an Geschwindigkeit. Nun richte man es so ein, daß ehe man den Apparat in Bewegung setzt, die Oeffnungen mit der Mitte ihrer Breite den Mitten der Breite der schwarzen Sektoren entsprechen. Alsdann wird offenbar der Beobachter zu Anfang der Bewegung nur eine vollkommene schwarze Fläche erblicken. Allein, da die relative Lage der Oeffnungen und schwarzen Sektoren sich vermöge des kleinen Geschwindigkeits-Ueberschusses ändert, so geschieht es nach einiger Zeit, daß die Oeffnungen anfangen, etwas in die rothen Sektoren einzugreifen und folglich sieht der Beobachter die schwarze Fläche sich gleichförmig mit einer schwachen Nüance von Roth färben. Das stets zunehmende Eingreifen der Oeffnungen in die rothen Sektoren macht hierauf, daß diese Farbe immer lebhafter wird, und endlich geht sie, wenn die Oeffnungen sich gänzlich auf die rothen Sektoren projiciren, in ein glänzendes Roth über. Diese Farbe hält sich nun unverändert bis die Oeffnungen anfangen die weissen Sektoren zu übergreifen; alsdann beginnt das Roth auszublassen, geht langsam in ein immer helleres Rosa über und wird endlich weifs. Dieses verändert sich allmähig in ein immer lebhafteres Blau, welches nach einiger Zeit anfängt dunkler zu werden, und darauf unmerklich vom Schwarz verdrängt wird. Endlich, bei fortgesetzter Bewegung, wiederholen sich die Erscheinungen in derselben Ordnung.

Die so erzeugten Farben sind sehr schön, ohne gerade viel Glanz zu haben; ihre Gleichförmigkeit ist vollkommen, und der Uebergang von der einen zur andern geschieht mit einer ungemeinen Lieblichkeit. Diese Täuschung stellt also innerhalb gewisser Gränzen das *Farbenklavier* (*clavicin oculaire*) des Paters Castel dar, und die Personen, denen ich es zeigte, fanden in der That ein großes Vergnügen daran.

Ich wiederhole schliesslich, daß der ganze Erfolg des Versuchs auf der Herstellung einer angemessenen Ungleichheit in der Geschwindigkeit beider Scheiben beruht. Um dahin zu gelangen, muß man bei der Anfertigung des In-

struments dafür sorgen, daß die Durchmesser der Kupferrollen, so wie die der Holzrollen, möglichst gleich seyen und daß auch die beiden Schnüre, die aus einem selben Stück genommen werden müssen, gleiche Spannung haben. Die kleinen Unterschiede, die trotz dieser Vorsichtsmaßregeln immer verbleiben, liefern, wenigstens wenn nicht ein ganz besonderer Zufall obwaltet, eine hinlängliche Ungleichheit zwischen beiden Geschwindigkeiten, denn begreiflich muß diese Ungleichheit nothwendig sehr gering seyn.

IX. *Ueber directe Wärme-Erzeugung durch Magnetisirung; von W. R. Grove.*

(Aus den *Proceedings of the Royal Society*, Mai 1849.)

Der Verfasser erinnert an die Versuche von Marrian, Beatson, Wertheim und de la Rive über die Ton-Erzeugung beim Magnetisiren von weichem Eisen. Er erwähnt auch eines von ihm selbst angestellten und im Januar 1845 veröffentlichten Versuchs, wobei eine mit Draht umwickelte Röhre gefüllt war mit der Flüssigkeit, in welcher magnetisches Oxyd (*magnetic oxide*) bereitet worden. Diese zeigte einem Beobachter beim Hindurchsehen ein Aufblitzen (*flash of light*), wenn das Drahtgewinde elektrisirt (*electrized*) wurde.

Dieser Versuch führte ihm auf die Vermuthung, daß beim Magnetisiren des Eisens eine Molecular-Veränderung in dessen ganzer Masse hervorgerufen werde, und, wenn dieß der Fall, daß eine Art von Molecular Reibung entsteht und durch dieselbe Wärme erzeugt werden würde. Bei Prüfung dieser Vermuthung stellten sich indess Schwierigkeiten ein, hauptsächlich dadurch, daß die Wärme, welche in dem den Elektromagneten umgebenden Draht beim Elek-

trisieren erregt wird, die etwa beim Magnetisiren entwickelte Wärme verdeckte.

Nach mehren Versuchen glaubt indess der Verfasser diese Störung ganz beseitigt zu haben, dadurch, dafs er die Pole eines Elektromagneten mit Wasser umgab. Auf diese Weise und indem er den Anker (*Keeper*) mit Flannell und anderem Material (*expedients*) bekleidete, war er im Stande in einem cylindrischen Anker von weichem Eisen durch rasches Magnetisiren und Demagnetisiren eine Temperatur-Erhöhung hervorzubringen, welche die in dem Elektromagnet entstandene um mehre Grade übertraf, und nicht durch Leitung oder Strahlung von diesem Magnete zugeführt seyn konnte. Durch Füllen der Behälter mit Wasser, kälter als der Elektromagnet, konnte dieser erkaltet werden, während der Anker sich beim Magnetisiren erwärmte.

Später erhielt der Verfasser entschiedene thermische Wirkungen in einem Stab von weichem Eisen, der einem rotirenden Stahlmagnet gegenüber lag; er gebrauchte dabei einen empfindlichen thermo-elektrischen Apparat, der Hrn. Gassiot gehörte.

Um die Wirkungen magneto-elektrischer Ströme zu entfernen, machte der Verf. ähnliche Versuche mit nicht-magnetischen Metallen, und mit kieselborsaurem Bleioxyd, statt der eisernen Anker genommen; allein es zeigten sich keine thermische Wirkungen.

Dann versuchte er magnetische Metalle, Nickel und Kobalt, und mit beiden erhielt er, proportional ihrer magnetischen Intensität, thermische Wirkungen.

Der Verf. betrachtet diese Versuche als entscheidenden Beweis, dafs beim Magnetisiren von Eisen oder einem anderen magnetisirbaren Metalle eine Temperatur-Erhöhung stattfindet.

X. *Notiz über den Gegensatz von Matt und Glanz;
von H. Schröder.*

Unter *Glanz* versteht man bekanntlich die durch regelmäßige Reflexion auf glatten Oberflächen entstehende, mehr oder weniger vollkommene, Spiegelung des Lichts. Die Bedingung der Wahrnehmung des Glanzes ist immer, daß das Object zwischen dem Auge, und der Lichtquelle sich befinde, und man weiß, daß der Glanz um so intensiver ist, je schiefer das Licht auf eine glatte Oberfläche einfällt. — *Matt* nennt man die Oberflächen, welche wegen der Feinheit ihrer Unebenheiten an jeder Stelle eine spiegelnde Reflexion des Lichts nicht zulassen. Soweit liegt die Sache in Jedermanns Wissen. Ich finde jedoch nirgends ein eigenthümliches Verhalten matter Oberflächen hervorgehoben, welches mir häufig aufgefallen ist, und einen directen Gegensatz zu der Erscheinung des Glanzes bildet. Es ist dasselbe für die optische Wirkung namentlich aller opaken, pulverförmigen Farbstoffe nicht ohne Bedeutung, und für die Farbenlehre vielleicht von Interesse.


Wenn man eine matte, opake Oberfläche, z. B. eine pulverförmige Farbe, zwischen die Lichtquelle und das Auge hält, und in schiefer Richtung betrachtet, so lagert sich ein *Schatten*, ein *Grau* über der Farbe ab, welches um so tiefer wird, je schiefer die Beleuchtung ist. Befindet sich hingegen das Auge *zwischen* der matten Oberfläche und der Lichtquelle, oder auch hinter der Lichtquelle, und man betrachtet die Fläche bei schiefer Beleuchtung, so lagert sich *weißes* Licht auf der Farbe ab; dieselbe erscheint um so heller, je schiefer die Beleuchtung ist.

Pulverige Farben erscheinen daher mit sehr verschiedenen Nüancen, je nachdem sie betrachtet werden. In der Lage, in welcher bei glatten Oberflächen der Glanz eintreten würde, erscheinen sie im Gegensatz hiervon *dunkel*

und ins Graue spielend; befindet sich aber das Auge hinter der Lichtquelle, oder zwischen der Lichtquelle und dem Object, also in einer Lage, in welcher glatte Flächen am wenigsten erleuchtet gesehen werden, so erscheinen die matten Farben am hellsten und ins Weisse spielend. Die eigenthümliche *Färbung* tritt am intensivsten bei senkrechter Betrachtung der Fläche hervor, in welcher sich weder jenes Grau, noch jenes weisse Licht mit der Farbe mischt. Endlich ist der erwähnte Contrast um so auffallender, je heller die betrachtete Farbe an sich ist; denn an sich dunkle Farben werden durch das sich auflagernde Grau in der ersten Stellung weniger auffallend abgedunkelt und es lagert sich in der zweiten Stellung weniger weisses Licht auf, weil sie davon nur einen geringeren Theil reflectiren. Wird eine matte Farbe in farbigem Licht betrachtet, so spielt sie in der ersten Lage ebenfalls ins Graue, in der zweiten ebenfalls ins Helle mit der Nuance, die der Farbe der Lichtquelle entspricht, wenn sie dieselbe überhaupt zu reflectiren geeignet ist.

Die Erklärung dieser Erscheinungen ergiebt sich so einfach, dafs sie leicht theoretisch vorausgesehen werden können.

Es stelle in nebenstehender Figur *ab* die matte Oberfläche vor, deren feine Unebenheiten hier in grossem Mafsstabe angedeutet sind, *cd* die Richtung des einfallenden Lichtes, so werden



alle Unebenheiten der Fläche auf der Seite, von welcher das Licht kommt, erleuchtet seyn, auf der Hinterseite aber im Schatten liegen. Betrachtet das Auge nun diese Fläche so, dafs es sich zwischen ihr und der Lichtquelle befindet, in schiefer Richtung, so sieht es vorzugsweise nur die erleuchtete Seite der Unebenheiten; die Farbe spielt also ins Helle. Liegt aber die Fläche zwischen der Lichtquelle und dem Auge, so sieht dasselbe vorzugsweise nur die Schattenseite der Unebenheiten, und die Farbe verdunkelt sich,

oder scheint mit Grau gemischt. Bei schiefer Beleuchtung und senkrechter Betrachtung sieht das Auge gleichmäfsig die erleuchtete Seite und die Schattenseite der Unebenheiten, und folglich den mittleren Farbenton.

Ist die Substanz der matten Fläche nicht opak, sondern durchsichtig oder durchscheinend, so kommt natürlich die Wirkung des durchgelassenen Lichts auf der Schattenseite der Unebenheiten mit in Betracht, und die Contraste finden nicht mehr in der angeführten Ordnung statt.

Mannheim den 1. October 1849.

XI. *Drehung der Polarisationsebene der strahlenden Wärme durch Magnetismus; von den HH. F. de la Provostaye und P. Desains.*

(*Ann. de chim. et de phys. Ser. III. T. XXVII. p. 232.*)

Kurze Zeit nach Hrn. Faraday's glänzender Entdeckung der Drehung der Polarisationsebene des Lichts durch Magnetismus zeigte Hr. Wartmann an, dafs er denselben Versuch mit strahlender Wärme gemacht habe¹⁾. Es traten ihm viele praktische Schwierigkeiten entgegen. Er benutzte die Wärme einer Lampe und polarisirte sie partiell, indem er sie durch zwei gegeneinander rechtwinkliche Glimmersäulen gehen liefs. Die Elektromagnete und ein Steinsalzcyylinder waren zwischen diesen Säulen, also dem thermoelektrischen Apparat sehr nahe, aufgestellt. Das Galvanometer dagegen stand in grofser Ferne, um es vor der Wirkung der Elektromagnete zu schützen; allein daraus entstand eine bedeutende Vergröfserung in der Länge der Kette und eine Verringerung der Empfindlichkeit.

Trotz aller dieser Uebelstände, die er vollständig angegeben, aber nicht zu entfernen vermocht hatte, glaubte

1) *L'Institut* No. 644 vom 6. Mai 1846 (*Ann. Bd. 71, S. 473. P.*)

Hr. Wartmann zu erkennen, daß die Galvanometernadel, nachdem sie unter dem Einfluß der nicht durch die Glimmersäulen aufgefangenen Strahlung zu einer stabilen Ablenkung gelangt war, abermals abwich und eine andere feste Lage annahm, wenn er einen Strom wirken liefs, was eine Drehung der Polarisationssebene der Wärme anzudeuten schien.

Da einige Personen zu Paris (z. B. Hr. Bertin) sich vergebens bemüht haben, diese Erscheinungen hervorzubringen, so haben wir es nicht für überflüssig gehalten, diese Versuche wieder aufzunehmen und eine Methode anzugeben, welche mit Leichtigkeit zum Erfolge führt.

Wir haben an dem Verfahren des Hrn. Wartmann hauptsächlich drei Abänderungen angebracht, nämlich 1) Sonnenwärme angewandt, 2) als Polarisations-Apparate zwei achromatische Kalkspathprismen genommen, und 3) diese mit ihren Hauptschnitten gegeneinander nicht um 90° , sondern, was uns unerläßlich scheint, nahezu um 45° aufgestellt.

Die Anwendung des Kalkspaths gestattet die Elektromagnete in großer Entfernung von der thermo-elektrischen Säule aufzustellen. Was die Kalkspathprismen betrifft, so zeigt das Malus'sche Gesetz alle Vorzüge bei ihrer Anwendung. Nehmen wir nämlich die Ablenkung, welche der durchgehende Strahl beim Parallelismus der Hauptschnitte bewirkt, zur Einheit an, so wird die Ablenkung, wenn die Prismen einen Winkel von 45° bilden, gleich $\cos^2 45^\circ = \frac{1}{2}$. Läßt man nun den Strom wirken und dieser bewirkt eine Drehung der Polarisationssebene gleich δ , so wird die Ablenkung je nach der Richtung des Stroms, $\cos^2 (45^\circ - \delta)$ oder $\cos^2 (45^\circ + \delta)$, und man hat also, als Unterschied der beobachteten Wirkungen, wenn man den Strom in entgegengesetzten Richtungen gehen läßt.

$$\cos^2 (45^\circ - \delta) - \cos^2 (45^\circ + \delta) = \sin 2\delta.$$

Stellt man dagegen die Hauptschnitte auf 90° , so wird der Unterschied der Ablenkungen bloß

$$\begin{aligned}\cos^2(90^\circ - \delta) - \cos^2 90^\circ &= \sin^2 \delta \\ \cos^2(90^\circ + \delta) - \cos^2 90^\circ &= \sin^2 \delta\end{aligned}$$

$\sin^2 \delta$ ist aber bedeutend kleiner als $\sin 2\delta$; denn setzt man z. B. $\delta = 8^\circ$, so ist 2δ mehr als das 14fache von $\sin^2 \delta$.

Das Auge nimmt den Uebergang vom Dunklen zum Hellen zwar gut gewahr, aber den Unterschied in der Helligkeit zweier Bilder beurtheilt es schlecht. Nicht so verhält es sich mit dem thermoskopischen Apparat. Wenn es sich also um Wärme handelt, hat es großen Vortheil so zu verfahren wie wir.

Nun zum Detail des Versuchs. Der von einem Heliosat reflectirte Sonnenstrahl ging durch ein erstes achromatisches Kalkspathprisma. Das außerordentliche Bündel wurde aufgefangen; das ordentliche dagegen ging durch den Elektromagnet des Ruhmkorff'schen Apparat und durch ein zwischen dessen Polen befindliches Stück Flintglas von 38 Millm. Dicke. Darauf trat es, in etwa $3^m,5$ Abstand, in das zweite Kalkspathprisma ein, spaltete sich abermals und gab zwei Bilder, von denen das eine mit der, vier Meter vom Elektromagnet entfernten thermo-elektrischen Säule aufgefangen wurde. Das Galvanometer stand von dieser störenden Kraft noch weiter ab.

Durch directe und wiederholte Versuche überzeugte man sich, daß die Herstellung des Stroms kein Inductionsphänomen veranlafste und daß die Elektromagnete keine wahrnehmbare Einwirkung auf die Magnetnadel ausübten, da diese unter deren Einfluß vollkommen ruhig auf Null verblieb. Um dies zu begreifen, muß man bedenken, daß die entgegengesetzten Pole einander sehr nahe standen und daß sie gleichzeitig auf ein sehr entferntes und fast vollkommen astatisches System wirkten. Man könnte fürchten, daß die Elektromagnete, obwohl ohne Wirkung auf die Nadel in ihrer Nullstellung, doch auf sie gewirkt hätten, wenn sie durch den Einfluß der Wärmestrahlung schon abgelenkt war. In der That wäre dies möglich, wenn die Nadel in ihrer ersten Lage dieselbe Richtung gehabt hätte wie die Linie, welche ihren Mittelpunkt mit dem Elektromagnet

verband, und sie, nach erfolgter Ablenkung, einen beträchtlichen Winkel mit dieser Richtung gebildet hätte. Bei unseren Versuchen war gerade die umgekehrte Bedingung verwirklicht, so daß die Componente der magnetischen Wirkung bei einer Bewegung der Nadel immer mehr abnahm und bei ihrer größten Ablenkung beinahe Null ward. Wenn also diese Componente schon im ersten Fall keine Wirkung hatte, so mußte dies um so mehr für den zweiten gelten.

Mittelst zweier Zwingen *A* und *B* konnte man den elektrischen Strom bald in der einen, bald in der andern Richtung durch die Drähte des Elektromagnetes leiten. Im Nachstehenden sind die beobachteten Ablenkungen für diese beiden Fälle mit *A* und *B*, so wie für den Fall, daß kein Strom wirkte, mit *O* bezeichnet.

Versuche am 22. Sept. mit einer Muncke'schen Batterie von 50 großen, obwohl schon gebrauchten Elementen.

Erste Reihe.

<i>A</i>	<i>O</i>	<i>A</i>	<i>O</i>
21°,0	19°,0	21°,4	18°,6.

Zweite Reihe.

<i>O</i>	<i>O</i>	<i>B</i>	<i>O</i>	<i>A</i>	<i>B</i>	<i>A</i>	<i>B</i>	<i>O</i>
20°,5	20°,6	18°,6	20°,9	23°,6	18°,8	22°,0	18°,0	19°,9

Dritte Reihe.

<i>B</i>	<i>B</i>	<i>A</i>	<i>O</i>
17°,4	17°,1	19°,5	18°,3.

Versuche am 29. Sept. mit einer Bunsen'schen Säule von 30 wohl gereinigten und amalgamirten Elementen.

Erste Reihe.

<i>O</i>	<i>A</i>	<i>B</i>	<i>O</i>	<i>B</i>	<i>O</i>
12°,0	14°,9	8°,6	11°,7	8°,8	11°,8

Zweite Reihe.

<i>O</i>	<i>B</i>	<i>A</i>
18°,4	14°,9	21°,7

Zu bemerken ist dabei, daß wenn hier die Hauptschnitte der Prismen senkrecht gewesen wären, die anfangs Nullgleiche Ablenkung bei der Wirkung des Stroms kaum eine halbe Abtheilung betragen haben würde.

Um endlich jeglichen Einwurf zu beseitigen, machte man noch eine dritte Reihe von Versuchen unter Fortnahme des Flintglases und Beobachtung der Ablenkungen, welche die Sonnenstrahlen erzeugten, wenn man wie vorhin den elektrischen Strom bald in der einen bald in der andern Richtung den Draht des Elektromagnets durchlaufen liefs.

Strom:	<i>A</i>	<i>B</i>	<i>A</i>
Ablenkungen:	16°,5	16°,8	16°,8.

Die Ablenkungen sind, wie es seyn muß, einander gleich, was beweist, daß der elektrische Strom und der Elektromagnet die Ablenkungen dadurch änderten, daß sie auf das Flintglas und nicht auf die Galvanometernadel wirkten.

Durch vorstehende Versuche ist, wie wir glauben, die Drehung der Polarisationssebene der strahlenden Wärme unter dem Einfluß des Magnetismus auf eine unwiderlegliche Weise festgestellt.

XII. *Ueber den Dillnit und Agalmatolith, die Begleiter des Diaspors von Schemnitz; von Adolph Hutzelmann.*

(Uebersandt aus den Berichten über die Mittheilungen von Freunden der Naturwissenschaften in Wien.)

Der Diaspor von Schemnitz ist im Jahre 1843 von Hrn. Bergrath Haidinger beschrieben worden, sowohl nach den Krystallformen, als nach seinen übrigen naturhistorischen Eigenschaften, besonders den merkwürdigen Erscheinungen des Trichroismus in den senkrecht auf einander stehenden Richtungen. Hr. General-Probirer A. Löwe fand ihn entsprechend der Formel Al H zusammengesetzt aus

Alaunerde	85,131
Wasser	15,000
	100,131.

Das spec. Gewicht wurde von ihm = 3,340 gefunden.

Das Gestein, in welchem die Krystalle eingewachsen vorkommen, zeigt sich auf den ersten Blick von sehr verschiedener Beschaffenheit. Schon Hr. Theodor Karafiat hatte unter der Leitung des k. k. Hrn. General-Probirers Löwe Analysen desselben vorgenommen. Auf Veranlassung des Hrn. Bergraths Haidinger untersuchte ich die sämtlichen Varietäten in mineralogischer und chemischer Beziehung, zu dem Zwecke um ihre Natur kennen zu lernen, und sie unter einander und mit den übrigen bisher bekannten Mineralspecies zu vergleichen.

Die Varietäten sind sämtlich derb, ohne Anzeichen von Krystallisation oder Individualisirung. Sie lassen sich in drei Hauptabtheilungen bringen:

A. Grau, auch wohl etwas grünlich. Schwacher Fettglanz. Gleichförmig, wenn auch meistens nur wenig durchscheinend. Bruch splittrig. Härte = 2,5 ... 3,0. Gewicht = 2,735.

B. Weifs. Undurchsichtig. Bruch flachmuschelig ... eben. Matt, doch von festem Zusammenhange. Härte = 3,5. Gewicht = 2,835. Hängt wenig an der Zunge.

C. Weifs. Undurchsichtig. Erdig. Matt. Härte = 1,8 ... 2,0. Gewicht = 2,574. Hängt stark an der Zunge.

Von diesen drei Varietäten waren die beiden A und C von Hrn. Karafiat mit grosfer Genauigkeit analysirt, ich nahm die Varietät B vor. Folgende Resultate wurden erhalten:

	A.	B.	C.
Kieselsäure	49,50	22,40	23,53
Thonerde	27,45	56,40	53,00
Kalkerde	5,56	Spur	0,88
Talkerde	0,72	0,44	1,76
Eisenoxydul	1,03	Spur	0,00
Manganoxydul	Spur	Spur	0,00
Kali und Natron	10,20	Spur	0,00
Wasser	5,10	21,13	20,05
	<u>99,56</u>	<u>100,37</u>	<u>99,22.</u>

In Schemnitz wurde die erste dieser Varietäten ganz un-
eigentlich *Pimelit* genannt, die zweite nannte man *Bild-*
stein, die dritte *Kollyrit*. Nun stimmt aber die erste in
ihrer chemischen Beschaffenheit ganz nahe überein mit dem
Agalmatolith, dessen Formel $K\ddot{S}i + 2\ddot{A}l^2\ddot{S}i^3 + 3H$ ist, und
ist auch in ihren naturhistorischen Eigenschaften gar nicht
von demselben unterschieden, daher sie billig mit demsel-
ben Namen bezeichnet wird.

Die Varietäten *B* und *C* stimmen eben so genau unter
einander überein, als sie von allen andern bekannten was-
serhaltigen Thonerdesilicaten sich unterscheiden. Weder
ist *B* Bildstein oder Agalmatolith, noch auch *C* Kollyrit
($\ddot{A}l^3\ddot{S}i + 15H$), wovon eine Varietät von Schemnitz nach
Klaproth enthält:

Kieselerde	12,0
Thonerde	45,0
Wasser	42,0.

Haidinger schlägt vor, die neue Zusammensetzung
nach dem Fundorte bei Dilln, unweit Schemnitz, *Dillnit* zu
nennen.

Der Dillnit kommt daselbst in unregelmäßigen Trüm-
mern von verschiedener grünlicher oder grauer Färbung, am
Contacte von Diorit und Kalkstein, auf dem Kronprinz-
Ferdinand-Erbstolln des Dillner Georgistollns vor. Schwe-
felkies und Diaspor sind darin eingewachsen. Auch Flufs-
spath findet sich dabei. Man glaubt an manchen Stellen
bei den verschiedenen Stücken den Veränderungen mit dem
Auge folgen zu können, wie sich in dem katogenen Bil-
dungsfortgange nach und nach das Thonerdehydrat concen-
trirte, um als Diaspor herauszukrystallisiren, während die
Festigkeit der Grundmasse abnahm, so das man die grös-
ten, durchsichtigsten und am besten auskrystallisirten In-
dividuen gerade in der am meisten pulverigen Varietät an-
trifft ¹).

1) Die beiden Vorkommen des Dillnits tragen in ihrem Aeußern nicht
den Charakter krystallinischer Bildung und daher auch nicht der *Indi-*
Pogendorff's Annal. Bd. LXXVIII.

XIII. *Erläuterung zu einer Note von M. L. Frankenheim in den Annalen Bd. 77, S. 445.*

Um aus der Erhebung einer tropfbaren Flüssigkeit in Capillarröhren diejenige Masse zu berechnen, welche mittelst Adhäsionsplatten über den waagerechten Spiegel gehoben werden kann, hat Poisson bekanntlich die Formel $p = \pi r^2 \mu \sqrt{2a^2 - \frac{\pi r \mu a^2}{3}}$ gegeben; wo p das Gewicht des hervorgehobenen flüssigen Cylinders, μ das von 1 CC. derselben Flüssigkeit bedeutet.

Setzt man die Höhe dieses Cylinders, oder die Dicke der gehobenen Schicht gleich b ; so ist $b = \pi r^2 \mu b$; daher $b = \sqrt{2a^2 - \frac{a^2}{3r}}$.

vidualität an sich, den man chemischen Formeln genau zu entsprechen erwarten dürfte. Ein wechselnder Gehalt von Thonerdehydrat dürfte die Unterschiede gut erklären, der in den festen Stücken noch beige-mengt, in den pulverigen schon — als Krystalle von Diaspor — ausgeschieden wäre. Von den folgenden vier Mischungsverhältnissen:

	I.	II.	III.	IV.
Kieselerde	22,33	22,41	24,36	24,97
Alaunerde	55,92	56,14	54,87	55,56
Wasser	21,75	21,15	20,77	19,47

ist II. Hutzelmann's Analyse des festen Dillnits, III. Karafiat's Analyse des erdigen Dillnits, mit Uebergang der Nebenbestandtheile auf 100 berechnet; IV. entspricht der Formel: $\overset{\cdot\cdot}{\text{Al}}^2\overset{\cdot\cdot}{\text{Si}} + 4\overset{\cdot\cdot}{\text{H}}$; I. aber der Formel: $4(\overset{\cdot\cdot}{\text{Al}}^2\overset{\cdot\cdot}{\text{Si}} + 4\overset{\cdot\cdot}{\text{H}}) + \overset{\cdot\cdot}{\text{Al}}\overset{\cdot\cdot}{\text{H}}^4$; die sich von der vorübergehenden nur durch die Gegenwart eines Thonerdehydrats unterscheidet. Begreiflich ist dies mehr wasserhaltig — der amorphe, traubige Gibbsit hat die Formel $\overset{\cdot\cdot}{\text{Al}}\overset{\cdot\cdot}{\text{H}}^3$ — als der in dem erdigen Dillnit rein auskrystallisirte Diaspor $\overset{\cdot\cdot}{\text{Al}}\overset{\cdot\cdot}{\text{H}}$.

Die Formel IV. läßt sich selbst wieder auflösen in $\overset{\cdot\cdot}{\text{Al}}\overset{\cdot\cdot}{\text{Si}} + 2\overset{\cdot\cdot}{\text{H}}$, die des Nacrits, mehr $\overset{\cdot\cdot}{\text{Al}}\overset{\cdot\cdot}{\text{H}}^2$ einer andern Thonerdehydratverbindung, die wohl in der Bildung von festen Mischungsverhältnissen, die endlich eine krystallinische Form annehmen, in dem allmählichen Fortgang der Gebirgsbildung vielfältig wechseln mögen.

Haidinger.

Die Dicke der Schicht ist, wie man sieht, vom Durchmesser der Adhäsionsplatten nicht unabhängig, und dieser Einfluss, eine Folge der Einbiegung der Flüssigkeit am Rande der Adhäsionsplatte, beginnt erst bei einer Platten-größe, beträchtlicher als diejenige, welche man bei directen Adhäsionsversuchen anzuwenden pflegt, unmerklich zu werden. Der zweite Theilsatz, der jene Abhängigkeit ausdrückt, kann also, wenn es sich darum handelt, b aus feinen Messungen der Capillarsäule, so wie Frankenheim gethan hat, oder umgekehrt, so wie Buys-Ballot versuchte, die Capillarerhebung aus Adhäsionsversuchen abzuleiten, nicht vernachlässigt werden.

Ich habe mich indessen jetzt überzeugt, dass dieser Umstand Frankenheim nicht entgangen war, und dass er den von ihm für Dicke und Gewicht der gehobenen Schicht berechneten Zahlen nur eine ideale Bedeutung, nämlich die eines Gränzwertes hat beigelegt wissen wollen. Ich bedauere, durch die von Hrn. Frankenheim gebrauchten und ihm ganz eigentümlichen Ausdrucksweisen irre geführt, diesen Punkt, der indessen glücklicher Weise ohne große Bedeutung ist, da er den Werth der von ihm mitgetheilten wichtigen Erfahrungsergebnisse ganz unberührt lässt, früher übersehen zu haben.

Dass übrigens von dem Referenten in dem Jahresberichte die Bedeutung des Zeichens H oder $(10a)^2$ verkannt worden sey, würde Frankenheim nicht haben behaupten, noch auch nur voraussetzen können, wenn er eine einzige Seite weiter rückwärts gelesen hätte.

Gießen am 29. October 1849.

Buff.

XIV. Ueber die Richtung der Schwingungen in polarisirten Lichtstrahlen; von Hrn. Babinet.

(Compt. rend. T. XXIX. p. 514.)

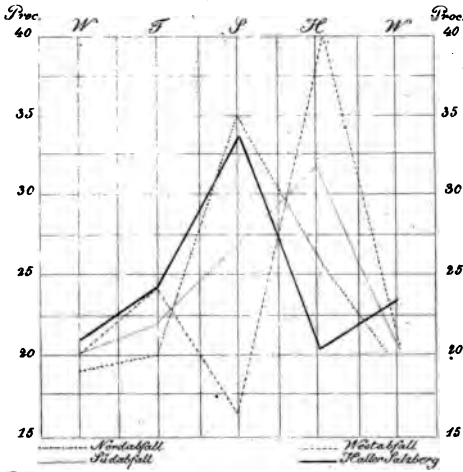
Die Frage nach der Richtung der Schwingungen im polarisirten Lichte ist theoretisch der Gegenstand zahlreicher Untersuchungen der Mathematiker gewesen. Ich habe sie mittelst bekannter Versuche zu lösen gesucht. Ich glaube nämlich aus zwei, Hrn. Arago angehörigen, Versuchen schliessen zu können, *dafs die Schwingungen in der Polarisationsebene selbst geschehen*, entgegengesetzt der Ansicht von Fresnel.

Erster Versuch. — Ein weisses, senkrecht von der Sonne beleuchtetes Papier, sehr schief durch das Polariskop betrachtet, sendet, fast parallel mit der Papierfläche, Licht aus, welches merklich polarisirt ist und zwar in der Ebene des Papiers. Diesem Resultat des Hrn. Arago füge ich hinzu, dafs die Polarisation dieselbe ist bei dem Licht, welches in einer gleichen Richtung unterhalb des Papierblatts wahrgenommen wird.

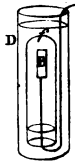
Zweiter Versuch. — Eine weifsglühend gemachte Metallplatte, sehr schief beobachtet, giebt auch dieselbe Polarisation. Bekanntlich hat Hr. Arago daraus ein Mittel hergeleitet, das von starren oder flüssigen Körpern ausstrahlende Licht von dem zu unterscheiden, welches von gasigen Körpern im Glühzustande ausgeht; die Sonne gehört zu letzteren. Hier kann man nicht mehr die Effecte der Reflexion zum Einwurf nehmen, da der Körper an sich leuchtend ist.

Aus diesen beiden Versuchen schliesse ich, dafs die Lichtschwingungen eines polarisirten Strahls in der Polarisationsebene selbst geschehen.

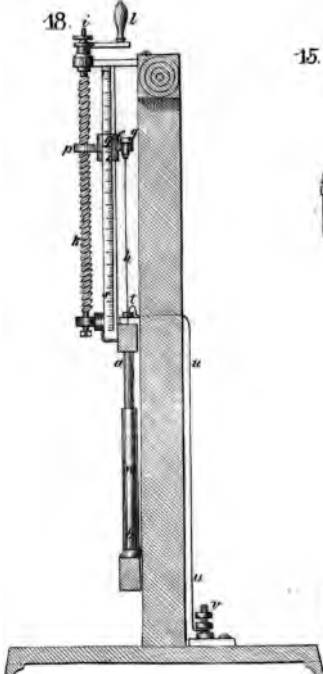
10.



14.



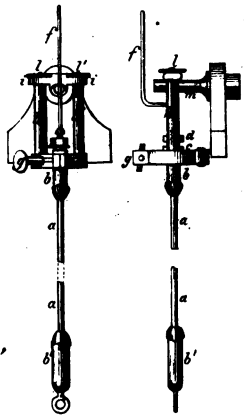
18.



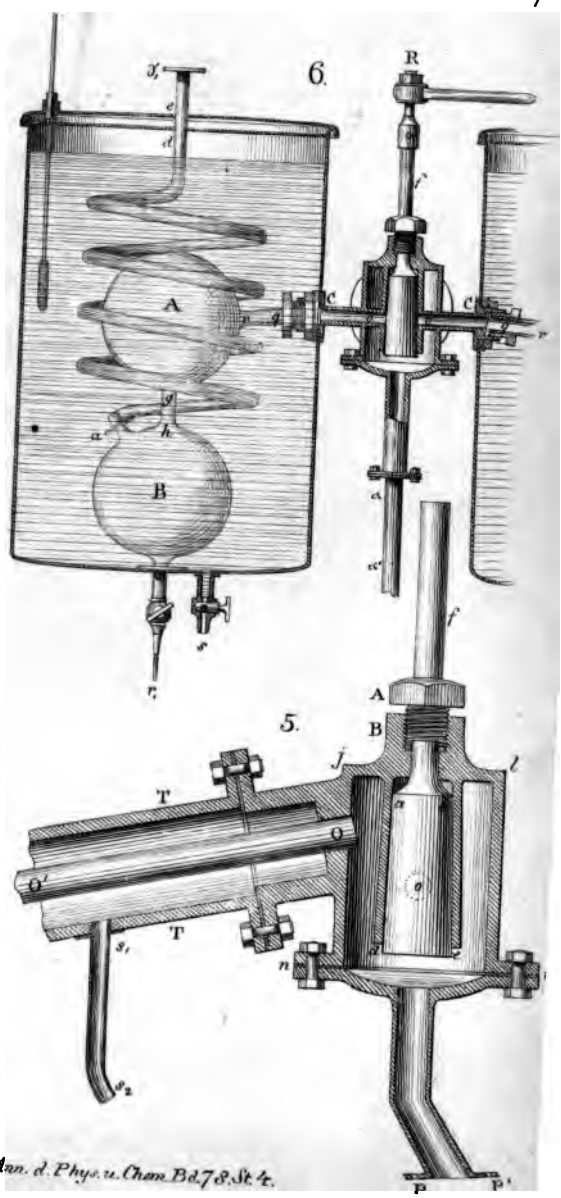
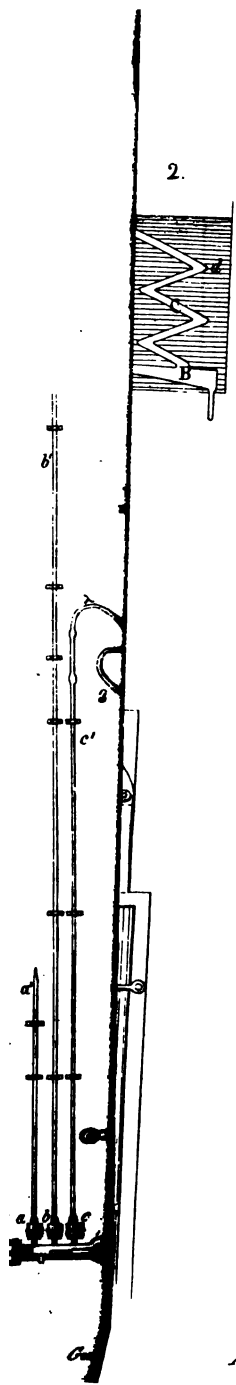
15.



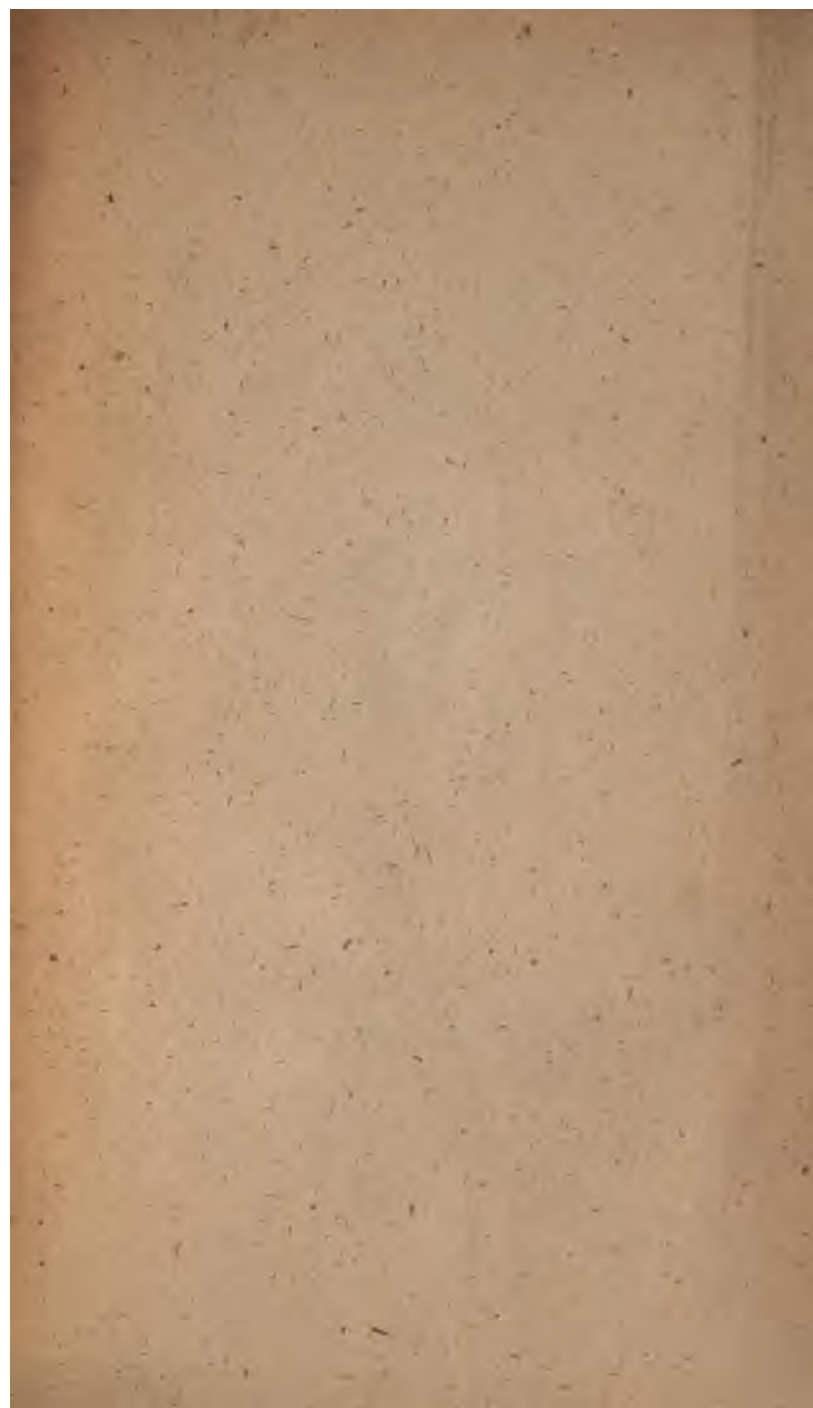
16.

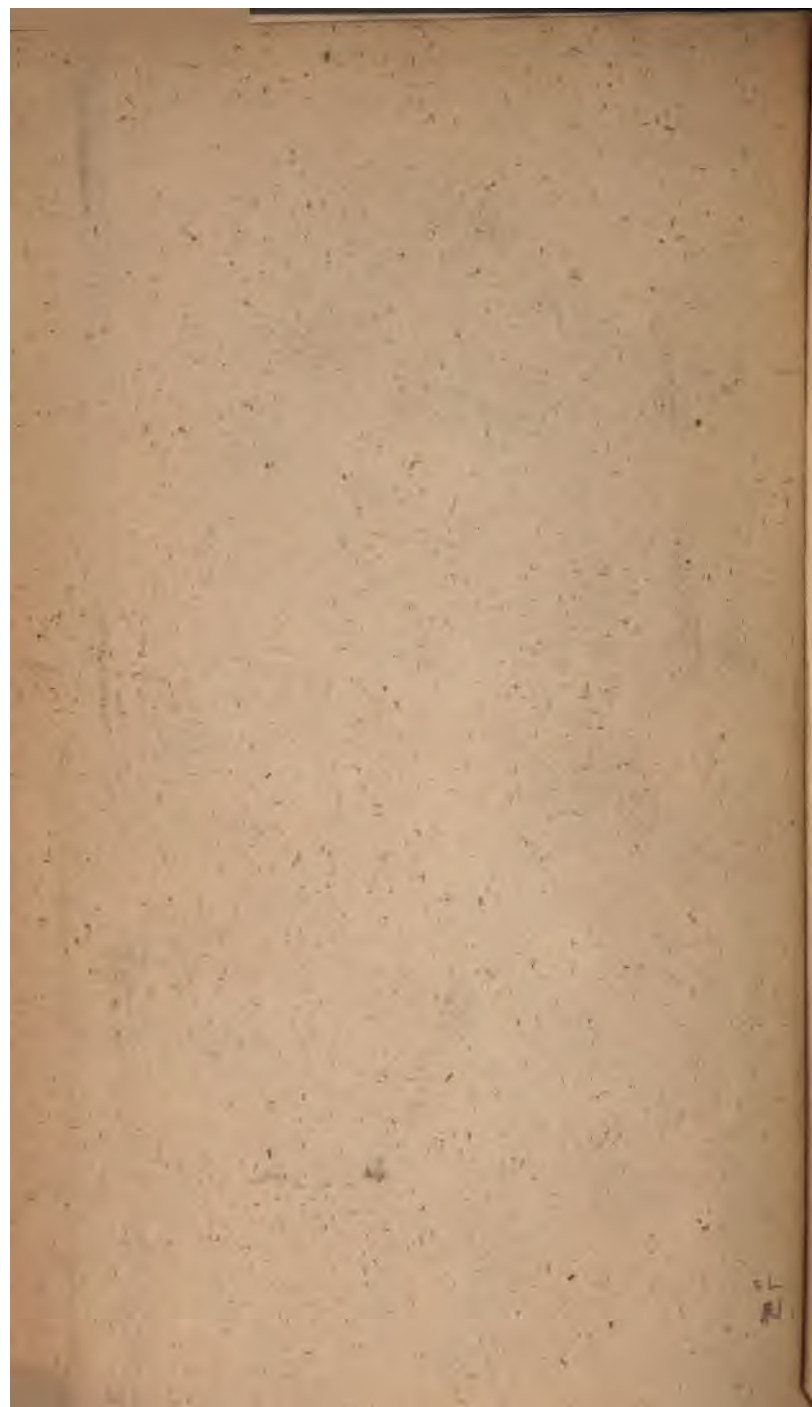


U
la
U
m
n
s
r
v
b
t
a
d
h
c
v
t
h
s
e
r
c

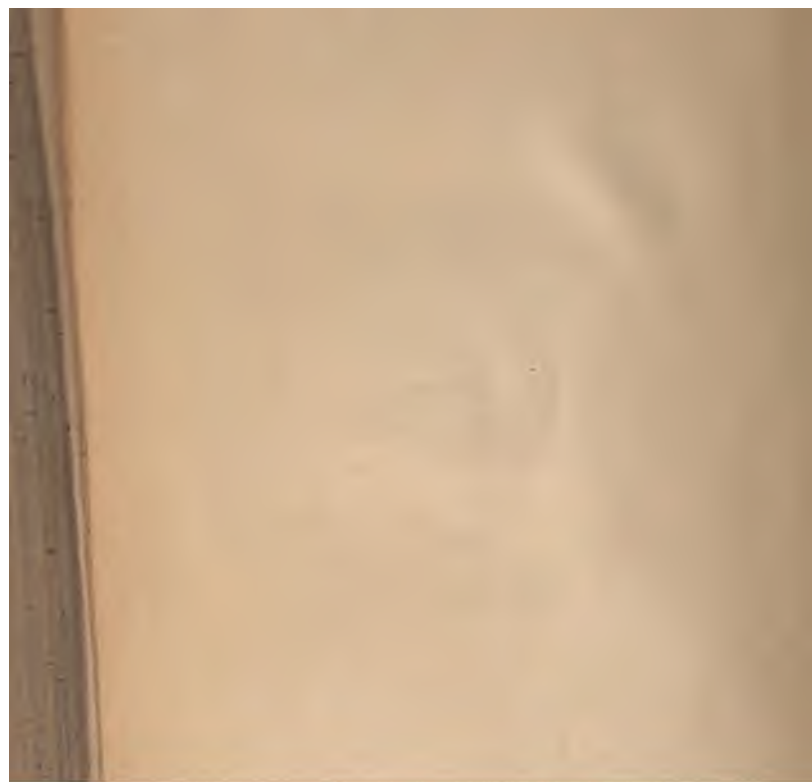


1









the 1990s, the number of people in the UK who are employed in the public sector has increased from 10.5 million to 12.5 million, and the number of people in the public sector who are employed in health care has increased from 2.5 million to 3.5 million (Department of Health 2000).

There are a number of reasons for this increase. One of the main reasons is the increasing demand for health care services. The population of the UK is ageing, and there is a growing number of people with chronic conditions such as diabetes, heart disease, and cancer. This has led to an increase in the number of people who need to be treated in hospitals and other health care settings.

Another reason for the increase is the expansion of the public sector. The government has invested heavily in health care over the past few decades, and this has led to an increase in the number of hospitals, clinics, and other health care facilities. This has created a need for more health care workers to staff these facilities.

Finally, there is a growing emphasis on prevention and primary care. This has led to an increase in the number of people who are employed in roles such as health visitors, community nurses, and health promotion workers. These roles are essential for keeping people healthy and preventing illness.

The increase in the number of people employed in the public sector has led to a number of challenges. One of the main challenges is the need to recruit and retain staff. The public sector has a reputation for being a less attractive employer than the private sector, and this has led to a shortage of staff in many areas.

Another challenge is the need to improve the working conditions of public sector employees. Public sector employees often work long hours and are under a lot of pressure. This can lead to stress and burnout, which can affect the quality of care that they provide.

Finally, there is a need to improve the training and development of public sector employees. Public sector employees need to have the skills and knowledge to provide high-quality care, and this requires ongoing training and development.

There are a number of ways in which these challenges can be addressed. One way is to improve the public sector's reputation as an employer. This can be done by offering better salaries and benefits, and by providing a more supportive work environment.

Another way is to improve the working conditions of public sector employees. This can be done by reducing working hours, and by providing more opportunities for career advancement.





